archeologia stargardu

tom V,1

badania kwartału IX
najstarsze ślady osadnictwa

muzeum archeologiczno-historyczne w stargardzie

Archeologia Stargardu

badania kwartału IX

najstarsze ślady osadnictwa

MUZEUM ARCHEOLOGICZNO-HISTORYCZNE
W STARGARDZIE

Archeologia Stargardu

Pod redakcją
Marcina Majewskiego

V,1

MUZEUM ARCHEOLOGICZNO-HISTORYCZNE
W STARGARDZIE

Archeologia Stargardu

Badania kwartału IX
najstarsze ślady osadnictwa

Praca zbiorowa pod redakcją
Marcina Majewskiego

Bogucki Wydawnictwo Naukowe

Poznań–Stargard 2019

Kolegium redakcyjne wydawnictw Muzeum Archeologiczno-Historycznego w Stargardzie:
Jolanta Aniszewska (sekretarz), Joanna Fijałkowska, Marcin Majewski (przewodniczący),
Monika Ogiewa-Sejnota, Karolina Stań

Ministerstwo Kultury i Dziedzictwa Narodowego.

Dofinansowano ze środków Ministerstwa Kultury
i Dziedzictwa Narodowego

Instytucja Kultury Miasta Stargard

Recenzenci:
Prof. dr hab. Hanna Kóčka-Krenz
Dr hab. Jacek Gackowski, prof. UMK

Redakcja techniczna:
Mateusz Szeremeta

Tłumaczenia:
Joanna Sadowska

Korekta tłumaczeń:
Frauke Witte

Projekt okładki:
Mateusz Szeremeta

Ilustracja na okładce:
Fragment widoku Stargardu z Wielkiej Mapy Księstwa Pomorskiego
Eilhardusa Lubinusa, 1618 r.

Ilustracja na wewnętrznej stronie okładki:
Widok na część kwartału IX z wieży kościoła Mariackiego, ok. 1910 r.
Kartka pocztowa ze zbiorów Muzeum Archeologiczno-Historycznego w Stargardzie, nr inw. MS/H/3114

© Muzeum Archeologiczno-Historyczne w Stargardzie i wszyscy autorzy,
Stargard 2019

ISBN 978-83-61456-34-6 (MAH)
ISBN 978-83-7986-312-9 (BWN)
ISSN 2299-6389

Nakład: 500 egz.

Korekta, skład, łamanie, przygotowanie do druku:
Bogucki Wydawnictwo Naukowe
ul. Górna Wilda 90, 61-576 Poznań
biuro@bogucki.com.pl

Druk:
Konińska Drukarnia Dziełowa

SPIS TREŚCI

Wprowadzenie **11**
Marcin Majewski

I. Sytuacja przestrzenno-stratygraficzna **23**
Mateusz Szeremeta

II. Pradzieje **49**

II. 1. Siekiera kamienna **49**
Mateusz Szeremeta

II. 2. Osadnictwo społeczności łużyckich pól popielnicowych **53**
Ryszard Mikuła

III. Wczesne średniowiecze **167**

III. 1. Ślady osadnictwa. **167**
Marek Dworaczyk

III. 2. Wyniki badań zwierzęcych szczątków kostnych **187**
Daniel Makowiecki

III. 3. Cmentarzysko **199**
Andrzej Janowski

III. 4. Analiza antropologiczna szczątków z cmentarzyska **207**
Marcin Burdziej

III. 5. Analiza molekularna materiału kostnego z cmentarzyska **231**
Henryk W. Witas, Tomasz Wasiak, Krystyna Jędrychowska-Dańska, Tadeusz Strózik, Alicja Zamerska, Piotr J. Witas

INHALT

Einleitung **11**
Marcin Majewski

I. Räumlich-stratigraphische Lage **23**
Mateusz Szeremeta

II. Urgeschichte **49**

II. 1. Steinaxt **49**
Mateusz Szeremeta

II. 2. Siedlungswesen der Bevölkerung der Lausitzer Urnenfelderkultur **53**
Ryszard Mikuła

III. Frühmittelalter **167**

III. 1. Siedlungsspuren aus dem Frühmittelalter **167**
Marek Dworaczyk

III. 2. Ergebnisse von Untersuchungen an Tierknochenüberresten **187**
Daniel Makowiecki

III. 3. Gräberfeld **199**
Andrzej Janowski

III. 4. Anthropologische Analyse der Überreste aus einem Gräberfeld **207**
Marcin Burdziej

III. 5. Molekulare Analyse von Knochenmaterial aus dem Gräberfeld **231**
Henryk W. Witas, Tomasz Wasiak, Krystyna Jędrychowska-Dańska, Tadeusz Strózik, Alicja Zamerska, Piotr J. Witas

Wprowadzenie

Marcin Majewski

Kwartał IX to obszar historycznego bloku zabudowy o powierzchni ponad 11. 000 m^2, który do 1945 r. znajdował się w centralnej części stargardzkiego Starego Miasta, pomiędzy dawnymi ulicami: *Holzmarktstrasse* (dziś nieoficjalnie nazywana: Targiem Drzewnym), *Radestrasse* (dziś: ul. Grodzka), *Johannisstrasse* (dziś: ul. Bolesława Chrobrego) i *Große Mühlenstrasse* (dziś: ul. Kazimierza Wielkiego) (ryc. 1, 4). Po przejęciu miasta w marcu 1945 r. przez wojska radzieckie obszar historycznego serca Stargardu uległ planowemu zniszczeniu. Po kilku latach spalone kamienice zostały rozebrane a pozostały po nich teren wyrównano. W nowej koncepcji projektowej Starego Miasta przyjęto za główny cel powstanie wielorodzinnej zabudowy osiedlowej. Jej realizacja miała miejsce w latach 60. i 70. ubiegłego wieku, ale historycznego kwartału IX nie zabudowano. Przylegającą od południa dawną *Holzmarktstrasse* i fronty parcel zmieniono z czasem na ciąg pieszy, targowisko i obszerny parking, a części przednie działek od zachodu, północy i wschodu włączono w poszerzone pasy drogowe ulic Grodzkiej, Bolesława Chrobrego i Kazimierza Wielkiego.

Dopiero w połowie lat 90. XX w. pojawiła się pierwszy raz na tym obszarze możliwość obserwacji archeologicznej, która była prowadzona przez Elżbietę Rogowską z Muzeum w Stargardzie, ale ograniczonej jedynie do drobnych wykopów instalacyjnych i budowlanych. We wrześniu 1995 r. w trakcie poszerzania zatoki autobusowej przy ul. Kazimierza Wielkiego odsłonięto na długości 13 m pozostałości ścian budynków datowanych wstępnie na XIX/XX w.[1]. W maju 1996 r. podczas doprowadzania energii elektrycznej do kiosku przy ul. Kazimierza Wielkiego zarejestrowano na długości 1,5 m niewielkie partie muru ceglanego oraz fragmenty późnośredniowiecznej warstwy kulturowej pod ówczesną nawierzchnią ul. Kazimierza Wielkiego[2]. Z kolei w okresie od maja do czerwca 1997 r. przeprowadzono badania sondażowe dla potrzeb projektowych. Miały one na celu odsłonięcie narożnych reliktów historycznej zabudowy kwartału. Wytyczono wówczas osiem wykopów, które doprowadzono przeważnie do głębokości 1,5 m, ale poprzez ich błędną lokalizację nie zrealizowano zakładanych celów[3] (ryc. 2).

W 2000 r. Spółdzielnia Mieszkaniowa „Podzamcze" ze Szczecina planując zabudowę mieszkaniową kwartału wykonała wzdłuż ul. Kazimierza Wielkiego częściowe odgruzowanie terenu. Badania konserwatorsko-archeologiczne prowadziła firma R.W.G. Sp. z o.o. i Pracownia Archeologiczna Zamku Książąt Pomorskich w Szczecinie. Przeprowadzono wstępną ocenę architektoniczną odsłoniętych reliktów, po czym inwestycji zaniechano. Pozostały wykop po wielomiesięcznej interwencjach władz miejskich zasypano[4].

W 2006 r. teren ten zakupiła firma „Modehpolmo" ze Szczecina, która zleciła „STUDIO A4" ze Szczecina wykonanie prac projektowych oraz związanych z nimi niezbędnych badań archeologicznych i architektonicznych. Celem ówcześnie podjętych prac było: odsłonięcie wszystkich narożników zabudowy kwartału, wyznaczenie głębokości zabudowy, odsłonięcie linii zabudowy wszystkich pierzei, wyznaczenie zasięgu obszaru zniszczonego podczas odgruzowywania w latach 60. ubiegłego wieku i rejestracja poziomu występowania posadzek piwnic ostatniej zabudowy. Prace archeologiczne zrealizowane w okresie od listopada do grudnia 2006 r. przez Pracownię Archeologiczną Zamku Książąt Pomorskich w Szczecinie przy współudziale Muzeum w Stargardzie (Majewski 2010, 507)[5], zakładały wykonanie kilkunastu sondaży[6]. Zrezygnowano z wykonania ośmiu wykopów z powodu braku możliwości wstrzymania ruchu na ulicach Bolesława Chrobrego i Kazimierza Wielkiego[7], ale zaproponowano inne lokalizacje sondaży[8] (ryc. 3).

W trakcie prac pozyskano kilka istotnych informacji. Dawne budynki mieszkalne były podpiwniczone tylko w trakcie frontowym, mury zachowały się zazwyczaj w stosunkowo dobrym stanie, a ich korony znajdowały się około 0,5 m pod powierzchnią terenu. Zachowana wysokość reliktów ścian dochodziła do 2 m. Ich konstrukcja była kamienno-ceglana lub wyłącznie kamienna z nielicznymi uzupełnieniami ceglanymi. W sondażu nr 15a natrafiono na fragment dobrze zachowanej późnośredniowiecznej ściany sąsiedzkiej z fragmentem ściany tylnej. W sondażu nr 3 natrafiono na piwnice ze szczątkowo zachowanymi sklepieniami. Okres późnego średniowiecza był reprezentowany przez skromny zbiór ceramiki pochodzącej z okresu XIII–XIV w., która wystąpiła na tzw. złożu wtórnym oraz brakteat miasta Stralsund (odkryty w ścianie piwnicy). Lepiej zachowały się materiały pochodzące z okresu wczesnonowożytnego. W pasze sklepiennej piwnicy narożnej kamienicy przy ul. Kazimierza Wielkiego i Targ Drzewny znajdowały się fragmenty nowożytnych witraży i ułamki kafli płytowych sygnowanych nazwiskiem HANS BERMAN (Słowiński 2007).

Odsłonięte i zidentyfikowane relikty ścian budynków pokryły się z podziałem widocznym na planie miasta z 1923 r.[9], ale wnętrze kwartału

[1] Muzeum Archeologiczno-Historyczne w Stargardzie (dalej: MAH), Dział Archeologii (dalej: DA), teczka nr 13.

[2] MAH, DA, teczka nr 19.

[3] MAH, DA, teczka nr 24.

[4] Decyzje Zachodniopomorskiego Wojewódzkiego Konserwatora Zabytków w Szczecinie: ZN-4112/65/2000/MS i ZN-4112/44/2001/MS; MAH DA, teczka nr 49.

[5] Decyzja ZWKZ w Szczecinie: ZN-4112/132/2006/MS; MAH, DA, teczka nr 99.

[6] Nr 9, 10, 12.

[7] Nr 1–8.

[8] Nr 13–16.

[9] *Plan der Stadt Stargard i. Pom. 1923*, bearb. vom städt. Vermessungsamt, Muzeum Archeologiczno-Historyczne

ISBN 978-83-61456-34-6 Archeologia Stargardu T. V,1 – 2019
ISBN 978-83-7986-312-9

zostało w bardzo poważnym stopniu zniszczone w okresie powojennym. Uważano, że zniszczeniu uległa większość nawarstwień kulturowych oraz reliktów murowanych. Zachowały się natomiast obiekty zagłębione w calec. Potwierdzeniem tych przypuszczeń były ślady zarejestrowane w sondażach: 10–11 i 16 oraz odwiertach nr 4 i 8.

Wyniki tych niewielkich prac dostarczyły ogólnych danych dla całego kwartału i pozwoliły lepiej zaplanować przyszłe badania archeologiczne. Przed przystąpieniem do nich sporządzono studium historyczne poświęcone zabudowie kwartału oraz właścicielom i lokatorom, sięgając do najstarszych zachowanych danych, które pochodzą z 1627 r. (Majewski 2007). Zaplanowano inwentaryzację pozyskanych materiałów ruchomych w ramach przedwojennego nazewnictwa i numeracji poszczególnych parcel zaczerpniętych z planu Stargardu pochodzącego z 1923 r., który dla tej części Starego Miasta przedstawiał sytuację własnościową utrzymaną do 1945 r. Powodem takiego postępowania był brak powojennej kontynuacji historycznego podziału i oznaczania działek tej części miasta. Z kolei numer kwartału (IX) przejęto z planu katastralnego miasta sporządzonego w 1724 r. przez Martina Friedricha Schwadtkena, który stał się głównym źródłem kartograficznym dla wszystkich późniejszych badań archeologicznych prowadzonych na obszarze Starego Miasta w Stargardzie[10]. Nawarstwienia i obiekty archeologiczne planowano inwentaryzować oddzielnie w ramach parcel bądź samych kamienic, a ich oznaczenie w przestrzeni miało odbywać się w ramach wyznaczanych doraźnie punktów, które były rejestrowane przez służby geodezyjne i nanoszone na plan zbiorczy wraz z odpowiednią korelacją odnoszącą się do podziału historycznego.

Zaplanowane z wyprzedzeniem prace wykopaliskowe objęły swym zasięgiem całą powierzchnię historycznego kwartału IX, na który składały się współczesne działki nr 61/1, 120/1, 121/1, 122/1, 122/2 i 211/1 wchodzące w skład stargardzkiego obrębu nr 11 (ryc. 4–5). Badania trwały zgodnie z decyzją wydaną przez Zachodniopomorskiego Wojewódzkiego Konserwatora Zabytków w okresie od 05 listopada 2007 do 31 grudnia 2008 r.[11]. W badaniach pod kierownictwem redaktora niniejszej książki uczestniczyli pracownicy ówczesnego Działu Archeologicznego Muzeum w Stargardzie: Karolina Stań, Marcin Burdziej i Robert Paduch oraz Magdalena Borzęcka, Grzegorz Kurka z Muzeum Historii Ziemi Kamieńskiej w Kamieniu Pomorskim i Karol Kwiatkowski pełniący funkcję zastępcy kierownika (Majewski 2010, 511–512). W pracach wykopaliskowych i dokumentacyjnych brali udział studenci Instytutu Historii i Stosunków Międzynarodowych Uniwersytetu Szczecińskiego i studenci Instytutu Prahistorii UAM w Poznaniu. Badania reliktów architektury przeprowadziła mgr inż. arch. Tatiana Balcerzak ze „STUDIO A4" w Szczecinie a prace geodezyjne wykonała firma „KWADRAT" ze Szczecina (Kwiatkowski, Majewski 2013). W efekcie badań zadokumentowano liczne ślady bytności dawnych społeczeństw począwszy od V okresu epoki brązu do zniszczeń poczynionych w 1945 r. i latach następnych[12]. To właśnie pozostałości najstarszego osadnictwa stały się kanwą pierwszej części piątego tomu „Archeologii Stargardu" (ryc. 6). Zasadnicza większość zaewidencjonowanych materiałów pochodzi jednak z późnego średniowiecza i czasów nowożytnych. Pozostaje mieć nadzieję, że zostaną one opracowane i wydane w kolejnych częściach piątego tomu naszej serii.

Przedłożona praca składa się z trzech rozdziałów. W pierwszym została omówiona sytuacja przestrzenno-stratygraficzna najstarszych śladów bytności człowieka na badanym obszarze. W kolejnych zaprezentowano pojedynczy przedmiot związany ze społeczeństwem okresu neolitu oraz kilka obiektów osadniczych z licznym inwentarzem ceramicznym należących do ludności łużyckich pól popielnicowych. Następnie ślady osadnicze z okresu 2. połowy XI–1. połowy XII w., dla których przeprowadzono analizę ceramiki i zwierzęcych szczątków kostnych. Ponadto opracowano pochodzące z tego samego czasu pozostałości cmentarzyska szkieletowego, a kości poddano badaniom antropologicznym i molekularnym. Autorzy poszczególnych artykułów związani są z Instytutem Archeologii i Etnologii PAN w Szczecinie, Instytutem Archeologii Uniwersytetu Mikołaja Kopernika w Toruniu, Zakładem Biologii Molekularnej Uniwersytetu Medycznego w Łodzi oraz Muzeum Archeologiczno-Historycznym w Stargardzie.

Opracowanie i wydanie niniejszej książki było możliwe dzięki panu Mateuszowi Szeremecie, którego wniosek projektowy został złożony do programu Ministerstwa Kultury i Dziedzictwa Narodowego „Ochrona zabytków archeologicznych" i otrzymał pozytywną ocenę wraz z dofinansowaniem. Środki własne na realizację grantu przeznaczyła Gmina Miasto Stargard.

Bibliografia

Źródła archiwalne

Berlin, Staatsbibliothek Berlin SPK
Kartenabteilung, sygn. Kart. X 15804 Blatt 28/3

Stargard, Muzeum Archeologiczno-Historyczne
Biblioteka, sygn. MS/Bibl./S-2
Dział Archeologii, teczka nr 13, 19, 24, 49, 99.

Materiały niepublikowane

Majewski M. 2007. *Stargard, Stare Miasto. Kwartał Bolesława Chrobrego-Kazimierza Wielkiego-(Władysława Łokietka)-Grodzka. Studium historyczne*. Stargard (mps w zbiorach Wojewódzkiego Konserwatora Zabytków w Szczecinie i Działu Archeologii Muzeum Archeologiczno-Historycznego w Stargardzie).

Majewski M., Kwiatkowski M. 2009. *Sprawozdanie wstępne z archeologicznych badań ratunkowych*

[10] w Stargardzie, sygn. MS/Bibl./S-2.
Special Plan von der Stadt Stargard, Staatsbibliothek Berlin SPK, Kartenabteilung, sygn. Kart. X 15804 Blatt 28/3.

[11] ZN-4112/85c/2007/MS.

[12] Odnośnie pierwszych ustaleń związanych z odkrytą pozostałością cmentarzyska wczesnośredniowiecznego por. Majewski 2016, 248.

przeprowadzonych na terenie przeznaczonym pod inwestycję „Budowa obiektu mieszkalno – usługowego w Stargardzie", w kwartale ograniczonym ulicami: Bolesława Chrobrego, Kazimierza Wielkiego, Grodzkiej i (Władysława Łokietka) w Stargardzie, obr. 11, działki nr 61/1, 120/1, 121/1, 122/1, 122/2 i 211/1. Stargard (mps w zbiorach Wojewódzkiego Konserwatora Zabytków w Szczecinie i Działu Archeologii Muzeum Archeologiczno-Historycznego w Stargardzie).

Słowiński S. 2007. *Sprawozdanie z sondażowych badań archeologiczno-architektonicznych przeprowadzonych dla potrzeb projektowych w Stargardzie*. Szczecin (mps w zbiorach Wojewódzkiego Konserwatora Zabytków w Szczecinie i Działu Archeologii Muzeum Archeologiczno-Historycznego w Stargardzie).

Literatura

Kwiatkowski K., Majewski M. 2013. Stargard, Stare Miasto, kwartał IX, ul. Bolesława Chrobrego, Kazimierza Wielkiego, Grodzka i (Władysława Łokietka), stan. 11a (AZP 32-10/167). *Stargardia* 7, 355–356.

Majewski M. 2010. Sprawozdanie z działalności Działu Archeologicznego w latach 2004–2008. *Stargardia* 5, 497–519.

Majewski M. 2016. Ecclesia sub ecclesia – czyli o świątyni odkrytej pod kościołem augustiańskim w Stargardzie. W: M. Rębkowski (red.), *Kościoły w dobie chrystianizacji.* Wolińskie Spotkania Mediewistyczne 3. Szczecin, 247–253.

Zusammenfassung

Einleitung

Das Quartier IX umfasst das Gebiet des historischen Bebauungsblocks mit einer Fläche von über 11.000 m^2, das bis 1945 im zentralen Teil der Altstadt von Stargard zwischen folgenden ehemaligen Straßen lag: *Holzmarkt* (heute inoffiziell Targ Drzewny), *Rade* (heute Grodzka), *Johannis* (heute Bolesława Chrobrego) sowie *Große Mühlen* (heute Kazimierza Wielkiego). Nach Übernahme der Stadt durch die sowjetische Armee im März 1945 wurde der historische Stadtkern von Stargard vorsätzlich zerstört. Nach einigen Jahren wurden die abgebrannten Bürgerhäuser abgerissen und das betroffene Gelände wurde eingeebnet.

Erst Mitte der 1990er Jahre ergab sich in diesem Gebiet erstmals die Möglichkeit archäologischer Erkundung, die sich jedoch auf kleine Leitungsgräben und Baugruben beschränkte. Im Jahr 2006 wurden Ausgrabungsarbeiten im Voraus geplant, die das gesamte Gelände des historischen Quartiers IX abdecken sollten. Sie wurden zwischen November 2007 und Dezember 2008 durchgeführt. Als Ergebnis dieser Forschungen wurden zahlreiche Spuren menschlicher Aktivitäten von ca. 700-500 Jahren v. Chr. bis zu den 1945 und danach angerichteten Schäden dokumentiert. Gerade die Überreste der ältesten Siedlungsspuren wurden zur Grundlage des ersten Teils des fünften Bandes „Archeologia Stargardu", der aus drei Kapiteln besteht. Im ersten wird die stratigraphisch-räumliche Lage der ältesten Anzeichen des menschlichen Aufenthalts innerhalb des Untersuchungsgebiets beschrieben. In folgenden Kapiteln werden ein einzelner Gegenstand der neolithischen Gesellschaft sowie einige Siedlungsbefunde mit zahlreichen Waren der Lausitzer Urnenfelderkultur präsentiert. Anschließend folgen Siedlungsspuren aus der zweiten Hälfte des 11. bis zur ersten Hälfte des 12. Jh., für die eine Analyse der Keramiken und Tierknochenreste vorgenommen wurde. Darüber hinaus werden die Überreste eines Körpergräberfeldes aus der gleichen Zeit bearbeitet sowie anthropologische und molekulare Untersuchungen an Knochen vorgestellt.

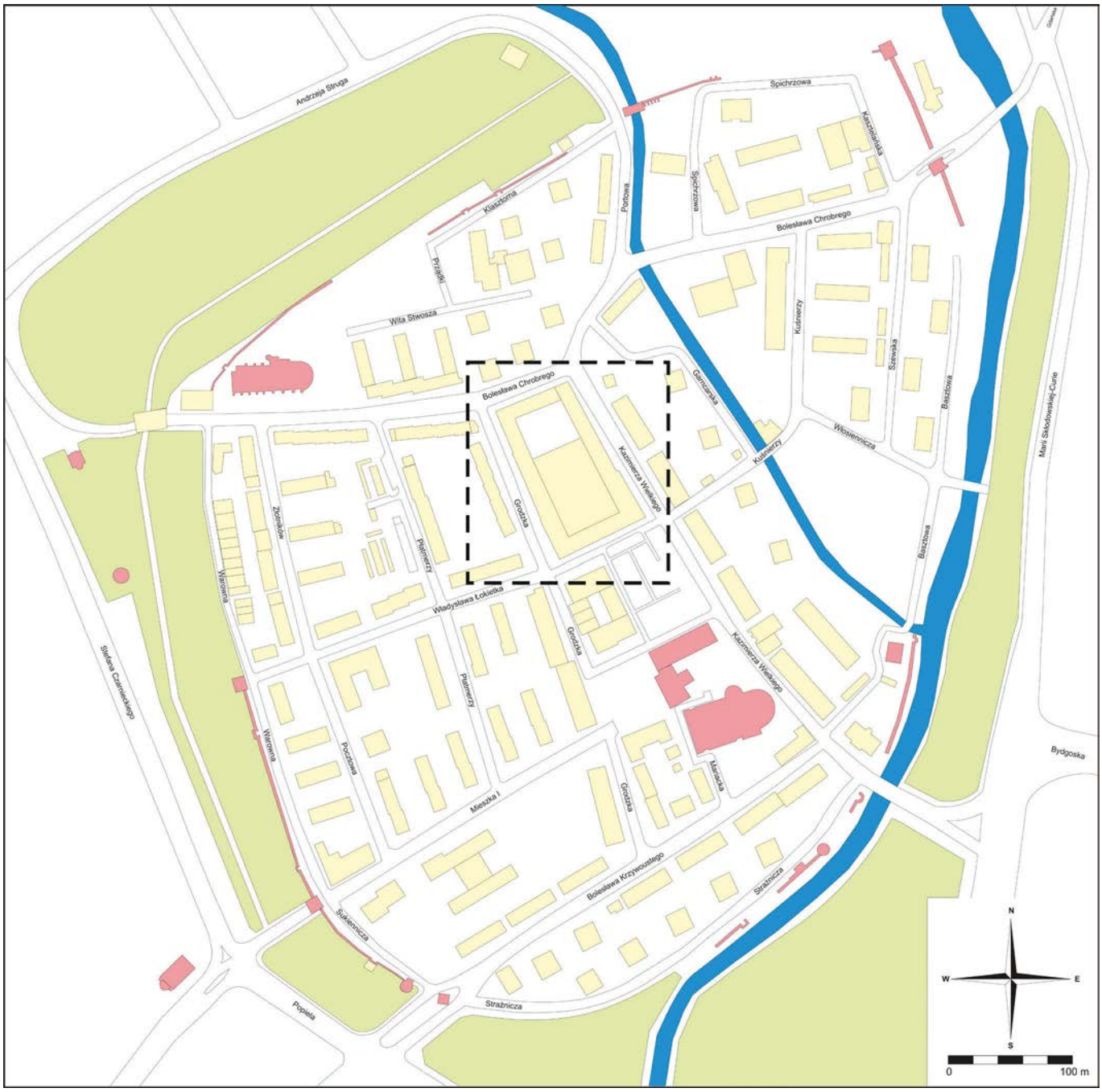

Ryc. 1. Stargard, Stare Miasto. Obszar objęty badaniami archeologicznymi. Kreślił C. Rysz
Abb. 1. Stargard, Altstadt. Areal der archäologischen Untersuchungen. Zeichnung C. Rysz

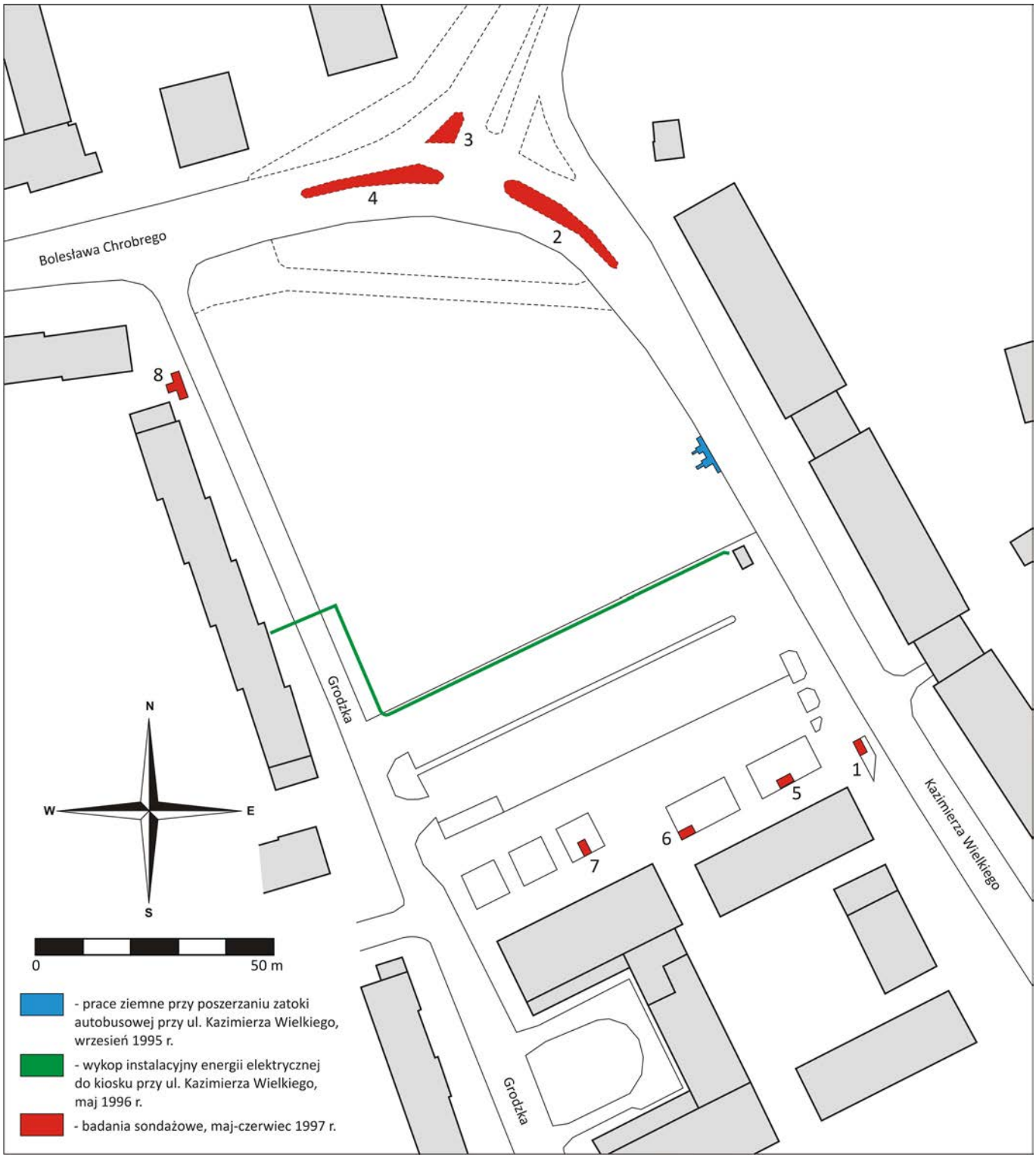

Ryc. 2. Stargard, Stare Miasto, kwartał IX. Miejsca badań sondażowych i wykopów instalacyjnych objętych nadzorem archeologicznym w latach 1995–1997. Kreślił C. Rysz

Abb. 2. Stargard, Altstadt, Quartier IX. Bereiche mit Sondierungen und Leitungsgräben unter archäologischer Überwachung in den Jahren 1995–1997. Zeichnung C. Rysz

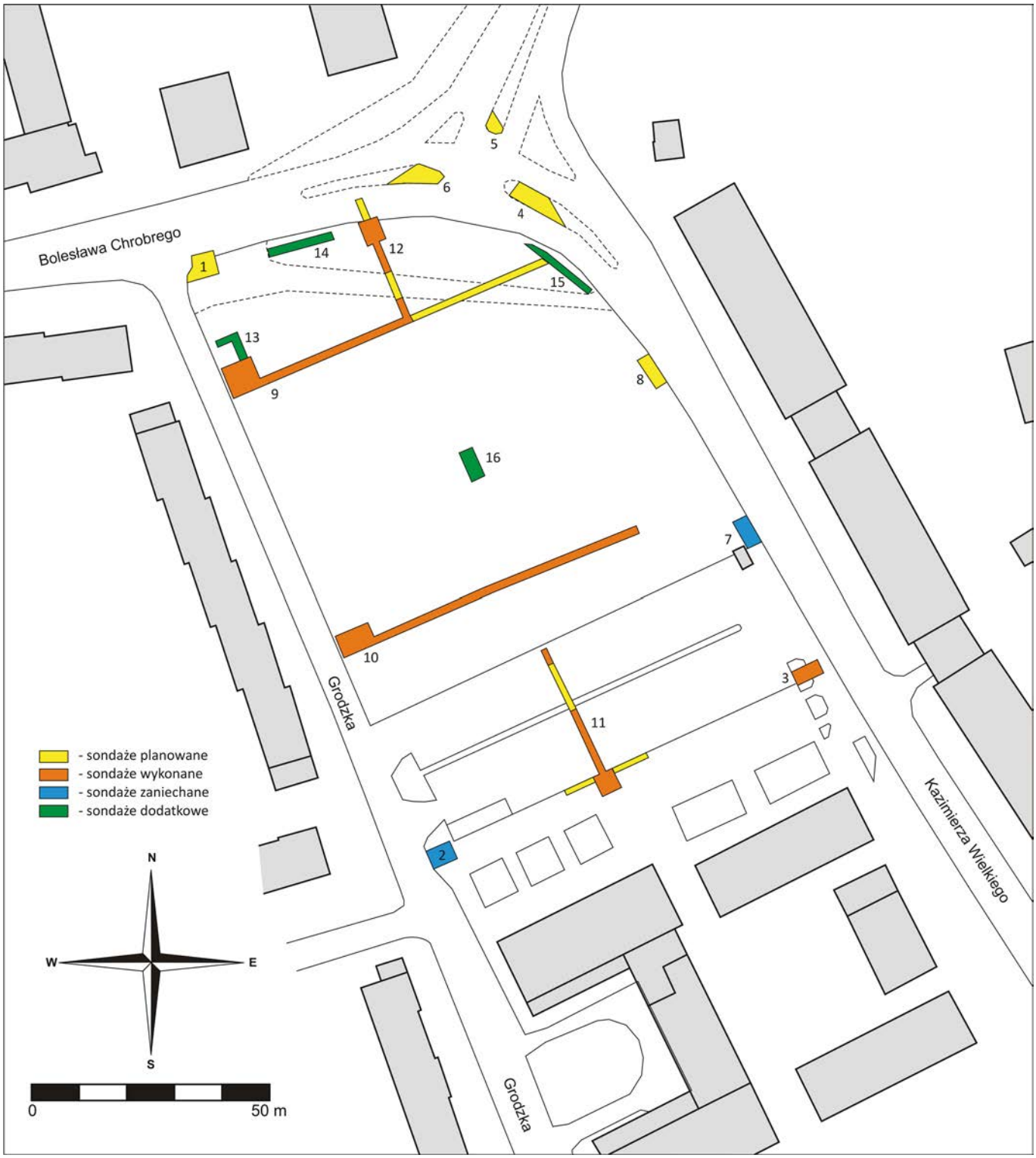

Ryc. 3. Stargard, Stare Miasto, kwartał IX. Miejsca badań sondażowych w 2006 r. Kreślił C. Rysz
Abb. 3. Stargard, Altstadt, Quartier IX. Sondierungsstellen im Jahr 2006. Zeichnung C. Rysz

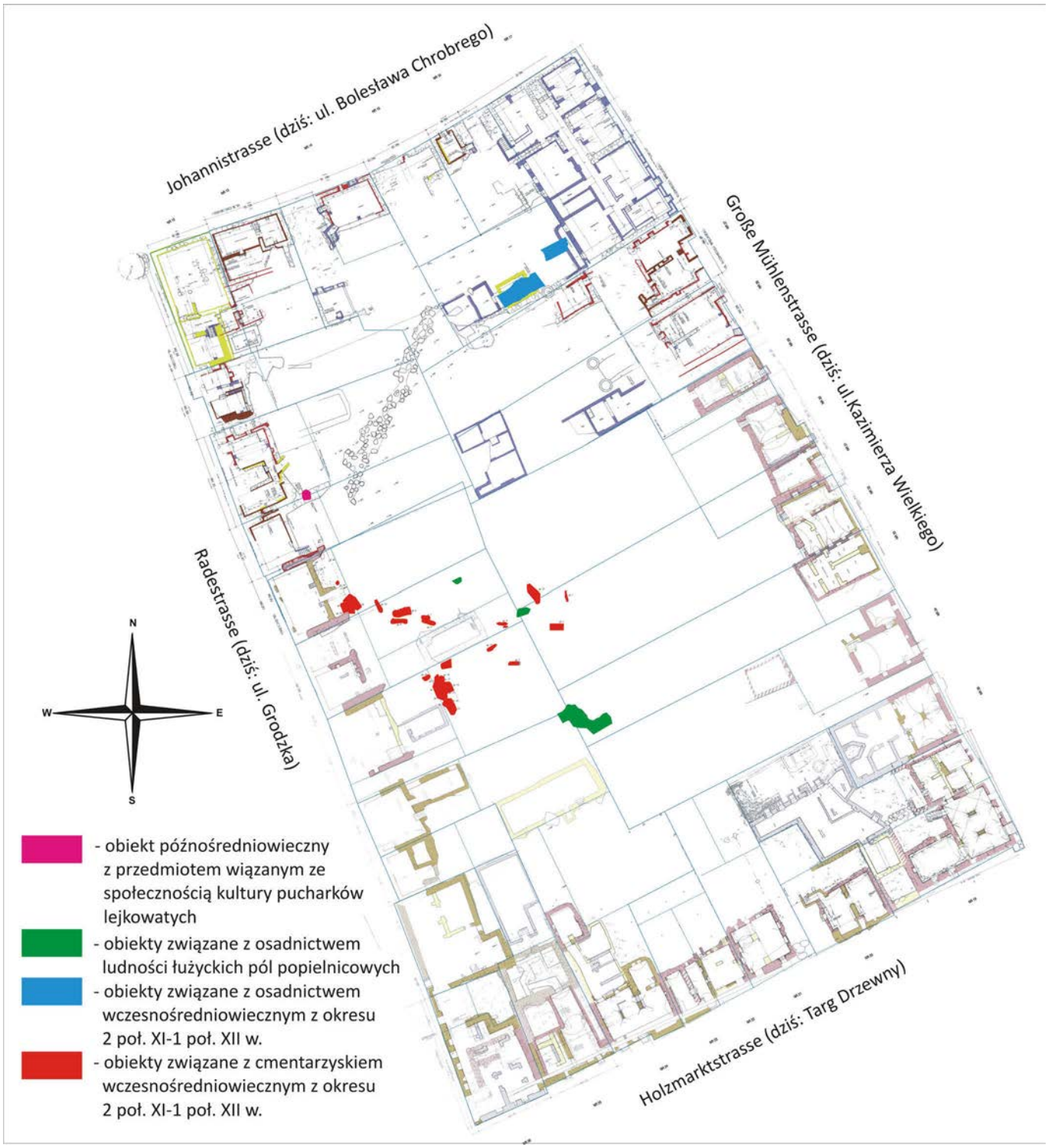

Ryc. 4. Stargard, Stare Miasto, kwartał IX. Ślady najstarszego osadnictwa na tle rekonstruowanego podziału parcel z lat 1724–1945 i odkrytych reliktów architektonicznych. Kreślili T. Balcerzak i C. Rysz

Abb. 4. Stargard, Altstadt, Quartier IX. Spuren der ältesten Besiedlung vor dem Hintergrund der rekonstruierten Parzellenteilung von 1724–1945 sowie entdeckte architektonische Relikte. Zeichnung T. Balcerzak und C. Rysz

Ryc. 5. Stargard, Stare Miasto, kwartał IX. Widok z wieży kolegiaty Mariackiej na miejsce badań archeologicznych w lipcu 2008 r. Fot. K. Kwiatkowski
Abb. 5. Stargard, Altstadt, Quartier IX. Blick vom Turm der Stiftskirche der heiligen Jungfrau Maria auf Standorte der archäologischen Arbeiten im Juli 2008. Fot. K. Kwiatkowski

Ryc. 6. Stargard, Stare Miasto, kwartał IX. Badania archeologiczne w części SE w maju 2008 r. Fot. K. Kwiatkowski
Abb. 6. Stargard, Altstadt, Quartier IX. Archäologische Grabungen in Teil SE im Mai 2008. Fot. K. Kwiatkowski

I

I. Sytuacja przestrzenno-stratygraficzna

Mateusz Szeremeta

W trakcie badań archeologiczno-architektonicznych prowadzonych na kwartale IX zarejestrowano kilka obiektów świadczących o najstarszych śladach osadnictwa na tym terenie, a związanych ze społecznością łużyckich pól popielnicowych[1]. Odkryto je w centralnej partii kwartału (ryc. 1–2). Najliczniejszą grupę stanowił kolejno wczesnośredniowieczny zespół grobowy uchwycony w środkowej oraz zachodniej części badanego obszaru (ryc. 3–4). Groby odsłonięte zostały na zapleczach historycznych parcel przy *Radestrasse* 27, 28, 29 (współczesna ul. Grodzka) oraz *Große Mühlenstrasse* 30, 32 (obecnie ul. Kazimierza Wielkiego). W późnośredniowiecznych i wczesnonowożytnych nawarstwieniach i obiektach zadokumentowanych na czternastu działkach (prawie połowie badanych) natrafiono na luźne kości ludzkie, pochodzące ze zniszczonych kontekstów grobowych. Łącznie zainwentaryzowano w nich 675 szczątków ludzkich, które zostaną włączone do kolejnych opracowań dotyczących kwartału IX. Do najstarszych śladów osadnictwa należą również niewielkie nawarstwienia i obiekty zlokalizowane w północno-wschodniej części kwartału, które powiązano z młodszymi fazami wczesnego średniowiecza (ryc. 1, 5).

Ślady osadnictwa ludności łużyckich pól popielnicowych

Obiekt 1, dawna parcela przy Radestrasse 28

Jednostka zarejestrowana w niewielkim zakresie w części SW dawnej działki. Kontynuację zaobserwowano w części NW dawnej parceli przy Große Mühlenstrasse 32 i w partii SW dawnej działki przy Große Mühlenstrasse 30 (ryc. 1–2, 6–7). Na planie płaskim obiekt przyjął łukowaty kształt. Wzdłuż jego krawędzi znajdowały się przepražone kamienie. Prawdopodobnie jest to szczątkowo zachowany relikt obiekt typu *cooking-pit*. Wypełnisko stanowił drobnoziarnisty szaro-żółty piasek. Strop zarejestrowany na poz. 28,08–27,98 m n.p.m., miąższość maks. obiektu 0,18 m.
Chronologia: V okres epoki brązu/okres halsztacki
Zawartość:
1. Ceramika: 214 fragm.

Obiekt 12, dawna parcela przy Radestrasse 28

Jednostka została uchwycona w NW części dawnej działki, przy SW narożniku *obiektu 7* (późnośredniowieczna latryna drewniana) (ryc. 1–2). Podczas eksploracji wkopu (*obiekt 7a*) natrafiono na rozszerzenie przy wyżej wymienionym narożniku. Miało ono kształt asymetryczny. Wypełniskiem był szarożółty, drobnoziarnisty piasek oraz żwir. Strop zaewidencjonowany na poziomie 28,12–28,10 m n.p.m., miąższość do 1,33 m.
Chronologia: V okres epoki brązu/okres halsztacki
Zawartość:
1. Ceramika: 21 686 fragm.
2. Kości zwierzęce: 10 fragm.

Obiekt 3, dawna parcela przy Große Mühlenstrasse 33

Uchwycony w części SW działki. W niewielkim zakresie zarejestrowany w partii NE parceli przy dawnej Radestrasse 26 i w części SE parceli przy dawnej Radestrasse 27. Obiekt o nieregularnym kształcie (ryc. 1–2, 8–9). Wypełnisko stanowiła ciemnoszara i brązowa próchnica. Strop zarejestrowany na poz. 28,31–28,11 m n.p.m., miąższość maks. 0,70 m.
Chronologia: V okres epoki brązu/okres halsztacki
Zawartość:
1. Ceramika: 441 fragm.
2. Kości zwierzęce: 115 fragm.

Cmentarzysko wczesnośredniowieczne

Grób 1, dawna parcela przy Große Mühlenstrasse 30

Jama o nieregularnym kształcie uchwycona w SW części dawnej działki (ryc. 10). Zachowany częściowo szkielet zorientowany był na osi NW–SE, z nieznacznym odchyleniem w stronę W i twarzą skierowaną w stronę NW. Jamę grobową o wym. maks. 1,65×0,4 m wypełniał drobnoziarnisty, żółty piasek wymieszany z jasnobrązową, spiaszczoną gliną. W centralnej części grobu uchwycono dół posłupowy w planie zbliżonym do kwadratu o dł. boku 0,15 m, który znacznie naruszył układ prawej kończyny dolnej. Strop zarejestrowany na poz. 27,35–27,07 m n.p.m., miąższość maks. 0,13 m.
Chronologia: 2. poł. XI–1. poł. XII w.[2]
Zawartość:
1. 376 fragm. kości ludzkich.

Grób 2, dawna parcela przy Große Mühlenstrasse 32

Obiekt na planie prostokąta zarejestrowany w NW dawnej działki (ryc. 11). Fragm. zachowany szkielet zorientowany był na osi NW–SE z twarzą skierowaną w stronę NW. Jamę grobową o wym. 1,24×0,3 m wypełniał drobnoziarnisty, żółty piasek wymieszany z pomarańczową gliną. Strop zarejestrowany na poz. 27,28–27,13 m n.p.m., miąższość maks. 0,2 m.
Chronologia: 2. poł. XI–1. poł. XII w.
Zawartość:
1. 26 fragm. kości ludzkich.
2. 1 dzwonek ze stopu miedzi.

[1] Najstarszym odkrytym zabytkiem jest pojedynczy przedmiot – siekiera kamienna, związana ze społeczeństwem okresu neolitu. Została ona zarejestrowana w późnośredniowiecznej latrynie (obiekt 6, parcela przy dawnej Radestrasse 30). W związku z tym, że narzędzie pozyskano w znacznie później datowanym obiekcie nie przedstawiono tutaj jego kontekstu odkrycia. Por. w tym tomie: M. Szeremeta, *Siekiera kamienna*.

[2] W świetle wyników analiz radiowęglowych pochówek przypadł najpóźniej na 1. poł. XI w. Por. w tym tomie: A. Janowski, *Cmentarzysko*.

ISBN 978-83-61456-34-6 Archeologia Stargardu T. V,1 – 2019
ISBN 978-83-7986-312-9

Grób 3, dawna parcela przy Radestrasse 27

Jama na planie prostokąta uchwycona w NE części dawnej działki (ryc. 12). Zachowany częściowo szkielet zorientowany był na osi W-E z twarzą skierowaną w stronę W. Jamę grobową o wym. maks. 1,60×0,6 m wypełniała jasnobrązowa, spiaszczona glina wymieszana brunatną próchnicą, która może wskazywać na obecność drewnianej trumny. Na całej pow. wkopu widoczne były również liczne soczewki pomarańczowej gliny. Strop zarejestrowany na poz. 28,04–27,92 m n.p.m., miąższość maks. 0,08 m.
Chronologia: 2. poł. XI–1. poł. XII w.
Zawartość:
1. 202 fragm. kości ludzkich.

Grób 4, dawna parcela przy Radestrasse 28

Obiekt o nieregularnym zarysie zbliżonym do wydłużonej elipsy zarejestrowany w SE dawnej działki (ryc. 13). Fragm. zachowany szkielet zorientowany był prawdopodobnie na osi W–E z twarzą skierowaną w stronę W. Jamę grobową o wym. 1,70×0,55 m wypełniał drobnoziarnisty, brązowy piasek z soczewkami pomarańczowej gliny. Strop zarejestrowany na poz. 28,21–28,12 m n.p.m., miąższość maks. 0,23 m.
Chronologia: 2. poł. XI–1. poł. XII w.
Zawartość:
1. 4 fragm. kości ludzkich.

Grób 5, dawna parcela przy Radestrasse 28

Jednostka na planie wydłużonej elipsy, uchwycona w NW części dawnej działki (ryc. 14). Zachowany prawie kompletny szkielet zorientowany był na osi W-E z lekkim odchyleniem w stronę N i twarzą skierowaną w stronę E. Jamę grobową o wym. 1,95×0,75 m wypełniał brązowo-szary piasek. Strop zarejestrowany na poz. 27,52–27,44 m n.p.m., miąższość maks. 0,11 m.
Chronologia: 2. poł. XI–1. poł. XII w.[3]
Zawartość:
1. 228 fragm. kości ludzkich.

Grób 6, dawna parcela przy Radestrasse 28

Owalny w planie obiekt zarejestrowany w NW dawnej działki (ryc. 14), od strony W w bezpośrednim sąsiedztwie *grobu 5*. Fragm. zachowane części szkieletu oraz jego niespójny układ utrudnia określenie pierwotnej orientacji pochówku. Jamę grobową wypełniał drobnoziarnisty, brązowy piasek. Strop zarejestrowany na poz. 27,65–27,64 m n.p.m., miąższość maks. 0,07 m.
Chronologia: 2. poł. XI–1. poł. XII w.
Zawartość:
1. 133 fragm. kości ludzkich.

Grób 7, dawna parcela przy Radestrasse 28

Jednostka na planie owalu, uchwycona w NW części dawnej działki (ryc. 15). Zachowany szczątkowo szkielet zorientowany był na osi W-E, co przypuszczać można po uchwyconej smudze zbutwiałego drewna o dł. 1,5 m – pozostałości po trumnie. Jamę grobową o wym. 2,50×1,15 m wypełniał jasnobrązowy i szary piasek. Strop zarejestrowany na poz. 27,72–27,60 m n.p.m., miąższość maks. 0,25 m.
Chronologia: 2. poł. XI–1. poł. XII w.
Zawartość:
1. Ceramika: 1 fragm. wczesnośredniowieczny.
2. 122 fragm. kości ludzkich.

Grób 8, dawna parcela przy Radestrasse 28

Obiekt o nieregularnym planie, zbliżonym do prostokąta, zarejestrowany w części W dawnej działki (ryc. 16). Zachowany niemal kompletnie szkielet zorientowany został na osi W–E z twarzą zwróconą w stronę W. Jamę grobową o wym. maks. 1,55×0,80 m wypełniał drobnoziarnisty, brązowy i szary piasek. Strop zarejestrowany na poz. 27,65–27,56 m n.p.m., miąższość maks. 0,17 m.
Chronologia: 2. poł. XI–1. poł. XII w.
Zawartość:
1. 315 fragm. kości ludzkich.
2. 1 skórzana pochewka z nitami.

Grób 9, dawna parcela przy Radestrasse 28

Jednostka na planie prostokąta, uchwycona w części W części dawnej działki (ryc. 17). Zachowany prawie kompletnie szkielet zorientowany był na osi W-E z lekkim odchyleniem w stronę S i twarzą zwróconą w stronę E. W okolicy stóp zaobserwowano niewielkie ślady po drewnianej trumnie. Jamę grobową o wym. 1,85×0,40 m wypełniał szaro-żółty szary piasek z nieznaczną ilością pomarańczowej gliny. Strop zarejestrowany na poz. 27,72–27,60 m n.p.m., miąższość maks. 0,20 m
Chronologia: 2. poł. XI–1. poł. XII w.
Zawartość:
1. 365 fragm. kości ludzkich.

Grób 10, dawna parcela przy Radestrasse 27

Obiekt o nieregularnym planie, zbliżonym do elipsy, zarejestrowany w środkowej części dawnej działki (ryc. 18), w sąsiedztwie *grobu 11*. Zachowany częściowo szkielet zorientowany został na osi NW–SE z nieznaczonym odchyleniem w stronę W i twarzą zwróconą w stronę N. Brak wyraźnie zaznaczonej jamy grobowej, szkielet zaobserwowano w warstwie żółtego, drobnoziarnistego piasku z niewielkimi śladami spalenizny. Strop zarejestrowany na poz. 28,03–28,02 m n.p.m., miąższość maks. 0,11 m.
Chronologia: 2. poł. XI–1. poł. XII w.
Zawartość:
1. 58 fragm. kości ludzkich.

Grób 11, dawna parcela przy Radestrasse 27

Jednostka uchwycona w środkowej części dawnej działki. Zachowany szczątkowo szkielet zorientowany był na osi NW–SE, co przypuszczać można po uchwyconej smudze zbutwiałego drewna – pozostałości po trumnie (ryc. 18). Brak wyraźnie zaznaczonej jamy grobowej, szkielet zaobserwowano w warstwie żółtego, drobnoziarnistego piasku z niewielką ilością brunatnej próchnicy. Strop zarejestrowany na poz. 28,04 m n.p.m., miąższość maks. 0,15 m.
Chronologia: 2. poł. XI–1. poł. XII w.

[3] W świetle wyników analiz radiowęglowych pochówek przypadł najpóźniej na 1. poł. XI w. Por. w tym tomie: A. Janowski, *Cmentarzysko*.

Zawartość:
1. 78 fragm. kości ludzkich.

Grób 12, dawna parcela przy Radestrasse 27

Obiekt o nieregularnym planie, zarejestrowany w części środkowej dawnej działki (ryc. 18), w sąsiedztwie *grobu 11*. Wypełnienie stanowiło skupisko luźnych kości. Brak wyraźnie zaznaczonej jamy grobowej, szkielet zaobserwowano w warstwie żółtego, drobnoziarnistego piasku. Strop zarejestrowany na poz. 28,06–27,99 m n.p.m., miąższość maks. 0,20 m.
Chronologia: 2. poł. XI–1. poł. XII w.
Zawartość:
1. 88 fragm. kości ludzkich.

Grób 13, dawna parcela przy Radestrasse 27

Jednostka uchwycona w części środkowej dawnej działki. Brak wyraźnie zaznaczonej jamy grobowej, kości w luźnym ułożeniu zaobserwowano w warstwie żółtego, drobnoziarnistego piasku (ryc. 18). Strop zarejestrowany na poz. 27,99–27,93 m n.p.m., miąższość maks. 0,12 m.
Chronologia: 2. poł. XI–1. poł. XII w.
Zawartość:
1. Ceramika: 3 fragm. wczesnośredniowieczne; 2 fragm. ceramiki siwej.
2. 27 fragm. kości ludzkich.

Grób 14, dawna parcela przy Radestrasse 27

Obiekt na planie prostokąta o wym. 1,90×0,55 m, zarejestrowany w środkowej partii części N dawnej działki (ryc. 18), w sąsiedztwie *grobu 13*. Dobrze widoczna jama grobowa zorientowana na osi NW–SE, w części S z czytelnie zarysowanym pasmem zbutwiałego drewna – pozostałości po trumnie. Szkielet zachowany w bardzo dobrym stanie. Wypełnisko grobu stanowił jasnobrązowy piasek, brunatna próchnica oraz drobnoziarnisty, żółty piasek. Pochówek częściowo przykryty był murem oficyny, jednak po jego zniwelowaniu zaewidencjonowano pozostałą drugą część jednostki. Strop zarejestrowany na poz. 27,78–27,72 m n.p.m., miąższość maks. 0,28 m.
Chronologia: 2. poł. XI–1. poł. XII w.[4]
Zawartość:
1. 244 fragm. kości ludzkich.
2. 1 fragm. noża żelaznego.

Grób 15, dawna parcela przy Radestrasse 27

Pochówek zarejestrowany fragm. w środkowej części dawnej działki (ryc. 18). Brak wyraźnie zaznaczonej jamy grobowej, kości w luźnym ułożeniu zaobserwowano w warstwie żółtego, drobnoziarnistego piasku z niewielką ilością spalenizny. Strop zarejestrowany na poz. 28,05 m n.p.m., miąższość maks. 0,18 m.
Chronologia: 2. poł. XI–1. poł. XII w.
Zawartość:
1. Ceramika: 1 fragm. ceramiki siwej.
2. 60 fragm. kości ludzkich.

Grób 16, dawna parcela przy Radestrasse 27

Jednostka uchwycona w środkowej partii części N dawnej działki. Brak wyraźnie zaznaczonej jamy grobowej, kości w luźnym ułożeniu zaobserwowano w warstwie żółtego, drobnoziarnistego piasku (ryc. 18). Strop zarejestrowany na poz. 28,11 m n.p.m., miąższość maks. 0,20 m.
Chronologia: 2. poł. XI–1. poł. XII w.
Zawartość:
1. Ceramika: 2 fragm. wczesnośredniowieczne; 1 fragm. ceramiki siwej.
2. 194 fragm. kości ludzkich.

Grób 17, dawna parcela przy Radestrasse 27

Pochówek zachowany częściowo w środkowej partii części N dawnej działki. Brak wyraźnie zaznaczonej jamy grobowej, kości w luźnym ułożeniu zaobserwowano w warstwie żółtego, drobnoziarnistego piasku (ryc. 18). Pochówek zorientowany był na osi N–S, z lekkim odchyleniem w stronę W. Strop zarejestrowany na poz. 27,93–27,86 m n.p.m., miąższość maks. 0,15 m.
Chronologia: 2. poł. XI–1. poł. XII w.
Zawartość:
1. Ceramika: 7 fragm. wczesnośredniowiecznych.
2. 323 fragm. kości ludzkich.

Grób 18, dawna parcela przy Radestrasse 27

Obiekt uchwycony w środkowej partii części N dawnej parceli. Kości w luźnym ułożeniu zaobserwowano w warstwie żółtego, drobnoziarnistego piasku – brak wyraźnego zarysu jamy grobowej, co dodatkowo uniemożliwia określenie orientacji pochówku (ryc. 18). Strop zarejestrowany na poz. 28,05–28,03 m n.p.m., miąższość maks. 0,19 m.
Chronologia: 2. poł. XI–1. poł. XII w.
Zawartość:
1. 56 fragm. kości ludzkich.

Grób 19, dawna parcela przy Radestrasse 27

Pochówek zachowany częściowo w środkowej partii części N dawnej parceli. Brak wyraźnie zaznaczonej jamy grobowej, kości w luźnym ułożeniu zaobserwowano w warstwie żółtego, drobnoziarnistego piasku (ryc. 18). Szkielet zorientowany był na osi NE–SW z twarzą zwróconą w stronę SW. Strop zarejestrowany na poz. 28,03–27,93 m n.p.m., miąższość maks. 0,16 m.
Chronologia: 2. poł. XI–1. poł. XII w.
Zawartość:
1. Ceramika: 3 fragm. wczesnośredniowieczne.
2. 295 fragm. kości ludzkich.
3. 1 łańcuszek ze stopu miedzi.

Grób 20, dawna parcela przy Radestrasse 27

Jednostka uchwycona w środkowej partii części N dawnej parceli, przy granicy z dawną parcelą przy Radestrasse 28. Brak wyraźnie zaznaczonej jamy grobowej, a niepełny zespół szczątków kostnych w luźnym ułożeniu zaobserwowano w warstwie żółtego i szarego, drobnoziarnistego piasku (ryc. 18). Strop zarejestrowany na poz. 28,08–27,90 m n.p.m., miąższość maks. 0,23 m.
Chronologia: 2 poł. XI–1 poł. XII w.
Zawartość:
1. Ceramika: 16 fragm. wczesnośredniowiecznych.

[4] W świetle wyników analiz radiowęglowych pochówek przypadł najpóźniej na 1. poł. XI w. Por. w tym tomie: A. Janowski, *Cmentarzysko*.

2. 103 fragm. kości ludzkich.
3. 1 nóż żelazny.

Grób 21, dawna parcela przy Radestrasse 27

Obiekt o wym. 1,50×0,70 m na planie zbliżonym do prostokąta, uchwycony w części środkowej dawnej działki. We wkopie wyraźnie rysował się ślad po drewnianej trumnie o wym. 1,20×0,45 m i orientacji na osi NW–SE z twarzą zwróconą w stronę NW (ryc. 19). Wypełnisko jamy grobowej stanowił jasnobrązowy piasek wymieszany z brunatną próchnica z niewielkim soczewkami pomarańczowej gliny i spalenizny. Na kościach zaobserwowano niewielkie fragm. zbutwiałego drewna – pozostałości po trumnie. Strop zarejestrowany na poz. 27,80–27,68 m n.p.m., miąższość maks. 0,21 m.
Chronologia: 2. poł. XI–1. poł. XII w.
Zawartość:
1. Ceramika: 2 fragm. wczesnośredniowieczne.
2. 115 fragm. kości ludzkich.

Grób 22, dawna parcela przy Radestrasse 27

Jednostka uchwycona w części środkowej dawnej działki. Jama grobowa o wym. 0,55×0,20 m, na planie prostokąta, wypełniona była brązowym piaskiem (ryc. 19). Pochówek zorientowany został na osi NW–SE z twarzą zwróconą w stronę NW. Strop zarejestrowany na poz. 27,87–27,80 m n.p.m., miąższość maks. 0,11 m.
Chronologia: 2. poł. XI–1. poł. XII w.
Zawartość:
1. Ceramika: 1 fragm.
2. 15 fragm. kości ludzkich.

Grób 23, dawna parcela przy Radestrasse 27

Pochówek zachowany niemal kompletnie, w części NE dawnej działki, przy granicy dawnej parceli przy Radestrasse 28. Obiekt o wym. 1,60×0,45 m przyjął plan wydłużonej elipsy (ryc. 20). Grób zorientowany był na osi NE–SW z twarzą zwróconą w stronę NE. Wypełnisko grobu stanowił brązowy piasek z niewielką ilością soczewek pomarańczowej gliny. Strop zarejestrowany na poz. 27,68–27,59 m n.p.m., miąższość maks. 0,39 m.
Chronologia: 2. poł. XI–1. poł. XII w.[5]
Zawartość:
1. Ceramika: 2 fragm. wczesnośredniowieczne.
2. 286 fragm. kości ludzkich.

Grób 24, dawna parcela przy Radestrasse 27

Zachowany fragm. pochówek o nieregularnym planie i wym. maks. 0,95×0,40 m zaobserwowany w środkowej partii części N dawnej działki, przy granicy dawnej parceli przy Radestrasse 28. Zachowane szczątki wskazują na pierwotną orientację ciała na osi E–W. Wypełnisko jamy grobowej stanowił brązowo-żółty piasek. W części S zarejestrowano niewielką pozostałość po drewnianej trumnie (ryc. 21). Strop zaewidencjonowany na poz. 28,01–27,96 m n.p.m., miąższość maks. 0,10 m.
Chronologia: 2. poł. XI–1. poł. XII w.
Zawartość:
1. 8 fragm. kości ludzkich.
2. 1 zapięcie ze stopu miedzi.

Grób 25, dawna parcela przy Radestrasse 28/ Radestrasse 29

Pochówek prawie kompletny, z dobrze widoczną jamą grobową w planie zbliżonym do prostokąta o wym. maks. 2,10×0,70 m, uchwycony na granicy historycznych parcel, środkowej partii części N dawnej działki przy Radestrasse 18 i środkowego odcinka części S dawnej działki przy Radestrasse 29 (ryc. 22). Grób zorientowany został na osi NW–SE z twarzą skierowaną w stronę S. Wypełnisko jamy grobowej stanowił brązowo-żółty piasek. Strop zarejestrowany na poz. 27,22–27,10 m n.p.m., miąższość maks. 0,23 m.
Chronologia: 2. poł. XI–1. poł. XII w.[6]
Zawartość:
1. 223 fragm. kości ludzkich.

Grób 26, dawna parcela przy Radestrasse 29

Jednostka z wyraźnie widocznym śladem po drewnianej trumnie o wym. 0,90×0,25 m i prostokątnym planie (ryc. 23, 25). Pochówek zachowany w dobrym stanie zaobserwowano w części SW dawnej działki. Szkielet zorientowany został na osi NW–SE z lekkim odchyleniem w stronę S i twarzą skierowaną w stronę E. Wypełnisko jamy stanowił jasnobrązowy piasek przemieszany z pomarańczową gliną. Wkop zniszczył *grób 30*. Strop zarejestrowany na poz. 27,67–27,60 m n.p.m., miąższość maks. 0,16 m.
Chronologia: 2. poł. XI–1. poł. XII w.
Zawartość:
1. 356 fragm. kości ludzkich.

Grób 27, dawna parcela przy Radestrasse 29

Pochówek zarejestrowany w części SW dawnej działki. Owalna jama zawierająca zachowany szczątkowo szkielet, na planie płaskim o wym. 0,75×0,40 m zorientowana była na osi N–S (ryc. 23). Wypełnisko jamy stanowił jasnobrązowy piasek przemieszany z pomarańczową gliną. Strop zarejestrowany na poz. 27,63–27,61 m n.p.m., miąższość maks. 0,16 m.
Chronologia: 2. poł. XI–1. poł. XII w.[7]
Zawartość:
1. 175 fragm. kości ludzkich.
2. 1 moneta: naśladownictwo anonimowego denara nadłabskiego.

Grób 28, dawna parcela przy Radestrasse 29

Obiekt zarejestrowany w części SW dawnej działki, w postaci fragm. zachowanego szkieletu z szczątkowo zarysowanej jamie grobowej o wypełnisku, na które składał się brązowy piasek z niewielką ilością soczewek z pomarańczowej gliny (ryc. 23). Pochówek zorientowany był na osi

[5] W świetle wyników analiz radiowęglowych pochówek przypadł na okres 2. poł. X–poł. XII w. Por. w tym tomie: A. Janowski, *Cmentarzysko*.

[6] W świetle wyników analiz radiowęglowych pochówek przypadł na okres 2. poł. XI–poł. XII w. Por. w tym tomie: A. Janowski, *Cmentarzysko*.

[7] Na podstawie znalezionej w grobie monety chronologia została zawężona do okresu 4. ćw. XI–2. poł. XII w. Por. w tym tomie: A. Janowski, *Cmentarzysko*.

E–W. Strop zarejestrowany na poz. 27,49–27,45 m n.p.m., miąższość maks. 0,09 m.
Chronologia: 2. poł. XI–1. poł. XII w.[8]
Zawartość:
1. 79 fragm. kości ludzkich.

Grób 29, dawna parcela przy Radestrasse 29

Jednostka uchwycona w partii środkowej części W dawnej działki (ryc. 24). Zachowany szczątkowo szkielet zorientowany był na osi NW–SE, a jama grobowa o wypełnisku drobnoziarnistym jasnobrązowym piaskiem miał wym. maks. 0,67×0,60 m. Strop zarejestrowany na poz. 26,95–26,73 m n.p.m., miąższość maks. 0,30 m.
Chronologia: 2. poł. XI–1. poł. XII w.
Zawartość:
1. 143 fragm. kości ludzkich.

Grób 30, dawna parcela przy Radestrasse 29

Obiekt na planie trapezu równoramiennego o wym. maks. 1,45×1,15 m, uchwycony w SW części dawnej działki. Zachowany szczątkowo szkielet zorientowany był pierwotnie na osi zbliżonej do N–S (ryc. 25). Dolne partie szkieletu zostały zniszczone przez *grób 26*. Wypełnisko pochówku stanowił brązowy piasek z soczewkami pomarańczowej gliny. Strop zarejestrowany na poz. 27,59–27,54 m n.p.m., miąższość maks. 0,14 m.
Chronologia: 2. poł. XI–1. poł. XII w.
Zawartość:
1. 139 fragm. kości ludzkich.

Grób 31, dawna parcela przy Radestrasse 29

Pochówek zachowany fragm. w części SW dawnej działki. Szkielet zorientowany na osi E-W z lekkim odchyleniem w stronę E. Wokół kości zaobserwowano zarys jamy grobowej o szer. 0,35 m i wypełnisku z brązowego piasku z niewielkimi soczewkami pomarańczowej gliny (ryc. 25). Strop zarejestrowany na poz. 27,55–27,50 m n.p.m., miąższość maks. 0,08 m.
Chronologia: 2. poł. XI–1. poł. XII w.
Zawartość:
1. 142 fragm. kości ludzkich.

Grób 32, dawna parcela przy Große Mühlenstrasse 30

Jednostka uchwycona w części SW dawnej działki, na granicy z parcelą przy Große Mühlenstrasse 32. Brak wyraźnie zaznaczonej jamy grobowej, a niepełny zespół szczątków kostnych w luźnym ułożeniu zaobserwowano w warstwie żółtego i szarego, drobnoziarnistego piasku. Biorąc pod uwagę układ anatomiczny kończyny górnej należy przypuszczać, że pochówek pierwotnie zorientowany był na osi NW–SE (ryc. 26). Strop zarejestrowany na poz. 27,36–27,19 m n.p.m., miąższość maks. 0,27 m.
Chronologia: 2. poł. XI–1. poł. XII w.
Zawartość:
1. 50 fragm. kości ludzkich.

[8] W świetle wyników analiz radiowęglowych pochówek może pochodzić nawet z 1. poł. XIII w. Por. w tym tomie: A. Janowski, *Cmentarzysko*.

Ślady osadnictwa wczesnośredniowiecznego

Warstwa B, dawna parcela przy Johannisstrasse 17

Zarejestrowana w SE części działki, przy granicy z dawną parcelą przy Große Mühlenstrasse 27, poniżej reliktów zabudowy mieszkalnej i gospodarczej tylnej partii parceli. Zachowany fragment najstarszego zespołu nawarstwień kulturowych (ryc. 1, 5, 27–28). W jego skład wchodziła utworzona bezpośrednio nad calcem przemyta warstwa z szarą próchnicą i brązowawym, drobnym piaskiem. Powyżej ciemnoszara próchnica ze znaczną ilością spalenizny i brązowego piasku (*warstwa B*). Całość zamykała niwelacyjną warstwą wapna z odłożoną na jego powierzchni jasnoszarą próchnicą z soczewkami pomarańczowej gliny i spalenizny oraz ze śladami wapna (*warstwa A*), która powstała już w okresie późnego średniowiecza. Podobnie datowany był lejkowaty wkop o średn. 0,4 m, przechodzący przez *warstwę A* i częściowo *warstwę B* (*obiekt 4*), wypełniony spalenizną, ciemnoszarym i brązowym drobnym piasek oraz śladami wapna. Do tego zespołu należał również *obiekt 5 i 5a*. Strop *warstwy B* zarejestrowany na poz. 25,06–24,90 m n.p.m., miąższość maks. 0,41 m.
Chronologia: k. XI–1. poł. XII w.
Zawartość:
1. Ceramika: 110 fragm. wczesnośredniowiecznych; 1 fragm. ceramiki siwej.

Obiekt 2, dawna parcela przy Johannisstrasse 17

Zarejestrowany w części S dawnej działki. Częściowo pod S ścianą fundamentową tylnego traktu dawnego budynku szkolnego. Zachowany fragmentarycznie obiekt orientowany na osi N–S, na planie zbliżonym do okręgu, w najdłuższym miejscu o dł. 1,70 m. W profilu tworzył jamę opadającą ku części E, o dł. 1,70 m, (ryc. 1, 5, 29–33). Wypełnisko obiektu stanowiła ciemnoszara glina przemieszana ze znaczną ilością spalenizny, pomarańczowo-szarej gliny oraz brunatnej próchnicy. Zniszczony przez *obiekt 3*. Strop zarejestrowany na poz. 23,81–23,69 m n.p.m., miąższość maks. 0,80 m.
Chronologia: k. XI–1. poł. XII w.
Zawartość:
1. Ceramika: 189 fragm. wczesnośredniowiecznych.
2. 462 fragm. kości zwierzęcych.
3. 2 nieokreślone przedmioty ze stopu miedzi.

Obiekt 3, dawna parcela przy Johannisstrasse 17

Na planie płaskim w kształcie koła o śr. 1,70 m zaobserwowany w części S dawnej działki. Częściowo pod S ścianą fundamentową tylnego traktu dawnego budynku szkolnego. W profilu nieckowaty (ryc. 1, 5, 29–33). Zniszczył *obiekt 2*. Wypełnisko stanowił ciemnoszary piasek przemieszany ze znaczną ilością spalenizny oraz soczewkami z drobnoziarnistego, żółtego piasku. Strop zarejestrowany na poz. 23,81–23,75 m n.p.m., miąższość maks. 1,40 m.
Chronologia: k. XI–1. poł. XII w.
Zawartość:

1. Ceramika: 89 fragm. wczesnośredniowiecznych.
2. 327 fragm. kości zwierzęcych.
3. 1 przęślik gliniany.

mgr Mateusz Szeremeta
Dział Archeologii
Muzeum Archeologiczno-Historyczne
Rynek Staromiejski 2–4
73-110 Stargard
m.szeremeta@muzeum-stargard.pl

Ryc. 1. Stargard, Stare Miasto, kwartał IX. Nawarstwienia i obiekty związane z osadnictwem ludności łużyckich pól popielnicowych i okresem wczesnego średniowiecza w kontekście historycznych granic parcel. Oprac. M. Szeremeta

Abb. 1. Stargard, Altstadt, Quartier IX. Mit der Lausitzer Urnenfelderkultur und dem Frühmittelalter verbundene Schichten und Befunde im Kontext der historischen Parzellengrenzen. Bearb. M. Szeremeta

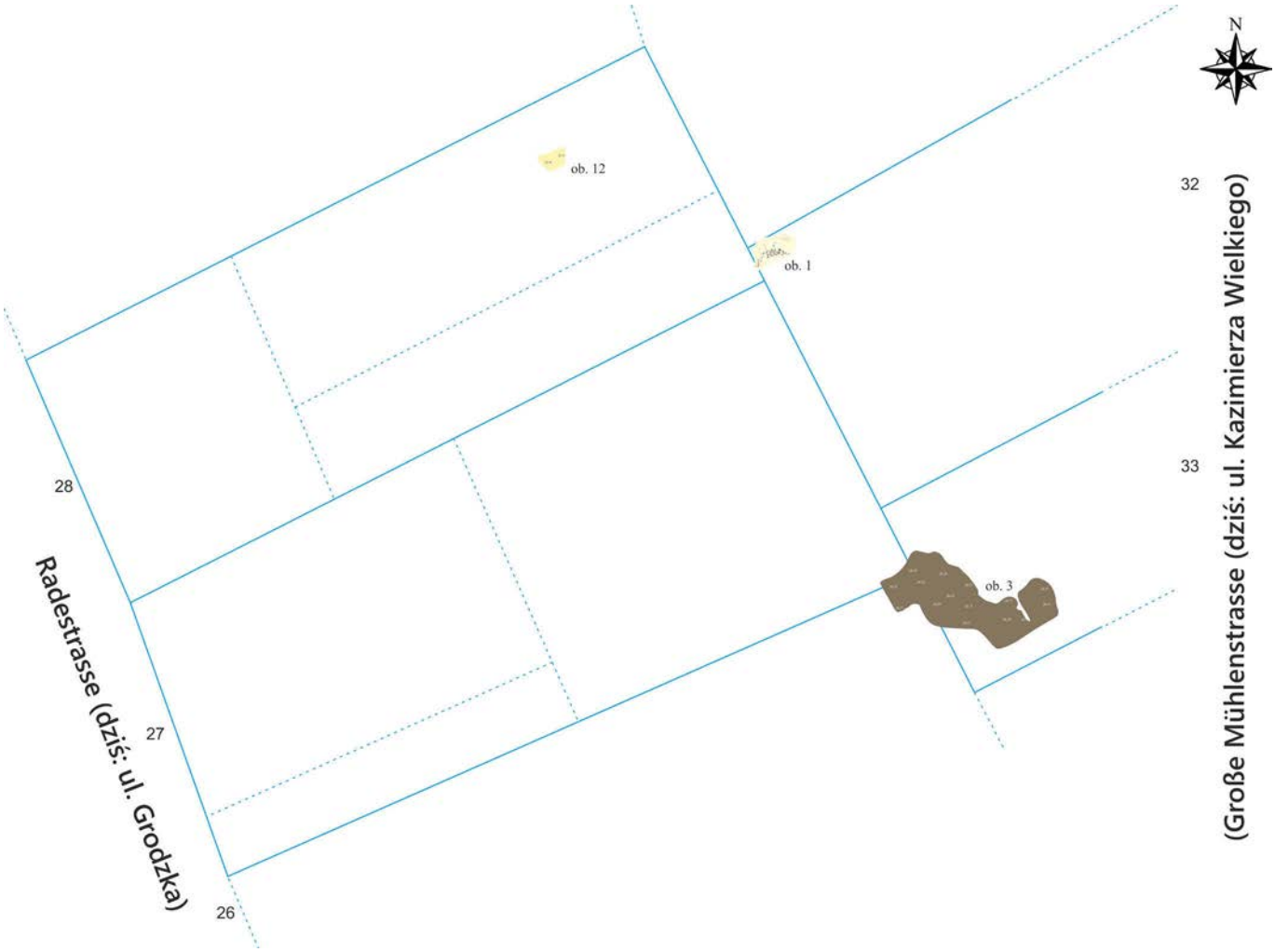

Ryc. 2. Stargard, Stare Miasto, kwartał IX. Obiekty związane z osadnictwem ludności łużyckich pól popielnicowych w kontekście historycznych granic parcel. Oprac. M. Szeremeta

Abb. 2. Stargard, Altstadt, Quartier IX. Mit der Lausitzer Urnenfelderkultur verbundene Schichten im Kontext der historischen Parzellengrenzen. Bearb. M. Szeremeta

Ryc. 3. Stargard, Stare Miasto, kwartał IX. Wczesnośredniowieczne cmentarzysko w kontekście reliktów historycznej zabudowy i granic parcel. Rys. T. Balcerzak, kreślił C. Rysz, oprac. M. Szeremeta

Abb. 3. Stargard, Altstadt, Quartier IX. Frühmittelalterliches Gräberfeld im Kontext der historischen Baurelikte und Parzellengrenzen. Abb. T. Balcerzak, Zeichnung C. Rysz, Bearb. M. Szeremeta

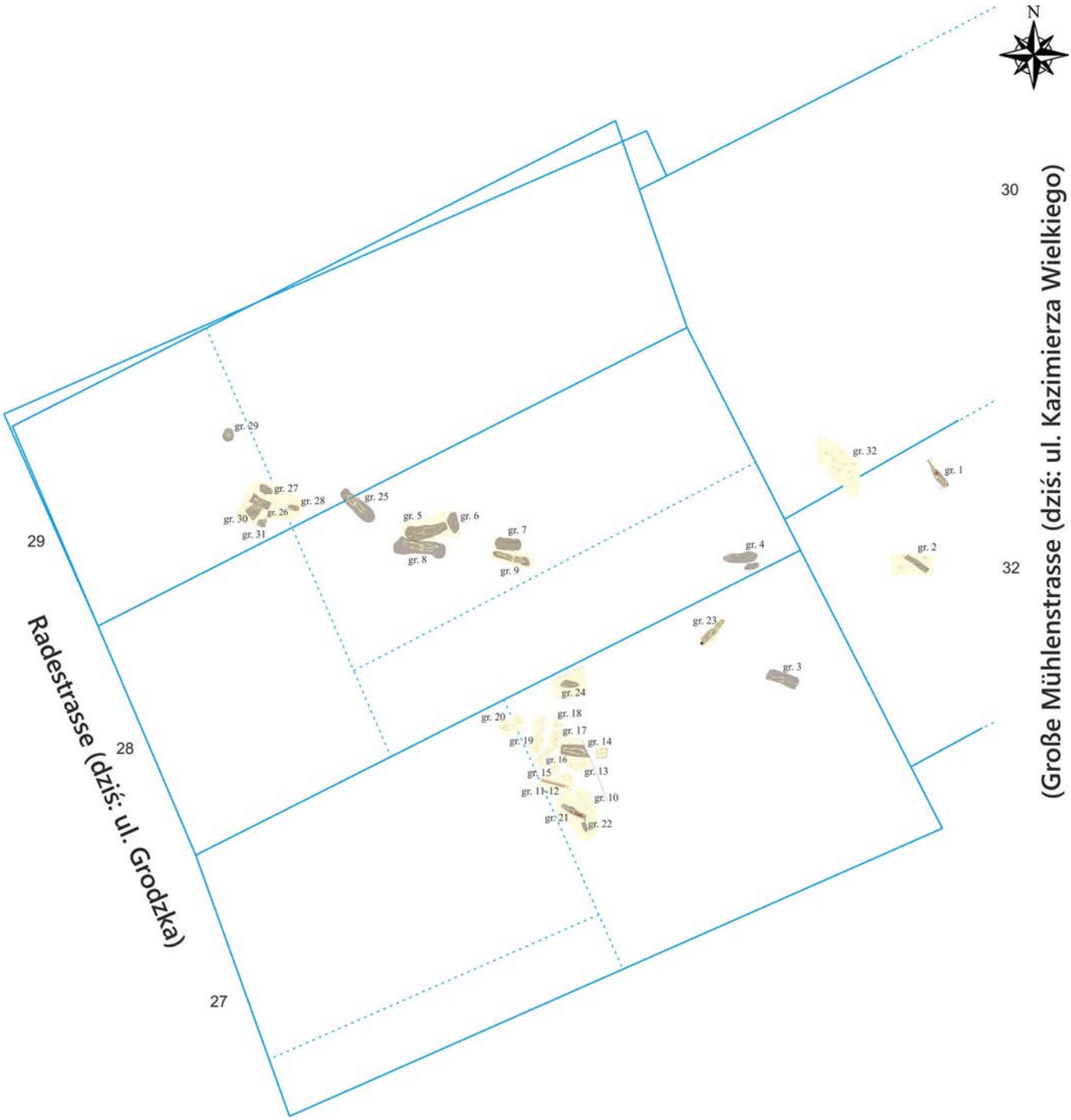

Ryc. 4. Stargard, Stare Miasto, kwartał IX. Wczesnośredniowieczne cmentarzysko w kontekście historycznych granic parcel. Rys. T. Balcerzak, kreślił C. Rysz, oprac. M. Szeremeta

Abb. 4. Stargard, Altstadt, Quartier IX. Frühmittelalterliches Gräberfeld im Kontext der historischen Parzellengrenzen. Abb. T. Balcerzak, Zeichnung C. Rysz, Bearb. M. Szeremeta

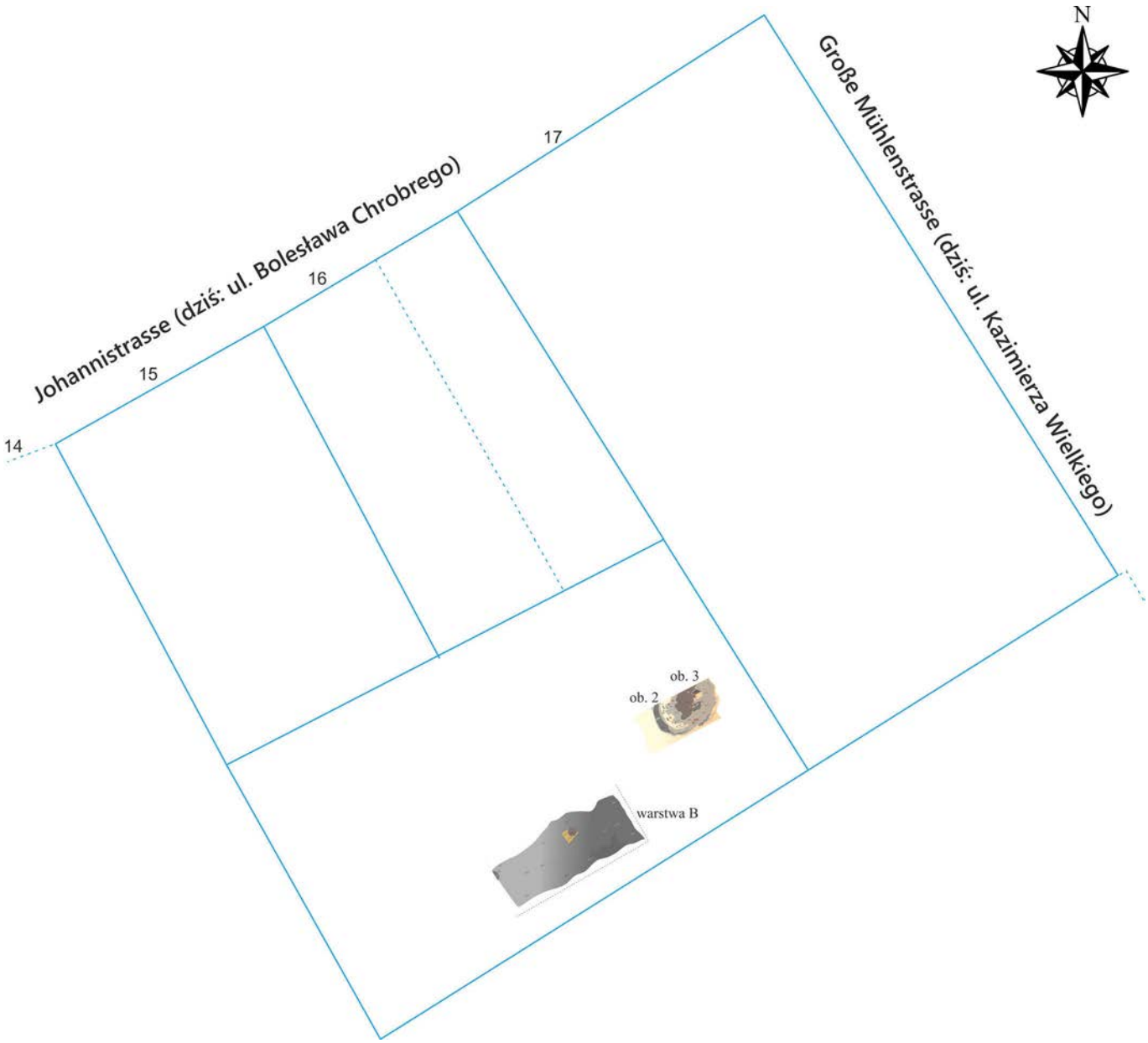

Ryc. 5. Stargard, Stare Miasto, kwartał IX. Nawarstwienia i obiekty osadnicze związane z okresem wczesnego średniowiecza w kontekście historycznych granic parcel. Oprac. M. Szeremeta

Abb. 5. Stargard, Altstadt, Quartier IX. Mit dem Frühmittelalter verbundene Schichten und Befunde im Kontext der historischen Parzellengrenzen. Bearb. M. Szeremeta

Ryc. 6. Stargard, Stare Miasto, kwartał IX, dawna parcela przy Radestrasse 28. Obiekt 1. Fot. K. Kwiatkowski
Abb. 6. Stargard, Altstadt, Quartier IX, ehemalige Parzelle in der Radestraße 28. Befund 1. Fot. K. Kwiatkowski

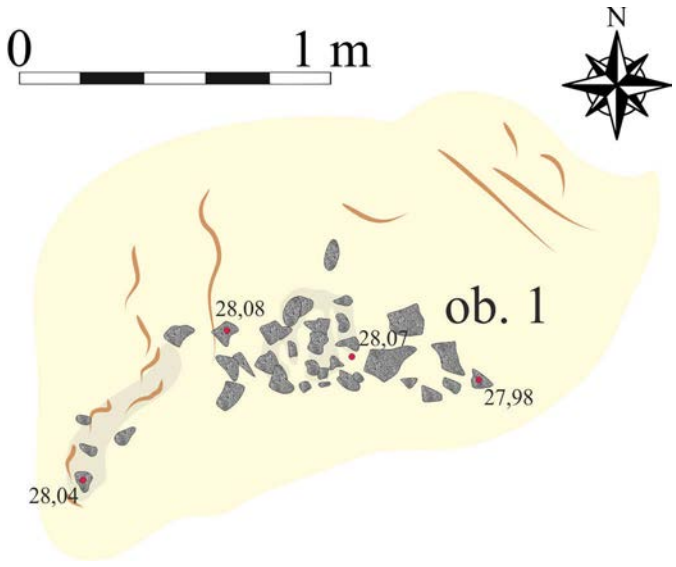

Ryc. 7. Stargard, Stare Miasto, kwartał IX, dawna parcela przy Radestrasse 28. Obiekt 1. Rys. K. Kwiatkowski, oprac. M. Szeremeta
Abb. 7. Stargard, Altstadt, Quartier IX, ehemalige Parzelle in der Radestraße 28. Befund 1. Abb. K. Kwiatkowski, Bearb. M. Szeremeta

Ryc. 8. Stargard, Stare Miasto, kwartał IX, dawna parcela przy Große Mühlenstrasse 33. Obiekt 3. Fot. K. Kwiatkowski
Abb. 8. Stargard, Altstadt, Quartier IX, ehemalige Parzelle in der Großen Mühlenstraße 33. Befund 3. Fot. K. Kwiatkowski

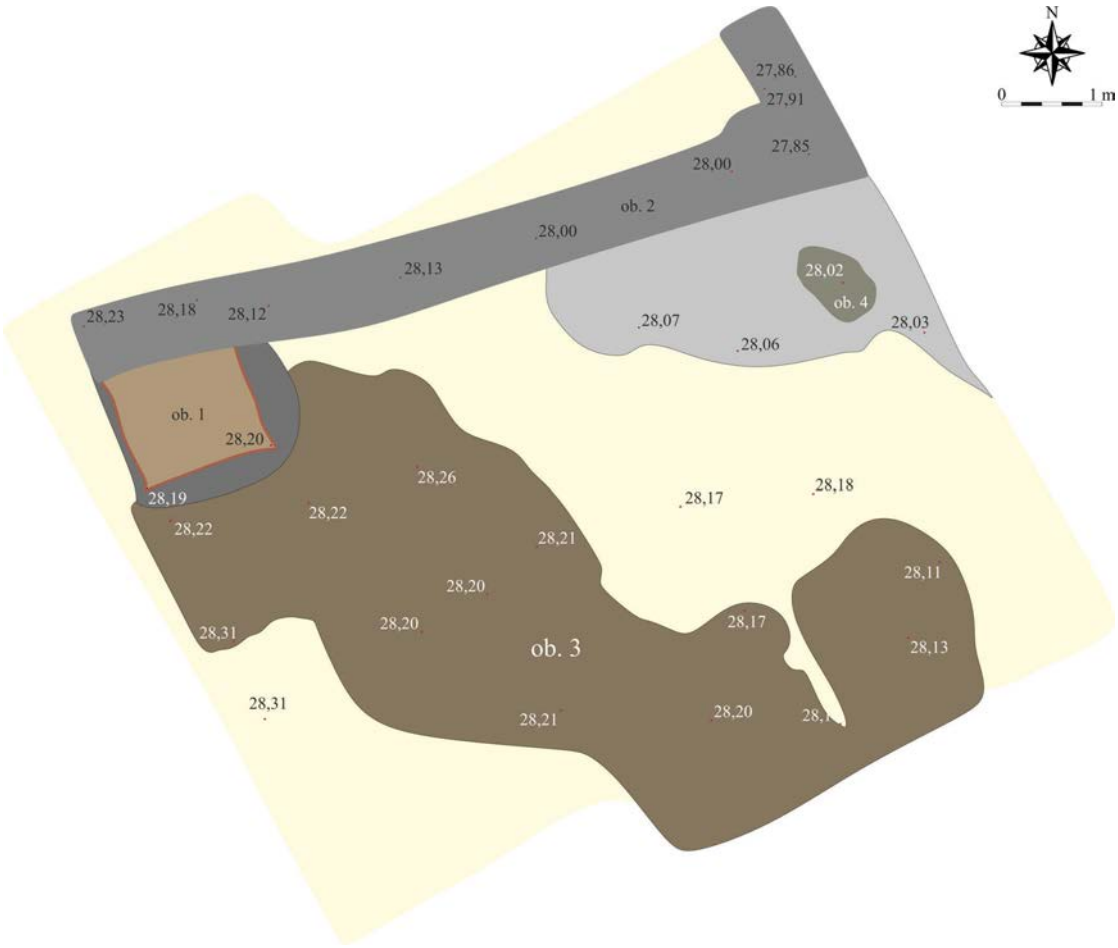

Ryc. 9. Stargard, Stare Miasto, kwartał IX, dawna parcela przy Große Mühlenstrasse 33. Obiekt 3 w kontekście późnośredniowiecznego i nowożytnego zagospodarowania działek przy Radestrasse 26-27 i Große Mühlenstrasse 33. Rys. A. Czarniawski, oprac. M. Szeremeta
Abb. 9. Stargard, Altstadt, Quartier IX, ehemalige Parzelle in der Großen Mühlenstraße 33. Befund 3 im Kontext der spätmittelalterlichen und neuzeitlichen Bebauung der Grundstücke in der Radestraße 26–27 und der Großen Mühlenstraße 33. Abb. A. Czarniawski, Bearb. M. Szeremeta

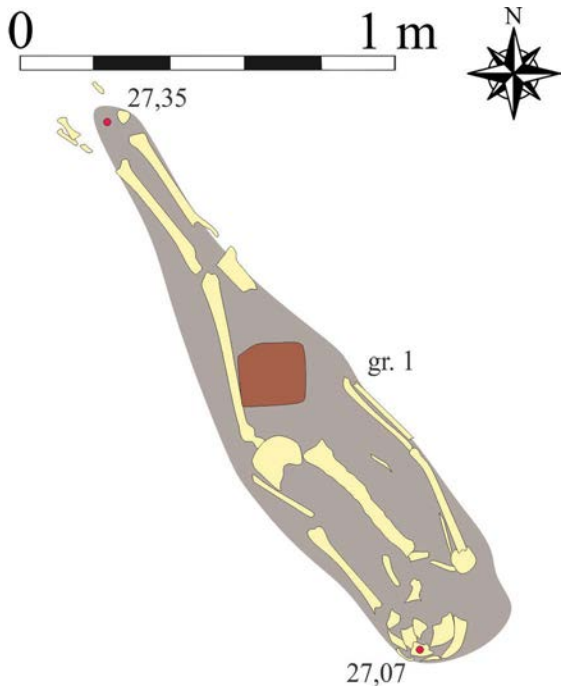

Ryc. 10. Stargard, Stare Miasto, kwartał IX, dawna parcela przy Große Mühlenstrasse 30. Grób 1. Rys. i oprac. M. Szeremeta
Abb. 10. Stargard, Altstadt, Quartier IX, ehemalige Parzelle in der Großen Mühlenstraße 30. Grab 1. Abb. u. Bearb. M. Szeremeta

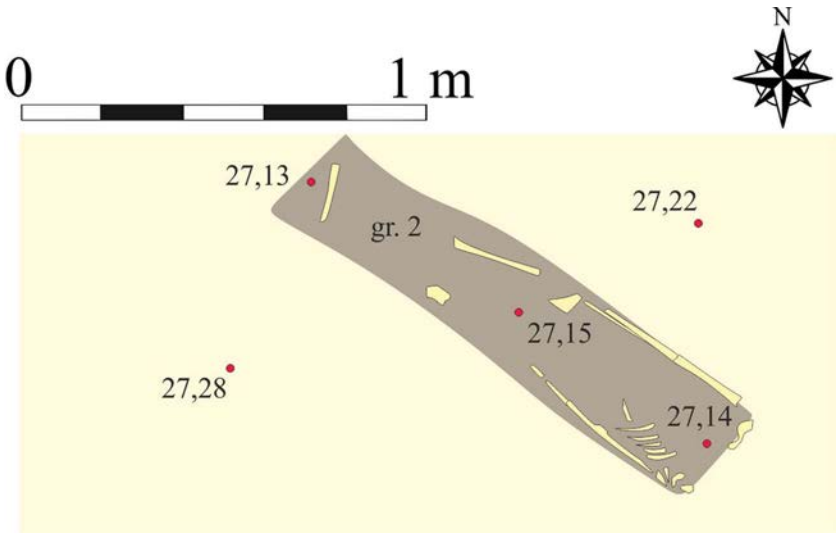

Ryc. 11. Stargard, Stare Miasto, kwartał IX, dawna parcela przy Große Mühlenstrasse 32. Grób 2. Rys. K. Krawczyk, oprac. M. Szeremeta
Abb. 11. Stargard, Altstadt, Quartier IX, ehemalige Parzelle in der Großen Mühlenstraße 32. Grab 2. Abb. K. Krawczyk, Bearb. M. Szeremeta

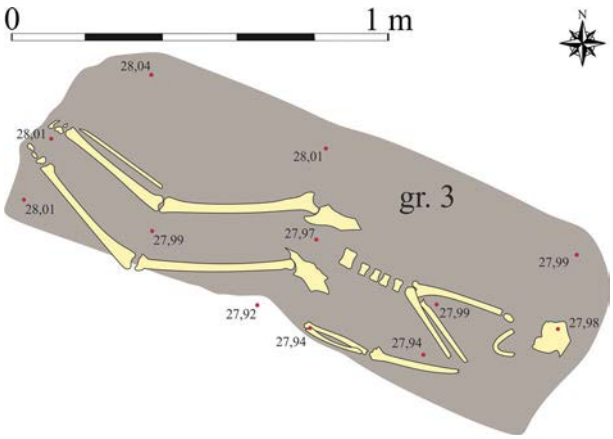

Ryc. 12. Stargard, Stare Miasto, kwartał IX, dawna parcela przy Radestrasse 27. Grób 3. Rys. M. Burdziej, oprac. M. Szeremeta
Abb. 12. Stargard, Altstadt, Quartier IX, ehemalige Parzelle in der Radestraße 27. Grab 3. Abb. M. Burdziej, Bearb. M. Szeremeta

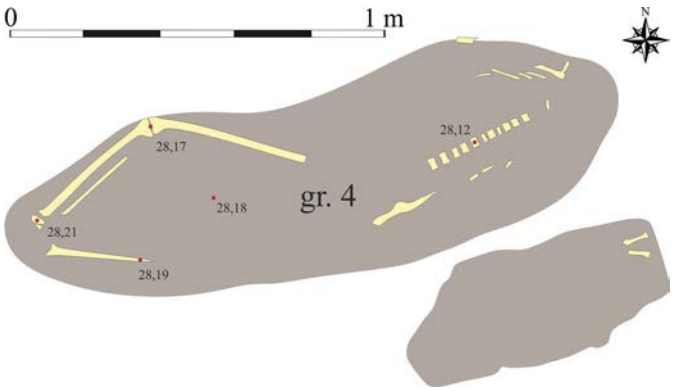

Ryc. 13. Stargard, Stare Miasto, kwartał IX, dawna parcela przy Radestrasse 28. Grób 4. Rys. M. Burdziej, oprac. M. Szeremeta
Abb. 13. Stargard, Altstadt, Quartier IX, ehemalige Parzelle in der Radestraße 28. Grab 4. Abb. M. Burdziej, Bearb. M. Szeremeta

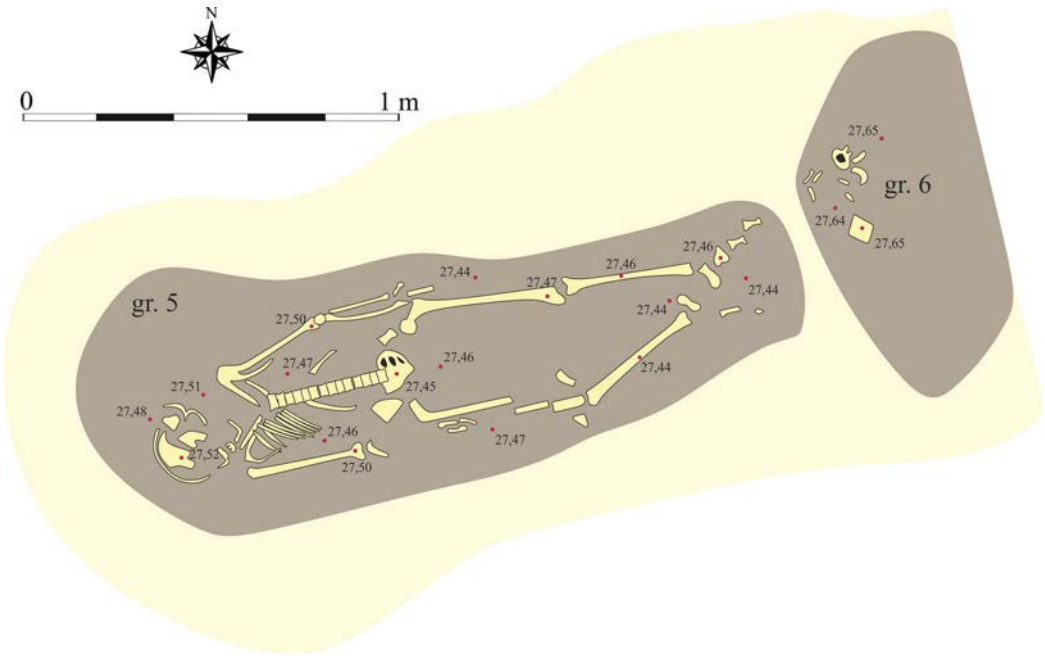

Ryc. 14. Stargard, Stare Miasto, kwartał IX, dawna parcela przy Radestrasse 28. Groby 5 i 6. Rys. M. Waligóra, oprac. M. Szeremeta
Abb. 14. Stargard, Altstadt, Quartier IX, ehemalige Parzelle in der Radestraße 28. Gräber 5 u. 6. Abb. M. Waligóra, Bearb. M. Szeremeta

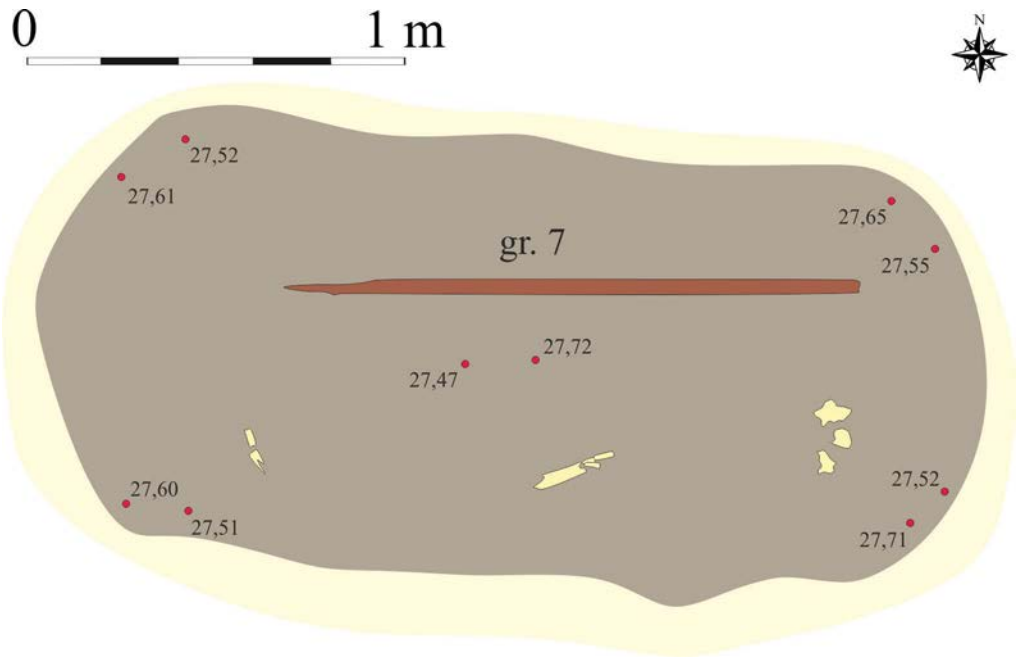

Ryc. 15. Stargard, Stare Miasto, kwartał IX, dawna parcela przy Radestrasse 28. Grób 7. Rys. E. Skowrońska, oprac. M. Szeremeta
Abb. 15. Stargard, Altstadt, Quartier IX, ehemalige Parzelle in der Radestraße 28. Grab 7. Abb. E. Skowrońska, Bearb. M. Szeremeta

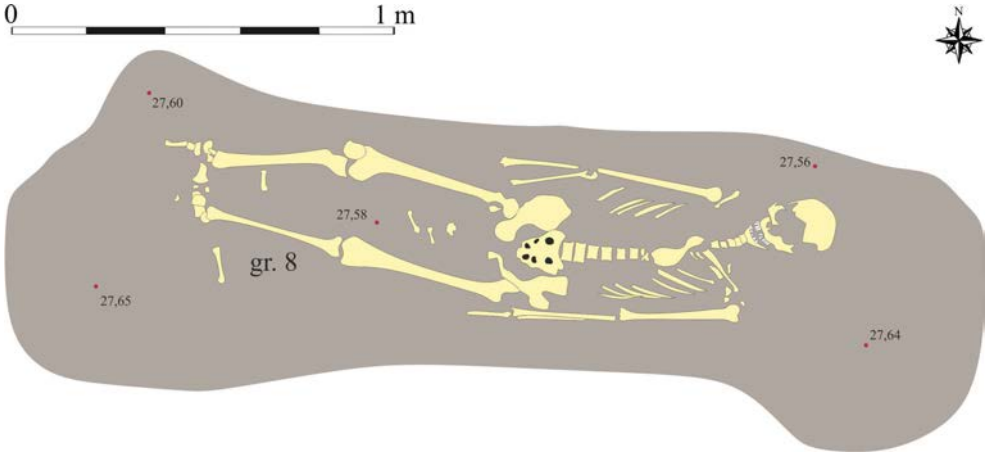

Ryc. 16. Stargard, Stare Miasto, kwartał IX, dawna parcela przy Radestrasse 28. Grób 8. Rys. K. Skowrońska, oprac. M. Szeremeta
Abb. 16. Stargard, Altstadt, Quartier IX, ehemalige Parzelle in der Radestraße 28. Grab 8. Abb. K. Skowrońska, Bearb. M. Szeremeta

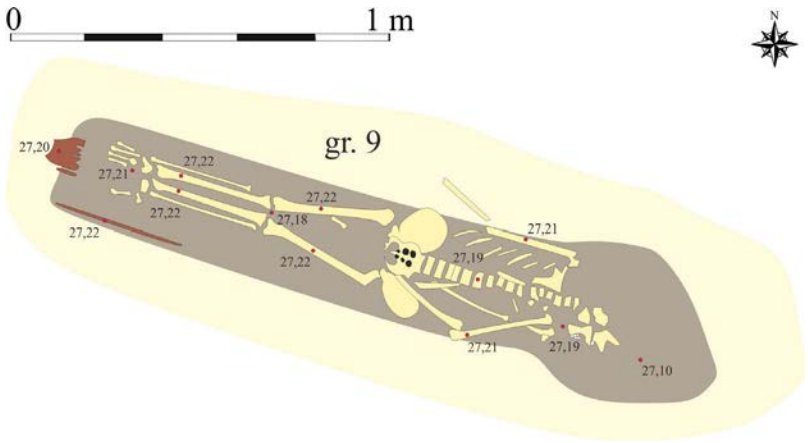

Ryc. 17. Stargard, Stare Miasto, kwartał IX, dawna parcela przy Radestrasse 28. Grób 9. Rys. P. Żmuda, oprac. M. Szeremeta
Abb. 17. Stargard, Altstadt, Quartier IX, ehemalige Parzelle in der Radestraße 28. Grab 9. Abb. S. Żmuda, Bearb. M. Szeremeta

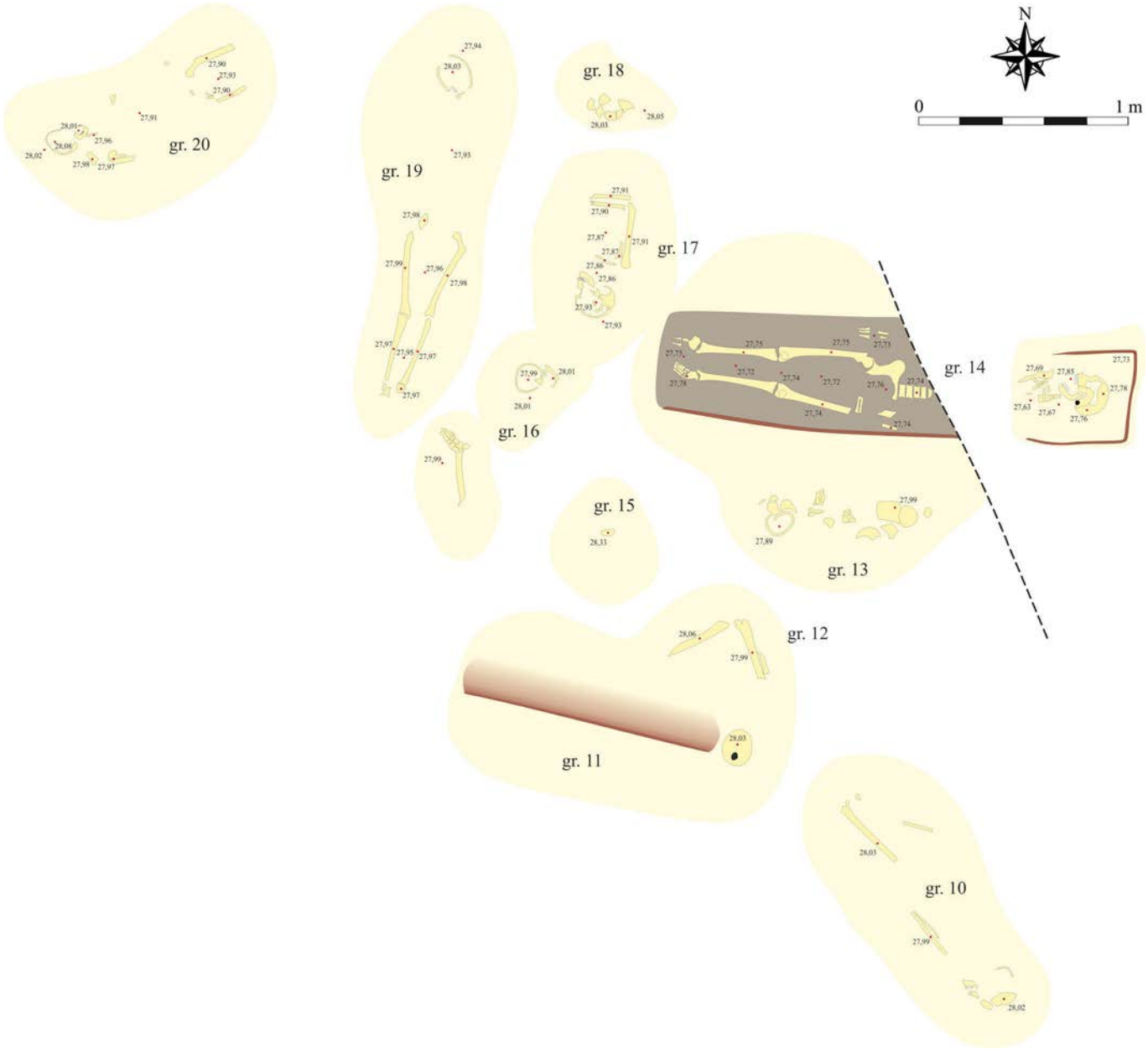

Ryc. 18. Stargard, Stare Miasto, kwartał IX, dawna parcela przy Radestrasse 27. Groby 10–20. Rys. A. Kubiak, oprac. M. Szeremeta
Abb. 18. Stargard, Altstadt, Quartier IX, ehemalige Parzelle in der Radestraße 27. Gräber 10–20. Abb. A. Kubiak, Bearb. M. Szeremeta

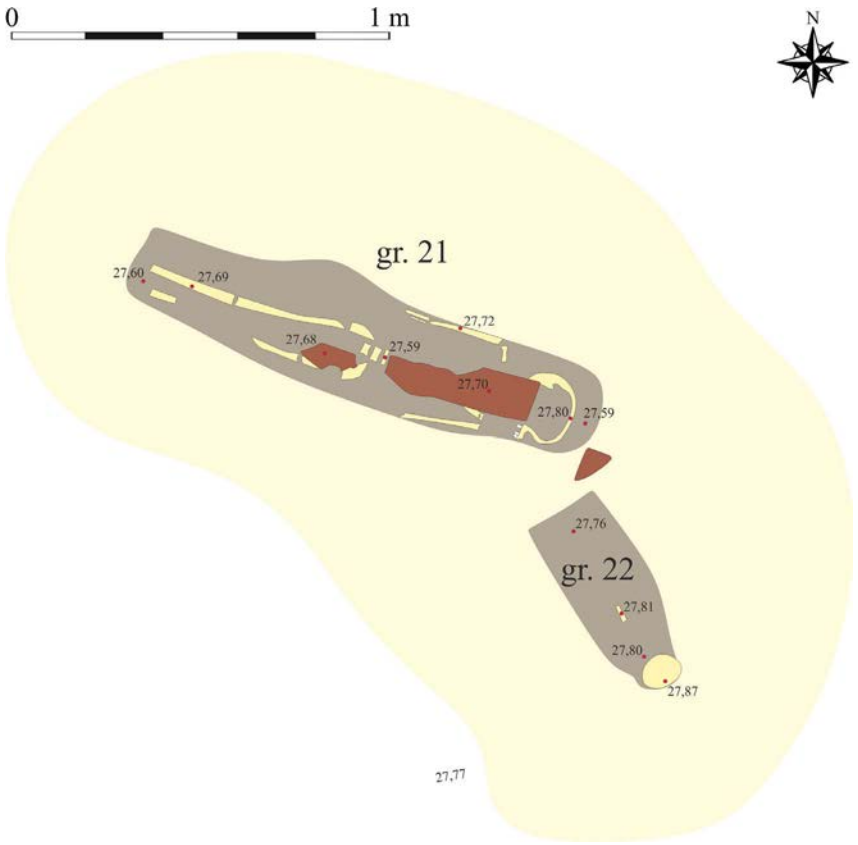

Ryc. 19. Stargard, Stare Miasto, kwartał IX, dawna parcela przy Radestrasse 27. Groby 21 i 22. Rys. K. Krawczyk, oprac. M. Szeremeta
Abb. 19. Stargard, Altstadt, Quartier IX, ehemalige Parzelle in der Radestraße 27. Gräber 21 u. 22. Abb. K. Krawczyk, Bearb. M. Szeremeta

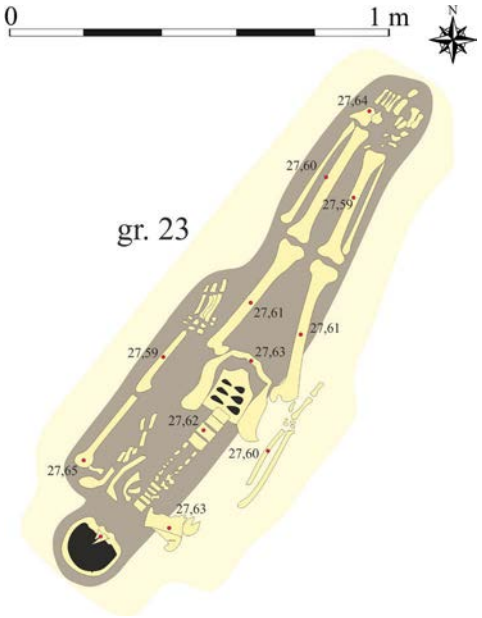

Ryc. 20. Stargard, Stare Miasto, kwartał IX, dawna parcela przy Radestrasse 27. Grób 23. Rys. A. Czarniawski, oprac. M. Szeremeta
Abb. 20. Stargard, Altstadt, Quartier IX, ehemalige Parzelle in der Radestraße 27. Grab 23. Abb. A. Czarniawski, Bearb. M. Szeremeta

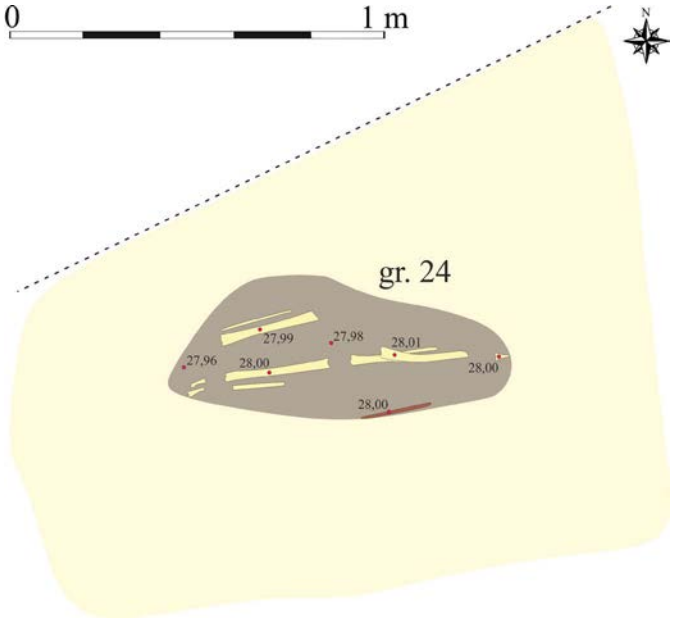

Ryc. 21. Stargard, Stare Miasto, kwartał IX, dawna parcela przy Radestrasse 27. Grób 24. Rys. K. Krawczyk, oprac. M. Szeremeta
Abb. 21. Stargard, Altstadt, Quartier IX, ehemalige Parzelle in der Radestraße 27. Grab 24. Abb. K. Krawczyk, Bearb. M. Szeremeta

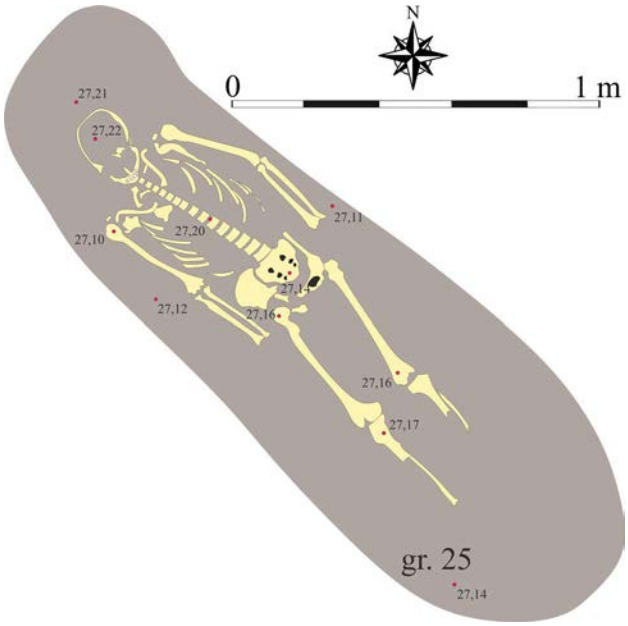

Ryc. 22. Stargard, Stare Miasto, kwartał IX, dawna parcela przy Radestrasse 28 / Radestrasse 29. Grób 25. Rys. E. Skowrońska, oprac. M. Szeremeta
Abb. 22. Stargard, Altstadt, Quartier IX, ehemalige Parzelle in der Radestraße 28 / Radestraße 29. Grab 25. Abb. E. Skowrońska, Bearb. M. Szeremeta

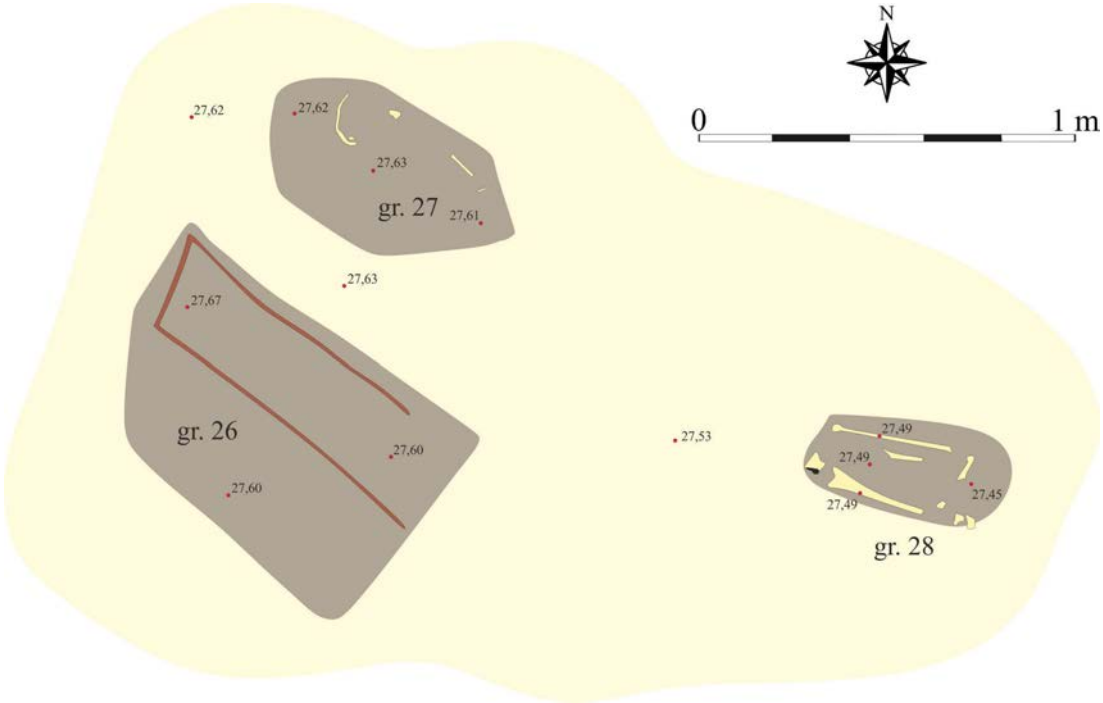

Ryc. 23. Stargard, Stare Miasto, kwartał IX, dawna parcela przy Radestrasse 29. Groby 26–28. Rys. K. Krawczyk, oprac. M. Szeremeta
Abb. 23. Stargard, Altstadt, Quartier IX, ehemalige Parzelle in der Radestraße 29. Gräber 26–28. Abb. K. Krawczyk, Bearb. M. Szeremeta

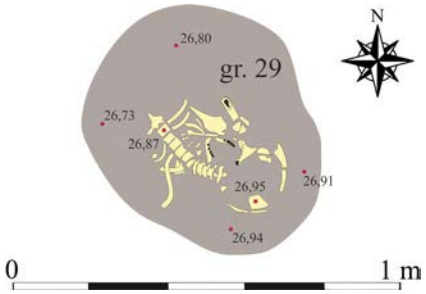

Ryc. 24. Stargard, Stare Miasto, kwartał IX, dawna parcela przy Radestrasse 29. Grób 29. Rys. E. Skowrońska, oprac. M. Szeremeta
Abb. 24. Stargard, Altstadt, Quartier IX, ehemalige Parzelle in der Radestraße 29. Grab 29. Abb. E. Skowrońska, Bearb. M. Szeremeta

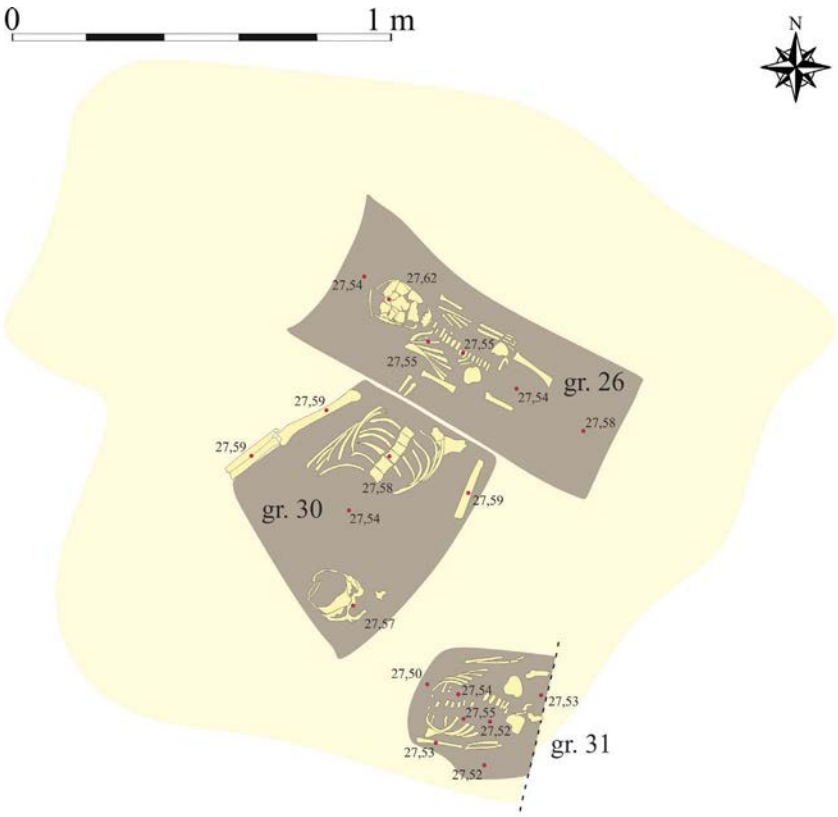

Ryc. 25. Stargard, Stare Miasto, kwartał IX, dawna parcela przy Radestrasse 29. Groby 26 i 30–31. Rys. K. Krawczyk, oprac. M. Szeremeta
Abb. 25. Stargard, Altstadt, Quartier IX, ehemalige Parzelle in der Radestraße 29. Gräber 26 u. 30–31. Abb. K. Krawczyk, Bearb. M. Szeremeta

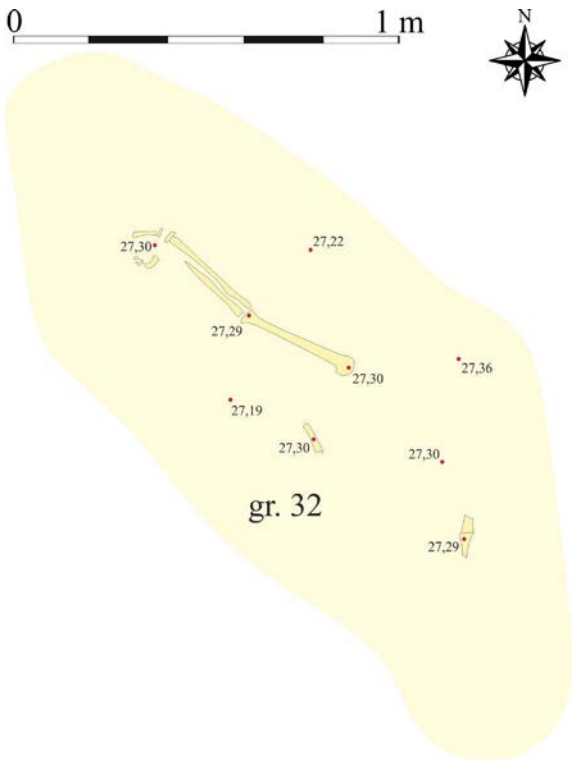

Ryc. 26. Stargard, Stare Miasto, kwartał IX, dawna parcela przy Große Mühlenstrasse 30. Grób 32. Rys. P. Szczygieł, oprac. M. Szeremeta
Abb. 26. Stargard, Altstadt, Quartier IX, ehemalige Parzelle in der Großen Mühlenstraße 30. Grab 32. Abb. P. Szczygieł, Bearb. M. Szeremeta

Ryc. 27. Stargard, Stare Miasto, kwartał IX, dawna parcela przy Johannisstrasse 17. Profil E zespołu nawarstwień kulturowych z warstwą B. Fot. K. Kwiatkowski
Abb. 27. Stargard, Altstadt, Quartier IX, ehemalige Parzelle in der Johannisstraße 17. Profil E des Komplexes der Kulturschichtungen mit Schicht B. Fot. K. Kwiatkowski

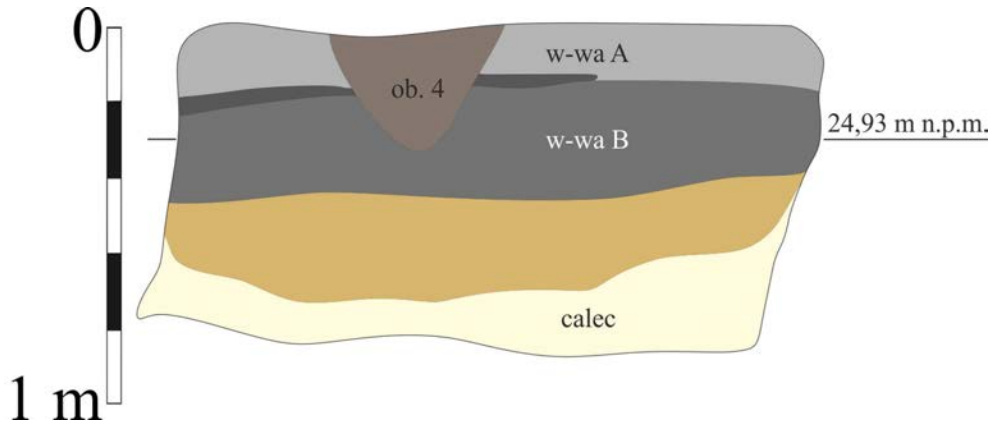

Ryc. 28. Stargard, Stare Miasto, kwartał IX, dawna parcela przy Johannisstrasse 17. Profil E zespołu nawarstwień kulturowych z warstwą B. Rys. K. Kwiatkowski, oprac. M. Szeremeta

Abb. 28. Stargard, Altstadt, Quartier IX, ehemalige Parzelle in der Johannisstraße 17. Profil E des Komplexes der Kulturschichtungen mit Schicht B. Abb. K. Kwiatkowski, Bearb. M. Szeremeta

Ryc. 29. Stargard, Stare Miasto, kwartał IX, dawna parcela przy Johannisstrasse 17. Obiekty 2 i 3 – profil N. Fot. K. Kwiatkowski

Abb. 29. Stargard, Altstadt, Quartier IX, ehemalige Parzelle in der Johannisstraße 17. Befunde 2 u. 3 – Profil N. Fot. K. Kwiatkowski

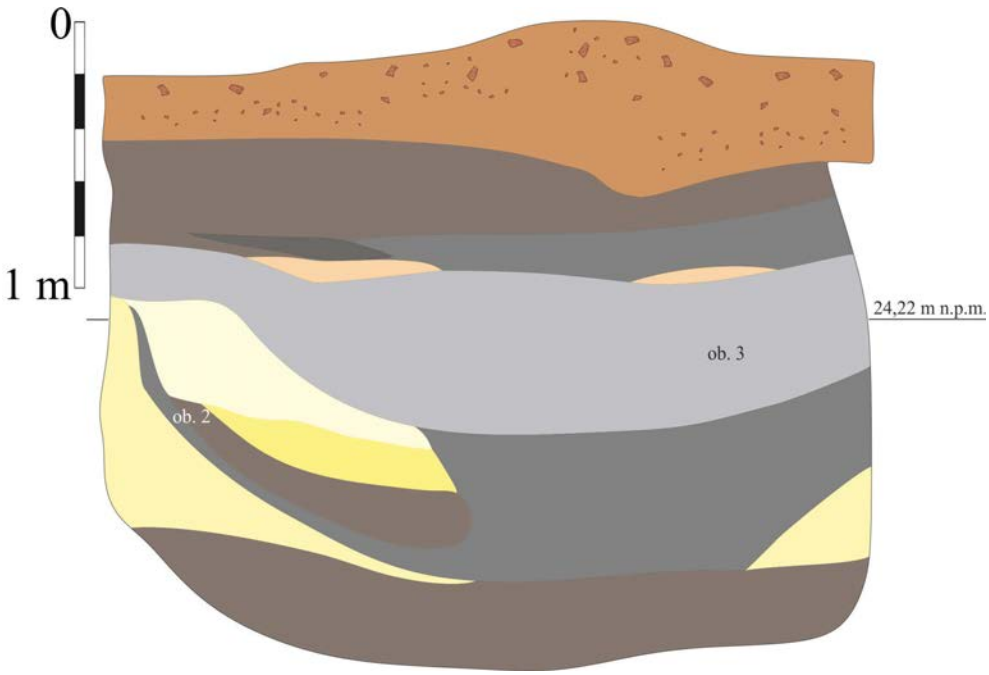

Ryc. 30. Stargar d, Stare Miasto, kwartał IX, dawna parcela przy Johannisstrasse 17. Obiekty 2 i 3 – profil N. Rys. W. Chudy, oprac. M. Szeremeta
Abb. 30. Stargard, Altstadt, Quartier IX, ehemalige Parzelle in der Johannisstraße 17. Befunde 2 u. 3 – Profil N. Abb. W. Chudy, Bearb. M. Szeremeta

Ryc. 31. Stargard, Stare Miasto, kwartał IX, dawna parcela przy Johannisstrasse 17. Obiekty 2 i 3. Fot. K. Kwiatkowski
Abb. 31. Stargard, Altstadt, Quartier IX, ehemalige Parzelle in der Johannisstraße 17. Befunde 2 u. 3. Fot. K. Kwiatkowski

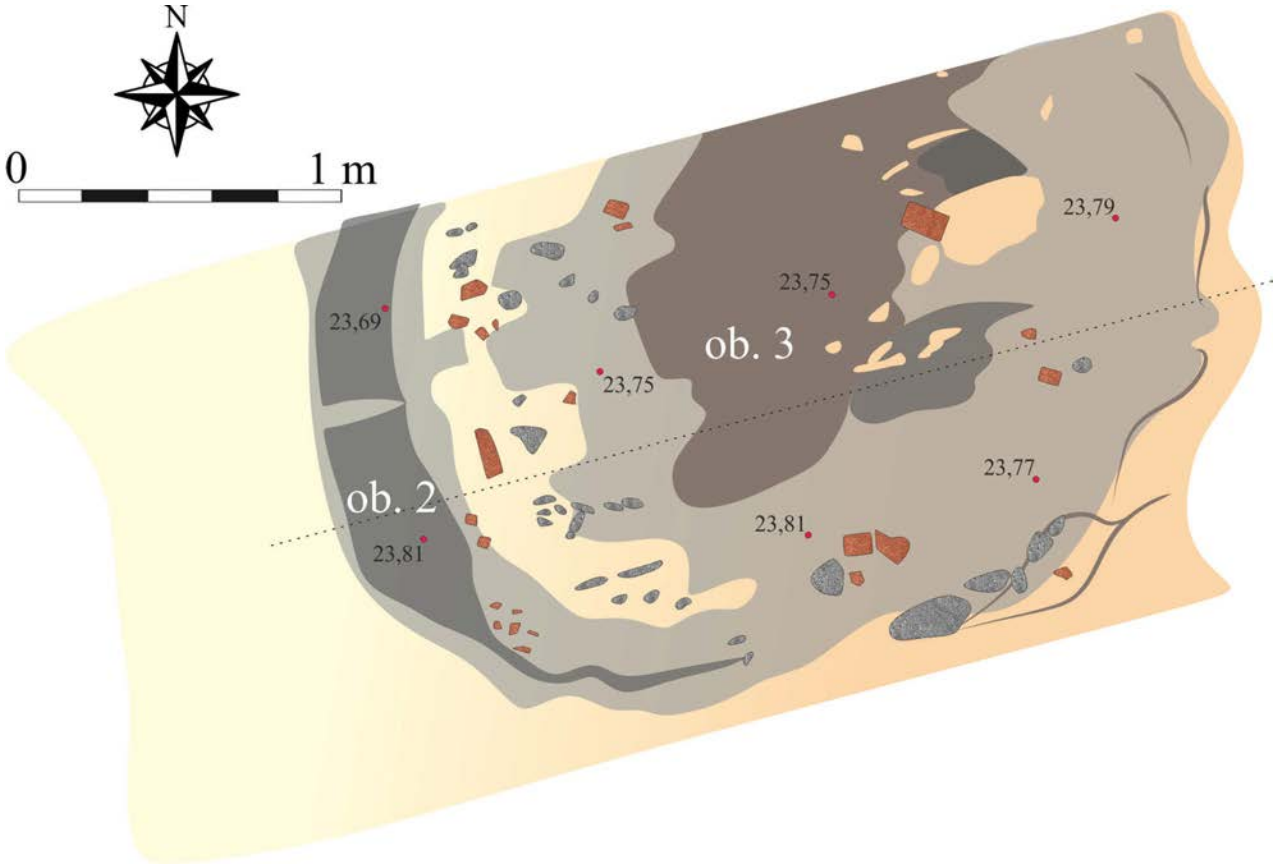

Ryc. 32. Stargard, Stare Miasto, kwartał IX, dawna parcela przy Johannisstrasse 17. Obiekty 2 i 3 – profil N. Rys. M. Waligóra, oprac. M. Szeremeta
Abb. 32. Stargard, Altstadt, Quartier IX, ehemalige Parzelle in der Johannisstraße 17. Befunde 2 u. 3 – Profil N. Abb. M. Waligóra, Bearb. M. Szeremeta

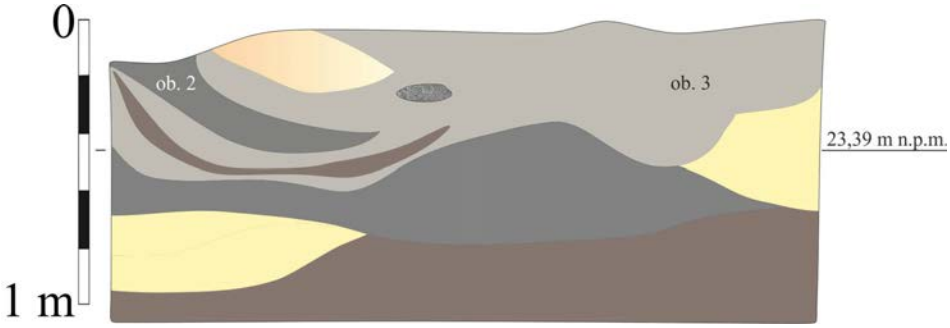

Ryc. 33. Stargard, Stare Miasto, kwartał IX, dawna parcela przy Johannisstrasse 17. Obiekty 2 i 3 – profil E. Rys. M. Waligóra, oprac. M. Szeremeta
Abb. 33. Stargard, Altstadt, Quartier IX, ehemalige Parzelle in der Johannisstraße 17. Befunde 2 u. 3 – Profil E. Abb. M. Waligóra, Bearb. M. Szeremeta

II

II. 1. Siekiera kamienna

Mateusz Szeremeta

Opis i charakter odkrycia

W trakcie ratowniczych badań archeologicznych na historycznym kwartale IX ograniczonym ulicami: Bolesława Chrobrego, Kazimierza Wielkiego, Grodzką i Targ Drzewny znajdujących się w granicach obszaru Starego Miasta zarejestrowano zachowaną kompletnie kamienną siekierkę. Zabytek pozyskano w trakcie eksploracji obiektu 6, odkrytego na historycznej działce przy dawnej Radestrasse 30. Było to wypełnisko późnośredniowiecznej latryny, której miąższość dochodziła do blisko 180 cm (Majewski, Kwiatkowski 2009; Kwiatkowski 2012). Egzemplarz o niezaprzeczalnie starszej metryce zalegał w granicach obiektu o znacznie młodszej chronologii, co w wyniku braku dodatkowych poszlak, trzeba wstępnie uznać za przypadkowy precedens. Stargardzkie znalezisko nie jest odosobnionym przypadkiem, kiedy to starożytności znajdowane są „okazjonalnie" w kontekście reliktów późnośredniowiecznych miast. Analogiczna sytuacja miała miejsce w trakcie archeologicznych badań w Rostocku, gdzie krzemienna, późnoneolityczna siekiera została zarejestrowana w średniowiecznej, drewnianej kloace datowanej na pocz. XIV w. (Kaute i in. 2018, 373). Wartym uwagi, sugestywnie paralelnym przykładem jest również znalezisko kamiennego topora pozyskanego z muru otaczającego przykościelny cmentarz w miejscowości Ostroróg, gm. Czaplinek (Kowalski, Matuszewska 2012, 69).

Niniejsze opracowanie oprócz charakterystyki technologiczno-stylistycznej podejmuje próbę dookreślenia chronologii, przynależności kulturowej oraz sposobu depozycji ww. zabytku. W tym celu egzemplarz poddano dodatkowym badaniom petrograficznym, a także przeprowadzono analizę typologiczną.

Charakterystyka, typologia, chronologia

Stargardzki egzemplarz siekiery o wymiarach maksymalnych 164×46×33 mm (dł.×szer.×wys.) w przekroju poprzecznym połowy długości przyjmuje formę czworoboczną, a przy ostrzu formę soczewkowatą (ryc. 1). W przekroju podłużnym jest symetrycznie klinowaty. Część pracująca lekko zawężona w stosunku do maksymalnej szerokości, która umiejscowiona jest od połowy do około 1/3 zabytku od strony ostrza. Ostrze mocno zredukowane, niesymetryczne, skośne w stosunku do osi długości siekierki. W części obuchowej widoczne wyraźne przewężenie, a sam obuch został nieznacznie nadkruszony, być może już w procesie produkcyjnym. Pierwotnie mógł być lekko zaoblony. Siekiera wykonana został z szarego porfiru skandynawskiego[1], który występuje na Niżu Polskim jako eratyk fennoskandzki, co czyni go na swój sposób materiałem miejscowym (Czubla 2015; Szydłowski 2019). Powierzchnia zabytku została wygładzona, jednak głębokie, naturalne wyżłobienia w surowcu nie pozwoliły na uzyskanie w pełni „płaskiego" lica.

Biorąc pod uwagę pełen zestaw cech technologiczno-stylistycznych egzemplarza (zob. Wiślański 1979, 230) najprawdopodobniej należy go łączyć z wytwórczością ludności kultury pucharów lejkowatych (KPL). Koncepcję tę dodatkowo potwierdzać może fakt użycia do produkcji porfiru – surowca rozpoznanego na stanowiskach związanych z wytwórczością KPL (Rzepecki, Szydłowski 2014). W ujęciu typologicznym omawiany zabytek należałoby umieścić wśród wariantów o zaokrąglonym obuchu i przekroju czworobocznym reprezentowanych przez wariant I podtyp B wg Brandta (1967, 127–128). Formy tego typu są dość uniwersalne, dlatego precyzyjne datowanie zabytku jest utrudnione, lub nawet niemożliwe w przypadku braku pierwotnego, pełnego kontekstu archeologicznego[2] – zbliżone stylistycznie egzemplarze pojawiają się już w zespołach o metryce mezolitycznej na terenie północnej Europy i występują szerzej wśród inwentarzy kultur początków i środka młodszej epoki kamienia (Brandt 1967, 130–132).

Stargardzki okaz pod względem kształtu oraz danych metrycznych pośrednio koresponduje również z typem V klasyfikacji Nielsena (1977)[3], charakterystycznym dla wczesnych faz KPL terenów Danii. W każdym razie, ze względu na brak szerszej bazy porównawczej w postaci innych źródeł i nienaruszonego kontekstu, nie należy z całą pewnością wiązać omawianego narzędzia z najstarszymi fazami osadnictwa KPL, zaś rozsądniej utożsamiać z pełnym okresem występowania osadnictwa *pucharowego* na tym terenie. Dyskusja nad zagadnieniem genezy i chronologii KPL

[1] Skała magmowa. W trakcie specjalistycznych obserwacji makro i mikroskopowych w składzie rozpoznano m.in. prakryształy skaleni, piroksenów i amfiboli skąpanych w afanitowym cieście skalnym. Analizę petroarcheologiczną wykonał dr M. Szydłowski z Katedry Archeologii Uniwersytetu Szczecińskiego (2019).

[2] Obszar Stargardu znajdował się w strefie wpływów grup północnej i wschodniej KPL (Czekaj-Zastawny i in. 2013, 191, ryc. 2; Matuszewska 2011, 47), co powiększa spektrum porównawcze, ale tym samym utrudnia precyzyjną klasyfikację przynależności kulturowej i określenie chronologii.

[3] Autor świadomie przywołuje typologię opracowaną dla zabytków krzemiennych, ponieważ podobieństwo formy rozpatrywane jest w tym wypadku tylko na płaszczyźnie metryczno-stylistycznej.

ISBN 978-83-61456-34-6 Archeologia Stargardu T. V,1 – 2019
ISBN 978-83-7986-312-9

Ryc. 1. Stargard, Stare Miasto, kwartał IX, dawna parcela przy Radestrasse 30. Obiekt 6. Siekiera kamienna. Fot. i oprac. M. Szeremeta

Abb. 1. Stargard, Altstadt, Quartier IX, Stare Miasto, ehemalige Parzelle Radestrasse 30. Befund 6. Steinaxt. Fot. und Bearb. M. Szeremeta

w Europie, w tym na Niżu Polskim prowadzona jest już od dłuższego czasu (zob. Matuszewska 2011, 44–47), jednak próba usystematyzowania tych zagadnień znacznie poprawiła się dopiero w ostatnich lach, co jest wynikiem zwiększonego zainteresowania tym problemem badaczy neolitu (Kukawka 2015, 280). Podejmowane próby korelacji dat radiowęglowych pozyskiwanych w trakcie badań (Kukawka 2015, 280–281) pozwoliło na stosunkowo dokładne określenie bezwzględnej daty początków osadnictwa KPL w granicach współczesnej Polski. Seweryn Rzepecki (2004, 154) początki rozwoju społeczności kręgów *pucharowych* na ziemi pyrzyckiej upatrywał w fuzji KPCW oraz wzorców z Europy Zachodniej do, której doszło w 4400-4200 BC. Stanisław Kukawka (2015, 293) proponuje zaś przesunięcie daty początków KPL na lata 4200/4100 BC. Biorąc pod uwagę powyższe należy uśrednić pewne założenia i przyjąć, że dolnej granicy powstania stargardzkiej siekiery należy upatrywać nie wcześniej niż 4200 BC. Górną granicę daty powstania stargardzkiego egzemplarza stanowić będzie okres zmierzchu i względnego zaniku osobliwości KPL w neolicie młodszym.

Podsumowanie

Odkrycie neolitycznej siekiery na wtórnym złożu, jak to miało miejsce podczas badań na kwartale IX w Stargardzie nie jest odosobnionym przypadkiem. Brak dodatkowych przesłanek uniemożliwia jednak precyzyjne opisanie okoliczności depozycji. Niezależnie od braku poszlak

warto wstępnie podjąć próbę zinterpretowania tego zjawiska. Najprostszym uzasadnianiem jest założenie zupełnej przypadkowości pojawienia się zabytku w granicach młodszych jednostek – materiał do zasypania nieużytkowanej już latryny mógł pochodzić nawet z obrzeży miasta i nie był w żaden sposób weryfikowany. Można również założyć, że niska świadomość i brak zainteresowania nie pozwoliła na rozpoznanie antropogenicznej „istoty" zabytku, przez co został on machinalnie zdeponowany wtórnie. Należy brać pod uwagę również możliwość, że przypadkowo znaleziony zabytek został w późniejszym okresie ponownie użytkowany lub nawet ze względu na oswój unikatowy charakter mógł mieć znaczenie kolekcjonerskie.

Zakładając pierwotnie lokalny rodowód analizowanej siekierki można generalnie łączyć jej pierwotne pochodzenie z okolicznymi śladami osadnictwa KPL. Najbliższe zespoły zabytków powiązane z kręgiem *pucharowym* zarejestrowane zostały w miejscowościach: Stargard-Kluczewo (stan. 1), Miedwiecko, pow. stargardzki (stan. 1), Kunowo, pow. stargardzki (stan. 31), a także w północnej części samego miasta Stargardu (Matuszewska, Szydłowski 2009, 38-39; Siuchniński 1969, 86-93; Wiślański 1979, 196, ryc.105:12).

Bibliografia

Materiały niepublikowane

Majewski M., Kwiatkowski K. 2009. *Sprawozdanie wstępne z archeologicznych badań ratunkowych przeprowadzonych na terenie przeznaczonym pod inwestycję „Budowa obiektu mieszkalno – usługowego w Stargardzie", w kwartale ograniczonym ulicami: Bolesława Chrobrego, Kazimierza Wielkiego, Grodzkiej i (Władysława Łokietka) w Stargardzie, obr. 11, działki nr 61/1, 120/1, 121/1, 122/1, 122/2 i 211/1*. Stargard (mps w archiwum Działu Archeologii MAH w Stargardzie).

Szydłowski M. 2019. *Ekspertyza petroarcheologiczna zabytku kamiennego*. Szczecin (mps w archiwum Działu Archeologii MAH w Stargardzie).

Literatura

Brandt K. H. 1967. *Studien* über *steinerne Äxte und Beile der jüngeren Steinzeit und der Stein-Kupferzeit Nordwestdeutschlands*. Hildesheim.

Czubla P. 2015. *Eratyki fennoskandzkie w osadach glacjalnych Polski i ich znaczenie badawcze*. Łódź.

Kaute P., Rütz T., Zorn J. 2018. Rostock, Hansestadt, Flurbezirk I, Innenstadt. Fpl. 523. *Bodendenkmalpflege in Mecklenburg-Vorpomern* 65 (2017), 372-379.

Kowalski K., Matuszewska A. 2102. Wprowadzenie do problematyki kulturowej zabytków neolitycznych. The Cultural Issues of the Neolithic Antiquities: an Introduction. W: K. Kowalski, D. Kozłowska-Skoczka (red.), *Zaginione – ocalone. Szczecińska kolekcja starożytności pomorskich*. Szczecin, 69–79.

Kukawka S. 2015. Początki kultury pucharów lejkowatych na Niżu Polskim. *Folia Praehistorica Posnaniensia* 20, 277–300.

Kwiatkowski K. 2012. *Odkryte stulecia. Stargardzki kwartał IX w świetle badań archeologicznych*. Stargard.

Matuszewska A. 2011. *Kultura ceramiki sznurowej na Dolnym Nadodrzu*. Poznań.

Nielsen P. 1977. Die Flintbeile der frühen Trichterbecherkultur in Dänemark. *Acta Archaeologica* 48, 61–138.

Rzepecki S. 2004. *Społeczności* środkowo*neolityczne kultury pucharów lejkowatych na Kujawach*. Poznań.

Rzepecki S., Szydłowski M. 2014. Zabytki kamienne. W: S. Rzepecki (red.), *Wilkostowo 23/24. Neolityczny kompleks osadniczy* I. Łódź, 401–426.

Siuchniński K. 1969. *Klasyfikacja czasowo-przestrzenna kultur neolitycznych na Pomorzu Zachodnim. Część I: Katalog źródeł archeologicznych*. Szczecin.

Wiślański T. 1979. Kształtowanie się miejscowych kultur rolniczo-hodowlanych. Plemiona kultury pucharów lejkowatych. W: W. Hensel, T. Wiślański (red.), *Prahistoria ziem polskich* 2, *Neolit*. Wrocław-Warszawa-Kraków-Gdańsk, 165–260.

Internet

Matuszewska A., Szydłowski M. 2009. Osadnictwo ludności z doby neolitu. W: D. Żychliński (red.), *Opracowanie wyników ratowniczych badań archeologicznych na stanowisku nr 31 w Kunowie (AZP 32-09/147), gm. Kobylanka, pow. stargardzki, woj. zachodniopomorskie*. Gniezno, 25–51. https://www.nid.pl/pl/Dla_specjalistow/Badania_i_dokumentacja/zabytki-archeologiczne/publikacje-wynikow-badan/Kunowo_31.pdf; (dostęp: 1.12.2019).

mgr Mateusz Szeremeta
Dział Archeologii
Muzeum Archeologiczno-Historyczne
Rynek Staromiejski 2–4
73-110 Stargard
m.szeremeta@muzeum-stargard.pl

Zusammenfassung

Steinaxt

Bei den Rettungsgrabungen im historischen Quartier IX in Stargard wurde eine vollständig erhaltene Steinaxt gefunden (ehemalige Parzelle Radestrasse 30, Befund 6). Der aus dem Neolithikum stammende Gegenstand wurde im Verfüllmaterial einer spätmittelalterlichen Latrine, d.h. in einer sog. Sekundärlagerstätte, erfasst. Der technisch-stilistische Charakter des Fundstücks erlaubt es, den Gegenstand mit der Trichterbecherkultur in Verbindung zu bringen; die relativ universelle Form des Fundes und der fehlende Kontext lassen ihn jedoch lediglich in den gesamten Zeitraum des Bestehens von Bechergemeinschaften, d.h. frühestens in die zweite Hälfte des 5. Jahrtausends vor unserer Zeit datieren. Das Exemplar ist eher lokaler Herkunft, und seine Fertigung hängt wahrscheinlich mit lokalen Spuren von TBK-Siedlungen in den Ortschaften Stargard, Kluczewo (Klützow), Kunowo (Kunow an der Strasse) oder Miedwiecko (Madüse Bhf.), Ldkr. Stargard zusammen.

II. 2. Osadnictwo społeczności łużyckich pól popielnicowych

Ryszard Mikuła

Stan badań nad osadnictwem ludności łużyckich pól popielnicowych[1] na ziemi stargardzkiej

Okres trwania społeczności łużyckich pól popielnicowych na obszarze Pomorza Zachodniego (jak również cała epoka brązu i wczesny okres epoki żelaza), w tym na terenie ziemi stargardzkiej, został poddany szerokim badaniom archeologicznym, zarówno w aspekcie tzw. badań gabinetowych, jak i poprzez prace wykopaliskowe. Badania te można było ująć w dwóch zasadniczych aspektach: okres archeologii niemieckiej (okres przedwojenny oraz niemieckie opracowania po wojnie) oraz okres archeologii polskiej (okres powojenny). Z pierwszego okresu bardzo istotne pod kątem omawianego w niniejszym artykule obszaru okazały się prace Otto Kunkla (1931)[2] oraz Gertrud Dorki (1939) (por. Bukowski 1998, 24 i 33). W opracowaniach tych przedstawiono bogaty katalog znalezisk i miejsc odkryć, wykorzystywany do dziś przez badaczy niemieckich i polskich (por. Wesołowski 1996, 27). Wielu naukowców niemieckich skupiało swą uwagę na relacjach, zasięgu kultur „brązowych" wnikających w obszar dzisiejszych Niemiec, wraz z odniesieniami do terenów i zabytków z obszaru współczesnej Polski, jak chociażby prace Karla Kerstena z 1958, Ernsta Sprockhoffa (1937, cyt. za: Bukowski 1998, 202), Rolfa Hachmanna i Hansa Jürgena Eggersa (1964, 1969a, 1969b, cyt. za: Bukowski 1998, 33), Diethera von Kleista (1955), opracowania H. J. Eggersa (1964, cyt. za: Bukowski 1998, 33), czy Fritza Horsta (1972) i ostatnio Burgera Wanzka (2004).

Spośród badań powojennych należy przede wszystkim wymienić epokową pozycję Józefa Kostrzewskiego (1958a), do dziś popularną i wykorzystywaną, zwłaszcza w kontekście ustaleń chronologicznych oraz katalogu źródeł, choć pod innymi względami w jakimś stopniu zdewaluowaną. Korespondowała, czy może w części rywalizowała ona szczególnie z pracą K. Kerstena (1958), gdzie porównując oba opracowania, można było zaobserwować skalę rozszerzania się strefy wpływów kręgu nordyjskiego, wnikającego w obszar Pomorza Zachodniego z licznym zbiorem określonych zabytków brązowych z jednej strony (Malinowski 1997, 89, ryc. 36), a z drugiej silne relacje społeczności łużyckich pól popielnicowych z Pomorza Zachodniego z terenami południowymi i wschodnimi (Wielkopolska, Kujawy oraz strefy oddalone bardziej na południe i wschód). Ten silny, ścisły związek Pomorza Zachodniego z sąsiednimi terenami, pomimo wszystkich oczywistych odrębności i różnic regionalnych, potwierdzały przede wszystkim dwa zjawiska: rozprzestrzenianie się obrządku ciałopalenia oraz dość ujednolicony warsztat ceramiczny (Kostrzewski 1958a; Bukowski 1998, 12). Prócz tego, charakter „łużycki" Pomorza, już od IV okresu epoki brązu (EB) potwierdziły takie elementy kulturowe, jak: stabilizacja osadnicza, czy wykształcanie się ośrodków metalurgicznych z regionalnymi typami wytworów brązowych (Bukowski 1998, 24).

Zasięg występowania ceramiki naczyniowej na Pomorzu Zachodnim w strefie dolnej Odry z jednej strony podkreślał rangę tej rzeki jako łącznika z ugrupowaniami „łużyckimi" na południu nad Odrą i Wartą (Bukowski 1998, 12), z drugiej jednak strony formy ceramiczne znane z obszaru dzisiejszej Polski, w tym w dużej mierze z Pomorza Zachodniego przekraczały tę granicę i występowały w północno-wschodnich i wschodnich terenach Niemiec (por. np. Horst 1972, 115–119, tabl. 9).

Geneza społeczności łużyckich pól popielnicowych na omawianym terenie prezentowana była w pracy m.in. Bogusława Gedigi (1978, 167, ryc. 66), gdzie przedstawiono wyraźnie zaznaczające się oddziaływania grup kultury mogiłowej na terenie Kotliny Pyrzyckiej, co było zapowiedzią przeobrażeń kulturowych, prowadzących w konsekwencji do wykształcenia się kultury łużyckiej (Wesołowski 1996, 30). Podobnie postrzegano to w opracowaniu Aleksandra Gardawskiego w ramach „*Prahistorii ziem polskich*" (1979a, 69–72). Po połowie III EB obserwowało się dalszy rozwój osadnictwa, w tym na terenie Kotliny Pyrzyckiej, a więc w bezpośrednim sąsiedztwie Stargardu. Zasiedlone zostały nowe obszary rozciągające się po zachodniej stronie jeziora Miedwie oraz na pograniczu Kotliny Pyrzyckiej i wzniesień morenowych (Wesołowski 1996, 31). Na przełomie III i IV EB nastąpiło ostateczne wykrystalizowanie społeczności łużyckich pól popielnicowych na Pomorzu Zachodnim. Skupiska osadnicze, choć na mniejszą skalę, niż w innych rejonach Pomorza, dostrzegalne były w dorzeczu Płoni i Małej Iny. W badaniach archeologicznych tego obszaru podreślano wagę sieci wodnych oraz kontakty z południem i północą (Wesołowski 1996, 31). Strefy osadnicze na Pomorzu zachodnim w młodszym okresie epoki brązu zarejestrowano również: w rejonie Kamienia Pomorskiego oraz na wyspie Wolin i Uznam, w rejonie Szczecina i w obrębie Puszczy Wkrzańskiej, w obrębie Pojezierza Myśliborskiego. Obiekty osadnicze były dość rozproszone: w okolicach Cedyni i wzdłuż zachodniego brzegu Odry, w rejonie Gorzowa Wielkopolskiego po obu stronach Warty (Bukowski 1998, 192–193). W rejonach położonych na północ od Szczecina (Ostoja-Zagórski 1982, 60n, mapa 2) koncentracja osad i cmentarzysk zaznaczała się zwłaszcza

[1] Zastosowano pojęcie „społeczności łużyckich pól popielnicowych" w opozycji do używania terminu „kultura łużycka". Wynikało to z tego, że w ostatnim okresie poddano krytyce monolityczność i etniczne podstawy wyodrębnienia kultury łużyckiej. Z drugiej strony pojęcie okresu pól popielnicowych funkcjonowało od samego początku periodyzacji (Kaczmarek 2012, 22–25; Kaczmarek 2014, 65; Kaczmarek 2017, 264–293).

[2] Szereg innych ważnych pozycji, por. bibliografię: Bukowski 1998, Kostrzewski 1958a.

ISBN 978-83-61456-34-6 Archeologia Stargardu T. V,1 – 2019
ISBN 978-83-7986-312-9

w strefie między Gryficami a Kamieniem Pomorskim oraz między Szczecinem a Stargardem, m.in. z cmentarzyskiem w Radowie, dawny powiat stargardzki (Bukowski 1998, 193, 244). Schyłek epoki brązu charakteryzował się dużą stabilizacją osadniczą Pomorza, przejawiającą się przede wszystkim formą długotrwałych cmentarzysk, a także wystąpieniem licznych osad otwartych, jak również obecnością dużej liczby skarbów brązowych (Bukowski 1998, 242).

W opracowaniach polskich badaczy omawianego obszaru należałoby również wymienić prace Tadeusza Malinowskiego (1976; 1989; 1997) z oceną stanu badań nad kulturą łużycką na obszarze pomorskim, uzupełnioną następnie przez Marka Gedla (1989). Prace te pokazywały dobitniej, iż dotychczasowa wiedza opierała się w dużej mierze na wynikach badań niemieckich prowadzonych do lat czterdziestych (Bukowski 1998, 24). Po drugiej wojnie światowej, badania wykopaliskowe i gabinetowe, bardziej zintensyfikowane po 1975 roku, w większej skali objęły wybrane regiony Pomorza Zachodniego, m.in. okolice Szczecina, Cedyni i Pyrzyc (Bukowski 1998, 24). Ich wyniki pojawiały się przede wszystkim w „Materiałach Zachodniopomorskich", czy np. w pierwszym tomie poświęconym dziejom Szczecina (Wesołowski 1983, 279–468). Z innych prac należałoby wspomnieć o opracowaniach kompleksowych społeczności łużyckich pól popielnicowych autorstwa M. Gedla (1975), Jana Dąbrowskiego (1979, 74–80), czy A. Gardawskiego (1979b, 117–122).

W „Materiałach Zachodniopomorskich", począwszy już od tomu drugiego z 1956 r. i w następnych rocznikach, należy przedstawić szereg artykułów poświęconych ludności łużyckich pól popielnicowych na Pomorzu Zachodnim i Środkowym: K. Siuchnińskiego o badaniach kurhanu z Wartin (1956, 7–40), A. Hamling o badaniach na cmentarzysku w Krzęcinie, pow. choszczeński (1956, 41–112) oraz wynikach badań na grodzisku w Lubinie, pow. woliński (1964, 9–36), R. Wołągiewicza o znaleziskach części uprzęży końskiej z Pomorza (1957, 7–16) oraz o cmentarzysku z II–IV EB w Brzeźniaku, pow. łobeski (1961, 23–84), W. Szafrańskiego o badaniach na grodzisku grupy górzyckiej w Swobnicy, pow. gryfiński (1957, 25–74) oraz na grodzisku w Myśliborzu (1959, 43–68), J. Kostrzewskiego z uwagami o północnej strefie występowania kultury łużyckiej (1958b, 7–16), J. Wojtasika o badaniach osady łużyckich pól popielnicowych na wzgórzu „Młynówka" w Wolinie (1958, 49–104), S. Wesołowskiego o halsztackim skarbie z Grünz koło Pasewalku (1958, 105–130), M. Pietrzaka o badaniach na cmentarzysku kurhanowym w Siemirowicach, pow. lęborski (1959, 25–42), E. Cnotliwego o badaniach na osadzie „łużyckiej" w Sibinie, pow. kamieński (1960, 41–60) oraz o osadnictwie ludności łużyckich pól popielnicowych na Wzgórzu Zamkowym w Szczecinie (1976, 7–70), R. Lachowiczowej o cmentarzysku „łużyckim" w Cewlinie, pow. koszaliński (1966, 9–52), F. Lachowicza o cmentarzysku kurhanowym w Grabowie, pow. bytowski (1968, 9–126) oraz o wczesnohalsztackim skarbie brązowym z Kazimierza Pomorskiego, pow. koszaliński (1978, 7–34), H. Malinowskiej o badaniach na cmentarzysku w Cedyni, pow. chojeński (1972, 15–26; Malinowska-Łazarczyk 1973, 49–96), T. Nawrolskiego o śladach osady „łużyckiej" na wzgórzu klasztornym w Cedyni, pow. chojeński (1972, 27–49), M. Rulewicza o pozostałościach osady ze Szczecina-Niemierzyna (1973a, 19–42) oraz o śladach cmentarzyska ludności łużyckich pól popielnicowych i z okresu wpływów rzymskich w Wierzbnie, pow. pyrzycki (1973b, 105–116), J. Fogla o uzbrojeniu ludności łużyckich pól popielnicowych (1979, 7–51), A. Tyniec o bransoletach nerkowatych z młodszej epoki brązu (1987, 49–146; 1989/90, 7–48), A. Kaube o skarbie z V EB z Wolina (1988, 17–31), A. Pankowskiego o cmentarzysku kurhanowym ludności „łużyckiej" w Łupawie, pow. słupski (1989/90, 49–76), E. Wilgockiego o badaniach na osadzie w Wierzchlasie, pow. gryfiński (1991, 19–45), A. Uciechowskiej-Gawron o osadnictwie „łużyckim" w Brzezinie, pow. pyrzycki (1992, 123–153), I. Skrzypka o halsztackim skarbie brązowym z Malczkowa oraz nieznanych depozytach z pow. słupskiego (1995, 7–37) oraz o skarbie brązowym z miejscowości Karsina, pow. koszaliński (1999, 95–129), D. Kozłowskiej o osadzie ze Szczecina-Niemierzyna (1997, 113–158) oraz o badaniach na cmentarzysku ciałopalnym w Mierzynie, pow. policki (1999, 131–163), B. Walkiewicza o osadzie ludności łużyckich pól popielnicowych w Dębczynie, pow. białogardzki (1999, 165–182). W ramach „Materiałów Zachodniopomorskich" zwrócono uwagę na artykuły: M. Dworaczyka o ceramice naczyniowej kultury łużyckiej z Pyrzyc (2004, 123–132) czy A. Górskiej-Maciałowicz o starożytnych zabytkach z doliny rzeki Iny w Suchaniu, pow. stargardzki, w tym z okresu trwania społeczności łużyckich pól popielnicowych (2012, 31–121).

Z obszaru Stargardu, zarówno z samego miasta, jak i powiatu, pochodziło szereg archeologicznych pozostałości osadniczych związanych z ludnością łużyckich pól popielnicowych, rozprzestrzenionych chronologicznie już od III okresu epoki brązu do okresu halsztackiego D. Z miasta znanych było również kilka przypadków znalezienia zabytków ruchomych łączonych z tą kulturą. J. Kostrzewski wymienił znaleziska ułamków ceramiki z terenów ogrodów miejskich, wśród których znalazły się części kubka, amfory, czarki i innych naczyń (1958a, 318). Poza nimi do muzeum w Szczecinie trafiła halsztacka waza i inne naczynia znalezione na terenie miasta (Kostrzewski 1958a, 319). W Stargardzie znaleziono również workowatą grzechotkę (Kostrzewski 1958a, 182), skarb brązowy z III EB, określany jako garnitur ozdób brązowych typu *Lübz*, na który składały się dwie bransolety taśmowate, zdobione ukośnymi kreskami oraz dwie bransolety z taśmowatą obręczą i tarczkami spiralnymi (Kostrzewski 1958a, 319; Kersten 1958, 73, nr 701, tabl. 73; Bukowski 1998, 166, mapka 65). Z obszaru miasta pochodziła jeszcze niezdobiona siekierka z tulejką czworograniastą typu północnoniemieckiego. Siekierki takie znane były głównie z Pomorza Zachodniego (Bukowski 1998, 178). Ze skarbu pochodziła także zapinka odmiany zdobionej motywem podkowiastym (Bukowski 1998, 339). Poza stanowiskami i luźnymi depozytami związanymi z osadnictwem

społeczności „łużyckich", ze Stargardu pochodziło również cmentarzysko kurhanowe, przeistaczające się następnie w cmentarzysko płaskie. Przeżywało się do okresu Ha C (Bukowski 1998, 199).

Również w najbliższej okolicy miasta wymienić można było szereg zabytków. Ze Stargardu-Kluczewa pochodził skarb, w którym znaleziono miecz z długim kolcem do rękojeści. Miecze tego typu określane były na IV–V EB, jednakże w tym przypadku okaz ten był typem przewodnim z okresu III EB, Reprezentował formę pośrednią pomiędzy krótkim mieczem a długim sztyletem (Bukowski 1998, 206). Ze skarbu ze Stargardu-Kluczewa pochodziły także sztylety z kolcem do rękojeści typu *Griffdorndolch*, datowane na V EB (Bukowski 1998, 278). W okolicach Stargardu znaleziono również przykład pewnego typu ozdoby, a mianowicie bransolety z miseczkowato (pieczątkowato) zgrubiałymi zakończeniami (Bukowski 1998, 334).

Z terenu powiatu stargardzkiego pochodziło szereg stanowisk, częściowo odkrytych jeszcze przed drugą wojną światową, a częściowo rozpoznanych stosunkowo niedawno. Datowano je od III EB aż do końca trwania społeczności łużyckich pól popielnicowych. Stanowiska te przedstawiały osady lub cmentarzyska (lub ich części), a także miejsca zdeponowanych skarbów i pojedynczych zabytków. Z Bytowa znane było cmentarzysko kurhanowe z IV EB. Wystąpiły na nim groby z obstawą kamienną. W grobach znajdowały się popielnice, m.in. amfora(?) z cylindryczną szyjką, bezucha, ze żłobkami, czy donicowate naczynie bezuche. Niekiedy popielnicom towarzyszyły przystawki. W jednym z grobów znaleziono nóż brązowy (Kostrzewski 1958a, 45, 65, 93, 255). W Chlebówku znaleziono pięcioboczny toporek kamienny (Kostrzewski 1958a, 256). Z Dalewa pochodził skarb brązowy, który dawniej uznawany był za cmentarzysko z kilkoma grobami jamowymi. Pochodziły z niego: krótki miecz z kolcem do rękojeści przez E. Sprockhoffa mylnie określony wraz ze znalezionymi mieczami liptowskimi na wczesny okres żelaza (cyt. za: Bukowski 1998, 206) oraz miecz (dwa miecze?) typu *Liptov*, datowany na 2. połowę III EB-1. połowę IV EB (Kostrzewski 1958a, 96, 109, 260; Bukowski 1998, 174, 202–203, 205–206, 208, 209, ryc. 87). Skarb z Dalewa zaliczono do zespołów tzw. germańskich, z zachodnich partii Pomorza Zachodniego, zawierających typowo nordyjskie formy. Przeciwstawiano im zespoły z południowo-zachodniej części Pomorza Zachodniego, określane jako „niegermańskie" (Sprockhoff 1937, cyt. za: Bukowski 1998, 202). W miejscowości Długie odkryto kilka grobów z młodszego okresu epoki brązu i wczesnego okresu epoki żelaza, zdeponowanych w obrębie cmentarzyska z późnego okresu lateńskiego. Znaleziono w nich m.in. pucharek z pustą nóżką, na którym stała popielnica, dwustożkowata waza z IV EB, czy szczypce żelazne i tarczka do uprzęży końskiej z otworem. W torfowisku w tej miejscowości odnaleziono brązową szpilę z dwiema tarczkami spiralnymi. W Długiem lokalizowano również grodzisko ludności łużyckich pól popielnicowych (Kostrzewski 1958a, 61, 198, 202, 262). Z Dzwonowa pochodziło cmentarzysko ciałopalne z V EB. Pochodziła z niego m.in. popielnica dwustożkowata, zdeponowana w muzeum w Stargardzie, a także siekierka z tulejką typu łużyckiego. Poza tym z tej miejscowości pochodziły: brzękadło, czyli element uprzęży końskiej, odlewana misa brązowa do zawieszania, dłuta z tuleją, czy naszyjniki skręcane wokół osi z jedną lub kilkukrotną zmianą żłobkowania (tordowania) z haczykowatym zakończeniem. Naszyjniki te były charakterystyczne dla północnych Niemiec, również Danii i południowej Szwecji w V EB, stanowiąc produkt nordyjski. Polemizował z tym J. Kostrzewski (1958a, 135n), uważając, że zasięg ich występowania obejmował przede wszystkim obszar występowania ludności łużyckich pól popielnicowych (Kostrzewski 1958a, 136, 149, 150, 265; Bukowski 1998, 300, ryc. 143; 305, ryc. 147; 307, ryc. 149; 319, ryc. 159; 320, 336). W Gogolewie, pod dużym głazem, znaleziono skarb w postaci szpili wrzecionowatej, o poprzecznie żłobkowanej główce z okresu III EB, podobno wraz ze szczypcami, jednakże pochodzącymi z okresu halsztackiego (Kostrzewski 1958a, 28, 29, ryc. 13.1; 269; Kunkel 1931, 48, tabl. 44). Z Ińska, w powiecie stargardzkim, J. Kostrzewski wymieniał brązowy miecz halsztacki, znajdujący się dawniej w Muzeum w Stargardzie (1958a, 199, 273). W Karkowie, w 1941 roku wykopano w torfie skarb halsztacki, na który składał się duży otwarty pierścień cynowy, dwa naszyjniki brązowe, skośnie żłobkowane oraz trzy bransolety brązowe, cylindryczne i dwie inne, zdobione kołami koncentrycznymi i liniami punktowymi (Kostrzewski 1958a, 190, 204, 275). Z Kępna, w powiecie stargardzkim, pochodziła szpila brązowa z dwiema tarczkami spiralnymi z okrągłego drutu (Kostrzewski 1958a, 189, ryc. 145.2; 277). W Kicku znaleziono popielnicę przykrytą misą i z dwoma przystawkami, datowaną na młodszą epokę brązu (Kostrzewski 1958a, 276). W Krzywnicy lokalizowano cmentarzysko popielnicowe z młodszej epoki brązu. Znaleziono tam m.in. trzy popielnice, przystawkę, kubki uchate, czarkę i pierścionek brązowy, które trafiły do zbiorów prywatnych (Kostrzewski 1958a, 281). W Kunowie (pow. stargardzki) odkryto kilka stanowisk archeologicznych, z których w pracy J. Kostrzewskiego wymieniona została ceramika z młodszej epoki brązu (Kostrzewski 1958a, 281). W czasie budowy obwodnicy miasta Stargard, w ramach drogi ekspresowej S10, w 2008 roku przeprowadzono badania archeologiczne na stanowisku nr 4, 30 i 31 w Kunowie. W trakcie tych badań natrafiono na osadnictwo społeczności łużyckich pól popielnicowych z późnych faz ich występowania na tym terenie (Żychliński i in. 2009, 150–212; Affelski i in. 2009, 52–72; Affelski i in. 2009a, 14–41). Przed badaniami na stanowisku nr 4 w Kunowie, w ramach prospekcji terenowej w 2001 roku, odkryto fragment ostro profilowanego naczynia "łużyckiego", zachowanego w dolnej partii (Uciechowska-Gawron 2013, 340–341). Podczas badań w Lubowie natrafiono na część osady z okresu halsztackiego (Rogowska 1992). W Łęczycy odnaleziono pięcioboczny toporek kamienny z żeberkami (Kostrzewski 1958a, 286). Z Mosiny Pomorskiej pochodził sierp brązowy z guzem (Kostrzewski 1958a, 291). W Pęzinie już w 1770 r. miejscowy

pastor rozkopał duże cmentarzysko popielnicowe z V EB. Z około 200 naczyń zachowało się 45. W jednym z grobów w obstawie kamiennej znaleziono popielnicę stojącą na misie i nakrytą kloszem. Towarzyszyły jej dwie przystawki (Kostrzewski 1958a, 106, 300; Kunkel 1931, 55, 134, nr 488, tabl. 56). Z Poczernina znano grób skrzynkowy, w którym zdeponowano naczynko beczułkowate i czerpak (Kostrzewski 1958a, 124, 301). Rozległe cmentarzysko kurhanowe z IV EB zlokalizowano w Radowie. Zarejestrowano tam około 100 kurhanów (Kostrzewski 1958a, 98–99, 306; Bukowski 1998, 193). W miejscowości Rybaki znaleziono popielnicę z epoki brązu, a w innym miejscu pięcioboczny toporek kamienny (Kostrzewski 1958a, 310). W miejscowości Rybionek już w drugiej połowie XIX wieku odkryto nieduże cmentarzysko kurhanowe z IV EB. Wewnątrz kurhanów były zachowane konstrukcje skrzynkowe. Z cmentarzyska tego pochodziło szereg przedmiotów glinianych i brązowych, m.in. szczypce, szpila z profilowaną główką, brzytwa, guzki, pierścionki, fragmenty naczyń zdobione żłobkami (Kostrzewski 1958a, 72, ryc. 54; 82, 87, 94, 310–311; Bukowski 1998, 191, ryc. 79; 200, 201, ryc. 81; 235–236). Liczne znaleziska pradziejowe z okresu epoki brązu, z III i IV EB, pochodziły z miejscowości Storkowo. Z okresu III EB znaleziono bransolety z taśmowatą obręczą i tarczkami spiralnymi (garnitur typu *Drehna*), a także naramiennik typu Wierzbięcin (?) oraz skarb z ozdobami typu *Barnekow* oraz *Ladenburg*. Na IV EB datowano kurhany z obstawą kamienną, z ceramiką i ozdobami brązowymi. Znaleziono kolie złożone z podobnych, rurkowatych, brązowych skrętów spiralnych, przedzielonych kątowymi ogniwkami. Uznano je za część garniturów, nazwanych od eponimicznego stanowiska typem Storkowo (*Alt Storkower*). Poza tym w innym skarbie z IV EB znaleziono siekierki brązowe, stanowiące płaskie okazy ze środkowymi skrzydełkami i piętką, określane jako typ środkowoeuropejski. Siekierki te występowały na szerszym obszarze, od zachodniej Francji do Wisły oraz od południowej Szwecji aż po Alpy (Kostrzewski 1958a, 76, ryc. 56; 77–78, 80, ryc. 59; 85, 322–323; Kersten 1958, 72, nr 692, nr 693, nr 694, tabl. 72; Kunkel 1927, 460–461; 1931, 38, tabl 28; 46, tabl. 43.1; Bukowski 1998, 166, ryc. 65; 184, 202, 214, 232, ryc. 104; 233). Ze Storkówka pochodził fragment naramiennika z drutu owalnego i z tarczkami spiralnymi oraz czerpak (Kostrzewski 1958a, 323; Kersten 1958, 74, nr 703, tabl. 73). W Strachocinie natrafiono podczas kopania żwiru na dzbanek oraz fragmenty innych naczyń (Kostrzewski 1958a, 323). S. Griesa (1982, 221, 247, mapa 247) wymieniał Strachocin jako jedno z najbardziej wysuniętych na północny wschód stanowisk grupy górzyckiej. W 2015 roku autor niniejszego artykułu prowadził badania ratownicze w obrębie miejscowości Strachocin w ramach budowy domu jednorodzinnego. Natrafił tam na pozostałości osady z końca epoki brązu i początku epoki żelaza (Mikuła 2015). Z Suchanówka znane było cmentarzysko z wczesnego okresu żelaza. Odkryto tam popielnice w obwarowaniu kamiennym, grzechotkę, szpilę z łabędzią szyjką i pierścionek brązowy (Kostrzewski 1958a, 130–131, 324). W Suchaniu odkryto cmentarzysko popielnicowe oraz osadę, datowane na młodszą epokę brązu (Kostrzewski, 1958a, 123, 324). S. Griesa, tak jak w przypadku Strachocina, zakreślał północno-wschodni zasięg grupy górzyckiej kończąc na Suchaniu, przedstawiając cmentarzysko z młodszej epoki brązu, przeżywające się następnie do wczesnego okresu żelaznego (Griesa 1982, 221, 281, mapa 5). W miejscowości Święte (stan. 7, 8, 10, 22) oraz Witkowo (stan. 22, 42), w ramach budowy obwodnicy miasta Stargard przeprowadzono badania archeologiczne, podczas których natrafiono na mniej lub bardziej zwarte struktury osadnicze kultury łużyckiej (Kornaś, Ostrowski 2009; Słota, Snakowski 2009; Jaszewska i in. 2009; Affelski i in. 2009; Staniucha 2009; Majewski i in. 2009). W Szadzku znaleziono fragmenty naczyń z młodszej epoki brązu (Kostrzewski 1958a, 325). Z Tolcza pochodził soczewkowaty przedmiot kamienny, wydobyty z obszaru żwirowiska, na którym lokowano cmentarzysko popielnicowe (Kostrzewski 1958a, 331). W Tychowie, w powiecie stargardzkim, znaleziono trzy groby popielnicowe z obwarowaniem kamiennym (Kostrzewski 1958a, 333). W Wiechowie odkryto popielnice, w tym jedną o siedmiobocznym brzuścu i ornamentyką guzową. Poza tym wydobyto prawdopodobnie złoty pierścionek oraz szpilę z główką zwiniętą w uszko (Kostrzewski 1958a, 338). Z Żarowa pochodziło małe naczynko gliniane (Kostrzewski 1958 a, 344).

Do uwag o ogólno pojętym osadnictwie „łużyckim" omawianych terenów, wraz z praktyką funeralną tejże społeczności, należałoby także dodać fakt, iż już w młodszym okresie epoki brązu (od IV EB), podobnie jak to miało miejsce w Meklemburgii, prócz grobów kurhanowych, stanowiących jeszcze przeważającą formę grobów, zaczęły występować nieliczne cmentarzyska i pojedyncze groby płaskie, jak również pochówki wtórne w kurhanach „wczesnobrązowych". Zaobserwowano, że płaskie groby znajdowały się w bezpośrednim sąsiedztwie kurhanów, stanowiąc jakby ich rozszerzenie. Takie zjawisko zaobserwowano m.in. w Stargardzie. Zajmowały znaczną przestrzeń (pola) i przeżywały się do Ha C (Bukowski 1998, 199).

Ślady osadnictwa społeczności łużyckich pól popielnicowych odkryte na kwartale IX

W trakcie badań archeologicznych na kwartale IX w Stargardzie, ograniczonym ulicami: Bolesława Chrobrego, Kazimierza Wielkiego, Grodzkiej i Targ Drzewny, natrafiono na trzy jednostki nieruchome, które po znalezionych w nich depozytach ceramiki naczyniowej, uznano za obiekty społeczności łużyckich pól popielnicowych. Były to: obiekt nr 3 z dawnej parceli 33 przy Große Mühlenstrasse, obiekt 1 i 12 z historycznej działki 28 przy Radestrasse. Ich charakter osadniczy był raczej niepodważalny, przedstawiały zabytki nieruchome niezaobserwowanej w szerszym kontekście osady ludności łużyckich pól popielnicowych, niepewny natomiast był ich kontekst funkcjonalny oraz „nienaruszalność" stratygraficzna.

Z obserwacji obiektów odkrywanych *in situ* oraz na podstawie dokumentacji wykopaliskowej wynikało, iż obiekty te miały w jakimś stopniu charakter wtórny, z wtórnie zdeponowanym w nich materiałem zabytkowym. Zalegały w otoczeniu nawarstwień późnośredniowiecznych i nowożytnych, o dość zróżnicowanej stratygrafii, dodatkowo będąc „zamkniętymi" w obrębach poszczególnych jednostek o późniejszej chronologii, zajmujących cały obszar badanego terenu. Charakter „wtórny" omawianych obiektów, wraz z wtórnie złożonym materiałem zabytkowym był więc raczej pewny, nie można było tylko określić, kiedy te depozyty nastąpiły. W tym miejscu pojawiał się również problem określenia funkcji, jakie te obiekty pełniły. Biorąc pod uwagę ich naruszoną, nie „czystą" stratygraficznie i chronologicznie genezę, zachowane kształty, rodzaje wypełniska i ich zawartość, można było przyjąć hipotezę, iż były to obiekty o charakterze ogólnie mówiąc śmietniskowym[3]. Dobitnie było to widoczne przede wszystkim w obiekcie nr 12, z którego wydobyto bardzo dużą liczbę mocno rozdrobnionych fragmentów ceramiki naczyniowej społeczności łużyckich pól popielnicowych, o czym w dalszej części pracy.

Przemieszane warstwy poziome o różnej chronologii, w tym zapewne także i z omawianego okresu, jak również zakłócona stratygrafia wykopów, mogły mieć swe źródło, zapewne w jakiejś mierze, w pracach rozbiórkowych i budowlanych prowadzonych od lat pięćdziesiątych XX wieku, w związku z intensywną odbudową miasta zniszczonego w 1945 r. (Rogosz 1973, 216–217, przyp. 4).

Obserwując plan płaski wytyczonego obszaru badań, obiekty związane ze społecznością łużyckich pól popielnicowych położone były w centralnej partii kwartału, zorientowane mniej więcej w jednej osi o kierunku NW–SE. Najbardziej na północ wysunięty był obiekt 12. W odległości około 9 m na południe, w obrębie tej samej historycznej parceli (Radestrasse 28) znajdował się obiekt 1. Całość zamykał od południa obiekt 3, zlokalizowany w obrębie dawnej parceli Große Mühlenstrasse 33, w odległości około 13 m od obiektu 1[4].

Na przykładzie tych trzech obiektów, uznanych za elementy osadnicze społeczności łużyckich pól popielnicowych, choć samych w sobie dość niepewnych stratygraficznie i funkcjonalnie, trudno było mówić o osadnictwie „łużyckim" omawianego obszaru w szerszym kontekście[5]. Ogólnie przyjmowało się, że już od wczesnych faz na Pomorzu Zachodnim występowały osady otwarte, początkowo o bardziej sezonowym charakterze, by stać się w młodszej epoce brązu bardziej ustabilizowanymi, tworząc również skupiska osadnicze. Rozwojowi, intensyfikacji zasiedlenia towarzyszyły sprzyjające warunki gospodarki rolno-hodowlanej. Zaobserwowano aglomeracje w kilku miejscach Pomorza Zachodniego: w rejonie Szczecina, Wolina i Kamienia Pomorskiego, Goleniowa i Łobza, w obrębie Pojezierza Myśliborskiego, zwłaszcza Kotliny Pyrzyckiej (Wesołowski 1996, 32–33; Bukowski 1998, 244). Na terenie Kotliny Pyrzyckiej i sąsiadujących z nią terenach, osadnictwo było szczególnie intensywne. Informacji na ich temat dostarczyły m.in. wieloletnie wykopaliska prowadzone nad Małą Iną w rejonie Dolic, gdzie rozpoznano dwa cmentarzyska kurhanowe z epoki brązu. Ślady osadnictwa wychwycono poprzez badania sondażowo-zwiadowcze, m.in. na osadzie w Brzezinie (V EB), Pyrzycach (okres halsztacki – Ha) i Przywodziu, gm. Przelewice (Ha C), jak również na cmentarzyskach w Żukowie i Żalęcinie, gm. Przelewice z młodszego okresu epoki brązu (Wesołowski 1996, 28). Badania na obszarze ziemi pyrzyckiej nie zostały jeszcze ukończone. Do uwag o intensyfikacji stanowisk o bardziej stabilnym charakterze można było również dodać wstępne wnioski o regularnym rozkładzie w przestrzeni depozytów przedmiotów brązowych (Krajewski 2007, 43). We wczesnym okresie żelaza (Ha C) na terenie tym zaczęły pojawiać się osiedla obronne. (Wesołowski 1996, 32–33, 35).

Analiza odkrytego materiału ceramicznego

W wyniku przeprowadzonych badań archeologicznych pozyskano dość liczny materiał zabytkowy w postaci ceramiki, identyfikowanej z osadnictwem społeczności łużyckich pól popielnicowych (ŁPP). Zbiór ten pochodził z trzech jednostek odkrytych w trakcie prac wykopaliskowych, które zostały scharakteryzowane powyżej. Całość materiału ceramicznego ŁPP wynosiła 22 341 fragmenty. Z obiektu nr 1 pozyskano łącznie 214 fragmentów ceramiki, a z obiektu nr 3 łącznie 441 fragmentów ceramiki. Natomiast przeważająca liczba fragmentów, bo aż 21 686 pochodziła z obiektu nr 12, co stanowiło 97,07% całości zbioru (ryc. 1).

Pozyskany materiał ceramiczny cechował się bardzo dużym rozdrobnieniem i zniszczeniem, co bardzo utrudniało analizę, próbę rekonstrukcji form i deskrypcję z uwzględnieniem wszystkich pozostałych elementów analizy ceramicznej. Pomimo odkrycia również większych fragmentów naczyń ułatwiających prace analityczne, duża część materiału ograniczała się do niewielkich ułamków, często zniszczonych, co niewątpliwie bardzo utrudniało pracę. Niemniej działania te podjęto i każdy fragment ceramiczny zbioru został zbadany.

Ceramikę społeczności łużyckich pól popielnicowych, pozyskaną z obiektów poddano analizie mikro- i makromorfologicznej, z punktu widzenia ornamentyki oraz technologii. Liczba

[3] Ze względu na duże prawdopodobieństwo wtórnego charakteru obiektów przypisywanych społeczności łużyckich pól popielnicowych nie poddano analizom pozyskanych tam kości zwierzęcych.

[4] Por. w tym tomie: M. Szeremeta, *Sytuacja przestrzenno-stratygraficzna*, tam lokalizacja i plany odkrytych obiektów.

[5] Warto jednak podkreślić, że ceramika „łużycka" była odkrywana podczas badań na terenie dawnego kościoła augustianów, por. Majewski 2016, 10. Ponadto na Rynku Staromiejskim i w kościele Mariackim, Dziękuję za niniejszą informację pracownikom Działu Archeologii Muzeum Archeologiczno-Historycznemu w Stargardzie.

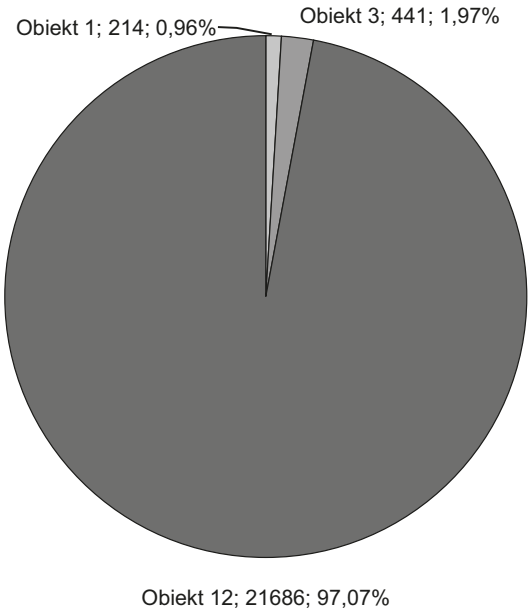

Ryc. 1. Stargard, Stare Miasto, kwartał IX. Udział ceramiki ludności łużyckich pól popielnicowych w poszczególnych obiektach nieruchomych. Oprac. R. Mikuła

Abb. 1 Stargard, Altstadt, Quartier IX. Anteil der Keramik in der Bevölkerung der Lausitzer Urnenfelderkultur in einzelnen unbeweglichen Befunden. Bearb. R. Mikuła

fragmentów ceramiki została określona jako zbiór jednostek taksonomicznych, poddających się próbom analizy matematyczno-statystycznej. Jednostki te funkcjonowały w danych naczyniach, czy mówiąc ściślej grupach naczyniowo-technologicznych, wydzielonych w całym materiale danego obiektu. Należało przy tym wyjaśnić, że pojęcie „naczynie" – jako grupa jednostek taksonomicznych funkcjonujących w danym, wyodrębnionym zbiorze, nie była pojęciem *stricte* odzwierciedlającym wykładnik znaczeniowy pojęcia, za jakie uważało się „naczynie", czyli również naczyniem fizycznie określonym, ale przede wszystkim grupą fragmentów ceramiki mogących, w połączeniu z podobieństwem wielkości formy, technologicznym, stylistycznym, czy zdobniczym, pochodzić od jednego naczynia. Miało to uzasadnione znaczenie w przypadku często występującego silnego rozdrobnienia materiału. Dlatego też, o ile nie odnosiło się jednoznacznie do kategorii naczynia w ujęciu makro-, czy mikromorfologicznym, pojęcie naczynie w katalogu zbioru w rzeczywistości przedstawiało taksonomiczną grupę jednostek naczyniowo-technologicznych.

W prezentowanym zbiorze ceramiki, w obiekcie nr 1 wydzielono liczbę 13 jednostek naczyniowo-technologicznych (j.n.-t., naczyń), w obiekcie nr 3 liczbę 31 j.n.-t., natomiast w obiekcie nr 12 aż 592 jednostki naczyniowo-technologiczne. Ta duża liczba wydzielonych „naczyń" w obiekcie nr 12 wynikała z dwóch głównych powodów. Po pierwsze był to bardzo liczny, przeważający w całości zbiór fragmentów ceramiki. Tak duża liczba fragmentów analizowana w ramach jednej jednostki nieruchomej stwarzała istotne problemy przy rekonstrukcji danych naczyń. Obrazuje to przykład danego naczynia, którego fragmenty mogły się znajdować w kilku zainwentaryzowanych pudłach, z który każdy mógł liczyć nawet po kilka tysięcy fragmentów ceramiki. Po drugie, zbiór ten charakteryzował się, jak już nadmieniano wcześniej, silnym niekiedy rozdrobnieniem i zniszczeniem. Ogólne podobieństwo wielu fragmentów ceramiki „łużyckiej" analizowanego zbioru z jednej strony stwarzało możliwości zawężenia ich do mniejszej liczby zbiorów naczyniowych (j.n.-t.), z drugiej jednak strony indywidualne cechy poszczególnych, często nawet bardzo małych fragmentów implikowały do nadania im rangi samodzielnych jednostek naczyniowo-technologicznych (czy naczyń).

Analiza mikromorfologiczna

Przyjmuje się, iż przeprowadzenie analizy, obserwacja danego zbioru ceramiki z punktu widzenia mikromorfologii naczyń powinna dążyć do osiągnięcia dwóch zasadniczych celów:

– wykorzystania tychże cech (mikromorfologicznych) jako analizy pomocniczej dla analizy makromorfologicznej przy rekonstrukcji całych form naczyniowych;
– obserwacji jednostek mikromorfologicznych względem ich zróżnicowania, zmian stylistycznych, również w czasie, w próbie bardziej samodzielnej analizy.

O ile ten drugi cel, niewątpliwie atrakcyjniejszy z punktu widzenia deskrypcji i możliwości niezależnej obserwacji trendów stylistycznych w czasie, sprawdzał się bardziej na przykładzie materiału starszego, przede wszystkim (wczesno) neolitycznego (Czerniak 1980, 62–65), to w przypadku przedstawianego zbioru, pochodzącego z późnych faz społeczności łużyckich pól popielnicowych, był w dużo większym stopniu zastąpiony przez próby przypisania danych jednostek mikromorfologicznych większym częściom lub całościom naczyń. Można było zaobserwować jedynie częstotliwość, procentowy udział w całości zbioru najczęściej występujących elementów stylistyki mikromorfologicznej danych części naczyń, co również w jakimś stopniu służyło próbie określania większych części lub całych form naczyniowych w, często mocno rozdrobnionym,

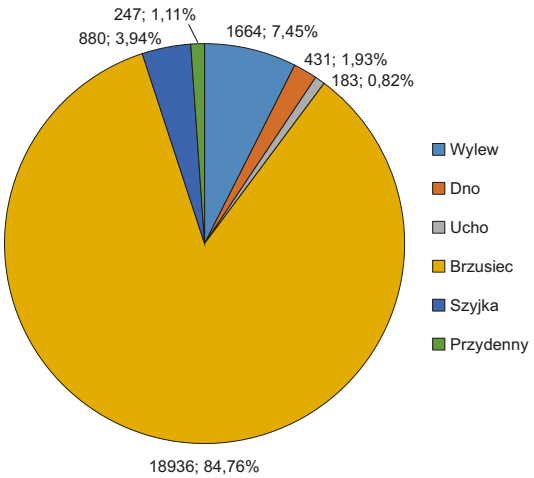

Ryc. 2. Stargard, Stare Miasto, kwartał IX. Analizowane części naczyń z punktu widzenia podziału mikromorfologicznego. Oprac. R. Mikuła

Abb. 2. Stargard, Altstadt, Quartier IX. Analysierte Gefäßteile unter dem Gesichtspunkt der mikromorphologischen Einteilung. Bearb. R. Mikuła

materiale. Co prawda, nie można było wykazać pełnej, właściwej korelacji i jej zmian pomiędzy elementami mikro- i makromorfologii, silnego związku określonego typu analizy mikromorfologicznej z danym, określonym typem analizy makromorfologicznej, ale pewna powtarzalność i „ulubione" cechy mikromorfologii z danym „typem makromorfologicznym" dały się zauważyć i zostały przedstawione.

W prezentowanym materiale, spośród wszystkich analizowanych fragmentów wyróżniono łącznie 18 936 brzuśce, 1 664 fragmenty wylewów, 431 fragmenty den, 183 (190) fragmenty uch lub całe ucha, 880 fragmentów z partii szyjki oraz 347 fragmentów przydennych (ryc. 2).

Podana w nawiasie liczba 190 odnosząca się do uch, przedstawiała realną ich liczbę. Liczbę uch lub ich części, które wystąpiły samodzielnie lub nierozerwalnie wraz z innymi elementami analizy mikromorfologicznej (np. uch połączonych z fragmentem wylewu czy brzuśca). Suma 183 przedstawiała fragmenty uch występujących

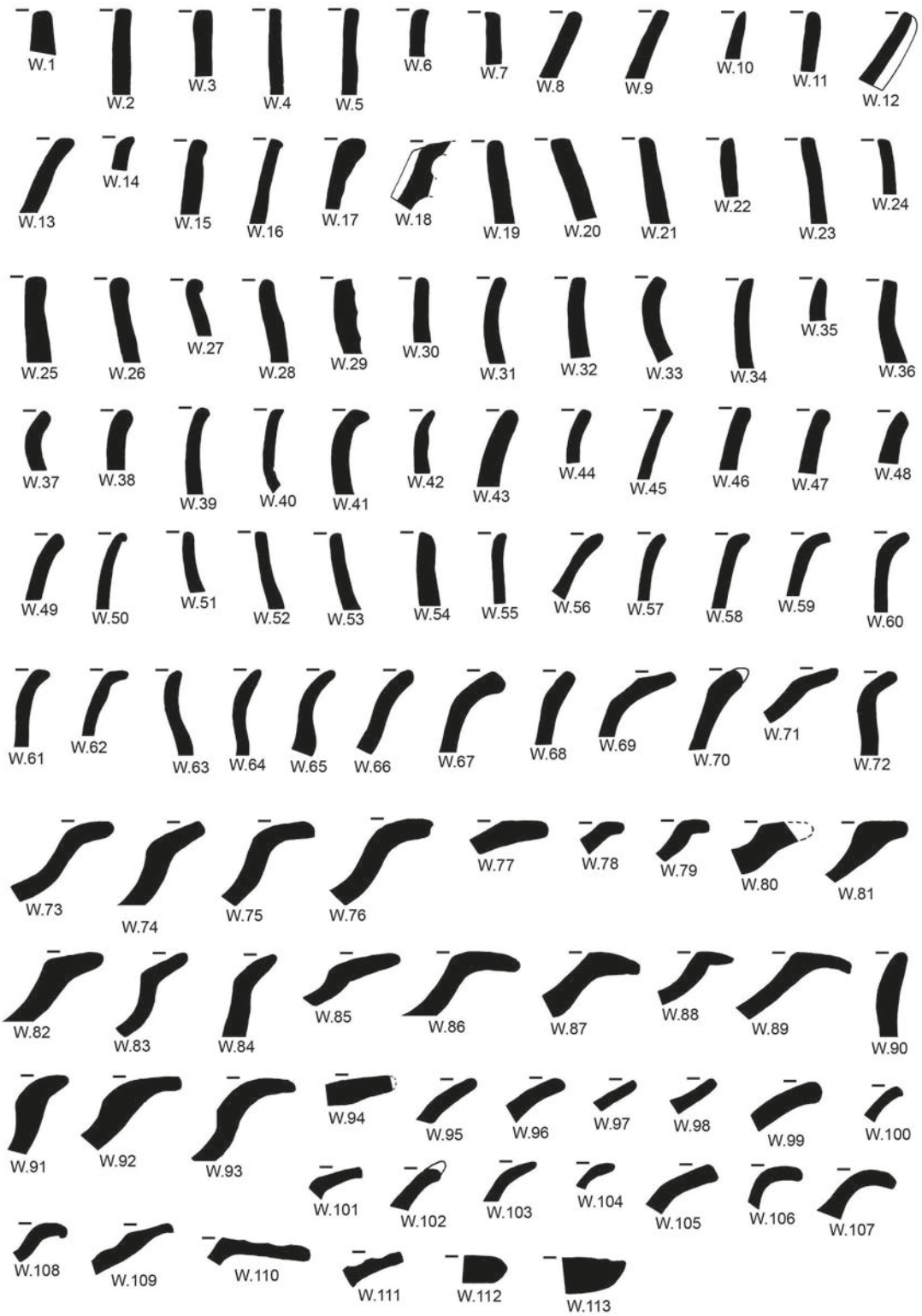

Ryc. 3. Stargard, Stare Miasto, kwartał IX. Zbiór typów wylewów analizowanego zbioru. Oprac. R. Mikuła
Abb. 3. Stargard, Altstadt, Quartier IX. Sammlung von Ausgusstypen in der analysierten Sammlung. Bearb. R. Mikuła

samodzielnie. Różnica ta wynikała z reżimu analizy statystycznej, w której suma fragmentów nie mogła być powtórzona w innym zbiorze mikromorfologicznym. Przykładowo, jeżeli w zbiorze danego obiektu, czy jednostki naczyniowo-technologicznej wystąpił np. 1 fragment wylewu, 20 fragmentów brzuśców, 3 fragmenty dna oraz 1 ucho, ale łączyło się ono np. z fragmentem wylewu, to zostało ono odnotowane jako te, które się pojawiło, ale w statystyce liczony był tylko fragment wylewu, do którego doklejone było ucho. Stąd rozbieżność pomiędzy liczbą fragmentów uch w zbiorze całości (183), a liczbą uch w ogóle (190), gdzie różnica wynosząca 7 przypadków dotyczyła sytuacji, w której ucha stanowiły nierozerwalną część z innymi elementami mikromorfologicznymi zbioru. W statystyce całości podawana została zatem liczba 183 uch, natomiast przy omawianiu uch osobno, wskazywało się liczbę 190.

Analizie mikromorfologicznej poddane zostały elementy zwieńczenia ścianek naczyń- wylewy oraz dna i ucha. Najliczniejsze i najbardziej różnorodne były wylewy. Próby typologii wylewów (krawędzi/brzegów wylewów) były przeprowadzane niezależnie od chronologii materiału czy identyfikacji kulturowej. Popularna systematyka wylewów, przedstawiona m.in. przez L. Czerniaka (por. np.: Czerniak 1980, 63, ryc. 31) sprawdzała się z pewnością również w przypadku „materiału łużyckiego". W przedstawionej w niniejszej pracy typologii wylewów dokonano dość swobodnej trawestacji tego systemu z uwzględnieniem indywidualnych cech zaobserwowanych w analizowanym zbiorze. Wzięto pod uwagę różnorodność ukształtowania elementów definiujących daną formę, ale również ich powtarzalność (ryc. 3–4).

W przypadku wylewów wyróżniono aż 113 typów. Pozornie była to dość duża liczba szerokiego *spectrum*, jednakże, biorąc pod uwagę liczebność i rozdrobnienie całego zbioru, wydawała się uprawomocniona. Podział i utworzenie tej ilości typów bazowało na obserwacji kierunku wychylenia i kształtu trzonu (rdzenia) wylewu, sposobu wykończenia jego zwieńczenia, czyli krawędzi i jej ścianek bocznych. Wiele z typów wylewów było do siebie bardzo podobnych, różniło je jednak odmienne ukształtowanie danego elementu. Rdzenie ogólnie bywały proste, łamane, łukowate

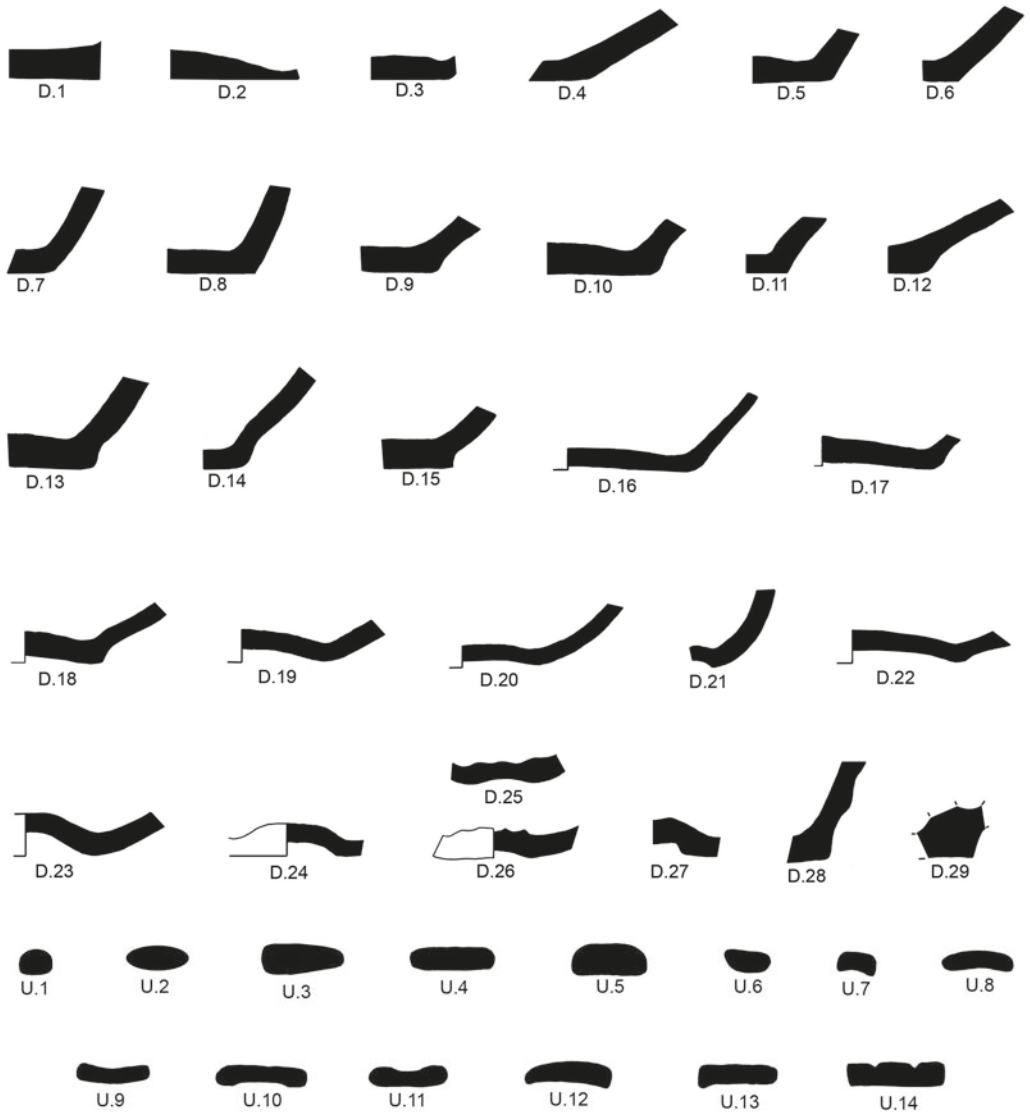

Ryc. 4. Stargard, Stare Miasto, kwartał IX. Zbiór typów den i uch analizowanego zbioru. Oprac. R. Mikuła
Abb. 4. Stargard, Altstadt, Quartier IX. Sammlung von Boden- und Henkeltypen in der analysierten Sammlung. Bearb. R. Mikuła

lub esowate w profilu, skierowane pionowo, płasko lub diagonalnie w stosunku do osi pionowej naczynia. Same krawędzie bywały bardziej różnorodnie wykańczane: proste, ścięte, ze zgrubieniami czy wgłębieniami o różnej orientacji i stopniu odchylenia. Typy wylewów, pozornie często do siebie podobne stylistycznie, co, w połączeniu z techniką lepienia ręcznie naczyń w kulturze łużyckiej (nie ma idealnie równego naczynia; często na przykładzie jednej formy udaje się wyróżnić więcej niż jeden typ wylewu), mogło przysparzać pewnych trudności z właściwym zakwalifikowaniem analizowanego wylewu do danego typu, różniły się jednak mniej lub bardziej wyraźnie w relacji rdzeń-krawędź (ryc. 5).

W przypadku den i uch typologia była prostsza, uwzględniająca także wszystkie ich elementy stylistyczne: podstawę i ściankę boczną w przypadku den; profil boczny i przekrój poprzeczny w przypadku uch. Na tej podstawie wydzielono 29 typów den oraz 14 typów uch.

Spośród wszystkich wydzielonych typów wylewów najliczniej reprezentowany był typ W.43. Wystąpił w 32 naczyniach (jednostkach naczyniowo-technologicznych), a ogólna liczba fragmentów w tym typie wyniosła 256. Typ W.43 charakteryzował się łukowato-wklęsłym rdzeniem, wychylonym mniej lub bardziej diagonalnie na zewnątrz. Brzeg prosty, owalnie zakończony (por. ryc. 3). Wystąpił w przypadku trzech garnków, tj. na naczyniu 5 (tabl. 7:1), 6 (tabl. 7:2) i 34 (tabl. 12:4) z obiektu nr 12. Liczniej, bo pięciokrotnie reprezentowany był w przypadkach kubków: na naczyniu 12 z obiektu nr 3 (tabl. 2:6), na naczyniu 27 (tabl. 11:3), 32 (tabl. 12:2), 130 (tabl. 20:6) i 208 (tabl. 28:4) z obiektu nr 12. W przypadku fragmentów dzbanów typ W.43 wylewów wystąpił sześć razy. Zaobserwowano go na naczyniu 105 (tabl. 16:2), 108 (tabl. 16:1), 114 (tabl. 18:2), 126 (tabl. 20:1), 131 (tabl. 20:7) oraz 205 (tabl. 27:14) z obiektu nr 12. Wylew ten dość popularny był także w przypadku małych naczyń z grupy czarek/naczyń miniaturowych. Zaobserwowano go na naczyniu 120 (tabl. 19:3), 206 (tabl. 28:1), 223 (tabl. 29:3), 226 (tabl. 29:9), 235 (tabl. 29:13), 311 (tabl. 30:15) i 498 z obiektu nr 12. Poza tym wylew typu W.43 wystąpił w misie z naczynia 23 (z obiektu nr 12, tabl. 11:1) oraz w wazie z naczynia 203 (obiekt nr 12, tabl. 27:11). Zaobserwowano go jeszcze na fragmentach naczynia 232 (tabl. 29:12), 248 (tabl. 30:10), 333 (tabl. 31:15), 334, 336, 444 (tabl. 31:20), 457 (tabl. 32:1), 487 (tabl. 32:14) i 497 z obiektu nr 12.

Spośród następnych typów wylewów, dość często, bo w 20 przypadkach jednostek naczyniowych wystąpił W.31. Wylew ten zaobserwowano ogółem na 139 fragmentach ceramiki. Charakteryzował się podobnym jak W.43 ukształtowaniem rdzenia, tj. łukowato-wklęsłym, ale skierowanym pionowo do góry, a nie wychylonym na zewnątrz. Brzeg również prosty, owalnie zakończony. W obiekcie nr 1 wylew W.31 wystąpił w naczyniu 3 (garnek, tabl. 1:2) oraz 5 (kubek, tabl. 1:5), w obiekcie nr 3 wystąpił w naczyniu 4 (garnek, tabl. 2:1) i naczyniu 16 (czarka, tabl. 3:3). W obiekcie nr 12 wystąpił w naczyniu 8 (garnek, tabl. 4:9), 50 (tabl. 13:3), 53 (tabl. 13:8), 54 (tabl. 13:9), 115 (dzban, tabl. 18:3), 169 (kubek, tabl. 25:1), 204 (dzban, tabl. 27:13), 216 (dzban, tabl. 28:9), 217 (dzban, tabl. 29:1), 230 (tabl. 29:11), 314 (czarka, tabl. 30:19), 316 (czarka, tabl. 30:21), 317 (czarka, tabl. 30:22), 322 (czarka), 480 (tabl. 31:10) oraz 484 (tabl. 32:5).

W dziewięciu przypadkach naczyń wyodrębniono wylew typu W.8. Wylew ten wystąpił ogółem na 33 fragmentach ceramiki. Przedstawiał prosty w profilu rdzeń, skierowany mniej lub bardziej diagonalnie na zewnątrz, z prostym, owalnie zakończonym brzegiem. Wylew ten wystąpił na naczyniu 5 (garnek, tabl. 2:2) i 6 z obiektu nr 3 (tabl. 2:3), a także na naczyniu 19 (garnek, tabl. 10:1), 22 (garnek, tabl. 10:3), 37 (tabl. 12:6), 228 (tabl. 29:8), 301 (tabl. 30:28), 328 (tabl. 31:12) i 494 z obiektu nr 12.

Do opisanego powyżej wylewu typu W.8 technologicznie bardzo podobny był wylew typu W.19, z tą różnicą, że prosty w profilu rdzeń tym razem skierowany był diagonalnie do wewnątrz naczynia. Brzeg również prosty, owalnie zakończony. Wylew ten wystąpił także w dziewięciu przypadkach, ogółem na 132 fragmentach ceramiki. Na uwagę zasługuje to, że charakterystyczny był niemal wyłącznie dla naczyń wazowatych. Poza jedynym przypadkiem, nieokreślonym makromorfologicznie naczyniem 239 z obiektu nr 12 (tabl. 30:2), wystąpił właśnie na częściach waz, w naczyniu 1 z obiektu nr 1 (tabl. 1:1) oraz w naczyniach: 101 (tabl. 15:4), 102 (tabl. 15:3), 103 (tabl. 15:5), 106 (tabl. 16:4), 218 (tabl. 28:10) i 479 (tabl. 32:11) z obiektu nr 12.

W ośmiu przypadkach naczyń wystąpił wylew typu W.47. Charakteryzował się dość prostym lub może nieznacznie łukowato-wklęsłym w profilu rdzeniem, lekko diagonalnie wychylonym na zewnętrz, idąc ku górze. Krawędź wylewu owalnie zakończona, lekko owalnie zgrubiała po stronie zewnętrznej. Wylew ów zaobserwowano na naczyniu 15 z obiektu nr 3 (waza, tabl. 3:4) oraz na naczyniu 1 (garnek, tabl. 5:1), 36 (garnek, tabl. 12:5), 51 (tabl. 13:6), 231 (tabl. 29:10), 318 (tabl. 30:23), 330 (tabl. 31:13) i 496 (czarka) z obiektu nr 12.

Kolejnym analizowanym typem wylewów był W.38, o łukowato-wklęsłym w profilu rdzeniu, skierowanym mniej więcej pionowo do góry i o lekko owalnie zgrubiałym po stronie zewnętrznej brzegu. Typ ten zaobserwowano w siedmiu przypadkach naczyń, ogółem na 59 fragmentach. Wystąpił wyłącznie w obiekcie nr 12, w naczyniu 4 (garnek, tabl. 6:2), 43 (tabl. 13:5), 56 (tabl. 13:11), 229 (tabl. 29:7), 335 (czarka), 490 oraz 491.

W sześciu przypadkach naczyń zaobserwowano wylew typu W.73. Występował tylko w misach. Charakteryzował się esowatym, wychylonym na zewnątrz rdzeniem z szerokim, płaskim brzegiem, owalnie zakończonym. Typ ten odkryto na naczyniu 112 (tabl. 17:3), 150 (tabl. 24:1), 156 (tabl. 24:8), 160, 467 i 470 z obiektu nr 12, ogółem na 24 fragmentach ceramiki.

Typ wylewu W.39 stanowił łukowato-wklęsły w profilu rdzeń, skierowany mniej więcej pionowo do góry. Brzeg owalnie zakończony, lekko dziobkowato zgrubiały po stronie zewnętrznej. Wystąpił wyłącznie w obiekcie nr 12, w naczyniach: 26 (kubek, tabl. 11:7), 30 (kubek, tabl. 11:5),

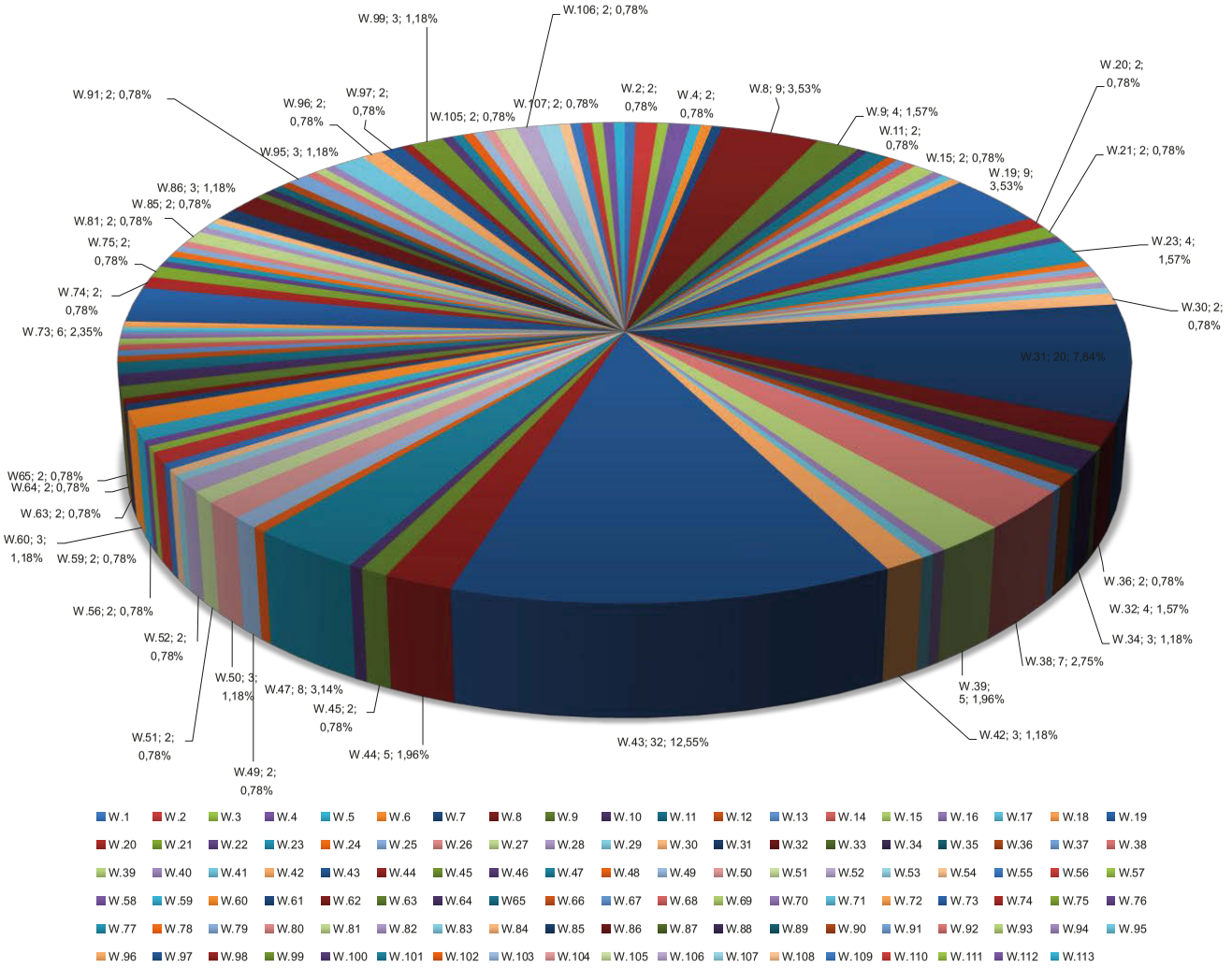

Ryc. 5. Stargard, Stare Miasto, kwartał IX. Wyróżnione typy wylewów analizowanego zbioru. Oprac. R. Mikuła
Abb. 5. Stargard, Altstadt, Quartier IX. Erfasste Typen von Ausgüssen in der analysierten Sammlung. Bearb. R. Mikuła

310 (tabl. 30:16), 331 i 486, ogółem na 41 fragmentach ceramiki.

W analizowanym zbiorze wystąpił również typ wylewu W.44. Przedstawił łukowato-wklęsłą w profilu formę, diagonalnie wychyloną na zewnątrz, idąc ku górze. Krawędź mniej więcej płasko ścięta. Wylew ten wystąpił w naczyniu 31 (kubek, tabl. 11:6), 58 (czarka, tabl. 13:13), 222 (kubek, tabl. 29:6), 307 (tabl. 30:12) i 337 (tabl. 31:5) z obiektu nr 12, ogółem na 50 fragmentach ceramiki.

Wylew W.23 prezentowany był w czterech przypadkach naczyń. Była to forma o nieznacznie esowatym, prawie prostym rdzeniu, skierowanym diagonalnie do wewnątrz, idąc ku górze. Krawędź tego wylewu dość płaska, o zaokrąglonych rantach. Typ ten wystąpił w naczyniu 23 (czarka) z obiektu nr 3 (tabl. 4:3), naczyniu 132 (waza, tabl. 20:8), 327 (tabl. 31:12) i 454 (tabl. 31:19) z obiektu nr 12.

W trzech przypadkach wystąpiły jeszcze wylewy typu W.34, W.42, W.50, W.60, W.86, W.95 i W.99. Wylew W.34 zarejestrowano na naczyniu 6 (czarka) z obiektu nr 1 (tabl. 1:3), naczyniu 3 (garnek) z obiektu nr 3 (tabl. 1:11) oraz naczyniu 28 (kubek) z obiektu nr 12 (tabl. 11:4). Typ W.42 wystąpił w naczyniu 324 (tabl. 31:8), 326 (tabl. 31:7) i 493 (czarka) z obiektu nr 12. Wylew W.50, charakteryzujący się łukowato-wklęsłym, skierowanym diagonalnie na zewnątrz rdzeniem oraz owalnie zakończonym brzegiem, daszkowato zgrubiałym po stronie zewnętrznej, zaobserwowano w przypadku naczynia 7 z obiektu nr 3 (tabl. 2:4) oraz naczynia 209 (dzban, tabl. 28:3) i 320 (tabl. 31:4) z obiektu nr 12. W obiekcie tym, na naczyniach 214 (dzban, tabl. 28:7), 215 (dzban, tabl. 28:6) i 237 (czarka, tabl. 30:1) wyróżniono również wylew typu W.60 o dzwonowato ukształtowanym profilu. Kolejne trzy typy wylewów, W.86, W.95 i W.99 również zarejestrowano w obiekcie nr 12. Pochodziły odpowiednio od naczyń: 25 (misa, tabl. 11:2), 227 (czarka), 473 (misa), 249 (misa), 463 (misa), 500 (czarka), 162 (misa), 224 (misa) oraz 476 (czarka).

Na uwagę zasługiwał także wylew typu W.112. Była to forma zorientowana horyzontalnie, identyfikowana z pozostałościami płaskiego tzw. talerza krążkowatego. Fragment tej formy zarejestrowano na naczyniu 60 z obiektu nr 12 (tabl. 13:15).

Analizując wyróżnione typy wylewów, zwrócono również uwagę na udział każdego z nich w zbiorze wszystkich fragmentów ceramiki (ryc. 6). Także i w tym przypadku, jak podczas omawiania typów wylewów pod kątem ich udziału w danych naczyniach (ryc. 5), najczęściej pojawił się wylew typu W.43, reprezentowany na 256 fragmentach, wylew W.31, reprezentowany na 139 fragmentach, a także wylew W19, pojawiający się na 132 fragmentach. Na czele tej listy zabrakło tym razem wylewu W.8, występującego na 33 fragmentach. Większa liczba fragmentów ceramiki reprezentowana była przez typ W.47 (69 fragmentów), W.38 (59), W.44 (50), W.39 (41) i W.25 (40). Dość licznie wystąpiły jeszcze wylewy typu W.9 i W.86 (po 30 fragmentów), W.51 (29), W.50 (28), W.23 i W.32 (po 25 fragmentów), W.73 (24) i W.42 (22 fragmenty). Po dwadzieścia fragmentów każdy wystąpiły wylewy: W.35, W.52, W.59, W.99 i W.100.

Typologia den została opracowana w oparciu o wszystkie jednostki taksonomiczne zakwalifikowane jako części den oraz te jednostki taksonomiczne z części przydennych, w przypadku których można było z całą pewnością zidentyfikować je z określonym typem mikromorfologicznym dna. Na tej podstawie, w określaniu typologicznym den, udział wzięło 184 jednostek taksonomicznych, spośród których wydzielono 29 typów den (ryc. 7).

Najbardziej charakterystycznym, najczęściej występującym typem dna, poza fragmentami samej, dość płaskiej podstawy, bez zachowanej ścianki bocznej (typ D.1), której przykłady zaobserwowano w 7 przypadkach (3,80% zespołu, ogółem 16 fragmentów), był typ D.4. Była to dość prosta forma dna z płaską podstawą i prostą w profilu ścianką boczną, diagonalnie skierowaną na zewnątrz, idąc ku górze (patrz ryc. 4). Samo łączenie podstawy ze ścianką boczną łagodne, zaokrąglone. Tak ukształtowane dno zarejestrowano w 35 przypadkach jednostek naczyniowo-technologicznych, co stanowiło 19,02% analizowanego zbioru. Ogółem liczba fragmentów den typu D.4 wyniosła 62. Dno D.4 charakterystyczne było dla większości określonych form naczyniowych. Dzięki występującym innym elementom diagnozującym naczynie, takim, jak wylewy, ucha, jak również rozmiar formy naczyniowej i technologia, typ D.4 dna przypisano dwóm wazom (obiekt nr 1, naczynie 1, tabl. 1:1; obiekt nr 3, naczynie 15, tabl. 3.4), jednej misie (obiekt nr 1, naczynie 10, tabl. 1:6), trzem garnkom (obiekt nr 3, naczynie 4, tabl. 2:1; obiekt nr 12, naczynie 19, tabl. 10:1 i 33, tabl. 12:3), jednemu dzbanowi (obiekt nr 3, naczynie 19, tabl. 3:5) oraz jednej czarce (obiekt nr 12, naczynie 238). W pozostałych przypadkach, w których wystąpił omawiany typ dna, zachowane fragmenty danego naczynia (j. n.-t.) nie pozwoliły na zakwalifikowanie ich do konkretnej kategorii naczynia, jego typu, czy pełnionych funkcji. Można jedynie nadmienić, iż dno D.4 wystąpiło jeszcze w materiale ceramicznym obiektu nr 12, w naczyniu 43 (tabl. 13:5), 64, 83, 85, 86, 93, 255, 354, 359, 364, 381, 388, 389, 390, 395, 399, 402, 403, 411, 413, 418, 420, 423, 441, 450, 504, 575.

Kolejną „popularną" formą dna był typ D.9. Wystąpił w 32 przypadkach naczyń (j. n.-t.), ogółem na 73 fragmentach ceramiki. Charakteryzował się dość płaską podstawą, połączoną z łukowato-wklęsłą ścianką boczną, diagonalnie wychyloną na zewnątrz, idąc ku brzuścowi. Również i ta forma dna występowała w wielu typach naczyń. Zaobserwowano ją w inwentarzu ceramicznym obiektu nr 1, na naczyniu 5 (kubek, tabl. 1:5); w obiekcie nr 3, na naczyniu 8; w obiekcie nr 12, na naczyniu 5 (garnek, tabl. 7.1), 9 i 10 (wazy, tabl. 9:1 i 6.4), 18 (waza, tabl. 8:4), 34 (garnek, tabl. 12:4), 37 (tabl. 12:6), 62, 78, 81, 87, 89, 112 (misa, tabl. 17:3), 117 (dzban, tabl. 19:1), 141 (misa, tabl. 22:2), 155 (misa, tabl. 24:6), 360, 367, 375, 376, 380 (tabl. 31:17), 383, 415, 417, 419, 424, 459, 502, 506, 508 i 574.

Dno typu D.6 w analizowanym zbiorze wystąpiło w 14 przypadkach naczyń, ogółem

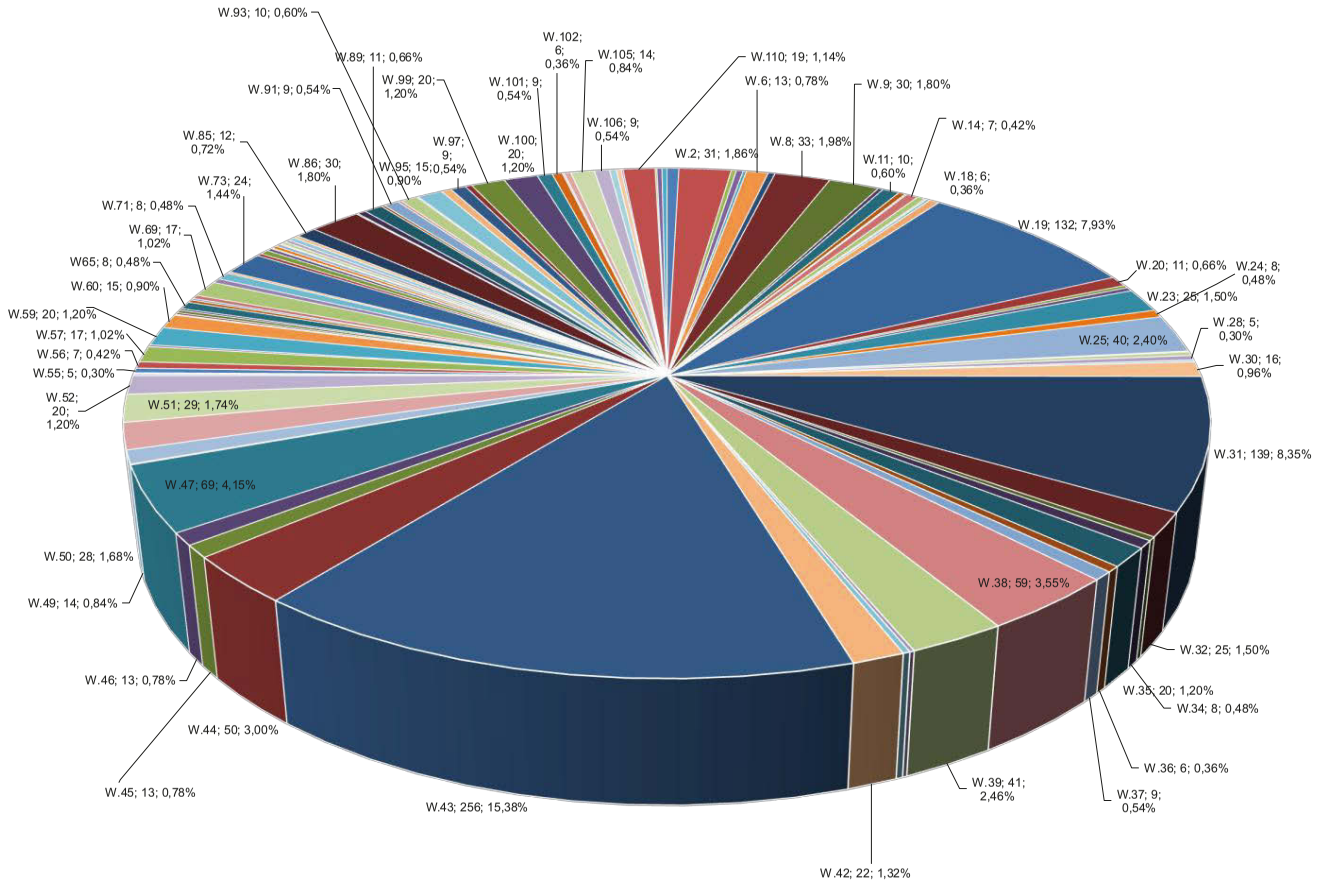

Ryc. 6. Stargard, Stare Miasto, kwartał IX. Udział liczbowo-procentowy fragmentów ceramiki w danym typie wylewu. Oprac. R. Mikuła
Abb. 6. Stargard, Altstadt, Quartier IX. Quantitativ-prozentualer Anteil von Keramikscherben im jeweiligen Ausgusstyp. Bearb. R. Mikuła

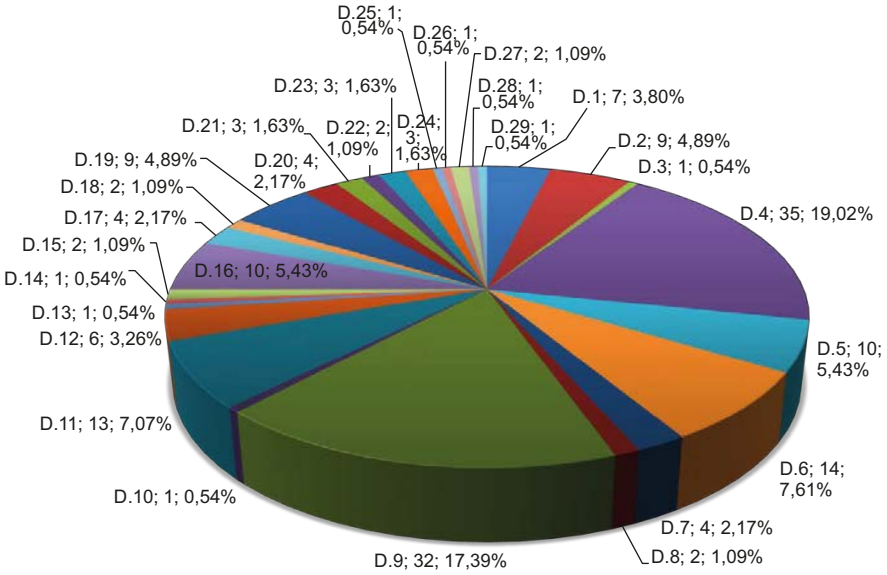

Ryc. 7. Stargard, Stare Miasto, kwartał IX. Udział liczbowo-procentowy wyodrębnionych typów w zbiorze den. Oprac. R. Mikuła
Abb. 7. Stargard, Altstadt, Quartier IX. Quantitativ-prozentualer Anteil der erfassten Typen bei den Böden. Bearb. R. Mikuła

na 26 fragmentach ceramiki. Forma ta była bardzo zbliżona do omówionego typu D.4, z płaską podstawą i prostą w profilu ścianką boczną. Różnica polegała na tym, że w tym przypadku łączenie podstawy i ścianki bocznej było bardziej „ostre", wyraziste. W tej kategorii dna mieściło się naczynie 20 z obiektu nr 3 (dzban, tabl. 3:6), a także naczynie 4 (garnek, tabl. 6:2), 8 (garnek, tabl. 4:9), 31 (kubek, tabl. 11:6) 124 (dzban, tabl. 19:5), 370, 392, 396, 405, 409, 414, 442, 503 i 505 z obiektu nr 12.

W trzynastu przypadkach naczyń wystąpiło dno typu D.11, reprezentowane ogółem przez 34 fragmenty ceramiki. W tym przypadku forma ta nawiązywała do omówionego typu D.9, ale tak, jak w przypadku typu D.6, łączenie podstawy ze ścianką boczną było również „ostre". Sama podstawa dość prosta, płaska, a ścianka boczna łukowato-wklęsła, diagonalnie skierowana na zewnątrz, idąc ku brzuścowi. Typ D.11 wystąpił w jednym przypadku w obiekcie nr 3 (naczynie 7, tabl. 2:4), natomiast w pozostałych przypadkach w obiekcie nr 12. Były to: naczynie 25 (tabl. 11:2), 123 (tabl. 19:4), 149 (tabl. 23:5), 358, 371, 374, 404, 408, 431 (waza, tabl. 31:18), 438, 447 (tabl. 32:8) oraz 501.

W dziesięciu przypadkach każdy wystąpiły typy: D.5 i D.16 dna. Forma D.5, z owalnie zgrubiałą po stronie wewnętrznej podstawą wystąpiła w inwentarzu obiektu nr 3 (naczynie 2 – garnek, tabl. 1:10) oraz obiektu nr 12 (naczynie 94, 362, 368, 377, 378, 400, 406, 454 [tabl. 31:19] i 509), ogółem na 37 fragmentach ceramiki. Typ D16, z prostą podstawą, skierowaną diagonalnie do góry, idąc ku środkowi, zarejestrowano w inwentarzu obiektu nr 3 (naczynie 1 – garnek, tabl. 1:9) oraz obiektu nr 12 (naczynie 352, 355, 357, 361, 366, 387, 391, 410 i 412), łącznie na 43 fragmentach ceramiki.

Typ D.2 den wystąpił w dziewięciu przypadkach jednostek naczyniowych, ogółem na 13 fragmentach ceramiki. Odkryto je wyłącznie w inwentarzu obiektu nr 12, w naczyniu 61, 63, 91, 369, 407, 421, 422, 507 i 510. Forma zachowała płaską od strony zewnętrznej podstawę, owalnie rozszerzającą się do góry, idąc do środka. Brak zachowanej ścianki bocznej.

W dziewięciu przypadkach naczyniowych wystąpiło dno typu D.19, ogólnie na 11 fragmentach ceramiki. Była to forma z łukowato-wklęsłą podstawą, wypchniętą do wewnątrz, do góry, idąc ku środkowi. Podstawa ta łączyła się dość łagodnie z prostą w profilu ścianką boczną, skierowaną diagonalnie na zewnątrz, idąc ku górze. Ten typ dna zarejestrowano w inwentarzu obiektu nr 3, w naczyniu 30 (czarka, tabl. 4:7), a także w inwentarzu obiektu nr 12, w naczyniu 22 (garnek, tabl. 10:3), 80, 340, 344, 345, 416, 511 i 513.

Na uwagę zasługuje również typ D.12 dna. Była to forma zaopatrzona w dość grubą, płaską podstawą, wyodrębnioną w płaską „pseudostopkę" i łączącą się z dość prostą w profilu, diagonalnie wychyloną ścianką boczną. Typ ten zaobserwowano wyłącznie w inwentarzu ceramicznym obiektu nr 12, w naczyniu 13 (waza, tabl. 5:3), 46, 79, 82, 84 i 386, ogółem na 11 fragmentach.

Czterokrotnie wystąpiły typy D.7, D.17 oraz D.20 dna. Ich kształty przedstawiała rycina 4. Typ D.7 zaobserwowano w naczyniu 3 (garnek, tabl. 1:11) z obiektu nr 3 oraz w naczyniach 3 (garnek, tabl. 6:1), 379 i 448 z obiektu nr 12, ogółem na 8 fragmentach. Typ D.17 wystąpił w naczyniu 13 (garnek, tabl. 1:8) z obiektu nr 1 oraz w naczyniach 16 (garnek, tabl. 7:4), 384 i 398 z obiektu nr 12, ogółem na 22 fragmentach. Typ D.20 wreszcie wystąpił wyłącznie w inwentarzu ceramicznym obiektu nr 12: w naczyniu 120 (czarka, tabl. 19:3), 339, 341 i 514.

Podstawą ilościową wydzielonych części lub całych uch była liczba 190 jednostek naczyniowo-taksonomicznych. W grupie tej znalazło się 7 fragmentów uch, które łączyły się z innymi diagnostycznymi elementami analizy mikromorfologicznej, o czym wspomniano wcześniej, a także w kilku przypadkach fragmenty, gdzie ucha zachowały się jedynie jako wypustki po niezachowanej,

ale dającej się określić formie. Poza tymi ucha były zachowane w większej lub mniejszej części lub zachowały się całe. Były to przede wszystkim formy taśmowate. W analizowanym zbiorze wyodrębniono ogółem 14 typów uch (ryc. 4, 8). Najliczniej reprezentowanym typem był U.4, który wystąpił w 38 przypadkach, co stanowiło 35,19% analizowanego zespołu, ogółem na 65 fragmentach. Była to prosta forma taśmowata o mniej lub bardziej szerokim, prostokątnym przekroju poprzecznym. Ucho tego typu umieszczano chętnie na naczyniach, gdzie ważne było, niekiedy duże ucho nośne, a więc na dzbanach czy kubkach. W analizowanym zbiorze ceramiki kultury łużyckiej ucha z tak ukształtowanym przekrojem zaobserwowano w ośmiu przypadkach kubków (obiekt nr 1, naczynie 5, tabl. 1:5; obiekt nr 12, naczynie 27 – tabl. 11:3, 28 – tabl. 11:4, 118 – tabl. 18:5, 127 – tabl. 20:3, 130 – tabl. 20:6, 219 – tabl. 29:4, 525) oraz w siedmiu przypadkach dzbanów (obiekt nr 12, naczynie 117 – tabl. 19:1, 126 – tabl. 20:1, 131- tabl. 20:7, 217 – tabl. 29:1, 518, 523, 527). Poza tym ucha lub ich fragmenty w typie U.4 zarejestrowano w przypadkach dwóch garnków (obiekt nr 1, naczynie 3, tabl. 1:2 i obiekt nr 12, naczynie 22, tabl. 10:3) oraz w przypadku misy z naczynia 23 (z obiektu nr 12, tabl. 11:1). Fragmenty uch typu U.4, bez możliwości pewnego określenia przynależności naczyniowej zarejestrowano również w inwentarzu obiektu nr 12, w naczyniu 520, 529, 534 (tabl. 32:16), 536, 538, 539, 542, 544, 547, 548, 553, 554, 555, 558, 559, 567, 568, 570 i 571.

Na uwagę zasługiwał także typ U.9 ucha, który reprezentowany był w 13 przypadkach naczyniowo-technologicznych (12,04% zespołu uch), ogółem na 16 fragmentach, charakteryzujący się mniej więcej podłużnym, prostokątnym przekrojem poprzecznym, łukowato-wklęsłym po stronie zewnętrznej. Tak uformowane ucho zaobserwowano w inwentarzu obiektu nr 1, w naczyniu 6 (czarka, tabl. 1:3), a także w inwentarzu obiektu nr 12, w naczyniu 24 (dzban, tabl. 10:4), 26 (kubek, tabl. 11:7), 42 (garnek, tabl. 13:2), 66 (tabl. 13:16), 108 (dzban, tabl. 16:1), 111 (kubek, tabl. 17:2), 128 (kubek, tabl. 20:4), 206 (czarka, tabl. 28:1), 537, 556, 562 i 563.

Ucha typu U.5 przedstawiały taśmowatą, dość grubą w przekroju poprzecznym formę, po stronie zewnętrznej lekko soczewkowato zaokrągloną, po stronie wewnętrznej płasko ściętą. Ucha takie lub ich fragmenty zaobserwowano w 12 jednostkach naczyniowych (ogółem na 14 fragmentach ceramiki): w inwentarzu obiektu nr 1, w naczyniu 4, w inwentarzu obiektu nr 3, w naczyniu 1 (garnek, tabl. 1:9), 4 (garnek, tabl. 2:1) i 31 (tabl. 4:8) oraz w inwentarzu obiektu nr 12, w naczyniu 110 (kubek, tabl. 17:1), 112 (misa, tabl. 17:3), 172 (czarka, tabl. 25:4), 205 (dzban, tabl. 27:14), 226 (czarka, tabl. 29:9), 543, 565 i 572.

W inwentarzu uch wyróżniono również typ U.13. Była to taśmowata, dość prostokątna w przekroju poprzecznym forma, z dziobkowatym zgrubieniem na jednym z brzegów. Takie ucha zarejestrowano w inwentarzu obiektu nr 12. Niestety, ze względu na fragmentaryczność zachowania oraz brak innych elementów definiujących naczynie, nie powiązano ich z konkretnymi formami. Odkryto je w 8 jednostkach naczyniowo-technologicznych: 521, 526, 530, 532, 533, 541, 545 i 561, ogółem na 21 fragmentach ceramiki.

Jedną z bardziej popularnych form uch były egzemplarze taśmowate o soczewkowatym przekroju poprzecznym, określone typem U.2. W analizowanym zbiorze typ ten wystąpił w siedmiu przypadkach, ogólnie na 10 fragmentach ceramiki. Ucha soczewkowate lub ich fragmenty znaleziono w inwentarzu obiektu nr 3, w naczyniu 11 (misa, tabl. 3:1) oraz w inwentarzu obiektu nr 12: w naczyniu 31 (kubek, tabl. 11:6), 67, 70, 71, 156 (misa, tabl. 24:8) i 551.

W siedmiu przypadkach pojawił się typ U.3 ucha, charakteryzujący się taśmowatą, soczewkowatą w przekroju formą, zwężoną prawie spiczaście na jednym z brzegów. Ucha takie

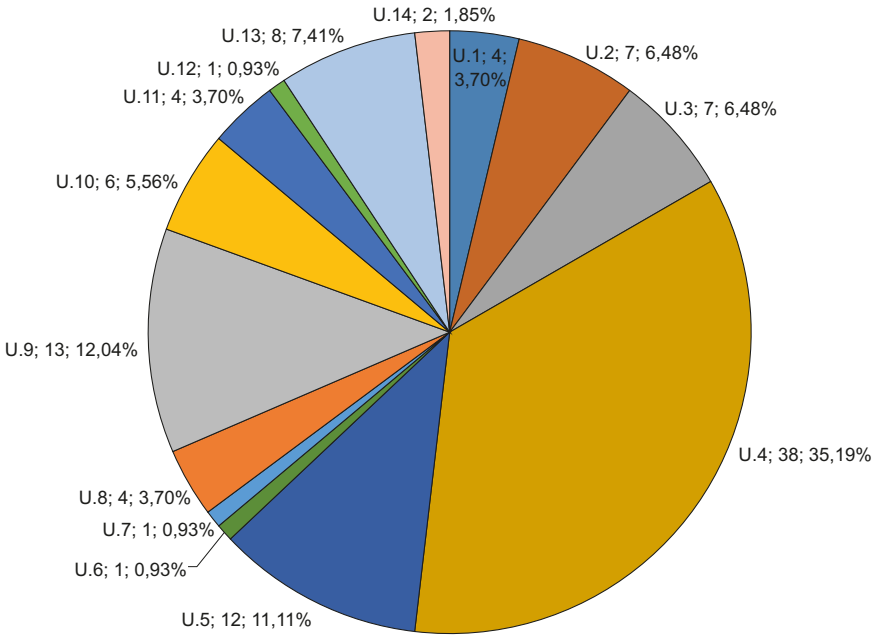

Ryc. 8. Stargard, Stare Miasto, kwartał IX. Udział liczbowo-procentowy wyodrębnionych typów w zbiorze uch. Oprac. R. Mikuła
Abb. 8. Stargard, Altstadt, Quartier IX. Quantitativ-prozentualer Anteil der erfassten Typen bei den Henkeln. Bearb. R. Mikuła

zarejestrowano ogółem na 20 fragmentach ceramiki, w inwentarzu obiektu nr 1, w naczyniu 11 oraz w inwentarzu obiektu nr 12, w naczyniu: 535, 546, 549, 557, 560 i 566.

W inwentarzu obiektu nr 12, w sześciu przypadkach naczyniowo-technologicznych (516, 519, 524, 552, 569 i 573) odkryto fragmenty ucha typu U.10. Ucha takie przedstawiały formy taśmowate, prostokątne i dość wydłużone w przekroju poprzecznym, z nieckowatym wgłębieniem po stronie wewnętrznej.

Na uwagę zasługiwała również forma dość małych uszek o bardziej wałeczkowatych kształtach, z lekko owalnymi przekrojami poprzecznymi, określonych jako typ U.1. Uszka takie zaobserwowano w 4 przypadkach jednostek n.-t., w naczyniu 72, 143 (misa, tabl. 23:1), 144 („talerz kopanicki", tabl. 23:2) i 145 (misa, tabl. 22:3) z obiektu nr 12.

Ucha doklejano do naczyń stosunkowo rzadko, biorąc pod uwagę inne elementy mikromorfologiczne, aczkolwiek w prezentowanym zbiorze ceramiki wystąpiły dość licznie. Przede wszystkim duże ucha taśmowate i ich fragmenty kojarzone były z naczyniami pełniącymi funkcje dzbanów lub kubków. Ich obecność na określonych typach naczyń, strefa wystąpienia i wielkość uzupełniały charakterystykę zespołu „późnołużyckiego". Poza dzbanami i kubkami występowały w niemalże wszystkich wyróżnionych formach naczyniowych, takich jak garnki i misy. Duże, wyciągnięte ucha taśmowate, nisko umieszczone na dużych formach garnkowatych i wazowatych odzwierciedlały „późnołużycką", czy wręcz pomorską stylistykę okresu halsztackiego D i początków okresu lateńskiego w zespołach osadowych Niżu Polskiego (Ignaczak 2011, 158). Podobnie było w przypadku naczyń „późnołużyckich" z terenów północnozachodnich. Mniejsze uszka taśmowate, prawie wałeczkowate umieszczano często na misach z późnego okresu brązu i okresu halsztackiego.

Analiza makromorfologiczna

Materiał ceramiczny społeczności łużyckich pól popielnicowych odkryty w trakcie badań w Stargardzie, jak wspomniano już na początku pracy, cechował się dużym rozdrobnieniem. Poszczególne fragmenty ceramiki bardzo często były w dużej lub w przeważającej mierze mocno zniszczone i rozdrobnione, co utrudniało ich prawidłową deskrypcję i próby rekonstrukcji całych form. Nie był to problem odosobniony, ponieważ, obserwując inne prace, można było odnieść wrażenie, iż próby rekonstrukcji całych form również mogły nastręczać trudności. Było to zauważalne w literaturze (Krzyszowski 2008, 57). W przypadku badanego zbioru udało się w pewnym stopniu odtworzyć liczebność form naczyniowych, czy to na podstawie całych naczyń, czy to na podstawie większych części. Nie do przecenienia okazało się również wykorzystanie elementów mikromorfologii oraz technologii, a niekiedy nawet i ornamentyki. W dużej mierze określenie kategorii naczynia mogło się odbyć jedynie na tej podstawie. Pewne typy wylewów, czy np. sposoby umieszczenia uszek decydowały *de facto* o ustaleniu danej kategorii naczyniowej badanej grupy lub nawet pojedynczego fragmentu. Grubość przełamu i sposób wykończenia powierzchni zewnętrznej również pozwalały w pewnym, niekiedy dość dużym stopniu na określenie kategorii i funkcji naczynia (np. fragmenty grubościenne, z chropowaconą ścianą zewnętrzną pozwalały na częstsze identyfikowanie ich z dużymi formami garnkowatymi). Często również dany fragment ceramiki mógł stanowić pozostałość jednocześnie kilku możliwych, podobnych do siebie form naczyniowych. Dotyczyło to zarówno form wysokich, zaopatrzonych w szyjki (naczynia wazowate, garnkowate, kubki, czy dzbany), jak i niskich, szerokootworowych (misy, talerze), dlatego też, przy wykorzystaniu elementów mikromorfologii oraz technologii i techniki wykonania, ustalenie właściwej kategorii naczyniowej mogło mieć charakter bardziej arbitralny. Ogólnie, w analizowanym zbiorze ceramicznym, udało się wyróżnić 9 głównych kategorii naczyniowych. Kategoryzacja ta oparta była przede wszystkim o ogólnie stosowane nazwy i formy w literaturze, ale przede wszystkim przy próbie wykorzystania sformalizowanego podziału naczyń kultury łużyckiej. Bazowano tu przede wszystkim na pracy M. Kaczmarka, przedstawiającej asortyment naczyniowy kultury łużyckiej z epoki brązu (Kaczmarek 2002, 24–40). Próba ta miała uzasadnienie z dwóch powodów. Przede wszystkim, potraktowanie naczyń ceramicznych w bardziej sformalizowany sposób pozwalało, w jakiejś części, na uściślenie kategorii, wykładnika określającego dany typ naczynia, eliminując wiele niejednoznaczności, powielania nazw typów różnych naczyń. Doskonale prezentował to przypadek naczyń ogólnie wazowatych, wśród których część, złożona np. z dwóch segmentów nazywana była niekiedy naczyniami dwustożkowatymi, czy bardziej jajowatych garnków, zwanych wcześniej często naczyniami jajowatymi, baniastymi lub, w końcu relacji naczynek: czerpaki-czarki, co w jakimś stopniu mogło gmatwać prawidłowe podejście do kategoryzacji naczyniowo-funkcjonalnej (ryc. 9).

Po drugie, wykorzystanie pracy M. Kaczmarka dla analizy makromorfologicznej ceramiki z niniejszego opracowania, datowanego na młodszy

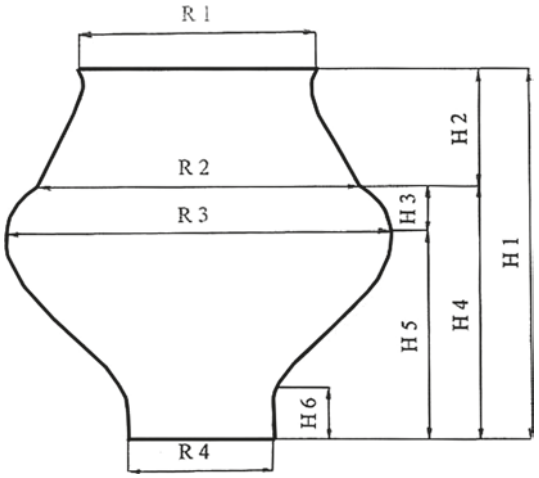

Ryc. 9. Wskaźnik klasyfikacji makromorfologicznej ceramiki wg Kaczmarek (2002, 25, ryc. 3)

Abb. 9. Index der makromorphologischen Klassifizierung von Waren nach Kaczmarek (2002, 25, Abb. 3)

okres epoki brązu oraz okres halsztacki (patrz rozdział w końcowej partii tej części pracy), przedstawiającej bardziej sformalizowany sposób ujęcia ceramiki naczyniowej z epoki brązu, było możliwe, mimo różnic chronologicznych i przestrzennych, ponieważ typy form naczyniowych z V EB funkcjonowały dalej w okresie następnym, jak również podobne formy z terenów Wielkopolski znajdowały swoje odbicie w materiałach z Pomorza Zachodniego. Ścisły związek obszaru Pomorza, tu: części zachodniej, z innymi obszarami zajmowanymi przez ludność łużyckich pól popielnicowych wraz z jej asortymentem ceramicznym (nie mówiąc o innych zabytkach) był niepodważalny. Wyrażał się przede wszystkim w rozszerzającym się obrządku ciałopalenia oraz podobieństwie naczyń ceramicznych i plastyce figuralnej (Bukowski 1998, 12; Kostrzewski 1958a). W wytwórczości garncarskiej strefa dolnej Odry pełniła ważną rolę, ale również była łącznikiem z południowymi ugrupowaniami ŁPP nad Odrą i Wartą (Bukowski 1998, 12, 24). Tak więc wykorzystanie bardziej sformalizowanego opisu naczyń opracowanego przez M. Kaczmarka mogło być zrealizowane, zwłaszcza pracując nad materiałem niekompletnym i tak silnie rozdrobnionym. Stosując także tradycyjny opis naczyń, trudno by było niekiedy określić jego kształt i funkcję na podstawie np. małego fragmentu, ale można było wykorzystać stosunki wielkościowe dających się uchwycić cech metrycznych danej partii naczyniowej przedstawionych w pracy M. Kaczmarka.

Ze względu na morfologię i pełnione funkcje wyodrębniono 246 niepełnych form naczyniowych, stanowiących pozostałości garnków, waz, dzbanów, mis, talerzy tzw. „kopanickich", kubków, małych form stanowiących pozostałości czarek, czy naczyń miniaturowych, talerzy, zwanych również plackami krążkowatymi oraz naczyń sitowatych.

Rozdrobniony, często bardzo silnie, zbiór ceramiki naczyniowej ujęto w jednostkach taksonomicznych zwanych grupami naczyniowo-technologicznymi. Jak wyjaśniono już na początku pracy, grupy naczyniowe nie zawsze musiały odpowiadać rzeczywistym naczyniom. Było to pojęcie szersze niż kategoria funkcjonalna naczyń w aspekcie makromorfologii, ponieważ zawierało w sobie również inne metody obserwacji przy określaniu danego naczynia, jak wspomniana już technika i technologia wykonania. „Grupa naczyniowa" to również pojęcie – „wytrych", próba pogrupowania rozdrobnionego materiału w zbiór jednego, danego naczynia lub ewentualnie kilku naczyń bardzo mocno do siebie podobnych, niedających się odróżnić od siebie. Ogółem wyróżniono 636 jednostek taksonomicznych. W zbiorze tym liczba 248 „pewnych" funkcjonalnie naczyń nie była być może duża, wynikała z silnego rozdrobnienia i zniszczenia materiału, stanowiła jednak pewne odzwierciedlenie występujących w asortymencie form i ich liczebności. Niewątpliwie, brak pewnych form naczyniowych, takich jak amfory czy czerpaki, na ogół dość licznie występujących w asortymencie ceramicznym kultury łużyckiej mógł dziwić, wynikało to jednak z braku jednoznacznych ku temu określeniu przesłanek, choć niewykluczone, że ich pozostałości w analizowanym zbiorze były (ryc. 10).

Garnki

Próbę rekonstrukcji dużych form naczyniowych, uznawanych za garnki i naczynia zasobowe, tam, gdzie było to możliwe, a więc w przypadku zachowania całości lub większej części formy, oparto o klasyfikację M. Kaczmarka (2002, 36–37, ryc. 9). Gdy analizowana grupa fragmentów (lub nawet pojedynczy fragment) nie pozwalała się, ze względu na stopień jej rozdrobnienia,

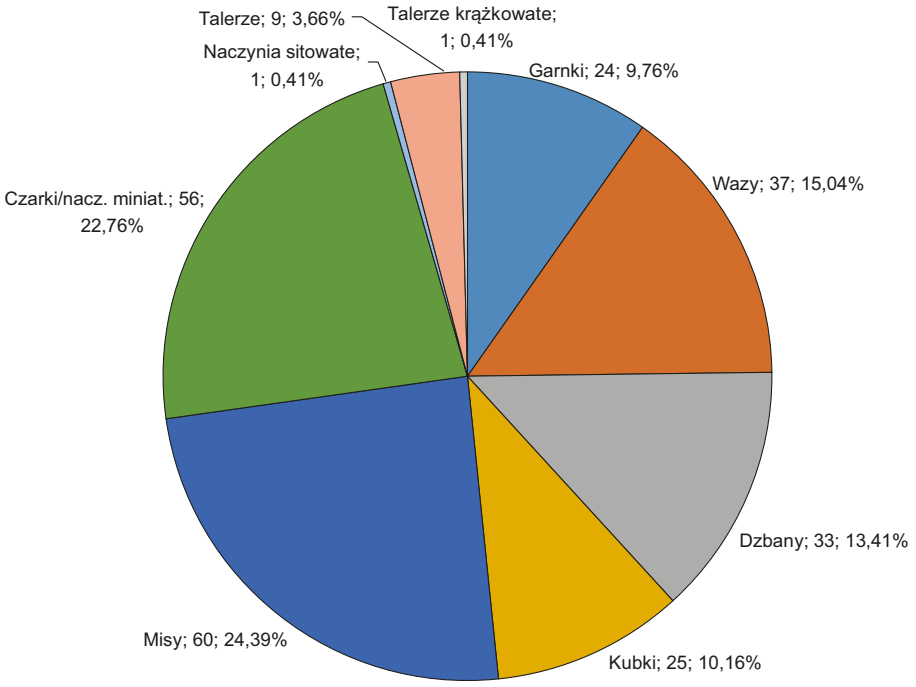

Ryc. 10. Stargard, Stare Miasto, kwartał IX. Wyróżnione kategorie naczyniowe. Oprac. R. Mikuła
Abb. 10. Stargard, Altstadt, Quartier IX. Erfasste Gefäßkategorien. Bearb. R. Mikuła

przypisać do określonego typu garnka, ale przy pomocy mikromorfologii i technologii oraz techniki wykonania można było z dużą pewnością za przykład takowego ją uznać, uznawano ten fakt za obowiązujący, ale bez wyodrębnienia szczegółowego typu. Na tej podstawie udało się ogółem określić 24 mniejszych lub większych części garnków.

Wśród fragmentów garnków przypisanych określonym typom również nie było stuprocentowej pewności, analizowane fragmenty niekiedy nawiązywały do typu, ale nie było możliwości definitywnego potwierdzenia. Wystąpiły również sytuacje, iż dane fragmenty nawiązywały do danego typu wg M. Kaczmarka pod pewnymi względami, posiadały niektóre odpowiednie cechy, pod innymi jednak nie spełniały pełnego kryterium odpowiadającemu określonemu typowi. W tej sytuacji arbitralnie kwalifikowano określony przypadek garnka do danego typu lub nie. Sytuacja ta dotyczyła zresztą także innych wyróżnionych form naczyniowych jak wazy, kubki czy dzbany.

Za garnek M. Kaczmarek uznawał grupę jedno-, dwu- lub trójczłonowych naczyń o stale zachowanej proporcji wskaźników metrycznych $R_1<H_1$. Według tego zgrupowano formy, określane zazwyczaj jako jajowate, donicowate czy esowate (Kaczmarek 2002, 36–37, ryc. 9). W analizowanej grupie garnków udało się wydzielić pozostałości następujących typów: G11–13 (nie było możliwości dokładniejszego uszczegółowienia typu), G22, G31, G32, G42 i G51.

Typ G11–13

Naczynia tej grupy charakteryzowały się trójsegmentową formą z jajowatym brzuścem i lejkowato wychylającą się szyjką, z kołnierzowatą wychyloną na zewnątrz krawędzią (Kaczmarek 2002, 36). Prawdopodobne pozostałości garnka tego typu, choć bez większej pewności, stwierdzono w jednym przypadku, w naczyniu 13 z obiektu nr 1 (tabl. 1:8). Z naczynia tego zachowane były 3 ułamki wylewu z krawędzią typu W.113, 10 fragmentów brzuśców oraz 11 fragmentów den typu D.17. Powierzchnia zewnętrzna garnka była zniszczona, również stopień zachowania fragmentów nie pozwoliły na odtworzenie wielkości całego naczynia.

Typ G22

Była to w zasadzie odmiana typu G 2 M. Kaczmarka, charakteryzująca się trójsegmentowym kształtem, jajowatym brzuścem i lekko wychylonym na zewnątrz wylewem. Załom brzuśca umieszczony był mniej więcej w połowie całkowitej wysokości naczynia (Kaczmarek 2002, 36). Do tego typu zaliczono ostrożnie jedno naczynie, nr 36, odkryte w obiekcie nr 12 (tabl. 12:5). Z garnka tego zachował się 1 wylew typu W.47 oraz 16 fragmentów brzuśców. Wylew tego naczynia charakteryzował się nieznacznie łukowato-wklęsłym w profilu rdzeniem, lekko diagonalnie wychylonym na zewnętrz, idąc ku górze, z krawędzią owalnie zakończoną, lekko owalnie zgrubiałą po stronie zewnętrznej. Było to naczynie kuchenne o chropowaconej powierzchni zewnętrznej, obrzucane gliną zmieszaną z przebijającą się domieszką mineralną, a następnie mioteł-kowane jakimś narzędziem.

Typ G31

Przedstawiał odmianę typu G 3 M. Kaczmarka, o tulipanowatym, łagodnie esowatym profilu i zazwyczaj wychylonym na zewnątrz (w analizowanych przypadkach kształty niektórych z wylewów, niekiedy zachowanych w małym stopniu, wykazywały tendencje skierowania się bardziej pionowo do góry lub wręcz nieznacznie do środka, przeważnie o łukowato-wklęsłym rdzeniu, niekiedy bardziej proste w profilu) wylewie, formę smuklejszą, o średnicy wylewu mniejszej lub równej średnicy największej wydętości brzuśca (Kaczmarek 2002, 36) Do typu tego zaliczono 10 garnków spośród analizowanego materiału. Pierwszym z naczyń, zaliczonych dość ostrożnie do typu G31, były fragmenty j. n.-t. 1 z obiektu nr 3 (tabl. 1:9). Z zachowanych części garnka zachowały się 2 fragmenty wylewu typu W.29, 20 fragmentów brzuśców, 1 fragment dna typu D.16 oraz 1 fragment ucha typu U.5. Niestety, stan zachowania nie pozwolił na odtworzenie całego naczynia, jego wymiarów i pełnego kształtu. Wylew, w jaki zaopatrzono naczynie, charakteryzował się nieznacznie łukowato-wklęsłym, prawie prostym w profilu trzpieniem, nieznacznie chyba skierowanym do wewnątrz, idąc ku górze. Powierzchnia zewnętrzna wylewu lekko żłobkowana, perforowana, krawędź owalnie, łagodnie zakończona po stronie zewnętrznej, ostro ścięta po stronie zewnętrznej. Zachowany fragment dna w partii podstawy skierowanej diagonalnie do góry, idąc ku środkowi. Naczynie chropowacone, obmazywane palcowo warstewką gliny zmieszaną z domieszką mineralną.

Do typu G31 zaliczono naczynie 1 z obiektu nr 12 (tabl. 5:1). Była to bardzo duża forma zasobowa o średnicy wylewu ok. 44 cm, grubym przełamie w profilu i chropowaconej powierzchni zewnętrznej. Niestety, pomimo bardzo dużej liczby fragmentów tworzących te naczynie (2346 fragmenty), nie udało się odtworzyć całości naczynia. Spowodowane to było tym, że, pomimo wielu fragmentów zachowanych w większym stopniu, czy może bardziej dystynktywnych, podstawę zbioru stanowiły niewielkie ułamki ceramiki, często zachowane jako okruchy. Ich przynależność do tego naczynia została uznana na podstawie wspólnych cech technologicznych. Niemniej, była to bardzo duża forma, odpowiadająca mniej więcej omawianemu typowi. Wylew naczynia, odpowiadający typowi W.47, wychylony był lekko na zewnątrz. Dno, określone jako typ D.15, to forma z grubą płaską podstawą, wyodrębnioną w pełną „pseudostopkę", łączącą się z łukowato-wypukłą ścianką boczną.

Kolejnym garnkiem reprezentującym w jakimś stopniu omawiany typ, było naczynie 2 z obiektu nr 12 (tabl. 5:2). Była to bardzo duża forma o chropowaconej, obmazywanej powierzchni zewnętrznej, z widocznymi szerokimi śladami obmazywania palcowego, przebiegającego różnokierunkowo.

Wśród 295 fragmentów tworzących naczynie, wyróżniono m.in. 2 fragmenty wylewu oraz 2 fragmenty szerokiego taśmowatego ucha, w które najprawdopodobniej naczynie było wyposażone. Nie zarejestrowano części dolnej naczynia. Mimo fragmentaryczności zachowania, była to najprawdopodobniej bardzo duża forma, z wylewem typu W.17 o średnicy ok. 54 cm, nieznacznie łukowato-wklęsłym w profilu, skierowanym diagonalnie na zewnątrz, idąc ku górze, z krawędzią pogrubioną, uformowaną na kształt lekkiego okapu.

Do typu G31 wg systematyki naczyń M. Kaczmarka zaliczono również naczynie 3 z obiektu nr 12 (tabl. 6:1). Tulipanowaty garnek z wylewem typu W.46, lekko łukowato-wklęsłym w profilu i wychylonym na zewnątrz o średnicy ok. 30 cm. Na krawędzi naczynia dookolne żłobki palcowe. Do naczynia tego zaliczono ponad 300 fragmentów ceramiki, głównie z partii brzuśców o chropowaconej, obmazywanej powierzchni zewnętrznej. Linie szerokiego żłobienia zorientowane w układzie wertykalnym. Z partii naczynia zachowały się również 2 fragmenty dna typu D.7 z płaską podstawą, łączącą się z łukowato-wypukłą ścianką boczną.

W typie form określonych jako G31 znalazły się jeszcze: naczynie 4 (tabl. 6:2), naczynie 5 (tabl. 7:1), naczynie 6 (tabl. 7:2), naczynie 8 (tabl. 4:9), naczynie 21 (tabl. 8:2) oraz 22 (tabl. 10:3) z obiektu nr 12. Naczynie 4 stanowiło dużą, chropowaconą formę (obrzucaną gliną zmieszaną z domieszką mineralną), o wylewie typu W.38 średnicy ok. 42 cm. Wylew ten charakteryzował się łukowato-wklęsłym w profilu trzpieniem, skierowanym dość pionowo lub lekko wychylonym na zewnątrz, idąc ku górze. Z partii tego naczynia zachowały się przede wszystkim grubościenne fragmenty brzuśców. Z elementów dystynktywnych zachowały się dwa fragmenty dna typu D.6 o płaskiej podstawie, łączącej się dość ostro z prostą w profilu ścianką boczną. Pozostałości garnka, określonego w inwentarzu jako naczynie 5, stanowiły zbiór 396 fragmentów ceramiki. Pierwotnie był on dużą, esowatą formą z wylewem typu W.43 o średnicy ok. 36 cm. Wylew łukowato-wklęsły w profilu, diagonalnie wychylony na zewnątrz, idąc ku górze. Z partii dolnej zachowały się 2 duże fragmenty dna typu D.9 z płaską podstawą, łączącą się z łagodnie z łukowato-wklęsłą ścianką boczną. Powierzchnia zewnętrzna chropowaconą, obmazywana warstewką gliny zmieszanej z domieszką mineralną. Garnek 6 z inwentarza obiektu nr 12 przedstawiał również esowatą formę. Spośród 80 fragmentów tworzących naczynie zachowało się m.in. 5 fragmentów wylewów typu W.43. Powierzchnia zewnętrzna chropowacona, obmazywana. Garnek 8 stanowił małą, częściowo zrekonstruowaną, lekko esowatą formę o wysokości ok. 22 cm, średnicy wylewu ok. 16 cm oraz dna ok. 11 cm. Powierzchnia zewnętrzna chropowacona, obmazywana palcowo. Wylew typu W.31 z łukowato-wklęsłą ścianką boczną, skierowaną mniej więcej pionowo ku górze. Dno typu D.6. Z naczynia 21 zachowały się m.in. 2 fragmenty wylewu W.36 o łukowato-wklęsłym rdzeniu, skierowanym mniej więcej pionowo ku górze i ściętej krawędzi. Powierzchnia zewnętrzna chropowacona. Garnek 22 stanowił zbiór 187 fragmentów ceramiki chropowaconej, obrzucanej warstewką gliny. Z naczynia tego zachowały się części wylewu typu W.8 o prostym trzpieniu, skierowanym diagonalnie na zewnątrz i średnicy ok. 24 cm, jak również fragment dna typu D.19 oraz 2 ułamki ucha typu U.4.

Typ G32

Odmianę G32 stanowiły formy bardziej przysadziste, o większej średnicy wylewu. Do typu tego zaliczono fragmenty naczynia 34 z obiektu nr 12 (tabl. 12:4). W zbiorze tym znaleziono m.in. 7 fragmentów wylewu oraz 1 fragment dna. Wylew typu W.43, z łukowato-wklęsłym w profilu rdzeniem, wychylonym diagonalnie na zewnątrz, idąc ku górze. Fragment dna typu D.9 z płaską podstawą i łukowato-wklęsłą ścianką boczną. Powierzchnia zewnętrzna chropowata, zanurzana, tworząc szorstką fakturę. Niestety, stan zachowania naczynia nie pozwolił na odtworzenie całej formy.

Typ G42

Typ ten charakteryzował się jednosegmentowym, donicowatym lub jajowato-beczułkowatym ukształtowaniem. W odmianie tej zaopatrzony był najczęściej w dwa, symetrycznie rozmieszczone uszka i posiadał dość prosty lub lekko rozchylony na zewnątrz wylew (Kaczmarek 2002, 36). Do grupy garnków tego typu zaliczono ostrożnie fragmenty naczynia 2, 3 i 4 z obiektu nr 3. Naczynie 2 (tabl. 1:10) zachowane było m.in. w partii wylewu typu W.33 z łukowato-wklęsłym rdzeniem, skierowanym pionowo do góry i płasko ściętą krawędzią, perforowaną żłobkami paznokciowymi. Średnica wylewu wynosiła ok. 30 cm. Z partii dna zachował się fragment dna typu D.5 z płaską podstawą, zgrubiałą owalnie w części wewnętrznej, łączącą się z prostą w profilu ścianką boczną. Garnek chropowacony, obrzucany warstewką glinki zmieszanej z domieszką mineralną.

Garnek, którego część tworzyło 59 fragmentów ceramiki z 3 j. n.-t. obiektu nr 3 (tabl. 1:11), zachowany był m.in. w partii wylewu typu W.34 od którego krawędzi wychodziło taśmowate ucho typu U.4. Wśród fragmentów naczynia znalazło się jedno ucho, ale niewykluczone, iż były dwa. Z partii dolnej naczynia zachowała się część dna typu D.7 z płaską podstawą, łączącą się dość łagodnie z łukowato-wypukłą na zewnątrz ścianką boczną.

Naczynie 4 z obiektu nr 3, które stanowiło prawdopodobną część garnka typu G42, tworzyło 51 fragmentów ceramiki chropowaconej na powierzchni zewnętrznej, obrzucanej warstewką glinki zmieszanej z domieszką mineralną (tabl. 2:1). Z partii naczynia zachowała się część wylewu o średnicy ok. 16–18 cm, ukształtowana w typie W.31. Do wylewu tego doklejono również uszko taśmowate typu U.5. Prawdopodobnie naczynie te zaopatrzone było w dwa uszka. Z partii dolnej garnka zachowana była część dna typu D.4.

Typ G51

Do tego typu M. Kaczmarek zaliczał formy proste, jednoczłonowe, kształtu odwróconego,

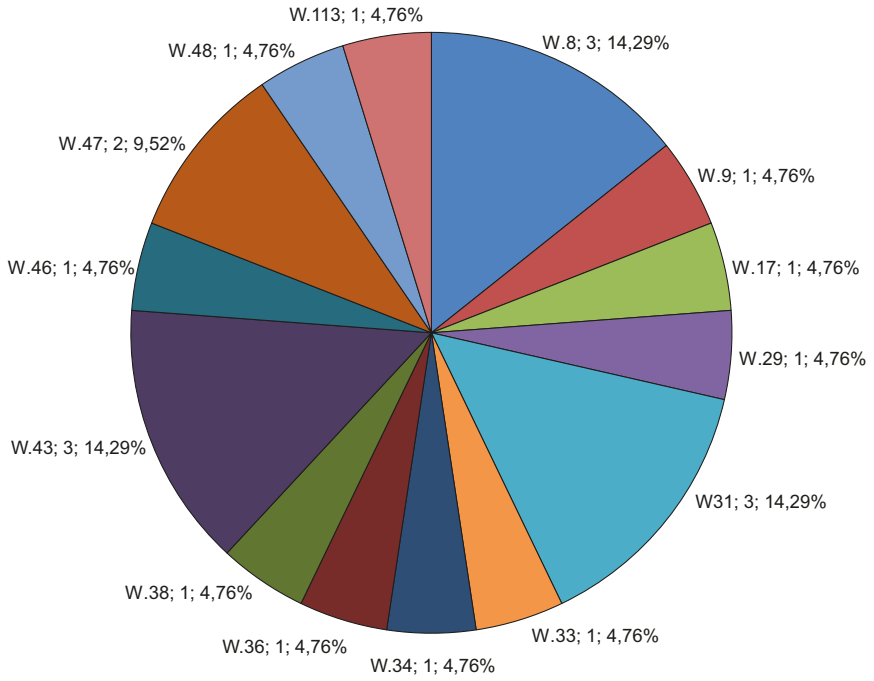

Ryc. 11. Stargard, Stare Miasto, kwartał IX. Typy wylewów zaobserwowane na garnkach. Oprac. R. Mikuła
Abb. 11. Stargard, Altstadt, Quartier IX. Typen von Ausgüssen, die an Töpfen beobachtet wurden. Bearb. R. Mikuła

ściętego stożka i średnicy wylewu większej od całkowitej wysokości, w tym wariancie bezuche (Kaczmarek 2002, 36). Do grupy tej zaliczono fragmenty naczynia 5 z obiektu nr 3, naczynia 19 i 33 z obiektu nr 12. Z naczynia 5, z obiektu nr 3 wyodrębniono fragmenty wylewu W.8. Była to prosta w przełamie forma, diagonalnie skierowana na zewnątrz, idąc ku górze. Powierzchnia zewnętrzna naczynia chropowata, zanurzana (tabl. 2:2).

Z naczynia 19 z obiektu nr 12 zachowany był m.in. jeden fragment wylewu W.8 oraz 3 fragmenty dna typu D.4 o płaskiej podstawie, łączącej się dość łagodnie z prostą w profilu ścianką boczną. Naczynie chropowacone, ze śladami obmazywania palcowego (tabl. 10:1).

Naczynie 33 tworzyło m.in. dziesięć fragmentów wylewu typu W.9 oraz dwa fragmenty dna typu D.4. Wylew przedstawiał prostą w profilu formę, diagonalnie skierowaną na zewnątrz, idąc ku górze i z dość płasko ściętą krawędzią. Powierzchnia zewnętrzna garnka chropowacona, obrzucana warstewką glinki zmieszanej z domieszką mineralną (tabl. 12:3).

Wykorzystując wyniki badań analizy mikromorfologicznej, zwrócono uwagę na ich przydatność w odtworzeniu form naczyniowych. Zaobserwowano również jakie typy wylewów wieńczyły garnki (ryc. 11).

Wylewy garnków tworzyły najczęściej typy W.8, W.31, W.43 i W.47. Poza tym zaobserwowano również typy: W.9, W.17, W.29, W.33, W.34, W.36, W.38, W.46, W.48 oraz W.113.

Wazy

Za pozostałości waz uznano 37 grup naczyniowo-technologicznych. Również i w tym przypadku, gdzie było to możliwe, do określenia morfologii i funkcjonalności waz zastosowano systematykę M. Kaczmarka (2002, 25–29, ryc. 4 i 5). Jako wazy autor uznawał formy dwu- i trójczłonowe, zwane niekiedy również naczyniami dwustożkowatymi. Odmiennie, jak u M. Kaczmarka, w grupie tej nie ujęto małych naczynek, zwanych w literaturze czarkami. Formy te omówiono wraz z naczyniami miniaturowymi jako osobną kategorię naczyniową. Odmiennie niż w przypadku waz, w grupie czarek możliwe było wystąpienie małego uszka, ale nie wychodzącego, jak w przypadku czerpaków, powyżej wysokości wylewu.

Tam, gdzie było to możliwe, poszczególne naczynia uznane za części waz przyporządkowano określonemu typowi. W ten sposób uchwycono pozostałości typu W13, reprezentowanego przez 1 naczynie, typu W24, reprezentowanego przez 1 naczynie, typu W24 w odmianie b, reprezentowanego przez 2 naczynia, typu W26, reprezentowanego przez 2 naczynia, typu W31, reprezentowanego przez 1 naczynie, typu ogólnie W31-W23, reprezentowanego przez 2 naczynia, typu W32 w odmianie a, reprezentowanego przez 2 naczynia, typu W35, reprezentowanego przez 1 naczynie, typu W51, reprezentowanego przez 2 naczynia oraz typu W52, reprezentowanego prawdopodobnie przez 2 naczynia.

Typ W13

Typ W1 M. Kaczmarka tworzyły niskie, szerokootworowe naczynia trójsegmentowe, bezuche, z wyraźnie wyodrębnioną szyjką i wylewem kołnierzowato wychylonym na zewnątrz. Odmiana W13 charakteryzowała się ostroprofilowanym brzuścem, z największą wydętością zaraz pod nasadą szyjki (Kaczmarek 2002, 25–26). Przypuszczalną pozostałością tego typu mogło być naczynie 107 z obiektu nr 12 (tabl. 16:5). W zbiorze fragmentów tego naczynia wyróżniono fragmenty

profilowanego wylewu W.69. Wylew ten charakteryzował się kołnierzowatym wywinięciem na zewnątrz oraz profilacją partii wewnętrznej. Niestety, stan zachowania nie pozwolił na rekonstrukcję większej części naczynia.

Typ W24

M. Kaczmarek określał typ W2 jako trójsegmentowe naczynia z wyodrębnioną, cylindryczną szyjką i baniastym brzuścem. Odmiana W24 charakteryzowała się dość niesymetrycznie elipsowatym brzuścem (Kaczmarek 2002, 25–28). Prawdopodobne pozostałości tego typu przedstawiało naczynie 11 z obiektu nr 12 (tabl. 5:4). Tworzyło je 8 fragmentów cylindrycznej szyjki oraz 33 fragmenty baniastego brzuśca.

Typ W24b

W odmianie tej szyjka naczynia była stożkowata, węższa przy wylewie, rozszerzona u nasady z brzuścem (Kaczmarek 2002, 25–28). W grupie tej znalazły się fragmenty naczynia 109 z obiektu nr 12 (tabl. 16:3), zaopatrzonego w wylew typu W.45 oraz 1 fragment cylindrycznej szyjki przechodzącej następnie w baniasty brzusiec, określonej jako naczynie 119 z obiektu nr 12 (tabl. 19:2). Naczynie 109 przedstawiało niedużą wazę z cylindryczną szyjką, wychylającą się lekko na zewnątrz, idąc ku górze, z wylewem typ W.45, a w części dolnej przechodzącą w dość mocno wypukły, baniasty brzusiec. Przejście szyjki w brzusiec sygnalizowane dodatkowo linią poziomego żłobienia dookolnego.

Typ W26

Naczynia tej odmiany przedstawiały formy baniasto-kuliste (Kaczmarek 2002, 26 i 28). Do grupy tej zaliczono pozostałości dwóch naczyń z inwentarza obiektu nr 12: naczynia 7 (tabl. 8:1) i 103 (tabl. 15:5). Pierwsze z nich charakteryzowało się obecnością wygładzanej, cylindrycznej szyjki, bez zachowanego wylewu, zwężającej się lekko do środka, idąc ku górze, a w partii dolnej przechodzącej w baniasty, chropowacony brzusiec. Spód naczynia tworzyły fragmenty dna typu D.13, charakteryzującego się podstawą wyodrębnioną w pełną „pseudostopkę", zgrubiałą owalnie po stronie wewnętrznej, łączącą się z łukowato-wypukłą ścianką boczną. Drugie naczynie przedstawiało część wylewu W.19 przechodzącego niezauważalnie w cylindryczną, rozszerzającą się, idąc ku brzuścowi, szyjkę.

Typ W31/W23–25

Była to grupa, do której zaliczono fragmenty dwóch naczyń: 97 (tabl. 14:2) i 98 (tabl. 14:1) z obiektu nr 12. Niestety, stan zachowania nie pozwolił na definitywne stwierdzenie, czy był to typ W3, czy może typ W2 w którejś z odmian. Zachowana górna partia naczyń sugerowała ostrożnie przynależność do grupy W3 wg systematyki M. Kaczmarka.

W literaturze przedmiotu naczynia typu W3 znane były jako tzw. dwustożkowate, z ostrym załomem brzuśca. M. Kaczmarek dzielił je na podtypy, w zależności od wysokości załomu. Odmiana W31 charakteryzowała się załomem usytułowanym mniej więcej w połowie wysokości naczynia (Kaczmarek 2002, 27–28). Z naczynia 97 zachowało się 77 fragmentów wazy z partii wylewu, szyjki i górnej partii brzuśca. Wylew typu W.19, dość prosty w profilu, skierowany lekko diagonalnie do środka, idąc ku górze. Naczynie 98, również zachowane w górnej partii, składało się z cylindrycznej szyjki, lekko skierowanej do środka, idąc ku górze, a w fazie wylewu skierowanej prawie pionowo do góry (w typie W.2).

Typ W32

W odmianie tej załom brzuśca znajdował się poniżej połowy całkowitej wysokości naczynia. Nie jest wykluczone, iż do grupy należały fragmenty naczynia 99 oraz 113, odkryte w inwentarzu obiektu nr 12. Waza 99 (tabl. 14:3) zachowana była w partii wylewu typu W.25 i dużej, cylindrycznej szyjki. Naczynie 113 (tabl. 18:1) tworzyło 147 fragmentów ceramiki, wśród których zachowały się części wylewu W.28, dużej, cylindrycznej szyjki oraz fragmenty brzuśca.

Typ W35

Do odmiany tej zaliczano formy dość szerokootworowe z załomem powyżej połowy wysokości i z łukowatym profilem (Kaczmarek 2002, 27–28). Do tego typu mogło należeć naczynie 15 z obiektu nr 3 (tabl. 3:4). Niestety, stan zachowania naczynia nie pozwolił na rekonstrukcję całości oraz potwierdzenia przynależności do określonego typu. Wśród fragmentów wazy znalazła się część wylewu typu W.47, lekko łukowato-wklęsłego w profilu i wychylonego na zewnątrz, idąc ku górze, a także ułamek prostego dna typu D.4.

Typ W51

Naczynia wazowate typu W5 były trójsegmentowe z baniastym brzuścem o załomie mniej więcej w połowie wysokości naczynia. Odmiana W51 zaopatrzona była w brzusiec baniasto-elipsowaty (Kaczmarek 2002, 27–28). Do odmiany tej zaliczono ostrożnie pozostałości dwóch naczyń: 12 (tabl. 6:3) i 14 (tabl. 9:2) z obiektu nr 12. Z naczynia 12 zachowały się fragmenty z partii wygładzanej szyjki i chropowaconego brzuśca. Naczynie 14 zachowane było w większej części, zaopatrzone w wygładzany wylew typu W.52 i małą szyjkę, a także w chropowacony brzusiec (chropowacenie rozpoczynające się od załomu brzuśca i idące do dna) oraz ułamek dna typu D.14. Wylew lekko łukowato-wklęsły w profilu, skierowany lekko diagonalnie do wewnątrz, idąc ku górze. Dno zachowane w partii części dość płaskiej podstawy, wyodrębnionej lekko na pełną pseudostopkę, łączącą się z lekko łukowato-wklęsłą, a następnie wypukłą ścianką boczną.

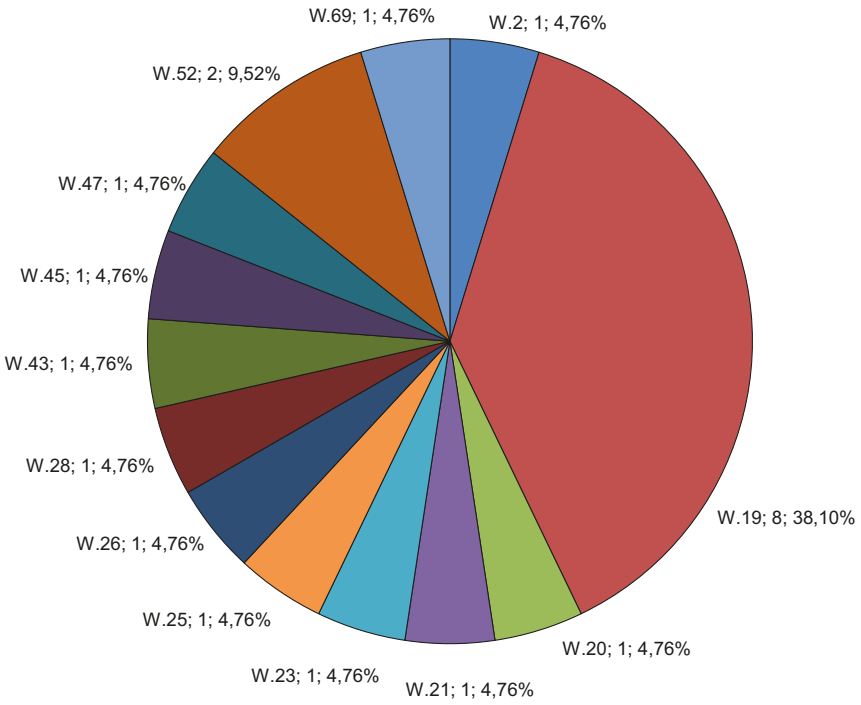

Ryc. 12. Stargard, Stare Miasto, kwartał IX. Typy wylewów zaobserwowane na naczynia wazowatych. Oprac. R. Mikuła
Abb. 12. Stargard, Altstadt, Quartier IX. Typen von Ausgüssen, die an vasenförmigen Gefäßen beobachtet wurden. Bearb. R. Mikuła

Typ W52

W odmianie tej, wg M. Kaczmarka, brzusiec był baniasto-kulisty, z akcentem na bardziej baniasty (Kaczmarek 2002, 27–28). Do typu tego mogły należeć fragmenty dwóch naczyń: 9 (tabl. 9:1) i 13 (tabl. 5:3) z inwentarza obiektu nr 12. Naczynie 9 tworzyło część dużej, chyba dość przysadzistej wazy z wygładzanym wylewem typu W.21, przechodzącym w małą szyjkę, a następnie z chropowaconym brzuścem i fragmentem dna typu D.9. Drugie z naczyń, nr 13, zachowane było w dolnej partii szyjki oraz w partii brzuśca ze strefy baniastego załomu.

Obserwując kształty wylewów, jakie występowały w przypadku naczyń wazowatych, otrzymano liczbę 13 typów o różnym ukształtowaniu rdzenia i krawędzi (ryc. 12).

Najczęściej występującym z wylewów była forma w typie W.19, dość prosta w profilu, skierowana do środka, idąc ku górze. Poza tym wystąpiły jeszcze typy: W.2, W.20, W.21, W.23, W.25, W.26, W.28, W.43, W.45, W.47, W.52 i W.69.

Misy

Prawdopobodne pozostałości mis wyodrębniono w 60 grupach naczyniowo-technologicznych. Również i w przypadku mis, tam, gdzie się dało, wykorzystano systematykę typologiczną M. Kaczmarka (2002, 36–38), a gdzie nie było to możliwe, uznanie poszczególnych fragmentów za pozostałości mis odbywało się na podstawie przesłanek mikromorfologicznych, a także zdobnictwa i techniki wykonania.

Podział M. Kaczmarka bazował również na ogólnie stosowanym podziale mis ze względu na sposób ukształtowania górniej partii: 1- misy z brzegiem skierowanym do środka; 2- z brzegiem prostym, skierowanym do góry wg kierunku przebiegu profilu naczynia; 3- z brzegiem wychylonym na zewnątrz. Misy, głównie z brzegiem zagiętym do środka, miały dość często zgrubiałe krawędzie, zdobione plastycznie, np. karbowane, czy z odciskami paznokciowymi. Ściankę zewnętrzną również dość często dekorowano odciskami paznokciowymi lub dołkami palcowymi, często szczypanymi. Misy występowały w asortymencie naczyniowym przez cały okres trwania kultury łużyckiej, ale łączyło się je przede wszystkim z okresem halsztackim, z przeżywaniem się w okresie następnym (Marchelak i in. 2000, 218; Szamałek 1987, 94).

Misy charakteryzowały się przede wszystkim szerokootworowym wylewem, o średnicy większej, niż średnica największej wydętości brzuśca i dna oraz proporcją R_1:$H_1 \geq 2$ (Kaczmarek 2002, 36–38).

Wśród analizowanych naczyń wyróżniono pozostałości nawiązujące do następujących typów i odmian: M11, reprezentowanego przez dwa naczynia, M11b – dwa naczynia, M12 – dwanaście naczyń, M12/61 – jedno naczynie, M21 – pięć naczyń, M21a – sześć naczyń, M21b – dwa naczynia oraz M61, reprezentowanego przez dwa naczynia.

Typ M11

W grupie typu M1 wg podziału M. Kaczmarka (Kaczmarek 2002, 37–38) znalazły się trójsegmentowe formy z lejkowatą szyjką i wychylonym na zewnątrz wylewem, niekiedy facetowanym. W odmianie M11 wystąpiły naczynia płytsze. Do typu ogólnie M11 zaliczono ostrożnie pozostałości dwóch naczyń: 112 (tabl. 17:3) i 137 (tabl. 21:3) z obiektu nr 12. Naczynie 112 zachowane było m.in. w części wylewu typu W.73, charakteryzującego się esowatym rdzeniem, w fazie przykrawędnej wychylającym się szeroko na zewnątrz, tworząc

płaski otok. Średnica wylewu mieściła się między 32–34 cm. Wśród fragmentów misy znalazł się także fragment dna typu D.9 z płaską podstawą i łukowato-wklęsłą ścianką boczną, wychyloną diagonalnie na zewnątrz, idąc ku górze. Do wypukłego brzuśca doklejone było grube uszko z przekrojem typu U.5. Na powierzchni brzuśca znalazł się ornament głębokich linii rytych, przecinających się wzajemnie w wątkach tworzących pola zbliżone do rombu (o czym w dalszej części pracy, w rozdziale poświęconym ornamentyce naczyń). Naczynie 137 zachowane było tylko w partii wylewu typu W.65 o esowatym profilu i wychyloną na zewnątrz krawędzią, w dolnej partii z małą, lekko wyodrębnioną szyjką, przechodzącą następnie w wypukły brzusiec, szybko zwężający się do środka, idąc ku dołowi. Średnica wylewu wynosiła ok. 18 cm.

Typ M11b

Do odmiany tej, charakteryzującej się bardziej smukłym brzuścem oraz wyodrębnionym dnem, zaliczono ostrożnie fragmenty naczynia 25 z obiektu nr 12 (tabl. 11:2). Wśród nich wydzielono część wylewu typu W.86 z mocnym wychyleniem na zewnątrz i krawędzią uformowaną w szeroki otok, być może lekko facetowaną, o średnicy ok. 26 cm. Po przejściu małej szyjki w smuklejszy brzusiec następowało szybkie zwężenie do środka, idące ku dołowi.

Typ M12

W odmianie tej naczynia bywały głębsze (Kaczmarek 2002, 37–38). W analizowanym zbiorze naczyń, określonych jako pozostałości mis do odmiany tej zaliczono ostrożnie dwanaście egzemplarzy. W naczyniach tych zwrócono uwagę na ukształtowanie i średnicę wylewów, a także na tektonikę przejścia wylewów w partię brzuśca i (gdzie było to możliwe) dna. W zbiorze tym znalazło się naczynie 10 z obiektu nr 1 (tabl. 1.6). Pozostałe naczynia pochodziły z obiektu nr 12 i były to: naczynie 10 (tabl. 6:4), 23 (tabl. 11:1), 142 (tabl. 24:5), 145 (tabl. 22:3), 146 (tabl. 21:6), 147 (tabl. 23:3), 148 (tabl. 23:4), 150 (tabl. 24:1), 151 (tabl. 23:6), 153 (tabl. 24:3), 155 (tabl. 24:6) i 313 (tabl. 30:18). Naczynie 10 z obiektu nr 1, stanowiące pozostałość niedużej misy, zachowane było m.in. w partii wylewu W.108 o średnicy ok. 13 cm, charakteryzującego się szerokim wychyleniem na zewnątrz, z otokiem i daszkowatym zgrubieniem, a także w partii prostego dna typu D.4. Na krawędzi wylewu znajdowało się zdobienie w postaci dookolnego rzędu odcisków paznokciowych.

Naczynie 23 z obiektu nr 12 przedstawiało zachowaną częściowo w partii górnej i środkowej dużą misę o wychylonym na zewnątrz wylewie i dość dużej profilacji przełamu. Wylew, średnicy ok. 54 cm, mieścił się w typie W.43 i przedstawiał lekko łukowato-wklęsłą w profilu formę, wychyloną na zewnątrz, idąc ku górze. Pod krawędzią wylewu umieszczono małe, grube ucho taśmowate o przekroju poprzecznym w typie U.4. Ucho w dolnej partii łączyło się z brzuścem w miejscu jego największej wydętości. Niewykluczone, iż misa ta posiadała dwa ucha. Powierzchnia zewnętrzna naczynia chropowacona, obrzucona warstewką glinki zmieszanej z domieszką mineralną, tworząc kaszkowatą fakturę.

Prawdopodobną pozostałość misy w typie M12 tworzyły fragmenty wylewu naczynia 142 z obiektu nr 12. Wylew, typu W.89, przechodził następnie w brzusiec, szybko zwężający się do środka, idąc ku dołowi. Średnica wylew wynosiła ok. 32 cm. Była to forma mocno wychylona na zewnątrz, z uformowanym szerokim otokiem.

Fragment misy 145 z obiektu nr 12 przedstawiał fragment wylewu W.87 o średnicy ok. 18 cm. Wylew esowaty, mocno wychylony na zewnątrz z uformowanym szerokim otokiem i lekkim „pseudofacetowaniem". Pod otokiem naklejone małe uszko wałeczkowate typu U.1.

Podobne, jak naczynie 145, było także naczynie 146. W tym przypadku wychylony na zewnątrz wylew mieścił się w typie W.92. Jego średnica mieściła się w granicach 30–32 cm. Powierzchnia zewnętrzna lekko perforowana drobnymi liniami rytymi wykonanymi grzebykiem lub innym narzędziem.

W przypadku naczynia 147 uchwycono jeden fragment wylewu szeroko wychylonego na zewnątrz w typie W.107, o średnicy ok. 16 cm. Do wylewu tego doklejone było uszko typu U.8. Podobnie ukształtowane było naczynie 148, z którego zachowane były fragmenty wylewu 148. W tym przypadku średnica wylewu mogła wynieść ok. 26 cm.

Prawdopodobne fragmenty naczyń w typie M12 wystąpiły także w przypadku naczyń 150, 151 i 153 z obiektu nr 12, zachowanych jedynie w górnych partiach. Podobnie ukształtowane wylewy typu W.73, W.76 i W.75 wychylały się na zewnątrz, przyjmując formę szerokich otoków. W przypadku naczynia 150 średnica wylewu wynosiła ok. 18 cm.

Misa 155 z obiektu nr 12 zachowana była przede wszystkim w części wylewu i brzuśca. Z partii naczynia zachowały się również dwa ułamki dna typu D.9 z płaską podstawą, łączącą się łagodnie z łukowato-wklęsłą ścianką boczną. Wylew w typie W.93 z szerokim wychyleniem, o średnicy ok. 36 cm.

Do omawianego typu zaliczono jeszcze 8 fragmentów wylewu W.106 od naczynia 313 z obiektu nr 12. Wylew szeroko wychylony na zewnątrz z okapem, dziobkowato zgrubiałym po stronie zewnętrznej.

Typ M12-61

W zbiorze tym ujęto fragmenty naczynia 143 z obiektu nr 12 (tabl. 23:1). Niestety, stan zachowania nie pozwolił na rekonstrukcję całego naczynia oraz dokładnego określenia typu, do jakiego należał wg systematyki M. Kaczmarka. Z naczynia tego zachowanych było kilka fragmentów wylewu typu W.82, z szerokim wychyleniem na zewnątrz oraz wałeczkowate uszko typu U.1, umieszczone pod otokiem na brzuścu. Naczynie nieduże, o średnicy wylewu ok. 20 cm.

Typ M21

Typ M2 wg podziału M. Kaczmarka przedstawiał głębokie, trójsegmentowe formy z lejkowatą szyjką (Kaczmarek 2002, 36–37). Do typu tego

zaliczono ogólnie pięć naczyń z obiektu nr 12. Niestety, fragmentaryczność zachowania nie pozwoliła na definitywne określenie całości formy i potwierdzenie przynależności do określonego typu. W grupie tej znalazły się fragmenty naczynia 125 i 134 (tabl. 21:2) z wylewem typu W.61, naczynia 192 (tabl. 27:2) i 220 (tabl. 28:8) z wylewem typu W.84 oraz naczynia 234 z wylewem typu W.83 (tabl. 29:15). Naczynie 134 zachowane było w części wylewu i brzuśca. Przedstawiało niedużą, dość głęboką formę o średnicy wylewu ok. 18 cm. Wylew łukowato-wklęsły, wychylony lejkowato na zewnątrz, idąc ku górze. Naczynie 220 zachowane w postaci wylewu szeroko wychylonego na zewnątrz, przechodzącego następnie w dość chyba głęboki brzusiec. Naczynie 234 przedstawiało górną i środkową część niedużej misy z szeroko wychylonym wylewem średnicy ok. 18 cm.

Typ M21a

Odmiana ta charakteryzowała się formami bezuchymi. Zaliczono do niej pozostałości sześciu naczyń: 10 (tabl. 2:8) i 17 (tabl. 3:2) z obiektu nr 3, 149 (tabl. 23:5), 152 (tabl. 24:2), 154 (tabl. 24:7) i 168 (tabl. 24:9) z obiektu nr 12. Pierwsze z naczyń charakteryzowało się obecnością wylewu typu W.72, szeroko wychylonym na zewnątrz i o średnicy ok. 18 cm, przechodzącego następnie w głęboki brzusiec. Naczynie 17 zachowane było w partii wychylonego wylewu typu W.81 ze zgrubiałą krawędzią.

Z obiektu nr 12 pochodziło naczynie 149 z szeroko wychylonym wylewem typu W.85 i ułamkiem dna D.11. Poza tym wydzielono także ułamki szeroko wychylonego wylewu W.74 z naczynia 152, przechodzącego następnie w dość głęboki brzusiec, a także fragment naczynia 154 z wychylonym wylewem typu W.75 oraz podobne do niego naczynie 168 z szeroko wychylonym wylewem typu W.71.

Typ M21b

W odmianie tej występowały uszka umieszczone u nasady szyjki. Egzemplarze prawdopodobnie odpowiadające tej odmianie wystąpiły w dwóch przypadkach: w naczyniu 11 z obiektu nr 3 (tabl. 3:1) oraz naczyniu 156 (tabl. 24:8) z obiektu nr 12. Pierwsze z nich przedstawiało część ciekawej misy z szeroko wychylonym, zgrubiałym wylewem typu W.81, pod którym umieszczono niezachowane obecnie uszko typu U.2. Wylew zdobiony plastycznie wyodrębnionymi, szerokimi wypustkami na otoku, przypominającymi zęby. Na brzuścu, pod słabo wyodrębnioną szyjką, zaobserwowano zdobienie w postaci krzyżujących się linii rytych, tworzących pola rombów.

Naczynie 156 zachowane było w postaci kilkunastu fragmentów ceramiki, wśród których znalazły się ułamki wylewu typu W.73, szeroko wychylonego na zewnątrz, pod którym doklejono niezachowane obecnie uszko typu U.2.

Typ M61

Typ M 61 charakteryzował się prostą, mniej więcej odwrotnie stożkowatą formą. W badanym

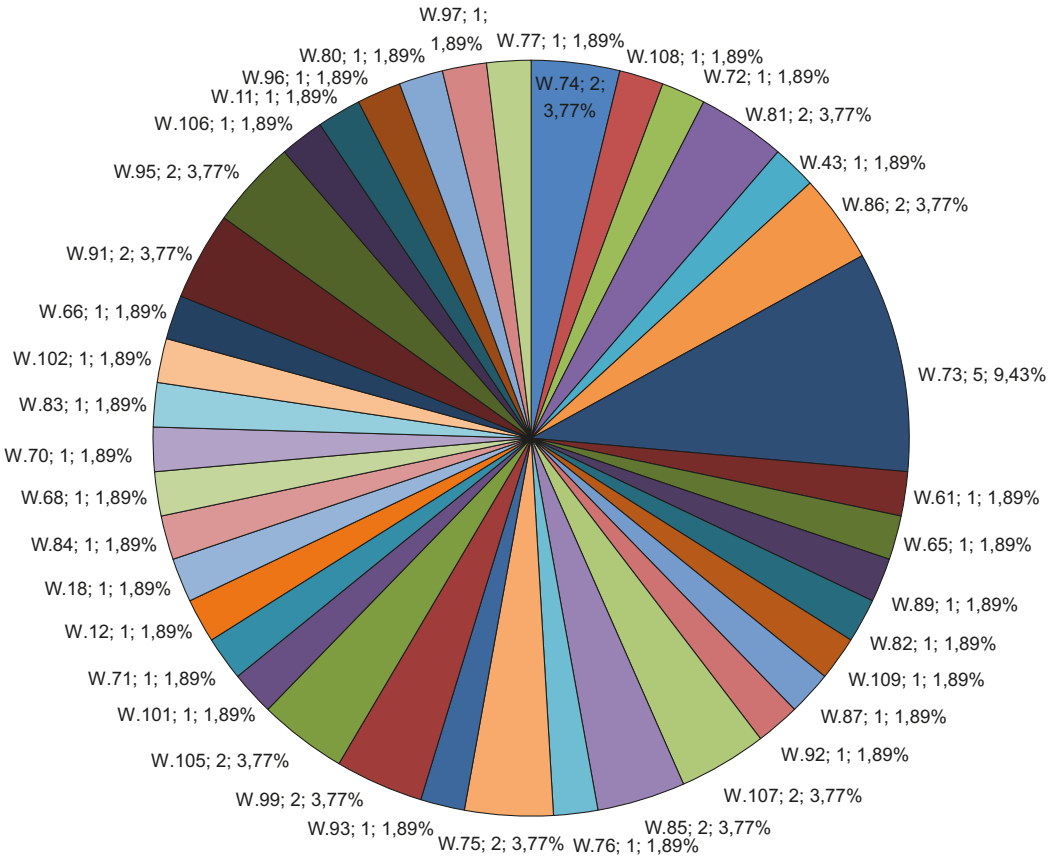

Ryc. 13. Stargard, Stare Miasto, kwartał IX. Typy wylewów zaobserwowane na misach. Oprac. R. Mikuła
Abb. 13. Stargard, Altstadt, Quartier IX. Typen von Ausgüssen, die an Schalen beobachtet wurden. Bearb. R. Mikuła

zbiorze wystąpił ewentualnie na dwóch naczyniach: naczyniu 110 i 111 z obiektu nr 12 (tabl. 17:1–2). Obie formy donicowate, z prostym w profilu wylewem, skierowanym diagonalnie na zewnątrz, w fazie przykrawędnej wychylającym się lejkowato na zewnątrz, odpowiadającym typowi W.59. Średnica wylewów wynosiła odpowiednio 22 i 24 cm. Pod krawędzią wylewów umieszczano uszko typu U.5 (w przypadku naczynia 110) oraz U.9 (na naczyniu 111). Niestety, w obu przypadkach nie zachowały się fragmenty z partii przydennej.

W przypadku mis zaobserwowano również duże zróżnicowanie mikromorfologiczne wylewów (ryc. 13). Spośród wszystkich 39 uchwyconych typów wylewów najczęściej wystąpił typ W.73, W.107, W.85, W.75, W.99, W.105, W.91, W.95, W.74, W.81 i W.86. Typy te charakteryzowały się mniej lub większym wychyleniem na zewnątrz, z krawędzią często przyjmującą formę otoku.

Dzbany

Do tej kategorii naczyniowej zaliczono ogółem 33 fragmenty naczyń, co stanowiło 13,31% zespołu objętego analizą makromorfologiczną. Za główny wyznacznik wydzielenia tej kategorii naczyniowej przyjęto obecność dużego ucha nośnego, wychodzącego od krawędzi wylewu lub zaraz pod nią. Drobne fragmenty analizowanego materiału mogły nastręczyć trudności z przypisaniem do tej kategorii naczyniowej, gdyż dzbany często były podobne, z jednej strony do waz, a z drugiej do mniejszych kubków. Podobnie zauważył M. Kaczmarek (Kaczmarek 2002, 31). Za dzbany uważał formy smuklejsze niż wazy i o odmiennej proporcji wielkości niż kubki, a przede wszystkim naczynia o jednym uchu nośnym. Tam, gdzie było to możliwe, przypisano z dużą dozą ostrożności analizowany materiał do określonych typów systematyki M. Kaczmarka. W prezentowanym zbiorze ucha nośne nie zawsze się zachowały, niekiedy jedynie jako wypustki, ślady, niekiedy także podstawą do określenia kategorii naczynia okazała się obecność dużej, smukłej, cylindrycznej szyjki. Na tej podstawie wydzielono pozostałości dzbanów następujących typów: D11 – reprezentowanych przez dwa naczynia, D12 – reprezentowanych przez cztery naczynia, D12–14 – reprezentowanych przez trzy naczynia, D13 – reprezentowanych przez jedno naczynie, D14 – reprezentowanych przez dziesięć naczyń, D21 – reprezentowanych przez jedno naczynie oraz D61–62 – reprezentowanych przez jedno naczynie.

Typ D11

Do typu D1 należały formy z trójsegmentowym brzuścem i stożkowatą szyjką, wychyloną na zewnątrz. W odmianie D11 brzusiec był baniasty, dość łagodnie profilowany, z największą wydętością pod szyjką i dość przysadzisty (Kaczmarek 2002, 31–32). Do odmiany tej zaliczono ostrożnie pozostałości dwóch naczyń: 21 (tabl. 4:1) z obiektu nr 3 oraz 124 (tabl. 19:5) z obiektu nr 12. W pierwszym przypadku zarejestrowano m.in. fragmenty wylewu typu W.5 przechodzącego niezauważalnie w cylindryczną szyjkę. Po niezachowanym uchu ślad stanowiła jedynie wypustka, znajdująca się w dolnej partii szyjki, przed przejściem w brzusiec. Przejście obu elementów naczynia podkreślone było poziomą, dookolną linią żłobienia.

Naczynie 124 z obiektu nr 12 zachowane było w partii wysokiej, cylindrycznej szyjki, zwężającej się lekko do środka, idąc ku górze, jak również z partii prostego dna typu D.6. Od dolnej partii brzuśca wychodziło niezachowane ucho o przekroju typu U.6.

Typ D12

W odmianie tej brzusiec był elipsowaty i symetryczny, a szyjka dość niska (Kaczmarek 2002, 31–32). Do typu tego zaliczono ostrożnie pozostałości czterech naczyń: 20 (tabl. 3:6) z obiektu nr 3, 126 (tabl. 20:1), 131 (tabl. 20:7) i 205 (tabl. 27:14) z obiektu nr 12. Pierwsze z nich prezentowało część dzbana z wylewem typu W.62, wywiniętego w partii przykrawędnej w mały otok o średnicy ok. 16 cm. Wylew przechodził niezauważalnie w cylindryczną szyjkę. Niestety, nie zachowało się ucho, a jedynie ślad na krawędzi wylewu, od którego ucho wychodziło. Z partii naczynia zachowały się również fragmenty dna typu D.6.

Naczynie 126 z obiektu nr 12 zachowane było w górnej i środkowej partii. Wylew o średnicy ok. 14 cm w typie W.43, przechodził w cylindryczną szyjkę wysokości 8 cm, by następnie wybrzuszyć się w załom brzuśca. W miejscu załomu brzuśca doklejona była dolna część dużego, taśmowatego ucha o przekroju typu U.4. Ucho to wychodziło od krawędzi wylewu.

Dość podobną do naczynia 126 była część dzbana 131, zachowanego w górnej i środkowej partii. Wylew również lejkowato wychylony, typu W.43, przechodził następnie w cylindryczną szyjkę, zwężającą się lekko do środka, idąc ku dołowi. Od największej wydętości brzuśca, znajdującej się zaraz pod szyjką, wychodziło duże ucho taśmowate typu U.4. W części górnej ucho łączyło się z krawędzią wylewu.

W grupie tej znalazły się jeszcze fragmenty naczynia 205. Zachowane ono było właściwie w postaci dużego taśmowatego ucha typu U.5, z którym łączył się fragment wylewu W.43, a w części dolnej część szyjki i załomu brzuśca. Ucho wychodziło powyżej krawędzi wylewu.

Typ D12–14

W grupie tej znalazły się fragmenty trzech naczyń. Stan ich zachowania nie pozwolił, niestety, na definitywne, pewne przypisanie do określonej odmiany typu D1, stąd też ujęto je ogólnie w tej grupie. Były to naczynia 114 (tabl. 18:2), 115 (tabl. 18:3) i 116 (tabl. 18:4) z obiektu nr 12. Formy dość podobne do siebie, z dość dużą cylindryczną szyjką i załomem brzuśca zaraz pod szyjką. Przejście to sygnalizowane było dodatkowo poziomą linią żłobienia dookolnego. W przypadku naczynia 114 zarejestrowano fragment wylewu W.43 o średnicy ok. 14 cm, a w naczyniu 115 wylewu W.31.

Typ D13

W odmianie tej M. Kaczmarek wyróżniał naczynia o brzuścu elipsowatym, symetrycznym z bardziej wysoką szyjką. W analizowanym zbiorze do typu tego zaliczono ostrożnie fragmenty naczynia 243 z obiektu nr 12 (tabl. 30:7). Zachowane było w części wylewu W.56, przechodzącego niezauważalnie w dużą cylindryczną szyjkę, dość prostą w przełamie, lekko skierowaną do środka, idąc ku brzuścowi. Od krawędzi wylewu wychodziło niezachowane, duże ucho taśmowate.

Typ D14

Do odmiany tej M. Kaczmarek zaliczał formy elipsowate, symetryczne, smuklejsze i z bardziej wysoką szyjką (Kaczmarek 2002, 31–32). W niniejszej pracy uwzględniono prawdopodobne pozostałości dziesięciu naczyń, mogących odpowiadać tej odmianie. Zaliczono do niej naczynie 19 z obiektu nr 3 (tabl. 3:5) oraz dziewięć naczyń z obiektu nr 12: 105 (tabl. 16:2), 108 (tabl. 16:1), 207 (tabl. 28:2), 209 (tabl. 28:3), 210 (tabl. 28:5), 214 (tabl. 28:7), 215 (tabl. 28:6), 216 (tabl. 28:9) i 217 (tabl. 29:1). Naczynia te również były zachowane fragmentarycznie, na ogół w górnej partii.

Naczynie 19 z obiektu nr 3 charakteryzowało się obecnością części wylewu typu W.9 o prostym w profilu przełamie, diagonalnie skierowanym na zewnątrz idąc ku górze i z krawędzią dość płasko ściętą. W dolnej fazie wylew przechodził niezauważalnie w dużą, cylindryczną szyjkę, zwężającą się do środka, idąc ku załomowi brzuśca. Na załomie widoczny fragment zdobienia w postaci dość głębokiego żłobienia, prawdopodobnie z wątkiem tzw. „wiszących trójkątów". W zbiorze fragmentów naczynia 19 znalazły się jeszcze ułamki dna typu D.4 z płaską podstawą i prostą w profilu ścianką boczną.

Z naczynia 105, pochodzącego z inwentarza obiektu nr 12, zachowała się jedynie górna partia z fragmentami wylewu i szyjki. Wylew typu W.43, łukowato-wklęsły w profilu, diagonalnie skierowany na zewnątrz, idąc ku górze, o średnicy ok. 18 cm. W partii dolnej wylew przechodził w wysoką, cylindryczną szyjkę.

Naczynie 108 także zachowane było w górnej partii, z częścią wylewu, szyjki, przechodzącej następnie w brzusiec oraz z dużym uchem taśmowatym. Szyjka dzbana dość wysoka, w górnej partii przechodząca w wylew typu W.43, od którego wychodziło duże ucho taśmowate, doklejone w dolnej części do brzuśca w miejscu jego największej wydętości. Załom brzuśca umiejscowiony wysoko, zaraz pod przejściem szyjki w brzusiec. Średnica wylewu wynosiła ok. 16 cm.

Z partii naczynia 207 zachowały się jedynie dwa fragmenty wylewu dość szeroko wychylonego na zewnątrz, idąc ku górze, a w dolnej partii przechodzącego w dość prostą w przełamie, cylindryczną szyjkę, zwężającą się lekko do środka, idąc brzuścowi.

W przypadku naczynia 209 również zachowały się jedynie fragmenty z partii wylewu o średnicy ok. 16 cm, przechodzącego następnie w cylindryczną, chyba dość wysoką szyjkę. Wylew typu W.50, łukowato-wklęsły w profilu, skierowany diagonalnie na zewnątrz, idąc ku górze. Krawędź wylewu z małym dziobkowatym czy daszkowatym zgrubieniem.

Kolejne naczynia z omawianego typu dzbanów, nr 210 i 214–217 także zachowane były w górnych partiach, z wylewami przechodzącymi następnie w cylindryczne szyjki. W naczyniu 210 zachowała się cylindryczna, prosta, pionowo skierowana szyjka, zwieńczona wylewem W.57, od którego wychodziło niezachowane obecnie ucho. Po uchu tym zachowała się jedynie część wypustki. Wylew wychylony lekko na zewnątrz w fazie przykrawędnej, średnicy ok. 14 cm. Naczynie 214 z prostą, cylindryczną szyjką i wylewem W.60, lejkowato wychylającym się na zewnątrz i średnicy ok. 16 cm. Naczynie 215 z węższą, cylindryczną szyjką i wychylonym lejkowato wylewem typu W.60, średnicy ok. 14 cm. Z naczynia 216 zachowały się elementy wylewu W.31, lekko łukowato-wklęsłego w profilu, lekko wychylonego na zewnątrz, idąc ku górze, w partii dolnej przechodzącego w dużą, cylindryczną szyjkę. Naczynie 217 zaopatrzone było w duże ucho taśmowate typu U.4, z którego zachowały się jedynie wypustki w miejscu łączenia z wylewem i szyjką. Wylew typu W.31, przechodził w cylindryczną szyjką, pod którą formował się szybko załom brzuśca.

Typ D21

Naczynia typu D2 charakteryzowały się brzuścem w kształcie wycinka kuli, bez wyraźnie wyodrębniającego się dna, z cylindryczną szyjką. W odmianie D21 brzusiec symetrycznie owalny, z szyjką cylindryczną, lejkowatą, wychyloną na zewnątrz (Kaczmarek 2002, 31–32). Do odmiany tej zaliczono ostrożnie fragmenty naczynia 204 z obiektu nr 12 (tabl. 27:13). Naczynie zachowane było w górnej partii, więc nie jest wiadomo, jak przebiegał brzusiec i część przydenna, niemniej naczynie zaopatrzone było w lekko lejkowatą, wysoką szyjkę, z wylewem typu W.31, wychylającym się lekko na zewnątrz. Od krawędzi wylewu wychodziło chyba duże ucho taśmowate, po którym zachowały się jedynie ślady łączenia z resztą naczynia.

Typ D61–62

W typie D6 znalazły się formy esowate, przypominające niektóre typy garnków. M. Kaczmarek do odmiany D61 zaliczał formy o załomie umieszczonym poniżej połowy wysokości naczynia, a do odmiany D62 formy jajowate, z największą wydętością brzuśca w połowie wysokości naczynia (Kaczmarek 2002, 32–33). Do omawianego typu zaliczono fragmenty naczynia 24 z obiektu nr 12 (tabl. 10:4). Z naczynia zachowały się fragmenty wylewu typu W.9, o prostym rdzeniu, skierowanym diagonalnie a zewnątrz, idąc ku górze, z dość płaską krawędzią, średnicy ok. 16 cm. W części dolnej wylew przechodził w niedużą szyjkę, a ta esowato w brzusiec, z załomem umieszczonym chyba mniej więcej w połowie wysokości naczynia. Od krawędzi wylewu wychodziło taśmowate ucho z przekrojem typu U.9. Ucho

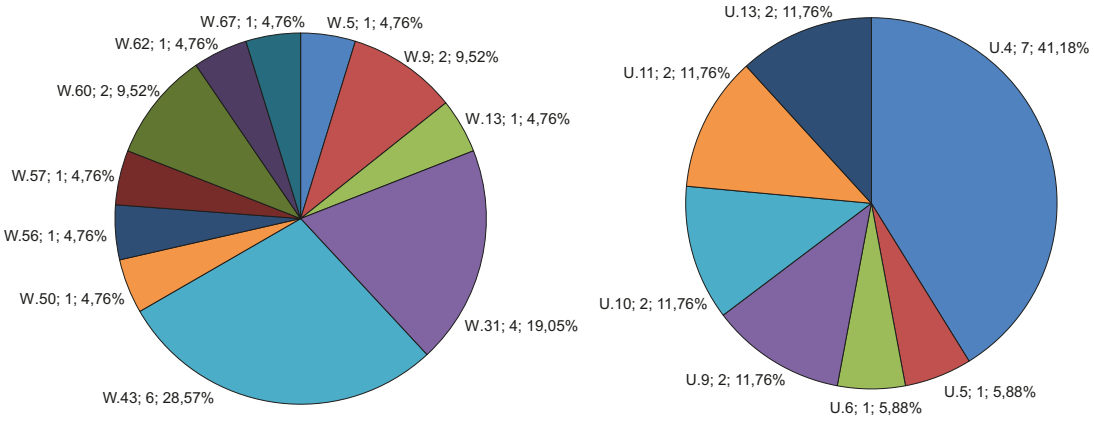

Ryc. 14. Stargard, Stare Miasto, kwartał IX. Typy wylewów (z lewej) oraz uch (z prawej) zaobserwowane na dzbanach. Oprac. R. Mikuła

Abb. 14. Stargard, Altstadt, Quartier IX. Typen von Ausgüssen (links) und Henkeln (rechts), die an Krügen beobachtet wurden. Bearb. R. Mikuła

kończyło swój przebieg w dolnej partii szyjki, jeszcze przed załomem brzuśca.

W zbiorze naczyń określonych jako pozostałości dzbanów zaobserwowano występujące na nich typy wylewów oraz uch nośnych (ryc. 14). Spośród wszystkich wyróżnionych typów wylewów na dzbanach najczęściej wystąpiły formy W.43, W.31, W.9 i W.60.

Spośród fragmentów uch, w które zaopatrzone były dzbany, najczęściej wystąpiły taśmowate formy o przekroju poprzecznym w typie U.4, a poza tym U.9, U.10, U.11 oraz U.13.

Kubki

Ze względu na silne rozdrobnienie i fragmentaryczność badanego zbioru wyróżnienie ewentualnych pozostałości kubków było dość utrudnione i narzucało niekiedy pewną arbitralność wyboru. Pomimo tego, przy wykorzystaniu wyników analizy mikromorfologicznej, wyodrębniono pozostałości prawdopodobnie 25 kubków. Spośród nich, gdzie było to możliwe, zastosowano typologię M. Kaczmarka.

M. Kaczmarek jako kubki określał naczynia jedno- dwu lub trójsegmentowe, posiadające tzw. ucho nośne, choć mogły zdarzyć się analogiczne formy bezuche lub zaopatrzone w dwa ucha, zachowując proporcje: $R_1 \geq H_1$ i $R_3 > H_1$ (Kaczmarek 2002, 33–35). W opracowywanym materiale udało się, z dużą dozą ostrożności, wydzielić pozostałości typu K11, reprezentowanego prawdopodobnie przez trzy naczynia, K12, reprezentowanego przez dwa naczynia, K21, reprezentowanego przez cztery naczynia, K22, reprezentowanego przez trzy naczynia oraz K71b, reprezentowanego przez jedno naczynie.

Typ K11

Do typu K1 zaliczano kubki trójsegmentowe, z baniastym brzuścem i stożkowatą szyjką, wychyloną na zewnątrz. W odmianie K11 brzusiec elipsowaty, symetryczny, dość łagodnie profilowany (Kaczmarek, 33–34). W analizowanym materiale do odmiany tej zaliczono ostrożnie pozostałości trzech naczyń: nr 13 (tabl. 2:9) z obiektu nr 3, 29 (tabl. 12:1) i 32 (tabl. 12:2) z obiektu nr 12. W pierwszym przypadku naczynie zachowane było w partii wylewu o średnicy ok. 12 cm, przechodzącego w stożkowatą szyjkę, a następnie w baniasty brzusiec. Wylew typu W.64, łukowato-wklęsły w profilu, wychylony na zewnątrz, idąc ku górze.

Kubek 29 z obiektu nr 12 zachowany był w części górnej i środkowej. Wylew, typu W.49 i średnicy ok. 16 cm, łukowato-wklęsły w profilu, wychylony diagonalnie na zewnątrz, idąc ku górze. W fazie dolnej przebiegu wylew przechodził w lekko stożkowatą szyjkę, pod którą formował się baniasty, wręcz kulisty brzusiec. Brak zachowanej części dna nie pozwolił na odtworzenie całej formy, ale wydaje się, iż miało ono wysokość ok. 16–18 cm. Powierzchnia zewnętrzna naczynia była chropowacona, obmazywana palcowo w układzie wertykalnym.

Naczynie 32 zachowane było m.in. w partii wylewu typu W.43, przechodzącego następnie w cylindryczną, zwężającą się następnie lejkowato szyjkę. Wylew wychylony na zewnątrz, łukowato-wklęsły w profilu. Powierzchnia zewnętrzna prawie na całości chropowacona.

Typ K12

W odmianie tej brzusiec bywał bardziej baniasty, symetryczny. W analizowanym materiale, do grupy tej zaliczono pozostałości naczynia 118 (tabl. 18:5) i 138 (tabl. 21:5) z obiektu nr 12. Naczynie 118 zachowane w partii górnej, z wylewem typu W.41, wychylonego lekko na zewnątrz, przechodzącego następnie w małą szyjkę, pod którą znajdował się baniasty brzusiec, od razu z największą wydętością. Wylew o średnicy ok. 17 cm. Wychodziło od niego małe uszko taśmowate typu U.4, kończące swój bieg w miejscu największej wydętości brzuśca.

Naczynie 138 reprezentowane było przez 3 fragmenty ceramiki, tworzące ułamek górnej i środkowej partii naczynia. Kubek zaopatrzony był w wylew typu W.16, mniej więcej prosty w profilu, diagonalnie skierowany na zewnątrz, idąc ku górze, w fazie przykrawędnej lekko dziobkowato zgrubiały po stronie zewnętrznej. W dolnej fazie wylew przechodził niezauważalnie w cylindryczną szyjkę, zwężającą się do środka, idąc ku dołowi.

W fazie dolnej szyjka przechodziła w baniasty, czy wręcz kulisty brzusiec. Przejście to akcentowane było dookolną linią żłobienia poziomego.

Typ K21

Typ K2 tworzyły trójsegmentowe formy o kulistym brzuścu i dość słabo wyodrębnioną szyjką, przechodzącą bardziej łagodnie w brzusiec. W dolnej partii dno słabo wyodrębnione. W odmianie K21 brzusiec był prawie kulisty, a szyjka lejkowata, z widoczną profilacją (Kaczmarek 2002, 34–35). W odmianie tej znalazły się fragmenty naczyń z obiektu nr 12: 26 (tabl. 11:7), 27 (tabl. 11:3), 130 (tabl. 20:6) i 219 (tabl. 29:4). Naczynie 26 zachowane było m.in. w partii wylewu typu W.39 o średnicy ok. 17 cm, z uformowaną małą szyjką lejkowatą, przechodzącą esowato w brzusiec. Naczynie mogło posiadać dwa uszka taśmowate typu U.9, wychodzące od krawędzi wylewu. Z dolnej partii naczynia zachowane fragmenty przydenne, sugerujące słabą profilację dna.

Naczynie 27 zachowane było w partii górnej, z wylewem typu W.43 wychylonym lekko na zewnątrz, idąc ku górze oraz z wychodzącym od niego uszkiem taśmowatym U.4. Naczynie posiadało małą, dość słabo wyodrębnioną szyjkę, dość łagodnie przechodzącą następnie w brzusiec.

W inwentarzu obiektu nr 12 znalazły się również fragmenty naczynia 130. Był to kubek z wylewem typu W.43, lejkowato wychylonym na zewnątrz, o średnicy ok. 15 cm, z małą szyjką, przechodzącą w kulisty brzusiec. Od krawędzi wylewu wychodziło uszko taśmowate typu U.4, łączące się z naczyniem w miejscu przejścia szyjki w brzusiec. Na powierzchni zewnętrznej brzuśca widoczne zdobienie w postaci dość gęstego szczypania palcowo-paznokciowego. Odciski szczypane tworzyły wątki pionowych rzędów.

Naczynie 219 zachowane było jedynie w partii górnej naczynia, z wylewem typu W.63, łukowato-wklęsłym w profilu, o średnicy ok. 18 cm. Naczynie posiadało małą, dość słabo wyodrębnioną szyjkę, pod którą formował się baniasty brzusiec. Od krawędzi wylewu wychodziło niezachowane obecnie ucho taśmowate w typie U.4.

Typ K22

W odmianie tej brzuśce były elipsowate, załamane w partii przydennej, forma esowato profilowana (Kaczmarek 2002, 34–35). W grupie tej znalazły się trzy naczynia: nr 14 (tabl. 2:7) z obiektu nr 3, 28 (tabl. 11:4) i 169 (tabl. 25:1) z obiektu nr 12. Pierwsze z naczyń stanowiło pozostałość niedużej formy, zachowanej jedynie w postaci jednego fragmentu wylewu o średnicy ok. 14 cm, przechodzącego następnie w małą szyjkę, a ta esowato w brzusiec. Wylew typu W.64, łukowato-wklęsły, wychylony lekko na zewnątrz, idąc ku górze.

Naczynie 28 z obiektu nr 12 stanowiło pozostałość niedużego kubka o esowatym profilu, z wylewem typu W.34, odktórego krawędzi wychodziło ucho taśmowate typu U.4. Ucho łączyło się następnie z naczyniem w miejscu przejścia szyjki w brzusiec.

W grupie tej znalazły się jeszcze fragmenty naczynia 169 z wylewem typu W.31. Naczynie posiadało cylindryczną szyjkę, rozszerzającą się lekko, idąc ku brzuścowi. Średnica wylewu wynosiła ok. 14 cm. Na powierzchni wylewu i szyjki bogata ornamentyka ze żłobieniem, tworzącym motyw jodełki, roślinny, o czym w dalszej części pracy.

Typ K71b

W typie tym M. Kaczmarek umieścił stożkowate naczynia z kołnierzowato wychylonym na zewnątrz wylewem, z pogrubioną, czasami facetowaną krawędzią. W odmianie K71b wystąpiły fragmenty z małym uszkiem umieszczonym pod krawędzią (Kaczmarek 2002, 34–35). Do odmiany tej zaliczono fragmenty naczynia 140 z obiektu nr 12 (tabl. 22:1). Była to „moździerzowata" forma, dość prosta w profilu i z wylewem typu W.58,

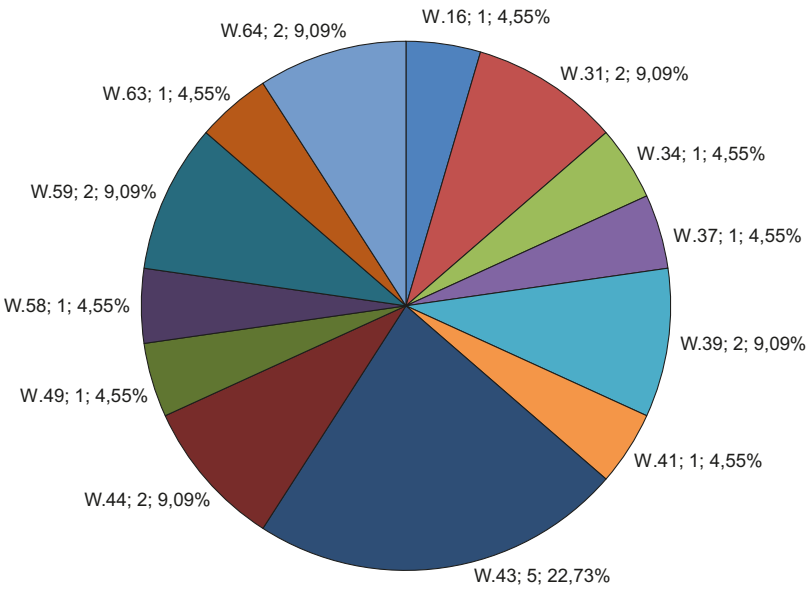

Ryc. 15. Stargard, Stare Miasto, kwartał IX. Typy wylewów zaobserwowane na kubkach. Oprac. R. Mikuła
Abb. 15. Stargard, Altstadt, Quartier IX. Typen von Ausgüssen, die an Bechern beobachtet wurden. Bearb. R. Mikuła

wychylonym na zewnątrz i z pogrubioną krawędzią. Średnica wylewu wynosiła ok. 17–18 cm. Pod wylewem umieszczono małe uszko taśmowate typu U.7. W części dolnej naczynie przechodziło w wyodrębnione dno typu D.18, z podstawą nieznacznie wepchniętą do środka. Całkowita wysokość naczynia mogła wahać się w granicach ok. 13–15 cm.

W analizowanym zbiorze kubków zaobserwowano również zróżnicowanie typów wylewów, jakie wystąpiły na tych naczyniach (ryc. 15). Wśród wyróżnionych typów wylewów najliczniej wystąpił typ W.43, a poza nim typ W.44, W.59, W.64, W.31 oraz W.39.

Czarki/naczynia miniaturowe

Była to grupa, do której zaliczono nieduże formy, często kształtem przypominające miniaturowe miseczki, kubki lub wazki (Kaczmarek 2002, 25), a także czerpaki. Zachowywały esowate, profilowane lub bardziej kuliste profile, z mniej lub bardziej złożonym wylewem, niekiedy z małą szyjką. Uformowanie naczyń tych oraz ich dekoracja często była kopią większych form wazowatych. Na ogół naczynka te były starannie wykonane, o wygładzanych, wyświecanych bądź czernionych ściankach. Zalegały w obiektach, towarzysząc z reguły większym formom. Niektóre z nich mogły stanowić przystawki.

Niestety, towarzyszące silne rozdrobnienie materiału utrudniało niekiedy jednoznaczne określenie kategorii analizowanego zbioru naczyniowo-technologicznego (pozostałość czarki, misy, czy może czerpaka) i przypisanie go akurat do grupy czarek i naczyń miniaturowych, przy wykorzystaniu wyników analizy mikromorfologicznej, technologii i techniki wykonania miało charakter arbitralny. Na tej podstawie, do grupy tych małych form naczyniowych zaliczono pozostałości 56 grup naczyniowo-technologicznych, co stanowiło 22,58% analizowanego zespołu. W wielu przypadkach czarki zachowane były jako pojedyncze fragmenty, przede wszystkim z górnych partii naczynia. Fragmenty czarek/naczyń miniaturowych zarejestrowano w inwentarzach wszystkich obiektów nieruchomych. W obiekcie nr 1 znalazło się naczynie 6 z wylewem typu W.34, uszkiem U.9 i linią żłobienia (tabl. 1:3) oraz naczynie 7 z wylewem typu W.40, oraz linią żłobienia (tabl. 1:4). W inwentarzu obiektu nr 3 znalazły się fragmenty naczynia 16 z wylewem typu W.31 (tabl. 3:3), naczynia 22 z wylewem W.63 (tabl. 4:2), naczynia 23 z wylewem W.23 (tabl. 4:3), naczynia 26 z dnem typu D.21, naczynia 27 z wylewem W.56 (tabl. 4:5) oraz naczynia 30 z dnem D.19 i drobnymi odciskami paznokciowymi (tabl. 4:7). W inwentarzu obiektu 12 określono pozostałości aż 48 małych naczynek, określonych jako czarki lub naczynia miniaturowe. Zachowały się: naczynie 57 z wylewem typu W.49 (tabl. 13:12), naczynie 58 z wylewem W.44 (tabl. 13:13), naczynie 59 z wylewem W.103 (tabl. 13:14), naczynie 120 z wylewem W.43, dnem D.20 oraz widoczną poziomą linią rytą (tabl. 19:3), naczynie 133 z widocznymi liniami rytymi (tabl. 21:1), naczynie 135 z dołkami paznokciowymi (tabl. 20:5), naczynie 136 z wylewem W.106 (tabl. 20:2), naczynie 157, naczynie 159 z wylewem W.88 (tabl. 24:4), naczynie 161, naczynie 172 z uszkiem typu U.5 i widocznymi drobnymi liniami rytymi w układzie ukośnym (tabl. 25:4), naczynie 179 ze żłobieniem poziomym i ukośnym (tabl. 26:1), naczynia 196–200 z dookolną linią żłobienia poziomego (tabl. 26:16; 27:3–6), naczynie 206 z wylewem W.43, uszkiem U.9 i z poziomą linią żłobienia dookolnego (tabl. 28:1), naczynie 223 z wylewem W.43 (tabl. 29:3), naczynie 226 z wylewem W.43 i uszkiem U.5 (tabl. 29:9), naczynie 227 z wylewem W.86, naczynie 235 z wylewem W.43 (tabl. 29:13), naczynie 237 z wylewem W.60 (tabl. 30:1), naczynie 238 z dnem D.4, naczynie 241 z wylewem W.65 i widocznymi liniami żłobienia ukośnego (tabl. 30:5), naczynie 305, naczynie 311 z wylewem W.43 (tabl. 30:15), naczynie 312 z wylewem W.35 (tabl. 30:17), naczynie 314 z wylewem W.31 (tabl. 30:19), naczynie 316 z wylewem W.31 (tabl. 30:21), naczynie 317 z wylewem W.31 (tabl. 30:22), naczynie 321 z wylewem W.100, naczynie 322 z wylewem W.31, naczynie 335 z wylewem W.38, naczynie 445 z wylewem W.32 (tabl. 32:10), naczynie 451, naczynie 468 z wylewem W.96, naczynie 469 z wylewem W.78, naczynie 470 z wylewem W.73, naczynie 474 z wylewem W.79, naczynie 475 z wylewem W.104, naczynie 476 z wylewem W.99, naczynie 489 z wylewem W.15, naczynie 493 z wylewem W.42, naczynie 495 z wylewem W.14, naczynie 496 z wylewem W.47, naczynie 498 z wylewem W.43 oraz naczynie 500 z wylewem W.95.

Talerze krążkowate

Była to grupa naczyniowa ujęta przez M. Kaczmarka jako typ specjalny S 51 (Kaczmarek 2002, 40). W analizowanym materiale znaleziono tylko 3 fragmenty ceramiki, pochodzące od jednego naczynia, uznane za pozostałość talerza krążkowatego. Obecność w ceramice społeczności łużyckich pól popielnicowych kolistych placków poruszała dwa zagadnienia. Z jednej strony stosunkowo łatwo było wydzielić potencjalne fragmenty płaskich talerzy, zwłaszcza analizując, niekiedy nawet mocno rozdrobnione, fragmenty wylewów, czy też występujące zdobienie w postaci dołków palcowo-paznokciowych, co mogło wypaczyć w jakimś stopniu statystyczny rozkład wydzielonych kategorii naczyniowych. Z drugiej jednak strony, niewielka liczebność talerzy krążkowatych w przedstawianym materiale, sugerowałaby raczej jeszcze „brązową" proweniencję chronologiczną (Kaczmarek 2002, 72), choć bardziej popularne stały się, by nie powiedzieć: wyznacznikiem, także na Pomorzu Zachodnim, w okresie halsztackim C (Uciechowska-Gawron 2007, 104; Kostrzewski 1958a, 189; Marchelak i in. 2000, 220), o ile obserwowało się ich dużą intensyfikację, gdyż, jak wzmiankowano wyżej, pierwsze takie formy obserwowało się jeszcze w okresie brązu (Kaczmarek 2002, 40). Za naczynia typowe dla okresu halsztackiego uważało się talerze zdobione dodatkowo ornamentem palcowo-paznokciowym (Marchelak i in. 2000, 220; Gralak 2004, 103).

Badane części lub całe talerze zachowywały płaskie, kolistego w zarysie kształty i często

pełniły funkcje podstawek dla innych naczyń. Średnice placków krążkowatych oscylowały z reguły wokół 20–30 cm. Często wewnętrzne, górne powierzchnie talerzy krążkowatych były chropowate lub ornamentowane odciskami paznokciowymi lub szczypanymi; druga strona zawsze gładka (Dudak i in. 2002, 49). Na podstawie obecności lub braku zdobienia, powierzchni wierzchniej i krawędzi wyróżniało się trzy typy talerzy krążkowatych. Była to systematyka M. Jahna, który wydzielał grupę A – niezdobiony, grupę B – ze zdobieniem górnej powierzchni zdobionej dołkami palcowymi, grupę C- ze zdobionymi krawędziami (cyt. za: Gralak 2004, 103).

Przykładem zachowanego w partii wylewu talerza krążkowatego było niezdobione naczynie 60 z obiektu nr 12 (tabl. 13:15). Stanowiły je 3 ułamki wylewu typu W.112, zorientowanego poziomo, płasko, z lekko spiczasto zakończoną krawędzią.

Talerze „kopanickie"

Do tej kategorii naczyniowej zaliczono fragmenty form wywodzące się od dość płytkich na ogół mis, bardzo bogato zdobionych na całości powierzchni wewnętrznej. Charakterystyczne kształty i zdobienie tych fragmentów nawiązywały do tzw. „talerzy kopanickich", występujących na terenach Pomorza Zachodniego i Pojezierza Meklemburskiego w schyłkowym okresie epoki brązu (Kaczmarek 2015, 85–87, ryc. 25). Genealogię występowania oraz zróżnicowanie typologiczno-zdobnicze tej kategorii naczyń omówiono już szerzej w literaturze (por. m.in. Kaczmarek 2015, 85–87; Kostrzewski 1958a, 118–123, 355, ryc. 87–90; Horst 1972, 125, 157–159, Tabl. 30; Wanzek 2004, 40, Tabl. 18–20).

W omawianym zbiorze za fragmenty prawdopodobnych talerzy ozdobnych uznano ostrożnie pozostałości 9 naczyń. Pierwszym z nich było naczynie 9 z obiektu nr 1 (tabl. 1:7). Wśród fragmentów tworzących naczynie zachowały się ułamki wylewu typu W.98, z otokiem wychylonym na zewnątrz. Na powierzchni zewnętrznej naczynia widoczne szerokie, koncentryczne i lekko ukośne żłobienie. Kolejne przykłady częściowo zachowanych, zdobionych talerzy znaleziono w inwentarzu obiektu nr 12. Pierwszym z nich był fragment naczynia 90 (tabl. 13:17), zachowanego w partii brzuśca, w miejscu przed przejściem w wychylony wylew. Na wewnętrznej stronie brzuśca widoczne było szerokie, koncentryczne żłobienie. Naczynie 139 (tabl. 21:4) zachowane było w postaci części szeroko wywiniętego w otok wylewu W.110, średnicy ok. 38 cm. Na otoku wylewu widoczne było szerokie, koncentryczne żłobienie. Naczynie 144 (tabl. 23:2) zachowane było częściowo w części wylewu i brzuśca przechodzącego w partię dna. Fragment wylewu typu W.109, szeroko wychylonego na zewnątrz, z lekko ukośnymi liniami dość szerokiego żłobienia. Na brzuścu i dnie typu D.25 widoczne szerokie i dość głębokie żłobienie koncentryczne. Pod wylewem doklejone uszko wałeczkowate typu U.1. Kolejne z talerzy omawianej grupy, nr 183, przedstawiało fragment dna D.26 (tabl. 26:5). Jego ukształtowanie, zwłaszcza widoczne po stronie wewnętrznej, wynikało z obecności ornamentu szerokiego żłobienia koncentrycznego. Naczynie 184 (tabl. 26:10) zachowane było w części brzuśca w miejscu przed przejściem w partię wychylonego wylewu. Na powierzchni wewnętrznej brzuśca widoczne szerokie, koncentryczne żłobienie. Naczynie 193 (tabl. 26:13) zachowane było jedynie w postaci fragmentu wylewu W.111, szeroko wychylonego na zewnątrz w postaci otoku. Przypuszczalne fragmenty „talerzy kopanickich" reprezentowały: naczynie 201 (tabl. 27:12) z wylewem W.12 oraz naczynie 202 (tabl. 27:10) z wylewem W.18 i z uszkiem o przekroju typu U.4. Na ich powierzchni wewnętrznej również zaobserwowano bogatą ornamentykę z szerokim żłobieniem i doklejoną listwą plastyczną. Dokładniejszą charakterystykę zdobienia omawianych fragmentów przedstawiono w następnym podrozdziale, prezentującym ornamentykę omawianego zbioru ceramiki.

Naczynia sitowate

Do grupy tej zaliczono pozostałości jednego naczynia, nr 123 z obiektu nr 12. Naczynia tej kategorii charakteryzowały się gęstym perforowaniem ścianek, tu: dna, w postaci drobnych, równomiernie rozmieszczonych otworów o średnicy ok. 2–3 mm. Jak się powszechnie uważało, naczynia sitowate występowały w asortymencie naczyniowym ludności łużyckich pól popielnicowych przez cały okres jej istnienia (Kostrzewski i in. 1965, 139–141), traciły więc jako elementy „czułe" chronologicznie.

W prezentowanym naczyniu zachowała się część przydenna, z dnem typu D.11 o płaskiej podstawie, łączącej się „ostro" z lekko łukowato-wklęsłą ścianką boczną. Podstawa dna średnicy ok. 11,5 cm, z gęstym perforowaniem całej powierzchni. Perforowanie tworzyły małe otworki, mniej więcej koncentrycznie rozmieszczone.

Ornamentyka

W badanym materiale ceramicznym zwrócono również uwagę na ornamentowanie naczyń, a w tym: rodzaj dekoracji, ilość oraz miejsca (strefy). Problematyka dekoracji naczyń była interesująca nie tylko w kontekście typologii i określenia chronologicznego, ale również jako zagadnienie atrakcyjne samo w sobie. Wiele elementów dekoracji miało, prócz wymiaru estetycznego, także wymiar pragmatyczny: na przykład guzki plastyczne mogły funkcjonować nie tylko jako element zdobniczy, ale również pełnić funkcje uszek, chwytaków, odciski palcowe na misach tworzyły perforację utrudniającą trzymającemu wyślizgnięcie się naczynia z rąk; z drugiej strony, wyraźne obmazywanie palcowe, prócz funkcji chropowacenia, mogło stanowić również element dekoracji. Interesujące jest również twierdzenie, iż zdobienie naczyń mogło mieć także wymiar znaczeniowy, rytualno-magiczny (Kaczmarek 2002, 41).

W przedstawianym materiale, pomimo dość silnego rozdrobnienia i fragmentaryczności zachowania dekoracji, udało się wyróżnić ogółem 99 przypadków wystąpienia różnorodnej dekoracji. Wśród nich, w przypadku kilku naczyń,

wystąpiło zdobienie mieszane: np. żłobienie wraz z ornamentem plastycznym.

Nie bez znaczenia było również zróżnicowanie ornamentyki w różnym okresie chronologicznym. W materiale ceramicznym z ostatnich faz epoki brązu i początków okresu żelaza (V EB–Ha C), występowała duża różnorodność i obfitość zdobienia, przede wszystkim z przykładami różnokierunkowego, wielowątkowego żłobienia, często połączonego z ornamentem rycia, odcisków, dołków, nakłuć i częściowo dekoracji plastycznej, to w środkowej fazie żelaza (Ha C/D i D) dekoracja stała się wyraźnie uboższa, zamykając się przede wszystkim w ornamentyce plastycznej, połączonej z odciskami palcowo-paznokciowymi.

Zanim przedstawiono typologię, liczebność i miejsca dekoracji, wpierw zdefiniowano kilka używanych w pracy pojęć terminologicznych. Była to próba opierająca się częściowo na systematyce dość powszechnie używanej (Czerniak 1980, 28; Kaczmarek 2002, 41). W jej ramach wyróżniono *element zdobniczy* jako najmniejszy, samodzielny szczegół, detal ornamentacyjny, wykonany w danej technice, w danym miejscu. *Wątek zdobniczy* był to zespół *elementów zdobniczych*, tworzących większą całość, pozostających w jakimś układzie geometrycznym, w danym miejscu. *Motyw zdobniczy* to istniejąca, o ile się da wydzielić, grupa wszystkich wątków zdobniczych, wykonanych w jednym lub różnych stylach, tworząca całość dekoracji naczynia, we wszystkich jego strefach dekoracyjnych.

Strefy dekoracyjne naczynia zaobserwowane na badanym materiale ceramicznym skoncentrowane były przede wszystkim w miejscach:
– wylew (obejmującego wylew, jego krawędź i miejsce przejścia w szyjkę);
– brzusiec (głównie największa wydętość, załom brzuśca oraz dolna część szyjki);

rzadziej:
– strefa przydenna (obejmująca podstawę i ściankę boczną dna);
– ucho.

Udział i rodzaj określonego zdobienia w danych strefach dekoracyjnych miały także znaczenie w przypadku określonych form naczyniowych. Krawędzie wylewów oraz strefy przydenne zazwyczaj zdobione były w przypadku naczyń niskich, szerokootworowych, jak misy. Największa wydętość brzuśca- strefa najbardziej reprezentacyjna naczynia, dekorowana była przede wszystkim w przypadku dużych form naczyniowych, jak wazy, dzbany czy garnki. Dolna część wylewu, szyjka i górna część brzuśca często dekorowana była w przypadku dużych form garnkowatych, gdzie, prócz wymiaru stylistycznego, zdobienia te pełniły także funkcje użytkowe (uszka, chwytaki).

Biorąc pod uwagę wszystkie wymienione warunki dekoracji naczyń w analizowanym zbiorze ceramicznym, wydzielono ogółem 4 rodzaje zdobienia:
– żłobienie i rycie;
– dołki palcowo-paznokciowe;
– ornament plastyczny;
– obmazywanie palcowe powierzchni (kanelury – ryc. 16).

Żłobienie i rycie

W grupie tej ujęto fragmenty naczyń, gdzie zaobserwowano pojedyncze elementy czy wątki linii żłobionych bądź rytych, niekiedy tworzące razem złożone, wielowątkowe motywy, również ze zdobieniem innego rodzaju. Żłobienie naczyń zazwyczaj koncentrowało się w strefie brzuśca, rzadziej szyjki i partii przydennej, często w przypadku naczyń wazowatych i czarek. Żłobienie występowano częściej na naczyniach o chronologii jeszcze z końca V EB i początków okresu halsztackiego C niż w okresie późniejszym. Przypadki te z dużym podobieństwem można było porównać z grupami wątków zdobniczych M. Kaczmarka (2002, 41–63), co prawda, określonymi tylko do końca epoki brązu, ale przeżywającymi się jeszcze w dużej mierze w początkach okresu żelaza. Niestety, duże rozdrobnienie i fragmentaryczność zachowania badanego materiału pozwoliły jedynie na częściowe odtworzenie wątków i motywów zdobniczych, porównując je i przypisując do typów zdobniczych wydzielonych przez M. Kaczmarka.

W badanym zbiorze wystąpiło 78 przypadków naczyń, na których stwierdzono obecność żłobienia lub rycia, przy czym w 75 przypadkach dekoracja ta występowała samodzielnie, natomiast

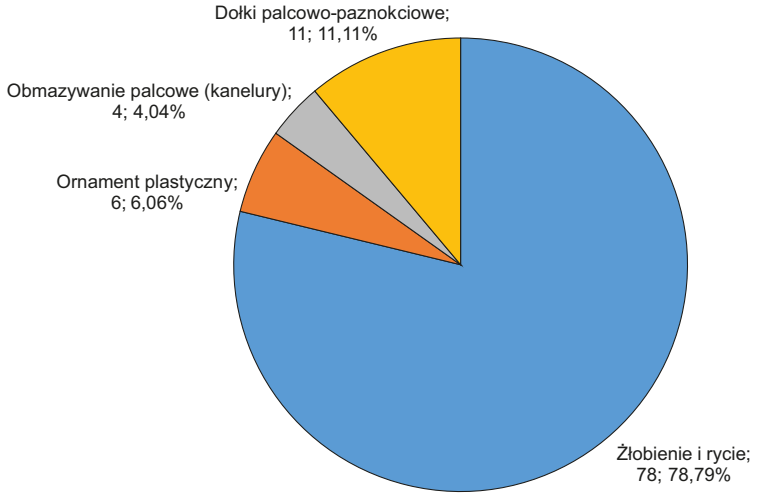

Ryc. 16. Stargard, Stare Miasto, kwartał IX. Motywy zdobnicze prezentowanego materiału. Oprac. R. Mikuła
Abb. 16. Stargard, Altstadt, Quartier IX. Dekorative Motive im präsentierten Material. Bearb. R. Mikuła

w trzech wespół ze zdobieniem plastycznym. Spośród ceramiki żłobionej i rytej wydzielono 36 przypadków naczyń ze zdobieniem odpowiadającym mniej więcej typowi IC wg M. Kaczmarka. Charakteryzowały się one wystąpieniem pojedynczych linii żłobienia lub rycia, biegnących horyzontalnie, często dookolnie. Przykłady tego zdobienia wystąpiły na naczyniach z obiektu 1, 3 oraz 12. Z obiektu nr 1 pochodziły naczynia z omawianym typem dekoracji: naczynie 6, przedstawiające część małej czarki/naczynia miniaturowego, na którym, w miejscu przejścia szyjki w brzusiec, zaobserwowano na jednym z fragmentów biegnącą pojedynczą linię wąskiego, dość głębokiego żłobienia (tabl. 1:3); naczynie 7 (czarka/naczynie miniaturowe), gdzie w dolnej części szyjki jednego z fragmentów przebiegała dość wąska, głęboka linia ryta, biegnąca poziomo, zapewne dookolnie (tabl. 1:4); naczynie 13, przedstawiające prawdopodobnie pozostałość garnka, na którego szeroko wychylonym w postaci płaskiego otoku wylewie zaobserwowano drobne linie ryte, biegnące prawdopodobnie dookolnie (tabl. 1:8). Na prezentowanych trzech fragmentach wylewu zauważono 3 linie ryte, dwie biegnące obok siebie, a trzecia w pewnej odległości od dwóch pierwszych.

Z obiektu nr 3 ornament w typie IC zaobserwowano na naczyniu 21, przedstawiającego pozostałość dzbana (tabl. 4:1). Na dwóch fragmentach szerokiej cylindrycznej szyjki, w miejscu przed przejściem w brzusiec, biegła pojedyncza linia ryta lub żłobiona, prawdopodobnie w układzie horyzontalnym. Na naczyniu 24 z tego obiektu, zaobserwowano również pojedynczą linię żłobienia poziomego, biegnącego dookolnie, umieszczonego w miejscu przejścia szyjki w brzusiec, podkreślając bardziej to przejście (tabl. 4:4).

W obiekcie nr 12 przykłady ornamentu żłobienia w typie IC zaobserwowano w 35 przypadkach naczyń. Pierwszym z nich było naczynie 97, przedstawiające pozostałość dużej wazy. W miejscu przejścia dużej, cylindrycznej szyjki w partię brzuśca przebiegała dość szeroka, zapewne pojedyncza linia żłobienia w układzie horyzontalnym, biegnąca dookolnie. Żłobienie te zaobserwowano na pięciu fragmentach cylindrycznej szyjki (tabl. 14:2). Na naczyniu 103, przedstawiającego także część wazy, w miejscu przejścia cylindrycznej szyjki w brzusiec, na dwóch fragmentach zaobserwowano dość płytką szeroką linię żłobienia dookolnego, biegnącego w układzie horyzontalnym (tabl. 15:5). Podobnie zorientowane, dość wąskie żłobienie zaobserwowano w na wazce 109. Linię oddzielającą szyjkę od baniastego brzuśca widać było na pięciu fragmentach naczynia (tabl. 16:3). Podobny ornament, znajdujący się w miejscu przejścia cylindrycznej szyjki w brzusiec, uchwycono częściowo na kolejnych czterech naczyniach: 113 (tabl. 18:1), 114 (tabl. 18:2), 115 (tabl. 18:3) i 116 (tabl. 18:4). Na pierwszym z nich, 113, przedstawiającego część wazy, żłobienie było szerokie i dość płytkie. Zaobserwowano je na czterech fragmentach. Na naczyniach 114–116, stanowiących pozostałości dzbanów, linia żłobienia lub rycia była wąska, niekiedy dość głęboka. Kolejnym przykładem wystąpienia omawianego typu ornamentyki było naczynko 120, przedstawiające niekompletną czarkę. Pojedynczą, poziomą i dookolną linię rytą zauważono w partii przyjścia szyjki w wypukły brzusiec (tabl. 19:3). Podobny ornament, podobnie zorientowany, uchwycono na fragmentach naczynia 127 (tabl. 20:3) i 128 (tabl. 20:4), przedstawiających pozostałości kubków. Poziome linie ryte były dość wąskie i płytkie. Biegły dookolnie aż do miejsca pojawienia się ucha, wychodzącego od miejsca największej wydętości brzuśca. Zdobienie w typie IC uchwycono także na naczyniu 138, przedstawiającym część kubka (tabl. 21:5). Na naczyniu tym, w miejscu przejścia cylindrycznej szyjki w brzusiec, przebiegała horyzontalnie wąska, dość głęboka linia ryta. Dwie drobne linie żłobienia czy rycia zaobserwowano na wewnętrznej stronie szeroko wychylonego otoku wylewu, pochodzącego od naczynia 174 (tabl. 25:5). Linie biegły równolegle, chyba dookolnie, jedna w pewnej odległości od drugiej. W pewnym miejscu zaobserwowano jednak, iż linie te delikatnie zwracają się ku sobie. Na czterech fragmentach naczynia 187, przedstawiającego pozostałość wazy, w miejscu przejścia szyjki w brzusiec zauważono dwie linie żłobienia lub rycia poziomego, biegnące dookolnie, jedna pod drugą, w niewielkiej odległości od siebie (tabl. 26:11). Na brzuścu (czy może w partii szyjki, choć nie było to możliwe do ustalenia) naczynia 190, na pięciu fragmentach zauważono także dwie drobne, dość głębokie linie ryte, jedna pod drugą, w pewnej odległości od siebie (tabl. 26:12). Na kolejnych sześciu naczyniach, od 195 do 200 (gdzie 196–200 przedstawiały pozostałości małych czarek), zaobserwowano podobną ornamentykę, z jedną drobną linią żłobienia, bądź rycia poziomego i dookolnego, umieszczoną w miejscu przejścia szyjki w brzusiec (tabl. 26:15–16; 27:3–6). Następne przykłady omawianego typu ornamentyki zaobserwowano jeszcze: na naczyniu 206, przedstawiającym małą czarkę, z jedną linią żłobienia, bądź rycia w miejscu przejścia szyjki w brzusiec (tabl. 28:1); na naczyniach 211–213, z pojedynczą linią żłobienia dookolnego w układzie horyzontalnym (tabl. 27:7–9); na naczyniu 260 oraz 262 (tabl. 30:25–27), gdzie drobną linię żłobienia poziomego także uchwycono w miejscu przejścia szyjki w brzusiec; na wazie 269, gdzie w miejscu przejścia szyjki w mocno wypukły brzusiec zauważono dwie drobne linie żłobienia poziomego, dookolnego, jedna w małej odległości pod drugą (tabl. 31:1); na naczyniu 272 z jedną poziomą linią żłobienia pod szyjką (tabl. 30:27); na naczyniu 281, z podobnie umieszczonym zdobieniem (tabl. 31:2); na naczyniu 288 (tabl. 31:3) oraz w końcu na naczyniu 298, gdzie pojedyncza linia żłobienia poziomego również znajdowała się w miejscu przejścia szyjki w brzusiec (tabl. 30:26).

Następnym rodzajem żłobienia, jakie uchwycono w prezentowanym materiale, był motyw zdobniczy, składający się z wątków IIA, IVA oraz XVIA wg typologii M. Kaczmarka. Przykładem tej ornamentyki była powierzchnia brzuśca naczynia 1 z obiektu nr 1, przedstawiającym pozostałość wazy (tabl. 1:1). Składały się nań: linia żłobienia biegnąca w układzie poziomym, być może dookolnym, a pod nią widoczne pojedyncze linie żłobienia wertykalnego (dość pionowo zorientowanego) oraz żłobienia ukośnego, z dwiema liniami

tworzącymi wierzchołek trójkąta, stykającego się z poziomą linią dookolną, jak również pojedyncze linie poziome, odchodzące od linii pionowej żłobienia. Na brzuścu naczynia tego znalazły się również drobne linie ryte szrafowania, biegnące mniej więcej pionowo lub lekko ukośnie.

W zbiorze naczyń zdobionych ornamentem żłobienia lub rycia wydzielono 14 przykładów ze zdobieniem w postaci linii żłobionych/rytych, biegnących ukośnie z prawa w lewo lub odwrotnie, wykonanych często jakimś narzędziem, odpowiadających mniej więcej typowi IVA wg systematyki M. Kaczmarka. Wszystkie przykłady naczyń z omawianym typem żłobienia znalazły się w inwentarzu obiektu nr 12. Pierwszym z naczyń była czarka 133, na brzuścu której, obok i pod uchem znalazły się linie żłobienia ukośnego. Trzy linie lekko ukośnego żłobienia widoczne były pod uchem, jedna obok drugiej, wykonane zapewne jakimś grzebykiem. Powyżej nich, od powierzchni brzuśca ponad dolną częścią ucha, biegła pojedyncza linia żłobienia bardziej ukośnego (tabl. 21:1). Kolejne naczynie ze żłobieniem ukośnym stanowiły pozostałości 171 grupy naczyniowo-technologicznej. Na dwudziestu fragmentach brzuśców widoczne były dość gęsto rozmieszczone drobne linie żłobione lub ryte, biegnące od góry z prawa ku dołowi na lewo, każda z linii z mniejszym lub większym odstępem od drugiej, sięgającym ok. 0,5–1,2 cm (tabl. 25:3). Wątki żłobionych linii ukośnych, często wraz z linią żłobienia poziomego, uchwycono na brzuścach kolejnych siedmiu naczyń: 175–181 (tabl. 25:6–7, 9–10; 26:1–3). Linie ukośne pod linią poziomą biegły po dwie lub trzy w wątkach z prawa od góry na lewo ku dołowi oraz z lewa od góry na prawo ku dołowi. Dwie drobne linie ryte, biegnące w układzie diagonalnym, zauważono na fragmencie brzuśca naczynia 186 (tabl. 26:6). Na naczyniu 188 widoczne były drobne linie żłobione, biegnące w układzie diagonalnym, jedna za drugą w odległości ok. 1,5–2,5 cm (tabl. 26:9). Linie te lekko skręcały półkoliście, idąc ku dołowi. Na niedużym fragmencie brzuśca naczynia 189 widoczna była linia żłobienia poziomego, zapewne dookolnego, a pod nią linia ukośna żłobienia. Niewykluczone, iż linii tych było więcej (tabl. 26:8). Dwie linie żłobienia ukośnego zaobserwowano na brzuścu naczynia 194. Linie te biegły z prawa od góry na lewo, idąc ku dołowi (tabl. 26:14). Na czarce 241, na powierzchni brzuśca pod załomem zaobserwowano fragment trzech linii żłobienia ukośnego. Jedna z nich, z lewej strony, biegła od prawa z góry na lewo ku dołowi, a dwie, biegnące obok siebie, z lewa od góry na prawo ku dołowi (tabl. 30:5).

Bazując na typologii różnokierunkowego żłobienia, określonej przez M. Kaczmarka, wydzielono w prezentowanym materiale, naczynie z odmianą IVE żłobienia. Był to fragment dzbana 19 z obiektu nr 3 (tabl. 3:5). Na jednym z fragmentów brzuśców, w strefie załomu, widoczna była dość szeroka i głęboka linia żłobienia poziomego, od której wychodziły ku górze linie żłobienia ukośnego, tworzące prawdopodobnie wątek tzw. „wiszących trójkątów". Linie ukośne również były dość szerokie i głębokie.

Analiza prezentowanego materiału ceramicznego społeczności łużyckich pól popielnicowych pod kątem występującego zdobienia pozwoliła na uchwycenie również kilku przykładów ornamentyki żłobienia, odpowiadającego mniej więcej typowi VI wg systematyki M. Kaczmarka. Wystąpiły tu drobne, różnokierunkowo biegnące linie łączące się w układy, motywy roślinne, szachownice czy motyw tzw. „jodełki". Przypuszczalne fragmenty takiej ornamentyki uchwycono na naczyniu

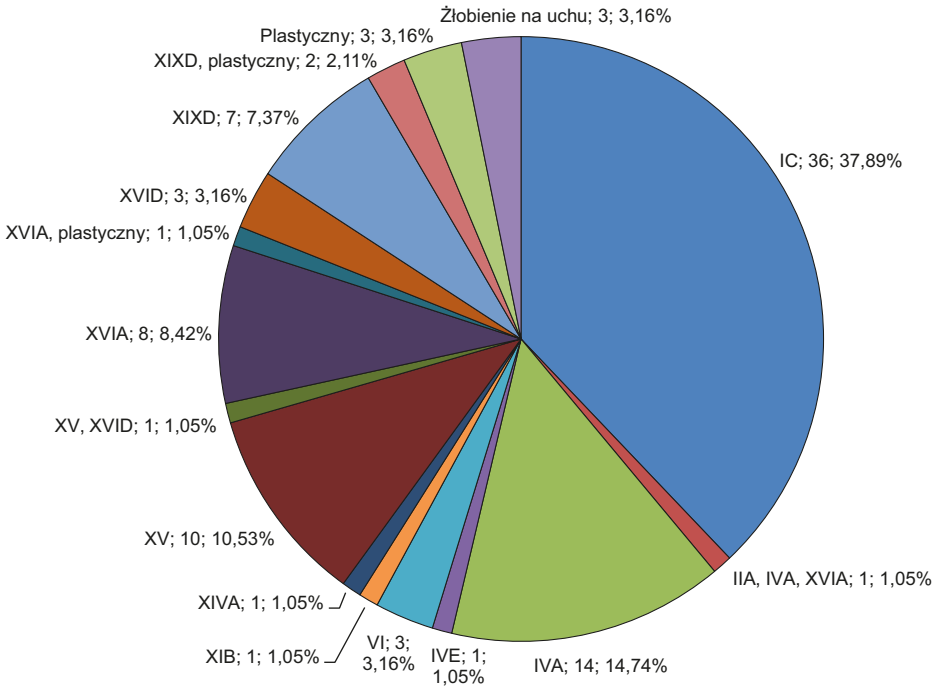

Ryc. 17. Stargard, Stare Miasto, kwartał IX. Wątki i motywy zdobnicze wg typologii M. Kaczmarka (2002) wydzielone w prezentowanym materiale. Oprac. R. Mikuła

Abb. 17. Stargard, Altstadt, Quartier IX. Im präsentierten Material erfasste Verzierungsthemen und -motive nach der Typologie von M. Kaczmarek (2002) . Bearb. R. Mikuła

112 (tabl. 17:3), 169 (tabl. 25:1) i 172 (tabl. 25:4) z obiektu nr 12. Naczynie 112 przedstawiało szerokootworową misę z uchem. Na brzuścu, idąc od miejsca pod krawędzią wylewu aż ku dnu naczynia, na lewo i prawo od ucha, widoczne były dwie linie żłobienia ukośnego, od których wychodziły następnie drobne linie żłobienia, również ukośnego, ale o innym kierunku. Linie te przecinane były następnie przez kolejne linie ukośne, tworząc w ten sposób szrafowanie przypominające pola rombów lub prostokątów. Na cylindrycznej szyjce kubka 169 umieszczono bogate zdobienie, być może także o jakieś symbolice użytkowej, czy rytualno-magicznej. Uchwycono nań różnokierunkowe żłobienie w kilku miejscach szyjki, tworzące tzw. „jodełkę" lub inny motyw roślinny. Prawdopodobny motyw „jodełki", czy zygzaka, znalazł się jeszcze na brzuścu czarki 172. Ornamentem tym pokryta była prawdopodobnie cała powierzchnia brzuśca i może również dna naczynka (por. ryc. 17).

Prawdopodobnym przejawem, echem stylistyki (post)guzowej było zdobienie zaobserwowane na brzuścu naczynia 173 z obiektu nr 12 (tabl. 25:8). Zauważono na nim szerokie, dość gęste żłobienie koliste (półkoliste?), jedna linia od razu koncentryczne za drugą, idąc do środka okręgu. Ornament ten odpowiadał mniej więcej typowi XIB wg M. Kaczmarka.

Do typu XIVA wg M. Kaczmarka zaliczono fragment brzuśca naczynia 185 z obiektu nr 12 (tabl. 26:7). Było płytkie, szerokie żłobienie ukośne, czy raczej półkoliste, przedstawiające tzw. kanelury. Uchwycone żłobienie widoczne jest na załomie brzuśca, biegnąc od prawej z góry na lewo ku dołowi.

Za pozostałości ornamentyki ceramiki z różnorodnym żłobieniem i ryciem uznano również fragmenty odpowiadające typowi XVIA wg systematyki M. Kaczmarka, stanowiące przykłady szrafowania powierzchni naczyń drobnymi liniami rytymi, gęsto rozmieszczonymi w różnokierunkowych układach. Ten typ ornamentu wystąpił samodzielnie w ośmiu przypadkach naczyń, a także wraz z ornamentem plastycznym w jednym przypadku oraz wraz z innymi typami żłobienia również w jednym przypadku, na omówionym już wcześniej naczyniu 1 z obiektu nr 1 (tabl. 1:1). Ornament typu XVIA wraz z ornamentem plastycznym zaobserwowano na naczyniu 11 z obiektu nr 3 (tabl. 3:1). Była to misa z plastycznie, mniej więcej falbankowo czy języczkowato ukształtowaną krawędzią wylewu, wychylającą się szeroko w płaski otok. Pod wylewem widoczne było gęste zdobienie linii rytych, biegnących ukośnie w różnych kierunkach, niejednokrotnie się krzyżując.

Ornament XVIA samodzielnie wystąpił na naczyniu 25 z obiektu nr 3, gdzie na powierzchni brzuśca i szyjki chyba niedużego naczynia uchwycone zostały drobne linie żłobienia ukośnego, biegnące obok siebie w różnych odstępach, od prawej strony na górze do lewej, idąc ku dołowi (tabl. 4:6). Kolejne naczynia z tym typem dekoracji wystąpiły na naczyniach z obiektu nr 12. Pierwszym z nich była misa 141, zachowana w środkowej i dolnej partii (tabl. 22:2). Na jej powierzchni zewnętrznej zaobserwowano gęste, drobne żłobienie lub rycie, biegnące ukośnie w wątkach od kilku, do kilkunastu linii, wykonanych jakimś narzędziem, zapewne grzebykiem. Wątki te niekiedy się przecinały, potęgując perforację ścianek naczynia. Drobne szrafowanie powierzchni zewnętrznej zaobserwowano w strefie pod wylewem i na brzuścu naczynia 146, również przedstawiającego pozostałość misy (tabl. 21:6). Na powierzchni zewnętrznej naczynia pokryte były gęstym, drobnym i płytkim ryciem biegnącym w układzie diagonalnym, od prawa z góry ku dołowi na lewo. Także na misie 149 zaobserwowano drobne rycie biegnące ukośnie. Ornament ten nie był tak bardzo gęsty, jak na naczyniach wyżej przedstawionych, ale zaobserwowano go praktycznie w każdej strefie naczynia, od wylewu pod krawędzią, do fragmentu ścianki bocznej dna (tabl. 23:5). Ukośne linie żłobione, biegnące różnokierunkowo, często się przecinając i tworząc w ten sposób pola czworoboków i trójkątów, zaobserwowano na baniastych brzuścach naczynia 170 (tabl. 25:2). Linie te były dość wąskie, ale wyraźnie głębokie. Drobne linie ryte, biegnące dość gęsto w układzie diagonalnym, niekiedy się przecinając (strefa brzuśca pod załomem) oraz biegnące bardziej poziomo, jedna pod drugą (część dolna brzuśca i strefa przydenna), zaobserwowano na wazie 182 (tabl. 26:4). Dekorację tę uchwycono aż na czterdziestu fragmentach naczynia. W strefie brzuśca naczynia 191 zauważono szrafowanie powierzchni zewnętrznej bardzo gęstymi, ukośnymi, krzyżującymi się liniami rytymi. Linie te były bardzo drobne i płytkie, niewykluczone, że wykonane poprzez odciśnięcie jakimiś roślinami, czy obmazywane wiechciem (tabl. 27:1). Ornamentykę tego typu zaobserwowano jeszcze prawdopodobnie na naczyniu 192, przedstawiającym część misy z brzegiem wychylonym na zewnątrz. W strefie brzuśca uchwycono drobne linie ryte, biegnące obok siebie w układzie diagonalnym (tabl. 27:2).

Kolejnym typem zdobienia, łączonym z szerokim żłobieniem koncentrycznym i ukośnym, zaobserwowanym wyłącznie na wewnętrznej stronie płytkich mis, zwanych „talerzami kopanickimi", był typ XIXD wg systematyki M. Kaczmarka. Ornament ten zaobserwowano w części wątków na fragmentach 9 talerzy, przy czym w siedmiu przypadkach wystąpił samodzielnie, natomiast w dwóch wespół z ornamentem plastycznym. Pierwszy przykład ukazywały trzy fragmenty naczynia 9 z obiektu nr 1 (tabl. 1:7). Na wewnętrznej stronie wychylonego wylewu zaobserwowano lekko ukośne linie bardzo szerokiego żłobienia, jedna linia za drugą, z małymi przerwami, natomiast na fragmencie brzuśca fragment żłobienia koncentrycznego, również szerokiego, jedna linia bezpośrednio pod drugą. Na jednym fragmencie brzuśca od naczynia 90 z obiektu nr 12 uchwycono szerokie żłobienie koncentryczne, jedna linia z małą przerwą pod drugą (tabl. 13:17). Kolejne z naczyń, 139 z obiektu nr 12, zachowane było wyłącznie w postaci bardzo szeroko wychylonego na zewnątrz wylewu w formie płaskiego otoku. Na powierzchni wewnętrznej wychylenia uchwycono trzy linie szerokiego, koncentrycznego żłobienia, biegnące dookolnie na całej przestrzeni otoku (tabl. 21:4). Podobnie, jak w przypadku

naczynia 9 z obiektu nr 1, ornament żłobienia koncentrycznego na brzuścu i żłobkowania ukośnego na otoku wylewu zaobserwowano na naczynia 144 z obiektu 12 (tabl. 23:2). Żłobienie koncentryczne dość głębokie, jedna szeroka linia z małą przerwą pod drugą. Żłobienie koncentryczne w strefie dna naczynia zaobserwowano na naczyniu 183 z obiektu nr 12 (tabl. 26:5). Widoczne były trzy szerokie, dość głębokie linie żłobienia, jedna pod drugą aż do środka powierzchni wewnętrznej dna, nadając mu bardziej złożony kształt przekroju. Z naczynia 184 z obiektu nr 12 uchwycono zdobioną powierzchnię wewnętrzną brzuśca ze strefy przed przejściem w wylew. Zdobienie z szerokimi, dość płytkimi liniami żłobienia koncentrycznego, jedna linia z wyraźną przerwą pod drugą (tabl. 26:10). Koncentryczne żłobienie na ściance wewnętrznej otoku wylewu uchwycono również na fragmencie naczynia 193 z obiektu nr 12 (tabl. 26:13). Widoczne były dwie lub może trzy linie dość szerokiego żłobienia koncentrycznego. Fragmenty koncentrycznego, szerokiego żłobienia powierzchni wewnętrznej szeroko wychylonego wylewu zaobserwowano jeszcze na fragmentach naczynia 201 (tabl. 27:12) oraz 202 z obiektu nr 12 (tabl. 27:10). Tam, prócz samego zdobienia, uchwycono również fragment zdobienia plastycznego w postaci doklejonych, ukośnie biegnących listew, separujących wątek dookolnego żłobienia koncentrycznego.

Ornament linii żłobionych, czy może bardziej rytych, zaobserwowano również w trzech przypadkach uch pochodzących z obiektu nr 12: na dużym uchu taśmowatym reprezentującym naczynie 528 (tabl. 32:12), na uchu taśmowatym reprezentującym naczynie 531 (tabl. 32:15) oraz dużym uchu taśmowatym 534 (tabl. 32:16). W pierwszych dwóch przypadkach zaobserwowano dwie i trzy linie żłobienie pionowego, natomiast w ostatnim widoczna była tylko część wątku linii żłobionej, biegnącej mniej więcej zygzakowato.

Dołki palcowo-paznokciowe

Do kategorii tej zaliczono dołki czy karby, wykonane palcami lub(i) paznokciami, częstokroć ze szczypaniem. Ornament ten zaobserwowano w 11 przypadkach, przy czym w 10 przypadkach ornament taki wystąpił samodzielnie, natomiast w jednym wespół z obmazywaniem palcowym (kanelurami). Ornament dołków palcowo-paznokciowych zaobserwowano na misach, garnkach, czarkach, kubkach i wazach. Dotyczyło to zarówno krawędzi wylewów naczyń, często szerokootworowych, jak i partii brzuśców wszystkich kategorii naczyń, a niekiedy wręcz całej powierzchni zewnętrznej, gdzie dołki bywały niekiedy gęsto rozmieszczone, w wątkach poziomych lub pionowych rzędów.

Ornamentykę palcowo-paznokciową określono ogólnie jako typ XV wg terminologii M. Kaczmarka. Przykłady naczyń z tym typem zdobienia wystąpiły na naczyniu 10 z obiektu nr 1 (tabl. 1:6). Na brzegu szeroko wychylonego w formę otoku wylewu niedużej misy zaobserwowano rząd ukośnych karbów paznokciowych, biegnących dookolnie, jeden karb za drugim. Karbowanie dookolne brzegu wylewu w technice ornamentyki palcowo-paznokciowej uchwycono również na naczyniu 2 z obiektu nr 3, przedstawiającego pozostałość chropowaconego garnka (tabl. 1:10). W obiekcie nr 3 znaleziono jeszcze przykłady omawianego typu dekoracji na naczyniu 9 (tabl. 2:5), 10 (tabl. 2:8), 12 (tabl. 2:6) i 30 (tabl. 4:7). W przypadku naczynia 9, na powierzchni zewnętrznej brzuśca zaobserwowano wątki mniej więcej pionowo biegnących rzędów dość dużych, szczypanych odcisków palcowych, na naczyniu 10 widoczne były dwa odciski paznokciowe w strefie wylewu naczynia, a na naczyniu 12, przedstawiającym pozostałość kubka, widoczne były mniej więcej pionowe rzędy odcisków paznokciowych i paznokciowo-palcowych, rozmieszczonych dość rzadko, lecz w zasadzie na całej powierzchni brzuśca. W przypadku naczynia 30 drobne odciski paznokciowe znaleziono na wypukłej stronie wewnętrznej podstawy dna. Nie jest pewne, czy ornament ten był intencjonalny, czy miał raczej charakter przypadkowy.

W inwentarzu ceramicznym obiektu nr 12 znaleziono przykłady zdobienia palcowo-paznokciowego w pięciu przypadkach. Na pierwszym z naczyń, garnku 3, omawiany typ ornamentu uwidocznił się na brzegu wylewu naczynia (tabl. 6:1). Zaobserwowano dookolne, gęste dołki palcowe. Poza tym, na całej powierzchni naczynia, prócz podstawy dna zaobserwowano szerokie, pionowe obmazywanie palcowe, które, prócz walorów użytkowych, stanowiło zapewne formę dekoracji. Kanelury wykonane były dość starannie. Odpowiadały typowi XVID zdobienia wg M. Kaczmarka. Odciski paznokciowe, biegnące dookolnie na brzegu wylewu, zaobserwowano na naczyniu 6, przedstawiającego pozostałości garnka (tabl. 7:2). Odciski rozmieszczone w równych, dość dużych odstępach. Na naczyniu 41 także zaobserwowano zdobienie na krawędzi wylewu. Były to gęsto rozmieszczone, małe dołki palcowe, lekko szczypane i dość głębokie (tabl. 13:1). Wątki pionowych rzędów z dużymi, głębokimi szczypanymi odciskami palcowo-paznokciowymi, zaobserwowano na kubku 130. Ornament ten zaobserwowano w strefie brzuśca, od miejsca załomu w dół naczynia (tabl. 20:6). Na małej czarce 135, w górnej strefie brzuśca pod szyjką, zaobserwowano dwa drobne karby odciśnięte przez paznokieć (tabl. 20:5). Nie jest pewne, czy stanowiły one elementy większego wątku zdobniczego, czy raczej miały charakter okcydentalny.

Ornament plastyczny

Do kategorii tej zaliczono ogółem sześć przypadków, spośród których trzy wystąpiły samodzielnie, natomiast pozostałe w towarzystwie innej formy zdobienia. Stylistyka plastyczna identyfikowana była przede wszystkim z późnymi fazami społeczności łużyckich pól popielnicowych. Na ornament plastyczny złożyły się:

– małe listwy plastyczne, uchwycone wraz z innymi rodzajami zdobienia (żłobienia w typie XIX wg M. Kaczmarka) na wylewach przypuszczalnych fragmentów „talerzy kopanic-

kich", na naczyniu 201 i 202 z obiektu nr 12 (tabl. 27:12, 10);
– guz plastyczny, kształtu bardziej soczewkowatego, umieszczony w strefie załomu brzuśca wazki 431 z obiektu nr 12, pełniący, być może, prócz dekoracyjnej, rolę użytkową, np. rodzaj chwytaka (tabl. 31:18);
– falbankowato (języczkowato) ukształtowana krawędź niekiedy dość szeroko wychylonego w formie otoku wylewu, zaobserwowana na naczyniu 11 z obiektu nr 3, przedstawiającego misę (tabl. 3:1). Pod tak ukształtowanym wylewem zauważono również ornament przecinających się linii rytych w typie XVIA M. Kaczmarka. Poza tym ornament ten zaobserwowano na naczyniu 233 z obiektu nr 12 (misa, tabl. 29:14) oraz naczyniu 236 z obiektu nr 12 (misa, tabl. 29:16).

Obmazywanie powierzchni

Pojęciem tym określało się przede wszystkim jedną z metod chropowacenia naczyń, głównie dużych pojemników pełniących funkcje kuchenne. Jednakże uważało się, iż bardzo wyraźne obmazywanie palcowe, przyjmujące jeden lub kilka kierunków, prócz funkcji pragmatycznych, mogło również pełnić rolę zdobniczą (por. np. Kaczmarek 2002, 58). Spośród naczyń analizowanego zbioru wyróżniono cztery przypadki naczyń, gdzie obmazywanie powierzchni, odpowiadające typowi XVID M. Kaczmarka, pełniło chyba także walory dekoracyjne. Były to garnki 2 (tabl. 5:2), 3 (tabl. 6:1), 14 (tabl. 9:2) i 17 (tabl. 8:3) znalezione w obiekcie nr 12. W przypadku naczyń 2 i 3 obmazywanie widoczne było praktycznie na całej powierzchni zewnętrznej, przy czym w przypadku naczynia 2 przebiegało różnokierunkowo w dużych pasmach, natomiast w przypadku naczynia 3 przebiegało pionowo. Na naczyniu 14 i 17 obmazywanie było bardziej subtelne, widoczne tylko w kilku miejscach, w okolicach załomu brzuśca, w wątkach po kilka linii obmazywania w układzie wertykalnym.

Technologia

Analiza ceramiki naczyniowej w ujęciu techniki i technologii jej wykonania stawiała przed badaczem dwa zasadnicze pytania o celowość tego działania. Pierwsze dotyczyło potrzeby i możliwości rzetelnego przedstawienia technologii całego analizowanego zespołu, z próbą „wychwycenia" przewodnich typów technologicznych i ich udziału w zespole. Należałoby w tym miejscu stwierdzić, iż w przypadku ceramiki społeczności łużyckich pól popielnicowych nie zawsze ten aspekt deskrypcji materiału był należycie badany. Drugie, ważniejsze pytanie dotyczyło możliwości wykorzystania czy porównania trendów i zmian technologicznych ceramiki z chronologią. Chodziło o to, czy pewne elementy technologii i techniki wykonania zmieniały się w czasie i, co ważniejsze, zmiany te mogły posłużyć do umiejscowienia ich w danym odcinku czasu.

O ile drugie zagadnienie, przede wszystkim w przypadku ceramiki "łużyckiej", stawiało przed badaczem ogromne trudności i wymagało bardzo ostrożnego postępowania, o tyle pierwsze, dotyczące rzetelnego przedstawienia, ciekawej skądinąd, technologii materiału, mogło być przeprowadzone i dostarczyć wielu istotnych informacji w poszerzeniu wiedzy o ceramice omawianego okresu. Nie wykluczone, że próba „wychwycenia" miarodajnych zmian i trendów technologicznych ceramiki kultury „łużyckiej", „czułych" na zmiany w czasie oraz właściwe umiejscowienie ich w skali czasu mogła być z góry skazana na fiasko, jednakże wydawało się, iż wymagałaby przede wszystkim stworzenia odpowiedniego warsztatu pracy z profesjonalnym użyciem odpowiednich metod statystycznych oraz przebadania dużej ilości zespołów ceramicznych, co wymagałoby szerokiej współpracy wielu autorów opracowań.
W wielu pracach poświęconych społecznościom łużyckich pól popielnicowych i ich asortymentowi ceramicznemu natrafić można było na wyraźny hiatus lub w niewystarczającym stopniu rozwiniętą analizę technologii ceramiki naczyniowej, sprowadzającą się zazwyczaj do aspektu ilościowego badanego materiału lub obserwacji makroskopowej w aspekcie domieszki schudzającej, faktury i barwy ścianek, czy grubości i wyglądu przełamów, z pominięciem specjalistycznych analiz fizyczno-chemicznych w skali mikro (Kaczmarek 2002, 63; Szamałek 1987, 49). Cenny wkład w badania technologiczne ceramiki stanowiła praca Małgorzaty Mogielnickiej-Urban (1984), mimo to słabe zainteresowanie badaczy tym problemem było wciąż wyraźne. Nie powinna tłumaczyć tego specyfika źródeł, pochodzących głównie z cmentarzysk (całe formy naczyń) oraz przeświadczenie o niewielkiej przydatności badań technologicznych dla oznaczenia chronologii zespołów ceramicznych (Kaczmarek 2002, 63). Co prawda, kilka prób takich analiz, zresztą niewykorzystujących wszystkich aspektów warsztatu technologicznego, zakończyło się pewnym fiaskiem (M. Kaczmarek 2002, 64; Mogielnicka-Urban 1984, 67, 141; Szamałek 1987, 52), to jednak powinno determinować do jeszcze bardziej wzmożonych badań, a nie być tylko argumentem na rzecz ich zaniechania. Wyraźnie widać to w dość licznych opracowania ceramiki kultury łużyckiej z terenów Niżu Polskiego, ukazujących świeże tendencje do bardziej sformalizowanego opisu materiału ceramicznego w ujęciu jego technologii (por. m.in. Ignaczak 2002, 50–53; 2004, 187–189; 2011, 155–157). Próba „podciągnięcia" wyników badań technologii materiałów ceramicznych jako dobrych datowników chronologicznych wydawała się już bardziej dyskusyjna i na pewno stwarzała dobrą okazję do poruszenia tego zagadnienia na forum jako szerszego problemu badawczego.

Wyniki badań technologii ceramiki z szerokiego obszaru, nie przyniosły chyba, zdaniem badaczy, wielu istotnych danych. Stwierdzono, iż próby wydzielania typów technologicznych w ramach badanych zespołów i pomiędzy nimi przeważnie kończyły się porażką (M. Kaczmarek 2002, 64). Nie zaobserwowano stałych lub częściowych cech powtarzalnych pomiędzy technologią a formami naczyń. Jedynie pewne cechy masy ceramicznej pozwoliły na ogólne stwierdzenia, takie, jak:

– domieszka gruboziarnista schudzająca glinę występowała głównie przy produkcji dużych, grubych naczyń kuchennych, chropowaconych;
– domieszka średnioziarnista używana była do produkcji naczyń gładkich (gładzonych) lub częściowo chropowaconych w dolnej partii;
– domieszka drobnoziarnista schudzała masę plastyczną używaną do produkcji naczyń małych i cienkościennych, wygładzanych, wyświecanych i czernionych wskutek kontroli dostępu tlenu i odymiania podczas wypału.

Cechy te nie wykazywały jednak aż tak widocznych trendów w aspekcie chronologicznym (Kaczmarek 2002, 64).

Wszystkie fragmenty ceramiki społeczności łużyckich pól popielnicowych z obiektów z badań w Stargardzie, także i w przypadku badania technologii i techniki wykonania ujęto w tzw. jednostki taksonomiczne, stanowiące podstawową kategorię statystyczną, umożliwiającą prześledzenie zmian, różnic i tendencji w badanym zbiorze. Badania technologii ceramiki przeprowadzono jedynie makroskopowo, co, wydawało się uprawomocnione, biorąc pod uwagę duże rozdrobnienie i zniszczenie materiału. Uwzględniono w niej następujące warianty i cechy technologiczne: sposób wykończenia powierzchni zewnętrznej i barwa jej ścianek, sposób wykończenia powierzchni wewnętrznej, grubość ścianek, rodzaj przełamu, wypał, ilość, rodzaj i granulację domieszki schudzającej, a cechy te w połączeniu z miejscem próbki w obrębie naczynia.

Powierzchnia zewnętrzna z różnym sposobem jej ukształtowania jako jeden z najważniejszych punktów technologii była głównym korelatem zbioru danych, do którego odnosiły się pozostałe elementy zbioru technologicznego, wraz z miejscami uchwycenia technologii w ramach naczynia (dno, strefa przydenna, brzusiec, szyjka, wylew lub ucho), tworząc wzajemne korelacje. Miało to na celu „wychwycenie" technologicznych typów bazowych analizowanego zbioru.

Dane ilościowe w postaci jednostek taksonomicznych, dotyczące wyróżnionych typów powierzchni zewnętrznej, grubości ścianek, rodzaju przełamu, domieszce, barwie powierzchni zewnętrznej, sposobie wykończenia powierzchni wewnętrznej oraz miejsca próbki w obrębie naczynia odpowiadały rzeczywistym danym ilościowym fragmentów ceramiki poddanej analizie. Jedynie w przypadku domieszki rzeczywista liczba fragmentów była mniejsza niż liczba wyróżnionych jednostek taksonomicznych. Brało się to z tego, iż w masie plastycznej jednego z fragmentów ceramiki często wyróżniano więcej niż jedną domieszkę schudzającą (np. piasek i mika). Pewne różnice mogły także wystąpić w sposobie wykończenia powierzchni wewnętrznej (np. starannie wygładzana i angobowana).

Sama powierzchnia zewnętrzna podzielona została na trzy główne sposoby wykończenia ścianki: powierzchnia ogólnie gładka, ogólnie szorstka i chropowacona. Każdy z nich zawierał bardziej szczegółowe typy. Należy w tym miejscu zaznaczyć, że przypisanie pojedynczego fragmentu ceramiki do określonego typu wykończenia ścianki zewnętrznej bywało niekiedy niejednoznaczne, czy wręcz arbitralne, co nie powinno dziwić, biorąc pod uwagę niejednolitość, czy swoistą „niekonsekwencję" zachowania się garncarza reprezentującego „łużycki" warsztat ceramiczny, jak również obecny stan zachowania.

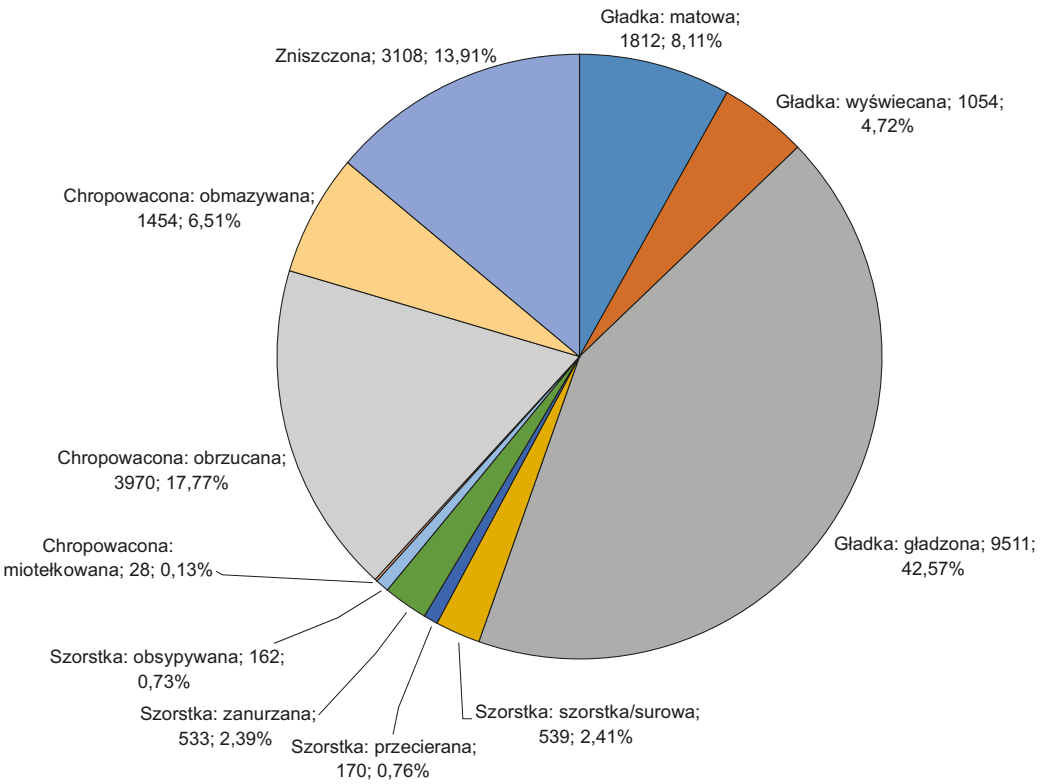

Ryc. 18. Stargard, Stare Miasto, kwartał IX. Sposoby wykończenia powierzchni zewnętrznej ceramiki. Oprac. R. Mikuła
Abb. 18. Stargard, Altstadt, Quartier IX. Methoden der Endbearbeitung der äußeren Oberfläche von Waren. Bearb. R. Mikuła

Powierzchnię zewnętrzną ogólnie gładką podzielono szczegółowiej na:
– matową;
– wyświecaną;
– wygładzaną.

Powierzchniom tym mogło towarzyszyć angobowanie ścianki.

Powierzchnię zewnętrzną ogólnie chropowatą podzielono na:
– szorstką, surową czy wytartą, ujęte w jednej grupie;
– przecieraną;
– zanurzaną;
– obsypywaną.

Takiemu wykończeniu powierzchni często towarzyszyło angobowanie z wtartą czy wciśniętą domieszką.

Powierzchnię zewnętrzną ogólnie chropowaconą podzielono na:
– miotełkowaną;
– obrzucaną;
– obmazywaną.

Podczas analizy wykończenia ścianki zewnętrznej należało wziąć pod uwagę, iż niekiedy trudno było oddzielić intencjonalne chropowacenie, np. obmazywanie od zanurzania, czy od angobowania z wciśniętą domieszką, biorąc pod uwagę silne rozdrobnienie czy częściowe zniszczenie pierwotnie inaczej wykończonego naczynia. Zdarzały się także przypadki, iż w ramach jednego naczynia powierzchnia zewnętrzna mogła różnorodnie wykończona (ryc. 18).

W analizowanym zbiorze najczęściej wystąpiła powierzchnia zewnętrzna gładzona, zaobserwowana w 9 511 przypadkach j. n.-t., co stanowiło aż 42,57% całego zespołu. Dość licznie wystąpiła także powierzchnia zewnętrzna chropowacona poprzez obrzucanie ścianki warstwą gliny zmieszanej z gliną, zaobserwowana w 3 970 przypadkach, co stanowiło 17,77% zespołu. Obrzucanie naczyń, zwłaszcza dużych form garnkowatych, tworzące „kaszkowatą" fakturę powierzchni, było bardziej charakterystyczne dla późniejszych, ostatnich faz trwania kultury łużyckiej.

Obserwując sposób wykończenia ścianek powierzchni zewnętrznej naczyń, nie sposób było zauważyć także duży udział j. n.-t. z powierzchnią ogólnie gładką: matową (1 812 przypadków, 8,11%) i wyświecaną (1 054 j. n.-t., 4,72%). Również duży udział w całości zespołu miały naczynia z powierzchnią zewnętrzną chropowaconą, obmazywaną (1 454 j. n.-t., 6,51%). Obmazywanie ścianek w dość dużej ilości przypadków było jeszcze dość „subtelne", bez silnej perforacji, z dość słabo zaznaczonymi śladami pionowego lub ukośnego obmazywania palcowego. Świadczyło by to o jeszcze „brązowej" metryce analizowanego zespołu, przeżywającej się następnie w okresie następnym.

W badanym materiale dość duży, niestety, udział przypadł fragmentom ceramiki z powierzchnią zewnętrzną zniszczoną. Zniszczenie ścianek związane było również z silnym rozdrobnieniem całości materiału, wynikało w jakimś stopniu z procesów depozycyjnych i postdepozycyjnych. W skali całości zbioru fragmenty o zniszczonej powierzchni zewnętrznej stanowiły 13,91%.

Na powierzchni zewnętrznej fragmentów badanego zespołu (oczywiście wszystkich poza powierzchnią zewnętrzną zniszczoną) zaobserwowano ogółem 12 rodzajów barw. Nie było do końca pewne, czy wyróżniono wszystkie rodzaje barw, a także czy zachowane kolory odzwierciedlały oryginalną barwę naczyń po ich wytworzeniu, biorąc pod uwagę możliwość zakłóceń wskutek użytkowania, przepalenia czy procesów (post-) depozycyjnych, ukazywało jednak jakąś ogólną tendencję (ryc. 19).

Zarejestrowano następujące barwy powierzchni zewnętrznej:
– szara, również w wariancie jasno- i ciemnoszarej;
– czarna;

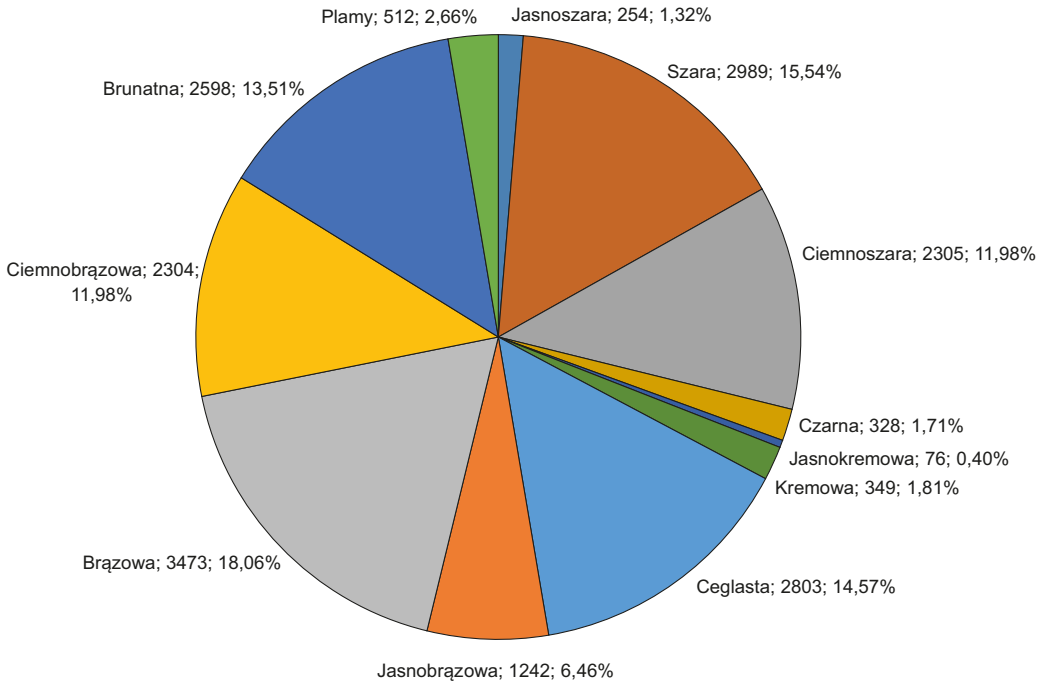

Ryc. 19. Stargard, Stare Miasto, kwartał IX. Wyróżnione rodzaje barwy powierzchni zewnętrznej ceramiki. Oprac. R. Mikuła
Abb. 19. Stargard, Altstadt, Quartier IX. Erfasste Farbtypen an der äußeren Oberfläche von Waren. Bearb. R. Mikuła

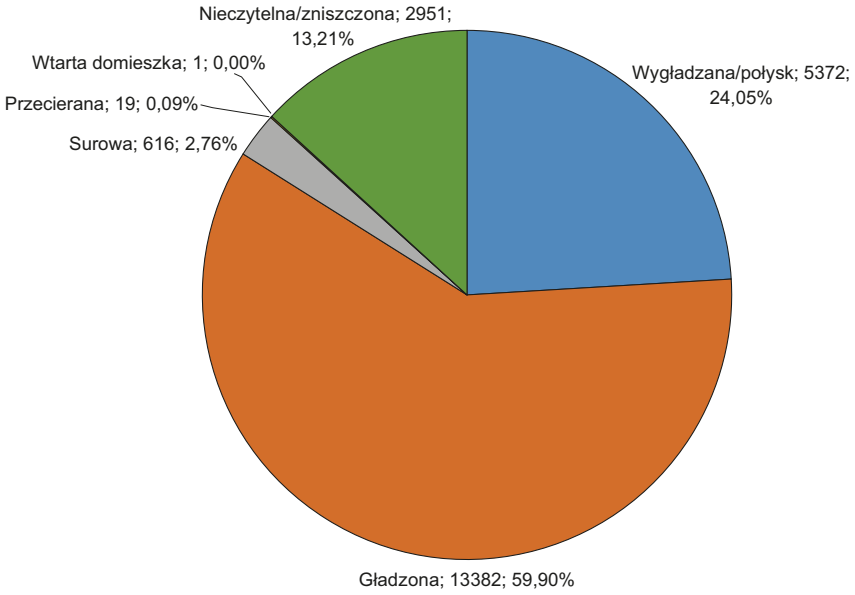

Ryc. 20. Stargard, Stare Miasto, kwartał IX. Sposoby wykończenia powierzchni wewnętrznej ceramiki. Oprac. R. Mikuła
Abb. 20. Stargard, Altstadt, Quartier IX. Methoden der Endbearbeitung der inneren Oberfläche von Waren. Bearb. R. Mikuła

– kremowa, również w wariancie jasnokremowej;
– ceglasta;
– brązowa, również w wariancie jasno- i ciemnobrązowej;
– brunatna;
– plamy.

W badanym materiale w największej liczbie zachowały się fragmenty z brązową barwą powierzchni zewnętrznej, zaobserwowaną w 3 473 przypadkach, co stanowiło 18,06% całości zespołu. Licznie wystąpiła również barwa szara powierzchni zewnętrznej (2 989 j. n.-t., 15,54%), a także ceglasta (2 803 j. n.-t., 14,57%), brunatna (2 598 j. n.-t., 13,51%), ciemnoszara (2 305 j. n.-t., 11,98%), ciemnobrązowa (2 304 j. n.-t., 11,98%) i jasnobrązowa (1 242 j. n.-t., 6,46%).

W aspekcie wykończenia powierzchni wewnętrznej także zauważyć można dość duże zróżnicowanie. Wydzielono ogółem 5 sposobów wykończenia ścianki wewnętrznej oraz fragmenty ze ścianką wewnętrzną zniszczoną. Wyróżnione rodzaje powierzchni wewnętrznej:
– wygładzana (z połyskiem);
– gładzona, w tym ogólnie gładka, bardziej matowa;
– surowa;
– przecierana;
– z wtartą domieszką;
– nieczytelna, zniszczona.

Najczęściej wystąpiły fragmenty z powierzchnią wewnętrzną gładzoną, czy ogólnie gładką. Ich udział wynosił 13 382 j. n.-t., co stanowiło 59,90% całości zespołu. Na uwagę zasługiwały fragmenty z powierzchnią wewnętrzną starannie wygładzaną, z połyskiem, co odnotowano w 5372 przypadkach, co stanowiło 24,05% badanego zespołu.

Niestety, duży udział przypadł ponownie fragmentom o zniszczonej powierzchni wewnętrznej. Wśród nich dominowały niewielkie ułamki ceramiki, zachowane wręcz jako okruchy. Część z nich miała zresztą zniszczone obie ścianki, utrudniając w ten sposób przeprowadzenie analizy pod kątem technologii i techniki wykonania naczyń (ryc. 20).

Zarówno na powierzchni zewnętrznej, jak i wewnętrznej naczyń zaobserwowano także niekiedy obecność angoby, warstewki glinki nałożonej na ściankę po wcześniejszym jej wykończeniu. Angobowanie ścianek mogło bardziej je wygładzić lub nadać bardziej chropowatą fakturę (z udziałem glinki zmieszanej z dodatkową domieszką mineralną oraz przez sposób jej nakładania – ryc. 21–22).

Kolejnym aspektem analizy technologicznej było zmierzenie grubości przełamów fragmentów. Podział ten ujęto w trzech przedziałach:
– fragmenty cienkościenne, poniżej 5 mm grubości przełamu;
– fragmenty średniogrubościenne, pomiędzy 5 a 10 mm grubości przełamu;
– fragmenty grubościenne, powyżej 10 mm grubości przełamu.

W przeważającej większości wystąpiły fragmenty o średniogrubościennych przełamach, zaobserwowane w 18 248 przypadkach, co stanowiło 81,68% badanego materiału (ryc. 23). Fragmenty grubościenne, reprezentowane przede wszystkim przez duże, często chropowacone formy kuchenne, wystąpiły w 2542 przypadkach (11,38%),

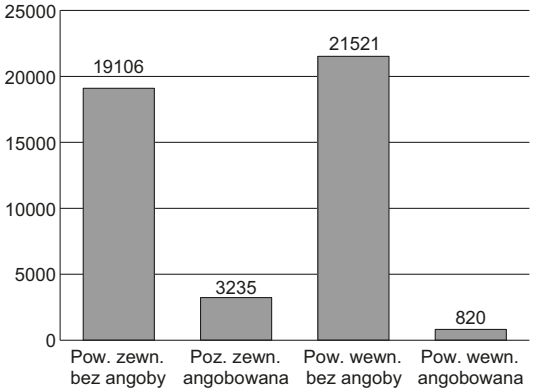

Ryc. 21. Stargard, Stare Miasto, kwartał IX. Udział fragmentów angobowanych na powierzchni zewnętrznej i wewnętrznej. Oprac. R. Mikuła
Abb. 21. Stargard, Altstadt, Quartier IX. Anteil der Fragmente, die an der äußeren und inneren Oberfläche engobiert wurden. Bearb. R. Mikuła

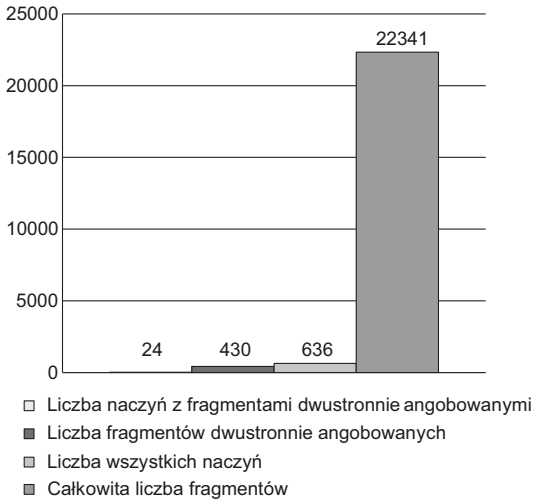

Ryc. 22. Stargard, Stare Miasto, kwartał IX. Udział fragmentów angobowanych na obu powierzchniach w porównaniu do całości zespołu. Oprac. R. Mikuła

Abb. 22. Stargard, Altstadt, Quartier IX. Anteil der an beiden Oberflächen engobierten Fragmente gegenüber der gesamten Gruppe. Bearb. R. Mikuła

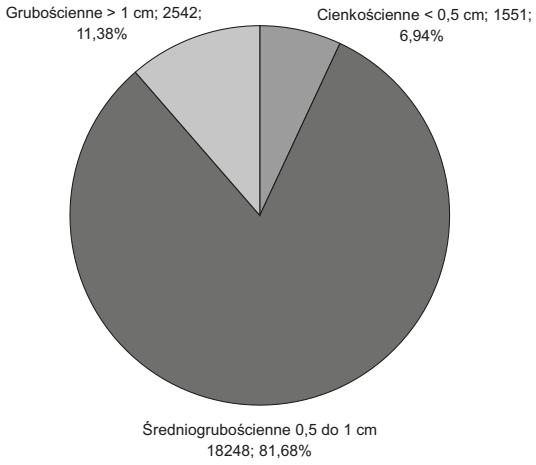

Ryc. 23. Stargard, Stare Miasto, kwartał IX. Wydzielone grubości przełamów ceramiki w analizowanym materiale. Oprac. R. Mikuła

Abb. 23. Stargard, Altstadt, Quartier IX. Erfasste Stärken der Bruchfläche von Warenscherben im analysierten Material. Bearb. R. Mikuła

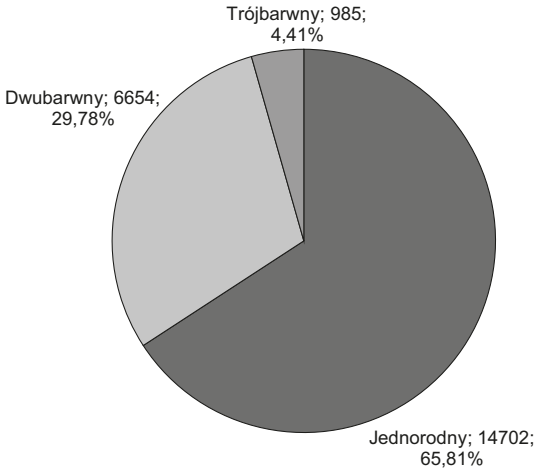

Ryc. 24. Stargard, Stare Miasto, kwartał IX. Wydzielone rodzaje przełamów. Oprac. R. Mikuła

Abb. 24. Stargard, Altstadt, Quartier IX. Erfasste Arten von Bruchflächen. Bearb. R. Mikuła

a ceramika cienkościenna, identyfikowana przede wszystkim z małymi, staranniej wykonanymi formami, wystąpiła w 1551 przypadkach (6,94%).

Obserwując przełamy fragmentów ceramiki, zwrócono również uwagę na ich zwartość, konsystencję i barwę. Wyodrębniono w ten sposób przełamy jednorodne, dwubarwne oraz trójbarwne, co miało również znaczenie przy obserwacji wypału naczyń (ryc. 24). Wynikało z niego, że zdecydowanie przeważały przełamy jednorodne, zwarte, o dość jednolitej barwie. Przełamy takie zauważono na 14702 fragmentach ceramiki (j. n.-t.), co stanowiło 65,81% analizowanego zbioru.

Naczynia ceramiczne z asortymentu społeczeństw łużyckich pól popielnicowych wypalano na ogół w dość słabej, średniej temperaturze, ale często z dość dużym dostępem tlenu, na otwartych ogniskach. Obserwacja przełamów i ewentualnych śladów okopcenia naczyń pozwoliła na wyodrębnienie trzech rodzajów wypału: wypału redukcyjnego, półredukcyjnego-półutleniającego oraz prawdopodobnie utleniającego. Wypały te różniły się barwą przełamów i ścianek, trwałością zachowania formy. Wypał redukcyjny charakteryzował się przede wszystkim czarną czy ciemną barwą wypału, często także naczynia podatne były na kruszenie, spękania. Niemożność oddzielenia od siebie wypału półredukcyjnego i półutleniającego zadecydowała o ujęciu ich w jednej grupie. Fragmenty tak wypalone charakteryzowały się barwą przełamów od ciemnobrązowych do ceglastych i większą trwałością, twardością masy plastycznej. Nie jest wykluczone, iż pewna część fragmentów, zakwalifikowanych jako wypalone w atmosferze półutleniającej, z większym dostępem tlenu, mogła być ujęta w grupie wypału utleniającego, którego udział zaobserwowano w kilkunastu przypadkach. Przy ogólnej, przeważającej tendencji dość średnio dobrego wypału naczyń, określenie części materiału jako świetnie wypalonego mogło być dyskusyjne (ryc. 25).

W prezentowanym zbiorze ceramiki dominowały fragmenty ceramiki wypalonej w atmosferze półredukcyjnej/półutleniającej, czyli ogólnie dość dobrze. Przełamy tych naczyń były dość zwarte, o trwałej tektonice, na ogół jedno- lub dwubarwne. Ich liczba wynosiła 16 548 fragmentów, co stanowiło 74,07% całości zespołu.

Obserwując przełamy fragmentów ceramiki, można było uchwycić jeszcze jedną cechę technologiczną, a mianowicie sposób lepienia naczyń. Wyróżniono w ten sposób naczynia lepione z wałków oraz z taśm gliny (ryc. 26).

Masę plastyczną ceramiki naczyniowej, odkrytej na stanowisku w kwartale IX w Stargardzie licznie schudzano różnego rodzaju domieszką. Poprzez obserwację makroskopową materiału, w aspekcie granulometrii wydzielono: tłuczeń drobnoziarnisty (do 2 mm) i gruboziarnisty (powyżej 2 mm). W całym badanym zbiorze wyróżniono następujące rodzaje domieszki:

– organiczna;
– tłuczeń biały drobno- i gruboziarnisty;
– tłuczeń różowy drobno- i gruboziarnisty;
– żwir;

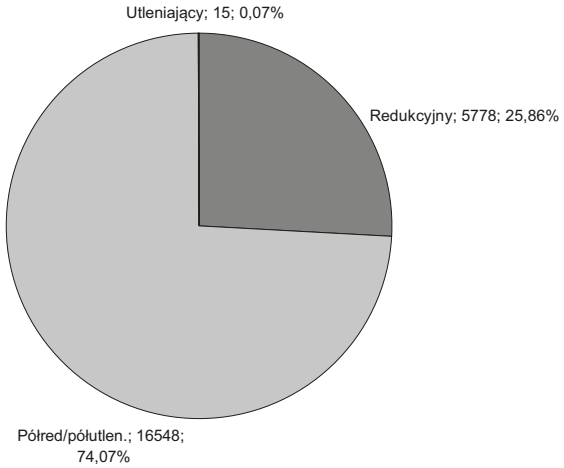

Ryc. 25. Stargard, Stare Miasto, kwartał IX. Wyróżnione rodzaje wypału. Oprac. R. Mikuła
Abb. 25. Stargard, Altstadt, Quartier IX. Erfasste Brandmethoden. Bearb. R. Mikuła

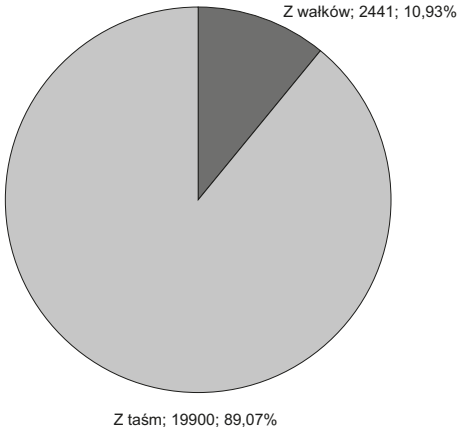

Ryc. 26. Stargard, Stare Miasto, kwartał IX. Technika lepienia ceramiki. Oprac. R. Mikuła
Abb. 26. Stargard, Altstadt, Quartier IX. Töpfertechnik. Bearb. R. Mikuła

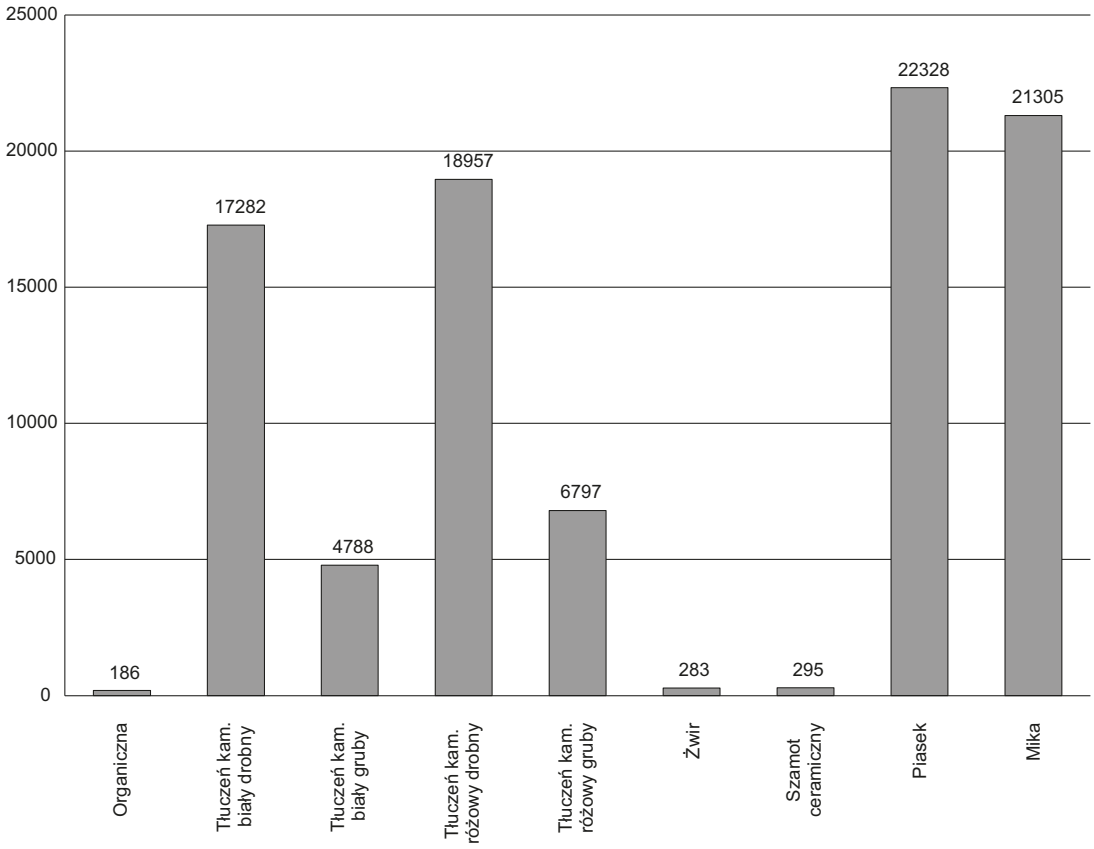

Ryc. 27. Stargard, Stare Miasto, kwartał IX. Wyróżnione rodzaje domieszki schudzającej glinę. Oprac. R. Mikuła
Abb. 27. Stargard, Altstadt, Quartier IX. Erfasste Arten von Additiven zur Tonkühlung. Bearb. R. Mikuła

– szamot ceramiczny;
– piasek;
– mika.

Jak wspomniano już wcześniej, suma fragmentów, czy raczej jednostek naczyniowo-technologicznych, ze względu na występujący w nich rodzaj domieszki, nie odpowiadała całkowitej liczbie fragmentów ceramiki, ponieważ bardzo często w poszczególnych fragmentach zaobserwowano kilka rodzajów domieszki. Bardzo licznie wystąpiła domieszka piasku i miki (ryc. 27). Udział tych dwóch rodzajów schudzających masę plastyczną zaobserwowano niemalże w całości analizowanego zespołu.

Piasek w masie plastycznej, czy to dodany intencjonalnie, czy może także jako przypadkowy depozyt, zarejestrowany został aż w 22 328 przypadkach. Nieco rzadziej, bo w 21 305 przypadkach zaobserwowano mikę. Na uwagę zasługiwało jeszcze liczne wystąpienie drobnoziarnistego tłucznia kamiennego białego i różowego oraz rzadszy udział tłucznia białego i różowego o większej granulacji. Domieszka mineralna tłucznia szczególnie licznie wystąpiła w glinie dużych, gorzej wykonanych naczyń kuchennych.

Choć wystąpiły bardzo rzadko, na uwagę zasługiwały: domieszka organiczna, której obserwacja była bardzo utrudniona, jak również żwir oraz szamot ceramiczny. Wyznacznikiem udziału domieszki roślinnej na ogół była dziura, luka w masie plastycznej, negatyw niezachowanej rośliny. Szamot ceramiczny zachował się w postaci małych grudek wypalonej (tym przypadku nierzadko przepalonej) gliny, barwy ceglastej lub bardziej ciemnej.

Analizując materiał ceramiczny pod kątem technologii i techniki wykonania przyjrzano się również trzem głównym rodzajom wykończenia powierzchni zewnętrznej, a więc naczyniom z powierzchnią ogólnie gładką, ogólnie chropowatą i chropowaconą w relacjach z innymi aspektami analizy technologicznej. W ten sposób otrzymano typy bazowe technologii naczyń przedstawiające korelacje trzech głównych rodzajów wykończenia powierzchni zewnętrznej z pozostałymi elementami analizy technologicznej.

Powierzchnia zewnętrzna gładka

W zestawieniu tym połączono ilości jednostek taksonomicznych powierzchni zewnętrznej matowej, wyświecanej i wygładzanej i porównano je z innymi cechami technologii, które wystąpiły najliczniej w ich zbiorze, uzyskując w ten sposób pewien typ bazowy. Było oczywiste, że, mając do czynienia z mocno rozdrobnionym, dość mało reprezentacyjnym materiałem ceramicznym, można było mówić jedynie o pewnych, powtarzających się, najliczniej występujących tendencjach technologicznych ceramiki. W przypadku fragmentów z gładką powierzchnią zewnętrzną najczęściej wystąpiła u nich barwa jasnobrązowa ścianek, rzadziej ciemnobrązowa i ciemnoszara. Powierzchnia ta dość często była angobowana. Powierzchnia wewnętrzna najczęściej była gładzona, czy ogólnie gładka, przełamy naczyń ze średniogrubościennym, jednorodnym przełamem, naczynia lepione z taśm gliny. Wypał naczyń półredukcyjny/półutleniający, a w masie plastycznej duży udział piasku i miki oraz rzadziej drobnoziarnistego tłucznia różowego i białego. Proporcjonalnie, na tle innych typów bazowych, dał się zauważyć pewien udział szamotu ceramicznego (ryc. 28).

Powierzchnia zewnętrzna chropowata

Chropowata powierzchnia zewnętrzna naczyń najczęściej zachowała ceglastą barwę, rzadziej

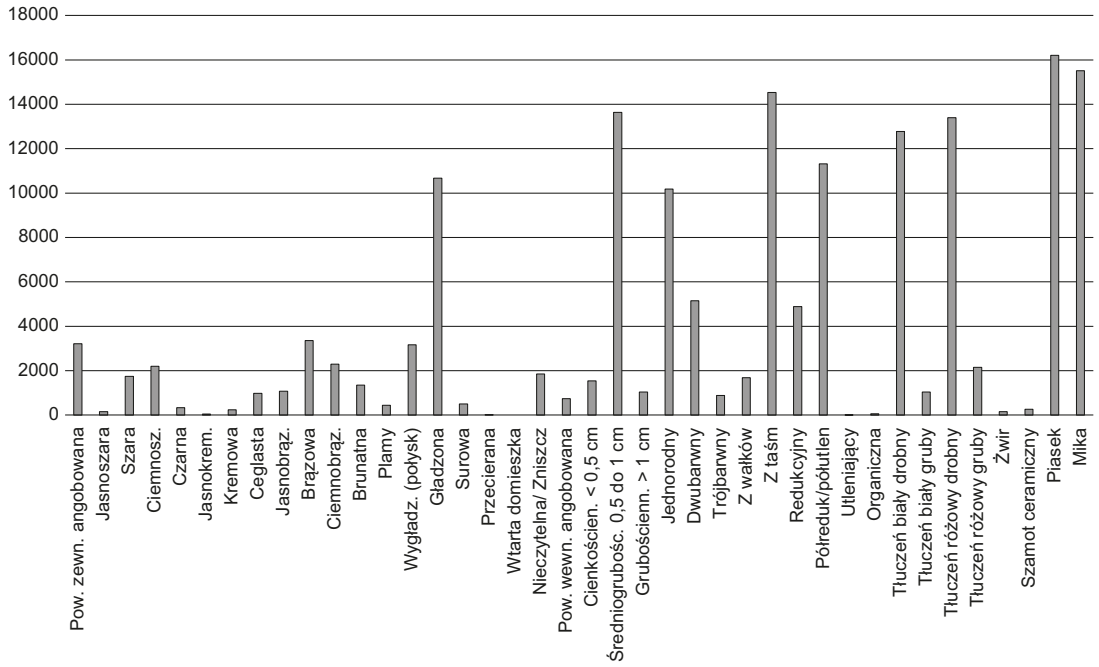

Ryc. 28. Stargard, Stare Miasto, kwartał IX. Korelacje powierzchni zewnętrznej gładkiej z innymi elementami technologicznymi. Oprac. R. Mikuła

Abb. 28. Stargard, Altstadt, Quartier IX. Korrelationen der glatten Außenfläche mit anderen technologischen Elementen. Bearb. R. Mikuła

brunatną i szarą. W mniejszym stopniu na powierzchni tej zaobserwowano angobowanie ścianek. Powierzchnia wewnętrzna najczęściej była wygładzana/gładka, choć zarejestrowano również proporcjonalnie znaczny udział fragmentów o powierzchni wewnętrznej bardzo starannie wygładzonej, z połyskiem. Przełamy najczęściej były średniogrubościenne i jednorodne, choć należy odnotować proporcjonalnie zwiększenie się ilości fragmentów o przełamach grubościennych. Naczynia częściej lepiono z taśm gliny. W wypale naczyń przeważały fragmenty dość dobrze wypalone, z większym dostępem tlenu, w atmosferze półredukcyjnej/półutleniającej. W masie plastycznej zaobserwowano, prócz jak zwykle najliczniej występującego piasku i miki, również dość duży udział różowego i białego tłucznia o drobnoziarnistej granulacji, ale również proporcjonalnie dość duży udział tłucznia obu odmian o gruboziarnistej granulacji. Choć wystąpiła bardzo rzadko, relatywnie najczęściej spośród wszystkich typów bazowych domieszka roślinna. Zaobserwowano również widoczny udział żwiru (ryc. 29).

Powierzchnia zewnętrzna chropowacona

W przypadku naczyń o powierzchni zewnętrznej chropowaconej również najliczniej występującą barwą ścianki była ceglasta, ale tylko nieco mniej wystąpiły fragmenty barwy szarej oraz dość licznie barwy brunatnej. Barwa szara naczyń, widoczna również niekiedy w przełamie, świadczyć mogła pośrednio także o dość dobrym wypale. W analizowanym zbiorze naczyń chropowaconych najczęściej wystąpiła ogólnie gładka/gładzona powierzchnia wewnętrzna, choć nie bez znaczenia był relatywnie dość duży udział fragmentów ze ściankami wewnętrznymi starannie wygładzanymi. Tak, jak w przypadku wcześniej omówionych grup, dominowały jednostki naczyniowo-technologiczne o średniogrubościennym przełamie, choć proporcjonalnie zwiększył się udział fragmentów grubościennych. Przełamy były w większości jednorodne, a naczynia lepione były w zdecydowanej większości z taśm gliny. Wypał bardziej półredukcyjny, czy półutleniający, choć zanotowano relatywnie zwiększony udział fragmentów wypalonych w atmosferze redukcyjnej. W aspekcie schudzania masy plastycznej domieszką nieodmiennie najliczniej wystąpiła domieszka piasku i miki, choć prawie tak często zarejestrowano udział drobnoziarnistego różowego tłucznia. Rzadziej wystąpił biały tłuczeń drobnoziarnisty oraz gruby tłuczeń barwy różowej. Proporcjonalnie z innymi typami bazowymi dał się zauważyć pewien udział żwiru.

Próby zestawienia ze sobą korelacji powierzchni zewnętrznej gładkiej, chropowatej i chropowaconej nie pozwoliły na wychwycenie bardziej istotnych różnic. We wszystkich przypadkach dość licznie wystąpiła ceglasta barwa powierzchni zewnętrznej, choć najczęściej była to barwa brązowa w różnych odcieniach i tylko w przypadku naczyń ogólnie gładkich. Powierzchnia wewnętrzna, pomijając fragmenty zniszczone czy wytarte, była przede wszystkim wygładzana lub dość gładka, zarówno w przypadku naczyń zewnętrznie wygładzanych, jak i chropowatych oraz chropowaconych. W każdej z grup najliczniej wystąpiły średniogrubościenne i jednorodne przełamy naczyń, choć znowu w przypadku naczyń ogólnie gładkich dość liczne były fragmenty dwubarwne. Naczynia w większości lepione z taśm gliny. W wypale naczyń wszędzie najczęściej wystąpił wypał półredukcyjny/półutleniający, choć w przypadku naczyń ogólnie gładkich wypał redukcyjny również był dość znaczący. We wszystkich typach

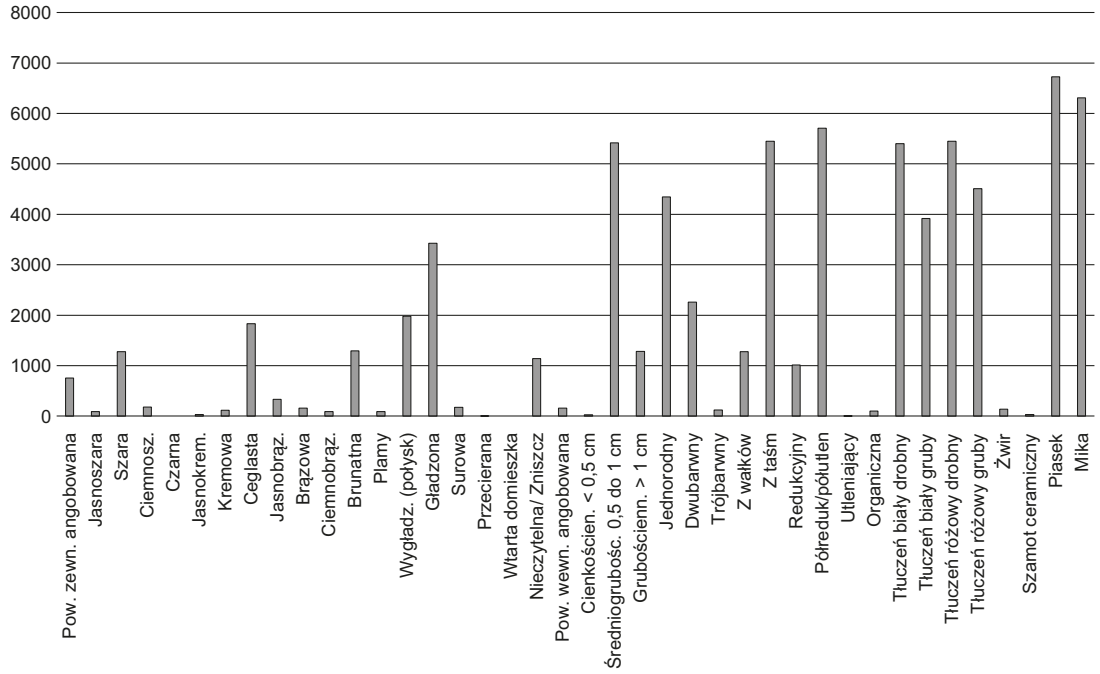

Ryc. 29. Stargard, Stare Miasto, kwartał IX. Korelacje powierzchni zewnętrznej chropowatej z innymi elementami technologicznymi. Oprac. R. Mikuła

Abb. 29. Stargard, Altstadt, Quartier IX. Korrelationen der rauen Außenfläche mit anderen technologischen Elementen. Bearb. R. Mikuła

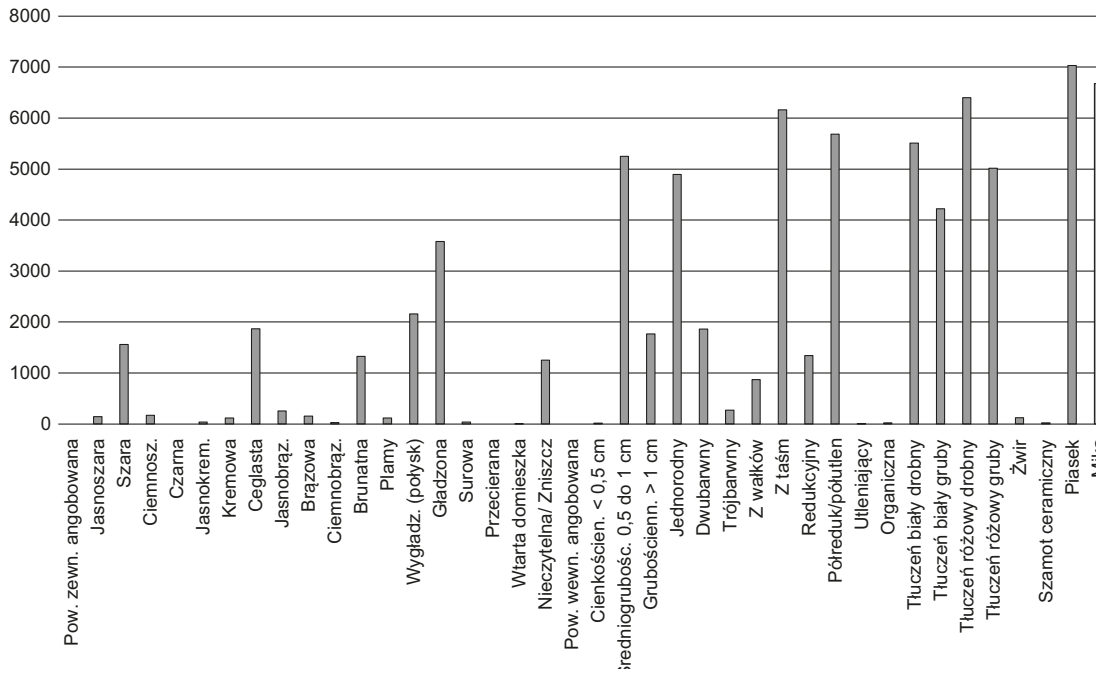

Ryc. 30. Stargard, Stare Miasto, kwartał IX. Korelacje powierzchni zewnętrznej chropowaconej z innymi elementami technologicznymi. Oprac. R. Mikuła

Abb. 30. Stargard, Altstadt, Quartier IX. Korrelationen der gerauten Außenfläche mit anderen technologischen Elementen. Bearb. R. Mikuła

bazowych najliczniej wystąpił piasek i mika jako domieszka schudzająca, choć dość licznie wystąpił jeszcze tłuczeń różowy i biały o różnych stopniach granulacji (ryc. 30–31).

Interpretacja kulturowo-chronologiczna śladów osadnictwa społeczności łużyckich pól popielnicowych

Przedstawione w niniejszej pracy źródła archeologiczne społeczności łużyckich pól popielnicowych zawierały się w trzech jednostkach nieruchomych (obiekt 1, 3 i 12) oraz pozyskanym z nich materiale ceramicznym. Uwagi i ustalenia chronologiczne powinny być przedstawione w odniesieniu do całości tych zespołów. Niestety, jak przedstawiono to w pierwszej części niniejszego opracowania, obiekty nieruchome, w których zdeponowano materiał ceramiczny, nie były „czyste" morfologicznie, stratygraficznie, a także, co za tym idzie dalej, chronologicznie. Również zdeponowany w nich materiał mógł budzić zastrzeżenia co do jego homogeniczności. W oparciu o te wnioski, próba periodyzacji prezentowanego materiału mogła się odbyć w odniesieniu do pojedynczych, poszczególnych fragmentów ceramiki. Odkryty materiał ceramiczny poddano analizie mikro- i makromorfologicznej, zdobniczej oraz technologicznej. Oczywiście, wzmiankowane wcześniej silne rozdrobnienie materiału mogło w tym mocno przeszkadzać, niemniej, na podstawie analizy ceramiki można było przedstawić pewne ustalenia chronologiczne. Porównując prezentowany materiał do innych opracowań poruszających się w tej tematyce, można powiedzieć, iż ceramika pozyskana z badań na kwartale IX w Stargardzie przedstawia materiał z młodszej epoki brązu, głównie z V okresu epoki brązu, przeżywający się następnie (w jakimś stopniu) w okresie następnym.

Obserwując poszczególne części naczyń, ich morfologię i zdobnictwo, zaprezentowane w tekście i tablicach, można było doszukać się pewnych analogii w literaturze przedmiotu. U G. Dorki (1939), na młodszy okres epoki datowano między innymi wazy chropowacone poniżej, niekiedy dość łagodnego załomu brzuśca i garnki uchate z Letnina (*Lettnin*) w pow. pyrzyckim (Dorka 1939, tabl. 41), wazy dwustożkowate, kubki i czarki z Czernic (*Sehmsdorf*), pow. pyrzycki (Dorka 1939, tabl. 42), misę z uszkiem i zdobieniem w postaci żłobienia w wątek jodełki, roślinny, trochę podobnej do naczynia 11 z obiektu nr 3 (tabl. 3:1), naczynia 112 z obiektu nr 12 (tabl. 17:3), czy naczynia 172 z obiektu nr 12 (tabl. 25:4), a także dzbany i naczynia dwustożkowate ze Swochowa (*Schwochow*), pow. pyrzycki (Dorka 1939, tabl. 42) oraz „talerz kopanicki" z miejscowości Młyny (*Möllendorf*), pow. pyrzycki (Dorka 1939, tabl. 45).

W prezentowanym materiale, choć zachowanym w dużej mierze fragmentarycznie, znaleźć można było dość liczne analogie w pracy J. Kostrzewskiego (1958a), powielane następnie przez późniejszych autorów. W niniejszej pracy doszukano się wielu analogii do syntezy J. Kostrzewskiego oraz innych opracowań ceramiki. I tak: do materiałów mogących pochodzić jeszcze z IV EB, stanowiących spuściznę ornamentyki guzowej, można było zaliczyć naczynia ze żłobieniem półkolistym czy łukowatym (Kostrzewski 1958a, 45). W grupie tej znalazł się fragment naczynia 173 z obiektu nr 12 (tabl. 25:8). Również zdobienie w postaci pionowych i ukośnych żłobków było charakterystyczne dla ceramiki z IV EB i trwało w różnych wariantach w okresie następnym (Kostrzewski 1958a, 47, 117; por. np. naczynie 14

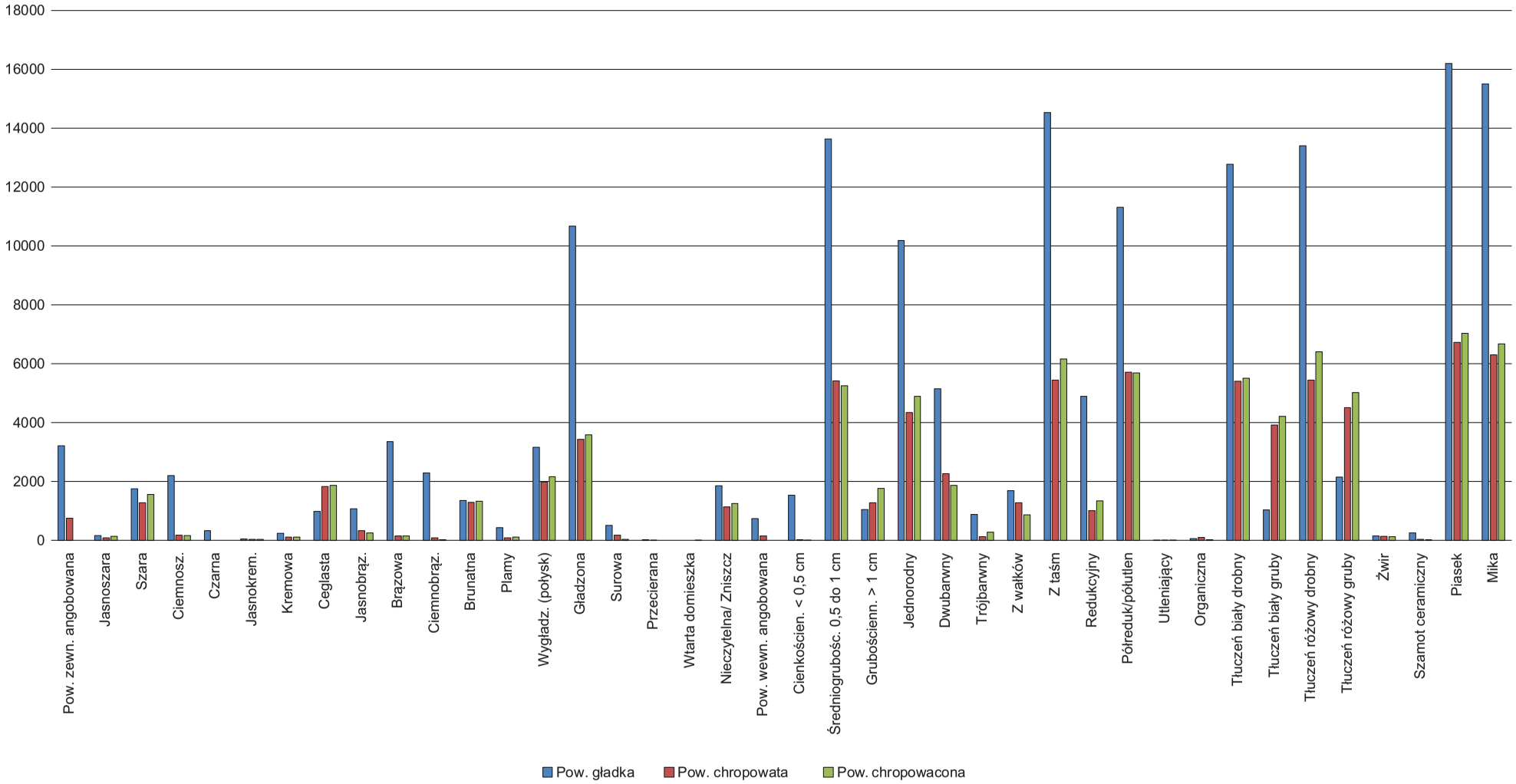

Ryc. 31. Stargard, Stare Miasto, kwartał IX. Porównanie korelacji wyróżnionych rodzajów powierzchni zewnętrznej z innymi elementami technologicznymi. Oprac. R. Mikuła
Abb. 31. Stargard, Altstadt, Quartier IX. Vergleich der Korrelationen der erfassten Typen von Außenflächen mit anderen technologischen Elementen. Bearb. R. Mikuła

z obiektu nr 12 – tabl. 9:2). W okresie tym zdarzało się również dość gęste żłobienie linii przecinających się (Pietrzak 1959, 41). Przykłady takiego zdobienia zaobserwowano w analizowanym zbiorze, między innymi na naczyniu 170 z obiektu nr 12 (tabl. 25:2). W V EB bardziej zauważalne było szerokie, poziome żłobienie naczyń (Kostrzewski 1958a, 123–124). W przedstawionym materiale żłobione w wątkach poziomych sprowadzało się głównie do pojedynczych linii, oddzielających cylindryczną szyjkę od brzuśca naczyń wazowatych, czy kubków (np. tabl. 14:2; 15:5; 18:1) W IV EB występowały licznie szerokootworowe wazy z baniastymi brzuścami oraz cylindryczną szyjką, trwając następnie w okresie następnym (Kostrzewski 1958a, 53–54, 115–116). O ile naczynia starsze charakteryzowały się większą profilacją ścianek, o tyle w V EB i Ha C załomy brzuśców stawały się bardziej łagodne (Dworaczyk 2004, 123–124). Przykłady naczyń wazowatych w analizowanym materiale stanowiły m.in. naczynia 97 do 107 (tabl. 14; 15; 16:2, 4). Do grupy tej należały również wazy, określane wcześniej często jako naczynia dwustożkowate, również występując często jako popielnice w zespołach grobowych z IV EB (Dworaczyk 2004, 57–60; Pietrzak 1959, 35). Wśród waz dość często występowały formy obmazywane w dolnej części (Kostrzewski 1958a, 54; Kozłowska 1999, 151) Kolejną grupą naczyń, występującą mniej lub bardziej popularnie od IV EB i trwającą w okresie następnym, były dzbany i kubki (Kostrzewski 1958a, 54–58). Prócz kubków z cylindryczną szyjką, zaopatrzonych często w ucho nośne (odróżniały się często od dzbanów jedynie poprzez wielkość i proporcje formy), bywały także inne. I tak na przykład, donicowaty (moździerzowaty) kubek 140 z obiektu nr 12, z małym uszkiem pod wylewem (tabl. 22:1) stanowił formę rozpowszechnioną na Pomorzu Zachodnim już w IV EB (Kostrzewski 1958a, 64; Kozłowska 1999, 158, ryc. 4.11.6). W młodszym okresie brązu, już w IV EB i następnym, bardzo popularne były w inwentarzu ceramicznym misy. Ich dość dużą liczbę przedstawiał analizowany zbiór (por. rozdział o makromorfologii naczyń oraz tablice na końcu pracy). Zaobserwowano dość dużą liczbę mis z brzegiem wychylonym na zewnątrz, często zaopatrzonych w uszko. Formy takie zaobserwowano licznie w już w IV EB i trwały w następnym okresie (Kostrzewski 1958a, 65–66; Lachowiczowa 1966, 45). Dodatkowo często towarzyszył im ornament przecinających się linii, tak jak zaobserwowano to na naczyniu 11 z obiektu nr 3 (tabl. 3:1) (Kostrzewski 1958a, 65; Horst 1972, 107, tabl. 2e) lub odciski palcowe i paznokciowe na krawędzi wylewu, co zaobserwowano na naczyniu 10 z obiektu nr 1 (tabl. 1:6). W ornamentyce naczyń z IV EB pojawiło się również zdobienie w postaci dołków palcowo-paznokciowych na brzuścach, najczęściej na dzbanach i kubkach (Kostrzewski 1958a, 67–68). Przykłady takiego zdobienia zaobserwowano na naczyniu 9 z obiektu nr 3 (tabl. 2:5) oraz na naczyniu 130 z obiektu nr 12 (tabl. 20:6).

Pomiędzy naczyniami z IV a V EB, jak pośrednio zauważono powyżej, jak również następnie pomiędzy naczyniami z V EB a Ha C brak było wyraźnych przejść morfologiczno-stylistycznych (Kostrzewski 1958a, 114). Główne typy naczyń znane z IV EB trwały, jak miało to miejsce np. w przypadku waz (Kostrzewski 1958a, 115, ryc. 81; 115–116). Dla V EB pewnym *novum* stały się chropowacone garnki o bardziej beczułkowym kształcie, jedno- lub dwuuche (Kostrzewski 1958a, 117–119). W prezentowanym materiale przykłady takich naczyń również wystąpiły, jak np. naczynie 3 z obiektu nr 1 (tabl. 1:11), ale częściej wystąpiły esowate (jajowate) formy bezuche (lub ucho nie zachowało się), jak np. naczynie 1 (tabl. 5:1), 3 (tabl. 6:1), 4 (tabl. 6:2), 5 (tabl. 7:1), 6 (tabl. 7:2) czy 8 (tabl. 4:9) z obiektu nr 12 (por. też: Uciechowska-Gawron 2007, ryc. 5.1; ryc. 11.5). Istotną formą naczyniową dla tego okresu były bogato zdobione talerze (misy), zwane „talerzami kopanickimi", ze skośnie żłobioną krawędzią i koncentrycznie żłobionym i dnem wtłoczonym do środka (Kostrzewski 1958a, 118–123, 355, ryc. 87–90; Kaczmarek 2015, 85–87; Horst 1972, 125, 157–159, Tabl. 17 i 30; Wanzek 2004, 40, Tabl. 18–20). W analizowanym materiale niestety nie zachowały się całe formy tych talerzy. Niemniej, ich przypuszczalne fragmenty zarejestrowano na naczyniu 9 z obiektu nr 1 (tabl. 1:7) oraz na naczyniach z obiektu nr 12: 90 (tabl. 13:17), 139 (tabl. 21:4), 144 (tabl. 23:2), 183 (tabl. 26:5), 184 (tabl. 26:10), 193 (tabl. 26:13), 201 (tabl. 27:12) i 202 (tabl. 27:10). W V EB trwały baniaste kubki z cylindryczną szyjką oraz dużym uchem (Kostrzewski 1958a, 124). Fragmenty takich naczyń zaobserwowano także w omawianym zbiorze, m.in. w inwentarzu obiektu nr 12: na naczyniu 26 (tabl. 11:7), 27 (tabl. 11:3), 28 (tabl. 11:4), 31 (tabl. 11:6), czy 130 (tabl. 20:6).

Na okres wczesnego żelaza J. Kostrzewski datował naczynia z kategorii tzw. talerzy krążkowatych (Kostrzewski 1958a, 182; 185, ryc. 140; Uciechowska-Gawron 2007, 104; ryc. 3:6, 4:5, 7). Było to o tyle trafne sformułowanie, o ile dotyczyło większego udziału takich naczyń w zbiorze. Talerze krążkowate bowiem znane już były w okresie brązu. W omawianym zbiorze znaleziono tylko fragmenty jednego talerza krążkowatego, reprezentowanego przez naczynie 60 z obiektu nr 12 (tabl. 13:15). Do okresu halsztackiego zaliczyć można było jeszcze naczynia 11 z obiektu 3 (tabl. 3:1), 233 z obiektu nr 12 (tabl. 29:14) oraz 236 z obiektu nr 12 (tabl. 29:16). Były to misy z grupy naczyń z brzegiem wychylonym na zewnątrz. Pierwsza z nich została już przedstawiona w kontekście ornamentyki krzyżujących się linii żłobienia lub rycia, występujących od IV EB. Teraz istotne okazało się zakończenie wylewu. Naczynia te miały języczkowate występy (cecha ornamentyki plastycznej), zorientowane poziomo (naczynie 3 z obiektu nr 3) lub pionowo wychodząc od krawędzi wylewu. Uznaje się, iż takie językowate występy były już stylistyką bardziej wczesnohalsztacką, o bardziej „górzyckiej" proweniencji (Uciechowska-Gawron 2007, 104; Griesa 1982, tabl. 8.2.1; tabl. 16.10). Pewnych przypuszczeń co do pochodzenia „halsztackiego" można było mieć w przypadku naczyń szerokootworowych: wazy 15 z obiektu nr 3 (tabl. 3:4) oraz garnka 2 z obiektu nr 12 (tabl. 5:2). Ich wyraźnie (być może nieco inaczej, niż w przypadku naczyń z młodszego okresu epoki brązu) wyodrębniona

szyjka od jajowatego czy baniastego brzuśca wykazywała pewne podobieństwa do form grupy górzyckiej przedstawionych przez S. Griesę (1982, tabl. 13.2.13; tabl. 17.12).

Biorąc pod uwagę wyniki analizy technologicznej prezentowanego materiału ceramicznego, również można było dojść do pewnych ustaleń odnośnie do jego chronologii. W zbiorze tym zaobserwowano bardzo duży udział domieszki tłucznia kamiennego. Duży wskaźnik procentowy takiego materiału schudzającego glinę stanowił w pewnym stopniu cechę diagnostyczną dla zespołów datowanych na późne fazy (V EB i Ha) społeczności łużyckich pól popielnicowych (Ignaczak, Affelski 2008; Affelski i in. 2009a, 21–22). Chropowacenie dużych naczyń kuchennych wraz z obmazywaniem palcowym, jakie zaobserwowano na części analizowanego materiału, było cechą diagnostyczną dla faz przejściowych pomiędzy okresem epoki brązu a wczesną epoką żelaza (Affelski i in. 2009, 58–59). Chropowacenie poprzez obrzucanie naczyń warstwą gliny, bez obmazywania, również było charakterystyczną cechą diagnostyczną dla fazy V EB i młodszych (Affelski i in. 2009a, 21–22). Za cechę diagnostyczną dla późnych, „halsztackich" faz ceramiki "łużyckiej" było wyświecanie, czernienie ścianek zewnętrznych naczyń. W analizowanym materiale, naczynia o wyświecanej powierzchni zewnętrznej stanowiły 4,72% całości (por. rozdział o technologii ceramiki). Część z nich zachowała czarną barwę. Jest wielce prawdopodobne, iż pochodziły już z okresu halsztackiego.

Zaprezentowana chronologia analizowanego materiału zamykała się w młodszej epoce brązu, przede wszystkim w V EB, przeżywając się następnie (poprzez niektóre przykłady naczyń) w większej lub mniejszej formie w okresie halsztackim. W tym momencie należałoby wspomnieć w kilku słowach charakter kulturowo-chronologiczny omawianego obszaru (teren Stargardu i powiatu) z szerszym tłem Pomorza Zachodniego.

Osadnictwo społeczności łużyckich pól popielnicowych prezentowanego obszaru rozwijało się w zasadzie dość podobnie jak na innych terenach Niżu Polskiego w ramach społeczności „brązowych", nieco tylko z pewnym opóźnieniem. Na Pomorzu Zachodnim tak naprawdę dopiero w IV EB doszło do większej stabilizacji, a także do wyodrębnienia się ugrupowań, zwanych w starszej literaturze grupą zachodnio- oraz wschodniopomorską (Bukowski 1998, 9). Od okresu Ha C, w dorzeczu dolnej Odry wytworzyła się grupa górzycka, która swym zasięgiem częściowo zahaczała o obszar będący tematem niniejszej pracy (Wesołowski 1996, 29–35; Bukowski 1998, 20–22; Griesa 1982, 221, 244, 281, mapa 5; 246, mapa 5; 247; 301, mapa 25; Górska-Maciałowicz 2012, 65). Cechą odróżniającą Pomorze Zachodnie od innych obszarów z ugrupowaniami "łużyckimi", były silne kontakty z obszarami sąsiednimi, przede wszystkim ze strefą nordyjską, choć również także z szeroko rozumianym Południem (Bukowski 1998, 11). Pomorze było wręcz pośrednikiem wzajemnych kontaktów pomiędzy tymi obszarami, choć w okresie halsztackim oddziaływania południowe traciły na znaczeniu na rzecz oddziaływań kręgu nordyjskiego. Pomorze, choć samo zajmowało bardziej peryferyjne położenie, odbierało, adaptowało i przekształcało przepływające impulsy kulturowe (Bukowski 1998, 11–12; Ostoja-Zagórski 1982, 174n).

W okresie halsztackim C-D aż do okresu lateńskiego A (Lt A) na omawianym obszarze, pomimo wpływów grupy górzyckiej, mówiło się o trwaniu grupy zachodniopomorskiej, czy mówiąc inaczej, grupy o tradycjach „brązowych". Zasiedlenie między innymi tego rejonu przez tę grupę było na tyle stabilne, że we wczesnej epoce żelaza ludność grupy zachodniopomorskiej uczestniczyła w wykształceniu się kultury jastorfskiej, podczas gdy na innych terenach zaznaczała się przerwa w osadnictwie między ugrupowaniami (Wesołowski 1996, 34–35; Machajewski 2011, 210–211; Górska-Maciałowicz 2012, 65). Należało się jednak liczyć również z obecnością na tym terenie także ugrupowań kultury pomorskiej (Górska-Maciałowicz 2012, 65).

Wiążąc schyłkowe fazy społeczności łużyckich pól popielnicowych na Pomorzu ze wspomnianymi trzema wewnętrznymi ugrupowaniami, czyli wschodniopomorską (kaszubską), zachodniopomorską i górzycką, ustalenie końca trwania społeczności łużyckich pól popielnicowych należałoby zatem omawiać w kontekście każdej z tych grup (Wołągiewicz 1990, 307; por. też Wołągiewicz 1979, 33–69). Grupę zachodniopomorską wyodrębniono początkowo dla okresu halsztackiego C, choć czas powstania grupy przesunięto jeszcze od końca IV okresu epoki brązu (Wołągiewicz 1990, 308). Schyłek tej grupy datowało się na podokres Ha D2–3/Lt A (przed pojawieniem się fazy marianowskiej kultury jastorfskiej). Schyłek grupy wschodniopomorskiej na okres halsztacki C wschodniopomorskiej (faza wielkowiejska), a grupy górzyckiej na okres Ha C-Ha D1 (Wołągiewicz 1990, 314).

Kończąc rozważania na temat osadnictwa społeczności łużyckich pól popielnicowych na ziemi stargardzkiej, wypadałoby zaznaczyć, iż materiał przedstawiony w niniejszej pracy stanowił w jakimś stopniu wkład, mający na celu powiększenie stanu badań i poznanie tego obszaru. Wydaje się, iż szczególnie ważne okazało się miejsce, w jakim zdeponowano opisany materiał ceramiczny. Było to w zasadzie ścisłe centrum miasta, gdzie, biorąc pod uwagę kontekst zwartej zabudowy już od wczesnego średniowiecza, trudno trafić na ślady starszego osadnictwa. Pomimo naruszonego kontekstu obiektów, z których wydobyto przedstawiony materiał, sam fakt ich obecności w tym obszarze był ważny i niewątpliwie stanowił kolejny krok milowy w poznanie okresu przedhistorycznego terenu miasta. Liczne fragmenty ceramiki, pochodzące od wielu naczyń o różnej kategorii i pełniących różne funkcje, datowane na młodszą epokę brązu oraz częściowo na okres halsztacki, a więc z późnych faz społeczności łużyckich pól popielnicowych, stały się istotnym zbiorem, podatnym, pomimo silnego rozdrobnienia, na dalsze procesy badawcze. Dzięki uważnej, metodycznej pracy terenowej, przeprowadzonej na kwartale IX w Stargardzie, udało się, pomimo dominującej stratygrafii średniowiecznej i nowożytnej,

wychwycić tak cenne elementy osadnictwa z późnego okresu epoki brązu i wczesnego okresu epoki żelaza. W miejscu tym należałoby postawić postulat badawczy, o jak najdokładniejsze przeprowadzenie badań terenowych w ośrodkach miejskich Pomorza Zachodniego, ponieważ nie jest powiedziane, czy i w innych przypadkach można byłoby trafić na starsze źródła archeologiczne.

Bibliografia

Materiały niepublikowane

Affelski J., Ignaczak M., Machajewski H., Woźniak Z., Żychliński D. 2009. *Opracowanie wyników ratowniczych badań archeologicznych na stanowisku nr 22 w Świętym (AZP 33-10/128), gm. Stargard, pow. stargardzki, woj. zachodniopomorskie*. Gniezno (mps w zbiorach Pracowni Archeologiczno-Konserwatorskiej Alina Jaszewska w Zielonej Górze).

Affelski J., Ignaczak M., Matuszewska A., Szydłowski M., Woźniak Z., Żychliński D. 2009. *Opracowanie wyników ratowniczych badań archeologicznych na stanowisku nr 31 w Kunowie (AZP 32–09/ 147), gm. Kobylanka, pow. stargardzki, woj. zachodniopomorskie*. Gniezno (mps w zbiorach Pracowni Archeologiczno-Konserwatorskiej Alina Jaszewska w Zielonej Górze).

Affelski J., Ignaczak M., Żychliński D. 2009. *Opracowanie wyników ratowniczych badań archeologicznych na stanowisku nr 30 w Kunowie (AZP 32–09/146), gm. Kobylanka, pow. stargardzki, woj. zachodniopomorskie*. Gniezno (mps w zbiorach Pracowni Archeologiczno-Konserwatorskiej Alina Jaszewska w Zielonej Górze).

Jaszewska A., Leciejewska A., Machajewski H., Pawlak E., Wolanin P. 2009. *Opracowanie wyników ratowniczych badań archeologicznych na stanowisku nr 10 w Świętem, gm. Stargard, woj. zachodniopomorskie*, Zielona Góra. Poznań (mps w zbiorach Pracowni Archeologiczno-Konserwatorskiej Alina Jaszewska w Zielonej Górze).

Kornaś M., Ostrowski M. 2009. *Opracowanie wyników badań na stanowisku nr 7 w Świętym (AZP 33-10/96), gm. Stargard, woj. zachodniopomorskie*. Kraków (mps w zbiorach Pracowni Archeologiczno-Konserwatorskiej Alina Jaszewska w Zielonej Górze).

Majewski D., Ignasiak M., Chwałek S. 2009. *Opracowanie wyników badań archeologicznych na stanowisku Witkowo, nr 42 (AZP 33-10/23), pow. Stargard, woj. zachodniopomorskie, związanych z budową obwodnicy Stargardu*. Stargard Szczeciński (mps w zbiorach Pracowni Archeologiczno-Konserwatorskiej Alina Jaszewska w Zielonej Górze).

Mikuła R. 2015. *Opracowanie materiału źródłowego z ratowniczych badań archeologicznych na działce 251/2 obręb Stargard, na stanowisku Strachocin 13, gm. Stargard, woj. zachodniopomorskie (AZP 32:10/148)*. Wełtyń (mps w zbiorach Działu Archeologii Muzeum Archeologiczno-Historycznego w Stargardzie).

Rogowska E. 1992. *Fragment otwartej osady halsztackiej ludności kultury łużyckiej w Lubowie, gm. Stargard*. Stargard (mps w zbiorach Działu Archeologii Muzeum Archeologiczno-Historycznego w Stargardzie).

Słota W., Snakowski M. 2009. *Opracowanie ratowniczych badań wykopaliskowych na stanowisku archeologicznym Święte, nr 8 (AZP: 33–10/97), pow. Stargard, woj. zachodniopomorskie, związanych z budową obwodnicy Stargardu*. Bytom (mps w zbiorach Pracowni Archeologiczno-Konserwatorskiej Alina Jaszewska w Zielonej Górze).

Staniucha P. 2009. *Sprawozdanie z ratowniczych badań archeologicznych na stanowisku Witkowo nr 22 (AZP 33-10/41), gm. Stargard, woj. zachodniopomorskie*. Zielona Góra (mps w zbiorach Pracowni Archeologiczno-Konserwatorskiej Alina Jaszewska w Zielonej Górze).

Żychliński D., Matuszewska A., Szydłowski M., Ignaczak M., Affelski J., Woźniak Z. 2009. *Opracowanie wyników ratowniczych badań archeologicznych na stanowisku nr 4 w Kunowie (AZP 33-09/151), gm. Kobylanka, pow. stargardzki, woj. zachodniopomorskie*. Gniezno (mps w zbiorach Pracowni Archeologiczno-Konserwatorskiej Alina Jaszewska w Zielonej Górze).

Literatura

Bukowski Z. 1998. *Pomorze w epoce brązu w świetle dalekosiężnych kontaktów wymiennych*. Gdańsk.

Cnotliwy E. 1960. Wyniki badań ratowniczych na osadzie kultury łużyckiej w Sibinie, pow. Kamień. *Materiały Zachodniopomorskie* 6, 41–60.

Cnotliwy E. 1976. Osadnictwo ludności kultury łużyckiej na Wzgórzu Zamkowym w Szczecinie w świetle badań w latach 1967–1974. *Materiały Zachodniopomorskie* 22, 7–70.

Czerniak L. 1980. *Rozwój społeczeństw kultury późnej ceramiki wstęgowej na Kujawach*. Poznań.

Dąbrowski J. 1979. Kultura łużycka na Pomorzu. W: J. Dąbrowski, Z. Rajewski (red.), *Prahistoria ziem polskich, t. 4. Od środkowej epoki brązu do środkowego okresu lateńskiego*. Wrocław–Warszawa–Kraków–Gdańsk, 74–80.

Dorka G. 1939. *Urgeschichte des Weizacker-Kreises Pyritz*. Stettin.

Dudak W., Herman R., Kurasiński T. 2002. Osada kultury łużyckiej z przełomu okresu halsztackiego i lateńskiego. W: J. Maik (red.), *Archeologiczne zeszyty autostradowe, zeszyt 1. Osada z epoki brązu i okresu halsztackiego w Chrząstowie Folwarcznym 1, gmina Parzęczew pow. zgierski, woj. łódzkie. Autostrada A2*. Łódź, 44–90.

Dworaczyk M. 2004. Ceramika naczyniowa kultury łużyckiej z Pyrzyc. *Materiały Zachodniopomorskie. Nowa Seria* 1/1, 123–132.

Fogel J. 1979. Siły zbrojne ludności kultury łużyckiej w dorzeczu Odry i Wisły (organizacja – struktura – wartość bojowa). *Materiały Zachodniopomorskie* 25, 7–52.

Gardawski A. 1979a. Geneza kultury łużyckiej. W: J. Dąbrowski, Z. Rajewski (red.), *Prahistoria ziem polskich, t. 4: Od środkowej epoki brązu do środkowego okresu lateńskiego*. Wrocław–Warszawa–Kraków–Gdańsk, 47–49.

Gardawski A. 1979b. Kultura łużycka środkowej epoki brązu na Pomorzu. W: J. Dąbrowski, Z. Rajewski (red.), *Prahistoria ziem polskich, t. 4. Od środkowej epoki brązu do środkowego okresu lateńskiego*. Wrocław–Warszawa–Kraków–Gdańsk, 69–72.

Gediga B. 1978. Starszy okres epoki brązu na zachodnich ziemiach polskich w zasięgu „kultury przedłużyckiej". W: A. Gardawski, J. Kowalczyk (red.), *Prahistoria ziem polskich, t. 3. Wczesna epoka brązu*. Wrocław–Warszawa–Kraków–Gdańsk, 137–172.

Gedl M. 1975. *Kultura łużycka*. Kraków.

Gedl M. 1989. Powiązania południowe w kulturze łużyckiej na Pomorzu. W: T. Malinowski (red.), *Problemy kultury łużyckiej na Pomorzu*. Słupsk, 53–64.

Górska-Maciałowicz A. 2012. Starożytne zabytki z doliny rzeki Iny w Suchaniu, pow. stargardzki. *Materiały Zachodniopomorskie. Nowa Seria* 8/1, 31–121.

Gralak T. 2004. Osada ludności kultury łużyckiej z okresu halsztackiego oraz osada średniowieczna z XIII w. ze stan. 4 w Nowym Śleszowie, gm. Żórawina, pow. Wrocław. W: B. Gediga (red.), *Archeologiczne zeszyty autostradowe, zeszyt 3. Badania na autostradzie A4, część II*. Wrocław, 67–174.

Griesa S. 1982. *Die Göritzer Gruppe*, Veröffentlichungen des Museums für Ur- und Frühgeschichte Potsdam 16. Berlin.

Hamling A. 1956. Cmentarzysko ludności kultury „łużyckiej" w Krzęcinie, pow. Choszczno. *Materiały Zachodniopomorskie* 2, 41–112.

Hamling A. 1964. Dotychczasowe wyniki badań na stanowisku ludności kultury łużyckiej w Lubinie, pow. Wolin. *Materiały Zachodniopomorskie* 10, 9–36.

Horst F. 1972. Jungbronzezeitliche Formenkreise im Mittelelb-Havel-Gebiet, *Jahresschrift für Mitteldeutsche Vorgeschichte* 56, 97–165.

Ignaczak M. 2002. *Ze studiów nad genezą kultury łużyckiej w strefie Kujaw*. Poznań.

Ignaczak M. 2004. Osadnictwo społeczeństw kultury łużyckiej w strefie środkowobachorskiej. W: J. Bednarczyk, L. Czerniak, A. Kośko (red.), *Archeologiczne badania ratownicze wzdłuż trasy gazociągu tranzytowego. T. III Kujawy, cz. 5. Osadnictwo społeczeństw kultur cyklu łużyckiego*. Poznań, 15–202.

Ignaczak M. 2011. Kultura łużycka i pomorska. W: J. Bednarczyk, A. Romańska (red.), *Via Archaeologica Posnaniensis. Źródła archeologiczne z badań wykopaliskowych na trasach dróg i autostrad. t. 3. Wielokulturowa osada w Juszkowie-Rusocinie, gm. Pruszcz Gdański, woj. pomorskie, stan. 28. Archeologiczne badania ratownicze na trasie autostrady A1*. Poznań, 141–170.

Ignaczak M., Affelski J. 2008. Osadnictwo kultury łużyckiej w Łękach Górnych, gm. Krzyżanów, woj. łódzkie. W: L. Czerniak, J. Gąssowski (red.), *Via Archaeologica Pultuskiensis, tom II, Osada wielokulturowa w Łękach Górnych gm. Krzyżanów, woj. łódzkie*. Pułtusk, 9–60.

Kaczmarek M. 2002. *Zachodniowielkopolskie społeczności kultury łużyckiej w epoce brązu*. Poznań.

Kaczmarek M. 2012. *Epoka brązu na Nizinie Wielkopolsko-Kujawskiej w świetle interregionalnych kontaktów wymiennych*. Poznań.

Kaczmarek M. 2014. Józefa Kostrzewskiego koncept kultury łużyckiej. *Fontes Archaeologici Posnanienses* 50/1, 59–67.

Kaczmarek M. 2015. *Dolice. Cmentarzyska kurhanowe z późnej epoki brązu na Pomorzu Zachodnim. Hyperborea. Poznańskie studia nad epoką brązu i wczesną epoką żelaza, 1*. Poznań.

Kaczmarek M. 2017. The Snares of Ostensible Homogeneity. Lusatian Culture or Lusatian Urnfields? W: P. Urbańczyk (red.), *The Past Societes 3. 2000–500 BC*. Warszawa, 264–285.

Kaube A. 1988. Skarb z V okresu epoki brązu z Wolina. *Materiały Zachodniopomorskie* 34, 17–31.

Kersten K. 1958. *Die Funde der älteren Bronzezeit in Pommern*, 7. Beiheft zum Atlas der Urgeschichte. Hamburg.

Kleist D. von 1955. *Die urgeschichtlichen Funde des Kreises Schlawe*, 3. Beiheft zum Atlas der Urgeschichte. Hamburg.

Kostrzewski J. 1958a. *Kultura łużycka na Pomorzu*. Poznań.

Kostrzewski J. 1958b. Północna peryferia kultury łużyckiej. *Materiały Zachodniopomorskie*, 7–16.

Kostrzewski J. 1966. *Pradzieje Pomorza*. Wrocław–Warszawa–Kraków.

Kostrzewski J., Chmielewski W., Jażdżewski K. 1965. *Pradzieje Polski*. Wrocław–Warszawa–Kraków.

Kozłowska D. 1997. Osada ludności kultury łużyckiej ze Szczecina-Niemierzyna. *Materiały Zachodniopomorskie* 43, 113–158.

Kozłowska D. 1999. Wyniki badań prowadzonych na cmentarzysku ciałopalnym w Mierzynie, gm. Dobra Szczecińska. *Materiały Zachodniopomorskie* 45, 131–164.

Krajewski P. 2007. Struktury osadnicze późnej epoki brązu – wczesnej epoki żelaza na Pomorzu Zachodnim. Wybrane zagadnienia. W: M. Fudziński, H. Paner (red.), *Aktualne problemy kultury łużyckiej na Pomorzu*. Gdańsk, 35–46.

Krzyszowski A. 2008. Osada ludności kultury łużyckiej na stanowisku 278 (AUT 191) Poznań-Nowe Miasto. W: H. Machajewski, R. Pietrzak (red.), *Archeostrada. Studia i materiały z badań wykopaliskowych na autostradzie A2- Odcinek Wielkopolski, t. II. Poznań-Nowe Miasto. Źródła archeologiczne do studiów nad pradziejami i wczesnym średniowieczem dorzecza Środkowej Warty*. Poznań 2008, 49–91.

Kunkel O. 1927. Urgeschichtliche Funde aus dem Kreise Saatzig. *Unser Pommerland. Monatschrift für da Kulturleben der Heimat. Sonderheft Stargard* 11/12, 460–463.

Kunkel O. 1931. *Pommersche Urgeschichte in Bildern, Textteil und Tafelteil*. Stettin.

Lachowicz F. 1968. Cmentarzysko kurhanowe w Grabowie, pow. Bytów, stanowisko 1. *Materiały Zachodniopomorskie* 14, 9–126.
Lachowicz F. 1978. Wczesnohalsztacki skarb brązowy z Kazimierza Pomorskiego, gmina Będzino woj. koszalińskie. *Materiały Zachodniopomorskie* 24, 7–34.
Lachowiczowa R. 1966. Cmentarzysko kultury łużyckiej w Cewlinie, pow. Koszalin. *Materiały Zachodniopomorskie* 12, 9–52.
Machajewski H. 2011. Ze studiów nad okresem przedrzymskim na Pomorzu Zachodnim. W: M. Fudziński, H. Paner (red.), *Między kulturą pomorską a kulturą oksywską. Przemiany kulturowe w okresie lateńskim*. Gdańsk, 209–219.
Majewski M. 2016. Osada podgrodowa. W: M. Majewski (red.), *Archeologia Stargardu 2.1. Badania na obszarze dawnego kościoła augustiańskiego*. Stargard, 101–105.
Malinowska H. 1972. Badania ratownicze na cmentarzysku ludności kultury łużyckiej w Cedyni, pow. Chojna. *Materiały Zachodniopomorskie* 18, 15–26.
Malinowska-Łazarczyk H. 1973. Cmentarzysko ludności kultury łużyckiej w Cedyni pow. Chojna. *Materiały Zachodniopomorskie* 19, 49–96.
Malinowski T. 1976. *Stan badań nad kulturą łużycką w północno-zachodniej Polsce*. Słupsk.
Malinowski T. 1989. Wprowadzenie do problematyki kultury łużyckiej na Pomorzu. W: T. Malinowski (red.), *Problemy kultury łużyckiej na Pomorzu*. Słupsk 1989.
Malinowski T. 1997. Łaba–Odra–Wisła: Oddziaływania kulturowe u schyłku epoki brązu i we wczesnej epoki żelaza. W: B. Gediga, J. Horwat, G. Przybył, D. Recław (red.), *Rola Odry i Łaby w przemianach kulturowych epoki brązu i epoki żelaza. Materiały z konferencji naukowej w Gliwicach 23–24 listopada 1995 roku*. Wrocław-Gliwice, 65–90.
Marchelak L., Matysiak J., Moszczyński J., Papiernik P. 2000. Wyniki ratowniczych badań archeologicznych na terenie odkrywki „Szczerców" KWB „Bełchatów" S.A. na stan. 11 w miejscowości Kolonia Chabielice, gm. Szczerców, woj. łódzkie. W: R. Grygiel (red.), *Badania archeologiczne na terenie odkrywki „Szczerców" Kopalni Węgla Brunatnego „Bełchatów" S.A., t. 1*. Łódź, 201–316.
Mogielnicka-Urban M. 1984. *Warsztat ceramiczny w kulturze łużyckiej*. Wrocław–Warszawa–Kraków–Gdańsk-Łódź.
Nawrolski T. 1972. Relikty osady kultury łużyckiej na wzgórzu klasztornym w
Cedyni, pow. Chojna. *Materiały Zachodniopomorskie* 18, 27–49.
Ostoja-Zagórski J. 1982. *Przemiany osadnicze, demograficzne i gospodarcze w okresie halsztackim na Pomorzu*. Wrocław–Warszawa–Kraków–Gdańsk-Łódź.
Pankowski A. 1989/90. Cmentarzysko kurhanowe ludności kultury łużyckiej w Łupawie, województwo Słupsk. *Materiały Zachodniopomorskie* 35/6, 49–74.
Pietrzak M. 1959. Cmentarzysko kurhanowe kultury łużyckiej w Siemirowicach, pow. Lębork. *Materiały Zachodniopomorskie* 5, 25–42.
Rogosz R. 1973. Początki Stargardu w świetle dotychczasowych wyników badań archeologicznych. *Materiały Zachodniopomorskie* 19, 215–269.
Rulewicz M. 1973a. Pozostałości osady ludności kultury łużyckiej w Szczecinie-Niemierzynie (Badania ratownicze w 1973 r.). *Materiały Zachodniopomorskie* 19, 19–42.
Rulewicz M. 1973b. Ślady cmentarzyska ludności kultury łużyckiej i z okresu wpływów rzymskich we wsi Wierzbno, pow. Pyrzyce. *Materiały Zachodniopomorskie* 19, 105–116.
Siuchniński K. 1956. Kurhan 60 z cmentarzyska z Wartin pow. Angermünde (N.R.D.). *Materiały Zachodniopomorskie* 2, 7–40.
Skrzypek I. 1995. Halsztacki skarb brązowy z Malczkowa oraz dwa nieznane nagolenniki z dawnego pow. słupskiego. *Materiały Zachodniopomorskie* 41, 7–37.
Skrzypek I. 1999. Skarb brązowy ludności kultury łużyckiej z miejscowości Karsina, gm. Polanów, pow. Koszalin. *Materiały Zachodniopomorskie* 45, 95–130.
Szafrański W. 1957. Badania na grodzisku w Swobnicy, pow. Gryfino. *Materiały Zachodniopomorskie* 3, 25–74.
Szafrański W. 1959. Badania na grodzisku w Myśliborzu na Pomorzu Zachodnim. *Materiały Zachodniopomorskie* 5, 43–68.
Szamałek K. 1987. *Kruszwicki zespół osadniczy w młodszej epoce brązu i w początkach epoki żelaza*. Wrocław–Warszawa–Kraków–Gdańsk–Łódź.
Tyniec A. 1987. Bransolety nerkowate z młodszej epoki brązu. *Materiały Zachodniopomorskie* 33, 49–146.
Tyniec A. 1989/90. Bransolety nerkowate z młodszej epoki brązu. Część II. *Materiały Zachodniopomorskie* 35/6, 7–48.
Uciechowska-Gawron A. 1992. Osadnictwo kultury łużyckiej w Brzezinie, gm. Pyrzyce. *Materiały Zachodniopomorskie* 38, 123–153.
Uciechowska-Gawron A. 2007. Analiza porównawcza ceramiki łużyckiej ze stanowisk osadniczych w rejonie dolnej Odry. W: M. Fudziński, H. Paner (red.), *Aktualne problemy kultury łużyckiej na Pomorzu*. Gdańsk, 101–130.
Uciechowska-Gawron A. 2013. Kunowo, gm. Kobylanka, pow. stargardzki, stan. 4 (AZP 32–09/151). *Stargardia* 7, 340–341.
Walkiewicz B. 1999. Osada ludności kultury łużyckiej w Dębczynie, gm. Białogard. *Materiały Zachodniopomorskie* 45, 165–182.
Wanzek B. 2004. Die jungbronzezeitliche Großsiedlung von Berlin-Buch. Erste Vorlage ausgewählter Funde und Befunde. W: S. Groblica, A. Jaszewska, S. Górka (red.), *II polsko-niemieckie spotkania archeologiczne. Odra – przeszkoda czy pomost w ekspansji kulturowej? Dychów 29 kwietnia–1 maja 2004 r.* Biblioteka Archeologii Środkowego Nadodrza 2. Zielona Góra, 37–76.

Wesołowski S. 1958. Halsztacki skarb w Grünz pow. Pasewalk (NRD). *Materiały Zachodniopomorskie* 4, 105–130.
Wesołowski S. 1983. Plemiona kultury łużyckiej na terenie Szczecina (od XII do IV wieku p.n.e). W: W. Filipowiak, G. Labuda (red.), *Dzieje Szczecina, t. I. Pradzieje Szczecina*. Warszawa-Poznań, 279–468.
Wesołowski S. 1993. Nowsze badania nad kulturą łużycką na Pomorzu Zachodnim. W: G. Koebsch, A. Rusińska (red.), *Miscellanea archaeologica Thaddaeo Malinowski dedicata*. Słupsk-Poznań 1993, 359–370.
Wesołowski S. 1996. Próba oceny stanu badań nad osadnictwem kultury łużyckiej na Pomorzu Zachodnim. W: E. Wilgocki, P. Krajewski, M. Dworaczyk, D. Kozłowska (red), *50 lat archeologii polskiej na Pomorzu Zachodnim*. Szczecin, 27–48.
Wilgocki E. 1991. Osada ludności kultury łużyckiej na stanowisku 1 w Wierzchlasie, woj. szczecińskie. *Materiały Zachodniopomorskie* 37, 19–45.
Wojtasik J. 1958. Pozostałości osady łużyckiej na wzgórzu „Młynówka" w Wolinie. *Materiały Zachodniopomorskie* 4, 49–104.
Wołągiewicz R. 1957. Kwestia pochodzenia pobocznic pomorskich z V okresu epoki brązu. *Materiały Zachodniopomorskie* 3, 7–16.
Wołągiewicz R. 1961. Cmentarzysko z II-IV okresu epoki brązu w Brzeźniaku, pow. Łobez. *Materiały Zachodniopomorskie* 7, 23–84.
Wołągiewicz R. 1979. Kultura pomorska a kultura oksywska. W: T. Malinowski (red.), *Problemy kultury pomorskiej*. Koszalin, 33–69.
Wołągiewicz R. 1990. Cmentarzysko w Marianowie i problem schyłkowej fazy kultury łużyckiej na Pomorzu. W: T. Malinowski (red.), *Problemy kultury łużyckiej na Pomorzu*. Słupsk, 307–322.

mgr Ryszard Mikuła
ul. J. Chociszewskiego 42/2
60-259 Poznań
ryszardmikula@interia.pl

Zusammenfassung

Siedlungswesen der Bevölkerung der Lausitzer Urnenfelderkultur

Im Zuge der im Jahr 2008 vorgenommenen Ausgrabungen im Stargarder Quartier IX wurde aus drei unbeweglichen Einheiten zahlreiches Material mit Lausitzer Waren gewonnen. Zu diesen Einheiten zählten: Befund Nr. 3 von der ehemalige Parzelle 33 in der Großen Mühlenstraße sowie Befund 1 und Befund 12 von der ehemalige Parzelle 28 in der Radestraße, die chronologisch als Lausitzer Kulturgegenstände bezeichnet werden. Diese Einheiten haben trotz ihres „Lausitzer" Charakters bis zu einem gewissen Grad den sekundären Charakter bewahrt, mit dem darin sekundär deponierten historischen Material. Sie waren umgeben von spätmittelalterlichen und neuzeitlichen Schichten mit recht differenzierter Stratigraphie. Angesichts ihrer beeinträchtigten Entstehungsgenese, die stratigraphisch und chronologisch nicht „rein" war, aufgrund der erhaltenen Formen, der Arten von Füllungen und ihres Inhalts wurden sie als Abfallgruben betrachtet.

Als Ergebnis der archäologischen Arbeiten gewann man zahlreiches historisches Material in Form von Waren, die mit dem Siedlungswesen der Lausitzer Urnenfelderkultur in Verbindung gebracht wurden. Dieses Material umfasste 22.341 Scherben. Insgesamt wurden 214 Keramikfragmente aus Befund Nr. 1 und 441 Keramikfragmente aus Befund Nr. 3 gewonnen. Die Mehrzahl der Scherben – 21.686 Stück – stammte aus Befund Nr. 12, was 97,07% der gesamten Sammlung ausmachte.

Das ausgegrabene Keramikmaterial war durch sehr starke Fragmentierung und Zerstörung gekennzeichnet – daher war es sehr schwierig, die Fundstücke zu analysieren, ihre Formen zu rekonstruieren und sie unter Berücksichtigung aller anderen Bestandteile der Keramikanalyse zu beschreiben. Obwohl auch größere Bruchstücke von Gefäßen entdeckt worden waren, die die analytische Arbeit erleichterten, bestand ein großer Teil des Materials nur aus kleinen Scherben, die oft zerstört waren. Trotz dieses ungünstigen Erhaltungszustands wurde jede Keramikscherbe aus der Sammlung untersucht.

Die aus den Befunden gewonnenen Lausitzer Waren wurden einer mikro- und makromorphologischen Analyse hinsichtlich der Verzierung und Technik unterzogen. Die Anzahl der Keramikfragmente wurde als eine Sammlung von taxonomischen Einheiten definiert, die einer mathematischen und statistischen Analyse unterzogen werden konnten. Diese Einheiten funktionierten in bestimmten Gefäßen, genauer gesagt in gefäßtechnologischen Gruppen, die im gesamten Material des jeweiligen Befundes unterteilt wurden: 13 Gefäße (gefäßtechnologische Einheiten) in Befund Nr. 1; 31 in Befund Nr. 3 und 592 gefäßtechnologische Einheiten in Befund Nr. 12.

In mikromorphologischer Hinsicht wurden im vorliegenden Material unter allen analysierten Fragmenten insgesamt 18.936 Bäuche, 1.664 Ausgussstücke, 431 Bodenscherben, 190 Henkelteile, 880 Fragmente vom Hals und 347 bodennahe Elemente unterschieden. Die mikromorphologische Analyse umfasste hauptsächlich Abschlusselemente der Gefäßwände – Ausgüsse, Böden und Henkel. Darunter wurden die führenden Typen unterschieden, was oft bei der Identifizierung ganzer Gefäßformen hilfreich war.

Im Bereich der makromorphologischen Analyse wurden hinsichtlich der Morphologie und des Bestimmungszwecks 246 unvollständige Gefäßformen unterschieden, d.h. Überreste von: Töpfen, Vasen, Krügen, Schalen, speziellen Tellern („talerze kopanickie"), Bechern, kleinen Formen wie Schälchen bzw. von Miniaturgefäßen, Tellern (auch Tonscheiben genannt) und Siebgefäßen.

Unter Berücksichtigung der Analyse der Gefäßverzierungen wurden insgesamt 99 Fälle verschiedener Dekorationen unterschieden. Dabei erfasste man insgesamt vier Verzierungsmethoden: Einkerben und Ritzen; mit Finger(nagel) eingebrachte Eindrücke; plastisches Ornament und umlaufendes Anbringen von Vertiefungen mit Fingern (Kannelierung).

Bei der technologischen Analyse wurden folgende Varianten und technologische Merkmale berücksichtigt: Methode der Endbearbeitung der Außenfläche und Farbe der Wandung, Methode der Endbearbeitung der Innenfläche, Wandungsdicke, Typ der Bruchfläche, Brandmethode, Anzahl, Art und Granulierung des Kühladditivs. Die Außenfläche mit ihrer unterschiedlichen Formgebung als einer der wichtigsten Punkte der Technologie war das Hauptkorrelativ des Datensatzes, auf den sich die anderen Elemente der technologischen Sammlung bezogen, samt Stellen, an denen die Technologie im Rahmen des Gefäßes erfasst wurde (Boden, Bodenzone, Bauch, Hals, Ausguss oder Henkel), wodurch gegenseitige Korrelationen entstanden. Ziel war es, die technologischen Basistypen der analysierten Sammlung zu erfassen. Versuche, die Korrelationen der allgemein glatten, der rauen und der gerauten Außenfläche zusammenzustellen, zeigten eine Reihe von technologischen Informationen zur untersuchten Sammlung. In allen Fällen kam die Ziegelfarbe der Außenfläche recht zahlreich vor, obwohl meistens braun in verschiedenen Schattierungen und nur bei allgemein glatten Gefäßen vermerkt wurde. Mit Ausnahme beschädigter bzw. abgewischter Fragmente waren die Innenflächen hauptsächlich geglättet bzw. ziemlich glatt, sowohl bei äußerlich geglätteten als auch bei rauen und gerauten Gefäßen. In jeder der Gruppen waren homogene Bruchflächen mit mittelstarker Wandung am zahlreichsten, obwohl es auch bei allgemein glatten Gefäßen recht viele zweifarbige Fragmente gab. Die Gefäße sind meist aus Tonbändern getöpfert. Wenn es um den Gefäßbrand geht, überwiegte das halbreduktive/halboxidative Brennen, obwohl bei allgemein glatten Gefäßen auch der Reduktionsbrand recht signifikant war. Bei allen Basistypen traten Sand und Glimmer als kühlende Beimischung am häufigsten auf, obwohl auch rosa und weißer Steinschlag mit unterschiedlichen Körnungsgraden verhältnismässig oft vorkam.

Unter Berücksichtigung aller Erkenntnisse aus der Analyse des untersuchten Keramikmaterials der Lausitzer Urnenfelderkultur, unter Nutzung der vorhandenen Analogien in Raum und Literatur, schloss sich die Chronologie des analysierten Materials in der jüngeren Bronzezeit, zunächst in V EB, und veraltete dann (durch einige Gefäßbeispiele) in größerer oder kleinerer Form in der Hallstattzeit.

Das präsentierte Material war ein wichtiger Beitrag zur Ermittlung der Urgeschichte des besprochenen Gebietes und zur Erweiterung des Forschungsstandes. Besonders wichtig war der Ort, an dem das beschriebene keramische Material deponiert wurde: das absolute Zentrum der Stadt, wo es angesichts der dichten Bebauung grundsätzlich seit dem frühen Mittelalter schwierig fiel, gut erhaltene Spuren von älteren Siedlungen zu finden.

Tabela 1. Stargard, Stare Miasto, kwartał IX. Cechy mikro-, makro- i zdobienia analizowanej ceramiki społeczności łużyckich pól popielnicowych
Tabelle 1. Stargard, Altstadt, Quartier IX. Mikro- und Makromerkmale sowie Verzierungen der Keramik der Bevölkerung der Lausitzer Urnenfelderkultur

Lokalizacja: Ha/Ar/Cw.	Obiekt/Warstwa	Naczynie nr	Miejsce obróbki w obrębie naczynia						Typ mikromorfologiczny wylewu	Typ mikromorfologiczny dna	Typ mikromorfologiczny ucha	Kategorie naczyniowe									Typ w danej kategorii naczynia	Dekoracja						Razem
			Wylew	Szyjka	Brzus.	Przyd.	Dno	Ucho				Garnek	Waza	Dzban	Misa	Kubek	Czarka/nacz. Miniat.	Naczynie sitowate	Talerz	Talerz krążkowaty		Element dekoracyjny	Wątek dekoracyjny	Motyw dekoracyjny	Miejsce umieszczenia motywu dekoracyjnego	Liczba fragmentów zdobionych	Typ zdobienia	
85/R/Kw/M, 28 Radestrasse	1	1	9	3	85		1		W.19	D.4			1									żłobienie, rycie	m.in. trójkąty (wiszące?)		B	4	II A, IVA, XVIA	98
		2			15	1						1																16
		3	1		10				W.31			1																11
		4			9			1			U.5																	10
		5	3				1	1	W.31	D.9	U.4					1												5
		6	2	3	12	1		1	W.34		U.9						1					linia żłobienia			S/B	1	IC	19
		7	2		2				W.40								1					linia żłobienia			S/B	1	IC	4
		8	1						W.74						1													1
		9	4		10				W.98										1		talerz kopanicki	szerokie żłobienie			W/S/B	3	XIXD	14
		10	3		5	1	1		W.108	D.4					1						M12?	drobne dołki paznokciowe	pozioma dookolna linia z dołków biegnących ukośnie jeden za drugim		K	1	XV	10
		11						1			U.3																	1
		12			1																							1
		13	3		10		11		W.113	D.17		1									G11-13?	3 linie ryte			W	3	IC	24
43/GM/Kw/M, GM 33	3	1	2		20		1	1	W.29	D.16	U.5	1									G31?							24
		2	4	7	134		1		W.33	D.5		1									G42	karbowanie krawędzi odciskami paznokciowymi			W- krawędź	4	XV	146
		3	4	2	45	3	1	4	W.34	D.7	U.4	1									G42							59
		4	3	4	42	1	1	x	W.31	D.4	U.5	1									G42							51
		5	2	1	9				W.8			1									G51							12
		6	1		3		2		W.8	D.28																		6
		7	2		3		2		W.50	D.11																		7
		8			3		1			D.9																		4
		9			4																	ukośne rzędy dołków palcowych			B	4	XV	4
		10	2		32				W.72						1						M21a	2 odciski paznokciowe			W	1	XV	34
		11	2		2			1	W.81		U.2				1						M21b?	plastycznie uformowana krawędź w wystające trójkąty; ukośne linie ryte	linie krzyżujące się w szachownicę	ornament plastyczny i ryty	K; W; W-B	4	XVIA, plastyczny	5
		12	1	5	3				W.43							1												9
		13	1	x	x				W.64							1					K11							1
		14	1	x	x				W.64							1					K22?							1
		15	2		4	1	1		W.47	D.4			1								W35?	ukośne rzędy dołków palcowo paznokciowych			B	3	XV	8
		16	1	x	x	x			W.31								1											1
		17	1						W.81						1						M21a?							1
		18	2	1	25				W.53																			28
		19	1		4	1	2		W.9	D.4				1							D14?	głębokie żłobienie	„trójkąty”		B do załomu	1	IVE	8
		20	2			1	1		W.62	D.6				1							D12?							4
		21	2		7				W.5					1							D11?	pozioma linia ryta			przejście S w B	2	IC	9
		22	1						W.63								1											1

43/GM/Kw/M, GM 33	3	23	1						W.23								1											1
		24			1																	pozioma linia żłobienia			B	1	IC	1
		25		1	2																	lekko ukośne linie ryte			B	3	XVIA	3
		26			1		1			D.21							1											2
		27	2						W.56								1											2
		28		2	4																							6
		29			1																							1
		30					1			D.19							1					drobne odciski paznokciowe					XV	1
		31						1			U.5																	1
4/R/Kw/M, 28 Radestrasse	12	1	24	5	2298	5	14		W.47	D.15		1										G31						2346
		2	2	15	276			2	W.17		U.8	1										G31?	obmazywanie palcowe	obmazywanie palcowe pionowe i poziome całej powierzchni		cała powierzchnia	201	XVID	295
		3	13	6	294	3	2		W.46	D.7		1										G31	odciski palcowe na całej krawędzi wylewu; obmazywanie palcowe	odciski palcowe lub/i paznokciowe; obmazywanie pionowe całej powierzchni		W – krawędź; cała powierzchnia	13; 177	XV, XVID	318
		4	22	17	1192		2		W.38	D.6		1										G31						1233
		5	23	8	361	2	2		W.43	D.9		1										G31						396
		6	5	5	70				W.43			1										G31	odciski paznokciowe na krawędzi wylewu	ornament paznokciowy		W - krawędź	3	XV	80
		7		6	267	4	3			D.13			1									W26?						280
		8	3	3	111	3	3		W.31	D.6		1										G31						123
		9	1	12	179	4	1		W.21	D.9			1									W52						197
		10		5	29		1			D.9			1															35
		11		8	33								1									W24?						41
		12		6	35								1									W51?						41
		13		2	26		2			D.12			1									W52						30
		14	5	6	23		1		W.52	D.14			1									W51	poziome, szerokie żłobienie, czy ślady obmazywania palcowego	pionowe kanelury, 3 w wątku		B	2	XVID	35
		15		77	220								1															297
		16	1		78	4	5		W.48	D.17		1																88
		17		8	18								1										poziome, szerokie żłobienie, czy ślady obmazywania palcowego	pionowe kanelury, 3 w wątku		B	1	XVID	26
		18		16	33		1			D.9			1															50
		19	1		48	1	3		W.8	D.4		1										G51						53
		20			25		3			D.11																		28
		21	2		47				W.36			1										G31						49
		22	4	3	177		1	2	W.8	D.19	U.4	1										G31						187
		23	18	9	104			1	W.43		U.4				1							M12						132
		24	14	1	77	2		2	W.9		U.9			1								D61-62?						96
		25	15		138	2			W.86						1							M11b						155
		26	5	1	8	1		2	W.39		U.9					1						K21						17
		27	1		8			1	W.43		U.4					1						K21?						10
		28	2		25			1	W.34		U.4					1						K22?						28
		29	12	4	113	4			W.49							1						K11						133
		30	6		137				W.39							1												143
		31	7		154	2	2	1	W.44	D.6	U.2					1												166
		32	14	2	82				W.43							1						K11?						98

4/R/Kw/M, 28 Radestrasse	12	33	10		29		2		W.9	D.4		1									G51							41
		34	7		7	5	1		W.43	D.9		1									G32?							20
		35			13																							13
		36	1		16				W.47			1									G22?							17
		37	2		10		1		W.8	D.9																		13
		38	1		6		1		W.15	D.18																		8
		39			9																							9
		40			19																							19
		41	8		75				W.45													odciski palcowe	odciski palcowe dookolne na krawędzi wylewu		K	8	XV	83
		42			24			2			U.9	1																26
		43	1		29		3		W.38	D.4																		33
		44		2	5	2																						9
		45			4																							4
		46			4		1			D.12																		5
		47	2		6				W.20																			8
		48			15																							15
		49			8	1																						9
		50	1		9				W.31																			10
		51	4						W.47																			4
		52	4						W.32																			4
		53	4						W.31																			4
		54	1						W.31																			1
		55	1						W.4																			1
		56	1						W.38																			1
		57	2						W.49								1											2
		58	1						W.44								1											1
		59	1						W.103								1											1
		60	3						W.112											1	S51							3
		61					2			D.2																		2
		62					2			D.9																		2
		63					1			D.2																		1
		64					1			D.4																		1
		65					1			D.29																		1
		66						1			U.9																	1
		67						2			U.2																	2
		68						3			U.12																	3
		69						2			U.11																	2
		70						2			U.2																	2
		71						2			U.2																	2
		72						1			U.1																	1
		73			3																							3
		74			24																							24
		75			20																							20
		76			7		1			D.8																		8
		77			5																							5
		78			11	1	1			D.9																		13
		79					2			D.12																		2
		80			1		1			D.19																		2
		81			22		2			D.9																		24

4/R/ Kw/M, 28 Rade-strasse	12	82			2		1			D.12																		3
		83			1	1	1			D.4																		3
		84					1			D.12																		1
		85					1			D.4																		1
		86			1		1			D.4																		2
		87					1			D.9																		1
		88			2																							2
		89					1			D.9																		1
		90			1														1		talerz kopanicki	3 linie żłobienia	żłobienie dookolne	szerokie żłobienie dookolne	B, wewnątrz	1	XIXD	1
		91					1			D.2																		1
		92			1																							1
		93					1			D.4																		1
		94					9			D.5																		9
		95			5																							5
		96		2	4								1															6
		97	24	32	21				W.19				1								W31, W23-25?	1 linia żłobienia	żłobienie dookolne	szerokie, płytkie żłobienie dookolne	S/B	5	IC	77
		98	22	20					W.2				1								W31, W23-25?							42
		99	40	30					W.25				1								W32a?							70
		100	9	8					W.20				1															17
		101	6	7					W.19				1															13
		102	15	4					W.19				1															19
		103	28	3					W.19				1								W26?	1 linia żłobienia	żłobienie dookolne	szerokie, płytkie żłobienie dookolne	S/B	2	IC	31
		104	15		5				W.52				1															20
		105	17	4					W.43					1							D14?							21
		106	21						W.19				1															21
		107	17	3					W.69				1								W13?							20
		108	10					1	W.43		U.9			1							D14?							11
		109	5	9	21				W.45				1								W24b	1 linia żłobienia	żłobienie dookolne	wąskie, płytkie żłobienie dookolne	S/B	5	IC	35
		110	16	4				1	W.59		U.5					1					M61							21
		111	4					1	W.59		U.9					1					M61							5
		112	3		5		1	1	W.73	D.9	U.5				1						M11	linie ryte	przecinające się linie ryte tworzące pola rombów	pola linii rytych w szachownicę	B	4	VI	10
		113	5	15	127				W.28				1								W32a?	1 linia żłobienia	żłobienie dookolne	szerokie, płytkie żłobienie dookolne	S/B	4	IC	147
		114	1	1	1				W.43					1							D12-14?	linia ryta pozioma dookolna	rycie lub żłobienie dookolne poziome		S/B	1	IC	3
		115	1	6	6				W.31					1							D12-14?	1 linia żłobienia	żłobienie dookolne	wąskie, płytkie żłobienie dookolne	S/B	3	IC	13
		116		7	20									1							D12-14?	linia ryta pozioma dookolna	rycie lub żłobienie dookolne poziome		S/B	4	IC	27
		117		1			1	1		D.9	U.4			1														3
		118	3		4			1	W.41		U.4					1					K12							8
		119		1									1								W24b?							1
		120	2				1		W.43	D.20							1					linia ryta pozioma dookolna	rycie lub żłobienie dookolne poziome		S/B	1	IC	3
		121			2																							2
		122			3																							3
		123			5		12			D.11								1										17

4/R/Kw/M, 28 Radestrasse	12	124		7			2	1		D.6	U.6			1							D11?							10
		125			2										1						M21?							2
		126	1	1				2	W.43		U.4			1							D12?							4
		127			1			x			U.4					1						linia ryta pozioma dookolna	rycie lub żłobienie dookolne poziome		S/B	1	IC	1
		128			1			x			U.9					1						linia ryta pozioma dookolna	rycie lub żłobienie dookolne poziome		S/B	1	IC	1
		129			3																							3
		130	1		18			1	W.43		U.4					1					K21?	szczypane odciski palcowo - paznokciowe	dołki palcowo - paznokciowe	linie pionowe z rzędów dołków palcowo - paznokciowych	B	13	XV	20
		131	10	4				3	W.43		U.4			1							D12?							17
		132	13		7				W.23				1															20
		133			2												1					linie ryte	rycie lekko ukośne	odchodzące ukośnie rzędy linii rytych jakimś narzędziem	B	2	IVA	2
		134	1		1				W.61						1						M21?							2
		135		1	3												1					dołki paznokciowe	pojedyncze odciski paznokciowe		S	4	XV	4
		136	1						W.106								1											1
		137	1						W.65						1						M11							1
		138	1	1	1				W.16							1					K12?	linia ryta pozioma dookolna	rycie lub żłobienie dookolne poziome		S/B	1	IC	3
		139	19						W.110										1		talerz kopanicki	szerokie żłobienie dookolne	3 linie koncentrycznego, szerokiego żłobienia	wewnętrzna, płaska, szeroka część krawędzi, motyw solarny?	K	19	XIXD	19
		140	2	6	8	1	5	1	W.58	D.18	U.7					1					K71b							23
		141			31	1	2			D.9					1							lekko łukowate lub proste linie ryte wykonane grzebykiem	wątki po 6-8 linii rycia	szrafowanie powierzchni grzebykiem	B	27	XVIA	34
		142	11						W.89						1						M12?							11
		143	3		1			1	W.82		U.1				1						M12-M61?							5
		144	1		1	1	1	x	W.109	D.25	U.1								1		talerz kopanicki	koncentryczne głębokie linie żłobienie na wewnętrznej stronie brzuścia i dna oraz żłobienie ukośne na wewnętrznej stronie krawędzi wylewu	szerokie linie jedna za drugą zmniejszające się, tworząc koliste kręgi	motyw solarny?	K, B, D	4	XIXD	4
		145	1					x	W.87		U.1				1						M12?							1
		146	2						W.92						1						M12?	lekko łukowate lub proste linie ryte wykonane grzebykiem lub wiechciem?	gęste wątki bez przerw	szrafowanie powierzchni grzebykiem lub wiechciem	B	1	XVIA	2
		147	1					1	W.107		U.8				1						M12?							2
		148	3	1					W.107						1						M12?							4
		149	2		4		1		W.85	D.11					1						M21a?	drobne linie ryte wykonane jakimś narzędziem lub wiechciem?	siatka przecinających się linii?	szrafowanie powierzchni	S	6	XVIA	7
		150	1	1					W.73						1						M12?							2
		151	3	1					W.76						1						M12?							4
		152	2	2	2				W.74						1						M21a?							6
		153	1	1	1				W.75						1						M12?							3
		154	4	1	2				W.75						1						M21a?							7
		155	10	4	22	3	2		W.93	D.9					1						M12?							41

4/R/Kw/M, 28 Radestrasse	12	156	2	6	11			1	W.73		U.2				1						M21b?							20
		157		1													1											1
		158	5						W.91						1													5
		159	5						W.88								1											5
		160	11						W.73						1													11
		161		6													1											6
		162	9						W.99						1													9
		163	10						W.85						1													10
		164	3						W.105						1													3
		165	11						W.105						1													11
		166	9						W.101						1													9
		167		4											1													4
		168	8						W.71						1						M21a?							8
		169	6	4	4				W.31							1					K22?	żłobione lub ryte linie pionowe i ukośne układające się w wątki	wątki jodełek, drzewek?	motyw roślinny	B	14	VI	14
		170			48																	żłobione lub ryte linie pionowe i ukośne przecinające się	pola trójkątów i czworokątów z przecinających się linii	szrafowana powierzchnia układająca się w pola	B	48	XVIA	48
		171			18	2																drobne ukośnie biegnące linie ryte	chyba jeden wątek na całości powierzchni	ornament ryty	B	20	IVA	20
		172		2	25			1			U.5						1					drobne ukośnie biegnące linie ryte	wątki otwartych trójkątów z wierzchołkiem u góry i linie krzyżujące się	ornament ryty, trójkąty, może jodełka	B	28	VI	28
		173			2																	głębokie (pół)koliste żłobienie i linia ryta	żłobienie koliste	motyw postguzowy	B	2	XIB?	2
		174	1						W.94													2 linie żłobienia (ryte) na wewnętrznej stronie płaskiego kołnierza wylewu			K	1	IC	1
		175			6										1							pozioma linia żłobiona a pod nią linie biegnące ukośnie	linie ukośne w wątkach po kilka	wiszące trójkąty?	B	6	IVA	6
		176		9	39										1							pozioma linia żłobiona a pod nią linie biegnące ukośnie	linie ukośne w wątkach po kilka	wiszące trójkąty?	B	33	IVA	48
		177			9																	pozioma linia żłobiona a pod nią linie biegnące ukośnie	linie ukośne w wątkach po kilka		B	9	IVA	9
		178			1																	2 linie pionowego lub lekko ukośnego żłobienie			B	1	IVA	1
		179		2	68												1					pozioma linia żłobiona a pod nią linie biegnące ukośnie	linie ukośne w wątkach po kilka	wiszące trójkąty?	B	50	IVA	70
		180		4	34										1							pozioma linia żłobiona a pod nią linie biegnące ukośnie	linie ukośne w wątkach po kilka	wiszące trójkąty?	B	30	IVA	38
		181		2	47								1									pozioma linia żłobiona a pod nią linie biegnące ukośnie	linie ukośne w wątkach po kilka	wiszące trójkąty?	B	49	IVA	49
		182		5	43								1									przecinające się linie biegnące ukośnie wykonane jakimś narzędziem lub wiechciem	linie ukośne przecinające się w pola	szrafowanie wiechciem?	B	40	XVIA	48

4/R/Kw/M, 28 Radestrasse	12	183					1			D.26									1		talerz kopanicki	koncentryczne głębokie linie żłobienie na wewnętrznej stronie dna	szerokie linie jedna za drugą zmniejszające się, tworząc koliste kręgi	motyw solarny?	D	1	XIXD	1
		184			1														1		talerz kopanicki	koncentryczne głębokie linie żłobienie na wewnętrznej stronie brzuścia i chyba dna	szerokie linie jedna za drugą zmniejszające się, tworząc koliste kręgi	motyw solarny?	B, D	1	XIXD	1
		185			1																	szerokie, płytkie, skośne żłobienie	kanelury	kanelury	B	1	XIVA	1
		186			1																	żłobienie, czy rycie ukośne	widoczne 2 linie w wątku		B	1	IVA	1
		187		2	2								1									2 linie żłobienia, czy rycia poziomego dookolnego			S/B	4	IC	4
		188			2								1									żłobienie półkoliste	linie płytkie, z dość dużymi przerwami		B	2	IVA	2
		189			1																	żłobienie poziome i ukośne	1 linia żłobienia poziomego, pod nią ukośna		B	1	IVA	1
		190		2	3																	żłobienie poziome	widoczne 2 lub 3 linie w wątku		B	5	IC	5
		191			23																	gęste, ukośne, niekiedy krzyżujące się rycie wykonane chyba grzebykiem	gęste wątki bez przerw	szrafowanie powierzchni zewnętrznej	B	23	XVIA	23
		192			5										1						M21?	ukośne linie ryte	rycie dość gęste, jedna linia rycia za drugą		B	5	XVIA	5
		193	1						W.111										1		talerz kopanicki	szerokie żłobienie półkoliste	żłobienie na wewnętrznej stronie, wychylonej krawędzi wylewu		K	1	XIXD	1
		194			2																	szerokie żłobienie ukośne	wątek linii ukośnego żłobienia brzuśca		B	2	IVA	2
		195		1																		1 linia poziomego żłobienia dookolnego			S	1	IC	1
		196			8												1					1 linia poziomego żłobienia dookolnego			S/B	8	IC	8
		197			1												1					1 linia poziomego żłobienia dookolnego			S/B	1	IC	1
		198			2												1					1 linia poziomego żłobienia dookolnego			S/B	2	IC	2
		199			1												1					1 linia poziomego żłobienia dookolnego			S/B	1	IC	1
		200			1												1					1 linia poziomego rycia dookolnego			S/B	1	IC	1
		201	4						W.12										1		talerz kopanicki	listwa plastyczna i szerokie żłobienie poziome	na szerokiej krawędzi wylewu	ornament plastyczny i żłobiony	W	3	plastyczny, XIXD?	4
		202	6					x	W.18		U.4								1		talerz kopanicki	listwa plastyczna i być może szerokie żłobienie poziome	na szerokiej krawędzi wylewu	ornament plastyczny i żłobiony	W	2	plastyczny, XIXD?	6
		203	8						W.43				1															8
		204	6	4					W.31					1							D21?							10
		205	7	2				1	W.43		U.5			1							D12?							10
		206	3					1	W.43		U.9						1					1 linia poziomego rycia dookolnego			S/B	1	IC	4
		207	2						W.67					1							D14?							2
		208	16						W.43							1												16
		209	13						W.50					1							D14?							13

4/R/ Kw/M, 28 Rade-strasse	12	210	17						W.57					1							D14?							17
		211			1																	1 linia poziomego rycia dookolnego			S/B	1	IC	1
		212		1																		1 linia poziomego żłobienia dookolnego			S/B	1	IC	1
		213			1																	1 linia poziomego żłobienia dookolnego			S/B	1	IC	1
		214	4						W.60					1							D14?							4
		215	3						W.60					1							D14?							3
		216	15	4					W.31					1							D14?							19
		217	3					1	W.31		U.4			1							D14?							4
		218	10	3					W.19				1															13
		219	2					1	W.63		U.4					1					K21?							3
		220	3						W.84						1						M21?							3
		221	4						W.68						1													4
		222	7	1					W.44							1												8
		223	8						W.43								1											8
		224	7						W.99						1													7
		225	3	1					W.4																			4
		226	1					x	W.43		U.5						1											1
		227	7						W.86								1											7
		228	4						W.8																			4
		229	5						W.38																			5
		230	6						W.31																			6
		231	5						W.47																			5
		232	8						W.43																			8
		233	5						W.70						1							wypustki po plastycznej dekoracji wylewu?		ornament plastyczny?		4	plastyczny	5
		234	4						W.83						1						M21							4
		235	11						W.43								1											11
		236	6						W.102						1							wypustki plastycznej dekoracji wylewu	wypustki- rożki po dwa w wątku wyciągnięte od krawędzi wylewu	ornament plastyczny		2	plastyczny	6
		237	8	1					W.60								1											9
		238					1			D.4							1											1
		239	9						W.19																			9
		240	5						W.55																			5
		241	7						W.65								1					3 linie żłobienia ukośnego	fragment wątku wiszących trójkątów?	ornament żłobienia		1	IVA?	7
		242	3						W.66						1													3
		243	5						W.56					1							D13?							5
		244	4						W.91						1													4
		245	2						W.90																			2
		246	7						W.1																			7
		247	6						W.30																			6
		248	4						W.43																			4
		249	5						W.95						1													5
		250	1						W.54																			1
		251		2	97	3																						102
		252		8	117																							125
		253			78	2																						80
		254		9	81	4																						94

4/R/Kw/M, 28 Rade-strasse	12	255			22		1			D.4																		23
		256			186	8																							194
		257		25	96	1																							122
		258			25	1																							26
		259			13																								13
		260		2	39																	linia ryta pozioma dookolna	rycie lub żłobienie dookolne poziome		S/B	5	IC	41
		261		47	576																							623
		262		29	253																	1 linia żłobienia	żłobienie dookolne	wąskie, płytkie żłobienie dookolne	S/B	10	IC	282
		263		8	25																							33
		264			19																							19
		265			2																							2
		266			3																							3
		267		2	43																							45
		268			33																							33
		269			132								1									2 linie żłobione	żłobienie dookolne	wąskie, płytkie żłobienie dookolne	B	2	IC	132
		270			59																							59
		271		3	13																							16
		272			15																	linia ryta pozioma dookolna	rycie lub żłobienie dookolne poziome		S/B	1	IC	15
		273			17																							17
		274			12																							12
		275			3																							3
		276		2	1																							3
		277			3										1													3
		278		2	11																							13
		279		1	2																							3
		280		1	2																							3
		281		5	12																	linia ryta pozioma dookolna	rycie lub żłobienie dookolne poziome		S/B	2	IC	17
		282			15																							15
		283		2	11																							13
		284			11																							11
		285			4																							4
		286			5																							5
		287			3																							3
		288			3																	linia ryta pozioma dookolna	rycie lub żłobienie dookolne poziome		S/B	1	IC	3
		289			11																							11
		290			10																							10
		291			10																							10
		292			21																							21
		293			4																							4
		294			3																							3
		295			15																							15
		296			10																							10
		297		1	2																							3
		298		6	7																	linia ryta pozioma dookolna	rycie lub żłobienie dookolne poziome		S/B	3	IC	13
		299			8																							8

4/R/Kw/M, 28 Rade-strasse	12	300			5																							5
		301	1		5				W.8																			6
		302			2																							2
		303			24																							24
		304		1																								1
		305		1													1											1
		306	3						W.32																			3
		307	13						W.44																			13
		308	10						W.30																			10
		309	4						W.22																			4
		310	17						W.39																			17
		311	10						W.43								1											10
		312	20						W.35								1											20
		313	8						W.106						1						M12?							8
		314	9						W.31								1											9
		315	4						W.7																			4
		316	15						W.31								1											15
		317	11						W.31								1											11
		318	21						W.47																			21
		319	17						W.32																			17
		320	13						W.50																			13
		321	20						W.100								1											20
		322	40		16				W.31								1											56
		323	13						W.6																			13
		324	8						W.42																			8
		325	8						W.24																			8
		326	8	1					W.42																			9
		327	10						W.23																			10
		328	14		2				W.8																			16
		329	9		6				W.11						1													15
		330	9						W.47																			9
		331	10						W.39																			10
		332	9						W.37							1												9
		333	21						W.43																			21
		334	13						W.43																			13
		335	20	4					W.38								1											24
		336	19						W.43																			19
		337	22	2	4				W.44																			28
		338	22	2	6				W.51																			30
		339					1			D.20																		1
		340					1			D.19																		1
		341					1			D.20																		1
		342					1			D.23																		1
		343					3			D.24																		3
		344					1			D.19																		1
		345					1			D.19																		1
		346					1			D.23																		1
		347					1			D.23																		1
		348					1			D.27																		1
		349					1			D.21																		1

4/R/Kw/M, 28 Rade-strasse	12	350					2			D.24																		2
		351					1			D.24																		1
		352				1	1			D.16																		2
		353					1			D.22																		1
		354					1			D.4																		1
		355				2	1			D.16																		3
		356				4	11			D.21																		15
		357				4	6			D.16																		10
		358					1			D.11																		1
		359				1	1			D.4																		2
		360				10	1			D.9																		11
		361					2			D.16																		2
		362				3	6			D.5																		9
		363					2			D.1																		2
		364					1			D.4																		1
		365				3	8			D.10																		11
		366				5	5			D.16																		10
		367					5			D.9																		5
		368				3	3			D.5																		6
		369				1	2			D.2																		3
		370				1	2			D.6																		3
		371				1	1			D.11																		2
		372				2	1			D.22																		3
		373					1			D.15																		1
		374					1			D.11																		1
		375					1			D.9																		1
		376					1			D.9																		1
		377				2	2			D.5																		4
		378				1	3			D.5																		4
		379					4			D.7																		4
		380				4	2			D.9																		6
		381					1			D.4																		1
		382					1			D.1																		1
		383				1	1			D.9																		2
		384					5			D.17																		5
		385					4			D.1																		4
		386					4			D.12																		4
		387				10	17			D.16																		27
		388				5	2			D.4																		7
		389				1	2			D.4																		3
		390					2			D.4																		2
		391				1	2			D.16																		3
		392					1			D.6																		1
		393					3			D.8																		3
		394					3			D.1																		3
		395					3			D.4																		3
		396					1			D.6																		1
		397					3			D.1																		3
		398					1			D.17																		1
		399					2			D.4																		2

4/R/ Kw/M, 28 Rade-strasse	12	400					5			D.5																		5
		401					3			D.3																		3
		402					3			D.4																		3
		403					1			D.4																		1
		404					1			D.11																		1
		405					1			D.6																		1
		406					5			D.5																		5
		407					1			D.2																		1
		408					1			D.11																		1
		409				1	2			D.6																		3
		410					7			D.16																		7
		411					1			D.4																		1
		412					1			D.16																		1
		413					2			D.4																		2
		414					2			D.6																		2
		415				1	3			D.9																		4
		416					3			D.19																		3
		417					1			D.9																		1
		418					1			D.4																		1
		419					1			D.9																		1
		420					1			D.4																		1
		421					1			D.2																		1
		422					1			D.2																		1
		423				6	5			D.4																		11
		424				11	20			D.9																		31
		425		26	466																							492
		426	1		133				W.26				1															134
		427		2	9																							11
		428			9																							9
		429	1	14	87				W.13					1														102
		430			13																							13
		431		2	5	1	1			D.11			1									owalny/soczewkowaty guzek	jeden lub może dwa guzki imitujące uszka?	ornament plastyczny	B	1	plastyczny	9
		432			39																							39
		433			33																							33
		434			6																							6
		435			5																							5
		436			5																							5
		437			13																							13
		438			6	2	1			D.11																		9
		439			8																							8
		440			45																							45
		441			14		1			D.4																		15
		442			4		1			D.6																		5
		443			5																							5
		444	1	3	12				W.43																			16
		445	1	2	3				W.32								1											6
		446			8																							8
		447	1		29		1		W.11	D.11																		31
		448			7		1			D.7		1																8

4/R/ Kw/M, 28 Rade-strasse	12	449				5																						5
		450					4			D.4																		4
		451		4	4												1											8
		452			10																							10
		453		3	13																							16
		454	1		42		1		W.23	D.5																		44
		455			10																							10
		456		7	28																							35
		457	1	3	4				W.43																			8
		458			5																							5
		459			2	2	4			D.9																		8
		460			5		1			D.1																		6
		461			6																							6
		462	2	16	317				W.21																			335
		463	4						W.95						1													4
		464	3						W.96						1													3
		465	1						W.80						1													1
		466	4						W.97						1													4
		467	3	2	2				W.73						1													7
		468	3						W.96								1											3
		469	3						W.78								1											3
		470	4	1					W.73								1											5
		471		1	1										1													2
		472			1										1													1
		473	8						W.86						1													8
		474	3						W.79								1											3
		475	4						W.104								1											4
		476	4						W.99								1											4
		477	1						W.77						1													1
		478	5						W.97																			5
		479	10						W.19				1															10
		480	4						W.31																			4
		481	5						W.9																			5
		482	3						W.3																			3
		483	4						W.36																			4
		484	6						W.31																			6
		485	4						W.27																			4
		486	3						W.39																			3
		487	4						W.43																			4
		488	9						W.2																			9
		489	4						W.15								1											4
		490	5						W.38																			5
		491	5						W.38																			5
		492	7						W.51																			7
		493	6						W.42								1											6
		494	4						W.8																			4
		495	7						W.14								1											7
		496	3						W.47								1											3
		497	4						W.43																			4
		498	6						W.43								1											6

4/R/ Kw/M, 28 Rade-strasse	12	499	3						W.10																			3
		500	6						W.95								1											6
		501					8			D.11																		8
		502					1			D.9																		1
		503					2			D.6																		2
		504					2			D.4																		2
		505					4			D.6																		4
		506					3			D.9																		3
		507					1			D.2																		1
		508					2			D.9																		2
		509					2			D.5																		2
		510					3			D.2																		3
		511					1			D.19																		1
		512					1			D.27																		1
		513					1			D.19																		1
		514					1			D.20																		1
		515					2			D.1																		2
		516						2			U.10			1														2
		517						2			U.11			1														2
		518						2			U.4			1														2
		519						3			U.10			1														3
		520						1			U.4																	1
		521						2			U.13			1														2
		522						2			U.11			1														2
		523						2			U.4			1														2
		524						2			U.10																	2
		525						2			U.4					1												2
		526						1			U.13			1														1
		527						2			U.4			1														2
		528						1			U.14											żłobienie lub rycie	2 linie dość głębokiego żłobienia pionowego	żłobienie lub rycie	ucho	1	żłobienie ucha	1
		529						3			U.4																	3
		530						3			U.13																	3
		531						3			U.14											żłobienie lub rycie	3 linie żłobienia pionowego		ucho	3	żłobienie ucha	3
		532						2			U.13																	2
		533						3			U.13																	3
		534						1			U.4											żłobienie lub rycie	linia żłobienia poziomego oraz 2 linie ukośne	zygzak, jodełka?	ucho	1	żłobienie ucha	1
		535						1			U.3															1		1
		536						4			U.4																	4
		537						1			U.9																	1
		538						2			U.4																	2
		539						1			U.4																	1
		540						1			U.11																	1
		541						7			U.13																	7
		542						1			U.4																	1
		543						1			U.5																	1
		544						5			U.4																	5
		545						2			U.13																	2

4/R/Kw/M, 28 Rade-strasse	12	546						4			U.3																	4
		547						1			U.4																	1
		548						1			U.4																	1
		549						4			U.3																	4
		550						2			U.8																	2
		551						1			U.2																	1
		552						3			U.10																	3
		553						2			U.4																	2
		554						2			U.4																	2
		555						3			U.4																	3
		556						1			U.9																	1
		557						7			U.3																	7
		558						1			U.4																	1
		559						1			U.4																	1
		560						1			U.3																	1
		561						1			U.13																	1
		562						1			U.9																	1
		563						1			U.9																	1
		564						3			U.8																	3
		565						2			U.5																	2
		566						2			U.3																	2
		567						2			U.4																	2
		568						1			U.4																	1
		569						1			U.10																	1
		570						1			U.4																	1
		571						2			U.4																	2
		572						2			U.5																	2
		573						5			U.10																	5
		574					5			D.9																		5
		575					5			D.4																		5
		576		54	3297	43																						3394
		577		10	861	8																						879
		578			96																							96
		579		16	886																							902
		580			534																							534
		581		14	201	5																						220
		582		7	152	5																						164
		583		16	298	7																						321
		584			83																							83
		585			253																							253
		586			96																							96
		587			66																							66
		588			48																							48
		589			44																							44
		590			28																							28
		591			11																							11
		592			21																							21

Tabela 2. Stargard, Stare Miasto, kwartał IX. Cechy technologiczne analizowanej ceramiki społeczności łużyckich pól popielnicowych
Tabelle 2. Stargard, Altstadt, Quartier IX. Technologische Merkmale der Keramik der Bevölkerung der Lausitzer Urnenfelderkultur

Lokalizacja: Ha/Ar/Św.	Obiekt/Warstwa	Naczynie nr	Powierzchnia zewnętrzna												Barwa powierzchni zewnętrznej														Powierzchnia wewnętrzna						Pow. wewn. angobowana	Grubość przełamu			Przełam			Technika lepienia		Rodzaj wypału			Rodzaj domieszki										Razem
			Gładka			Szorstka				Chropowacona				Zniszczona	Pow. zewn. angobowana	Szara				Kremowa			Brązowa						Powierzchnia wewnętrzna							Grubość przełamu			Przełam			Technika lepienia		Rodzaj wypału			Rodzaj domieszki										
			Matowa	Wyświec.	Gładzona	Szors/Sur.	Przecier.	Zanurzana	Obsypyw.	Miotełk.	Obrzucana	Obmazyw.				Jasnoszara	Szara	Ciemnosz.	Czarna	Jasnokrem.	Kremowa	Cegiasta	Jasnobrąz.	Brązowa	Ciemnobrąz.	Brunatna	Plamy	Wygładz. (połysk)	Gładzona	Surowa	Przecierana	Wtarta domieszka	Nieczytelna/ Zniszcz.		Cienkościen. < 0,5 cm	Średniogrubość. 0,5 do 1 cm	Grubościenn. > 1 cm	Jednorodny	Dwubarwny	Trójbarwny	Z wałków	Z taśm	Redukcyjny	Półreduk/półutlen	Utleniający	Organiczna	Tłuczeń kamienny biały		Tłuczeń kamienny różowy		Żwir	Szamot ceramiczny	Piasek	Mika	
85/R/Kw/M, 28 Radestrasse	1	1			60								38		2	2	8	6					40	2		2			90				8		2	95	1	96	2			98	30	68			98	68	50				98	98	98
		2									14	2			2	6	1			4		1	2					16						4	12	16			16	1	15			16	16					16	16	16
		3									11									2		6	3					11						11		11			11		11									11	11	11
		4				3		5					2	5		1					1	3	3					10						9	1	10			1	9		10									10	10	10
		5			5												3					2						5						4	1	5				5		5									5	5	5
		6			19												2					13			4			19					5	14		19		19			19			2		6				19	6	19
	1	7			4																	2	1		1			4					4			4			4		4									4	1	4
		8	1																				1					1						1		1			1		1									1	1	1
		9				14										1	3					3	7				4	10						14		14					14					14					14	14	14
		10	2		7	1												1		1	2		6					10						10		10			10		10									10	10	10
		11			1																		1					1						1		1			1		1									1	1	1
		12										1								1											1				1	1			1		1			1	1					1	1	1
		13											24																		24			5	19	14	10			24	24			2						24		24
43/GM/Kw/M, GM 33	3	1				2						22			1	20	1				2					1	21	1			1			2	22	24			24		24			24	24					24	24	24
		2	1			2					67		76			2	4				40		4	5	7	8	1	138				7			99	47	146			146	22	124			146	146		4			146	146	146
		3				6					45		8			2	4			12	23	2	2	3	3		7	44				8			57	2	59			59		59			12					59	59	59
		4				4	4				43				1	12			2	12	17	4	3					51						51		50		1	51		51		1	4	4		2		1	51	51	51
		5						12						12	1	6	1									4		12						12			12		12			12									12	12	12
		6						6						6					1	2	2	1						6						5	1		6			6		6						2			6	6	6
		7							7					7		5						2						7						7		7			7		7			7	7	7				7	1	7
		8	2			2														2		2						4						3	1		4		4		4			4						4		4
		9				4															4							4						4		4			4		4		1	4	4				1	4		4
		10		10	24									34			8	6							20			34						34		32	2		34	8	26		1	34						34	34	34
		11			4								1	4			2						1		1			5						5		5			5		5			5		5				5	5	5
		12						9						9		7						2						8		1				9		9			9	9					9	9		9	9	9	9
		13	1														1										1						1		1			1	1				1		1				1	1	1
		14			1												1												1					1			1		1			1						1		1
		15	8																	3		4		1		6	2						8		8			8		8		1	8		8				8	8	8
		16				1																	1						1					1		1			1		1					1				1		1
		17			1												1											1							1	1			1		1			1						1		1
		18		2	22						4					9	9						4		2	4	3	25						25	3	15	13			28		28			28	28		4			28	28	28
		19	7	1																		1	2		5			8						8			8			8		8									8	8	8
		20	1	1	2												2						1		1			4						4		2	2			4		4									4	4	4
		21		9										9			9									2	7						9			9			9		9									9	9	9
		22	1																			1					1					1				1		1		1									1	1	1
		23			1																		1					1						1		1		1		1									1		1
		24		1										1				1										1						1					1		1			1						1	1	1
		25	2			1															1	2					3						3		1	2			3		3									3	3	3

		26			2																		2					1	1						2		2				2		2									2	2	2
		27			2																		2				2								2		2				2		2									2	2	2
		28		6												6											6						6	2	4		6				6	6										6	6	6
		29	1																			1						1								1	1				1		1			1						1		1
		30			1												1												1						1		1				1		1									1		1
		31			1																			1				1								1		1			1		1					1				1	1	1
4/R/Kw/M, 28 Radestrasse	12	1				32					1764		550		6	589	13		2	13		21			1113	39	1300	393	29			624			1678	668	2145	168	33		2346	218	2128			2346	2346	2346	2346			2346	2346	2346
		2										241	54		44	192	4									1	238					57			205	90	295				295	295						295	295			295	295	295
		3										256	62			13			8	11	209	13				2	35	223				60			245	73	292	26			318		318			318		318			22	318	318	318
		4				33					1052		148		8	44	21		13	22	889	35	13		17	23		1102				131			1013	220	125	1075	33		1233		1233			1233	1233	1233	1233	112		1233	1233	1233
		5				5						323	68		1	4	3		8	11	253	32	12	2	2		175	156				65			383	13	346	40	10	392	4		396					396	396	1		396	396	396
		6										67	13								67						12	58				10			80		62	18		80			80			80		80				80	80	80
		7	1		7	2						224	46	3	18	44	14		5	12	42	44	8	3	33	11		233	3			44			241	39		280			280		280			280		280				280	280	280
		8			3	4						94	22		6	53	8			2	4				22	6		100	2			21			118	5	93	22	8	118	5	123						123	123			123		123
		9			16						158		23		12	97	39					5	2		12	7	42	132				23			176	21		26	171		197	197				197		197				197	197	197
		10			6						29					25	10											35							11	24	35				35		35			35		35				35	35	35
		11			14						27					10	2			3	3	4	16		2	1		41							37	4	37	4		41			41			41						41	41	41
		12			5						36				4	29									1	7		41							4	37	37	4			41		41		1	41		41				41	41	41
		13	2		2					2	23	1				20	2				2	6						30							6	24	28	2			30	22	8			30	30	30	30			30	30	30
		14		3	7			25						35		3					5	8	5	6	8		35								34	1	35			34	1		35			35						35	35	35
		15			104						153		40		12	132	1				17	32	53	3	7			193				104			110	187	297				297	297				297	297	297	297			297	297	297
		16					78						10								17	16	38	5	1	1	74	3	1			10	78		35	53	87		1		88		88		88	88						88	88	88
		17			7							19			1	7					6	4	8				10	16							8	18	8	18			26		26			26		26				26	26	26
		18			16						34				1	6	10			2		14	3	11	3			50							50		50				50	3	47			50						50	50	50
		19										53			2	47	2									2		53							49	4	53			49	4	49	4					53				53	53	53
		20				9			19						2	19	7											12	16						28		28			22	6	28						28				28	28	28
		21									37	12			2	20	3								24		35	12				2			10	39	49				49	11	38					49	49			49	49	49
		22									137	10	40			7					140							152				35			144	43	187				187		187					187				187	187	187
		23									112		20		11	74	10								17		109					23			10	122	132				132		132		6			132	132			132	132	132
		24				5					75		16								80						94					2			96		20	76		88	8		96			96						96		96
		25						122					33	122	2	120											123					32			155		155				155	155				155						155	155	155
		26						17						17			3				14						13	4							17		17			13	4		17			17						17	17	17
		27						10						10		3	3								4			10							10		10			8	2	10				10						10	10	10
		28				8		20						20		18					10							28							28			28			28	18	10			28						28		28
		29										105	28		1	43	4				46				6	5	93	22				18		9	124		133				133	60	73					133				133		133
		30				27		79					37	79		57						27			22			103				40			143		90	53		143			143					143	22			143	143	143
		31				18	4	104					40	94		4					117	5						138				28		6	160		142	24		159	7		165	1		166		166				166	166	166
		32				10					56		32			4					15	19	16		12			84				14		6	92		70	28		98			98			98						98	98	98
		33									41					29	2								10			41							41		14	27			41	24	17					41	41			41	41	41
		34						20						20	4	16												20							20		20				20		20			20						20	20	20
		35	2			11										12					1							13							13		4	9		13		3	10			13		13				13		13
		36								17					3					11		3						17							3	14	10	5	2		17		14	3	17	17	1	17				17	17	17
		37				10							3			5					2	2			1			10				3			13		13				13	7	6									13		13
		38							8					8						4					4		4	4							7	1	8			7	1		8			8						8		8
		39					7						2							1	2	4						4	4			1			3	6	9				9		9			9		9				9	9	9
		40						16					3	16		1					5	5	5					17				2			15	4	19				19		19			19		19	19			19	19	19
		41				22			51				10	51		4				4	57	8						67				16			83		39	44		83			83					83	83			83	83	83
		42										20	6												20			20	2			4			4	22	24		2		26	12	14			26	26	26	26			26	26	26
		43									25		8		5	15					4	1						33							33		1	32			33		33			33	33	33	33			33	33	33
		44								9															9			9							9		9				9		9			9	9	9				9	9	9
		45				4														4							4								4		4				4		4			4	4					4		4
		46				5										5												5								5	5				5	5						5	5			5		5
		47				8										1				5	2						8								8		7	1		8			8			8		8				8	8	8
		48				7	8									11	4											15							14	1	15				15	2	13					15	15			15	15	15

4/R/Kw/M, 28 Radestrasse	12	49				3	6														9							9							9		9			9			9					9				9		9
		50						10						10		2					7	1						10							10			10		10			10			10						10		10
		51										4				4											4								4		4				4	4				4	4					4		4
		52							4					4			4											4							4		4			4		4						4	4			4	4	4
		53							4					4									4				4								4		4				4		4			4						4		4
		54				1											1										1								1		1				1	1						1	1			1		1
		55				1										1												1							1		1			1		1				1						1		1
		56							1					1									1					1							1		1			1			1			1	1					1	1	1
		57						2						2		1	1										1	1						1	1		2				2	2				2						2	2	2
		58						1						1			1											1							1		1			1		1						1	1			1	1	1
		59							1					1								1						1						1			1			1			1					1				1		1
		60	3																		3								3							3			3		3		3					3			3	3	3	3
		61				2																		2				2								2	2				2	2				2	2	2	2			2	2	2
		62				2																			2			2								2	2				2	2				2	2	2	2			2	2	2
		63				1																			1				1							1			1		1	1				1	1					1	1	1
		64	1																							1		1							1		1				1		1			1		1				1	1	1
		65			1											1													1							1	1				1	1				1	1					1		1
		66	1																					1			1									1	1				1	1						1	1			1	1	1
		67						2						2										1	1				2							2			2		2	2						2	2			2	2	2
		68									3														3				3							3	3				3	3						3	3			3	3	3
		69				2										2													2						2		2				2	2								2		2	2	2
		70				2										2												2								2	2				2	2										2		2
		71				2										1					1								2						1	1	2				2		2					2	2			2		2
		72				1															1								1						1		1			1				1						1		1		1
		73						3						3		1					2							3							3			3			3		3			3						3	3	3
		74							24					24	1	6				7	10						24								24		24				24	24				24		24				24	24	24
		75			1				19					19							20							20							15	5	20				20		20					20	20			20		20
		76									8					1						2	5					8							8		8			2	6		8			8	8			8		8	8	8
		77				5										5												5							5		5				5	5						5				5	5	5
		78			2						11										4	9						13							5	8			13		13		13			13	13	13				13	13	13
		79				2															2								2							2	2				2	2				2	2	2	2			2		2
		80				1					1						2											2								2	2				2	2						2	2			2	2	2
		81			3				21					21		16					6	2						21	3						8	16		24			24		24			24	24	24	24			24	24	24
		82							3					3							1	1	1					1	2						3		3				3		3					3				3	3	3
		83									3										3							3							3		3				3		3					3	3		1	3	3	3
		84									1														1			1								1	1				1		1					1	1			1	1	1
		85				1																1						1								1	1				1	1						1	1			1	1	1
		86				2										1					1							2								2	2				2	1	1					2	2			2	2	2
		87			1																		1					1								1	1				1	1				1	1	1				1	1	1
		88				2															1		1					2							2		2				2	1	1			2						2		2
		89	1																					1				1							1		1				1	1						1				1		1
		90						1						1								1					1								1		1				1		1			1						1	1	1
		91				1										1											1									1	1				1	1						1				1	1	1
		92				1															1							1								1	1			1			1					1	1			1		1
		93				1															1							1								1	1				1	1				1	1	1	1			1	1	1
		94				9									6	3													9							9	9				9	9				9	9			9		9	9	9
		95						5						5											5			5							5			5		5			5			5						5	5	5
		96			4			2						6								6						6							6			6		6			6			3		6				6	6	6
		97			77									77			23					7	17	11	19		77								77				77		77		77					77				77	77	77
		98			42									42			5			1		3	16	7	5	5		42							42			42			42		42					42	42			42	42	42
		99			70																	11	19	6	17	17	43	27							70				70		70		70					70	70			70	70	70
		100			17																	6	10	1			17								17		17				17		17			17		17		17		17	17	17
		101			13									13			5									8	13								13		13				13	13				13						13	13	13
		102			19									19									11	4	4		19								19		19				19		19			19		19	19			19	19	19

4/R/Kw/M, 28 Radestrasse

12

103			31											6	6						9		9	1	31								31		31				31		31			31	31	31				31	31	31
104		20										20			10							2		8	20						20		20		20				20	20				20	20	20				20	20	20
105		21										21			19								1	1	21						21		21			21			21	21				21		21				21	21	21
106		21													15								6		21								21		21				21	21						21	21			21		21
107		20										20			2	6						12			20								12	8	20				20		20			20						20	20	20
108	5		6									6		1						2		2		6		11							11			11		9	2	11						11				11	11	11
109	2	31	2												5						1	20	3	6		35						7	28			35		35			35			35						35	35	35
110			21																		13	6		2	21								21		21			21			21			21		21				21	21	21
111	3		2									2		3							1	1			5								5			5			5		5			5						5	5	5
112	10													3	3				4						10						10		2	8			10		10		10			10	10				1	10	10	10
113		147													87	37						14	9		147						147		147		147				147	147				147		147				147	147	147
114	3													2										1		3							3		3				3	3										3	3	3
115		13													2	9						2			13								13		13				13	13						13				13	13	13
116			27									27			27										27						27		27		26	1			27	27			2			27				27	27	27
117			3												1						1		1		3								3		3				3		3			3						3	3	3
118	4		4									8							4					4		8							4	4	8				8		8			8	8					8	8	8
119			1																				1		1								1		1				1		1			1	1					1	1	1
120			3																				3		3							2	1			3			3		3			3						3	3	3
121			2																			2			2								2			2			2		2									2	2	2
122			3									3			3											3							3		3			3		3				3						3	3	3
123	17													1						1	10	1		4		17							17		17				17	17						17				17	17	17
124			10									10			8							2				10							10			10			10		10			2		7				10	10	10
125			2																			2			2								2		2				2		2									2	2	2
126			4									4											4		2	2							2	2		4			4		4			4		4				4	4	4
127	1																					1				1							1			1			1		1									1	1	1
128			1												1											1							1			1			1		1					1				1	1	1
129	3														3										3								3			3			3		3					3				3	3	3
130	20													3	13									4	20						20		20		20			19	1		20					20				20	20	20
131			17									17			3	10						4				17							17			17			17		17			17		17				17	17	17
132			20												8						2	10			20								20			20			20		20					20				20	20	20
133			2									2			2											2						2				2			2	2										2	2	2
134			2																				2			2							2		2				2	2						2				2	2	2
135			4											4											2	2					1		4		4			4		4				4		4				4	4	4
136			1												1										1							1			1				1	1										1	1	1
137			1																				1		1								1		1			1		1				1						1	1	1
138	1		2									3												3		3							3		3				3	3				3						3	3	3
139		19										19		19											19						19		19		19				19	19						19	19			19		19
140			23									23			3						6	8	3	3	23						23		23		23				23	23										23	23	23
141	34													34											34						34		34		34				34	34						34	34			34		34
142	3		8											3	8										11								11		11				11	11				11		11				11	11	11
143						5						5			3				2						5								3	2			5		5		5					5	5			5		5
144						4						4		1					3						1	3					1		4		4				4	4						4				4	4	4
145	1													1											1						1			1	1				1		1					1				1	1	1
146	2													2											2						2		1	1		2			2		2			2		2				2	2	2
147	1		1												1									1		2							2		2				2	2						2				2	2	2
148			4												1							3			4								3	1	4				4	4				4		4				4	4	4
149	7													5	2											7							5	2	7				7	7						7	7			7		7
150						2						2		1									1		2								2		2				2	2						2	2			2	2	2
151	1			3																	3	1				4							3	1			4		4		4			4		4			4	4		4
152	1			5											1				2	2	1				6						6		5	1		3	3		6		6			6	6	3	3			6	4	6
153			3													1						2			3								3		3				3	3				3	3					3	3	3
154	5		2												2							5			2	5							7				7		7		7			7		7			7	7	7	7
155					41							41										41			41						41		41		41				41	41				41	41	41				41	41	41
156						20						20		16	3						1				20						20		20		20				20	20				20		20				20	20	20

4/R/Kw/M, 28 Radestrasse	12	157	1														1											1							1			1			1		1			1		1				1	1	1
		158			5												5										5						5		5		5				5	5										5	5	5
		159		5										5									5				5						5		5			5			5	5				5						5	5	5
		160	11													11											11								11			11			11		11			11						11	11	11
		161			6									6											6		6								6		6				6	6				6						6	6	6
		162	9											9								9					9								9			9			9		9			9		9				9		9
		163			10									10											10		10								10			10			10		10			10						10	10	10
		164			3													3									3								3		3				3	3				3						3	3	3
		165			11									11									11				11						11		11				11		11		11			11						11	11	11
		166			9												9										9								9		9				9	9										9	9	9
		167	4											4									4				4						4		4			4			4		4					4	4			4	4	4
		168			8									8										8			8						8		4	4		8			8		8		8	8		8				8	8	8
		169	10		4											8	3	1					2					14							14			14			14		14					14				14	14	14
		170	48													43	5											48							44	4	48				48	48				48	48			48		48		48
		171			20												11							9				20							20		20				20	20						20				20	20	20
		172	28													28											28								28		28			27	1	28						28		1		28	28	28
		173	1					1						2		1	1													2					2		2			2		2				2		2				2		2
		174				1										1												1								1	1				1		1			1		1				1	1	1
		175			6												5							1			6							2	4		6			6		6						6				6	6	6
		176			48											9	9						12	18				48							48		48				48		48					48				48	48	48
		177			9											1	3	5										9							9		9				9		9					9				9	9	9
		178			1												1											1							1		1				1	1				1						1	1	1
		179			70											2	46						22					70						42	28				70	70		70										70	70	70
		180			38												26				3		3			6		38							38		38				38	38										38	38	38
		181	49													47					2						34	14	1						49		49				49	49						49				49	49	49
		182	17		31											8	9						31					48							48		48				48	48						48			48	48	48	48
		183	1													1											1									1		1			1		1			1						1	1	1
		184			1									1											1		1								1			1			1		1								1	1	1	1
		185			1												1											1							1		1			1			1			1		1				1	1	1
		186	1													1												1							1			1			1		1			1	1	1	1			1	1	1
		187			4											1	2						1					4							4				4	4			4					4	4			4	4	4
		188			2																			2				2					2		1	1	2				2	2						2				2	2	2
		189	1														1											1								1			1		1		1			1		1				1	1	1
		190		5													3	2									5								5		5				5	5				5		5				5		5
		191			23											3	18							2			23						23		23		23				23	23				23						23	23	23
		192			5									5			1						1	3			5						5		5		5				5	4	1					5				5		5
		193			1												1										1								1		1				1		1			1						1	1	1
		194		2														2										2						2				2		2		2				2						2	2	2
		195	1																							1		1							1				1		1		1					1				1	1	1
		196	8														8											8						4	4		8				8	8				8						8	8	8
		197	1														1											1							1			1			1	1										1	1	1
		198	2																					1		1		2							2		2				2		2					2				2	2	2
		199			1												1										1								1		1				1		1									1	1	1
		200			1									1				1										1							1			1			1	1				1						1	1	1
		201			4												4											4							4		4				4	4						4				4	4	4
		202			6												6										6								6		6				6	6						6	6			6	6	6
		203			8												8										8								8			8			8		8			8						8	8	8
		204			10																			10				10							10		10			10		10						10				10	10	10
		205			10														10									10							10		1	9			10		10					10				10	10	10
		206			4											2							2					4						4				4			4		4									4	4	4
		207		2										2			2										2						2		2		2				2	2						2				2	2	2
		208			16									16			6						5	5			16						16	6	10				16		16		16			16						16	16	16
		209			13									13			5						5	3			13						13	4	9			13			13		13					13				13	13	13
		210		17										17		3	4	7						3			17								17		17			17		17				17						17	17	17

4/R/Kw/M, 28 Radestrasse	12	211			1																				1			1							1			1			1	1										1	1	1
		212			1													1										1							1				1		1		1					1				1	1	1
		213			1													1									1								1		1				1	1						1				1		1
		214			4									4									2	2				4							4			4			4		4									4	4	4
		215	3																				3					3							3			3			3		3		3	3						3		3
		216			19									19			11						5			3		19							19		17	2			19	19						19				19	19	19
		217	4													4												4							4			4		4			4					4	4			4	4	4
		218	5		8											5				7			1					13							13		13				13	13						13	13					13
		219	3													3												3							3		3			3		3						3				3	3	3
		220	3																				3				3						3		3			3			3	3				3		3	3			3		3
		221			4									4		2							2				4								4			4		4			4					4				4	4	4
		222			8									8										8			8						8		8		8				8	8									8	8	8	8
		223			8											1	2					1	4				8							8			8			8		7	1									8	8	8
		224			7									7										7			7						7		7			7			7		7					7				7	7	7
		225	4											4												4		4							4		4			4		4						4				4	4	4
		226	1													1												1							1		1				1	1						1	1			1	1	1
		227	7																	7								7							7				7		7			7								7	7	7
		228	4																		2		2					4							4			4			4	4				4		4				4		4
		229	5																					5				5					5		5				5		5		5			5		5				5	5	5
		230			6									6										6				6							6		6			6			6									6	6	6
		231	4		1																		3	2			5								5			5			5		5					5				5		5
		232			8												6							2			8								8		8			8			8					8	8		8	8	8	8
		233			5									5										5			5								5				5		5		5			5						5	5	5
		234	4																				4					4							4				4	4			4					4				4	4	4
		235	11																			3	6	2				11						11				11			11		11									11	11	11
		236			6												3							3			6								6		6				6	6						6			6	6	6	6
		237	9																	9								9							9				9	9			9			9						9		9
		238		1														1										1							1				1	1		1						1				1	1	1
		239	9																			9						9							9			9			9		9									9	9	9
		240		5										5				5									5						5		5		5				5	5									5	5	5	5
		241	7														7										7							5	2		7				7	7						7				7		7
		242	3												3													3							3				3		3		3									3	3	3
		243			5									5										5			5								5			4	1		5		5					5				5	5	5
		244				4										4											4								4		4				4	4						4				4	4	4
		245					2									2											2						2		2		2				2	2			2	2						2	2	2
		246			7												4	3										7								7	7				7	7				7		7				7	7	7
		247			6									6									6					6							6		5	1			6	6				6	6	6				6	6	6
		248			4												2	2										4							4		4				4		4									4	4	4
		249			5																	5					5								5		5				5		5									5	5	5
		250	1														1												1						1		1			1		1						1				1		1
		251			102												7			2	5	35	21	17	9	6		102							102		58	44			102		102			102		102				102	102	102
		252			94								31	84		14	19				4	5	29	16	4	3		105				20			110	15	27	61	37		125		125			125		125	125			125	125	125
		253	18		47								15	47			1						25	22	13	4		60				20			72	8		60	20		80		80			80		80	80			80	80	80
		254		60	19								15	79			55	3						10	8	3	84					10	94		94		94				94	94				94		94				94	94	94
		255	23													11	3				3		6					23							23		23				23	23						23	23			23	23	23
		256			194												5				3	24	96	35	20	11		194							194		194				194		194			194		194				194	194	194
		257			87								35				4				4	11	32	21	12	3		90				32		41	81		36	86			122		122			122		122				122	122	122
		258			17								9				5					4	8					23				3		7	19		26			26			26									26	26	26
		259		13										13			7	4						1	1		13								13			13			13	13						13				13	13	13
		260		41										41				41									41						41	10	31		41			41		41						41				41	41	41
		261			554								69				18			12	4	74	242	180	18	6		542				81			623		437	186			623		623			623		623				623	623	623
		262			242								40				21					31	85	73	32			247				35		59	223		54	228		282		83	199									282	282	282
		263			29								4	29									21	8				33						5	28		11	22			33	11	22			25		7				33	33	33
		264	12			3							4	15		2	3						4	5	1			17				2			16	3	3	16		19		9	10			19	19					19		19

4/R/Kw/M, 28 Radestrasse

12

265	2													2												2							2			1	1		2	1	1					2	2			2	2	2
266		3										3				2							1			3							3			3			3	2	1			2	2	1				3	3	3
267			41								4				2					5	14	15	5			45							44	1	45				45	45						45	45			45	45	45
268			27								6									2	20	5				27				6			33		33			33			33			33		33				33	33	33
269			90								42	90			60						30					100				32			132		132				132		132					132	132			132	132	132
270			51								8										51					31				28			59		59				59	59				59	59				59	59	59	59
271			13								3				2						3	8				16							16		16			16			16					16				16	16	16
272	3		10								2										6	4	2	1		13				2			15		15				15	6	9			15		15				15	15	15
273		12	2								3	14			3	4						7				15				2			17		17				17	17				17	11	3				17	17	17
274			12												2					2	3	5				12							12		12			12			12			12		12				12	12	12
275		3														3									3								3		3				3	3				3						3	3	3
276	3													2						1						3							3		3				3		3			3		3				3	3	3
277			3															3							3						3		3		3				3	3				3						3	3	3
278			11								2				1			1	1		7	1				13							13		13			13			13			13						13	13	13
279		2	1									3			1	1					1				3						3		3		2		1	3		1	2									3	3	3
280			3									3			1						2				3								3		3				3	3				3						3	3	3
281			14								3	14			10						4				15					2			17		13	4			17	14	3									17	17	17
282	1	3	8								3				9							2		1	13					2			15		15				15	15				15		15				15	15	15
283		11									2	11			9						2				13							5	8		13			13		13									13	13	13	13
284	9										2			3					2		4					9				2		3	8		11				11	11										11	11	11
285			4									4									4					4							4		2	2			4		4			4						4	4	4
286				5										5												5							5		5				5	5				5	5					5	5	5
287			3												3											3							3		3				3	3										3	3	3
288			3												3											3							3		1	2			3	3									3	3	3	3
289			11												3						3	5			11								11		11			11		11						11				11	11	11
290			8								2				7							1				9				1		1	9		10				10	10						1				10	10	10
291			8								2	8							2	1	3	1		1		10							10		10				10		10			10	10					10	10	10
292		18									3				5	5					2	6				18				3		3	18		21				21	21				21						21	21	21
293			4											4											4								4		1	3			4	3	1			1						4	3	4
294			3												3											3							3		2	1			3	3				3	3					3	3	3
295			13								2	13			6						1	6			15								15		15				15	15						15				15	15	15
296			9								1	9									3	6			10								10		10			10		10										10	10	10
297		3										3				3									3						3	1	2			3			3	3										3	3	3
298			13												13											13						2	11		13				13	13				13						13	13	13
299			8									8			4							2		2		8					8		8			8			8		8									8	8	8
300			5												3							2				5							5		5				5		5									5	5	5
301			6											2								4			6								1	5	6				6	6						6	6			6	6	6
302	1		1												1	1									2								2		2				2	2								2		2	2	2
303			24									24			2						3	16	3			22				2			24			24			24		24					24				24	24	24
304			1																		1						1						1		1				1	1						1				1	1	1
305	1														1											1						1				1			1		1									1	1	1
306	3																				3				3								3		3			3		3				3						3	3	3
307			13												4							9			13								13			13			13		13			13						13	13	13
308			10												10										10								10			10			10	10				10						10	10	10
309			4													4										4							4			4			4	4						4				4	4	4
310			17												8							9			17								17		17				17	17						17				17	17	17
311	3		7									7			8							2			8	2						5	5			10			10	10										10	10	10
312			13								7				13											17				3		8	12		20				20	20				20		20				20		20
313			8												6								2		6					2	6	4	4		8				8	8										8	8	8
314			5								4	5			2							3			5					4		7	2		9			9		9										9	9	9
315			4											4												4							4		4				4	4				4	4					4		4
316			15												7							8			15								15		15			15		15						15				15	15	15
317			11												11											11							11		11				11	11										11		11
318			17								4				15	2									21								21				21		21	21				21						21	21	21

4/R/Kw/M, 28 Radestrasse	12	319	11										6										11					11				6			17			17			17	17						17				17	17	17
		320	8										5				6						2				2	6				5			13			13			13	13				13		13				13	13	13
		321			20											9	7							4			20							3	17		20				20	20				20						20	20	20
		322	49										7			2	32				5		1	9				46				10		25	31		56				56	56										56	56	56
		323	7			5							1			7						5						13							13			13		13		13				13		13				13	13	13
		324			8									8			4							4			4	4							8		4	4			8	4	4								1	8	8	8
		325			8									8								4	4				8							8		8				8	8										8	8	8
		326			9											7								2				9					9		9		9				9	9			9			9				9	9	9
		327		6									4	6				6									6					4	6		10		10				10	10						10				10	10	10
		328			13								3				13											13				3		4	12		16			16		16									16	16	16	16
		329	15																					15				13				2		3	12		10	5			15	10	5			15		15				15		15
		330			9												4							5			9						9		9		9				9	9				9						9	9	9
		331	7										3			7												8				2			8	2	10			10		8	2			10					10	10		10
		332			9												9											9							9			9		9		9						9				9	9	9
		333			21												21										21							7	14		21				21	21						21				21	21	21
		334	13													2							7	4				13							13			4	9		13	13						13				13		13
		335	20										4			4	5					1	5	5				24							24		20		4		24	16	8									24	24	24
		336			16								3				7	3					2	4				17				2		10	9				19		19	19						19				19	19	19
		337			23								5			3	8						6	6				24				4			28		28				28	24	4									28	28	28
		338		20									10				6	10						4			20					10			30		30				30	30						30	6			30	30	30
		339	1																			1						1								1			1		1		1								1	1		1
		340	1																			1						1							1		1				1		1		1							1		1
		341			1																				1			1							1			1			1	1				1						1	1	1
		342	1																				1					1							1				1		1		1			1		1				1	1	1
		343				3											3											3							3		3				3		3					3				3		3
		344				1										1												1							1				1		1		1					1	1		1	1	1	1
		345			1																			1					1						1		1				1	1						1			1	1		1
		346	1																				1						1						1		1				1	1						1				1		1
		347			1									1									1						1						1			1			1		1					1				1	1	1
		348				1											1											1								1	1				1	1						1	1			1		1
		349				1										1												1							1			1			1	1						1	1			1	1	1
		350	2														2											2							2		2				2	2						2	2			2	2	2
		351	1													1												1							1			1			1		1									1		1
		352			2																		2					2						1	1			2			2	2				2		2				2	2	2
		353			1																			1				1							1		1				1	1						1				1		1
		354	1														1											1							1		1				1	1						1				1	1	1
		355			3																					3		3							2	1	3				3	3						3				3		3
		356	12										3			10					2								15						15		15				15	15						15				15		15
		357			8								2				2							6				10							10				10		10		10					10				10	10	10
		358			1																			1				1							1		1				1	1						1				1	1	1
		359			2												2											2							2			2			2	2						2				2	2	2
		360				11										11													11						7	4	11				11	11			11	11	11				11	11	11	11
		361			2																		1	1				2								2	2				2	2				2						2	2	2
		362				9																1	8						9							9	9				9	9				9						9		9
		363			2													2											2							2		2			2		2					2				2	2	2
		364			1																		1					1							1		1				1	1				1	1				1	1	1	1
		365				11									11													3	8							11	11				11	11				11	11					11	11	11
		366	10													10												10							10		10				10	10						10	10			10	10	10
		367	3										2			3												5							5			5			5	5						5				5	5	5
		368	6														6											6							3	3	6				6	6						6	6	6	6	6		6
		369			2	1											1							2				3							3		3				3		3			3					3	3	3	3
		370			3												1						2					3							3		3				3		3					3			3	3	3	3
		371	2													1							1				1	1							2				2		2	2						2				2	2	2
		372			3												3											3							3		3				3	3						3			3	3	3	3

4/R/Kw/M, 28 Radestrasse	12	373			1													1										1							1		1				1	1				1						1		1
		374			1																			1				1								1	1				1	1				1						1		1
		375	1														1										1							1		1				1	1						1			1	1		1
		376			1																			1				1							1				1		1	1			1							1		1
		377	4														4										4							4		4				4	4				4		4				4	4	4
		378	4													4													4						4		3	1			4	4						4	4			4		4
		379				4										2	2										4								4		4				4	4						4				4	4	4
		380		4	2									4				6										6						4	2		6				6	6						6				6	6	6
		381	1																	1									1						1				1		1		1			1						1	1	1
		382			1																			1				1							1		1				1	1						1				1	1	1
		383			2												2											2							2				2	1	1	2				2						2	2	2
		384			5												3							2				5						3	2		5				5	5										5	5	5
		385				4										4											4								4	4				4	4						4	4			4	4	4
		386	4													4											4								4	4				4	4				4	4					4	4	4
		387	27																				27					27								27		27			27	27						27	27			27	27	27
		388			7																		7					7							7		7				7	7										7	7	7
		389	3													3											3							3		3				3	3				3						3	3	3
		390	2																				2					2								2	2				2	2						2	2			2		2
		391	3																				3					3							3		3				3	3						3			3	3	3	3
		392			1												1										1								1			1			1		1			1						1	1	1
		393			3												3										3								3		3				3	3									3	3	3	3
		394	3														2	1										3							1	2	3				3	3				3	3					3	3	3
		395	3													1	1	1										3								3	3				3	3						3	3			3		3
		396			1													1									1								1		1				1	1						1				1	1	1
		397	3														3										3							3		3				3	3						3				3		3
		398				1														1							1							1		1				1	1						1				1		1
		399	2													2											2							2		2				2	2						2				2	2	2
		400			5													5									5						5			5	5				5	5						5		5		5		5
		401			3												2								1		3							3		3				3	3										3	3	3
		402				3											3										3							2	1	3				3	3										3	3	3
		403				1														1							1							1		1				1	1						1				1	1	1
		404			1																1						1							1		1				1		1					1				1	1	1
		405	1														1										1							1		1				1		1								1	1	1	1
		406			5													5										5							5		5				5	5						5	5			5	5	5
		407				1											1											1						1		1				1	1						1				1	1	1
		408			1												1										1								1		1				1	1										1	1	1
		409			3																			2		1		3							3		3				3	3						3				3	3	3
		410	7																				7					7								7	7				7	7						7	7			7		7
		411			1																			1			1								1		1				1	1										1	1	1
		412	1														1										1							1			1			1	1										1	1	1
		413	2														2										2							2		2				2	2						2				2	2	2
		414			2													2									2							2		2				2	2						2				2	2	2
		415		4										4				4									4							4		4				4	4										4	4	4
		416			3												2	1								3								3		3				3	3						3				3	3	3
		417	1														1									1								1		1				1	1						1		1		1		1
		418	1														1									1									1	1				1	1						1				1		1
		419	1																				1					1								1			1		1	1				1	1	1	1			1	1	1
		420	1																					1			1								1		1				1	1										1	1	1
		421			1													1									1							1		1				1	1			1							1	1	1
		422			1								1											1		1							1		1				1	1										1		1
		423	11																				11				11						11			11	11				11	11				11		11				11	11	11
		424	25										6										25					31							5	26	31				31	31						31	31			31	31	31
		425			445								47			23	12				3	38	271	54	41	3		441				51			492		127	325	40		492	53	439			492	24	492	12			492	492	492
		426	29		71								34			10	5			15		42	21		7			110				24			134		27	97	10		134	27	107			134	12	134	28		26	134	134	134

4/R/Kw/M, 28 Radestrasse

12

427	11													3	5							3				11							11		4	7			11	4	7			11						11	11	11
428			6								3			2						2	2					9							9		9				9	2	7			9		9				9	9	9
429			77								25	77			2				1		2	70	2		82					20			102			102			102		102			102						102	102	102
430	13													6	7											13							13		13				13	13				13						13	2	13
431			7								2			6	1											9							9		9			9		9				9						9	9	9
432	33										6								33							39						4	35		33	6			39		39			39		39				39	39	39
433	16		10								7	26			1				16		5	4				26				7		25	8		24	7	2		33		33					33				33	33	33
434			6									6			6											6						2	4		5	1			6	6				6						6	6	6
435	5											5			5											5						3	2			5			5	5						5				5	5	5
436		2	3												3	2									5								5		5				5	5				5		5				5	5	5
437			13												5			2		1	2	3				13							13		13				13	13						13				13	13	13
438			9												9										9							2	7		9			9		9				9		9				9	9	9
439	2		6																			6		2		8							8		8				8	8				8		8				8	8	8
440				38							7			10	5				17		3	1	2			38		2		5			41	4	45				45	45						45	45			45	45	45
441	11		4												5						2	8				15						10	5		11	4		15		15			15			15				15	15	15
442		5													5										5								5		3		2		5	5				5	1	5				5	5	5
443			5												5											5							5		5				5	5				5						5		5
444		16										16			10	6										16						6	10		12	4		16		16						16				16	16	16
445		6										6				6									6							6				6			6	6			6	6						6	6	6
446	8																	4		4						8							8		4	4			8	8				8		8				8	8	8
447			25								6				16							9				31						7	24		20	11		31		31				31		31				31	31	31
448	8											8		4	4											8							8		8				8	8				8		8				8	8	8
449	2			3										3								2				5							5		5				5	5				5	5	5	5			5	5	5
450	4													2							1			1		4								4	4				4	4						4	4			4		4
451	8														8											8						2	6			8			8	8						8				8	8	8
452	10																							10		10						2	8		2	8			10	10				10						10	10	10
453	16														12						4					16							16			16			16	16				16		16				16	16	16
454			44											6	28						6	4				44						36	8			44		44			44					44				44	44	44
455			10												10											10							10		10				10	10				10		10				10	10	10
456			25								10	25			13							12				35							35		35				35	7	28			35		35				35	35	35
457	5		3											2	6										8						8		8		8			8		8				8		8				8	8	8
458			5												5											5							5		5				5	5						5	5			5	5	5
459			6								2	6										2		4		8							8		6	2		8		2	6			8		8				8	8	8
460			6											2	1							3				5	1						6		6				6	4	2			6		6				6	6	6
461	6														6											6						2	4		6				6	6										6	6	6
462			301								34			10	27			23	11	43	101	65	21			299				36			335		224	85	26		335		335			335	45	335	22			335	335	335
463			4									4										4			2	2							4		4				4		4			4		4				4	4	4
464			3									3										3			3								3		3				3	3						3				3	3	3
465			1											1											1									1	1				1	1				1		1	1			1	1	1
466			4																		4					4							4		4				4		4					4				4	4	4
467			3	4																			7			7							7		5	1	1		7	7				7		7	7			7	7	7
468	3														3											3							3		3				3		3									3	3	3
469	3													3											3								3			3			3		3			3						3	3	3
470					5							5		4					1							5					5	4	1		2	3			5		5					5				5	5	5
471	2													1	1										2								1	1	2				2	2				2		2				2	2	2
472			1									1											1			1							1				1		1		1			1					1	1	1	1
473	8																		4	4						8							8		8				8		8			8		8				8		8
474	3																	3								3							3		3				3		3			3						3	3	3
475	4																		4						4						4	4					4		4		4					4				4		4
476	4													2				2								4							4		4				4	4								4		4		4
477			1												1										1									1	1				1		1			1	1					1	1	1
478			5											5												5						5				5			5		5					5				5	5	5
479			10									10			10											10							10			10			10		10					10	10			10	10	10
480	4													4											4								4			4			4	4			4	4		4				4	4	4

4/R/Kw/M, 28 Radestrasse	12	481	5													5														5								5			5			5	5				5	5	5				5		5
		482	3														3											3							3		3				3	3						3				3	3	3
		483	2		2											2	2										4							4			4			4	4				4		4				4	4	4
		484			6												6										6						3	3		6				6	6										6	6	6
		485	4												4													4							4		4				4	4				4						4	4	4
		486			3												3										3							3				3		3		3					3				3	3	3
		487		4														4										4									4		4			4		4				4						4	4	4
		488			9												9										9						5	4			9			9	9						9				9	9	9
		489			4												4										4						4			4			4			4			4		4				4	4	4
		490			5												2	2						1			5								5		5				5	5						5				5		5
		491	5																								5		5								5			5		5		5						5				5	5	5
		492		7														7										7						4	3		7			7		7				7						7	7	7
		493			6											3	3										6							6		6			6		6						6				6	6	6
		494				4																		4					4							4				4	4			4					4				4	4	4
		495	7																		7								7							7		7				7		7			7		7				7		7
		496	3														3										3						3				3			3	3										3	3	3
		497	4												4													4							4		4				4	4				4						4	4	4
		498	6														5					1					6						6				6			6	6				6						6		6
		499			3												3										3							3			3			3		3			3						3		3
		500			6												6										6						1	5			6			6		6			6						6	6	6
		501	8												8														8							8	8				8	8						8	8			8		8
		502			1												1										1							1		1				1	1				1		1				1	1	1
		503	2												2													2							2		2				2	2				2	2					2	2	2
		504	2												2													2							2		2				2	2				2		2				2	2	2
		505	4																				1	2	1				4								4	4				4	4						4	4			4	4	4
		506	3												3													3							2	1	3				3	3				3	3	3	3				3	3	3
		507	1												1													1								1	1				1	1						1	1			1	1	1
		508	2												1	1										2							2		2				2	2				2		2				2	2	2
		509	2														2										2							2				2		2		2			2		2				2	2	2
		510	3												3													3							1	2	3				3	3				3	3					3	3	3
		511			1								1			1										1							1		1				1	1										1		1
		512				1										1													1								1	1				1	1				1	1					1	1	1
		513	1												1														1							1				1		1	1				1		1				1		1
		514			1												1										1							1		1				1	1				1						1		1
		515				2										2															2								2	2				2	2				2	2	2	2			2		2
		516			2																						2				2							2			2			2		2					2				2	2	2
		517			2																							2			2							2		2				2	2						2				2	2	2
		518			2												2										2							2				2		2		2					2				2	2	2
		519			3												3										2	1							3		3				3	3						3				3	3	3
		520	1														1										1							1				1		1	1				1		1				1	1	1
		521			2									2			2											2									2	2				2	2						2	2			2	2	2
		522			2										2													2								2		2				2	2				2	2	2				2	2	2
		523			2												2										2								2	2				2	2				2			2			2	2	2
		524			2									2			2										2								2	2				2	2										2	2	2
		525	2												2															2							2		2				2	2				2		2				2	2	2
		526			1											1															1							1				1		1	1				1						1	1	1
		527			2											2													2								2	2				2	2				2		2				2	2	2
		528			1																							1			1							1				1		1		1			1		1				1	1	1
		529	3										3										3					3							3				3		3		3					3	3			3		3
		530	3																						3					3							3		3				3	3				3						3	3	3
		531			3																		3						3							3				3		3	3						3				3	3	3
		532			2									2			2										2							2		2				2	2						2				2	2	2
		533	3														3										3								3	3				3	3				3		3				3	3	3
		534	1																								1			1							1				1		1	1				1		1				1	1	1
		535			1											1													1							1				1		1		1					1				1	1	1
		536	4												4															4								4				4		4	4				4		4				4	4	4
		537			1																1									1									1			1		1		1			1		1				1	1	1

4/R/Kw/M, 28 Radestrasse

12

538			2												2													2						2			2		2		2			2						2	2	2
539			1												1											1							1		1				1	1						1				1	1	1
540	1														1											1								1			1		1	1						1				1	1	1
541			7												7												7							7	7				7	7						7	7			7	7	7
542				1													1										1						1		1				1			1				1	1			1	1	1
543	1																			1						1							1		1				1		1			1	1	1				1		1
544	5													5												5							5				5		5	5						5				5	5	5
545			2											2												2							1	1	2				2	2				2						2	2	2
546					4														4								4							4	4				4		4			4						4		4
547	1																					1				1								1			1		1		1			1		1				1	1	1
548			1												1											1							1				1		1		1					1				1	1	1
549	2										2								2							2				2			4				4		4		4			4						4		4
550	2													2												2							2		2				2		2					2	2		2	2	2	2
551			1																			1				1								1			1		1		1			1	1					1		1
552			3												3												3						3				3		3		3				3	3				3	3	3
553			2												2											2								2	2				2	2						2				2		2
554	1			1										1	1															2				2	2				2		2			2	2					2	2	2
555											3															3							3				3		3		3			3		3				3	3	3
556	1													1												1							1		1				1		1									1	1	1
557				7										7													7							7			7		7	7				7		7				7	7	7
558			1												1											1								1			1		1	1				1						1		1
559											1															1							1				1		1		1			1		1				1		1
560	1														1															1			1		1				1	1				1		1				1	1	1
561	1															1											1						1				1		1		1			1						1	1	1
562	1												1														1						1				1		1	1										1	1	1
563			1												1											1							1				1		1		1					1				1	1	1
564	3																			3							3						3				3		3		3			3						3	3	3
565			2																			2					2						2				2		2		2					2				2		2
566	2													1							1						2						2				2		2		2			2						2	2	2
567											2																2						2				2		2		2			2						2		2
568			1												1											1							1			1			1		1					1				1	1	1
569	1													1													1						1		1				1	1				1		1			1	1		1
570			1																		1						1						1				1		1		1					1				1	1	1
571			2																		2					2							1	1			2		2		2					2				2	2	2
572	1			1										1				1									2						2		2				2		1	1		2						2	2	2
573	5													4	1												5						5		5				5	5				5		5				5	5	5
574	5																						5			5								5	5				5	5				5	5					5	5	5
575	5														5										5									5	5				5	5				5	5					5	5	5
576	217		2576								601		44	182	217		23	77	179	157	1117	301	331	165	90	2489	239			576			3173	221	3010	384			3394	384	3010			3394		3394		56		3394	3394	3394
577		335	488								56	823		33	121	16					61	327	247	18	585	201	21			72			879		814	65			879	346	533			879		879	432			879	879	879
578		64									32	64			1	63									68					28			90	6	78	18			96	66	30			96		96				96	96	96
579		49	788								65			52	164			12	44	42	87	263	146	27	388	426				88		540	362		98	804			902	102	800			902		902				902	902	902
580	76		415								43			5	21			11	36	24	227	104	47	16	29	435	26			44		431	103		88	446			534	66	468			534		534				534	534	534
581	13	1	168								38		12	43	29					16	31	24	27		9	152	11			48			220		133	59	28		220	51	169			220		220				220	220	220
582	39		98								27			5	7				14	31	41	28	11			131	8			25		4	160			164			164		164			164		164				164	164	164
583	76		204								41	204		21	13		2	7	47	69	61	36	24			234	31	12		44			304	17	176	112	33		321		321			321		321	43			321	321	321
584	18		46								19	46		12	6				15	10	13	8			4	55	7			17		64	19			61	22		83		83									83	64	83
585	157		16	13							67				12				104	31	11	5	23			183	24			46		7	228	18		253			253		253			253						253	253	253
586	24			44							28		12	25	2				7	22						62	18			16			90	6	69	27			96	31	65					96				96	96	96
587	22			30							14		8	22	15						5	2				49	4			13			12	54	48	18			66	18	48			24		66	66			66	66	66
588	4					30					14	30	2	12	4				14	2						36	3			9			43	5	41		7		48	48						48	48	4		48	48	48
589			30								14	30			4						7	15	4		26	4				14			44		15	22	7		44	13	31					44	12			44	44	44
590	11		13								4			20	4											24				4			28		16	12			28	9	19		4	11		28				28	28	28
591					11							11		3	8											11							11		11				11	11						11				11	11	11
592	11			10										4	14				3						14	7							21		17	4			21	17	4					21				21	21	21

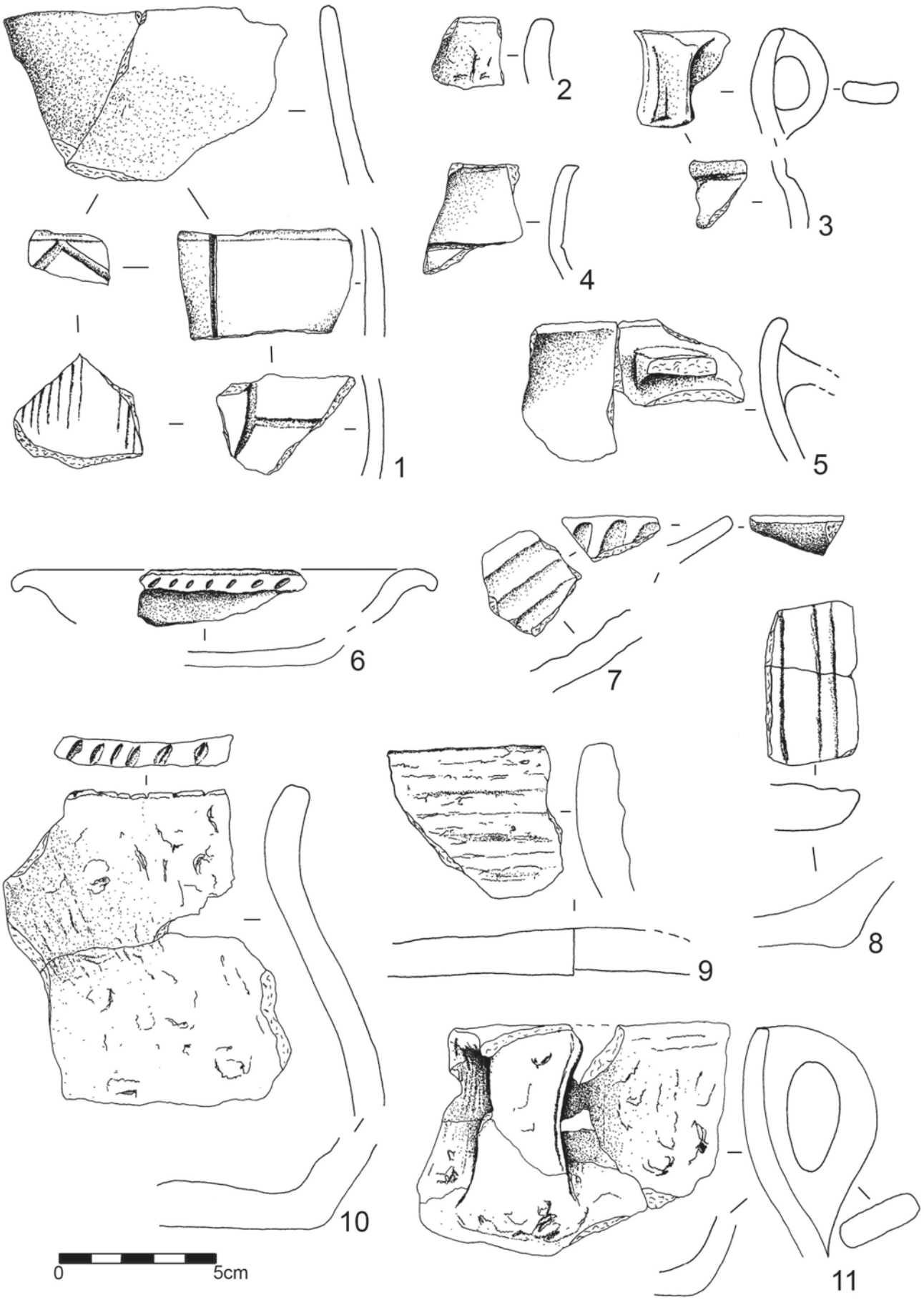

Tabl. 1. Stargard, Stare Miasto, kwartał IX. Obiekt nr 1: 1–8; obiekt nr 3: 9–11. 1 – naczynie 1; 2 – naczynie 3; 3 – naczynie 6; 4 – naczynie 7; 5 – naczynie 5; 6 – naczynie 10; 7 – naczynie 9; 8 – naczynie 13; 9 – naczynie 1; 10 – naczynie 2; 11 – naczynie 3. Oprac. M. Poklewska-Kozieł, R. Mikuła

Taf. 1. Stargard, Altstadt, Quartier IX. Befund Nr. 1: 1–8; Befund Nr. 3: 9–11. 1 – Gefäß 1; 2 – Gefäß 3; 3 – Gefäß 6; 4 – Gefäß 7; 5 – Gefäß 5; 6 – Gefäß 10; 7 – Gefäß 9; 8 – Gefäß 13; 9 – Gefäß 1; 10 – Gefäß 2; 11 – Gefäß 3. Bearb. M. Poklewska-Kozieł, R. Mikuła

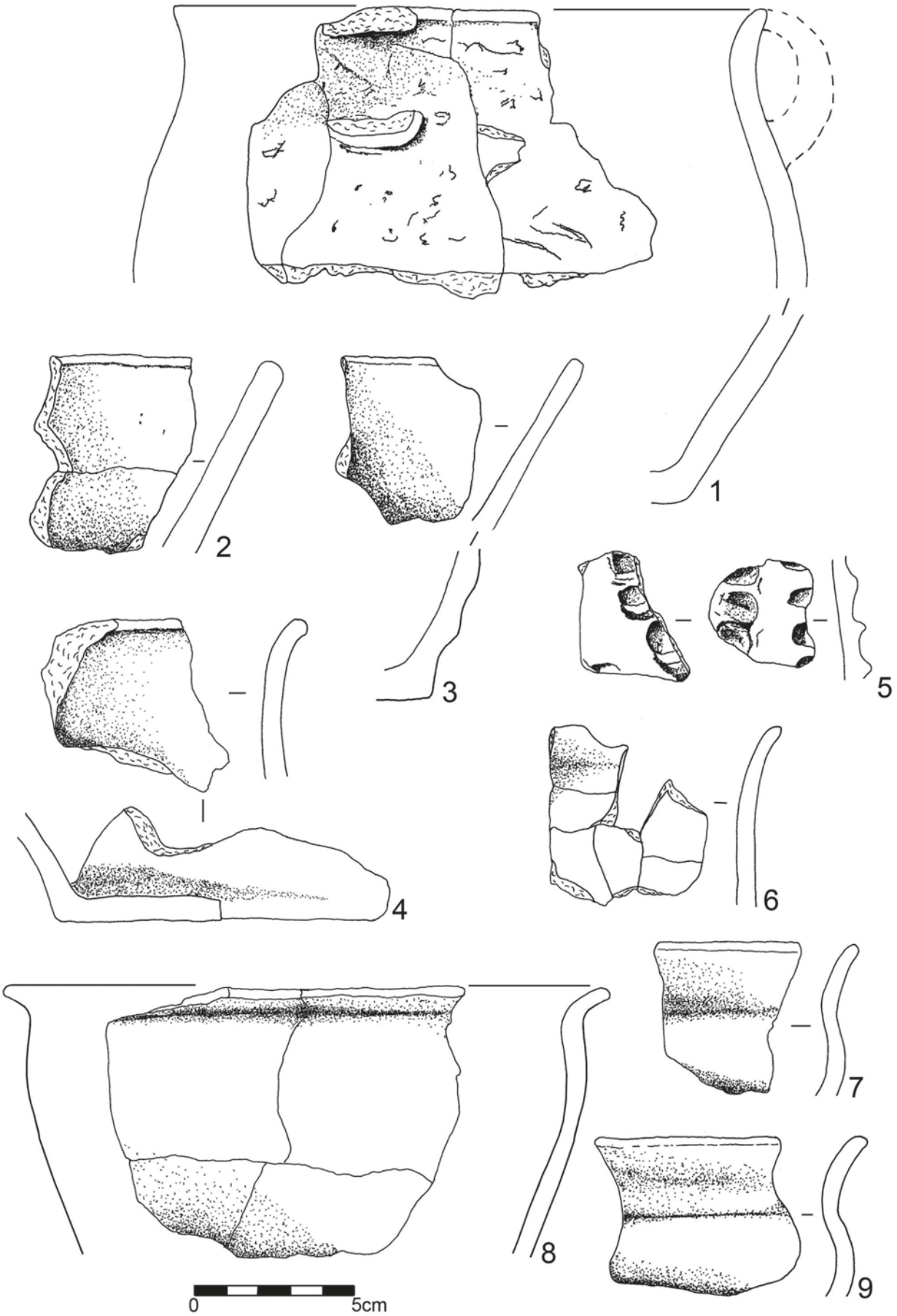

Tabl. 2. Stargard, Stare Miasto, kwartał IX. Obiekt nr 3. 1 – naczynie 4; 2 – naczynie 5; 3 – naczynie 6; 4 – naczynie 7; 5 – naczynie 9; 6 – naczynie 12; 7 – naczynie 14; 8 – naczynie 10; 9 – naczynie 13. Oprac. M. Poklewska-Kozieł, R. Mikuła

Taf. 2. Stargard, Altstadt, Quartier IX. Befund Nr. 3. 1 – Gefäß 4; 2 – Gefäß 5; 3 – Gefäß 6; 4 – Gefäß 7; 5 – Gefäß 9; 6 – Gefäß 12; 7 – Gefäß 14; 8 – Gefäß 10; 9 – Gefäß 13. Bearb. M. Poklewska-Kozieł, R. Mikuła

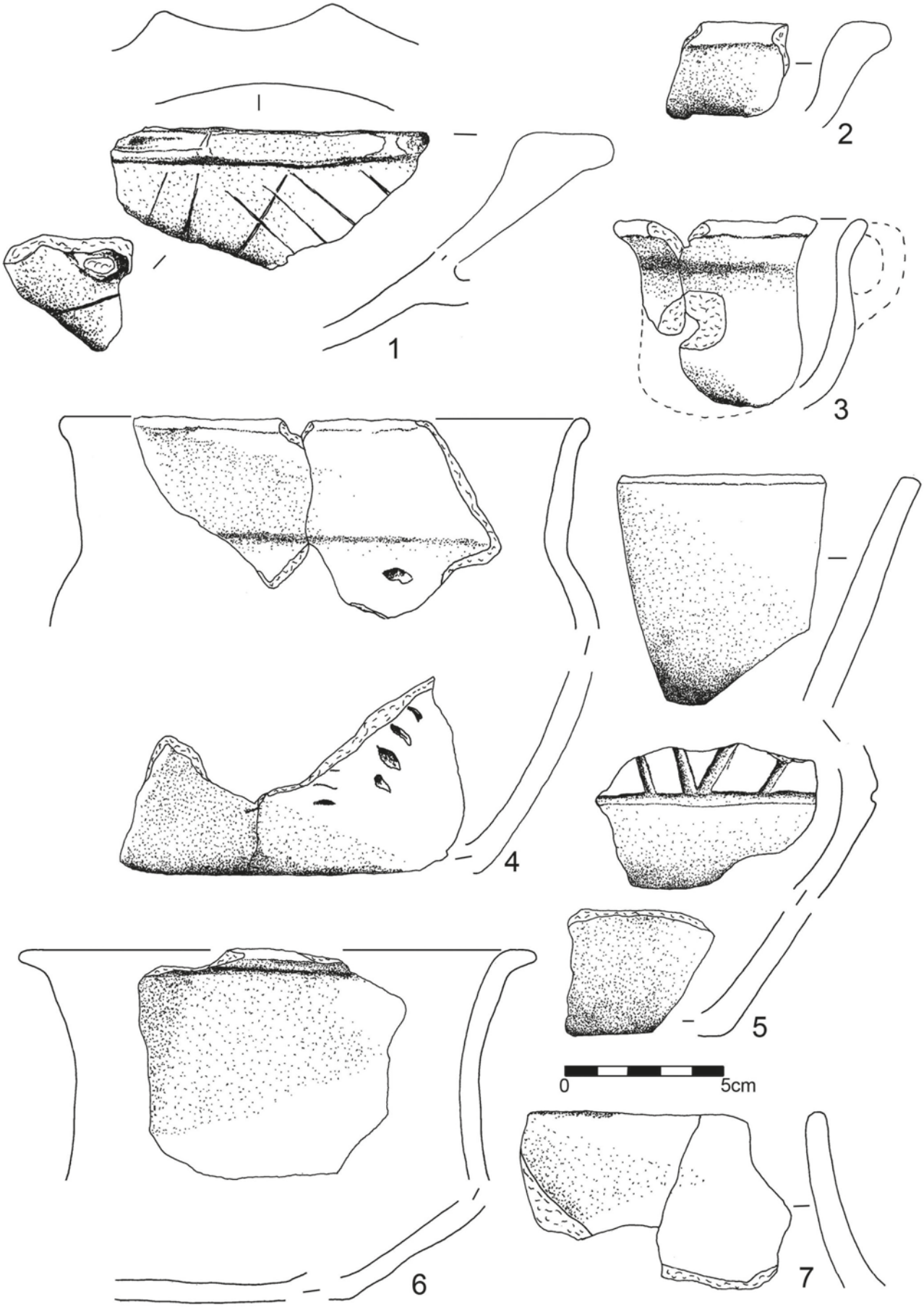

Tabl. 3. Stargard, Stare Miasto, kwartał IX. Obiekt nr 3. 1 – naczynie 11; 2 – naczynie 17; 3 – naczynie 16; 4 – naczynie 15; 5 – naczynie 19; 6 – naczynie 20; 7 – naczynie 18. Oprac. M. Poklewska-Kozieł, R. Mikuła

Taf. 3. Stargard, Altstadt, Quartier IX. Befund Nr. 3. 1 – Gefäß 11; 2 – Gefäß 17; 3 – Gefäß 16; 4 – Gefäß 15; 5 – Gefäß 19; 6 – Gefäß 20; 7 – Gefäß 18. Bearb. M. Poklewska-Kozieł, R. Mikuła

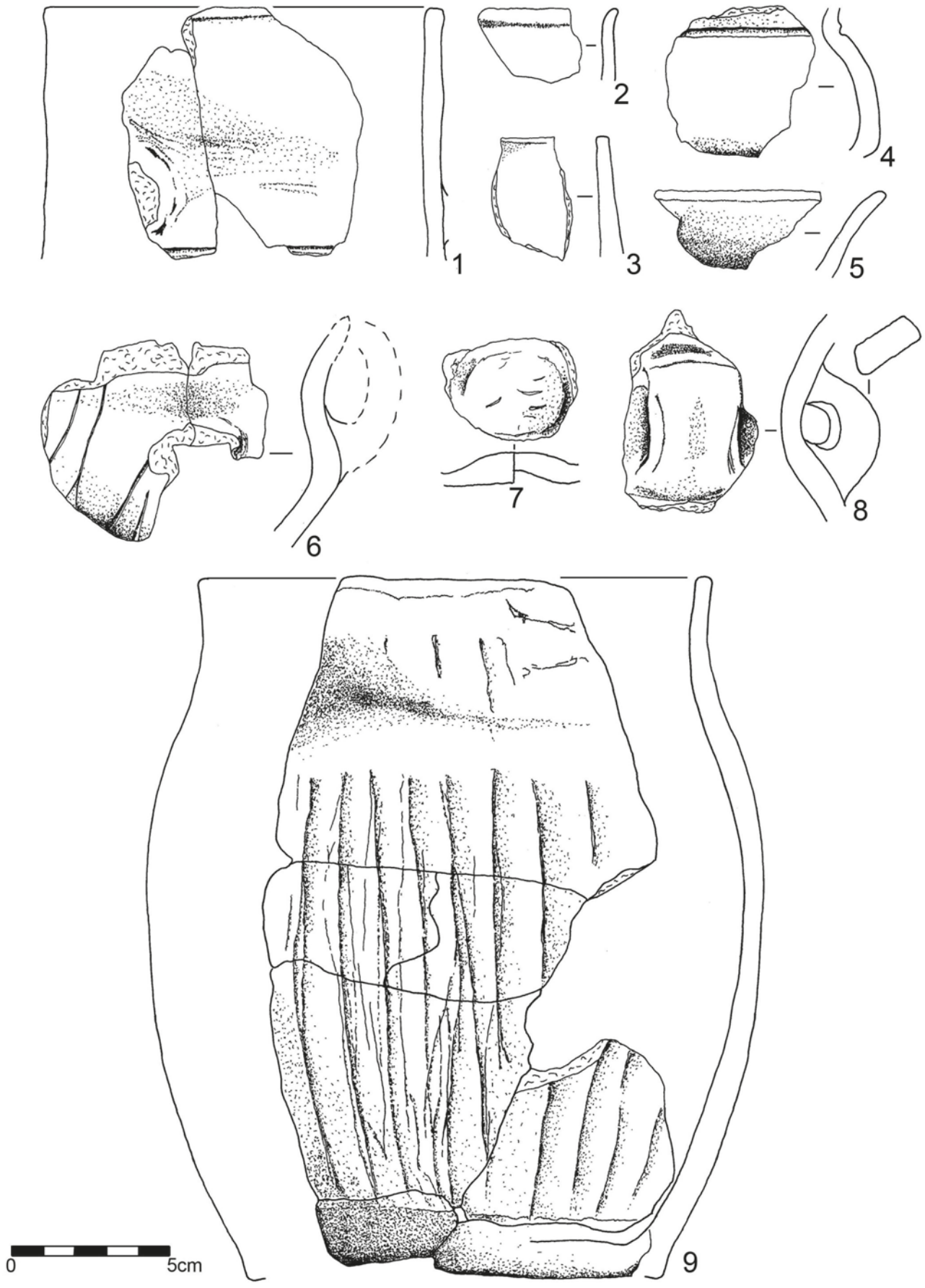

Tabl. 4. Stargard, Stare Miasto, kwartał IX. Obiekt nr 3: 1-8; obiekt nr 12: 9. 1 – naczynie 21; 2 – naczynie 22; 3 – naczynie 23; 4 – naczynie 24; 5 – naczynie 27; 6 – naczynie 25; 7 – naczynie 30; 8 – naczynie 31; 9 – naczynie 8. Oprac. M. Poklewska-Kozieł, R. Mikuła

Taf. 4. Stargard, Altstadt, Quartier IX. Befund Nr. 3: 1–8; Befund Nr. 12: 9. 1 – Gefäß 21; 2 – Gefäß 22; 3 – Gefäß 23; 4 – Gefäß 24; 5 – Gefäß 27; 6 – Gefäß 25; 7 – Gefäß 30; 8 – Gefäß 31; 9 – Gefäß 8. Bearb. M. Poklewska-Kozieł, R. Mikuła

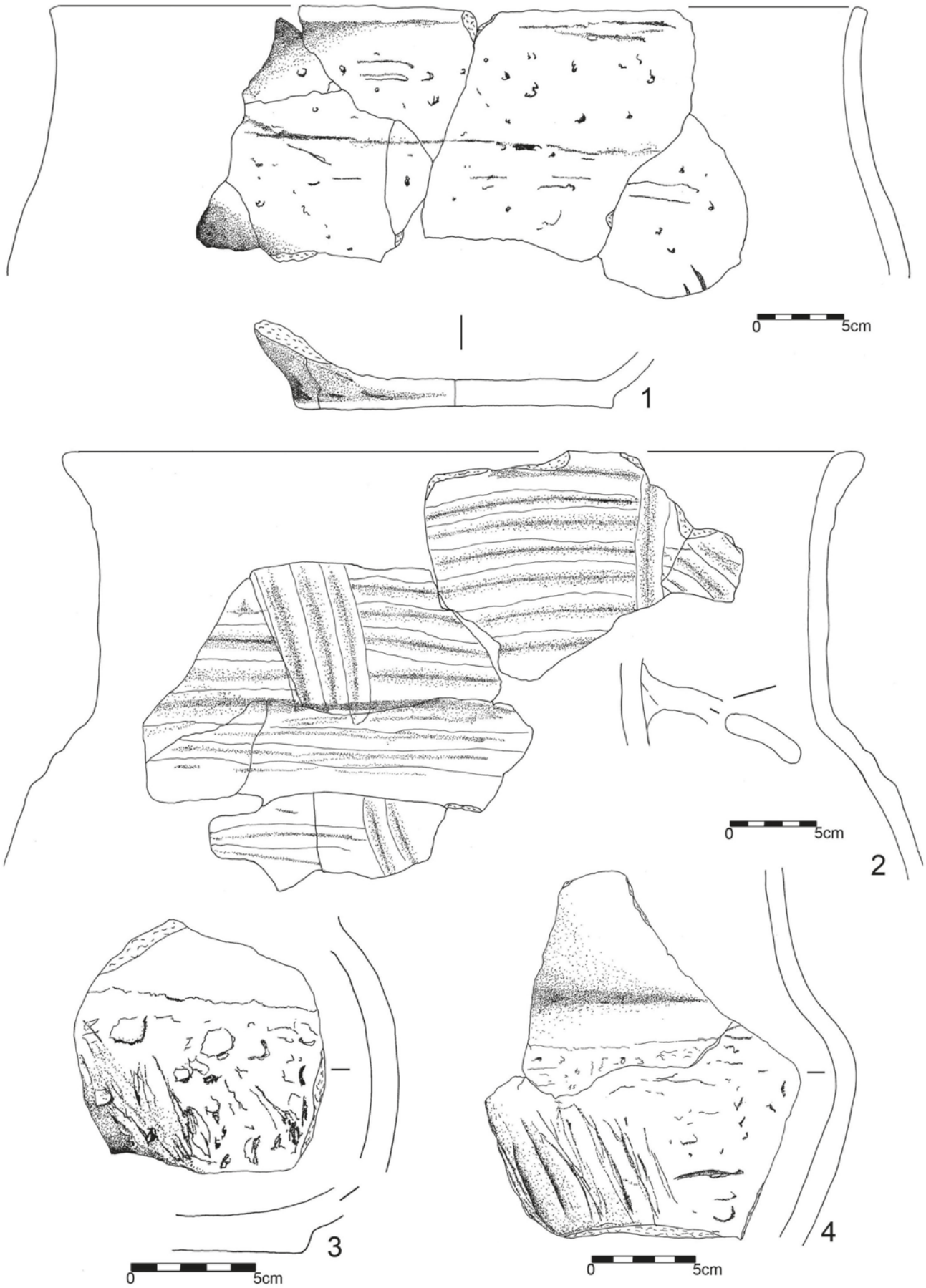

Tabl. 5. Stargard, Stare Miasto, kwartał IX. Obiekt nr 12. 1 – naczynie 1; 2 – naczynie 2; 3 – naczynie 13; 4 – naczynie 11. Oprac. M. Poklewska-Kozieł, R. Mikuła
Taf. 5. Stargard, Altstadt, Quartier IX. Befund Nr. 12. 1 – Gefäß 1; 2 – Gefäß 2; 3 – Gefäß 13; 4 – Gefäß 11. Bearb. M. Poklewska-Kozieł, R. Mikuła

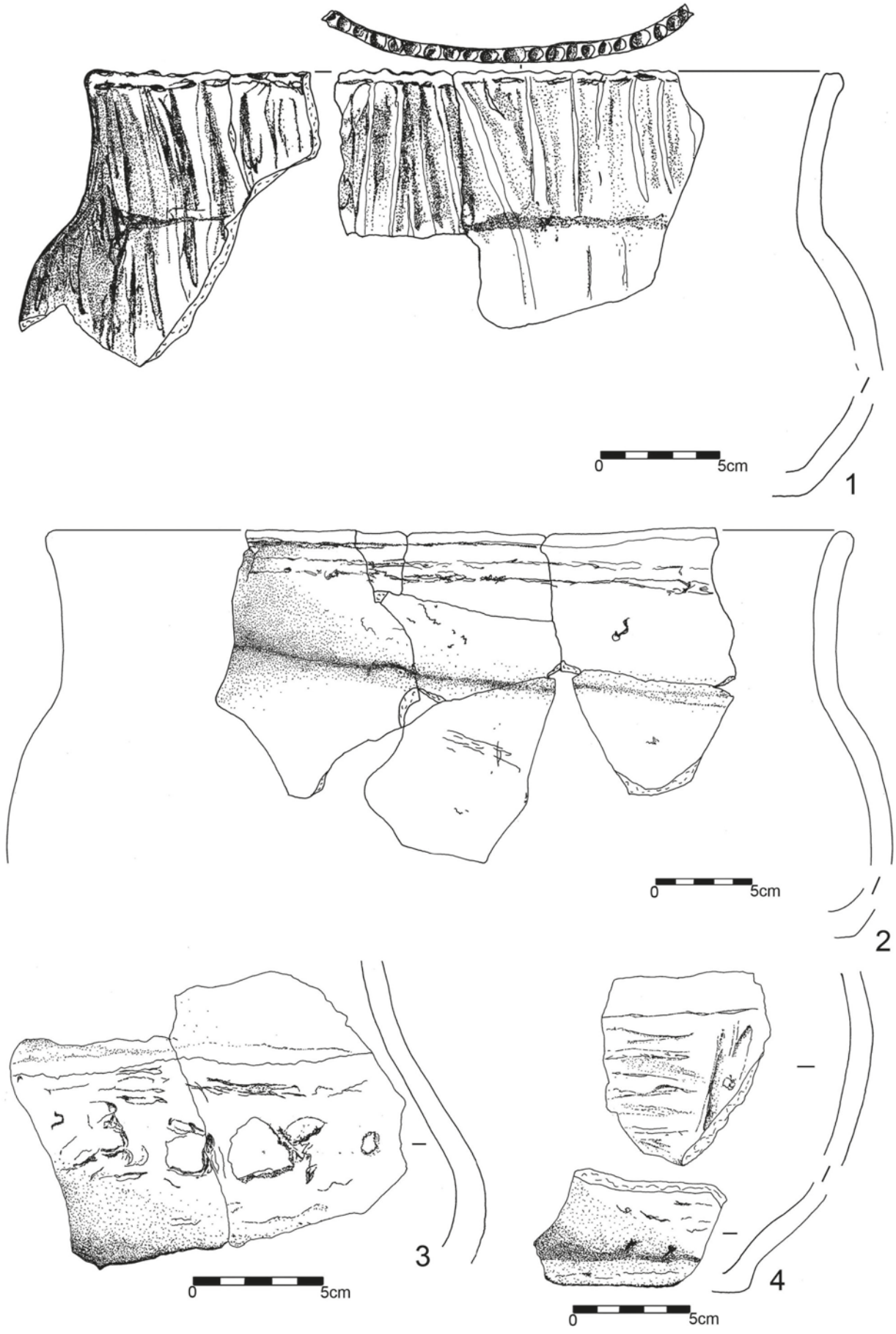

Tabl. 6. Stargard, Stare Miasto, kwartał IX. Obiekt nr 12. 1 – naczynie 3; 2 – naczynie 4; 3 – naczynie 12; 4 – naczynie 10. Oprac. M. Poklewska-Kozieł, R. Mikuła
Taf. 6. Stargard, Altstadt, Quartier IX. Befund Nr. 12. 1 – Gefäß 3; 2 – Gefäß 4; 3 – Gefäß 12; 4 – Gefäß 10. Bearb. M. Poklewska-Kozieł, R. Mikuła

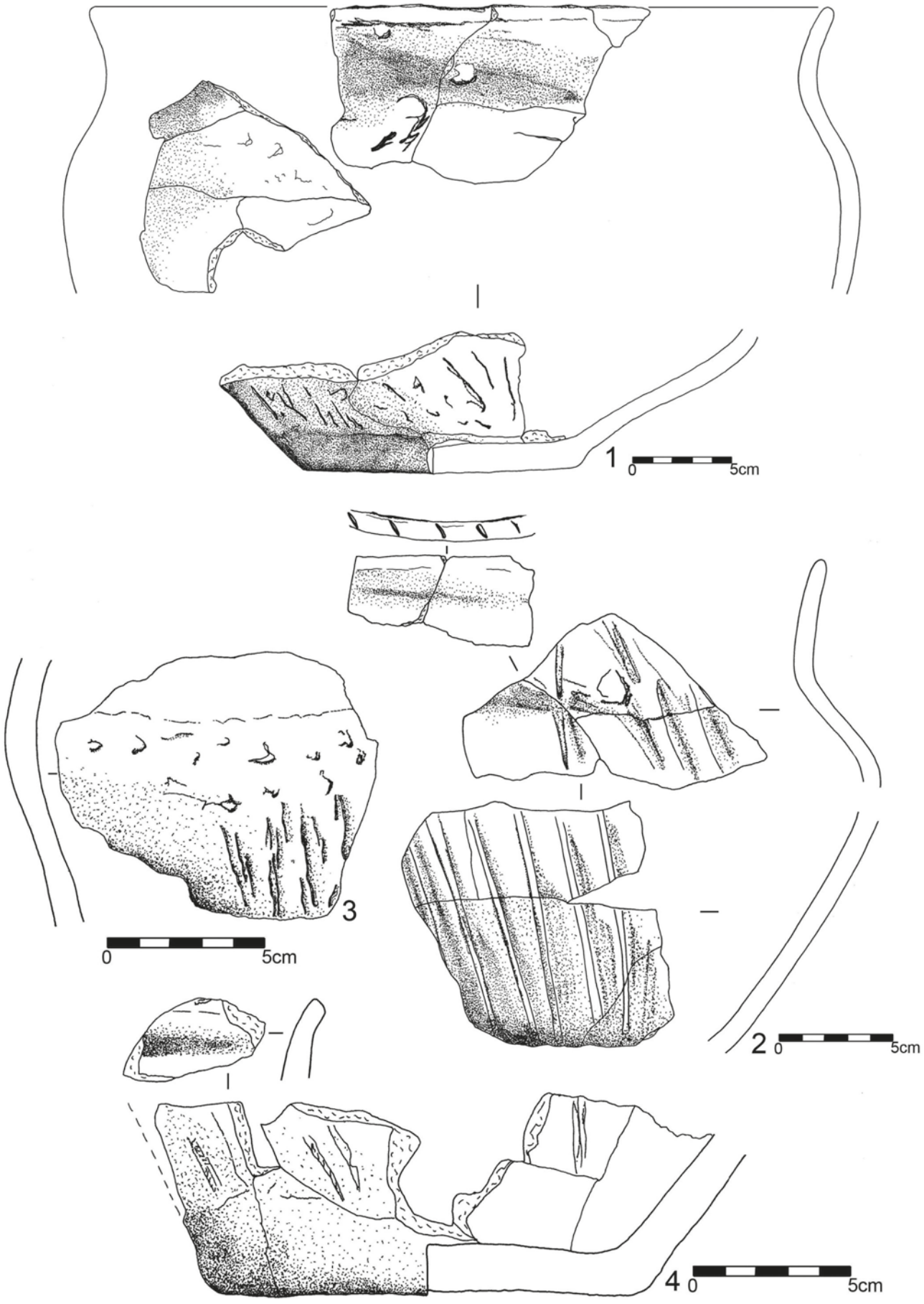

Tabl. 7. Stargard, Stare Miasto, kwartał IX. Obiekt nr 12. 1 – naczynie 5; 2 – naczynie 6; 3 – naczynie 15; 4 – naczynie 16. Oprac. M. Poklewska-Kozieł, R. Mikuła
Taf. 7. Stargard, Altstadt, Quartier IX. Befund Nr. 12. 1 – Gefäß 5; 2 – Gefäß 6; 3 – Gefäß 15; 4 – Gefäß 16. Bearb. M. Poklewska-Kozieł, R. Mikuła

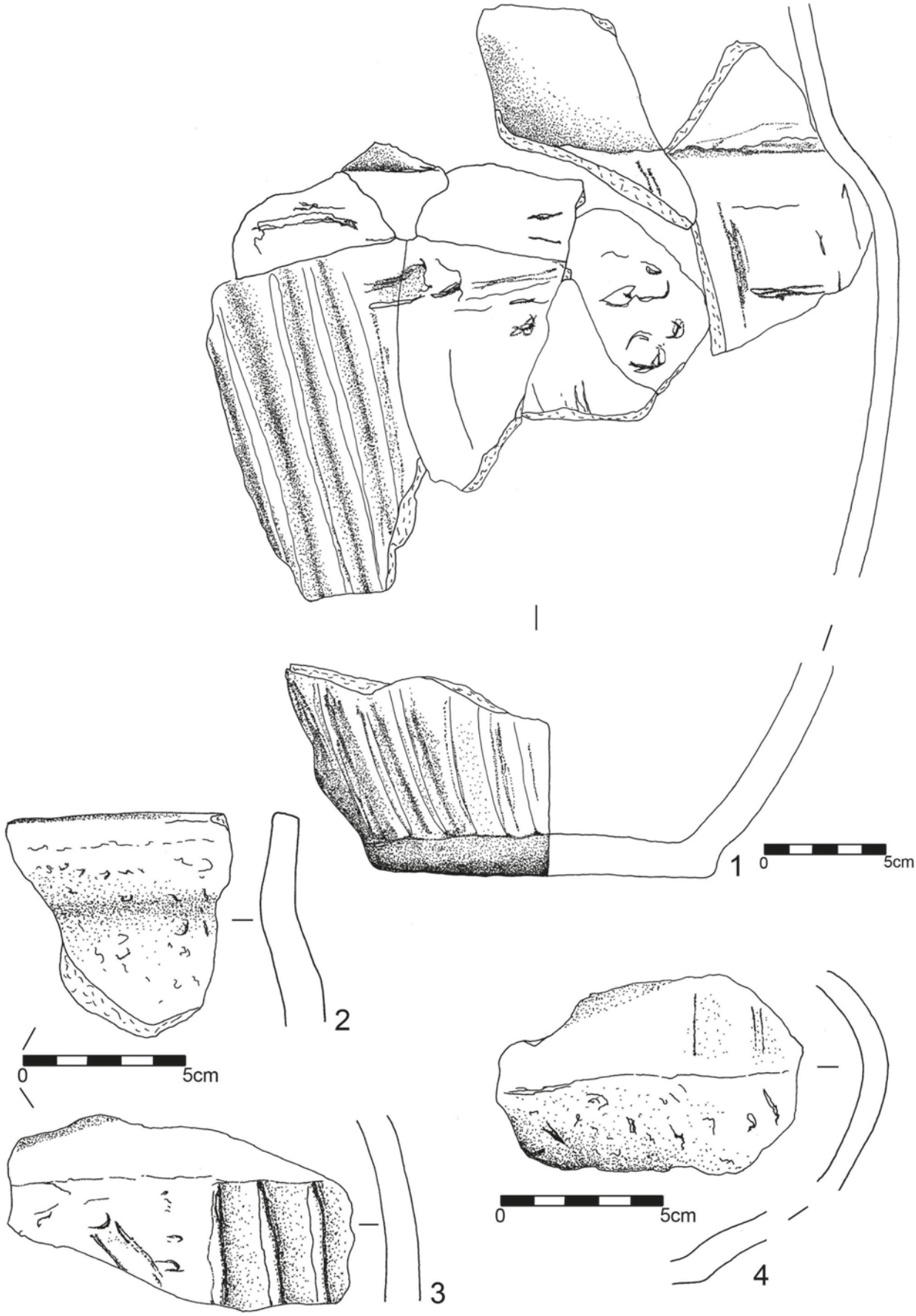

Tabl. 8. Stargard, Stare Miasto, kwartał IX. Obiekt nr 12. 1 – naczynie 7, 2 – naczynie 21; 3 – naczynie 17; 4 – naczynie 18. Oprac. M. Poklewska-Kozieł, R. Mikuła
Taf. 8. Stargard, Altstadt, Quartier IX. Befund Nr. 12. 1 – Gefäß 7, 2 – Gefäß 21; 3 – Gefäß 17; 4 – Gefäß 18. Bearb. M. Poklewska-Kozieł, R. Mikuła

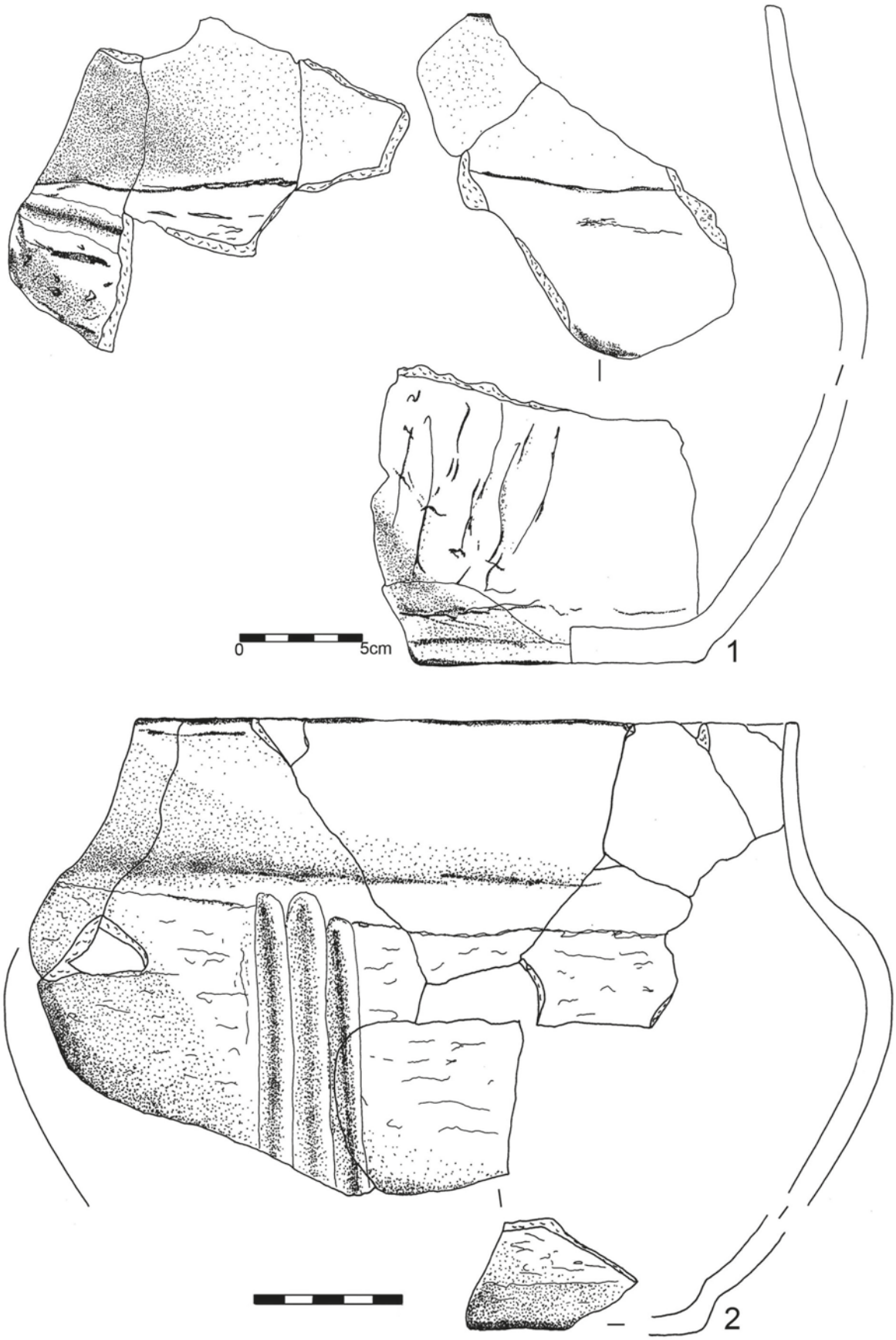

Tabl. 9. Stargard, Stare Miasto, kwartał IX. Obiekt nr 12. 1 – naczynie 9; 2 – naczynie 14. Oprac. M. Poklewska-Kozieł, R. Mikuła
Taf. 9. Stargard, Altstadt, Quartier IX. Befund Nr. 12. 1 – Gefäß 9; 2 – Gefäß 14. Bearb. M. Poklewska-Kozieł, R. Mikuła

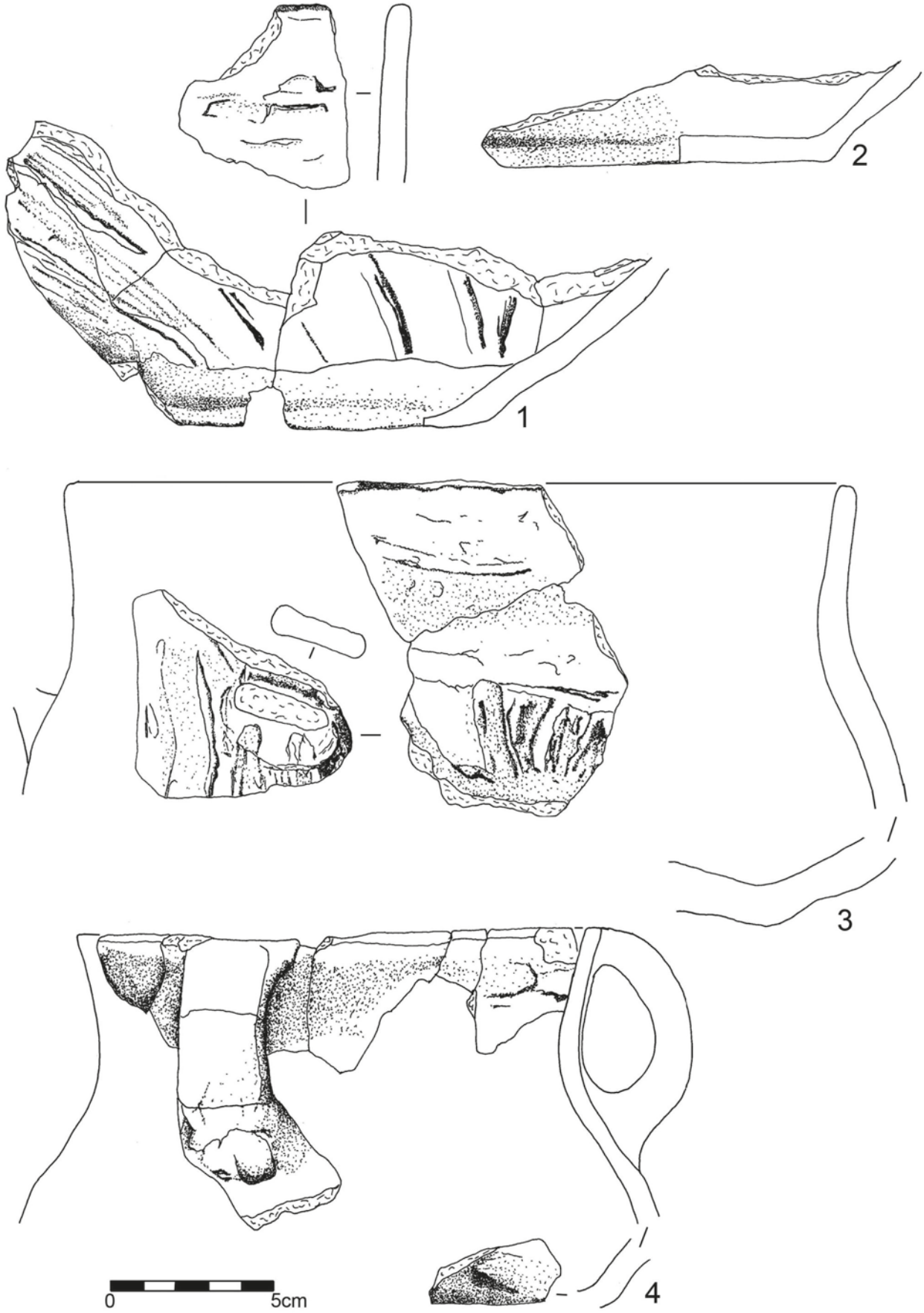

Tabl. 10. Stargard, Stare Miasto, kwartał IX. Obiekt nr 12. 1 – naczynie 19; 2 – naczynie 20; 3 – naczynie 22; 4 – naczynie 24. Oprac. M. Poklewska-Kozieł, R. Mikuła
Taf. 10. Stargard, Altstadt, Quartier IX. Befund Nr. 12. 1 – Gefäß 19; 2 – Gefäß 20; 3 – Gefäß 22; 4 – Gefäß 24. Bearb. M. Poklewska-Kozieł, R. Mikuła

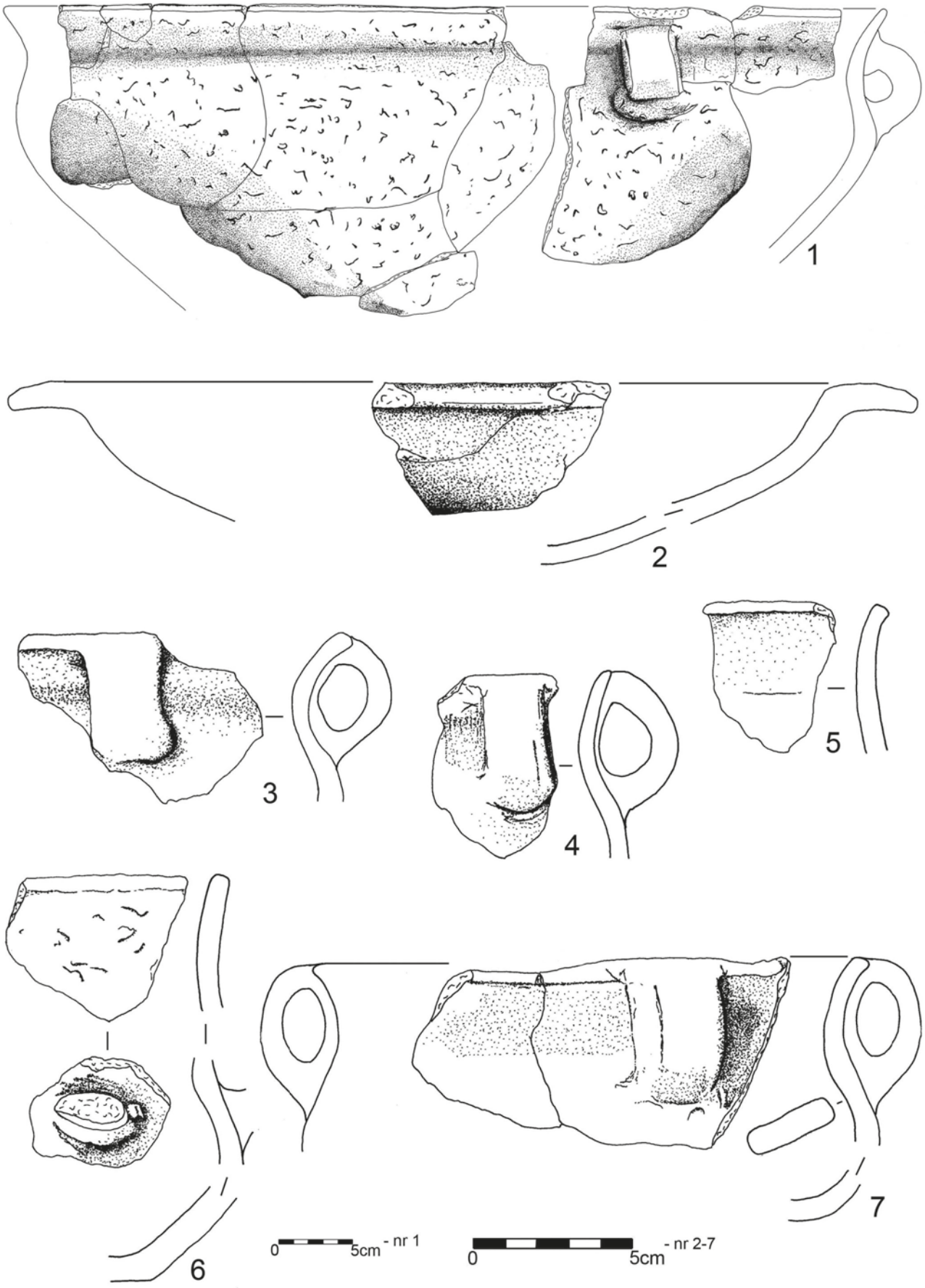

Tabl. 11. Stargard, Stare Miasto, kwartał IX. Obiekt nr 12. 1 – naczynie 23; 2 – naczynie 25; 3 – naczynie 27; 4 – naczynie 28; 5 – naczynie 30; 6 – naczynie 31; 7 – naczynie 26. Oprac. M. Poklewska-Kozieł, R. Mikuła

Taf. 11. Stargard, Altstadt, Quartier IX. Befund Nr. 12. 1 – Gefäß 23; 2 – Gefäß 25; 3 – Gefäß 27; 4 – Gefäß 28; 5 – Gefäß 30; 6 – Gefäß 31; 7 – Gefäß 26. Bearb. M. Poklewska-Kozieł, R. Mikuła

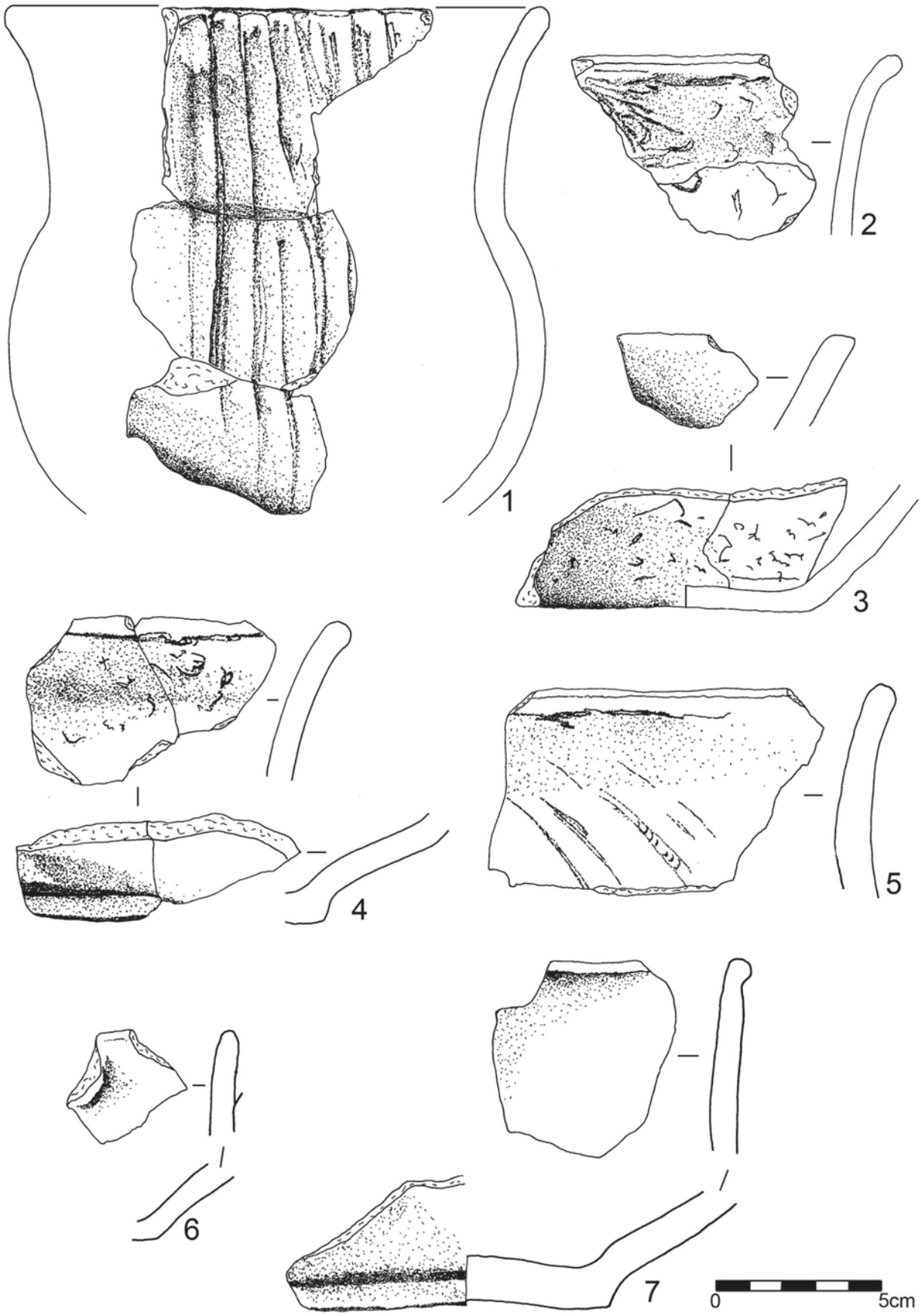

Tabl. 12. Stargard, Stare Miasto, kwartał IX. Obiekt nr 12. 1 – naczynie 29; 2 – naczynie 32; 3 – naczynie 33; 4 – naczynie 34; 5 – naczynie 36; 6 – naczynie 37; 7 – naczynie 38. Oprac. M. Poklewska-Kozieł, R. Mikuła

Taf. 12. Stargard, Altstadt, Quartier IX. Befund Nr. 12. 1 – Gefäß 29; 2 – Gefäß 32; 3 – Gefäß 33; 4 – Gefäß 34; 5 – Gefäß 36; 6 – Gefäß 37; 7 – Gefäß 38. Bearb. M. Poklewska-Kozieł, R. Mikuła

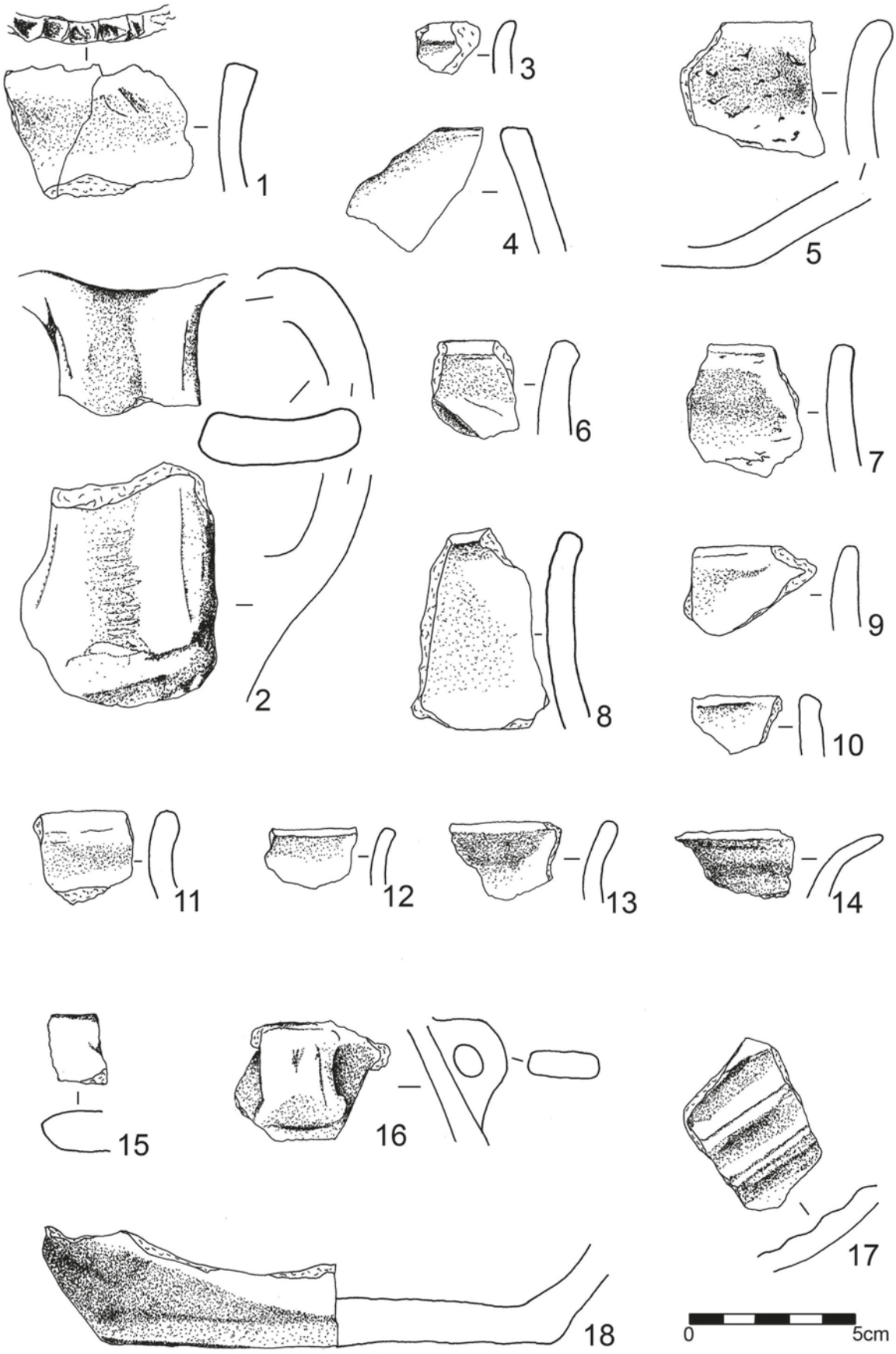

Tabl. 13. Stargard, Stare Miasto, kwartał IX. Obiekt nr 12. 1 – naczynie 41; 2 – naczynie 42; 3 – naczynie 50; 4 – naczynie 47; 5 – naczynie 43; 6 – naczynie 51; 7 – naczynie 52; 8 – naczynie 53; 9 – naczynie 54; 10 – naczynie 55; 11 – naczynie 56; 12 – naczynie 57; 13 – naczynie 58; 14 – naczynie 59; 15 – naczynie 60; 16 – naczynie 66; 17 – naczynie 90. Oprac. M. Poklewska-Kozieł, R. Mikuła

Taf. 13. Stargard, Altstadt, Quartier IX. Befund Nr. 12. 1 – Gefäß 41; 2 – Gefäß 42; 3 – Gefäß 50; 4 – Gefäß 47; 5 – Gefäß 43; 6 – Gefäß 51; 7 – Gefäß 52; 8 – Gefäß 53; 9 – Gefäß 54; 10 – Gefäß 55; 11 – Gefäß 56; 12 – Gefäß 57; 13 – Gefäß 58; 14 – Gefäß 59; 15 – Gefäß 60; 16 – Gefäß 66; 17 – Gefäß 90. Bearb. M. Poklewska-Kozieł, R. Mikuła

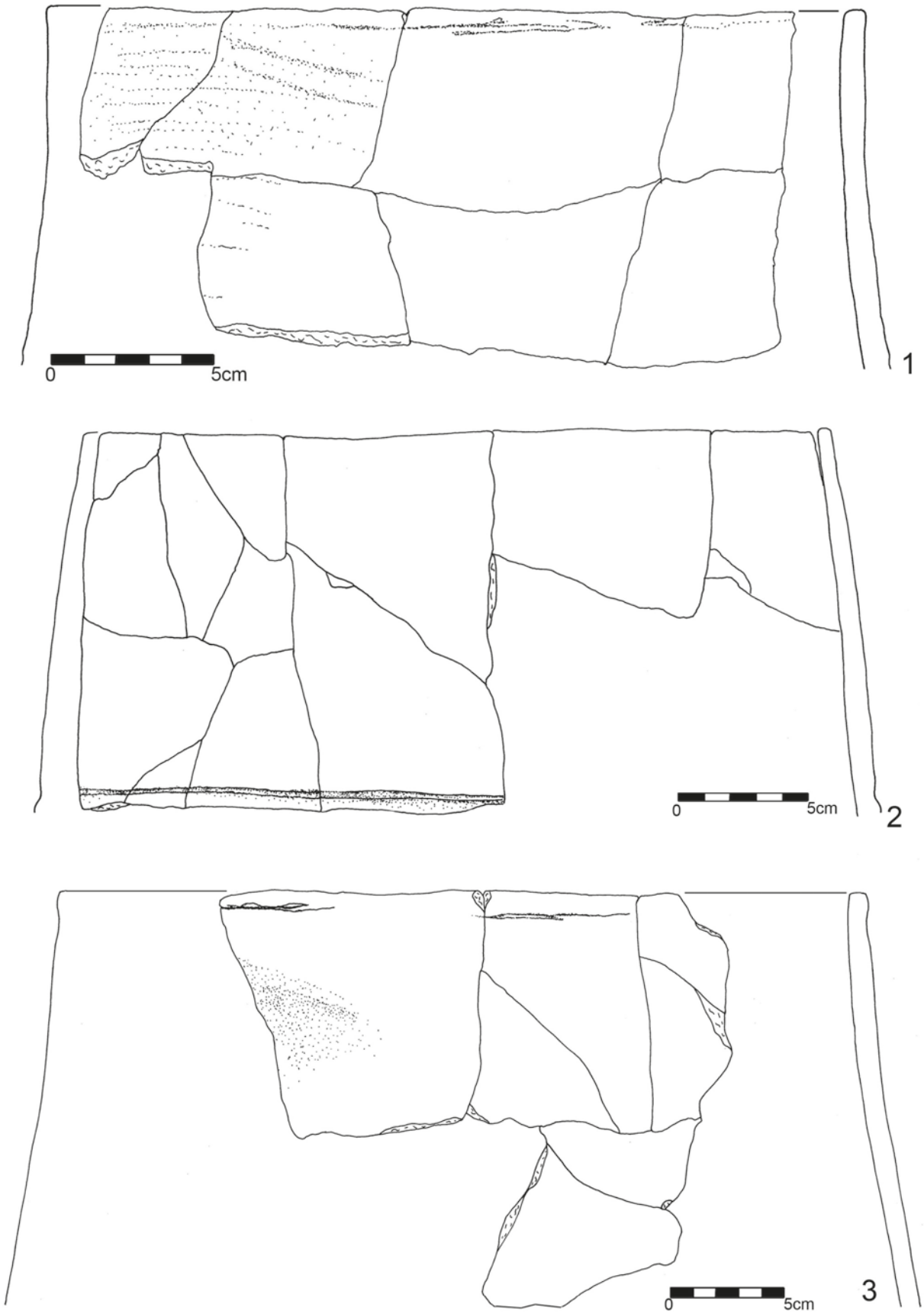

Tabl. 14. Stargard, Stare Miasto, kwartał IX. Obiekt nr 12. 1 – naczynie 98; 2 – naczynie 97; 3 – naczynie 99. Oprac. M. Poklewska-Kozieł, R. Mikuła
Taf. 14. Stargard, Altstadt, Quartier IX. Befund Nr. 12. 1 – Gefäß 98; 2 – Gefäß 97; 3 – Gefäß 99. Bearb. M. Poklewska-Kozieł, R. Mikuła

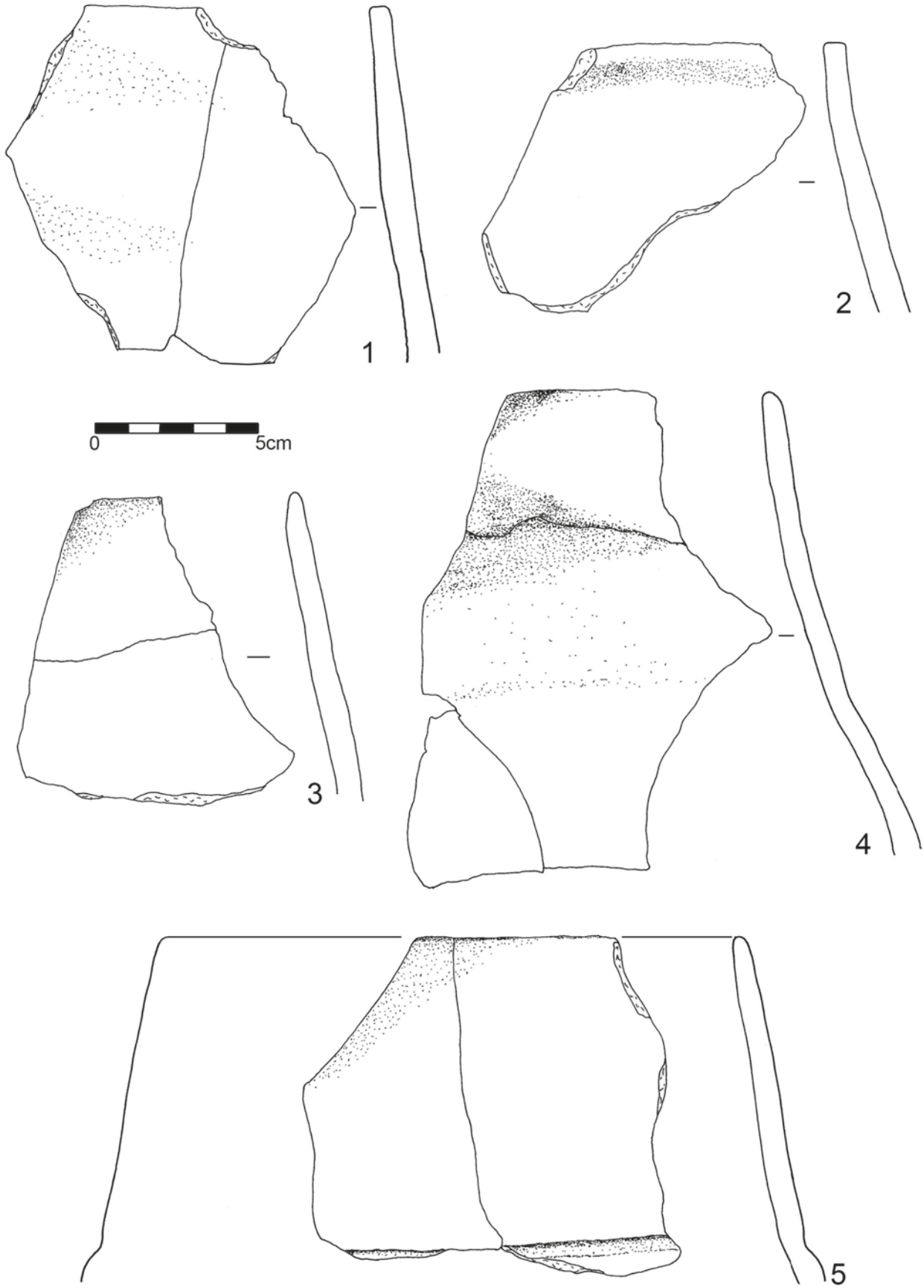

Tabl. 15. Stargard, Stare Miasto, Stare Miasto, kwartał IX. Obiekt nr 12. 1 – naczynie 100; 2 – naczynie 104; 3 – naczynie 102; 4 – naczynie 101; 5 – naczynie 103. Oprac. M. Poklewska-Kozieł, R. Mikuła

Taf. 15. Stargard, Altstadt, Quartier IX. Befund Nr. 12. 1 – Gefäß 100; 2 – Gefäß 104; 3 – Gefäß 102; 4 – Gefäß 101; 5 – Gefäß 103. Bearb. M. Poklewska-Kozieł, R. Mikuła

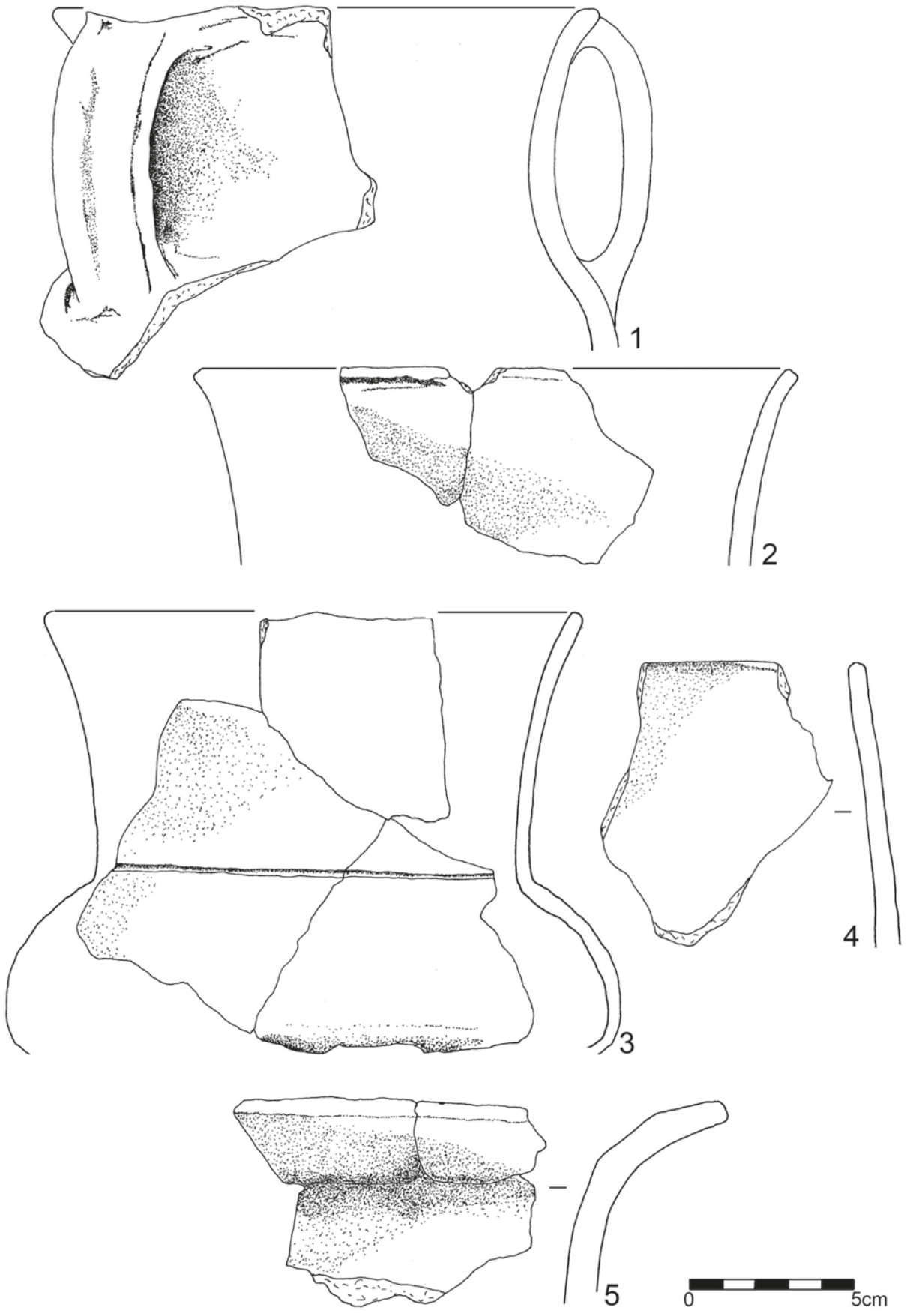

Tabl. 16. Stargard, Stare Miasto, kwartał IX. Obiekt nr 12. 1 – naczynie 108; 2 – naczynie 105; 3 – naczynie 109; 4 – naczynie 106; 5 – naczynie 107. Oprac. M. Poklewska-Kozieł, R. Mikuła

Taf. 16. Stargard, Altstadt, Quartier IX. Befund Nr. 12. 1 – Gefäß 108; 2 – Gefäß 105; 3 – Gefäß 109; 4 – Gefäß 106; 5 – Gefäß 107. Bearb. M. Poklewska-Kozieł, R. Mikuła

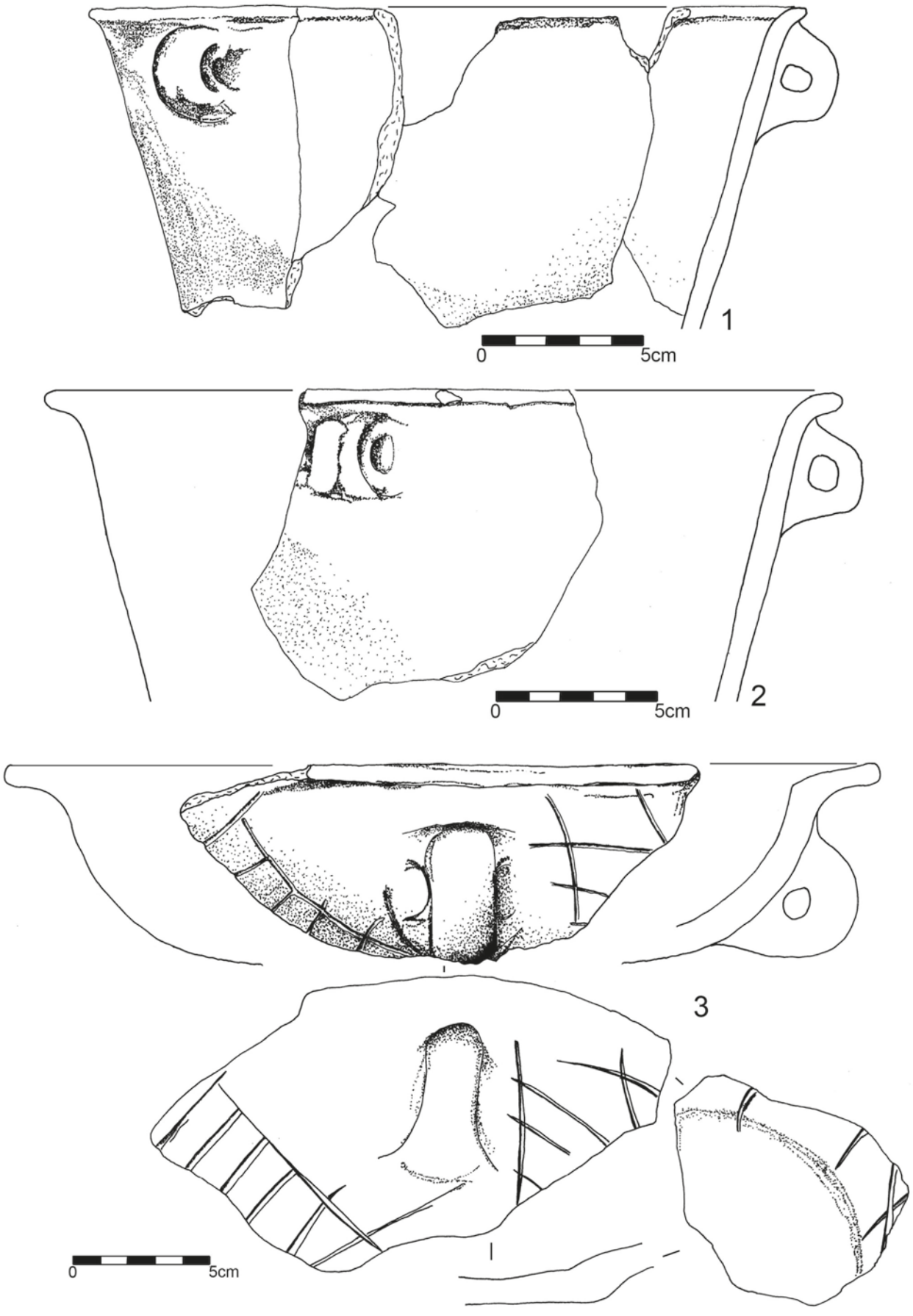

Tabl. 17. Stargard, Stare Miasto, kwartał IX. Obiekt nr 12. 1 – naczynie 110; 2 – naczynie 111; 3 – naczynie 112. Oprac. M. Poklewska-Kozieł, R. Mikuła
Taf. 17. Stargard, Altstadt, Quartier IX. Befund Nr. 12. 1 – Gefäß 110; 2 – Gefäß 111; 3 – Gefäß 112. Bearb. M. Poklewska-Kozieł, R. Mikuła

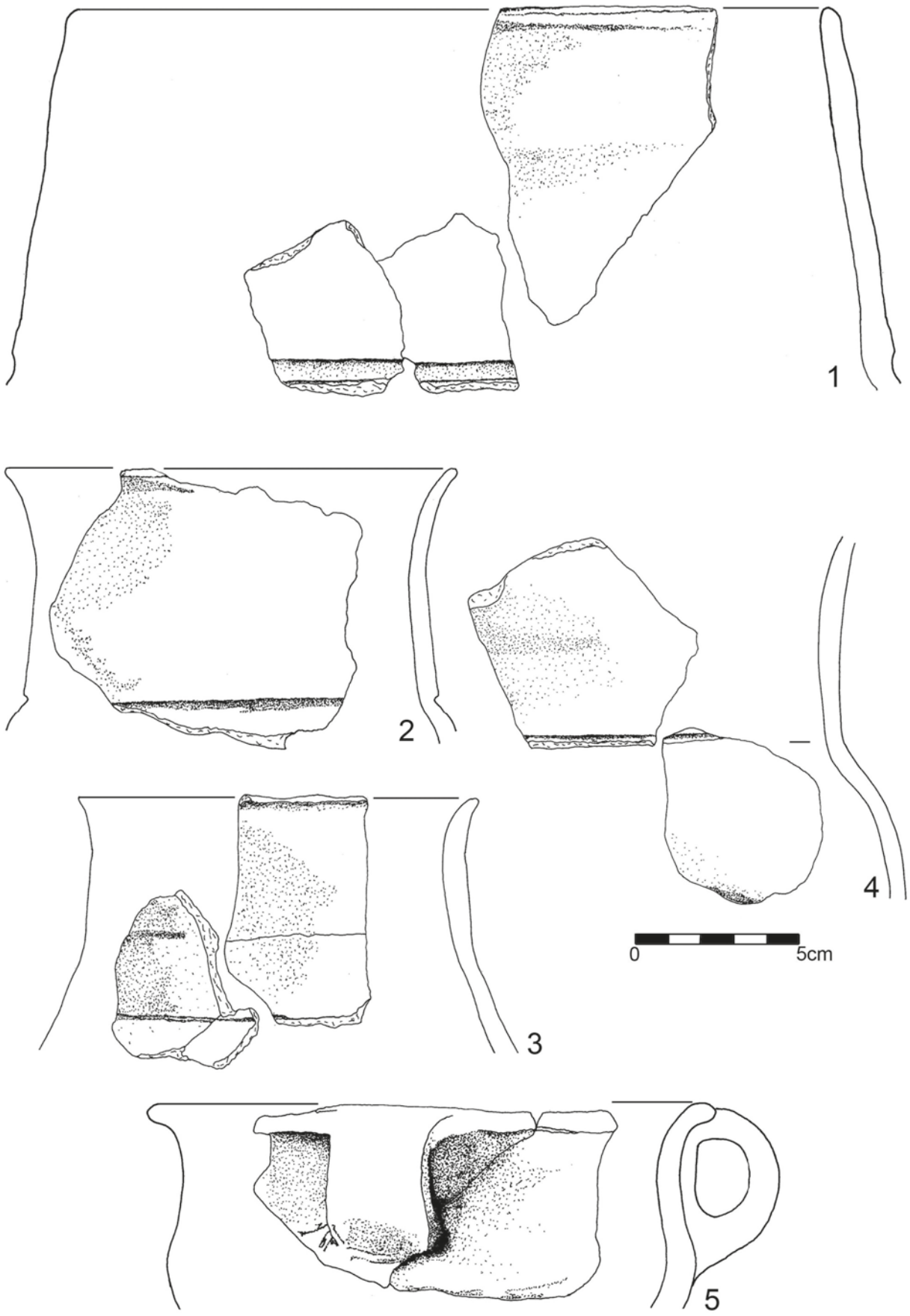

Tabl. 18. Stargard, Stare Miasto, kwartał IX. Obiekt nr 12. 1 – naczynie 113; 2 – naczynie 114; 3 – naczynie 115; 4 – naczynie 116; 5 – naczynie 118. Oprac. M. Poklewska-Kozieł, R. Mikuła

Taf. 18. Stargard, Altstadt, Quartier IX. Befund Nr. 12. 1 – Gefäß 113; 2 – Gefäß 114; 3 – Gefäß 115; 4 – Gefäß 116; 5 – Gefäß 118. Bearb. M. Poklewska-Kozieł, R. Mikuła

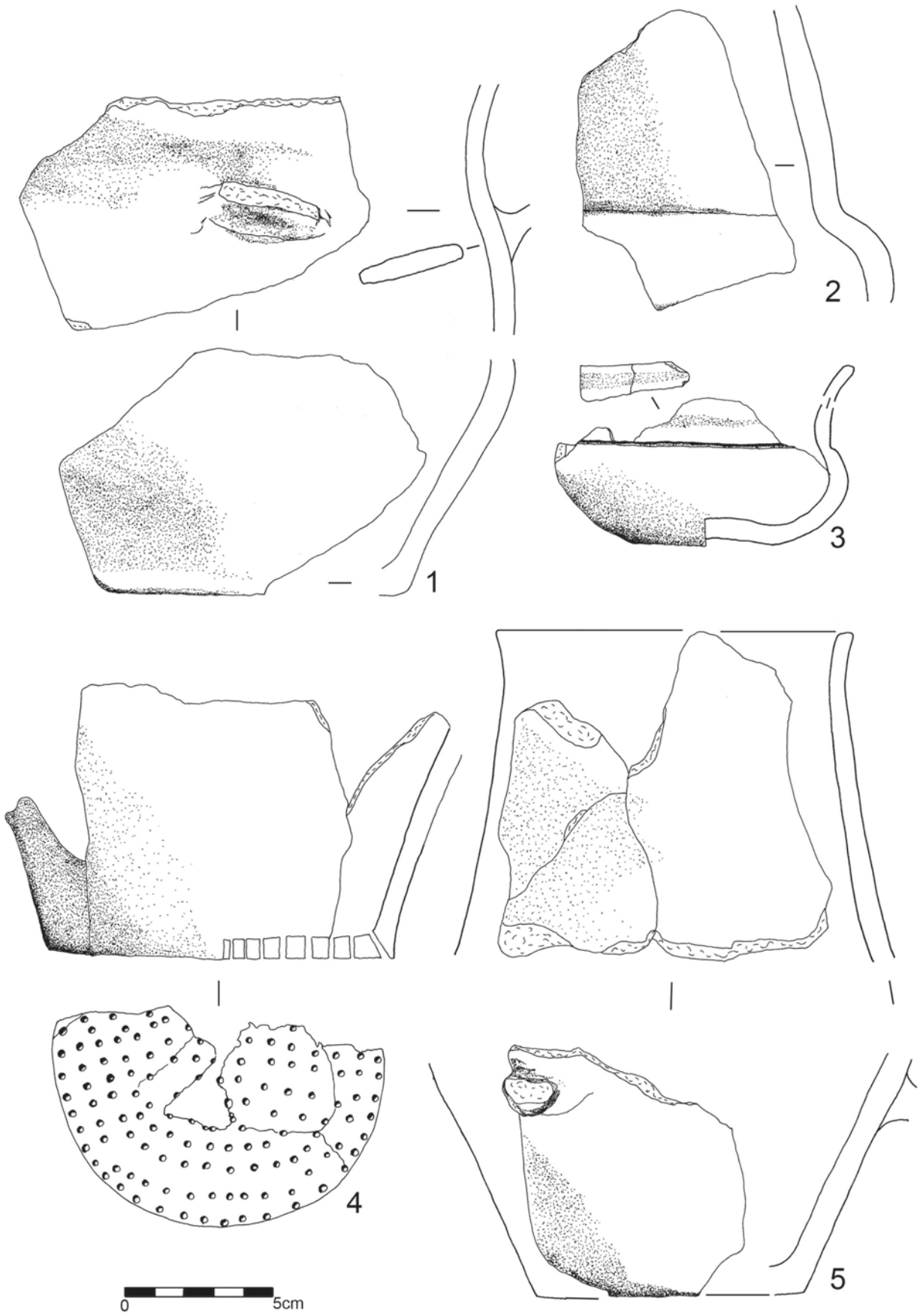

Tabl. 19. Stargard, Stare Miasto, kwartał IX. Obiekt nr 12. 1 – naczynie 117; 2 – naczynie 119; 3 – naczynie 120; 4 – naczynie 123; 5 – naczynie 124. Oprac. M. Poklewska-Kozieł, R. Mikuła

Taf. 19. Stargard, Altstadt, Quartier IX. Befund Nr. 12. 1 – Gefäß 117; 2 – Gefäß 119; 3 – Gefäß 120; 4 – Gefäß 123; 5 – Gefäß 124. Bearb. M. Poklewska-Kozieł, R. Mikuła

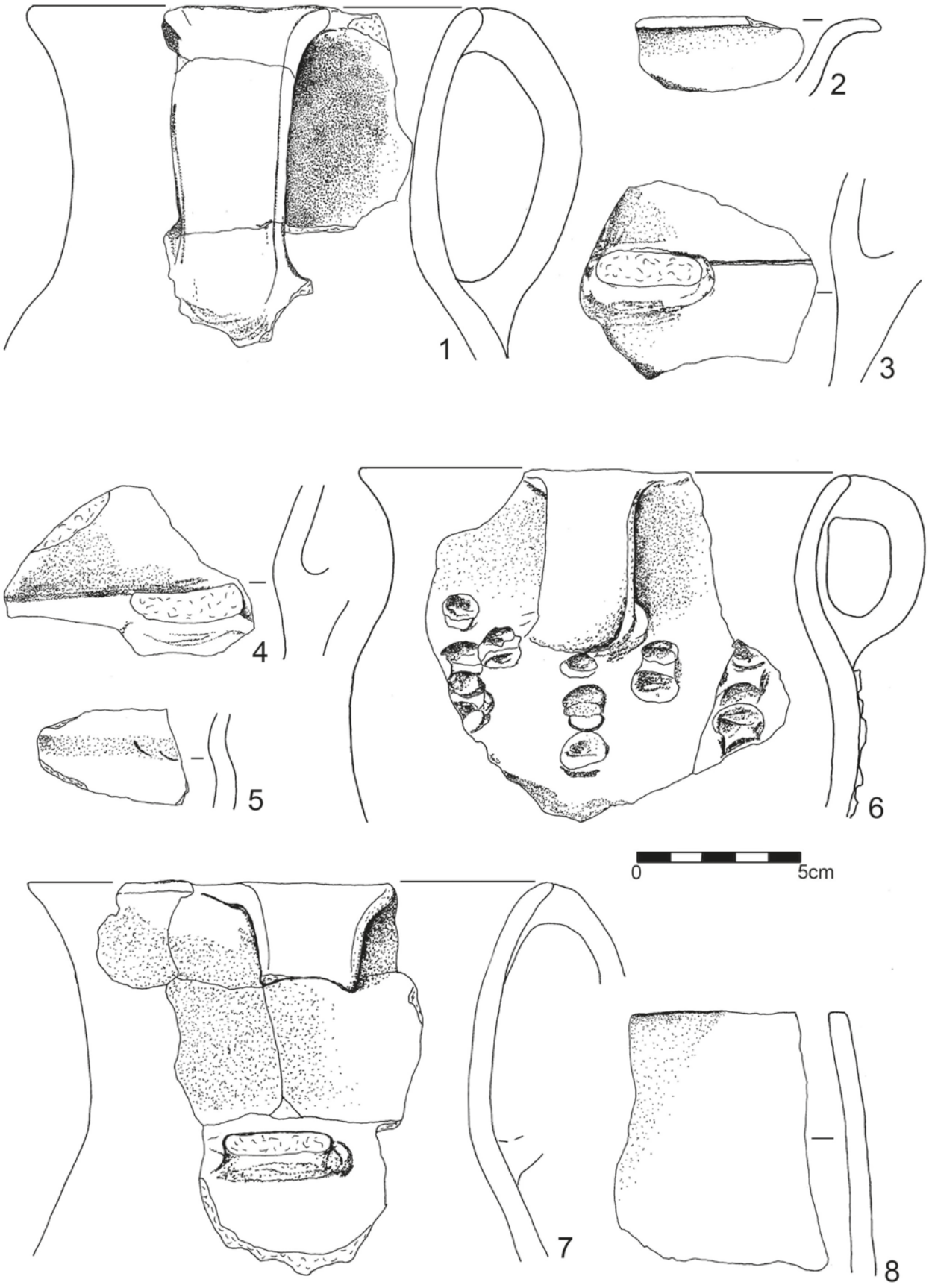

Tabl. 20. Stargard, Stare Miasto, kwartał IX. Obiekt nr 12. 1 – naczynie 126; 2 – naczynie 136; 3 – naczynie 127; 4 – naczynie 128; 5 – naczynie 135; 6 – naczynie 130; 7 – naczynie 131; 8 – naczynie 132. Oprac. M. Poklewska-Kozieł, R. Mikuła

Taf. 20. Stargard, Altstadt, Quartier IX. Befund Nr. 12. 1 – Gefäß 126; 2 – Gefäß 136; 3 – Gefäß 127; 4 – Gefäß 128; 5 – Gefäß 135; 6 – Gefäß 130; 7 – Gefäß 131; 8 – Gefäß 132. Bearb. M. Poklewska-Kozieł, R. Mikuła

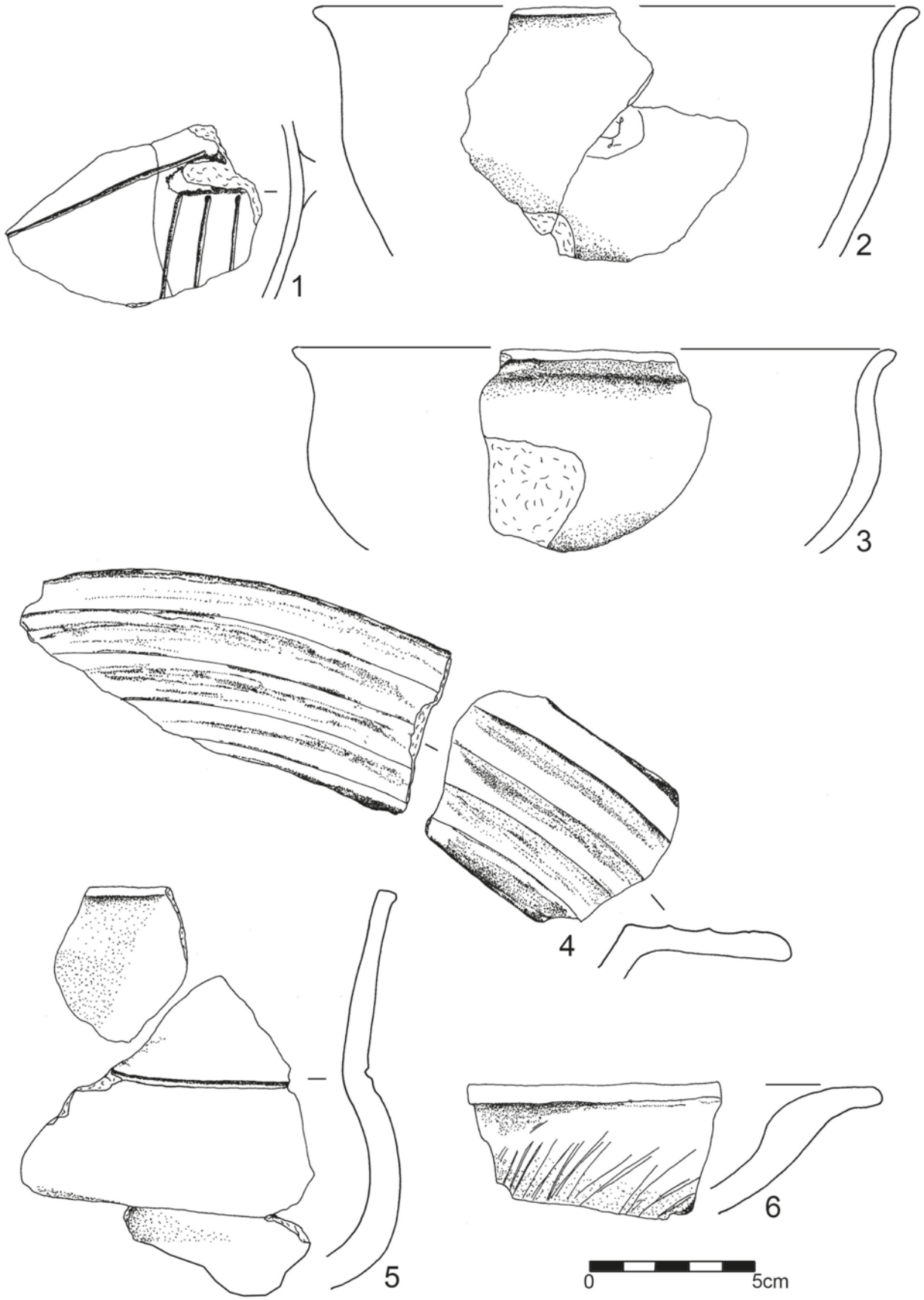

Tabl. 21. Stargard, Stare Miasto, kwartał IX. Obiekt nr 12. 1 – naczynie 133; 2 – naczynie 134; 3 – naczynie 137; 4 – naczynie 139; 5 – naczynie 138; 6 – naczynie 146. Oprac. M. Poklewska-Kozieł, R. Mikuła

Taf. 21. Stargard, Altstadt, Quartier IX. Befund Nr. 12. 1 – Gefäß 133; 2 – Gefäß 134; 3 – Gefäß 137; 4 – Gefäß 139; 5 – Gefäß 138; 6 – Gefäß 146. Bearb. M. Poklewska-Kozieł, R. Mikuła

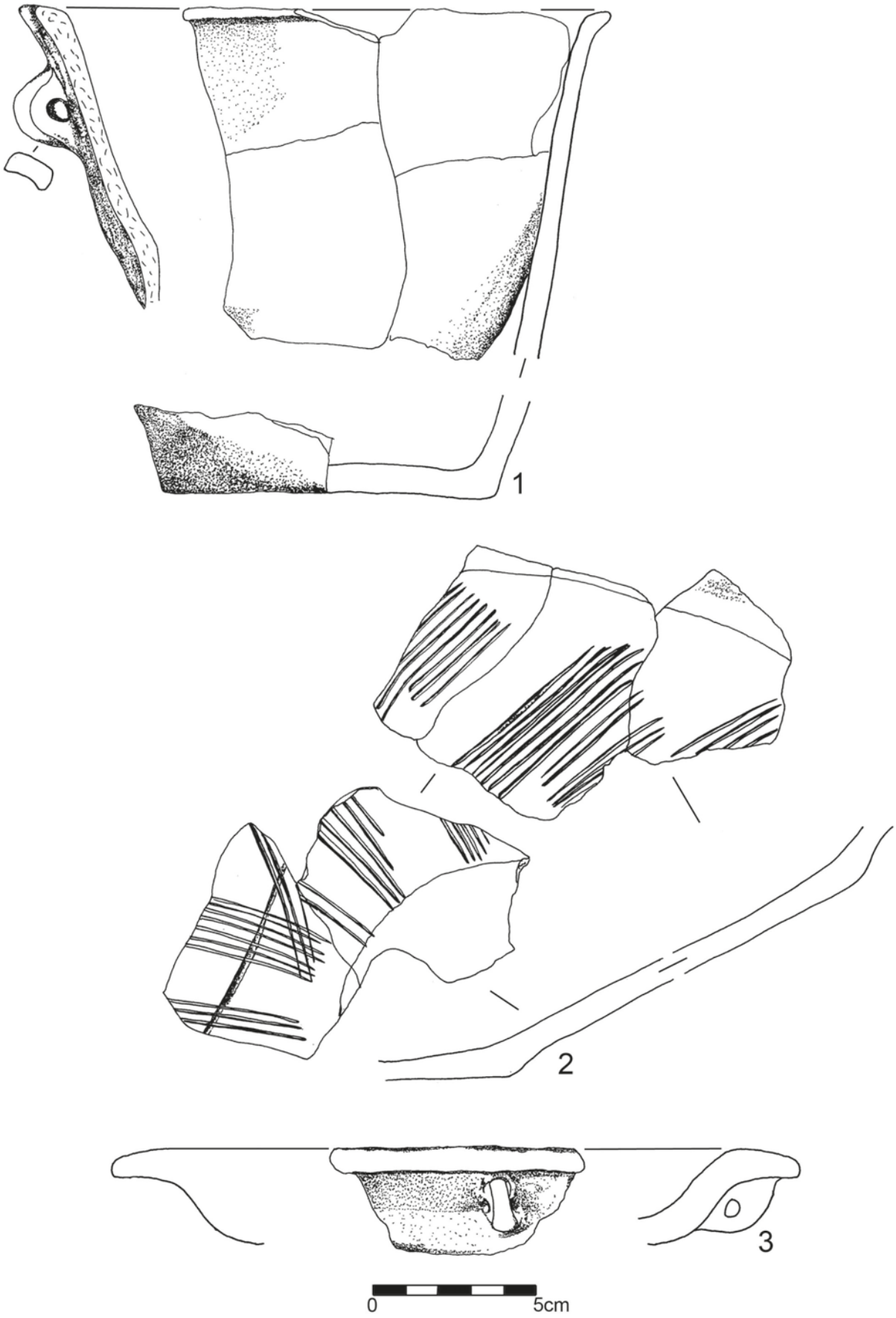

Tabl. 22. Stargard, Stare Miasto, kwartał IX. Obiekt nr 12. 1 – naczynie 140; 2 – naczynie 141; 3 – naczynie 145. Oprac. M. Poklewska-Kozieł, R. Mikuła
Taf. 22. Stargard, Altstadt, Quartier IX. Befund Nr. 12. 1 – Gefäß 140; 2 – Gefäß 141; 3 – Gefäß 145. Bearb. M. Poklewska-Kozieł, R. Mikuła

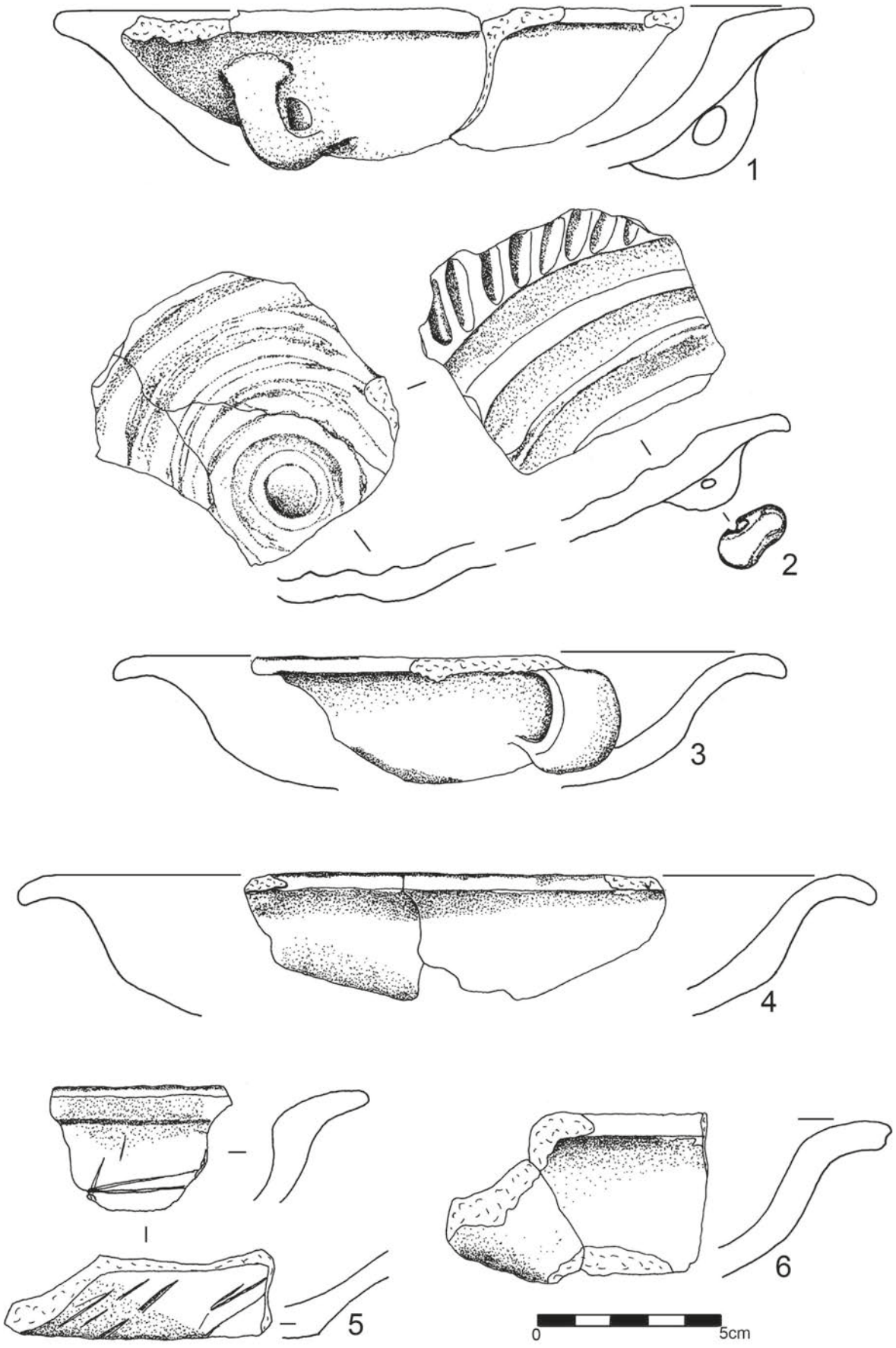

Tabl. 23. Stargard, kwartał IX. Obiekt nr 12. 1 – naczynie 143; 2 – naczynie 144; 3 – naczynie 147; 4 – naczynie 148; 5 – naczynie 149; 6 – naczynie 151. Oprac. M. Poklewska-Kozieł, R. Mikuła

Taf. 23. Stargard, Altstadt, Quartier IX. Befund Nr. 12. 1 – Gefäß 143; 2 – Gefäß 144; 3 – Gefäß 147; 4 – Gefäß 148; 5 – Gefäß 149; 6 – Gefäß 151. Bearb. M. Poklewska-Kozieł, R. Mikuła

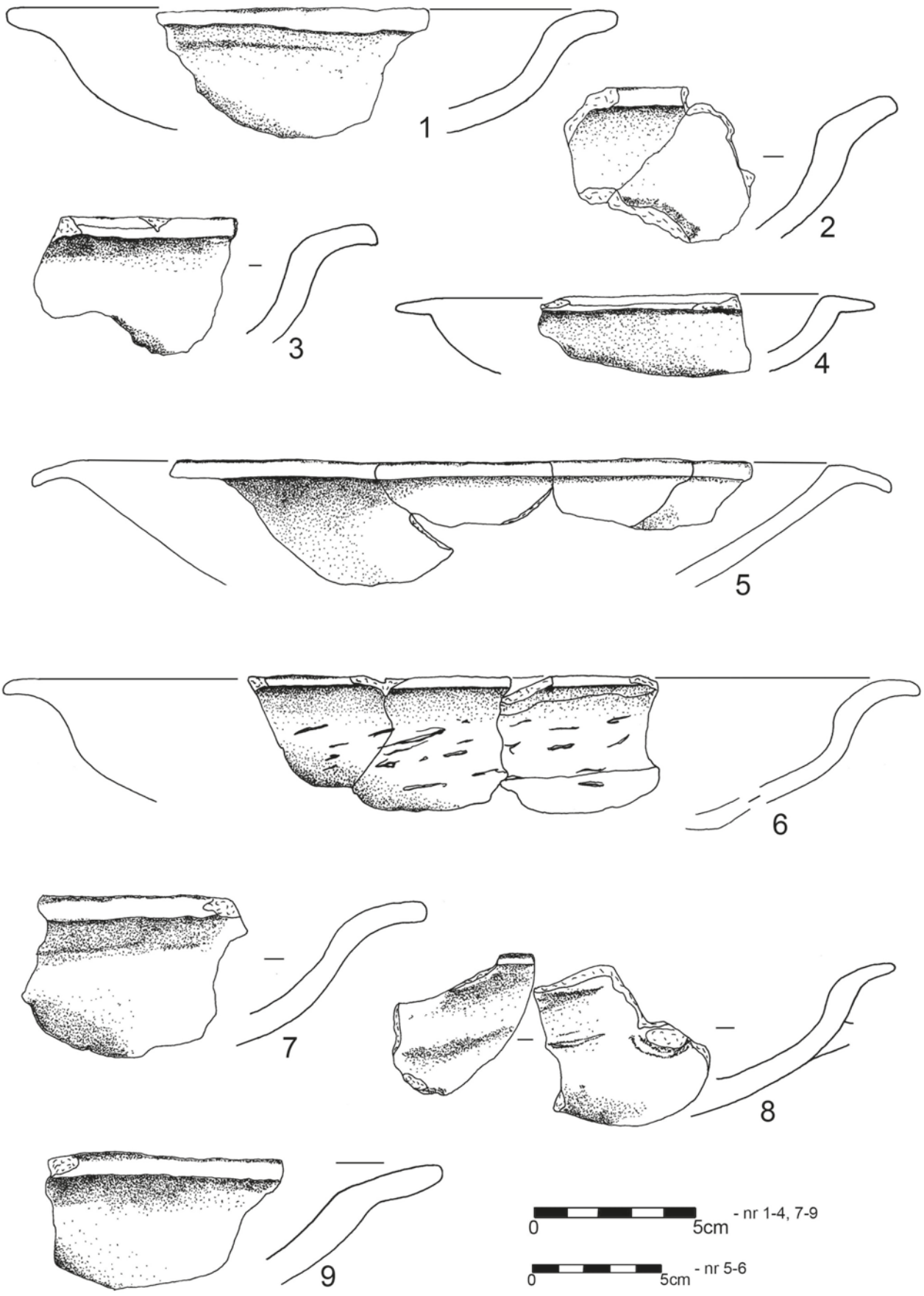

Tabl. 24. Stargard, Stare Miasto, kwartał IX. Obiekt nr 12. 1 – naczynie 150; 2 – naczynie 152; 3 – naczynie 153; 4 – naczynie 159; 5 – naczynie 142; 6 – naczynie 155; 7 – naczynie 154; 8 – naczynie 156; 9 – naczynie 168. Oprac. M. Poklewska-Kozieł, R. Mikuła

Taf. 24. Stargard, Altstadt, Quartier IX. Befund Nr. 12. 1 – Gefäß 150; 2 – Gefäß 152; 3 – Gefäß 153; 4 – Gefäß 159; 5 – Gefäß 142; 6 – Gefäß 155; 7 – Gefäß 154; 8 – Gefäß 156; 9 – Gefäß 168. Bearb. M. Poklewska-Kozieł, R. Mikuła

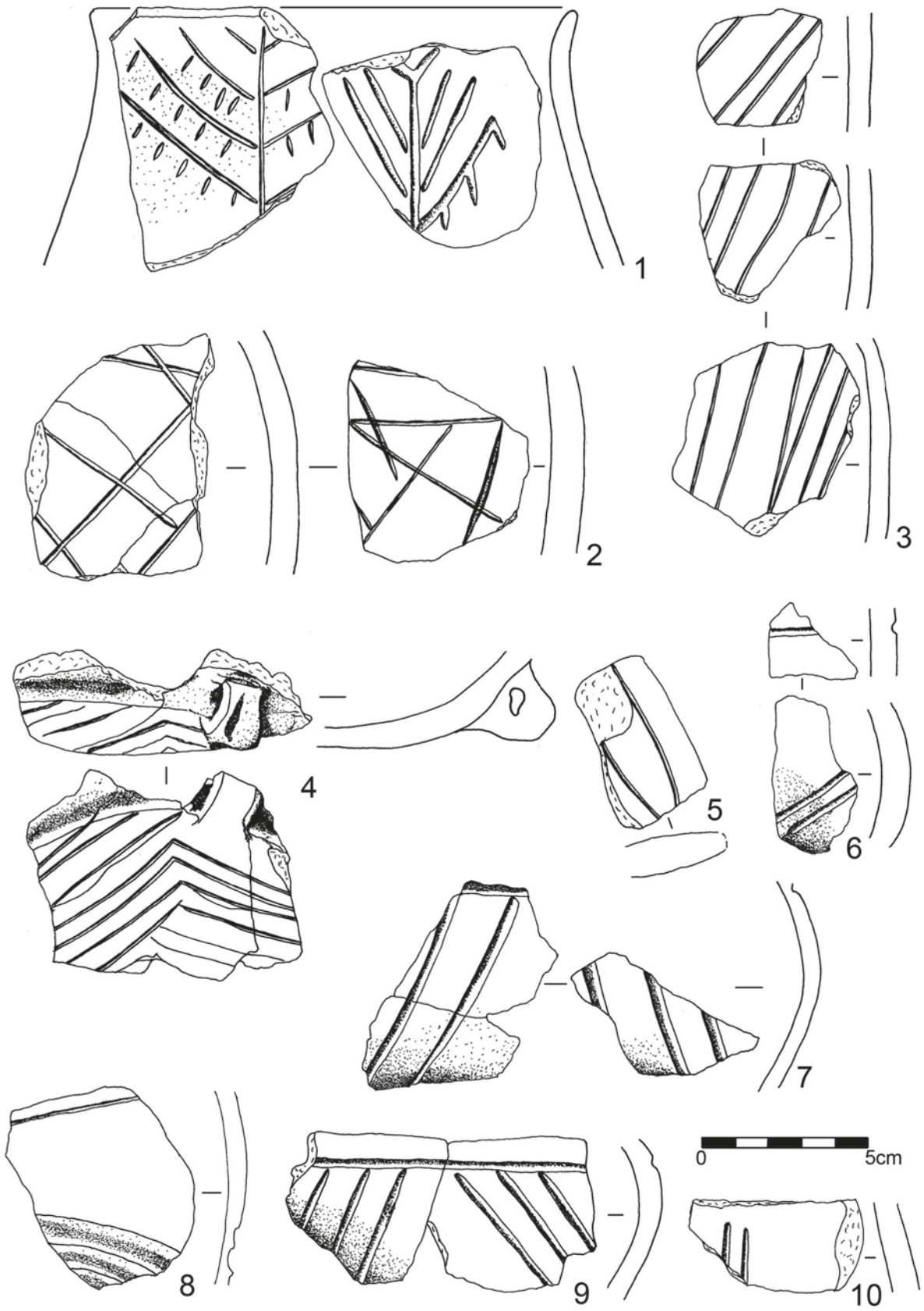

Tabl. 25. Stargard, Stare Miasto, kwartał IX. Obiekt nr 12. 1 – naczynie 169; 2 – naczynie 170; 3 – naczynie 171; 4 – naczynie 172; 5 – naczynie 174; 6 – naczynie 177; 7 – naczynie 175; 8 – naczynie 173; 9 – naczynie 176; 10 – naczynie 178. Oprac. M. Poklewska-Koziełł, R. Mikuła

Taf. 25. Stargard, Altstadt, Quartier IX. Befund Nr. 12. 1 – Gefäß 169; 2 – Gefäß 170; 3 – Gefäß 171; 4 – Gefäß 172; 5 – Gefäß 174; 6 – Gefäß 177; 7 – Gefäß 175; 8 – Gefäß 173; 9 – Gefäß 176; 10 – Gefäß 178. Bearb. M. Poklewska-Koziełł, R. Mikuła

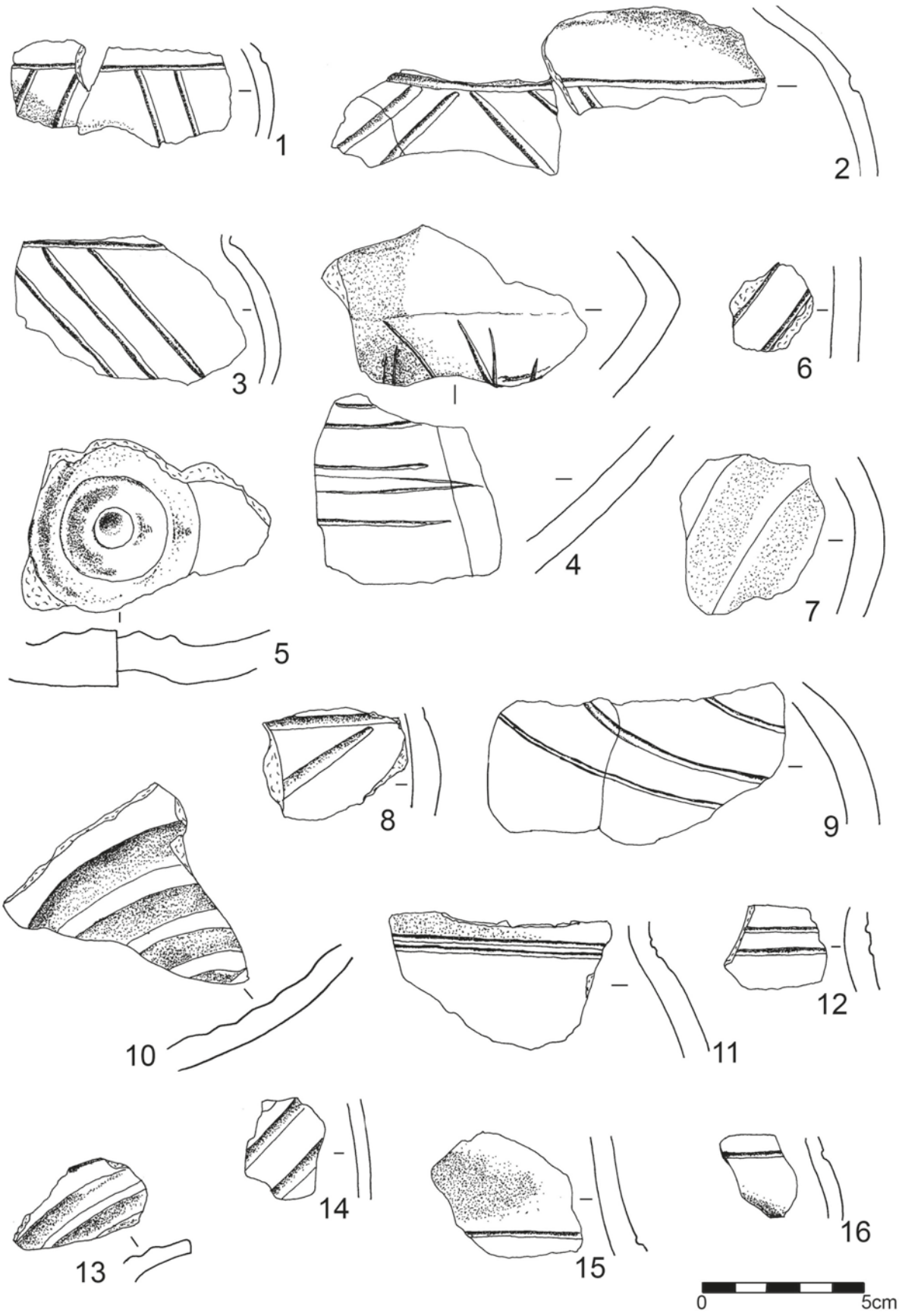

Tabl. 26. Stargard, Stare Miasto, kwartał IX. Obiekt nr 12. 1 – naczynie 179; 2 – naczynie 181; 3 – naczynie 180; 4 – naczynie 182; 5 – naczynie 183; 6 – naczynie 186; 7 – naczynie 185; 8 – naczynie 189; 9 – naczynie 188; 10 – naczynie 184; 11 – naczynie 187; 12 – naczynie 190; 13 – naczynie 193; 14 – naczynie 194; 15 – naczynie 195; 16 – naczynie 196. Oprac. M. Poklewska-Kozieł, R. Mikuła

Taf. 26. Stargard, Altstadt, Quartier IX. Befund Nr. 12. 1 – Gefäß 179; 2 – Gefäß 181; 3 – Gefäß 180; 4 – Gefäß 182; 5 – Gefäß 183; 6 – Gefäß 186; 7 – Gefäß 185; 8 – Gefäß 189; 9 – Gefäß 188; 10 – Gefäß 184; 11 – Gefäß 187; 12 – Gefäß 190; 13 – Gefäß 193; 14 – Gefäß 194; 15 – Gefäß 195; 16 – Gefäß 196. Bearb. M. Poklewska-Kozieł, R. Mikuła

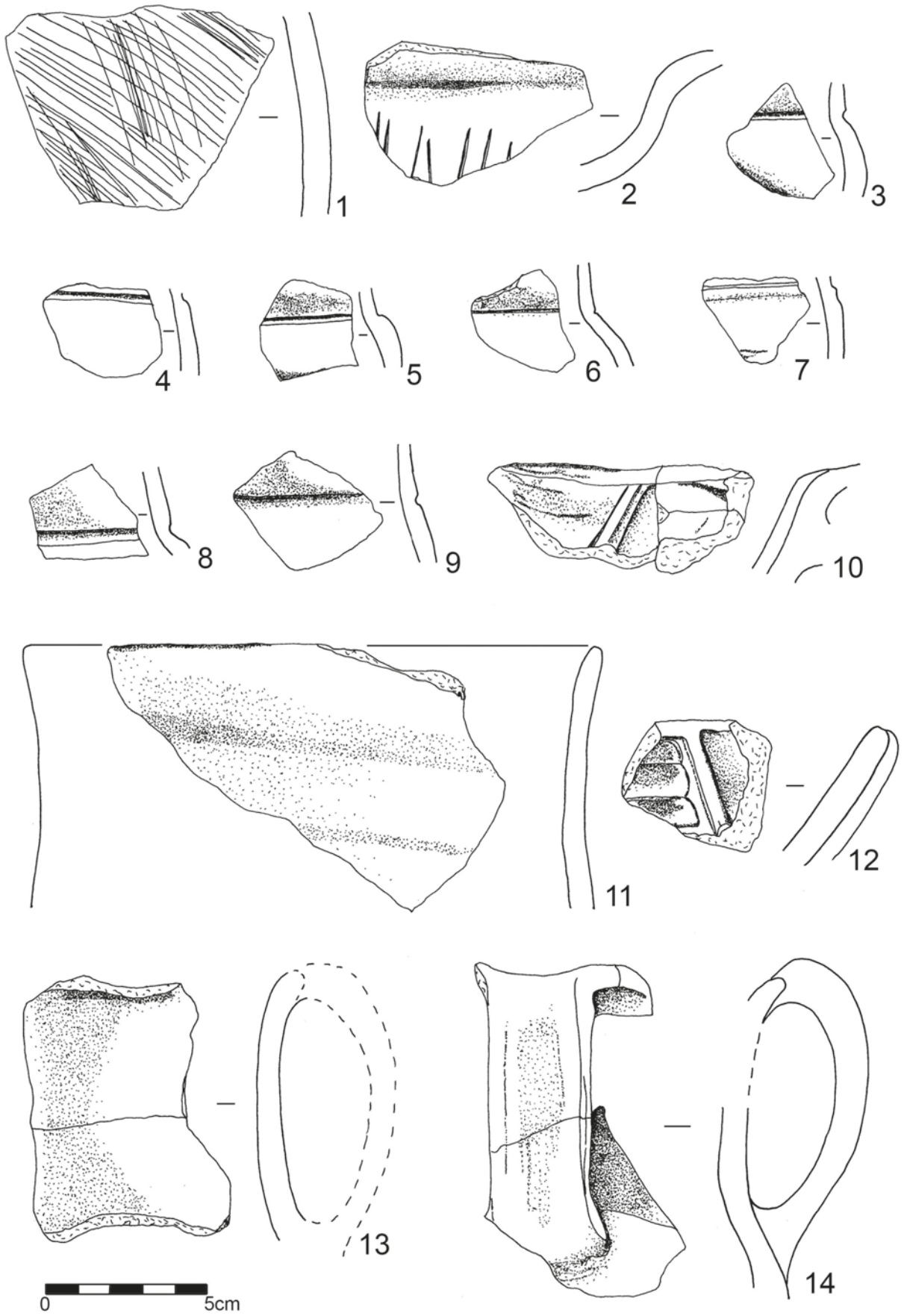

Tabl. 27. Stargard, Stare Miasto, kwartał IX. Obiekt nr 12. 1 – naczynie 191; 2 – naczynie 192; 3 – naczynie 197; 4 – naczynie 198; 5 – naczynie 199; 6 – naczynie 200; 7 – naczynie 211; 8 – naczynie 212; 9 – naczynie 213; 10 – naczynie 202; 11 – naczynie 203; 12-, naczynie 201; 13 – naczynie 204; 14 – naczynie 205. Oprac. M. Poklewska-Kozieł, R. Mikuła

Taf. 27. Stargard, Altstadt, Quartier IX. Befund Nr. 12. 1 – Gefäß 191; 2 – Gefäß 192; 3 – Gefäß 197; 4 – Gefäß 198; 5 – Gefäß 199; 6 – Gefäß 200; 7 – Gefäß 211; 8 – Gefäß 212; 9 – Gefäß 213; 10 – Gefäß 202; 11 – Gefäß 203; 12 – Gefäß 201; 13 – Gefäß 204; 14 – Gefäß 205. Bearb. M. Poklewska-Kozieł, R. Mikuła

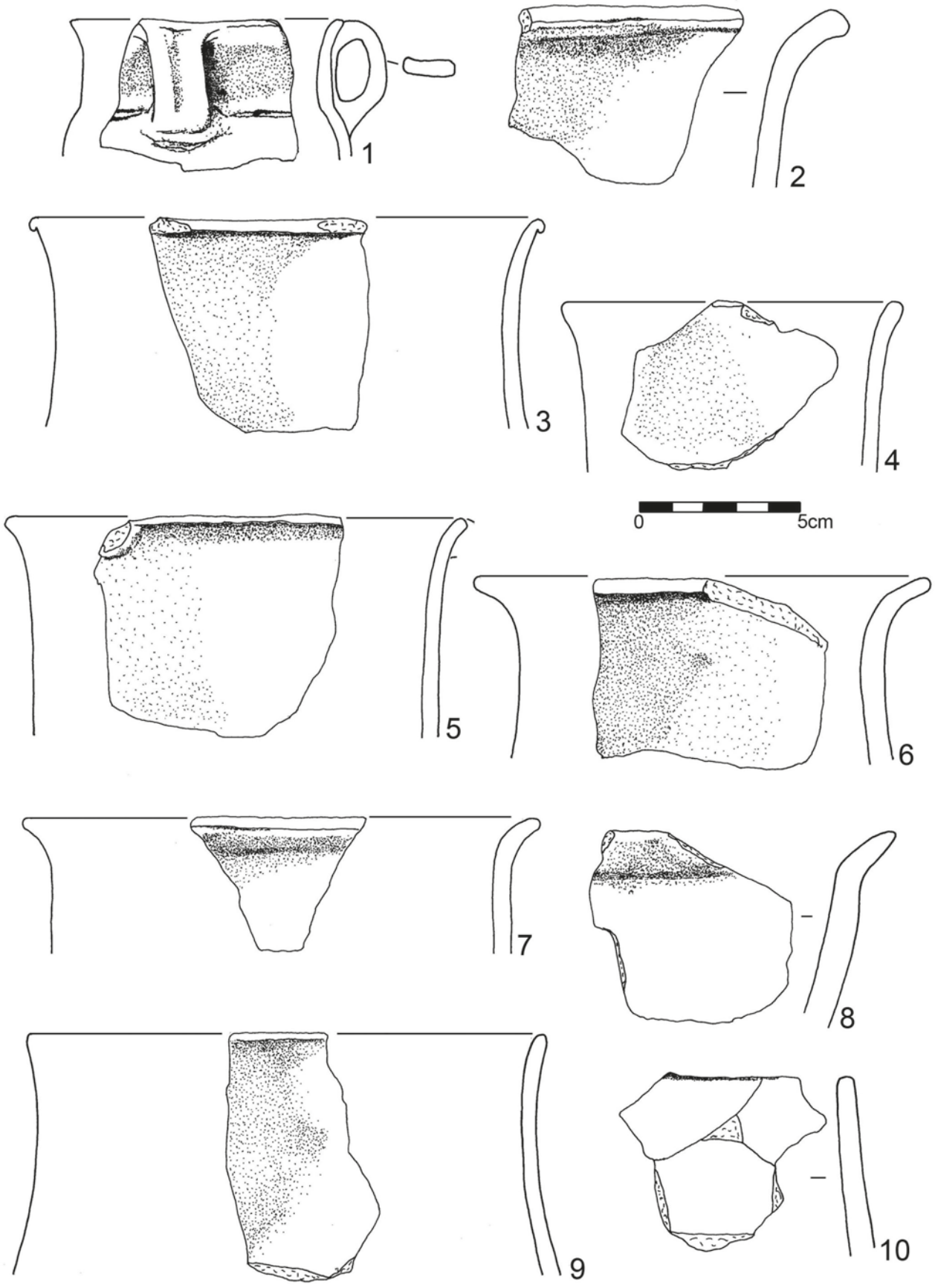

Tabl. 28. Stargard, Stare Miasto, kwartał IX. Obiekt nr 12. 1 – naczynie 206; 2 – naczynie 207; 3 – naczynie 209; 4 – naczynie 208; 5 – naczynie 210; 6 – naczynie 215; 7 – naczynie 214; 8 – naczynie 220; 9 – naczynie 216; 10 – naczynie 218. Oprac. M. Poklewska-Kozieł, R. Mikuła

Taf. 28. Stargard, Altstadt, Quartier IX. Befund Nr. 12. 1 – Gefäß 206; 2 – Gefäß 207; 3 – Gefäß 209; 4 – Gefäß 208; 5 – Gefäß 210; 6 – Gefäß 215; 7 – Gefäß 214; 8 – Gefäß 220; 9 – Gefäß 216; 10 – Gefäß 218. Bearb. M. Poklewska-Kozieł, R. Mikuła

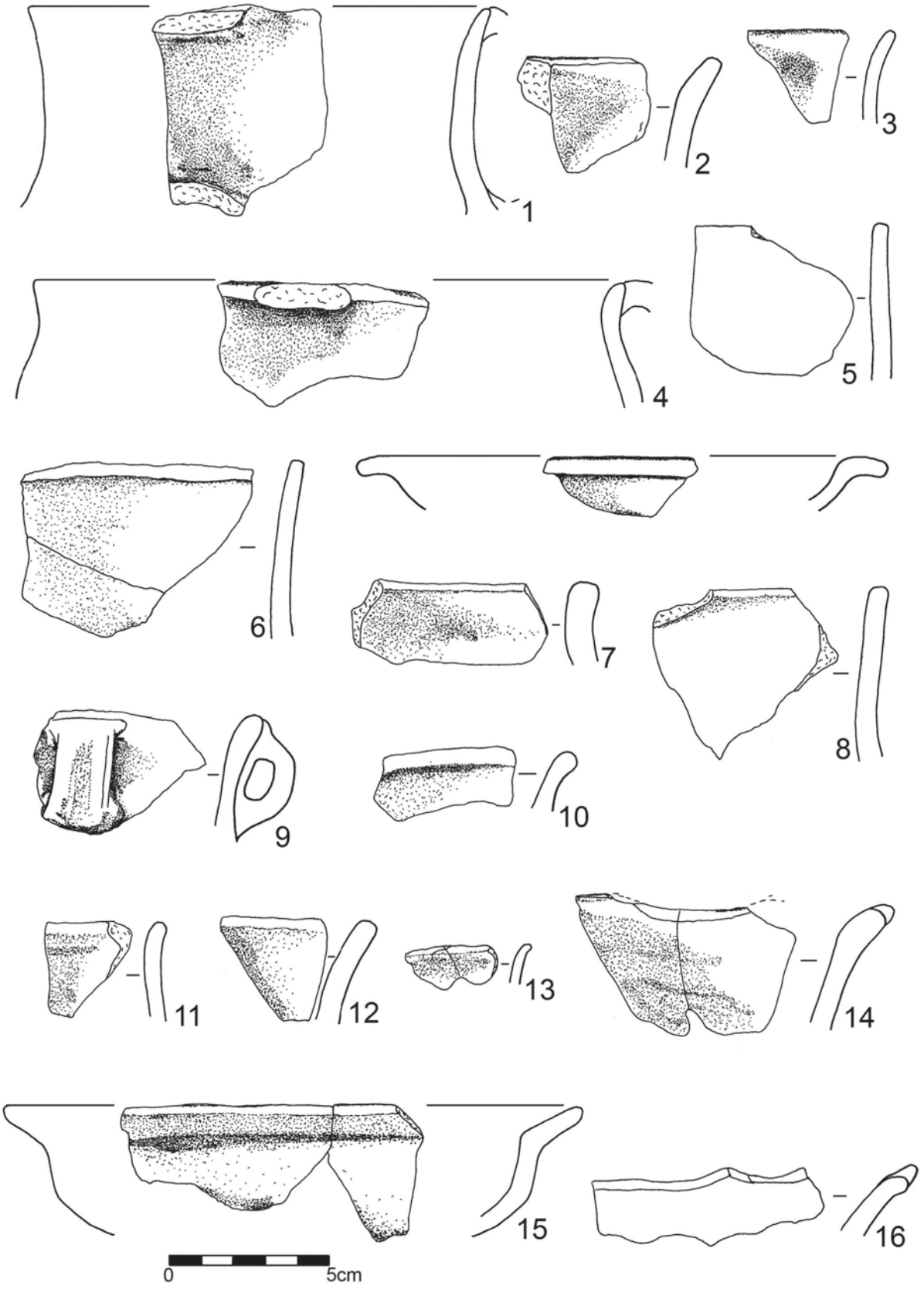

Tabl. 29. Stargard, Stare Miasto, kwartał IX. Obiekt nr 12. 1 – naczynie 217; 2 – naczynie 221; 3 – naczynie 223; 4 – naczynie 219; 5 – naczynie 225; 6 – naczynie 222; 7 – naczynie 229; 8 – naczynie 228; 9 – naczynie 226; 10 – naczynie 231; 11 – naczynie 230; 12 – naczynie 232; 13 – naczynie 235; 14 – naczynie 233; 15 – naczynie 234; 16 – naczynie 236. Oprac. M. Poklewska-Kozieł, R. Mikuła

Taf. 29. Stargard, Altstadt, Quartier IX. Befund Nr. 12. 1 – Gefäß 217; 2 – Gefäß 221; 3 – Gefäß 223; 4 – Gefäß 219; 5 – Gefäß 225; 6 – Gefäß 222; 7 – Gefäß 229; 8 – Gefäß 228; 9 – Gefäß 226; 10 – Gefäß 231; 11 – Gefäß 230; 12 – Gefäß 232; 13 – Gefäß 235; 14 – Gefäß 233; 15 – Gefäß 234; 16 – Gefäß 236. Bearb. M. Poklewska-Kozieł, R. Mikuła

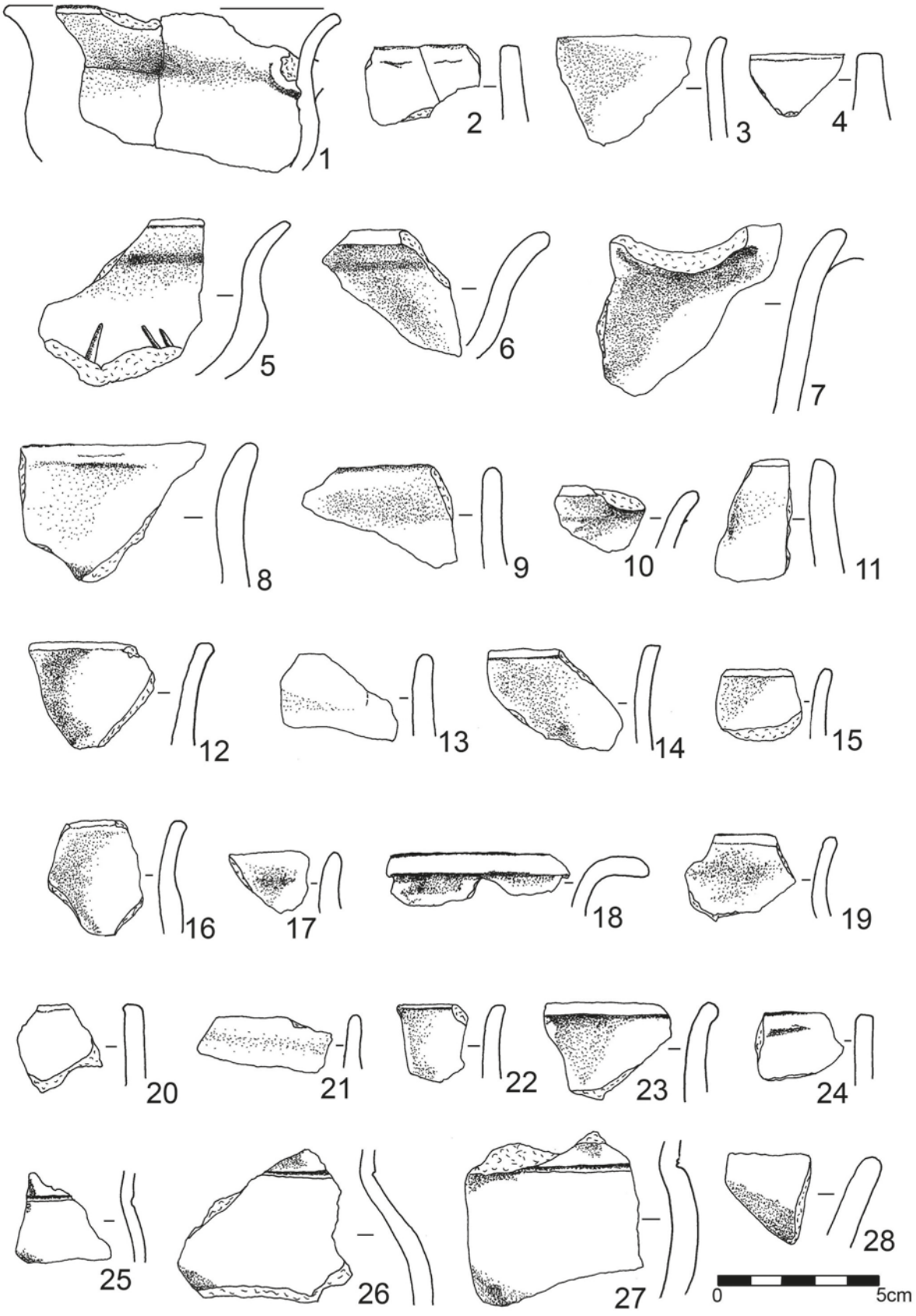

Tabl. 30. Stargard, Stare Miasto, kwartał IX. Obiekt nr 12. 1 – naczynie 237; 2 – naczynie 239; 3 – naczynie 240; 4 – naczynie 246; 5 – naczynie 241; 6 – naczynie 242; 7 – naczynie 243; 8 – naczynie 245; 9 – naczynie 247; 10 – naczynie 248; 11 – naczynie 250; 12 – naczynie 307; 13 – naczynie 308; 14 – naczynie 306; 15 – naczynie 311; 16 – naczynie 310; 17 – naczynie 312; 18 – naczynie 313; 19 – naczynie 314; 20 – naczynie 315, 21 – naczynie 316; 22 – naczynie 317; 23 – naczynie 318; 24 – naczynie 319; 25 – naczynie 262; 26 – naczynie 298; 27 – naczynie 272; 28 – naczynie 301. Oprac. M. Poklewska-Kozieł, R. Mikuła

Taf. 30. Stargard, Altstadt, Quartier IX. Befund Nr. 12. 1 – Gefäß 237; 2 – Gefäß 239; 3 – Gefäß 240; 4 – Gefäß 246; 5 – Gefäß 241; 6 – Gefäß 242; 7 – Gefäß 243; 8 – Gefäß 245; 9 – Gefäß 247; 10 – Gefäß 248; 11 – Gefäß 250; 12 – Gefäß 307; 13 – Gefäß 308; 14 – Gefäß 306; 15 – Gefäß 311; 16 – Gefäß 310; 17 – Gefäß 312; 18 – Gefäß 313; 19 – Gefäß 314; 20 – Gefäß 315; 21 – Gefäß 316; 22 – Gefäß 317; 23 – Gefäß 318; 24 – Gefäß 319; 25 – Gefäß 262; 26 – Gefäß 298; 27 – Gefäß 272; 28 – Gefäß 301. Bearb. M. Poklewska-Kozieł, R. Mikuła

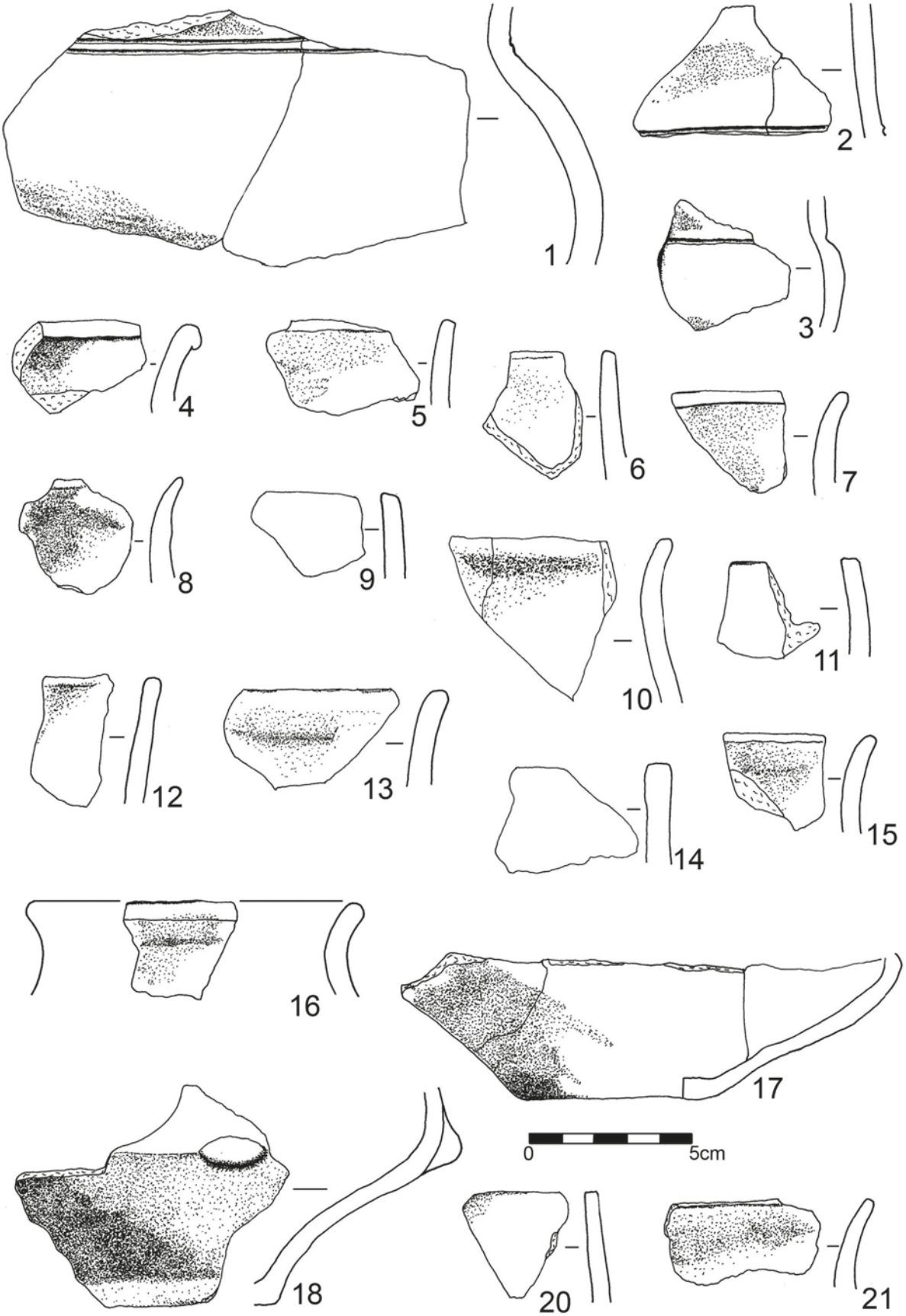

Tabl. 31. Stargard, Stare Miasto, kwartał IX. Obiekt nr 12. 1 – naczynie 269; 2 – naczynie 281; 3 – naczynie 288; 4 – naczynie 320; 5 – naczynie 337; 6 – naczynie 338; 7 – naczynie 326; 8 – naczynie 324; 9 – naczynie 325; 10 – naczynie 480; 11 – naczynie 327; 12 – naczynie 328; 13 – naczynie 330; 14 – naczynie 482; 15 – naczynie 333; 16 – naczynie 332; 17 – naczynie 380; 18 – naczynie 431; 19 – naczynie 454; 20 – naczynie 444. Oprac. M. Poklewska-Kozieł, R. Mikuła

Taf. 31. Stargard, Altstadt, Quartier IX. Befund Nr. 12. 1 – Gefäß 269; 2 – Gefäß 281; 3 – Gefäß 288; 4 – Gefäß 320; 5 – Gefäß 337; 6 – Gefäß 338; 7 – Gefäß 326; 8 – Gefäß 324; 9 – Gefäß 325; 10 – Gefäß 480; 11 – Gefäß 327; 12 – Gefäß 328; 13 – Gefäß 330; 14 – Gefäß 482; 15 – Gefäß 333; 16 – Gefäß 332; 17 – Gefäß 380; 18 – Gefäß 431; 19 – Gefäß 454; 20 – Gefäß 444. Bearb. M. Poklewska-Kozieł, R. Mikuła

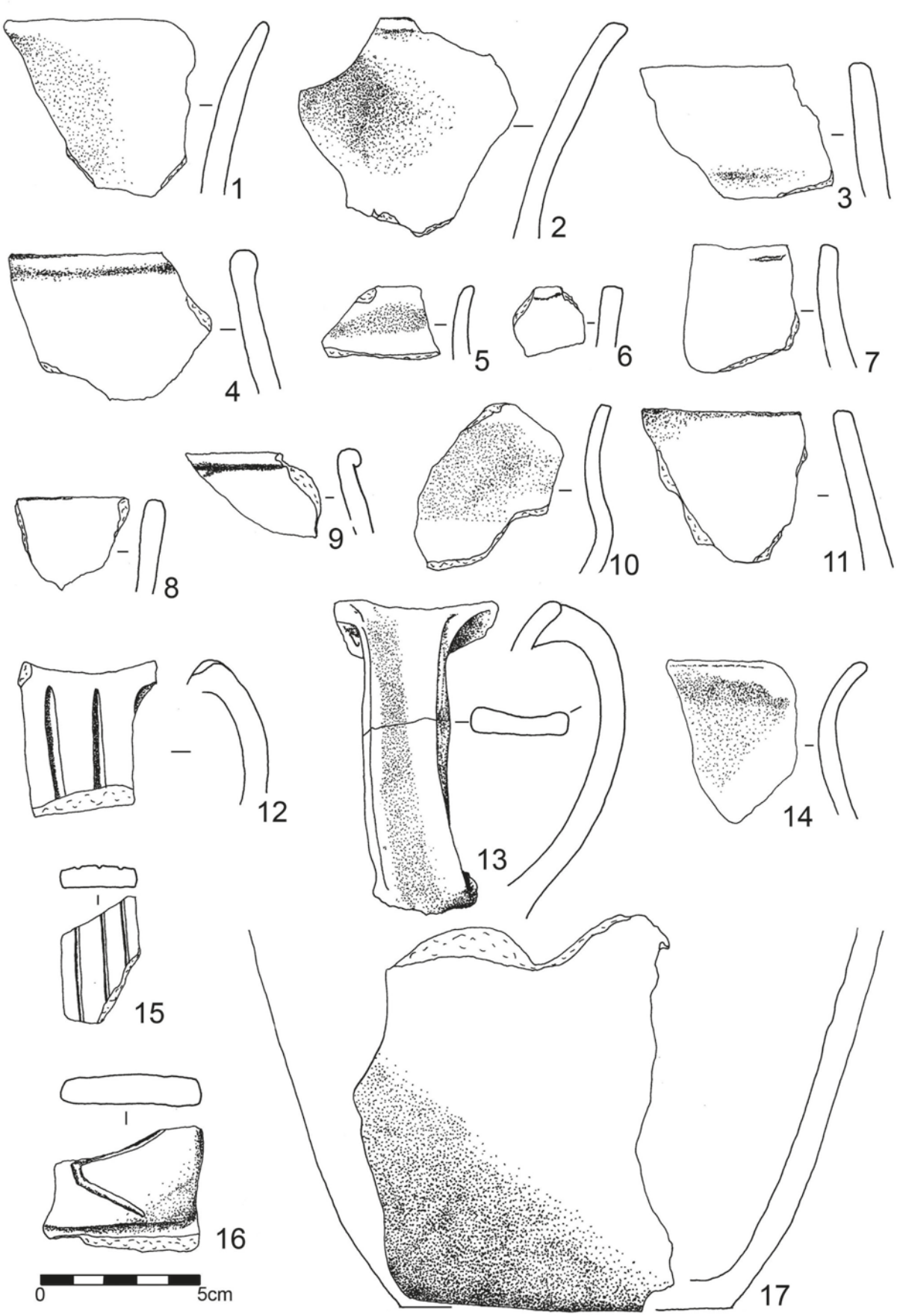

Tabl. 32. Stargard, Stare Miasto, kwartał IX. Obiekt nr 12. 1 – naczynie 457; 2 – naczynie 429; 3 – naczynie 462; 4 – naczynie 426; 5 – naczynie 484; 6 – naczynie 481; 7 – naczynie 483; 8 – naczynie 447; 9 – naczynie 485; 10 – naczynie 445; 11 – naczynie 479; 12 – naczynie 528; 13 – naczynie 517; 14 – naczynie 487; 15 – naczynie 531; 16 – naczynie 534; 17 – naczynie 448. Oprac. M. Poklewska-Kozieł, R. Mikuła

Taf. 32. Stargard, Altstadt, Quartier IX. Befund Nr. 12. 1 – Gefäß 457; 2 – Gefäß 429; 3 – Gefäß 462; 4 – Gefäß 426; 5 – Gefäß 484; 6 – Gefäß 481; 7 – Gefäß 483; 8 – Gefäß 447; 9 – Gefäß 485; 10 – Gefäß 445; 11 – Gefäß 479; 12 – Gefäß 528; 13 – Gefäß 517; 14 – Gefäß 487; 15 – Gefäß 531; 16 – Gefäß 534; 17 – Gefäß 448. Bearb. M. Poklewska-Kozieł, R. Mikuła

III

III. 1. Ślady osadnictwa

Marek Dworaczyk

Wstęp

W trakcie badań archeologicznych prowadzonych na terenie obecnego kwartału IX w Stargardzie zarejestrowano pozostałości obiektów i warstw kulturowych, których chronologię, na podstawie pozycji stratygraficznej oraz zawartych w nich źródeł ruchomych, określono na wczesne średniowiecze. Stałe pozostałości osadnicze z tego czasu reprezentowane są przez warstwę B i obiekty nr 2 i 3, odkryte w obrębie dawnej parceli przy Johanisstrasse 17, oraz groby. Te ostatnie są przedmiotem osobnego opracowania, w tym jedynie opisane zostaną znalezione w nich ułamki naczyń glinianych[1].

Warstwa B – ciemnoszara warstwa próchnicy z dużą ilością spalenizny i z wtrąceniami brązowego piasku. Jej strop odkryto na poziomie około 25,06–24,90 m n.p.m. Zarejestrowana w części SE parceli, przy granicy z historyczną parcelą przy Große Mühlenstrasse 27, pod warstwą wapna. Miąższość warstwy B dochodziła do 41 cm. Pod nią zarejestrowano warstwę ciemnożółtego piasku o miąższości do 33 cm.

Obiekty nr 2 i 3, zarejestrowane w części S parceli. Częściowo zalegały pod murem S ściany fundamentowej tylnego traktu dawnego budynku szkolnego. Ich strop odkryto na poziomie 23,81–23,69 m n.p.m. W rzucie płaskim miały owalny kształt o wymiarach około 170 cm (oś N–S) × 300 cm (oś W–E). W profilu kształt nieckowaty, z równoległym układem warstw, a ich miąższość dochodziła do 140 cm. W wypełnisku obiektów zanotowano: ciemnoszarą glinę przemieszaną ze spalenizną (na obwodzie – obiekt 2), szary piasek ze spalenizną, ciemnoszarą glinę z soczewkami żółtego, drobnoziarnistego piasku, brązowy piasek przemieszany z pomarańczową gliną i spalenizną, pomarańczową i szarą glinę, żółty piasek oraz wtręty brunatnej próchnicy.

Zbiór naczyń glinianych pozyskanych w tych jednostkach kulturowych jest nieliczny i bardzo rozdrobniony. Składa się on jedynie z 428 ułamków (por. tab. 1), głównie naczyń wczesnośredniowiecznych – 423 fragm. (98,8%), a także siwych – 5 fragm. (1,2%). Na podstawie przesłanek stratygraficznych można przypuszczać, że fragmenty tego ostatniego gatunku ceramiki dostały się do warstw i obiektów wczesnośredniowiecznych w sposób przypadkowy, najpewniej już w późnym średniowieczu w związku z szeroko zakrojonymi pracami budowlanymi związanymi z lokacją miasta na prawie niemieckim. Stąd też zespół ten został pominięty w poniższym opisie. Należy jednak zaznaczyć, że składa się on z jednego dna z pierścieniem przykrawędnym typu III:a[2] znalezionego w warstwie B (ryc. 1:7) oraz 4 ułamków brzuśców zarejestrowanych w grobach nr: 8 (1 fragm.), 5 (2 fragm.) i 7 (1 fragm.).

Kryteria, jakimi posłużono się przy opracowaniu ceramiki[3] są identyczne do zastosowanych już dawniej metod opisu tej kategorii źródeł, wykorzystanych w analizie wczesnośredniowiecznych naczyń glinianych między innymi ze Szczecina (por. m.in. Łosiński, Rogosz 1983, 202–203; 1986a, 10–12; Dworaczyk 2010, 196), z Wolina (por. Dworaczyk 2019, 5–6), wczesnośredniowiecznego grodziska w Kołobrzegu (Rębkowski 2007, 200–202), grodziska wczesnośredniowiecznego w Lubinie (Dworaczyk, Durdyń 2018, 245–246), a także ze Stargardu (por. Dworaczyk 2016, 13–14). Na najbardziej ogólnym poziomie opisu naczynia uporządkowano pod względem techniki wykonania. W kolejnym etapie analizy formy o wspólnym piętnie stylistycznym i technicznym grupowano w rodziny form naczyń (RF)[4]. Ostatni, najbardziej szczegółowy szczebel klasyfikacji to systematyka górnych partii naczyń, oddzielna dla każdej rodziny form i typów funkcjonalnych. Minimalną liczbę naczyń oszacowano na podstawie liczby wylewów reprezentujących poszczególne rodziny form[5], przy czym na podstawie podobieństw pomiędzy ułamkami wylewów wyklejano je lub grupowano w zespoły, traktując jako jedno naczynie.

Opierając się na ukształtowaniu spodnich, zewnętrznych powierzchni oraz sposobach wyodrębnienia ze ścianek naczyń (Łosiński, Rogosz 1983, 220–224), utworzono także listę typów den naczyń[6]. Jednak w tym przypadku nie zastosowano rozróżnienia na ułamki częściowo (grupa techniczna II – GT II), czy całkowicie obtaczane na kole garncarskim (grupa techniczna III – GT III). Nie

[1] Por. w tym tomie: A. Janowski, *Cmentarzysko*.

[2] Typologia wg schematu opracowanego dla den wczesnośredniowiecznych naczyń ze Szczecina (por. Łosiński, Rogosz 1983, 220–224).

[3] Termin ceramika odnosi się wyłącznie do ceramiki naczyniowej.

[4] Stosowana w pracy typologia naczyń wczesnośredniowiecznych opiera się na schemacie W. Łosińskiego i R. Rogosza (1983, 202–203; 1985, 187–188; 1986a, 9–10), różni się od niej jedynie określeniem jednostek taksonomicznych. Autorzy ci na ich oznaczenie wprowadzili termin „rodzina typów naczyń", tu stosowany jest „rodzina form naczyń", w obrębie której zgrupowane są typy naczyń. Na temat klasyfikacji typologicznej naczyń o proweniencji wczesnośredniowiecznej por. uwagi A. Buko 1981, 128–129.

[5] Na temat metod kwantyfikacji ceramiki naczyniowej por. m.in. uwagi M. Rębkowskiego (1995, 14–16).

[6] Typologia den naczyń wczesnośredniowiecznych oparta została na schemacie W. Łosińskiego i R. Rogosza (1983, 220–224).

ISBN 978-83-61456-34-6 Archeologia Stargardu T. V,1 – 2019
ISBN 978-83-7986-312-9

zawsze możliwa jest taka ocena, a podział taki mógłby prowadzić do błędnych wniosków. Znamy bowiem przykłady naczyń GT II, które mogły być obtaczane aż do podstaw (Łosiński 1972, 39).

Charakterystyka zespołu naczyń glinianych

W zbiorze znajdują się 423 ułamki (98,8% ogółu zbioru) (por. tab. 1) pochodzące od minimum 70 naczyń, z czego typologicznie określono 55 pojemników (78,6%) (por. tab. 4). Na tej podstawie wyróżniono (por. tab. 3): 70 brzegów (16,5%), 49 den i części przydennych (11,6%) i 304 brzuśce (71,9%). Reprezentują one następujące formy naczyń użytkowanych głównie w młodszych fazach wczesnego średniowiecza na Pomorzu Zachodnim[7], w tym częściowo obtaczane na kole garncarskim (GT II) – 3 fragm. (5,5%) i całkowicie obtaczane na kole garncarskim (GT III) – 52 fragm. (94,5%). W zbiorze tym przeważają garnki RF G – 26 fragm. (47,2%) i RF J – 20 fragm. (36,3%) nad pojemnikami RF: D – 3 fragm. (5,5%), K – 3 fragm. (5,5%) i R – 3 fragm. (5,5%).

Naczynia rodziny form D (Menkendorf)

W tej rodzinie form sklasyfikowano naczynia częściowo, zazwyczaj słabo uformowane, obtaczane na kole garncarskim, głównie w górnej części do załomu, a także niekiedy poniżej największej wydętości brzuśca (Łosiński, Rogosz 1983, 205–208; 1985, 191–193; 1986a, 14). Dopiero w miarę upowszechniania się szybkoobrotowego koła garncarskiego w większej ilości pojawiają się okazy charakteryzujące się wyższym standardem technicznym.

Naczynia rodziny form D odnotowano w liczbie co najmniej 3 egzemplarzy (5,5%). Znaleziono je w grobie nr 20 (2 fragm.) i w grobie nr 21 (1 fragm.) (por. tab. 5). Ze względu na niewielkie rozmiary ułamków oraz brak krawędzi, jedynie jeden brzeg został sklasyfikowany typologicznie. Reprezentuje on typ 12a (ryc. 1:5). Naczynie o tak zwieńczonym brzegu zostało udekorowane w górnej części brzuśca lewoskośnymi nacięciami. Inne zaś na załomie zdobione jest lekko zaznaczoną linią falistą. Na ściance wewnętrznej tego ostatniego pojemnika znajdują się ślady ugniatania[8].

Naczynia rodziny form G (Vipperow)

Są to naczynia całkowicie obtaczane na kole garncarskim, o formach esowatych i baniastych, które od X, a zwłaszcza od 2. połowy tego stulecia, aż do XIII wieku stanowiły podstawowy składnik inwentarzy kuchennych i stołowych wczesnośredniowiecznych mieszkańców Pomorza Zachodniego (por. Łosiński, Rogosz 1983, 212–213; 1985, 195; 1986a, 15). Również w Meklemburgii, gdzie określone zostały mianem typu Vipperow, były one głównym komponentem zespołów ceramiki w tym okresie (Schuldt 1956, 44–49; 1964; Kempke 2001, 242). Wytwarzano je i użytkowano również w późnym średniowieczu, jednak wówczas notuje się ich powolny zanik (por. Rębkowski 1995, 22; Dworaczyk 2010, 202–207; 2015, 98–101; Cnotliwy 2014, 130–131; Dworaczyk, Durdyń 2018, 265–266).

Naczynia rodziny form G stanowią najliczniejszą grupę pojemników wczesnośredniowiecznych – minimum 26 egzemplarzy (47,2%) (por. tab. 4). Znaleziono je w warstwie B (13 fragm.), obiekcie nr 2 (5 fragm.), obiekcie nr 3 (6 fragm.), grobie nr 17 (1 fragm.) i grobie nr 21 (1 fragm.) (por. tab. 6).

Na poziomie II szczebla klasyfikacji określono 4 egz. (15,4%) reprezentujące: naczynia słabo profilowane – 2 egz. typu I:b (ryc. 1:12; 3:3), oraz naczynia przysadziste – 2 egz. typów II:a (ryc. 3:4) i II:b. Naczynia RF G zostały zaopatrzone w brzegi typów (19 egz. – 73,1%) (por. tab. 6): 2:a-b – 5 egz. (ryc. 1:4; 2:3, 7; 3:4), 1:a – 2 egz., 3:f – 1 egz. (ryc. 1:6), 4:a, c – 2 egz., 6:b – 1 egz., 7:a – 2 egz., 9:b – 1 egz. (ryc. 1:12), 11:a – 1 egz., 12:b – 1 egz. (ryc. 3:3), 15:a – 1 egz., 16:b – 1 egz., 17:a – 1 egz. Siedmiu ułamków ze względu na brak krawędzi i niewielkie rozmiary nie określono (26,9%).

Średnicę brzegów tych garnków ustalono dla 4 okazów: 17 cm – 2 egz., 20 cm – 1 egz., 13 cm – 1 egz. Większość tych naczyń była zdobiona – 16 egz. (61,5%). Podstawowym wątkiem zdobniczym są poziome żłobki (8 egz.). Poza tym odnotowano pasma nacięć, linii falistych, a także ich kombinacji tworzących motywy strefowe i fryzowe.

Na powierzchniach wewnętrznych części ułamków zaobserwowano ślady technik formowania naczyń (por. tab. 6), w postaci: poziomych, miejscami nieciągłych, bruzd – 3 egz., w tym: przejście w brzeg – 2 egz., na przejściu w szyjkę – 1 egz., tzw. „łezek" na przejściu w szyjkę – 1 egz., oraz wąskich karbów zaobserwowanych na przejściach w szyjkę, będących najpewniej świadectwem słabo zagładzonych wałków gliny, z których formowano naczynia – 2 egz.

Naczynia rodziny form J (Teterow)

W tej rodzinie zgrupowano naczynia całkowicie obtaczane na kole garncarskim, o wyodrębnionej szyjce i formie głównie baniastej (Łosiński, Rogosz 1983, 215–216; 1985, 195–196; 1986a, 16). Na terenie Meklemburgii określono je jako typ Teterow (Schuldt 1956, 36–40; 1964), przy czym część ich form, głównie szeregu 3, zaliczono później do typu Warder (Kempke 1981, 291). Stanowiły one jeden z podstawowych składników zespołów z X – 1. połowy XIII wieku (por. m.in. Kempke 2001, 242), ale spotyka się je także na stanowiskach późnośredniowiecznych (por. Rębkowski 1995, 22; Dworaczyk 2010, 198–199; 2015, 98–99; Cnotliwy 2014, 132–133; Dworaczyk, Durdyń 2018, 265–266).

Pojemniki tej rodziny form stanowią drugi co do liczebności zbiór wczesnośredniowiecznych

[7] Formy te odpowiadają wczesnośredniowiecznym naczyniom słowiańskim z terenu Meklemburgii (poniżej, przy opisie poszczególnych form naczyń, w nawiasach podano terminologię meklemburską). Na temat tej klasyfikacji por. Schuldt 1956; 1964.

[8] Na temat śladów produkcyjnych ilustrujących sposoby formowania naczyń por. m.in. Rzeźnik 1995, 28–29.

naczyń słowiańskich – 20 egz. (36,3%) (por. tab. 4). Odkryto je w warstwie B (7 fragm.) oraz w obiektach nr 2 (6 fragm.) i 3 (7 fragm.). W zespole tym dla ośmiu ułamków (40,0%) oznaczono typy naczyń (por. tab. 7). Są to przede wszystkim okazy z wyraźnie wyodrębnioną, z reguły pionową szyjką – 4 egz. (typ I – 2 egz. (ryc. 1:14; 3:11), typ II – 2 egz. – ryc. 1:10; 2:8). Tym podstawowym formom towarzyszą naczynia: o wysokiej szyjce (typ XI) – 2 egz. (ryc. 3:2, 10), dwustożkowate o podkreślonej nasadzie szyjki typu XIII – 1 egz. (ryc. 3:9) oraz przysadziste z szyjką wyraźnie zwężającą się ku górze typu IV – 1 egz. (ryc. 2:5).

Prawie wszystkie fragmenty wylewów określono typologicznie (19 egz. – 95,0%). Naczynia te zwieńczono brzegami typów (por. tab. 7): 6:b – 3 egz. (ryc. 1:3; 2:8), 5:a, 10:a – 2 egz. (ryc. 3:1), 4:c, 5:b – 3 egz. (ryc. 1:2; 3:2), 7:b – 2 egz. (ryc. 2:6), 1:b – 1 egz., 10:e – 1 egz., 7:d – 2 egz. (ryc. 3:10), 8:a – 3 egz. (ryc. 2:5; 3:9, 11), 9:a – 1 egz. (ryc. 1:14), 10:d – 1 egz. (ryc. 1:10).

W czterech przypadkach określono średnicę brzegów naczyń, wynoszące: 18, 21 (2 egz.) i 22 cm. W zbiorze tych naczyń 13 egzemplarzy jest zdobionych (65,0%). W większości pokrywa je ornament wielowątkowy złożony z poziomych żłobków, linii falistych, nacięć i nakłuć, tworzących motywy strefowe i fryzowe. Dwa zdobione są poziomymi żłobkami, jeden zaś lewoskośnymi nacięciami, inny natomiast ma ornamentowaną także szyjkę.

Na powierzchniach wewnętrznych części okazów zaobserwowano ślady produkcyjne (por. tab. 7), w tym: poziome bruzdy – 7 egz. (na przejściu w krawędź – 1, na przejściu w szyjkę – 5, na przejściu w brzeg i szyjkę – 1), tzw. łezki – 2 egz. (przejście w krawędź – 1, na przejściu w szyjkę – 1), oraz tzw. łezki i poziome bruzdy na przejściu w szyjkę – 1. Górne partie naczyń formowane były z wałków gliny o szerokości około 1,4 cm – 1 egz. Ponadto na powierzchni wewnętrznej jednego ułamka odnotowano słabo zagładzone łączenie wałków gliny.

Naczynia rodziny form K

W tej rodzinie form zgrupowane są naczynia całkowicie obtaczane, o wyraźnie zaznaczonych, z reguły cylindrycznych, ale i lejkowato rozchylonych szyjkach (Łosiński, Rogosz 1983, 217–218; 1985, 198; 1986a, 16–17). Występowały one głównie w schyłkowych fazach wczesnego średniowiecza, aczkolwiek pierwsze ich okazy zanotowano także w nawarstwieniach z X wieku (por. m.in. Lepówna 1968, 33–35; Dzieduszycki 1982, 50; Chudziak 1991, 83–84; Rzeźnik 1995, 131–132; Dworaczyk 2019, 34–35). Rejestrowane są także na stanowiskach późnośredniowiecznych (por. Rębkowski 1995, 22; Dworaczyk 2010, 198–199; 2015, 98–99; Cnotliwy 2014, 132–133; Dworaczyk, Durdyń 2018, 265–266).

W analizowanym zespole ceramiki wyróżniono minimum trzy okazy tych naczyń (5,5%) (por. tab. 4), które odkryto w warstwie B (1 fragm.) i w obiekcie nr 2 (2 fragm.). Reprezentowane są one wyłącznie przez baniaste naczynia o dość wysokiej, cylindrycznej szyjce (typ I – 1 egz. (ryc. 1:13), typ II – 1 egz. – ryc. 2:1) (por. tab. 8). Na poziomie III szczebla klasyfikacji określono wszystkie ułamki. Zwieńczono je brzegami typów: 2:b – 1 egz. (ryc. 1:13), 3:b – 1 egz. (ryc. 1:8), 4:b – 1 egz. (ryc. 2:1). Średnicę brzegu ustalono dla jednego okazu – 16 cm. Jeden z fragmentów zdobiony jest na szyjce i brzuścu poziomymi żłobkami, górna część innego lewoskośnymi nacięciami.

Pozostałości zabiegów stosowanych podczas formowania naczyń zaobserwowano na powierzchniach wewnętrznych dwóch egzemplarzy: poziome bruzdy na szyjce – 1 egz., słabo zagładzony wałek (wąski karb) na przejściu w szyjkę – 1 egz.

Naczynia rodziny form R (Garz)

Są to całkowicie obtaczane na kole garncarskim misy, których rozwiązania formalne powielają w zasadzie stosowane przy wyrobie mis ręcznie lepionych (RF O) i częściowo obtaczanych (RF P) (Łosiński, Rogosz 1983, 225; 1985, 199; 1986a, 17). Na terenie Meklemburgii misy grupy technicznej III nazywane są typem Garz (Schuldt 1956, 49–52; 1964). Występują one w młodszych fazach wczesnego średniowiecza, od 2. połowy X, a zwłaszcza w XI–XIII wieku (por. m.in. Łosiński, Rogosz 1986b, 56–57; Kempke 2001, 243). Rejestrowane są także pojedynczo w nawarstwieniach i na stanowiskach o późnośredniowiecznej metryce (por. Cnotliwy 2014, 132–133; Dworaczyk 2015, 98–99).

Odnotowano minimum trzy okazy tej rodziny form naczyń (5,5%) (por. tab. 4), w tym: w obiekcie nr 2 – 1 egz., w obiekcie nr 3 – 2 egz. Są to misy w kształcie odwróconego, ściętego stożka typu I zwieńczone brzegami typu 3:b – 2 egz. (ryc. 3:5, 7), zdobione poziomymi żłobkami, i misa o tulipanowato rozchylonym brzegu typu II – 1 egz. (por. tab. 9). To ostatnie naczynie zachowane jest prawie w całości (ryc. 2:4). Ma ono wysokość 4,5 cm, zaopatrzono je w brzeg typu 3:a o średnicy 15 cm i w dno typu II:c:1 o średnicy 8 cm, na którym zaobserwowano ślady podsypki popiołu i ślady odcinania od tarczy koła garncarskiego. Naczynie to zdobione jest na krawędzi lewoskośnymi nacięciami.

Brzegi nieokreślone typologicznie

Ze względu na zbyt małe rozmiary ułamków bądź brak krawędzi nie określono 15 ułamków części przybrzeżnych (21,4% brzegów) (por. tab. 10). Fragmenty te zdobione są w górnych partiach brzuśców wątkami złożonymi z poziomych żłobków, linii falistych, nakłuć, maźnięć i żeberka, rozmieszczonych w różnych kombinacjach. Na powierzchniach wewnętrznych czterech z nich odnotowano ślady produkcyjne w postaci poziomych bruzd znajdujących się na przejściach w szyjki – 3 egz. i na szyjce – 1 egz.

Dna naczyń wczesnośredniowiecznych

W analizowanym zbiorze ceramiki wyróżniono 49 fragm. den i części przydennych (11,6% zbioru ceramiki), znalezionych w warstwie B (8 fragm.) i obiektach nr 2 (30 fragm.) i nr 3

(11 fragm.) (por. tab. 3, 11–12). Typologicznie określono 33 ułamki (67,3%). Naczynia z tego zespołu zaopatrzone są wyłącznie w dna niewyodrębnione typu I. Na bardziej szczegółowym poziomie klasyfikacji proporcje te wyglądają następująco: zdecydowanie przeważają okazy typu I:c:2 – 11 egz. (33,4%) nad I:b:2 – 8 egz. (24,2%) i I:b:1 – 7 egz. (21,2%). Ponadto wyróżniono dna typów: I:a – 3 egz. (9,1%) i I:c:1 – 4 egz. (12,1%).

Dna typu I – formy niewyodrębnione, płaskie (I:a), lekko (I:b:1) i silnie (I:b:2) wklęsłe, z pierścieniem przydennym, lekko (I:c:1) i silnie (I:c:2) wklęsłe.

Typ I:a – wyróżniono minimum trzy egzemplarze (tab. 12a). Na jednym dnie znajdują się ślady podsypki popiołu, na innym zaś podsypki tłucznia skalnego.

Typ I:b:1 – wśród minimum siedmiu okazów (tab. 12b) (ryc. 3:12), dla jednego określono średnicę, która wynosi 9 cm. Część przydenna jednego fragmentu zdobiona jest poziomymi żłobkami. Ślady stosowania różnych rodzajów podsypki zaobserwowano na czterech egzemplarzach, w tym zwłaszcza popiołu – 3 egz., a także piasku (1 egz.). Ścianki łączono z dnami za pomocą wałków gliny dolepianych od wewnątrz (1 egz.), a formowano je z taśm gliny o szerokości około 1,5 cm (2 egz.), nakładanych od wewnątrz (1 egz.).

Typ I:b:2 – reprezentowany jest przez co najmniej osiem okazów (tab. 12c) (ryc. 2:9). Dla czterech z nich określono średnice: 8 cm (1 egz.), 10 cm (1 egz.) i 11 cm (2 egz.). Na siedmiu dnach odnotowano ślady stosowania podsypki: popiołu (4 egz.), piasku (2 egz.) i żwiru i popiołu (1 egz.). Na powierzchni wewnętrznej ścianki jednego fragmentu części przydennej zaobserwowano ślady ugniatania, na innym zaś słabo zagładzony wałek gliny w postaci wąskiego karbu.

Typ I:c:1 – wyróżniono minimum cztery egzemplarze (tab. 12d) (ryc. 3:6), wśród których w trzech przypadkach określono średnice wynoszące: 7, 8 i 9 cm. Na jednym z nich widnieje odcisk osi koła garncarskiego typu 3:a[9] (ryc. 3:6). Ślady podsypki zaobserwowano na trzech dnach, w tym: popiołu (2 egz.) oraz piasku i popiołu (1 egz.). Na jednym okazie odnotowano ślady odcinania, a na innym podważania, za pomocą których usuwano je z nakładek na tarcze kół garncarskich. Ściankę jednego z ułamków połączono z dnem za pomocą taśm gliny nakładanych od wewnątrz.

Typ I:c:2 – odnotowano minimum 11 egzemplarzy (tab. 12e) (ryc. 1:9; 2:2), o średnicach (9 egz.): 7 cm – 1 egz., 8–9,5 cm – 7 egz., 11 cm – 1 egz. Dna przytwierdzano do nakładek za pomocą różnego rodzaju podsypek (7 egz.): popiołu – 5 egz., piasku i popiołu – 1 egz., żwiru – 1 egz. Oddzielano je zaś od nich stosując podważanie (2 egz.) i odcinanie (3 egz.). Na ściance wewnętrznej jednego fragmentu części przydennej znajdują się ślady ugniatania. Ścianki zaś łączono z dnami za pomocą taśm gliny nakładanych od wewnątrz (3 egz.). Jeden ułamek jest przepalony.

Dna nieokreślone – ze względu nie niewielkie rozmiary ułamków, typologicznie nie sklasyfikowano 16 fragmentów den (32,7%) (tab. 11, 12f) (ryc. 1:11). Na jednym z nich znajduje się znak garncarski w postaci swastyki typu IIIa[10] (ryc. 1:11). Na jednym egzemplarzu stwierdzono pozostałość podsypki popiołu.

Brzuśce naczyń tradycyjnych

Jest to największa liczebnie kategoria ułamków ceramiki wczesnośredniowiecznej. Spośród 304 fragm. (71,9%) (por. tab. 3) ponad połowa jest zdobiona (209 egz. – 68,7%). Podstawowym wątkiem ornamentacyjnym są poziome żłobki. Dużo rzadszymi zdobieniami są inne wątki: linie faliste, ukośne nakłucia i nacięcia, linie ryte. Często stosowano motywy ornamentacyjne złożone z kombinacji tych wątków.

Poza ułamkami naczyń glinianych, w obiekcie nr 3 na parceli dawnej Johannisstrasse 27 znaleziono fragment (połowa) przęślika glinianego (ryc. 4). Przedmiot wykonano z żelazistej gliny, którą wypalono na kolor beżowo-pomarańczowy. Przęślik ma w rzucie bocznym kształt dwustożkowaty, ale o obłych krawędziach. Jego średnica wynosi 32,8 mm, wysokość 17,9 mm, a obecna waga to 11,35 g. Centralny otwór jest niewielki (średnica 8 mm) i ma w przekroju kształt klepsydrowaty. Przęśliki służyły do obciążania wrzeciona w trakcie przędzenia. Ich zastosowanie umożliwiało przedłużenie ruchu obrotowego wrzeciona i utrzymanie jego prędkości, co wpływało korzystnie na równomierność uzyskiwanej przędzy. Doświadczona prządka wykorzystywała przęśliki o różnej masie, aby wpłynąć na ostateczny efekt swojej pracy, czyli grubość przędzy, a także siłę i stopień jej skręcenia (por. Chmielewski 2010, 66–79). Grubsze nici wykorzystywano na wątek a cieńsze na osnowę. Przęśliki wczesnośredniowieczne mogły mieć różne kształty i rozmiary (por. Janowski 2019, 291–309, tu starsza literatura i szczegółowe informacje). W stanie kompletnym omawiany okaz ważył zapewne około 23–25 g, co pozwala wnioskować, że powstałe dzięki niemu nici wykorzystywano do przygotowywania wyrobów codziennego użytku, w tym ubrań (por. Croix i in. 2014, 322). Kształt przęślików nie ulegał zmianom w czasie, stąd nie można wykorzystać ich jako wyznaczników chronologii.

Chronologia zespołów ceramiki naczyniowej

Przedstawiony powyżej zbiór naczyń glinianych, jak już wcześniej zaznaczono, jest bardzo rozdrobniony. Wskazuje na to wykonana klasyfikacja wielkościowa ułamków. Zgodnie z jej założeniem, ułamki małej i średniej wielkości wskazują na intensywne zagospodarowanie określonego kontekstu osadniczego i są odzwierciedleniem intensywnych procesów depozycyjnych i podepozycyjnych. Natomiast ułamki duże reprezentować powinny odpadki pierwotne (por. m.in.

[9] Typologia odcisków osi kół garncarskich wg W. Łosińskiego i R. Rogosza 1983, 224, ryc. 203.

[10] Typologia znaków garncarskich według M. Dworaczyka (2011a, 354, ryc. 231).

Buko 1990, 379–380 tam dalsza lit.; Kobylińska, Kobyliński 1993, 229–230, tam dalsza lit.). Dla zespołu naczyń z kwartału IX w Stargardzie przyjęto trójstopniowy podział ułamków na kategorie wielkościowe (KW): małe (KW I) – do 9 cm^2, średnie (KW II) – do 25 cm^2, i duże (KW III) – powyżej 25 cm^2. Interpretacje wyników tej oceny oparto jednak wyłącznie na liczniejszych zespołach odkrytych w warstwie B i obiektach nr 2 i 3 (por. tab. 2). Klasyfikacja wielkościowa pokazała, że jedynie w tych ostatnich jednostkach stratygraficznych ułamki średnie i duże przeważają nad małymi. Zawarte w tych obiektach fragmenty naczyń przynajmniej w części mogą więc mieć homogeniczny charakter i mogą zostać wykorzystane do oceny chronologicznej. Z inną sytuacją mamy do czynienia w przypadku zbioru ceramiki z warstwy B, w którym dominują małe ułamki, co z kolei może wskazywać, że do ich zdeponowania mogło dojść w sposób przypadkowy. Niemniej wykorzystanie tych zespołów do analizy chronologicznej wymaga spełnienia kolejnych warunków. Zgodnie z kryteriami przyjętymi przez W. Łosińskiego i R. Rogosza porównywane zespoły na poziomie II szczebla klasyfikacji powinny liczyć co najmniej 50 ułamków naczyń (Łosiński, Rogosz 1986a, 10–11). Ostatnio wykazano także, że również na najbardziej ogólnym poziomie klasyfikacji, polegającym na wyróżnieniu gatunków ceramiki, zbiory naczyń liczące poniżej 1000 fragmentów mogą zawierać przypadkowe rozkłady tworzących je elementów (Dworaczyk 2010, 203). Niezbyt liczne serie ceramiki zarejestrowane w obrębie stałych pozostałości osadniczych mogą wpływać na zniekształcenie rzeczywistych struktur zespołów naczyń. Z takimi właśnie, niezbyt licznymi, jedynie w dwóch przypadkach zawierającymi ponad 100 ułamków (warstwa B i obiekt nr 2) (por. tab. 1), zespołami naczyń mamy do czynienia w obrębie kwartału IX w Stargardzie. Stąd też zaproponowana poniżej chronologia tych źródeł ma charakter ogólny, odpowiadający jednak tendencjom w ich rozwoju zaobserwowanym w innych częściach Pomorza Zachodniego.

W 2. połowie X wieku, a zwłaszcza od lat 70.–80. tego stulecia, doszło na Pomorzu Zachodnim do zasadniczych zmian w wytwórczości garncarskiej. W tym właśnie czasie do wyrobu naczyń zaczęto używać szybkoobrotowego koła garncarskiego. Następstwem tych przekształceń były zmiany w asortymencie użytkowanych pojemników glinianych, stare formy zostały zastąpione nowymi w odmienny sposób zdobionymi, przy wyrobie których zaczęto stosować coraz częściej bardziej plastyczną domieszkę schudzającą masę garncarską. Zaznaczyć jednak należy, że proces zastępowania starej techniki garncarskiej polegającej na częściowym obtaczaniu naczyń, głównie w części górnej, przez całkowite obtaczanie zapewne nie postępował równomiernie na obszarze całego Pomorza. Szybciej do zmian dochodziło w dużych ośrodkach o charakterze wczesnomiejskim, jak np. w Szczecinie, gdzie jednak jeszcze do połowy XI wieku pojemniki GT II stanowiły dość znaczący składnik zbiorów dochodzący do około 15% (por. Cnotliwy, Łosiński 1983, 239, ryc. 205; Łosiński, Rogosz 1986b, 56, ryc. 2). Również i później, aż do schyłku wczesnego i początku późnego średniowiecza, naczynia te, zwłaszcza RF D, notowane są pojedynczo w nawarstwieniach kulturowych (por. Dworaczyk 2010, 195–196). Podobne zjawisko zaobserwowano w Wolinie, gdzie frekwencja tych pojemników do około połowy XI stulecia wynosiła jeszcze niespełna 15,0%, a w młodszych poziomach osadniczych występowały w niewielkim odsetku (por. ostatnio Dworaczyk 2019, 39–40).

W analizowanych zespołach ceramiki ze Stargardu dominującymi są naczynia całkowicie obtaczane (94,5%) (por. tab. 4). Natomiast pojemniki GT II, wyłącznie rodziny form D, stanowią niewielki odsetek wynoszący jedynie 5,5% (por. tab. 4). Zostały one znalezione wyłącznie w grobach nr 20 i 21, przy czym w tym ostatnim zarejestrowano również ułamek naczynia RF G. Fragment pojemnika RF G został również znaleziony w grobie nr 17. Mimo niewielkiej liczebności zbiorów wydaje się, że pochówki mogą być starsze od obiektów nr 2 i 3 oraz warstwy B, w których odkryto tylko naczynia całkowicie obtaczane na kole garncarskim. Na ich młodszą pozycję stratygraficzną wskazuje również analiza przeprowadzona na poziomie II szczebla klasyfikacji. Odnotowano w nich nieznaczną przewagę garnków RF G nad J. Jednak istotne znaczenie w ich ocenie chronologicznej mają naczynia RF K i R. W Szczecinie te pierwsze w większej liczbie rejestrowane są dopiero od około połowy XI stulecia (por. Łosiński, Rogosz 1986b, 56–57), ale już w jego końcu i na początku kolejnego ich frekwencja w niektórych nawarstwieniach oscyluje w granicach 3,0%, a u schyłku wczesnego średniowiecza przekracza gdzieniegdzie 20, a nawet 30% (por. Dworaczyk 2003, 262–263, tab. 33–37, 68; 2011b, 152–153, tab. 15). Podobnie jest w przypadku całkowicie obtaczanych mis RF R. Większy ich odsetek notowany jest tam również dopiero od 2. połowy XI (por. Łosiński, Rogosz 1986b, 56–57), a zwłaszcza od początku kolejnego wieku[11].

Na podstawie struktury całego analizowanego zespołu naczyń wczesnośredniowiecznych ze Stargardu można jedynie założyć, że *terminus post quem* powstania jednostek kulturowych, w jakich je pozyskano przypada na około połowę XI wieku, przy czym, jak się wydaje, najstarszymi z nich są pochówki. Młodsze zaś reprezentowane są przez warstwę B i obiekty nr 2 i 3. Do ich uformowania mogło dojść najwcześniej u schyłku XI lub w 1. połowie XII stulecia. W tym czasie w niektórych ośrodkach zachodniopomorskich doszło do zmian w rozwoju garncarstwa. Polegały one na zmianie asortymentu wytwarzanych i użytkowanych naczyń. Przeważające w starszych fazach naczynia RF G zostały zastąpione przez pojemniki z wyodrębnionymi szyjkami RF J. W Szczecinie miały one miejsce już w 1. połowie

[11] Do upowszechnienia się całkowicie obtaczanych mis doszło w Szczecinie w momencie całkowitego zaniku ich starszych, częściowo obtaczanych odpowiedników (RF P). Nastąpiło to najwcześniej, jak wykazała analiza przeprowadzona na podstawie zbiorów zarówno z terenu grodu, jak i z dolnej dzielnicy, dopiero na początku XII wieku (materiały opracowane przez M. Dworaczyka, niepublikowane).

XII wieku (por. Łosiński, Rogosz 1986b, 57; Dworaczyk 2003, 264; 2011b, 157–158), w Kołobrzegu około połowy tego stulecia (por. Rębkowski 2007, 212). Podobne zjawisko zaobserwowano na terenie wczesnośredniowiecznego grodu i podgrodzia w Stargardzie, gdzie w 1. połowie XII wieku dominującymi formami były garnki RF J (por. Rogosz 1986, 118–119, ryc. 7). Brak takich właśnie struktur w zespołach z kwartału IX pozwala przypuszczać, że *terminus post quem* uformowania warstwy B i obiektów nr 2 i 3 przypada, jak to wyżej wspomniano, najwcześniej na koniec XI, a najpewniej na 1. połowę XII wieku. Niewielki liczebnie zbiór naczyń pozyskanych z tych struktur uniemożliwia bardziej precyzyjne ich datowanie.

Bibliografia

Literatura

Buko A. 1981. *Wczesnośredniowieczna ceramika sandomierska*. Wrocław–Warszawa–Kraków–Gdańsk–Łódź.

Buko A. 1990. *Ceramika wczesnopolska. Wprowadzenie do badań*. Wrocław-Warszawa-Kraków-Gdańsk-Łódź.

Chmielewski T.J. 2010. *Po nitce do kłębka… O przędzalnictwie i tkactwie młodszej epoki kamienia w Europie Środkowej*. Warszawa.

Chudziak W. 1991. *Periodyzacja rozwoju wczesnośredniowiecznej ceramiki z dorzecza dolnej Drwęcy (VII–XI/XII w.)*. Toruń.

Cnotliwy E. 2014. *Archeologia Zamku Książąt Pomorskich w Szczecinie*. Szczecin.

Cnotliwy E., Łosiński W. 1983. Chronologia absolutna. W: E. Cnotliwy, L. Leciejewicz, W. Łosiński (red.), *Szczecin we wczesnym średniowieczu. Wzgórze Zamkowe*. Wrocław–Warszawa–Kraków–Gdańsk–Łódź, 230–244.

Croix S., Roesdahl E., Jørgensen L.B. 2014. Textile equipment, textile impressions. W: E. Roesdahl, S.M. Sindbæk, A. Pedersen, D.M. Wilson (red.), *Aggersborg. The Viking-Age settlement and fortress*. Aarhus, 317–329.

Dworaczyk M. 2003. Próba synchronizacji warstw kulturowych z Podzamcza i Wzgórza Zamkowego. W: W. Łosiński (red.), *Szczecin we wczesnym średniowieczu. Wschodnia część suburbium*. Szczecin, 262–267.

Dworaczyk M. 2010. Próba interpretacji zespołów ceramiki naczyniowej z polokacyjnych nawarstwień wykopu na Rynku Warzywnym w Szczecinie. *Materiały Zachodniopomorskie Nowa Seria* 4–5, z. 1, 191–230.

Dworaczyk M. 2011a. Garncarstwo. W: A. B. Kowalska, M. Dworaczyk, *Szczecin wczesnośredniowieczny. Nadodrzańskie centrum*. Origines Polonorum 5. Warszawa, 345–354.

Dworaczyk M. 2011b. Synchronizacja chronologiczna wczesnośredniowiecznych nawarstwień kulturowych w obrębie szczecińskiego kompleksu osadniczego. W: A. B. Kowalska, M. Dworaczyk, *Szczecin wczesnośredniowieczny. Nadodrzańskie centrum*. Origines Polonorum 5. Warszawa, 152–161.

Dworaczyk M. 2015. Ceramika naczyniowa. W: M. Rębkowski, F. Biermann (red.), *Klasztor premonstratensów w Białobokach. Archeologia i historia*. Szczecin, 81–103.

Dworaczyk M. 2016. Wczesnośredniowieczna i przejściowa ceramika naczyniowa. W: M. Majewski (red.), *Archeologia Stargardu 2.2. Badania na obszarze dawnego kościoła augustiańskiego*. Stargard, 13–102.

Dworaczyk M. 2019. Pottery Vessels. W: M. Rębkowski (red.), *Wolin – the Old Town 2. Studies on Finds*. Szczecin, 5–45.

Dworaczyk M., Durdyń G. 2018. Early Medieval Pottery Vessels. W: M. Rębkowski (red.), *Lubin. Early Medieval Stronghold at the Mouth of the Oder River*, Szczecin, 245–271.

Dzieduszycki W. 1982. *Wczesnomiejska ceramika kruszwicka w okresie od 2 połowy X w. do połowy XIV w.* Wrocław–Warszawa–Kraków–Gdańsk–Łódź.

Janowski A. 2019. Clay artefacts. W: M. Rębkowski (red.), *Wolin – the Old Town, vol. 2, Studies on Finds*. Szczecin, 291–322.

Kempke T. 1981. Die Keramik von Warder, Kreis Segeberg, und ihre Stellung in Ostholstein. *Offa* 38, 289–321.

Kempke T. 2001. Slawische Keramik. W: H. Lüdtke i K. Schietzel (red.), *Handbuch zur mittelalterlichen Keramik in Nordeuropa*. Neumünster, 209–256.

Kobylińska U., Kobyliński Z. 1993. Struktura wielkościowa zespołów ceramiki na stanowiskach wielowarstwowych: metody analizy i możliwości poznawcze, *Archeologia Polski* 28/2, 229–262.

Lepówna B. 1968. Garncarstwo gdańskie w X–XIII wieku. W: *Gdańsk wczesnośredniowieczny* 7, Gdańsk.

Łosiński W. 1972. *Początki wczesnośredniowiecznego osadnictwa grodowego w dorzeczu dolnej Parsęty (VII–X/XI w.)*. Wrocław–Warszawa–Kraków–Gdańsk.

Łosiński W., Rogosz R. 1983. Zasady klasyfikacji i schemat taksonomiczny ceramiki. W: E. Cnotliwy, L. Leciejewicz, W. Łosiński (red.), *Szczecin we wczesnym średniowieczu. Wzgórze Zamkowe*. Wrocław–Warszawa–Kraków–Gdańsk–Łódź, 202–226.

Łosiński W., Rogosz R. 1985. Die Periodisierung der frühmittelalterlichen Keramik aus Szczecin. *Przegląd Archeologiczny* 32(1984), 187–207.

Łosiński W., Rogosz R. 1986a. Metody synchronizacji warstw kulturowych wczesnośredniowiecznych obiektów wielowarstwowych na podstawie ceramiki ze Szczecina. W: J. Gromnicki (red.), *Problemy chronologii ceramiki wczesnośredniowiecznej na Pomorzu Zachodnim*. Warszawa, 9–50.

Łosiński W., Rogosz R. 1986b. Próba periodyzacji ceramiki wczesnośredniowiecznej ze Szczecina. W: J. Gromnicki (red.), *Problemy chronologii ceramiki wczesnośredniowiecznej na Pomorzu Zachodnim*. Warszawa, 51–61.

Rębkowski M. 1995. *Średniowieczna ceramika miasta lokacyjnego w Kołobrzegu*. Kołobrzeg.

Rębkowski M. 2007. Chronologia ceramiki. Uwagi na podstawie zbioru uzyskanego w wykopie badanym w 1997 roku. W: L. Leciejewicz,

M. Rębkowski (red.), *Kołobrzeg. Wczesne miasto nad Bałtykiem*. Warszawa, 199–213.
Rogosz R. 1986. Stargard nad Iną w świetle analizy chronologicznej ceramiki. W: J. Gromnicki (red.), *Problemy chronologii ceramiki wczesnośredniowiecznej na Pomorzu Zachodnim*. Warszawa, 118–145.
Rzeźnik P. 1995. *Ceramika naczyniowa z Ostrowa Tumskiego we Wrocławiu w X–XI wieku*. Poznań.
Schuldt E. 1956. *Die slawische Keramik in Mecklenburg*. Berlin.
Schuldt E. 1964. *Slawische Töpferei in Mecklenburg*. Schwerin.

mgr Marek Dworaczyk
Ośrodek Archeologii Średniowiecza Krajów Nadbałtyckich
Instytut Archeologii i Etnologii PAN
ul. Kuśnierska 12/12a
70-536 Szczecin
m.dworaczyk@iaepan.szczecin.pl

Zusammenfassung

Siedlungsspuren aus dem Frühmittelalter

Während der archäologischen Arbeiten im Quartier IX in Stargard wurde in frühmittelalterlichen Schichten eine fragmentierte, kleine Sammlung mit Bruchstücken von Tongefäßen gefunden. Sie besteht aus 428 Keramikscherben, darunter aus dem Frühmittelalter – 423 Stück (98,8%) und Grauwaren – 5 Stück (1,2%) (siehe Tabelle 1). Anhand von stratigraphischen Beobachtungen kann davon ausgegangen werden, dass die Scherben der letztgenannten Keramik zufällig in die frühmittelalterlichen Schichten und Befunde gelangt sind, höchstwahrscheinlich bereits im Spätmittelalter aufgrund weit angelegter Bauarbeiten bei der Gründung der Stadt nach deutschem Recht. Daher wurde diese Fundgruppe in der nachstehenden Beschreibung nicht berücksichtigt.

Die Kriterien, die bei der Bearbeitung der Keramikfunde verwendet wurden, sind identisch mit den Methoden, die in der Vergangenheit zur Beschreibung dieser Quellenkategorie verwendet worden sind: bei der Analyse von frühmittelalterlichen Tongefäßen u.a. aus Stettin, Wolin, aus dem frühmittelalterlichen Burgwall in Kołobrzeg, dem frühmittelalterlichen Burgwall in Lubin, wie auch aus Stargard.

In der frühmittelalterlichen Warensammlung mit 428 Bruchstücken (vgl. Tabelle) aus mindestens 70 Gefäßen wurden 55 Behältnisse (78,6%) typologisch bestimmt (vgl. Tab. 4); unterschieden wurden (vgl. Tab. 3): 70 Ränder (16,5%), 49 Böden und bodennahe Scherben (11,6%) sowie 304 Bäuche (71,9%). Sie repräsentieren die folgenden Formen von Gefäßen, die hauptsächlich in den jüngeren Phasen des frühen Mittelalters in Vorpommern benutzt wurden, einschließlich solcher, die teilweise (Typologische Gruppe – TG II) – 3 Bruchstücke (5,5%) und vollständig auf einer Töpferscheibe bearbeitet wurden (TG III) – 52 Bruchstücke (94,5%). In dieser Sammlung gibt es deutlich mehr Töpfe vom Typ RF G – 26 Bruchstücke (47,2%) und RF J – 20 Bruchstücke (36,3%) als Gefäße vom Typ RF: D – 3 Bruchstücke (5,5%), K – 3 Bruchstücke (5,5%) und R – 3 Bruchstücke (5,5%).

Die Sammlung frühmittelalterlicher Tongefäße ist, wie oben erwähnt, sehr fragmentiert. Darauf deutet die vorgenommene Größenklassifikation der Scherben hin. Dieser Einstufung zufolge weisen kleine und mittlere Bruchteile auf eine intensive Entwicklung des jeweiligen Siedlungskontextes hin und spiegeln intensive Ablagerungs- und Umschichtungsprozesse wider. Große Scherben müssten hingegen als Primärabfall betrachtet werden. Bei der Gefäßsammlung aus dem Stargarder Quartier IX. wurde eine Einstufung der Scherben in drei Größenkategorien (GK) vorgenommen: klein (GK I) – bis 9 cm^2, mittelgroß (GK II) – bis 25 cm^2 und groß (GK III) – über 25 cm^2. Die Interpretation der Ergebnisse dieser Auswertung basierte jedoch nur auf zahlreicheren Fundkomplexen, die in Schicht B und den Befunden Nr. 2 und 3 entdeckt wurden (siehe Tab. 2). Die Größenklassifikation zeigte, dass nur in den letztgenannten stratigraphischen Einheiten mittlere und große Bruchstücke zahlreicher sind als die kleinen. Die in diesen Befunden enthaltenen Gefäßscherben können daher zumindest teilweise homogener Natur sein und für die Zwecke der chronologischen Auswertung herangezogen werden. Anders verhält es sich bei der Keramiksammlung aus Schicht B, wo kleine Bruchstücke überwiegen, was wiederum darauf hindeuten kann, dass sie zufällig deponiert worden sein könnten. Das Heranziehen dieser Fundkomplexe für die chronologische Analyse erfordert jedoch, dass noch weitere Bedingungen erfüllt werden. Gemäß den von W. Łosiński und R. Rogosz angenommenen Kriterien müssten die verglichenen Gruppen auf der Klassifizierungsstufe II mindestens 50 Gefäßbruchteile zählen. Zuletzt wurde ferner nachgewiesen, dass auch auf der allgemeinsten Klassifikationsebene, die in der Unterscheidung von Warenarten besteht, Sammlungen von Gefäßen mit weniger als 1000 Fragmenten zufällige Verteilungen der Elemente, aus denen sie bestehen, enthalten können. Nicht so viel Teile enthaltende Keramikserien, die innerhalb von festen Siedlungsüberresten erfasst wurden, können die tatsächlichen Strukturen der Gefäßkomplexe verzerren. Gerade mit solchen nicht sehr zahlreichen Gefäßkomplexen (nur in zwei Fällen mit mehr als 100 Scherben – Schicht B und Befund Nr. 2, vgl. Tab. 1) haben wir es innerhalb des Quertiers IX. in Stargard zu tun. Daher ist die nachstehend vorgeschlagene Chronologie dieser Quellen allgemeiner Natur, wobei sie jedoch den in anderen Teilen Westpommerns beobachteten Entwicklungstendenzen entspricht.

Aufgrund der Struktur des gesamten analysierten frühmittelalterlichen Gefäßkomplexes aus Stargard kann nur vermutet werden, dass der *terminus post quem* der Entstehung der Kultureinheiten, in denen er gewonnen wurde, etwa in die Mitte des 11. Jh. fällt. Dabei scheinen die Bestattungen, die ältesten zu sein. Jüngere Gruppen werden durch Schicht B und Befunde Nr. 2 und 3 vertreten. Sie können noch vor der Mitte des 12. Jh. entstanden sein. Es ist jedoch klarzustellen, dass der chronologische Rahmen, in den die analysierte Keramiksammlung eingebettet ist, ein lediglich geschätzter Rahmen ist, da er auf recht bescheidenen Quellen beruht.

Tabela 1. Stargard, Stare Miasto, kwartał IX. Zbiorcze zestawienie ceramiki naczyniowej. Oprac. M. Dworaczyk
Tabelle 1. Stargard, Altstadt, Quartier IX. Gesamtaufstellung der Gefäßkeramik. Bearb. M. Dworaczyk

Warstwa/obiekt	Nr inwentarza	Ceramika ogółem	Ceramika wczesnośredniowieczna		Ceramika siwa	
			n	%	n	%
B	68/J/Kw/M	111	110	99,9	1	0,9
Ob. 2	4/J/Kw/M	189	189	100	–	–
Ob. 3	6/J/Kw/M	89	89	100	–	–
Grób 7	75/R/Kw/M	1	1	100	–	–
Grób 13	59/R/Kw/M	5	3	60,0	2	40,0
Grób 15	61/R/Kw/M	1	–	–	1	100
Grób 16	62/R/Kw/M	3	2	66,7	1	33,3
Grób 17	63/R/Kw/M	7	7	100	–	–
Grób 19	65/R/Kw/M	3	3	100	–	–
Grób 20	66/R/Kw/M	16	16	100	–	–
Grób 21	67/R/Kw/M	2	2	100	–	–
Grób 22	68/R/Kw/M	1	1	100	–	–
Razem		428	423	98,8	5	1,2

Tabela 2. Stargard, Stare Miasto, kwartał IX. Kategorie wielkościowe ułamków naczyń: KW I – do 3 cm², KW II – do 5 cm², KW III – powyżej 5 cm². Oprac. M. Dworaczyk
Tabelle 2. Stargard, Altstadt, Quartier IX. Größenkategorien der Gefäßbruchstücke: GK I – bis zu 3 cm², GK II – bis zu 5 cm², GK III – über 5 cm². Bearb. M. Dworaczyk

Nr inwentarza	Warstwa/obiekt	n ułamków	Kategorie wielkościowe ułamków naczyń					
			KW I		KW II		KW III	
			n	%	n	%	n	%
68/J/Kw/M	B	111	80	72,1	30	27,0	1	0,9
4/J/Kw/M	ob. 2	189	78	41,3	86	45,5	25	13,2
6/J/Kw/M	ob. 3	89	42	47,2	38	42,7	9	10,1
75/R/Kw/M	grób 7	1	1	100	–	–	–	–
59/R/Kw/M	grób 13	5	4	80,0	1	20,0	–	–
61/R/Kw/M	grób 15	1	–	–	1	100	–	–
62/R/Kw/M	grób 16	3	3	100	–		–	–
63/R/Kw/M	grób 17	7	5	71,4	1	14,3	1	14,3
65/R/Kw/M	grób 19	3	3	100	–	–	–	–
66/R/Kw/M	grób 20	16	14	87,5	2	12,5	–	–
67/R/Kw/M	grób 21	2	–	–	2	100	–	–
68/R/Kw/M	grób 22	1	1	100	–	–	–	–
Razem		428	231	54,0	161	37,6	36	8,4

Tabela 3. Stargard, Stare Miasto, kwartał IX. Zbiorcze zestawienie ceramiki wczesnośredniowiecznej. Oprac. M. Dworaczyk
Tabelle 3. Stargard, Altstadt, Quartier IX. Gesamtaufstellung frühmittelalterlicher Gefäßkeramik. Bearb. M. Dworaczyk

Nr inwentarza	Warstwa kulturowa/ obiekt	n ceramiki	Ułamki zdobione		Rodzaje ułamków											
					Brzegi				Brzuśce				Dna			
			n	%	n	%	Zdobnictwo części przybrzeżnych		n	%	Zdobnictwo brzuśców		n	%	Zdobnictwo części przydennych	
							n	%			n	%			n	%
68/J/Kw/M	B	110	67	60,9	25	22,7	12	48,0	77	70,0	54	70,1	8	7,3	1	12,5
4/J/Kw/M	ob. 2	189	121	64,0	19	10,0	10	52,6	140	74,1	111	79,3	30	15,9	–	–
6/J/Kw/M	ob. 3	89	52	58,4	21	23,6	15	71,4	57	64,0	37	64,9	11	12,4	–	–
75/R/Kw/M	gr. 7	1	–	–	–	–	–	–	1	100	–	–	–	–	–	–
59/R/Kw/M	gr. 13	3	2	66,6	–	–	–	–	3	100	2	66,6	–	–	–	–
61/R/Kw/M	gr. 15	–	–	–	–	–	–	–	–	–	–	–	–	–	–	–
62/R/Kw/M	gr. 16	2	–	–	–	–	–	–	2	100	–	–	–	–	–	–
63/R/Kw/M	gr. 17	7	3	42,8	1	14,3	1	100	6	85,7	2	33,3	–	–	–	–
65/R/Kw/M	gr. 19	3	–	–	–	–	–	–	3	100	–	–	–	–	–	–
66/R/Kw/M	gr. 20	16	4	25,0	2	12,5	1	50,0	14	87,5	3	21,4	–	–	–	–
67/R/Kw/M	gr. 21	2	2	100	2	100	2	100	–	–	–	–	–	–	–	–
68/R/Kw/M	gr. 22	1	–	–	–	–	–	–	1	100	–	–	–	–	–	–
Razem		423	251	59,3	70	16,5	41	58,6	304	71,9	209	68,7	49	11,6	1	2,0

Tabela 4. Stargard, Stare Miasto, kwartał IX. Typologia wylewów naczyń wczesnośredniowiecznych. Oprac. M. Dworaczyk
Tabelle 4. Stargard, Altstadt, Quartier IX. Typologie der Ausgüsse frühmittelalterlicher Gefäße. Bearb. M. Dworaczyk

Warstwa/obiekt	n wylewów	Naczynia sklasyfikowane		Rodziny form naczyń									
				D		G		J		K		R	
		n	%	n	%	n	%	n	%	n	%	n	%
B	25	21	84,0	–	–	13	–	7	–	1	–	–	–
ob. 2	19	14	73,7	–	–	5	–	6	–	2	–	1	–
ob. 3	21	15	71,4	–	–	6	–	7	–	–	–	2	–
grób 7	–	–	–	–	–	–	–	–	–	–	–	–	–
grób 13	–	–	–	–	–	–	–	–	–	–	–	–	–
grób 15	–	–	–	–	–	–	–	–	–	–	–	–	–
grób 16	–	–	–	–	–	–	–	–	–	–	–	–	–
grób 17	1	1	100	–	–	1	–	–	–	–	–	–	–
grób 19	–	–	–	–	–	–	–	–	–	–	–	–	–
grób 20	2	2	100	2	–	–	–	–	–	–	–	–	–
grób 21	2	2	100	1	–	1	–	–	–	–	–	–	–
grób 22	–	–	–	–	–	–	–	–	–	–	–	–	–
Razem	70	55	78,6	3	5,5	26	47,2	20	36,3	3	5,5	3	5,5

Tabela 5. Stargard, Stare Miasto, kwartał IX. Zestawienie części przybrzeżnych wczesnośredniowiecznych naczyń rodziny form D (Menkendorf). Oprac. M. Dworaczyk
Tabelle 5. Stargard, Altstadt, Quartier IX. Zusammenstellung der Randzonen von frühmittelalterlichen Gefäßen aus der Formfamilie D (Menkendorf). Bearb. M. Dworaczyk

Warstwa/ Obiekt	Typ naczynia	Typ brzegu	Ornament	Średnica wylewu (cm)	Wielkość ułamka	Kategoria wielkościowa	Ślady produkcyjne	Uwagi
grób 20	–	12a	lewoskośne nacięcia	–	A.1.2.	KW I	–	–
	–	nieokreślony	–	–	A.1.2.	KW I	–	–
grób 21	–	brak krawędzi	na załomie lekko zaznaczona linia falista	–	A.1.4.	KW II	ścianka wew. – ślady ugniatania	–

Tabela 6. Stargard, Stare Miasto, kwartał IX. Zestawienie części przybrzeżnych wczesnośredniowiecznych naczyń rodziny form G (Vipperow). Oprac. M. Dworaczyk

Tabelle 6. Stargard, Altstadt, Quartier IX. Zusammenstellung der Randzonen von frühmittelalterlichen Gefäßen aus der Formfamilie G (Vipperow). Bearb. M. Dworaczyk

Warstwa/ Obiekt	Typ naczynia	Typ wylewu	Ornament	Średnica wylewu (cm)	Wielkość ułamka	Kategoria wielkościowa	Ślady produkcyjne	Uwagi
B	–	3f	prawoskośne, odcinkowe rzędy nacięć	17	A.1.3.	KW II	wew. na przejściu w szyjkę – bruzdy	–
	–	2b	–	17	A.1.2.	KW II	–	–
	–	17a	pasmo linii falistej, poziome żłobki	–	A.1.3.	KW II	wew. na przejściu w brzeg – bruzda	–
	–	15a	–	–	A.1.2.	KW I	–	–
	–	brak krawędzi	poziome żłobki	–	A.1.3.	KW I	–	–
	–	6b	–	–	A.1.3.	KW I	–	–
	–	4a	–	–	A.1.1.	KW I	–	–
	–	1a	prawoskośne, odcinkowe nacięcia	–	A.1.2.	KW I	–	–
	–	11a	–	–	A.1.3.	KW I	–	–
	–	brak krawędzi	poziome żłobki	–	A.1.3.	KW I	–	–
	–	brak krawędzi	poziome żłobki	–	A.1.3.	KW II		
	–	brak krawędzi	poziome żłobki	–	A.1.4.	KW I	–	–
	–	–	–	–	A.1.2.	KW I	–	–
ob. 2	–	2b	–	–	A.1.2.	KW II	wew. – na przejściu w szyjkę „łezki”	–
	–	2a	pasmo linii falistej	–	A.1.3.	KW II	–	–
		7a	–	20	A.1.2.	KW II	–	–
	–	brak krawędzi	poziome żłobki	–	A.1.3.	KW I	–	–
	–	2b	–	–	A.1.2.	KW II	–	–
ob. 3	II:a	2b	lewoskośne nacięcia, poziome żłobki	–	A.1.4.	KW II	–	–
	I:b	12b	pasmo linii falistych, poziome żłobki	–	A.1.4.	KW I	–	–
	–	4c	poziome żłobki	–	A.1.3.	KW II	–	–
	–	1a	–		A.1.3.	KW II	–	–
	–	7a	poziome żłobki	–	A.1.3.	KW II	wew. – na przejściu w szyjkę nierówny karb	–
	–	brak krawędzi	lewoskośne nacięcia	–	A.1.3.	KW I	–	–
grób 17	II:b	16b	żłobek, pasmo linii falistych, poziome żłobki	13	A.1.4.	KW III	wew. na przejściu w brzeg – bruzda	–
grób 21	I:b	9:b	poziome żłobki	–	A.1.4.	KW II	wew. – na przejściu w szyjkę karb	–

Tabela 7. Stargard, Stare Miasto, kwartał IX. Zestawienie części przybrzeżnych wczesnośredniowiecznych naczyń rodziny form J (Teterow). Oprac. M. Dworaczyk
Tabelle 7. Stargard, Altstadt, Quartier IX. Zusammenstellung der Randzonen von frühmittelalterlichen Gefäßen aus der Formfamilie J (Teterow).
Bearb. M. Dworaczyk

Warstwa/ Obiekt	Typ naczynia	Typ wylewu	Ornament	Średnica wylewu (cm)	Wielkość ułamka	Kategoria wielkościowa	Ślady produkcyjne	Uwagi
B	–	4c	–	–	A.1.2.	KW I	–	–
	–	10e	–	–	A.1.2.	KW II	–	–
	–	10c	–	–	A.1.2.	KW I	–	–
	–	6b	poziomy żłobek	–	A.1.3.	KW II	wew. – na przejściu w brzeg nierówna bruzda	–
	–	5b	–	–	A.1.2.	KW II	–	–
	–	1b	–	–	A.1.2.	KW I	wew. – na przejściu w brzeg „łezki”	–
	II	10d	prawoskośne maźnięcia (6–zębne narzędzie), poziome żłobki	–	A.1.4.	KW II	wew. – na szyjce „łezki”	–
ob. 2	IV	8a	prawoskośne nacięcia, poziome żłobki	21	A.1.4.	KW III	–	–
	II	6b	prawoskośne odciski, poziome żłobki	22	A.1.4.	KW III	–	–
	–	7b	poziome żłobki	–	A.1.3.	KW III	wew. – na przejściu w szyjkę bruzda	–
	I	9a	prawoskośne, odcinkowe nakłucia (3–zębne narzędzie), poziome żłobki	–	A.1.4.	KW II	–	–
	–	5a	lewoskośne nacięcia	–	A.1.3.	KW I	–	–
	–	brak krawędzi	–	–	A.1.2.	KW I	wew. – na przejściu w szyjkę bruzdy	–
ob. 3	XI	7d	lewoskośne, odcinkowe nacięcia, poziome żłobki	21	A.1.4.	KW III	wew. – na przejściu w szyjkę bruzda; wew. – na brzuścu wałek o szer. 1,4 cm	–
	–	10a	prawoskośne nacięcia, żłobki	–	A.1.5.	KW II	–	–
	I	8a	pasmo nakłuć, poziome żłobki	18	A.1.4.	KW III	wew. – na przejściu w szyjkę nieciągła bruzda i „łezki”	niestaranne wykonanie
	XIII	7b	na szyjce – pasmo linii falistej; poniżej poziome żłobki	–	A.1.5.	KW II	–	niestaranne wykonanie
	XI	5b	prawoskośne, odcinkowe nakłucia (2–zębne narzędzie), poziome żłobki	–	A.1.4.	KW II	wew. – na przejściu w szyjkę i brzeg karby i bruzdy	–
	–	7d	lewoskośne nacięcia	–	A.1.3.	KW II	wew. – na przejściu w szyjkę bruzda	–
	–	6b	–	–	A.1.2.	KW I	wew. – na przejściu w szyjkę bruzda	–

Tabela 8. Stargard, Stare Miasto, kwartał IX. Zestawienie części przybrzeżnych wczesnośredniowiecznych naczyń rodziny form K. Oprac. M. Dworaczyk
Tabelle 8. Stargard, Altstadt, Quartier IX. Zusammenstellung der Randzonen von frühmittelalterlichen Gefäßen aus der Formfamilie K. Bearb. M. Dworaczyk

Warstwa/ obiekt	Typ naczynia	Typ wylewu	Ornament	Średnica wylewu (cm)	Wielkość ułamka	Kategoria wielkościowa	Ślady produkcyjne	Uwagi
B	–	3b	–	–	A.1.2.	KW I	–	–
ob. 2	I	2b	na szyjce – poziome żłobki; brzusiec – poziome żłobki	16	A.1.4.	KW III	wew. – na szyjce nieciągła bruzda	–
	II	4b	lewoskośne nacięcia	–	A.1.3.	KW II	wew. – na przejściu w szyjkę karb	–

Tabela 9. Stargard, Stare Miasto, kwartał IX. Zestawienie części przybrzeżnych wczesnośredniowiecznych naczyń rodziny form R (Garz). Oprac. M. Dworaczyk
Tabelle 9. Stargard, Altstadt, Quartier IX. Zusammenstellung der Randzonen von frühmittelalterlichen Gefäßen aus der Formfamilie R (Garz). Bearb. M. Dworaczyk

Warstwa/ obiekt	Typ naczynia	Typ wylewu	Ornament	Średnica wylewu (cm)	Wielkość ułamka	Kategoria wielkościowa	Ślady produkcyjne	Uwagi
ob. 2	II	3a	krawędź – lewoskośne nacięcia	15	Cały profil	KW III	–	dno typu II:c:1 – średnica 8 cm, ślady odcinania i podsypki popiołu
ob. 3	I	3b	poziome żłobki	–	A.1.3.	KW I	–	–
	I	3b	poziome żłobki	–	A.1.3.	KW I	–	–

Tabela 10. Stargard, Stare Miasto, kwartał IX. Zestawienie nie sklasyfikowanych typologicznie brzegów naczyń wczesnośredniowiecznych. Oprac. M. Dworaczyk
Tabelle 10. Stargard, Altstadt, Quartier IX. Zusammenstellung der typologisch nicht klassifizierten Ränder frühmittelalterlicher Gefäße. Bearb. M. Dworaczyk

Warstwa/ obiekt	Typ naczynia	Typ wylewu	Ornament	Średnica wylewu (cm)	Wielkość ułamka	Kategoria wielkościowa	Ślady produkcyjne	Uwagi
B	–	brak krawędzi	–	–	A.1.2.	KW I	–	–
	–	brak krawędzi	poziome żłobki, prawoskośne nakłucia (5–zębne narzędzie), maźnięcia (5–zębne narzędzie)	–	A.1.4.	KW I	–	–
	–	brak krawędzi	poziome żłobki	–	A.1.3.	KW I	–	–
	–	brak krawędzi	poziome żłobki	–	A.1.3.	KW I	–	–
ob. 2	–	–	–	–	A.1.2.	KW II	wew. – na przejściu w szyjkę bruzda	–
	–	–	–	–	A.1.2.	KW I	wew. – na szyjce nieciągła bruzda	–
	–	–	–	–	A.1.2.	KW I	–	–
	–	–	–	–	A.1.2.	KW I	–	–
	–	–	–	–	A.1.2.	KW I	–	–
ob. 3	–	–	–	–	A.1.2.	KW I	–	–
	–	brak krawędzi	pasmo linii falistej, poziome żłobki	–	A.1.5.	KW III	wew. – na przejściu w szyjkę bruzda	–
	–	–	–	–	A.1.2.	KW I	–	–
	–	–	–	–	A.1.2.	KW I	–	–
	–	–	–	–	A.1.2.	KW I	–	–
	–	brak krawędzi	poziome żeberko, poziome żłobki	–	A.1.3.	KW II	wew. – na szyjce bruzda	–

Tabela 11. Stargard, Stare Miasto, kwartał IX. Typologia den naczyń wczesnośredniowiecznych. Oprac. M. Dworaczyk
Tabelle 11. Stargard, Altstadt, Quartier IX. Typologie der Böden frühmittelalterlicher Gefäße. Bearb. M. Dworaczyk

Warstwa/obiekt	n den	n den sklasyfikowanych		Typy den																			
				I:a		I:b:1		I:b:2		I:c:1		I:c:2		II:a		II:c:1		II:c:2		III:b:1		III:c:1	
		n	%	n	%	n	%	n	%	n	%	n	%	n	%	n	%	n	%	n	%	n	%
B	8	5	62,5	–	–	1	–	1	–	1	–	2	–	–	–	–	–	–	–	–	–	–	–
ob. 2	30	21	70,0	1	4,7	3	14,3	7	33,4	2	9,5	8	38,1	–	–	–	–	–	–	–	–	–	–
ob. 3	11	7	63,6	2	–	3	–	–	–	1	–	1	–	–	–	–	–	–	–	–	–	–	–
Razem	49	33	67,3	3	9,1	7	21,2	8	24,2	4	12,1	11	33,4	–	–	–	–	–	–	–	–	–	–

Tabela 12a. Stargard, Stare Miasto, kwartał IX. Naczynia wczesnośredniowieczne – dna typu I:a. Oprac. M. Dworaczyk
Tabelle 12a. Stargard, Altstadt, Quartier IX. Frühmittelalterliche Gefäße – Böden vom Typ I:a. Bearb. M. Dworaczyk

Warstwa/obiekt	Kategoria wielkościowa	Wielkość ułamka	Średnica (w cm)	Typ odcisku osi koła garncarskiego	Typ znaku garncarskiego	Ślady produkcyjne	Sposób łączenia dna ze ścianką	Ślady podważania	Ślady odcinania	Podsypka	Ornament	Uwagi
ob. 2	KW II	C.1.2.	–	–	–	–	–	–	–	–	–	–
ob. 3	KW II	C.1.2.	–	–	–	–	–	–	–	popiół	–	–
	KW I	C.1.2.	–	–	–	–	–	–	–	tłuczeń skalny	–	–

Tabela 12b. Stargard, Stare Miasto, kwartał IX. Naczynia wczesnośredniowieczne – dna typu I:b:1. Oprac. M. Dworaczyk
Tabelle 12b. Stargard, Altstadt, Quartier IX. Frühmittelalterliche Gefäße – Böden vom Typ I:b:1. Bearb. M. Dworaczyk

Warstwa/obiekt	Kategoria wielkościowa	Wielkość ułamka	Średnica (w cm)	Typ odcisku osi koła garncarskiego	Typ znaku garncarskiego	Ślady produkcyjne	Sposób łączenia dna ze ścianką	Ślady podważania	Ślady odcina-nia	Podsypka	Ornament	Uwagi
B	KW I	C.1.2.	–	–	–	wew. – zagładzanie	–	–	–	–	poziome żłobki	–
ob. 2	KW II	C.1.2.	9	–	–	wew. – wałek o szer. 1,5 cm	–	–	–	popiół	–	–
	KW II	C.1.2.	–	–	–	wew. – karb	–	–	–	–	–	–
	KW II	C.1.2.	–	–	–	ścianka – wałek dolepiany od wew.	–	–	–	popiół	–	–
ob. 3	KW III	C.1.2.	–	–	–	–	od wew.	–	–	piasek	–	–
	KW II	C.1.2.	–	–	–	–	–	–	–	popiół	–	–
	KW I	C.1.2.	–	–	–	–	–	–	–	–	–	–

Tabela 12c. Stargard, Stare Miasto, kwartał IX. Naczynia wczesnośredniowieczne – dna typu I:b. Oprac. M. Dworaczyk
Tabelle 12c. Stargard, Altstadt, Quartier IX. Frühmittelalterliche Gefäße – Böden vom Typ I:b. Bearb. M. Dworaczyk

Warstwa/obiekt	Kategoria wielkościowa	Wielkość ułamka	Średnica (w cm)	Typ odcisku osi koła garncarskiego	Typ znaku garncarskiego	Ślady produkcyjne	Sposób łączenia dna ze ścianką	Ślady podważania	Ślady odcinania	Podsypka	Ornament	Uwagi
B	KW I	C.1.2.	–	–	–	–	–	–	–	żwir i popiół	–	–
ob. 2	KW III	C.1.2.	11	–	–	wew.–ugniatanie	–	–	–	popiół	–	–
	KW III	C.1.2.	8	–	–	–	–	–	–	popiół	–	–
	KW III	C.1.2.	10	–	–	–	–	–	–	popiół	–	–
	KW II	C.1.2.	11	–	–	wew.–karb	–	–	–	piasek	–	–
	KW II	C.1.2.	–	–	–	–	–	–	–	piasek	–	–
	KW II	C.1.2.	–	–	–	–	–	–	–	popiół	–	–
	KW I	C.1.2.	–	–	–	–	–	–	–	–	–	–

Tabela 12d. Stargard, Stare Miasto, kwartał IX. Naczynia wczesnośredniowieczne – dna typu I:c:1. Oprac. M. Dworaczyk
Tabelle 12d. Stargard, Altstadt, Quartier IX. Frühmittelalterliche Gefäße – Böden vom Typ I:c:1. Bearb. M. Dworaczyk

Warstwa/obiekt	Kategoria wielkościowa	Wielkość ułamka	Średnica (w cm)	Typ odcisku osi koła garncarskiego	Typ znaku garncarskiego	Ślady produkcyjne	Sposób łączenia dna ze ścianką	Ślady podważania	Ślady odcinania	Podsypka	Ornament	Uwagi
B	KW I	C.1.2.	8	–	–	–	–	–	–	–	–	–
ob. 2	KW III	C.1.4.	9	–	–	–	–	–	1	piasek, popiół	–	–
	KW II	C.1.2.	–	–	–	–	od wew.	–	–	popiół	–	–
ob. 3	KW III	C.1.4.	7	3:a	–	–	–	1	–	popiół	–	–

Tabela 12e. Stargard, Stare Miasto, kwartał IX. Naczynia wczesnośredniowieczne – dna typu I:c:2. Oprac. M. Dworaczyk
Tabelle 12e. Stargard, Altstadt, Quartier IX. Frühmittelalterliche Gefäße – Böden vom Typ I:c:2. Bearb. M. Dworaczyk

Warstwa/obiekt	Kategoria wielkościowa	Wielkość ułamka	Średnica (w cm)	Typ odcisku osi koła garncarskiego	Typ znaku garncar-skiego	Ślady produkcyjne	Sposób łączenia dna ze ścianką	Ślady podwa-żania	Ślady odcinania	Podsypka	Ornament	Uwagi
B	KW II	C.1.2.	7	–	–	–	–	–	1	popiół	–	–
	KW I	C.1.2.	–	–	–	–	–	–	–	–	–	–
ob. 2	KW III	C.1.4.	9,5	–	–	–	–	1	–	piasek, popiół	–	–
	KW III	C.1.2.	8	–	–	–	–	–	–	popiół	–	–
	KW III	C.1.2.	9	–	–	wew.–ugniatanie	od wew.	–	–	popiół	–	–
	KW III	C.1.2.	9	–	–	–	od wew.	–	–	popiół	–	przepalenie
	KW II	C.1.2.	11	–	–	–	–	–	–	–	–	–
	KW II	C.1.4.	9	–	–	–	od wew.	1	–	–	–	–
	KW II	C.1.2.	8	–	–	–	–	–	1	popiół	–	–
	KW I	C.1.2.	–	–	–	–	–	–	–	–	–	–
ob. 3	KW III	C.1.2.	9	–	–	–	–	–	1	żwir	–	–

Tabela 12f. Stargard, Stare Miasto, kwartał IX. Naczynia wczesnośredniowieczne – dna nieokreślone. Oprac. M. Dworaczyk
Tabelle 12f. Stargard, Altstadt, Quartier IX. Frühmittelalterliche Gefäße – unbestimmte Böden. Bearb. M. Dworaczyk

Warstwa/obiekt	Kategoria wielkościowa	Wielkość ułamka	Średnica (w cm)	Typ odcisku osi koła garncarskiego	Typ znaku garncarskiego	Ślady produkcyjne	Sposób łączenia dna ze ścianką	Ślady podważania	Ślady odcinania	Podsypka	Ornament	Uwagi
B	KW II	C.1.4.	–	–	IIIa	–	–	–	–	popiół	–	–
	KW I	C.1.3.	–	–	–	–	–	–	–	–	–	–
	KW II	C.1.3.	–	–	–	–	–	–	–	–	–	–
ob. 2	KW II	C.1.3.	–	–	–	–	–	–	–	–	–	–
	KW II	C.1.3.	–	–	–	–	–	–	–	–	–	–
	KW II	C.1.3.	–	–	–	–	–	–	–	–	–	–
	KW II	C.1.3.	–	–	–	–	–	–	–	–	–	–
	KW II	C.1.3.	–	–	–	–	–	–	–	–	–	–
	KW I	C.1.3.	–	–	–	–	–	–	–	–	–	–
	KW I	C.1.3.	–	–	–	–	–	–	–	–	–	–
	KW I	C.1.1.	–	–	–	–	–	–	–	–	–	–
	KW I	C.1.1.	–	–	–	–	–	–	–	–	–	–
ob. 3	KW II	C.1.3.	–	–	–	–	–	–	–	–	–	–
	KW I	C.1.3.	–	–	–	–	–	–	–	–	–	–
	KW II	C.1.3.	–	–	–	–	–	–	–	–	–	–
	KW II	C.1.3.	–	–	–	–	–	–	–	–	–	–

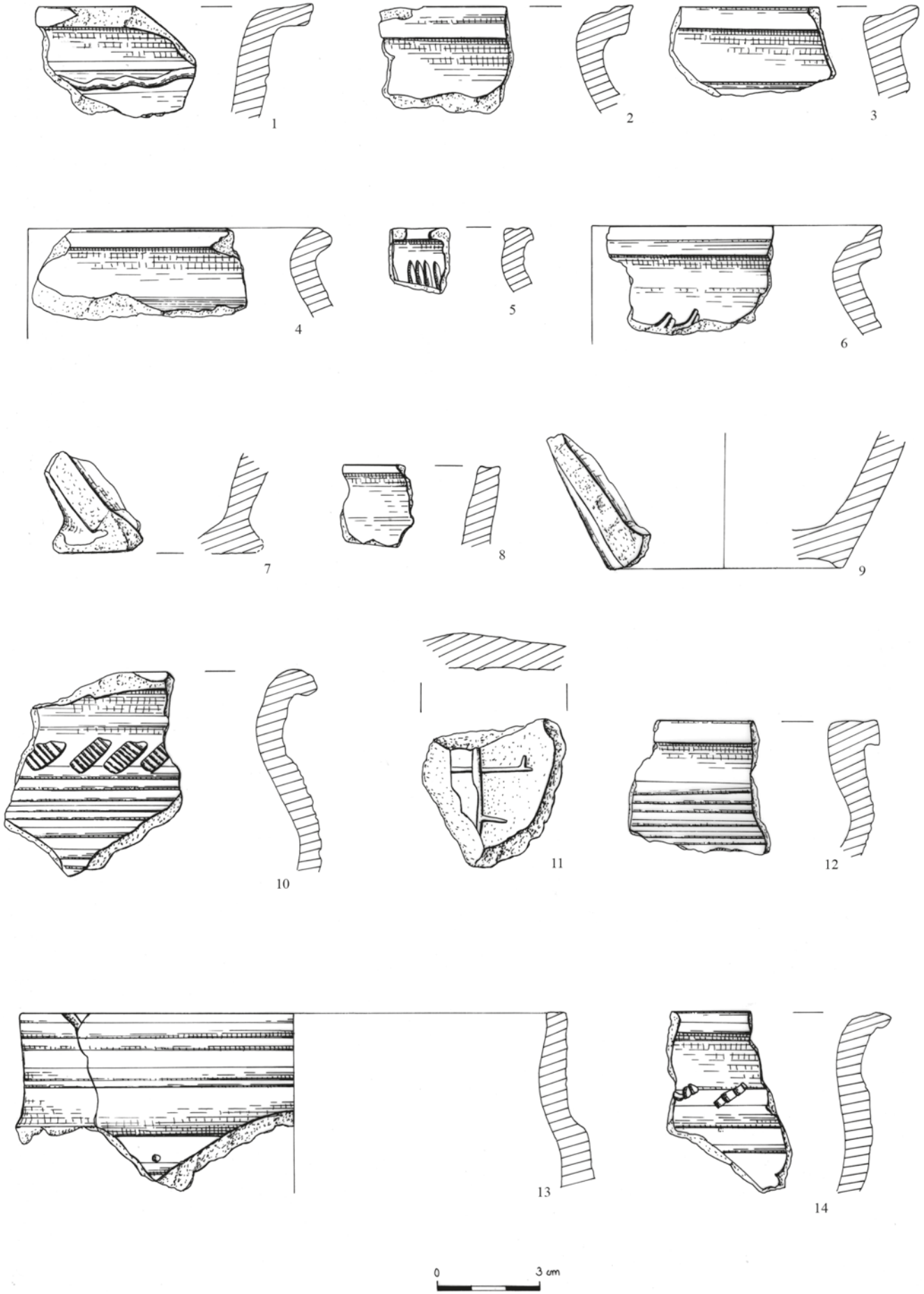

Ryc. 1. Stargard, Stare Miasto, kwartał IX. Wybór ceramiki wczesnośredniowiecznej z warstwy B (1–4, 6–11), grobu nr 12 (5), grobu nr 13 (12) i obiektu nr 2 (13–14). Rys. K. Ignaczewska

Abb. 1 Stargard, Altstadt, Quartier IX. Auswahl frühmittelalterlicher Keramik aus Schicht B (1–4, 6–11), Grab Nr. 12 (5), Grab Nr. 13 (12) und Befund Nr. 2 (13–14). Abb. K. Ignaczewska

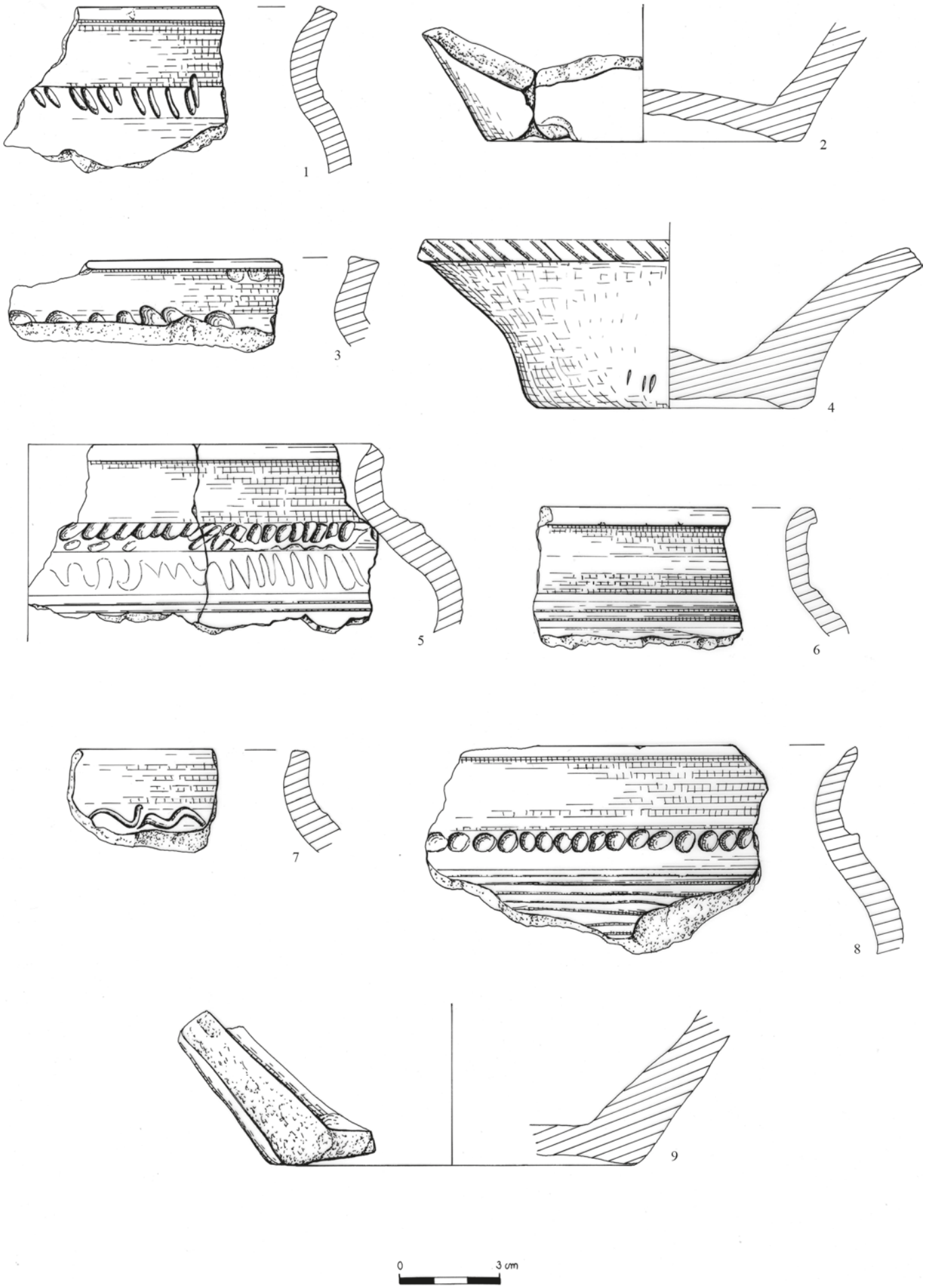

Ryc. 2. Stargard, Stare Miasto, kwartał IX. Wybór ceramiki wczesnośredniowiecznej z obiektu nr 2. Rys. K. Ignaczewska
Abb. 2. Stargard, Altstadt, Quartier IX. Auswahl frühmittelalterlicher Keramik aus Befund Nr. 2. Abb. K. Ignaczewska

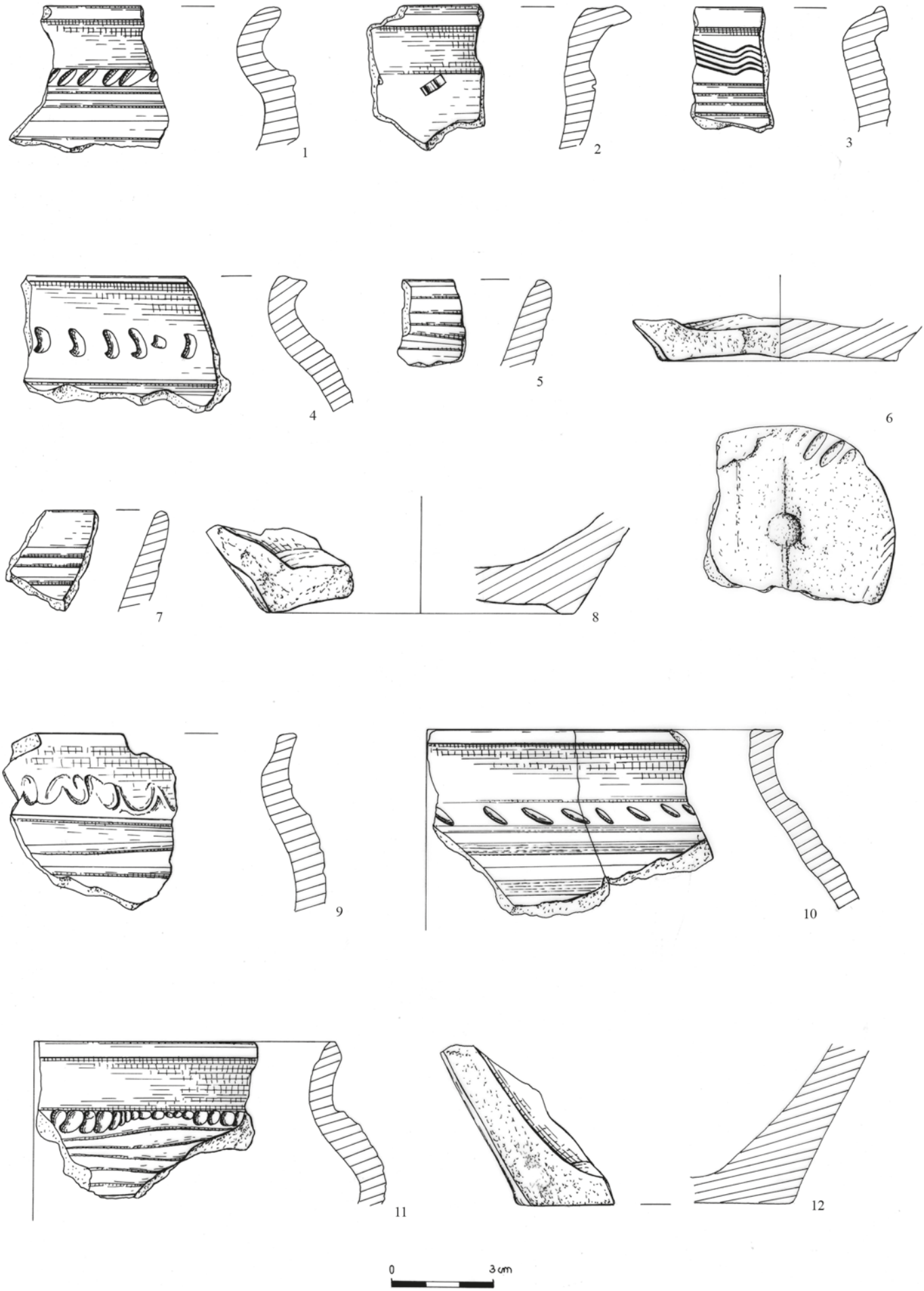

Ryc. 3. Stargard, Stare Miasto, kwartał IX. Wybór ceramiki wczesnośredniowiecznej z obiektu nr 3. Rys. K. Ignaczewska
Abb. 3. Stargard, Altstadt, Quartier IX. Auswahl frühmittelalterlicher Keramik aus Befund Nr. 3. Abb. K. Ignaczewska

Ryc. 4. Stargard, Stare Miasto, kwartał IX. Przęślik z obiektu nr 3. Fot. A. Janowski
Abb. 4. Stargard, Altstadt, Quartier IX. Spinnwirtel aus Befund Nr. 3. Fot. A. Janowski

III. 2. Wyniki badań zwierzęcych szczątków kostnych

Daniel Makowiecki

Wstęp

Zasób źródeł archeozoologicznych pochodzących z najstarszych wczesnośredniowiecznych dziejów Stargardu jest dosyć skromny. Jak dotąd ukazała się jedna publikacja zawierająca wyniki badań materiałów wydobytych z obszaru byłego podgrodzia (Gawlikowski 1996) oraz jedna z osady w Stargardzie-Osetnie (Makowiecka, Makowiecki 2015). Na podstawie uzyskanych rezultatów stwierdzono, że podstawą wytwarzania surowców pochodzenia zwierzęcego była hodowla ssaków domowych. Dla podgrodzia mięso i tłuszcz uzyskiwano przede wszystkim z hodowli świń, następnie zaś od bydła i małych przeżuwaczy. Spośród innych zwierząt gospodarskich odnotowano także obecność konia, w niewielkiej ilości psa i kota. Marginalne znaczenie miały ssaki łowne. Według liczby rozpoznanych szczątków były nimi kolejno: sarna, dzik, zając, jeleń, bóbr i lis. Pierwszy z taksonów był najliczniejszy – stwierdzono obecność 10 egzemplarzy. Materiały z osady w Stargardzie-Osetnie dały podstawy do nieco odmiennych interpretacji. Główną różnicą była przewaga bydła nad świnią, jakkolwiek niewątpliwie stanowiła ona ważny komponent pogłowia domowego.

Nie tak dawno ukazało się też kilka prac relacjonujących wyniki badań archeozoologicznych z zachodniej części kwartału V (Makowiecki 2012a), z obszaru dawnego kościoła augustiańskiego (Makowiecki, Wiejacka 2016) i Rynku Staromiejskiego (Makowiecki 2017). Na ich podstawie stwierdzano, podobnie jak dla wczesnego średniowiecza, kluczowe znacznie gospodarcze hodowli w uzyskiwaniu surowców spożywczych i technologicznych, przy bardzo niewielkim udziale polowań. Gatunkami domowymi dostarczającymi najwięcej mięsa były świnia i bydło. Trzeba jednak przyznać, że w zależności od miejsca i czasu znaczenie obu ssaków było odmienne. W obrębie dawnego kościoła augustianów, w najstarszych okresach zasiedlenia tego miejsca (XII/XIII–XVI/XVII w.) trzoda chlewna była zdecydowanie ważniejsza niż bydło. Dopiero później jego znaczenie było wyższe, jednakże przy wciąż wysokiej pozycji świni. Wzrosła też rola małych przeżuwaczy. W obrębie miasta (kwartał V) oba gatunki, a także małe przeżuwacze należały do najważniejszych ssaków. Natomiast w strefie Rynku Staromiejskiego, od początku dziejów lokacyjnego miasta bydło odgrywało najważniejszą rolę. Świnia i małe przeżuwacze należały do mniej ważnych gatunków w pogłowiu domowym. Warto też odnotować bardzo wysoką użyteczność poroża jelenia w wytwórczości przedmiotów z kości, co mocno kontrastowało z minimalnym znaczeniem ssaka w spożyciu mięsa.

Przedmiotem niniejszego opracowania są pozostałości zwierząt odkryte podczas badań archeologicznych przeprowadzonych w obrębie ulic Bolesława Chrobrego, Kazimierza Wielkiego, Grodzkiej i Targ Drzewny – historyczny kwartał IX (Majewski, Kwiatkowski 2009). Pochodzą z dwóch obiektów: 2 i 3 – odkrytych na dawnej parceli przy Johannisstrasse 17 (dziś ul. Bolesława Chrobrego). Materiały datowano na wczesne średniowiecze, w przedziale XI–XII wiek. Opisany powyżej stan badań archeozoologicznych spowodował, że w niniejszym opracowaniu dokonano nie tylko prezentacji kolejnych danych uzyskanych ze zbiorów faunistycznych, lecz odniesiono się do ich znaczenia historycznego w kontekście wyników zamieszczonych w cytowanych pracach.

Metody

Podczas prac laboratoryjnych zastosowano metodykę przyjętą w analizach archeozoologicznych, w tym standardowe metody opisu cech zoologicznych, anatomicznych oraz biologicznych zwierząt, takich jak wiek śmierci, płeć oraz wysokość w kłębie (Lasota-Moskalewska 1997; Makowiecki 1998; 2001; 2010, tam dalsza literatura). Zastosowano je także we wcześniejszych opracowaniach dotyczących Stargardu (np. Makowiecka, Makowiecki 2015; Makowiecki, Wiejacka 2016). Z tych względów w opracowaniu pominięto szczegółowe opisy zastosowanych metod.

Pomiary kości przeprowadzono według Driesch (1976), stosując podane przez autorkę skróty definiujące punkty pomiarowe, a wartości podano w mm. Podstawowym, bezwzględnym parametrem charakteryzującym pokrój zwierząt była wysokość w kłębie (WH), którą podano w cm. W tym względzie zastosowano współczynniki opracowane dla bydła (Calkin 1960; 1970) i świni (Teichert 1969). Informacje źródłowe – dane taksonomiczne i liczbowe – zawarto w tabelach syntetycznych.

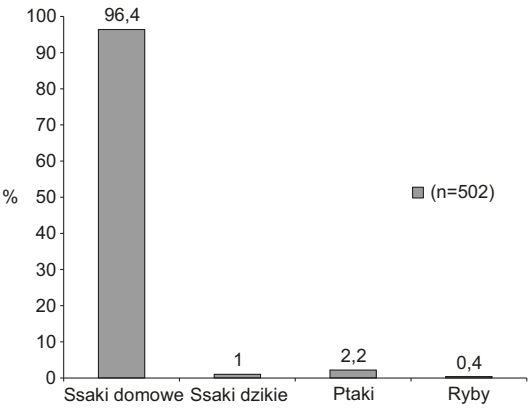

Ryc. 1. Stargard, Stare Miasto, kwartał IX. Udział grup kręgowców w ujęciu chronologicznym. Oprac. D. Makowiecki

Abb. 1 Stargard, Altstadt, Quartier IX. Anteil der Wirbeltiergruppen in chronologischer Betrachtung. Bearb. D. Makowiecki

ISBN 978-83-61456-34-6 Archeologia Stargardu T. V,1 – 2019
ISBN 978-83-7986-312-9

Wyniki

Zbadany zbiór liczył ogółem 789 szczątków, z których przynależność do taksonów zoologicznych ustalono dla 502 (tab. 1). Materiały z obu obiektów charakteryzują się podobnymi proporcjami poszczególnych gatunków. Należały one do ssaków domowych, ssaków dzikich, ptaków i ryb (ryc. 1). Udział pierwszej grupy jest w nich najwyższy, natomiast pozostałe kręgowce osiągają bardzo niskie wartości wskaźnika. Na drugim miejscu są pozostałości ptaków, a na trzecim ssaków wolno żyjących. Szczątki ryb wystąpiły tylko w obiekcie nr 3 (tab. 1).

Kości ssaków domowych należały do bydła, świni, owcy/kozy, owcy, kozy i konia. Najwięcej pochodziło od pierwszego ze zwierząt. W obiektach nr 2 i 3 udział wymienionych ssaków był nieco odmienny (ryc. 2). W obiekcie nr 3 odsetek bydła był niższy o około 10%, tym samym nieco wyższą wartość odnotowano dla świni, a bardzo dużą przewagę dla owcy/kozy. W przypadku ostatniego z taksonów różnica wynosiła 6%. Wśród ssaków wolno żyjących odnotowano obecność dzika i sarny. Z ptactwa najwięcej rozpoznano szczątków kury, której obecność stwierdzono w obu obiektach. Dla trzech nie określono przynależności gatunkowej. Z ryb zarejestrowano dwa gatunki słodkowodne, tj. szczupaka i lina (tab. 1).

Pod względem anatomicznym, szczątki bydła (tab. 2), świni (tab. 3), owcy/kozy (tab. 4) i konia (tab. 5) należały do różnych elementów wzorcowego szkieletu. Najbardziej reprezentatywne pod tym względem były kości i zęby zwierząt, które zidentyfikowano najliczniej, a więc bydła i świni. Były to pozostałości wchodzące w skład wszystkich zasadniczych elementów tuszy (ryc. 3). U bydła dominującymi komponentami były kości wchodzące w skład dobrze umięśnionych partii tuszy, a więc łopatki i szynki oraz żeberek. W przeciwieństwie do nich pozostałości głowizny było niewiele (ryc. 3). Charakterystyczną cechą rozkładu zespołów anatomicznych była dosyć wysoka przewaga żeber w obiekcie 3, wynosząca

Tabela 1. Stargard, Stare Miasto, kwartał IX. Lista taksonów zoologicznych i liczebność ich szczątków w obiektach. Oprac. D. Makowiecki

Tabelle 1. Stargard, Altstadt, Quartier IX. Liste der zoologischen Taxa und Anzahl ihrer Überreste in den Befunden. Bearb. D. Makowiecki

Zwierzęta	Obiekt		Razem
	2	3	
Bydło – *Bos taurus*	192	113	305
Świnia – *Sus domesticus*	76	59	135
Owca/koza – *Ovis ammon* /*Capra hircus*	14	22	36
Owca – *Ovis aries*	2	–	2
Koza – *Capra. hircus*	–	1	1
Koń – *Equus caballus*	1	4	5
Dzik – *Sus scrofa* L., 1758	–	1	1
Sarna – *Capreolus capreolus* (L., 1758)	3	1	4
Ptaki – Aves	1	–	1
Kura domowa – *Gallus gallus* f. *domestica*	6	4	10
Szczupak – *Esox lucius* L., 1758	–	1	1
Lin – *Tinca tinca* (L., 1758)	–	1	1
Rozpoznane	295	207	502
Nierozpoznane	167	120	287
Razem	462	327	789

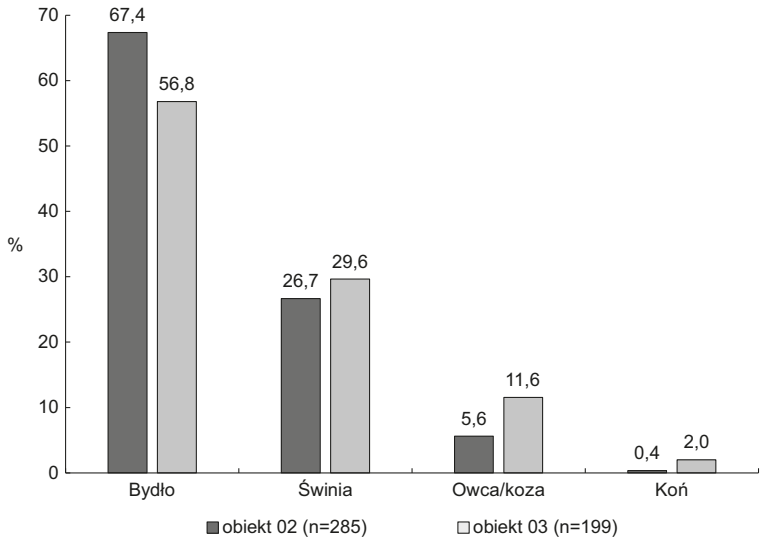

Ryc. 2. Stargard, Stare Miasto, kwartał IX. Udział ssaków domowych w poszczególnych obiektach. Oprac. D. Makowiecki
Abb. 2. Stargard, Altstadt, Quartier IX. Anteil der Haussäugetiere in einzelnen Befunden. Bearb. D. Makowiecki

Tabela 2. Stargard, Stare Miasto, kwartał IX. Skład anatomiczny szczątków bydła. Oprac. D. Makowiecki

Tabelle. 2. Stargard, Altstadt, Quartier IX. Anatomische Zusammensetzung der Knochenfunde von Rindern. Bearb. D. Makowiecki

Elementy	Obiekt 2	Obiekt 3
Czaszka	9	3
Żuchwa	5	1
Ząb dolny	1	–
Kr. szyjny I	5	2
Kr. szyjny II	1	–
Kr. szyjne	12	4
Kr. piersiowe	13	5
Kr. lędźwiowe	12	4
K. krzyżowa	–	1
Żebra	64	48
Mostek	1	–
Łopatka	15	11
K. ramienna	11	9
K. promieniowa	4	5
K. łokciowa	6	–
K. promieniowa i łokciowa	1	–
Kości nadgarstka	3	–
K. śródręcza	2	2
K. miedniczna	6	3
K. udowa	4	5
Rzepka	1	1
K. piszczelowa	6	5
K. piętowa	1	–
K. skokowa	1	2
K. śródstopia	4	1
Cz. palcowy 1 przedni	1	1
Cz. palcowy 1 tylny	2	–
Trzeszczki	1	–
Razem	192	113

Tabela 3. Stargard, Stare Miasto, kwartał IX. Skład anatomiczny szczątków świni. Oprac. D. Makowiecki

Tabelle. 3. Stargard, Altstadt, Quartier IX. Anatomische Zusammensetzung der Knochenfunde von Schweinen. Bearb. D. Makowiecki

Elementy	Obiekt 2	Obiekt 3
Czaszka	9	15
Żuchwa	8	6
Kieł stały dolny	1	–
Kieł stały górny	3	1
Kr. szyjne	–	1
Kr. piersiowe	1	1
Kr. lędźwiowe	2	1
K. krzyżowa	1	–
Żebra	16	1
Łopatka	9	2
K. ramienna	–	8
K. promieniowa	1	2
K. łokciowa	3	–
K. promieniowa i łokciowa	1	2
K. śródręcza III	2	1
K. śródręcza IV	1	1
K. śródręcza V	1	–
K. miedniczna	3	1
K. udowa	3	4
Rzepka	1	–
K. piszczelowa	–	5
K. strzałkowa	2	3
K. piętowa	1	–
K. skokowa	–	3
K. śródstopia II	1	–
K. śródstopia III	2	1
K. śródstopia IV	3	–
K. śródstopia V	1	–
Razem	76	59

w stosunku do obiektu 2 blisko 10%. Porcje uzyskiwane z żeber były różnej wielkości. Trzeba też podkreślić bardzo niski odsetek kości głowy, co mocno kontrastuje z małymi przeżuwaczami i świnią.

W odniesieniu do małych przeżuwaczy, jakkolwiek ich szczątki rozpoznano w niewielkiej liczbie, to jednak pochodziły one prawie ze wszystkich partii tuszy (ryc. 3). Na dodatek odsetek poszczególnych części anatomicznych był odmienny w obu obiektach, tak jak w przypadku bydła i świni.

Rozkład liczbowy elementów szkieletu świni jest nieco odmienny, poprzez wyraźnie zaznaczone resztki wchodzące w skład głowizny (fragmenty czaszki i żuchwy – ryc. 3). W obiekcie 3 jej udział jest wyższy o 10% w porównaniu do obiektu 2. Kości wchodzące w skład łopatki, szynki, stopek, a także żebra, stanowiły również znaczącą

Tabela 4. Stargard, Stare Miasto, kwartał IX. Skład anatomiczny szczątków owcy/kozy, owcy i kozy. Oprac. D. Makowiecki

Tabelle 4. Stargard, Altstadt, Quartier IX. Anatomische Zusammensetzung der Knochenfunde von Schafen/Ziegen, Schafen und Ziegen. Bearb. D. Makowiecki

Elementy	Obiekt 2	Obiekt 3
Czaszka	2	1
Żuchwa	3	1
Ząb górny	–	2
K. gnykowa	1	–
Kr. piersiowe	1	1
Kr. lędźwiowe	–	1
Żebra	2	4
K. ramienna	1	1
K. promieniowa	2	2
K. śródręcza	–	1
K. udowa	1	2
K. piszczelowa	2	5
K. piętowa	1	–
K. śródstopia	–	1
Cz. palcowy 3	–	1
Razem	16	23

Tabela 5. Stargard, Stare Miasto, kwartał IX. Skład anatomiczny szczątków konia. Oprac. D. Makowiecki

Tabelle 5. Stargard, Altstadt, Quartier IX. Anatomische Zusammensetzung der Knochenfunde von Pferden. Bearb. D. Makowiecki

Elementy	Obiekt 2	Obiekt 3
Ząb górny	1	1
Żebra	–	1
K. ramienna	–	1
K. piszczelowa	–	1
Razem	1	4

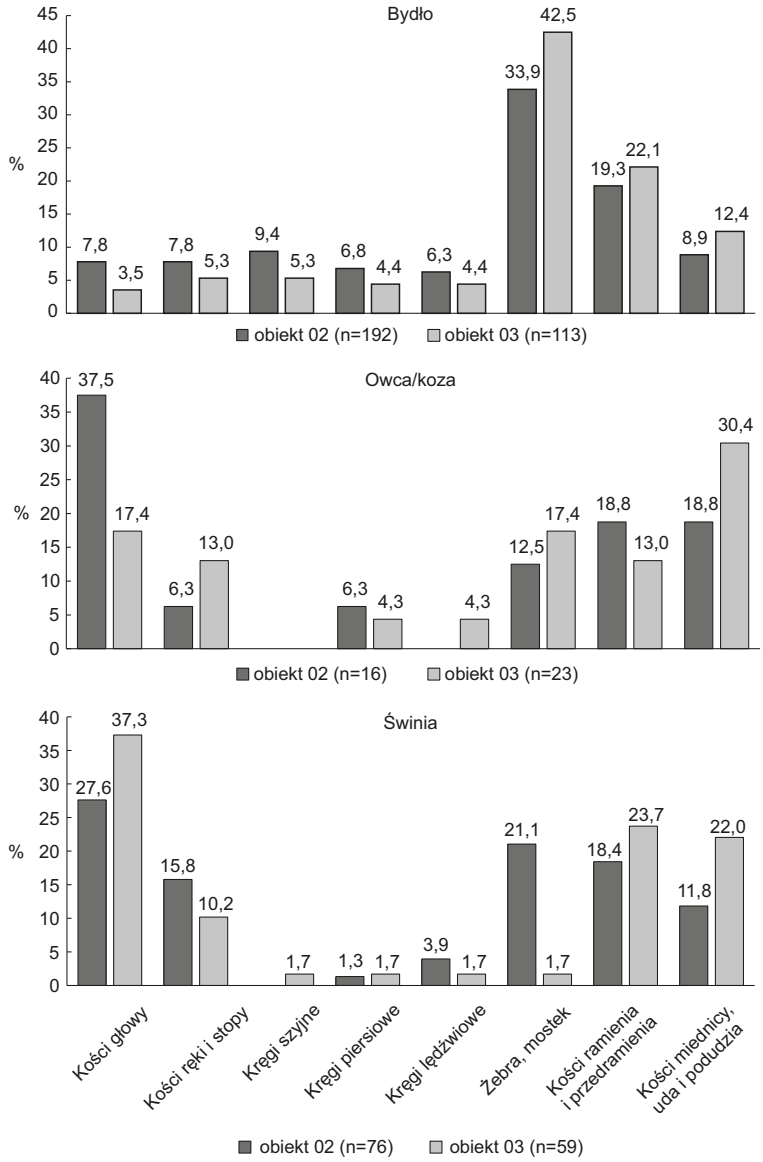

Ryc. 3. Stargard, Stare Miasto, kwartał IX. Udział zespołów anatomicznych ssaków domowych. Oprac. D. Makowiecki
Abb. 3. Stargard, Altstadt, Quartier IX. Anteil der anatomischen Gruppen von Haussäugetieren. Bearb. D. Makowiecki

część zbiorów (tab. 3). W obu też obiektach odsetek poszczególnych zespołów anatomicznych był odmienny. Największe dysproporcje odnotowano w żebrach. Te w obiekcie 3 stanowią niespełna 2%. W obiekcie 3 udział kości z szynki jest prawie taki sam jak z łopatki, natomiast w obiekcie 2 większą wartość wskaźnika uzyskano dla łopatki. Najniższy odsetek stanowią partie kręgosłupa, co jest charakterystyczne także dla przeżuwaczy.

Tabela 6. Stargard, Stare Miasto, kwartał IX. Skład anatomiczny szczątków dzika i sarny. Oprac. D. Makowiecki
Tabelle 6. Stargard, Altstadt, Quartier IX. Anatomische Zusammensetzung der Knochenfunde von Wildschweinen und Rehen. Bearb. D. Makowiecki

Elementy	Dzik	Sarna	
	Obiekt 3	Obiekt 2	Obiekt 3
Żebra	1	–	–
Łopatka	–	1	1
K. łokciowa	–	1	–
K. miedniczna	–	1	–
Razem	1	3	1

Tabela 7. Stargard, Stare Miasto, kwartał IX. Wiek osobniczy świni. Oprac. D. Makowiecki
Tabelle 7. Stargard, Altstadt, Quartier IX. Einzelalter – Schwein. Bearb. D. Makowiecki

Stan uzębienia	Wiek	n
Zęby mleczne wyrośnięte	> 7 tygodni	1
M1 w stadium wyrastania	4–6 miesięcy	–
M1 wyrośnięty	6–10 miesięcy	–
M2 w stadium wyrastania	10–12 miesięcy	–
M2 wyrośnięty	12–16 miesięcy	2
M3 w stadium wyrastania	16–24 miesiące	1
M3 wyrośnięty	2–3,5 roku	–
M3 lekko starty (+/+)	2–3,5 roku	–
M3 lekko starty (+/++)		4
M3 lekko starty (+/+++)		–
M3 lekko-średnio starty (++)	3,5–5 lat	1
M3 średnio starty (+++)	5–6 lat	–
M3 średnio-mocno starty (++++)	6–8 lat	–
P4 wyrośnięty starty	> 16 miesięcy	4
I2 wyrośnięty starty	> 22 miesięcy	1
Razem		14

Koń odznacza się obecnością pojedynczych elementów (tab. 5). Jest to zapewne związane z niską jego liczebnością w całym zbiorze i w poszczególnych obiektach. Z dzika udokumentowano jedynie żebro (tab. 6). U sarny zwraca uwagę obecność wyłącznie egzemplarzy należących do obu kończyn, jednak z piersiowej było więcej (tab. 6).

Dane dotyczące wieku osobniczego (śmierci) ssaków umożliwiające jego ocenę na podstawie uzębienia uzyskano dla bydła, świni (tab. 7), owcy/kozy i konia. Dla pierwszego ze zwierząt oszacowano go na podstawie żuchwy z obiektu 3 na 3,5–5 lat oraz zęba dolnego siecznego z obiektu 2 na 2,5–3 lata. W przypadku świni dane te były liczniejsze, gdyż łącznie obserwacje przeprowadzono na 14 egzemplarzach. Wśród nich przeważały osobniki o otwartej klasie wiekowej, tj. powyżej 16 i 22 miesięcy. Kolejnymi były zwierzęta, które w chwili śmierci miały 2–3,5 roku. Najmłodsze to prosię powyżej 7 tygodni (tab. 7).

Tabela 8. Stargard, Stare Miasto, kwartał IX. Płeć świni. Oprac. D. Makowiecki

Tabelle 8. Stargard, Altstadt, Quartier IX. Geschlecht – Schwein. Bearb. D. Makowiecki

Elementy	Samiec	Samica
Czaszka	3	1
Żuchwa	2	2
Kieł stały górny	3	1
Kieł stały dolny	1	–
Razem	9	4

Tabela 9. Stargard, Stare Miasto, kwartał IX. Wykaz kości cieląt, prosiąt oraz ze śladami pochodzenia antropogenicznego i innymi obserwacjami. Oprac. D. Makowiecki

Tabelle 9. Stargard, Altstadt, Quartier IX. Auflistung der Knochen von Kälbern und Ferkeln, mit Spuren anthropogenen Ursprungs sowie anderen Beobachtungen. Bearb. D. Makowiecki

Obiekt	Zwierzęta	Kość	n	Opis
3	Bydło	K. udowa	1	cielę
2	Bydło	Kr. szyjne	1	młody; głowa i dół niezrośnięte z trzonem
3	Bydło	Kr. szyjne	1	głowa i dół niezrośnięte z trzonem, subadultus – wyrośnięty
3	Bydło	Kr. szyjne	1	około 4–5 lat
2	Bydło	Kr. szyjne	1	około 4–5 lat
2	Bydło	Kr. szyjne	1	powyżej 4–5 lat
2	Bydło	Kr. piersiowe	1	powyżej 4–5 lat
2	Bydło	Kr. piersiowe	12	wyrostki kolczyste
3	Bydło	Kr. piersiowe	5	wyrostki kolczyste
2	Bydło	Kr. lędźwiowe	3	wyrostki poprzeczne; ślady noża od strony dobrzusznej
2	Bydło	Kr. lędźwiowe	2	ślady rąbania na trzonie po obu stronach; duże ostrze
2	Bydło	Kr. lędźwiowe	1	wyrostek poprzeczny
3	Bydło	Kr. lędźwiowe	2	wyrostki poprzeczne
3	Bydło	K. krzyżowa	1	poniżej 4–5 lat, wyrośnięty; ślady bardzo ostrych narzędzi – tasaka po obu stronach trzonu
3	Bydło	K. piszczelowa	5	fragmenty trzonów
3	Bydło	K. śródręcza	1	rozłupana wzdłuż
2	Bydło	K. śródstopia	1	trzon gryziony z obu stron, samiec
2	Bydło	Żebra	14	porcje
3	Bydło	Żebra	16	porcje
2	Świnia	Łopatka	1	płód/noworodek
2	Świnia	K. promieniowa	1	płód/noworodek
2	Świnia	K. łokciowa	1	płód/noworodek
2	Świnia	Łopatka	1	prosię około 6–10 miesięcy
3	Świnia	K. udowa	1	prosię około 6–10 miesięcy
3	Świnia	K. śródręcza IV	1	poniżej 2 lat, wyrośnięty
3	Świnia	K. promieniowa i łokciowa	1	powyżej roku, poniżej 3 lat
3	Świnia	K. promieniowa i łokciowa	1	powyżej roku, poniżej 3 lat
3	Świnia	K. piszczelowa	1	niemal cała, około 2 lat
3	Świnia	K. piszczelowa	1	cała, lewa, 2–3,5 roku
3	Świnia	K. ramienna	4	trzony
3	Świnia	K. skokowa	1	ślady noża na bloczku od strony dogłowowej
3	Świnia	Kr. lędźwiowe	1	ślady odcinania wyrostków poprzecznych po obu stronach; z prawej strony tasak
2	Świnia	Kr. lędźwiowe	2	ślady rąbania po obu stronach
3	Świnia	Łopatka	1	cała, prawa
3	Owca/koza	Kr. lędźwiowe	1	ślady rąbania po obu stronach trzonu
3	Owca/koza	K. ramienna	1	lewa, prawa; wyrośnięte jagnię
3	Kura domowa	K. udowa	1	kanał szpikowy wypełniony związkami wapnia i fosforu (MEBO+++)

W zbiorze znajdowały się także kości prosiąt, w tym płodów/noworodków oraz sztuk około 6–10 miesięcy (tab. 9). W odniesieniu do małych przeżuwaczy bazowano na podstawie czterech obserwacji, spośród których wskazano sztuki z klas: 10–17 miesięcy, 18–24 miesiące, powyżej 2 lata oraz 2–3 lata. Wiek osobniczy konia ustalono dla dwóch zwierząt. Jeden z nich miał 9 lat, a drugi był zdecydowanie starszy osiągając 16–19 lat.

Cechy płci zaobserwowano u bydła i świni. Płeć pierwszego ze zwierząt ustalono dla jednego osobnika, którego kość śródstopia pochodziła od samca. W odniesieniu do świni dane zebrano na podstawie 13 elementów. Wśród nich były czaszki, żuchwy oraz kły górne i dolny. Należały one do dziewięciu osobników męskich i czterech żeńskich (tab. 8). Z ptaków uzyskano dane z kości udowej kury domowej (obiekt 3), która pochodziła

Tabela 10. Stargard, Stare Miasto, kwartał IX. Kości ze zmianami chorobowymi. Oprac. D. Makowiecki
Tabelle 10. Stargard, Altstadt, Quartier IX. Knochen mit Läsionen. Bearb. D. Makowiecki

Obiekt	Gatunek	Kość	n	Opis
2	Bydło	K. miedniczna	1	deformacja panewki i zeszkliwienie powierzchni stawowej
3	Bydło	Cz. palcowy 1 przedni	1	niewielka deformacja powierzchni stawowej końca bliższego oraz ślady noża na nadkłykciu bocznym
2	Świnia	K. śródręcza IV	1	zmiany na trzonie, prawdopodobnie po złamaniu

Tabela 11. Stargard, Stare Miasto, kwartał IX. Pomiary kości i wartości w wysokości w kłębie (WH=cm) ssaków. Oprac. D. Makowiecki
Tabelle 11. Stargard, Altstadt, Quartier IX. Knochenmessungen und Angaben zur Widerristhöhe (WH=cm) von Säugetieren. Bearb. D. Makowiecki

Obiekt	Gatunek	Kość	GL	Bp	SD	Bd	WH	Płeć
3	Bydło	K. ramienna – *Humerus*				64,2		
2		K. promieniowa – *Radius*		69,7				
3						53,5		
3						55,2		
2						58,6		
2		K. śródręcza – *Metacarpus*	177	48,5	23,9	47,6	105,8	samica
Obiekt	Gatunek	Kość	GLl	GLm	Bd	WH		
3	Bydło	K. skokowa – *Talus*	53,8	50,3	33,8	98,4		
3			54,8	49,4	36,9	100,3		
Obiekt	Gatunek	Kość	GLpe	Bp	SD	Bd		
3	Bydło	Człon palcowy bliższy przedni – Phalanx proximalis anterior	48,1	25,4	20,7	25,2		
2			48,8	23	20,3	23,2		
2		Człon palcowy bliższy tylny – Phalanx proximalis posterior	49,5	22,4	18,5	21,9		
2			51	22,5	19,7	22		
Obiekt	Gatunek	Kość	SLC	GLP				
2	Świnia	Łopatka – *Scapula*	20,4					
3			21	32,3				
2			21,4					
2			21,5					
2			21,7					
2			22,2					
2			22,7					
3			22,9					
Obiekt	Gatunek	Kość	GL	Bp	SD	Bd	WH	
3	Świnia	K. ramienna – *Humerus*				36,8		
3		K. promieniowa – *Radius*		28,1				
3			136,2	25,1	15,6	30	71,6	
3			148,7	28,4	17,6	33,8	78,2	
3		K. piszczelowa – *Tibia*				26,2		
3			174,2	39,6	17,4	25,5	68,3	
2		K. śródstopia IV – *Metatarsus* IV	90				79,6	
Obiekt	Gatunek	Kość	GLl	GLm	WH			
3	Świnia	K. skokowa – *Talus*	34	31,2	60,9			
3			38,9	36,8	69,6			
Obiekt	Gatunek	Kość	GL	Bp	SD	Bd		
3	Koza	K. śródstopia – *Metatarsus*				24,2		
Obiekt	Gatunek	Kość	SLC	GLP				
3	Sarna	Łopatka – *Scapula*	17,6	30,1				
2			17,8	30,6				

od nioski. Jej kanał szpikowy był całkowicie wypełniony związkami mineralnymi (MEBO+++).

W zbadanych materiałach stwierdzono obecność śladów aktywności człowieka powstałych podczas zasadniczego rozbioru tuszy, porcjowania zasadniczych wyrębów na mniejsze porcje, a także filetowania mięsa, tj. odcinania go od kości. W obu obiektach najwięcej negatywów narzędzi rzeźniczych, będących efektem cięcia/rąbania znajdowało się na kościach bydła, w tym głównie na żebrach, a także na kręgach i kościach długich. W przypadku żeber, na których stwierdzono ślady porcjowania na dwóch przeciwległych końcach, zmierzono je w celu statystycznej charakterystyki wielkości porcji mięsa. Było ich razem 30. Okazało się, że z obiektu 2 było ich 14, najmniejsze porcje zaczynały się od około 8 cm, a najdłuższe osiągały około 13 cm, średnio zaś około 10 cm. Ze zbioru z obiektu 3 zmierzono 16 z nich. Ich wielkość była podobna do tych z obiektu 2, z tym że ich długość zawierała się w przedziale od 7 cm do około 15 cm. Średnia żeber kształtowała się na poziomie około 11 cm. Wyraźnie mniej stwierdzono ich u świni i małych przeżuwaczy. Szczegółowy opis zawarto w tabeli 9. Zidentyfikowano również ślady, które mogą być negatywami ostrza noża. Odnotowano je na kręgach lędźwiowych bydła i kości skokowej świni.

Wśród zbadanych materiałów faunistycznych znaleziono trzy kości, których naturalna morfologia została zmodyfikowana na skutek zmian chorobowych. W przypadku bydła zmiany takie stwierdzono na dwóch z nich. Jedna z kości miednicznych miała zdeformowaną panewkę, na której widoczne było zeszkliwienie (zeszlifowanie) powierzchni stawowej. Jeden z członów palcowych bliższych miał zdeformowaną powierzchnię stawową końca bliższego, a także ślady po nożu. U świni zmiany zwyrodnieniowe widoczne były na trzonie kości śródręcza IV, które powstały prawdopodobnie w następstwie jej złamania (tab. 10).

Zmierzono kości bydła, świni, kozy i sarny (tab. 11). Na podstawie nielicznych pomiarów ustalono wartości wysokości w kłębie dla dwóch z wymienionych gatunków. Dla bydła parametr ten obliczony z długości kości śródręcza wynosi 105,8 cm, kość ta należała do krowy. Dwie kości skokowe pochodziły od zwierząt, które miały 98,4 i 100,3 cm (tab. 11). U świni wymienioną cechę pokroju obliczono z długości sześciu kości. Dwie kości promieniowe pochodziły od zwierząt mierzących odpowiednio 71,6 cm i 78,2 cm. Wysokość tego ssaka oszacowana na podstawie pomiarów kości piszczelowej i śródstopia IV wynosiła 68,3 cm i 79,6 cm. Dwie kości skokowe należały do sztuk mierzących 60,9 cm i 69,6 cm (tab. 11).

Znaczenie historyczne danych archeozoologicznych

Kontekst zbadanych materiałów oraz odnotowane na nich ślady pochodzenia antropogenicznego pozwalają łączyć ich genezę z czynnościami gospodarczymi mającymi na celu uzyskiwanie surowców pochodzenia zwierzęcego, tych służących wytwarzaniu pożywienia, jak i znajdujących zastosowanie w wytwórczości rękodzielniczej („rzemieślniczej"). Zrelacjonowane powyżej wyniki identyfikacji zoologicznej prowadzą do kilku wniosków natury ogólnej i szczegółowej. W pierwszej kolejności można stwierdzić, że podstawy wytwarzania surowców przez ludność osiedla opierały się na kilku działach gospodarowania zwierzętami – hodowli, polowaniach i rybołówstwie. Najprawdopodobniej najważniejszą z nich była hodowla ssaków gospodarskich. Podstawą takiego wnioskowania jest bardzo wysoki udział gatunków wymienionej grupy kręgowców. Stwierdzono to także w wielu innych zbiorach odkrytych w miejscu dawnych osiedli wczesnośredniowiecznych Pomorza Zachodniego (Stępień i in. 2010, tam dalsza literatura), a także stargardzkiego podgrodzia i osady w Stargardzie-Osetnie (ryc. 4).

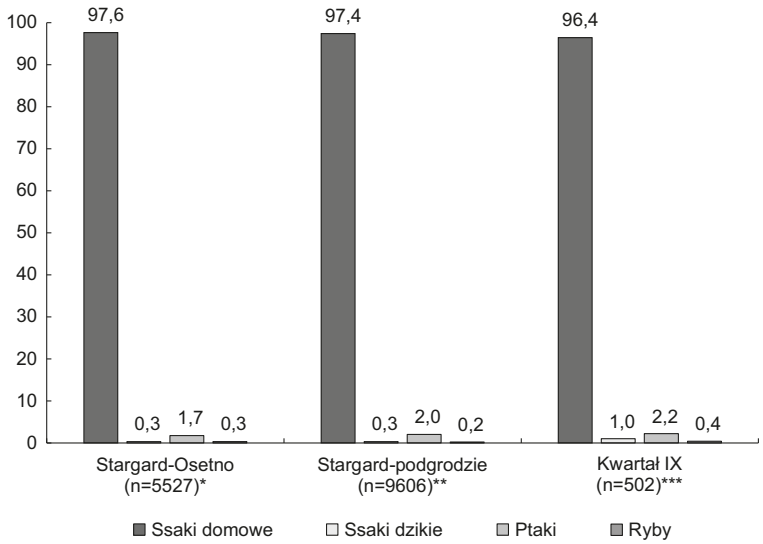

Ryc. 4. Grupy kręgowców i ich udział w grodzie i podgrodziu. *Dane za Makowiecka, Makowiecki (2015); **za Gawlikowski (1996); ***z obecnych badań. Oprac. D. Makowiecki

Abb. 4. Gruppen von Wirbeltieren und ihr Anteil in der Burg nach und im Suburbium. *Daten nach Makowiecka, Makowiecki (2015); **nach Gawlikowski (1996); ***aus aktueller Forschung. Bearb. D. Makowiecki

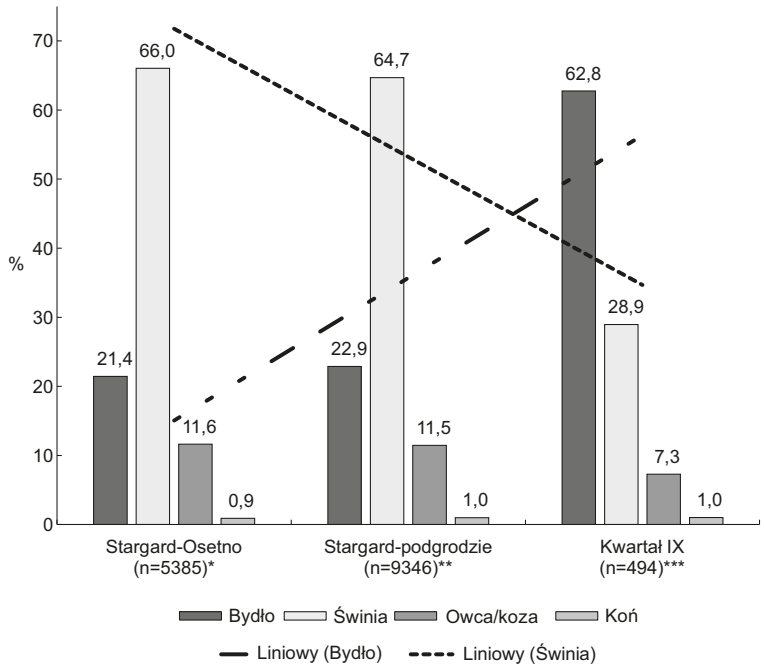

Ryc. 5. Wykres słupkowy udziału (%) ssaków domowych w kontekstach wczesnośredniowiecznych Stargardu-Osetna i Stargardu. *Dane za Makowiecka, Makowiecki (2015); **za Gawlikowski (1996); ***z obecnych badań. Oprac. D. Makowiecki

Abb. 5. Balkendiagramm des Anteils (%) der Haussäugetiere in den frühmittelalterlichen Kontexten von Stargard-Osetno und Stargard. *Daten nach Makowiecka, Makowiecki (2015); **nach Gawlikowski (1996); *** aus aktueller Forschung. Bearb. D. Makowiecki

Taka też cecha wytwarzania surowców pochodzenia zwierzęcego była powszechna we wczesnym średniowieczu wśród Słowian zamieszkujących zarówno dorzecze Odry, Wisły, jak i obszary Połabia (por. Benecke 1994). Bardzo niski odsetek ssaków dzikich należy traktować jako wyznacznik niewielkiego znaczenia polowań. To też było znamienne dla innych osiedli Pomorza Zachodniego, m.in. takich jak: Szczecin, Kołobrzeg, Mścięcino, Cedynia (Stępień i in. 2010), a nawet ośrodków położonych na Wolinie (Makowiecki 2018; Makowiecki, Makowiecka 2019).

Trudno ocenić skalę znaczenia gospodarczego ptactwa i ryb, zważywszy na czynniki tafonomiczne zmniejszające szanse przetrwania szczątków gatunków tworzących wymienione grupy kręgowców za względu na ich zdecydowanie mniejszy rozmiar w porównaniu do ssaków domowych oraz łownych z grupy *animalia superiora*. Dodatkowym czynnikiem mającym wpływ na niski odsetek ma też technika ręcznego kolekcjonowania materiałów faunistycznych, zastosowana podczas wykopalisk w Stargardzie. W takiej sytuacji musi wystarczyć ogólne stwierdzenie o rybach i ptakach jako kolejnych źródłach pożywienia.

Odnośnie do ssaków domowych uzyskany wysoki odsetek bydła można traktować jako

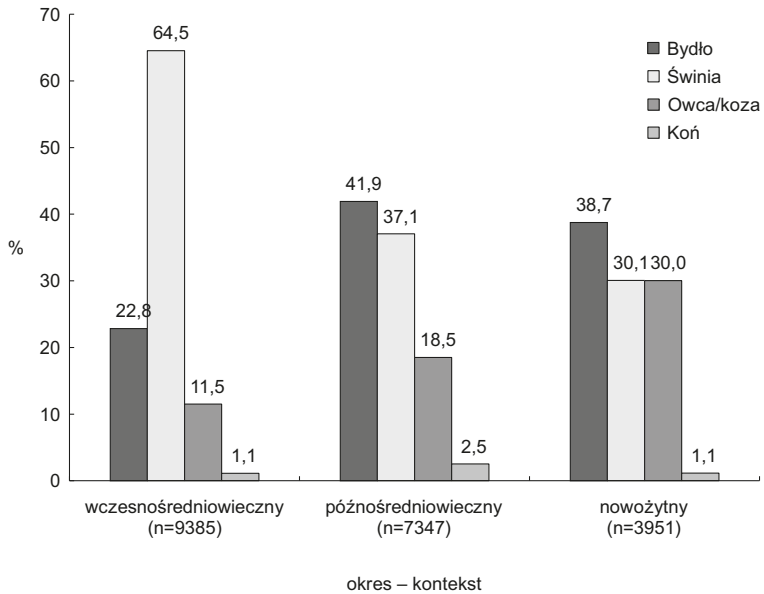

Ryc. 6. Stargard. Wykres słupkowy udziału ssaków domowych w kolejnych etapach rozwoju miasta. Dane liczbowe za Makowiecki (2012; 2017) oraz na podstawie wyników niepublikowanych. Oprac. D. Makowiecki

Abb. 6. Stargard. Balkendiagramm des Anteils der Haussäugetiere in folgenden Stadien der Stadtentwicklung. Zahlen nach Makowiecki (2012; 2017) und auf Basis unveröffentlichter Ergebnisse. Bearb. D. Makowiecki

wyznacznik rangi gospodarczej w tym spożywczej tego gatunku. Kolejnym byłaby świnia, a następne małe przeżuwacze. Trzeba jednak spostrzec, że jest to mocno odmienna konkluzja w stosunku do tej przytoczonej we wstępie niniejszego opracowania, w której wskazano na przewagę świni nad bydłem, co zilustrowano na wykresie słupkowym (ryc. 5). Być może wyjaśnieniem tej rozbieżności jest uznanie za fakt zamieszkiwania w przestrzeni podgrodzia ludności o odmiennych upodobaniach kulinarnych. Inną przyczyną takiego stanu danych empirycznych mogły być odmienne wydarzenia społeczne w strefie obiektów nr 2 i 3. Wydarzeniom tym mogło towarzyszyć spożycie mięsa o odmiennej strukturze niż ta, która była powszechna. Trzeba też dodać, że takie wyodrębnienie się niektórych stref z pewnego standardu empirycznego ustalonego dla szerszej przestrzeni odnotowano na osiedlu w Kałdusie (dawnym Chełmnie). Tam w obrębie grodu (stanowisko 3) szczątki bydła przeważały nad świnią (Makowiecki 2010). Na sąsiadującej z grodem osadzie (stanowisko 2) relacje w konsumpcji mięsa obu gatunków były odmienne. Ważniejsze znaczenie miała wieprzowina. Podobnie w przypadku wczesnośredniowiecznego Poznania zaobserwowano mniejsze znaczenie trzody chlewnej w części południowej Ostrowa Tumskiego, będącej zarazem strefą o niższej randze społecznej (Makowiecki 2016).

Wysokie spożycie wieprzowiny było charakterystyczne dla wczesnośredniowiecznego podgrodzia. Jednak wraz z powstaniem późnośredniowiecznego miasta zwiększył się udział wołowiny. Wskazują na to zmiany w odsetkach szczątków w grupie ssaków domowych (ryc. 6). We wczesnym średniowieczu udział bydła wyniósł niespełna 23% przy bardzo wysokiej wartości świni osiągającej niemal 65%. W kontekście materiałów późnośredniowiecznych to bydło stanowi około 42% podczas gdy świnia spada do około 37%. Z wartości procentowych kości małych przeżuwaczy, które w każdym z kontekstów historycznych są coraz wyższe, można wnioskować o coraz większym znaczeniu tych zwierząt.

Odnotowane tu tendencje są zbieżne z zaobserwowanymi także w Kołobrzegu. We wczesnośredniowiecznym ośrodku hodowla świni stanowiła podstawę pożywienia (por. Makowiecka, Makowiecki 2007; Stępień i in. 2010). Jednak już w lokacyjnym mieście znaczenie tego ssaka było zdecydowanie mniejsze, natomiast wzrosło znaczenie bydła (Gręzak 2007).

Uznając skład anatomiczny jako nośnik informacji o jakości mięsa można stwierdzić, że ludność podgrodzia konsumowała je z całej tuszy, a więc o zróżnicowanej jakości. W przypadku tuszy wieprzowej, głowizna należała do powszechnie cenionych, ważnych składników pożywienia.

Z odnotowanych śladów rzeźnictwa wynika, że posługiwano się dosyć ostrymi narzędziami, w tym lekkimi tasakami, gdyż podział tuszy na dwie półtusze dokonywano prowadząc narzędzie wzdłuż obu stron trzonów kręgowych, unikając cięcia poprzez środek. Negatywy po zastosowaniu tasaka odznaczały się bardzo gładką powierzchnią. Opisaną technikę stosowano powszechnie w ośrodkach wczesnośredniowiecznych, np. w Budzistowie (por. Makowiecka, Makowiecki 2007), Gnieźnie (Makowiecki 2012b), Łęczycy (Makowiecki 2014) i innych. Dopiero wraz z pojawieniem się wykwalifikowanego rzemiosła rzeźniczego w miastach lokacyjnych tuszę dzielono na pół poprzez rozcinanie trzonów kręgowych. Przykłady takiej techniki znane są ze Stargardu. Stwierdzono je w materiałach z kościoła augustianów oraz Rynku Staromiejskiego (Makowiecki, Wiejacka 2016; Makowiecki 2017). Rozłupywanie trzonów kości wzdłuż ich osi było czynnością pozwalająca na ekstrakcję szpiku. Obecność niemal całych trzonów kości wskazuje, że niektóre porcje były dosyć dużych rozmiarów, na które mogli sobie pozwolić bogatsi mieszkańcy. Wśród cenionych porcji były golonki – przednia i tylna, stąd w materiałach odnotowano niemal całe kości promieniowe z łokciową i piszczelowe. Ceniono zapewne prosięta do około 10 miesięcy, nie wykluczone, że rarytasem były nowo narodzone sztuki.

Bibliografia

Materiały niepublikowane

Majewski M., Kwiatkowski K. 2009. *Sprawozdanie wstępne z archeologicznych badań ratunkowych przeprowadzonych na terenie przeznaczonym pod inwestycję „Budowa obiektu mieszkalno-usługowego w Stargardzie", w kwartale ograniczonym ulicami: Bolesława Chrobrego, Kazimierza Wielkiego, Grodzkiej i (Władysława Łokietka) w Stargardzie, obr. 11, działki nr 61/1, 120/1, 121/1, 122/1, 122/2 i 211/*. Stargard (mps w zbiorach Wojewódzkiego Konserwatora Zabytków w Szczecinie i Działu Archeologii Muzeum Archeologiczno-Historycznego w Stargardzie).

Literatura

Benecke N. 1994. *Archäozoologische Studien zur Entwicklung der Haustierhaltung in Mitteleuropa und Südskandinavien von den Anfängen bis zum ausgehenden Mittelalter*. Berlin.

Calkin V. I. 1960. Izmenčivost metapodij i jejo značenje dlja izučenja krupnogo rogotogo skota drevnosti. *Bjulleten Moskovskogo Obščestva Ispytatelej Prirody, Otdel Biologii* 65 (1), 109–126.

Calkin, V. I. 1970. *Drevnejše domašnje* životnye *vostočnoj Evropy*. Moskva.

Driesch von den A. 1976. *A guide to the measurement of animal bones from archaeological sites*. Cambridge.

Gawlikowski J. 1996. Zwierzęce szczątki kostne z wczesnośredniowiecznego podgrodzia w Stargardzie Szczecińskim. *Materiały Zachodniopomorskie* 42, 139–186.

Gręzak A. 2007. *Zwierzęta w gospodarce średniowiecznego Kołobrzegu. 2. połowa XIII-XV w.* Warszawa.

Lasota-Moskalewska A. 1997. *Podstawy archeozoologii. Szczątki ssaków*. Warszawa.

Makowiecka M., Makowiecki D. 2007. Gospodarka zwierzętami we wczesnomiejskim centrum osadniczym w Kołobrzegu Budzistowie w świetle nowych badań archeozoologicznych.

W: L. Leciejewicz, M. Rębkowski (red.) *Kołobrzeg. Wczesne miasto nad Bałtykiem*. Warszawa, 240–286.
Makowiecka M., Makowiecki D. 2015. Wyniki badań archeozoologicznych pozostałości zwierzęcych z badań wykopaliskowych w Stargardzie-Osetnie, stanowisko 1. *Stargardia* 9, 21–56.
Makowiecki D. 1998. Możliwości poznawcze i niektóre problemy metodyczne polskiej archeozoologii. W: W. Śmiegielski (red.), *Nauki przyrodnicze i fotografia lotnicza w archeologii*. Bibliotheca Fontes Archaeologici Posnanienses 9. Poznań, 77–95.
Makowiecki D. 2001. *Hodowla oraz użytkowanie zwierząt na Ostrowie Lednickim w średniowieczu. Studium archeozoologiczne*. Biblioteka Studiów Lednickich 6. Poznań.
Makowiecki D. 2010. *Wczesnośredniowieczna gospodarka zwierzętami i socjotopografia in Culmine na Pomorzu Nadwiślańskim, Studium archeozoologiczne*. Mons Sancti Laurentii 6. Toruń.
Makowiecki D. 2012a. Badania archeozoologiczne. W: K. Kwiatkowski (red.), *Archeologia Stargardu 1. Badania zachodniej części kwartału V*, 259–280.
Makowiecki D. 2012b. Wyniki badań archeozoologicznych szczątków kostnych z wykopalisk w Gnieźnie, stanowisko 22. W: M. Kara (red.), *Wyniki analiz specjalistycznych materiałów wczesnośredniowiecznych z gnieźnieńskiego zespołu osadniczego*. Gniezno, 153–252.
Makowiecki D. 2014. Studia archeozoologiczne nad znaczeniem wczesnośredniowiecznej i średniowiecznej fauny łęczyckiego grodu. W: R. Grygiel, T. Jurek (red.), *Początki Łęczycy 1: Archeologia środowiskowa średniowiecznej Łęczycy. Przyroda-Gospodarka-Społeczeństwo*. Łódź, 261–437.
Makowiecki D. 2016. *Zwierzęta średniowiecznego i nowożytnego Poznania oraz okolic. Podstawy archeozoologiczne*. Ekologia Historyczna Poznania 3. Poznań.
Makowiecki D. 2017. Wyniki analizy archeozoologicznej. W: M. Majewski, K. Stań (red.), *Archeologia Stargardu 3. Badania na Rynku Staromiejskim*. Stargard, 245–308.
Makowiecki D. 2018. Animal bone remains: the importance of fauna for the inhabitants of medieval Lubin. W: M. Rębkowski (red.), *Lubin. Early medieval stronghold at the mouth of the Oder River*. Szczecin, 341–367.
Makowiecki D., Makowiecka M. 2019. Animal Bone Remains and the Zoological Analysis. W: M. Rębkowski (red.), *Wolin – the Old Town 2. Studies on Finds*. Szczecin, 359–386.
Makowiecki D., Wiejacka M. 2016. Wyniki analizy archeozoologicznej szczątków. W: M. Majewski (red.), *Archeologia Stargardu 2.2. Badania na obszarze dawnego kościoła augustiańskiego*. Stargard, 395–470.
Stępień J., Gawlikowski J., Baranowski P. 2010. Źródła pozyskiwania mięsa w świetle badania zwierzęcych szczątków kostnych ze średniowiecznych siedzib ludzkich na Pomorzu Zachodnim. *Acta Scientiarum Polonorum Zootechnica* 9/3, 79–92.
Teichert M. 1969. Osteometrische Untersuchungen zur Berechnung der Widerristhöhe bei vor- und frühgeschichtlichen Schweinen. *Kühn-Archiv* 83, 237–292.

prof. dr hab. inż. Daniel Makowiecki
Instytut Archeologii
Uniwersytet Mikołaja Kopernika
Szosa Bydgoska 44/48
87-110 Toruń
daniel.makowiecki@umk.pl

Zusammenfassung

Ergebnisse von Untersuchungen an Tierknochenüberresten

Dieses Kapitel präsentiert die Ergebnisse von Untersuchungen an den Überresten von Tieren, die innerhalb des ehemaligen Suburbiums – im Quartier IX gefunden wurden. Sie stammen aus drei Befunden und wurden in das 11. bis 12. Jh. datiert.

Es wurden 789 Überreste untersucht, von denen 502 konkreten zoologischen Taxa zugewiesen werden konnten (Tab. 1). Sie gehören hauptsächlich zu Haussäugetieren, im geringer Anzahl zu Wildtieren, Vögeln und Fischen (Abb. 1). In der ersten Gruppe der Wirbeltiere waren Rinder am meisten vertreten. Es gab deutlich weniger Schweine und noch weniger Schafe/Ziegen und Pferde. Das einzige wilde Säugetier war das Wildschwein. Von Vögeln wurde nur eine Henne erkannt, von Fischen – Hecht und Schleie.

Die Überreste von Rind (Tab. 2), Schwein (Tab. 3), Schaf/Ziege (Tab. 4) und Pferd (Tab. 5) gehören zu verschiedenen Skelettkomponenten. Dabei handelt es sich um Überbleibsel, die alle wesentlichen Schlachtkörperpartien vertreten (Abb. 3). Bei Rindern überwiegen vor allem Knochen, die zu gut bemuskelten Teilen des Schlachtkörpers wie Bug, Schinken (Bein) und Rippen, gehören. Es gibt kaum Kopfüberreste (Abb. 3). Dieser Befund enthielt 10 % mehr Rippen als Befund Nr. 2. Der Anteil der Kopfknochen ist im Verhältnis zu Schaf/Ziege und Schwein kontrastierend klein.

Die vorgenommene Analyse führt zu mehreren Schlussfolgerungen allgemeiner und detaillierter Natur.

Die Produktion von Rohstoffen durch die Siedlungsbewohner basierte auf mehreren Bereichen der Tierwirtschaft – auf Zucht, Jagd und Fischerei. Wahrscheinlich war hierbei die Zucht von Nutzsäugetieren am wichtigsten. Dies zeigt sich auch in vielen anderen Sammlungen, die an der Stelle ehemaliger frühmittelalterlicher Siedlungen in Westpommern (Stępień et al. 2010, weitere Literatur dort) sowie des Stargarder Suburbiums und der Siedlung in Osetno entdeckt wurden (Abb. 4). Der sehr niedrige Prozentsatz an Säugetieren ist auf die geringe Bedeutung der Jagd zurückzuführen. Dies ist auch für andere Siedlungen in Westpommern von Bedeutung, wie z.B.: Szczecin (Stettin), Kołobrzeg (Kolberg), Mścięcino (Messenthin), Cedynia (Zehden), als auch Zentren auf Wolin (Wollin).

Ein hoher Anteil an Rindern kann als Determinante für die hohe wirtschaftliche Bedeutung dieser Tierart angesehen werden. Das nächste wichtige Zuchttier war das Schwein, und weiter – kleine Wiederkäuer. Der hohe Schweinefleischkonsum war charakteristisch für das frühmittelalterliche Suburbium. Mit der Gründung der spätmittelalterlichen Stadt stieg jedoch der Anteil von Rindfleisch.

Die anatomische Zusammensetzung als Träger von Informationen zur Fleischqualität weist darauf hin, dass die Bewohner des Suburbiums Fleisch vom ganzen Schlachtkörper, d.h. von unterschiedlicher Qualität, verzehrten. Dazu gehörte auch Kopffleisch, wobei jedoch Schweine wahrscheinlich am meisten geschätzt wurden.

Bei Schlachterarbeiten wurden ziemlich scharfe Werkzeuge eingesetzt (darunter Hackmesser), da die Teilung des Schlachtkörpers in zwei Hälften durch das Führen des Messers an beiden Seiten der Wirbelkörper entlang erfolgte, ohne durch die Mitte zu schneiden. Die negativen Spuren nach dem Einsatz des Hackmessers waren durch eine sehr glatte Oberfläche gekennzeichnet. Das Vorhandensein fast ganzer Knochenschäfte deutet darauf hin, dass einige Portionen recht groß waren, was auf den Reichtum einiger Verzehrer hindeuten könnte. Sehr geschätzt wurde das vordere und hintere Eisbein – im Material wurden fast ganze Radiusknochen mit Ulna und Schienbeine erfasst. Wahrscheinlich waren auch Ferkel bis etwa 10 Monate beliebt, und es ist nicht ausgeschlossen, dass neugeborene Tiere als eine Delikatesse galten.

III. 3. Cmentarzysko

Andrzej Janowski

Badania prowadzone na obszarze historycznego kwartału IX doprowadziły do niespodziewanego odkrycia w jego części zachodniej niewielkiego cmentarzyska szkieletowego z okresu wczesnego średniowiecza (por. Kwiatkowski 2012, 2–3; Majewski 2016, 247–248). Można przypuszczać, że w strefie objętej eksploracją znalazł się wschodni skraj większej nekropoli, która kontynuowała się w kierunku zachodnim na obszarze sąsiadującego dawnego kwartału VIII. Potwierdzeniem tej hipotezy może być znalezienie tu kości ludzkich w trakcie nadzoru archeologicznego prowadzonego w 2004 r. przy ul. Płatnerzy (Majewski 2013, 349). Wydaje się, że południowy i wschodni skraj cmentarzyska nie przekraczał dzisiejszych ulic Kazimierza Wielkiego i Targ Drzewny (Majewski 2016, 248).

Na badanym terenie zarejestrowano łącznie 32 groby zawierające pochówki szkieletowe w różnym stopniu zachowania oraz szereg luźnych kości ze zniszczonych grobów. Groby były rozmieszczone bardzo nierównomiernie na przestrzeni około 600 m^2. Wyraźniejsza koncentracja widoczna była jedynie w części południowej (groby 10–22) i zachodniej (groby 26–28, 30–31), na pozostałym obszarze pomiędzy grobami występowały kilkumetrowe przerwy. Trudno oszacować na ile jest to efektem celowej delimitacji przestrzeni grzebalnej we wczesnym średniowieczu, a na ile wynika to ze zniszczenia przestrzeni reliktowej cmentarzyska w kolejnych okresach. Bez wątpienia parcelacja i zabudowa tej części nowo powstałego miasta po lokacji, która nastąpiła przypuszczalnie w 1243 roku (Rymar 2013, 104–109) mogła zniszczyć znaczną część grobów. Dowodem na to są szczątki ludzkie wrzucane przez późnośredniowiecznych mieszkańców kwartału do latryn i dołów śmietniskowych.

Poza jednym wyjątkiem (grób 26 przeciął grób 30) groby wzajemnie się nie naruszały, choć

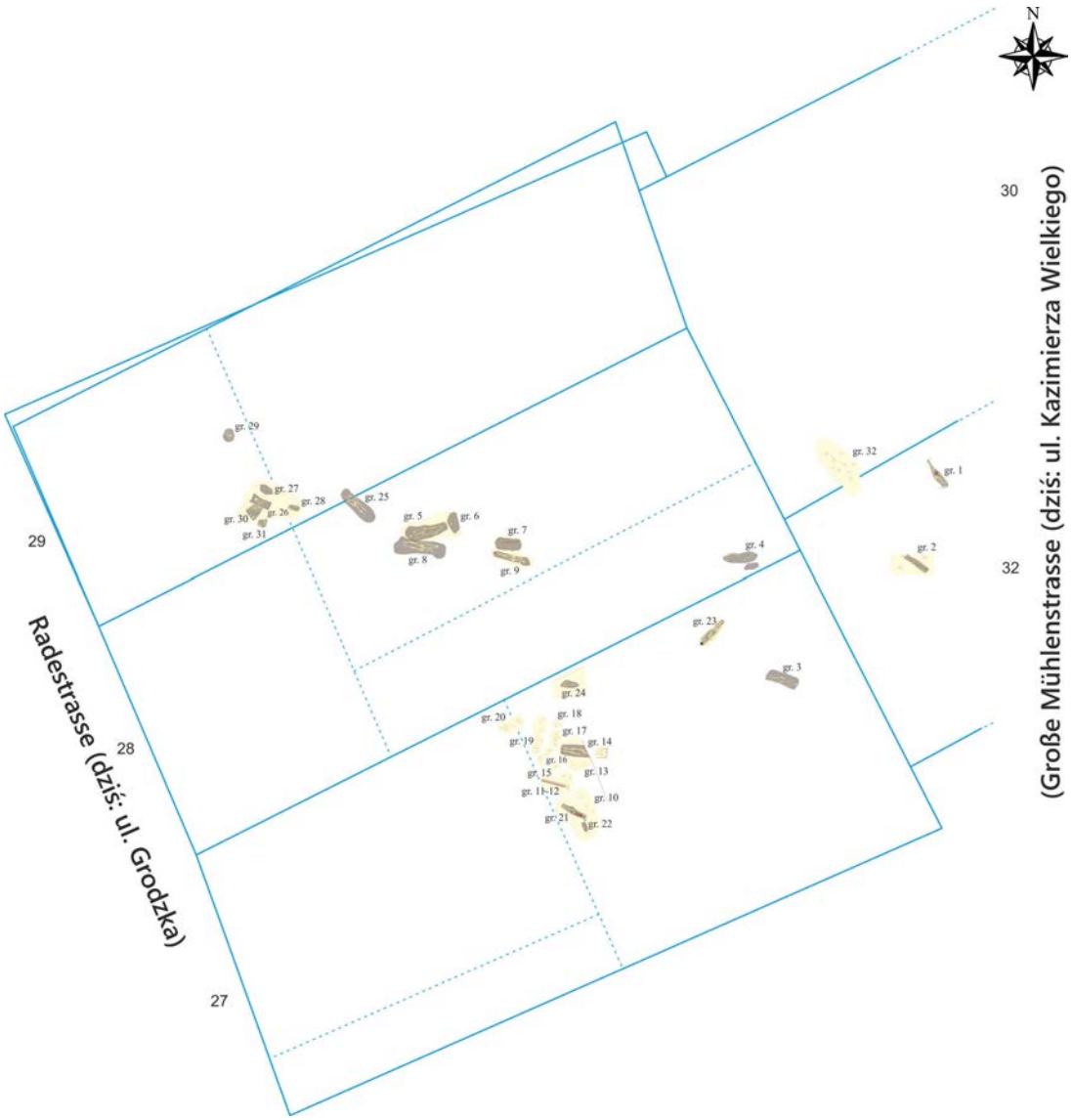

Ryc. 1. Stargard, Stare Miasto, kwartał IX. Plan cmentarzyska. Rys. T. Balcerzak, kreślił C. Rysz, oprac. M. Szeremeta
Abb. 1 Stargard, Altstadt, Quartier IX. Gräberfeldplan. Abb. T. Balcerzak, Zeichnung C. Rysz, Bearb. M. Szeremeta

ISBN 978-83-61456-34-6 Archeologia Stargardu T. V,1 – 2019
ISBN 978-83-7986-312-9

Ryc. 2. Stargard, Stare Miasto, kwartał IX. Zabytki znalezione w grobach i na terenie cmentarzyska: 1 – moneta z grobu 27 (nr inw. 136/R/Kw/S), 2 – fragmenty łańcucha z grobu 19 (nr inw. 39/R/Kw/S), 3 – zapięcie pasa z grobu 24 (nr inw. 134/R/Kw/S), 4 – nóż żelazny z grobu 20 (nr inw. 88/R/Kw/S), 5 – kabłączek skroniowy z obiektu 6 (nr inw. 153/R/Kw/S). Fot. i oprac. A. Janowski

Abb. 2. Stargard, Altstadt, Quartier IX. In Gräbern und auf dem Gelände des Gräberfeldes gefundene Gegenstände: 1 – Münze aus Grab 27 (Inv.-Nr. 136/R/Kw/S), 2 – Fragmente einer Kette aus Grab 19 (Inv.-Nr. 39/R/Kw/S), 3 – Gürtelhaken aus Grab 24 (Inv.-Nr. 134/R/Kw/S), 4 – Eisenmesser aus Grab 20 (Inv.-Nr. 88/R/Kw/S), 5 – Schläfenring aus Befund 6 (Inv.-Nr. 153/R/ w/S). Fot. und Bearb. A. Janowski

niekiedy stykały się ze sobą, co mogłoby świadczyć o krótkim użytkowaniu cmentarza na przestrzeni jednego lub dwóch pokoleń kiedy to żywa była świadomość o starszych grobach lub nawet były one jeszcze czytelne na powierzchni. Uwagę zwraca brak reguł i dowolność w kwestii orientacji grobów i szkieletów nawet w obrębie obu wspomnianych koncentracji. W dziewięciu grobach zarejestrowano układ z głową na południe, w kolejnych ośmiu z głową na północ, w siedmiu orientację wschodnią a w trzech zachodnią. W pięciu przypadkach nikły stan zachowania uniemożliwił określenie orientacji. Zmarli chowani byli na ogół na wznak, z rękoma wyprostowanymi wzdłuż tułowia. W kilku przypadkach czytelne były jamy grobowe i nikłe ślady trumien (groby 3, 7, 9, 11, 14, 21, 24, 26).

Rozkład płci zmarłych był stosunkowo nierównomierny. Na podstawie wyników badań antropologicznych oraz analiz molekularnych[1] ustalono, że 9 grobów pojedynczych to pochówki mężczyzn w różnym wieku (groby 2, 3, 10, 12, 13, 14, 28, 30, 32), a w czterech takich grobach pochowano kobiety (groby 9, 20, 23, 25).

W siedmiu grobach (groby 5, 6, 17, 22, 26, 27, 31) znajdowały się szczątki dzieci (*infans I–II*) i osób młodocianych (*juvenis* – grób 17), w przypadku których określenie płci na podstawie cech morfologicznych kośćca jest niemożliwe. Na podstawie wyników badań molekularnych udało się stwierdzić, że były wśród nich trzy dziewczynki (groby 5, 17, 22) i jeden chłopiec (grób 6).

W pięciu grobach odkryto szczątki więcej niż jednej osoby. W trzech przypadkach były to kości dorosłego i dziecka. Nie były to jednak typowe groby podwójne, ale groby dorosłych i na ogół pojedyncze kości dzieci (znalazły się tam wtórnie?). W grobie 1 była to kobieta w wieku *adultus*

[1] W przypadku szczątków zmarłych z kilku grobów wynik oznaczenia płci na podstawie cech morfologicznych szkieletu i na podstawie wyników analiz molekularnych (identyfikacja wersji genu *AML*) był różny. Ustalenia molekularne przyjęto jako wiążące. Por. w tym tomie: H.W. Witas, T. Wasiak, K. Jędrychowska-Dańska, T. Strózik, A. Zamerska, P. J. Witas, *Analiza molekularna materiału kostnego z cmentarzyska*.

i kilkuletnie dziecko (*infans II*), w grobie 7 kobieta *maturus* i dziecko w wieku *infans,* a w grobie 8 stary mężczyzna (*senilis*) i dziecko (*infans*). W grobie 21 sytuacja był odwrotna to w grobie dziecka w wieku *infans II* znalazło się kilka kości osoby dorosłej nieokreślonej bliżej płci. Z kolei grób 29 zawierał szczątki co najmniej trzech osób dorosłych w tym dwójki mężczyzn i kobiety.

Stan zachowania kości nie pozwolił dokonać ustalenia płci siedmiu osób dorosłych (*adultus* – 2, dorosły – 4, *maturus* – 1) pochowanych w grobach 4, 11, 15, 16, 18, 19, 24. Być może szczątków kobiet upatrywać należy w grobach 19 i 24. W pierwszym znaleziono łańcuch a w drugim klamrę do pasa, będące raczej ozdobami stroju płci żeńskiej, choć sytuacja nie jest jednoznaczna[2].

W wypełniskach jam grobowych i przy szkieletach odkryto nieliczne przedmioty, które stanowią wyposażenie pośmiertne zmarłego lub dar dla niego[3]. W bliżej nieokreślonym miejscu w grobie 27, w którym pochowano noworodka, znaleziono niewielką monetę (średnica ok. 15,3–17 mm) ze stopu miedzi lub słabej jakości srebra (ryc. 2:1). Moneta jest bardzo zniszczona, już w średniowieczu przebito w niej otwór, a obecnie dodatkowo naklejona jest na żywicę i czytelna jest tylko jedna strona, dlatego też bliższa identyfikacja jest bardzo utrudniona. Z bardzo dużym prawdopodobieństwem numizmat ten jest jednak naśladownictwem anonimowych denarów nadłabskich, tzw. Agryppinek, które same były naśladownictwem monet kolońskich (por. Schulenburg 1947)[4]. Daje to podstawy do pewnych ustaleń chronologicznych, naśladownictwa te pojawiły się bowiem w 2. połowie XI w. i bito je jeszcze w 1. połowie XII w. (por. Wiechman 2013).

Interesującym elementem biżuterii jest odkryty w grobie 19 łańcuch (ryc. 2:2) wykonany z prawie czystej miedzi (Cu – 95,93%) z niewielką ilością cynku (Zn – 2,62%)[5]. Ozdoba zachowała się w kilku fragmentach o długości łącznej około 140 mm. Łańcuch wykonano z ósemkowatych ogniw zgiętych w uszka i łączonych co drugie (por. Kóčka-Krenz 1983, 78–79). Ogniwa sporządzono z drutu o średnicy 0,5–0,6 mm. Sposób łączenia ogniw spowodował, że cały łańcuch ma w przekroju kształt zbliżony do czworobocznego i wymiary 4,5×5,3 mm. Ozdoba ma zerwane oba końce, ale na podstawie zachowanych prawie kompletnych okazów z cmentarzysk w Złotej koło Sandomierza (por. Gąssowski 1953, 82–83, Tabl. XXXI) i Lutomierska (por. Abramowicz 1959, 77–78, tabl. LXII, CI.1) można wnosić, że zamykały ją pętelki z łańcucha. Oba łańcuchy znaleziono w grobach kobiet i wykonano ze srebra. Pierwszy mierzył około 43 cm, a drugi około 26 cm długości. Chronologia obu nekropolii bywa dyskutowana, ale najpewniej zamyka się między końcem X a 1. połową XII w. Zbliżona jest chronologia (2. połowa X – 2. połowa XI w.) okazów znajdowanych w skarbach (por. Kóčka-Krenz 1993, 110).

Równie interesujący jest zachowany fragmentarycznie przedmiot odkryty w grobie 24 (ryc. 2:3). Zabytek ma kształt wrzecionowaty i wykonany został z blaszki ze stopu miedzi (Cu – 74,98%) z cynkiem (Zn – 19,40%), cyną (Sn – 3,45%) i ołowiem (Pb – 1,79%)[6], o grubości około 0,5–0,7 mm. Na jednym końcu (obecnie ułamany) blaszka zawinięta jest esowato, a na drugim zagięta w haczyk, przy czym oba końce wygięte są w przeciwnych płaszczyznach. Obecnie długość zabytku wynosi 55,7 mm, a szerokość maks. 9,3 mm. Górna powierzchnia zdobiona jest delikatnym ornamentem radełkowym w motyw geometryczny (trójkąty). Kwestia funkcji zabytków o takiej formie była w literaturze przedmiotem polemiki. Większość badaczy poczynając od schyłku XIX w. uznała, że są to zapięcia/haczyki do pasa (niem. *Gürtelhaken*) (por. Knorr 1970; Kóčka-Krenz 1993, 126; Wadyl 2018a; 2018b, tu starsza literatura). Trzy dekady temu odrębne stanowisko zaprezentował Ingo Heindel (1990, 29–32), który stwierdził, że są to błystki do łowienia ryb. Takiej interpretacji przeczą jednak znaleziska nekropoliczne z grobów szkieletowych, które dość jednoznacznie pozwalają uznać je za element odzieży związany z pasem i służący do jego spinania lub do przywieszania różnych przedmiotów lub sakiewek. Taki również jest kontekst odkrycia zabytku ze Stargardu. Szkielet w grobie 24 zachowany był szczątkowo, ale w sposób wystarczająco pełny by ustalić, że przedmiot ten leżał z fragmentem skóry w okolicy lewego biodra. Według Hanny Kóčki-Krenz (1993, 126–127) znaleziska podobnych przedmiotów koncentrują się na terenie Meklemburgii a jedynie pojedynczo występują na ziemiach polskich. Ostatnie studia Sławomira Wadyla (2018a; 2018b) zwróciły uwagę na występowanie tego typu zabytków również na ziemiach zamieszkiwanych przez ludy bałtyjskie. Najbliższe znalezisko analogiczne do omawianego pochodzi ze Szczecina-Rynku Warzywnego z warstwy datowanej na połowę XII w. (por. Kowalska 2011, 338, ryc. 228:9). Okaz ze Stargardu jest pierwszym odkrytym na cmentarzysku między Wisłą i Odrą. Kilka egzemplarzy tego typu elementów stroju znaleziono natomiast na nekropolach w zachodniej części Meklemburgii-Pomorza Przedniego.

[2] Na szkielecie z grobu 19 brak cech dystynktywnych, ale ogólna gracylna budowa kości oraz drobne zęby mogą wskazywać na kobietę.

[3] Kilka przedmiotów było bardzo źle zachowanych i rozpadło się już podczas eksploracji. W związku z powyższym nie będą one analizowane. W grobie 8 znaleziono skórzaną pochewkę łączoną nitami (nr inw. 73/R/Kw/S), a w grobie 14 nóż żelazny (nr inw. 101/R/Kw/S). Inaczej jest z dzwoneczkiem ze stopu miedzi (nr inw. 42/GM/Kw/S) znalezionym w zasypisku grobu 2. Okaz ten jest na korpusie pod uszkiem opatrzony napisem: + VICTORIA + Nº 24A. Kształt oraz treść napisów pozwalają uznać go za janczar z XIX lub początku XX w., a tym samym za młodszy wtręt, który znalazł się w obrębie jamy grobowej w momencie jej naruszenia podczas zabudowy kwartału. Podobnie jak pojedyncze fragmenty ceramiki stalowoszarej znalezione w grobach 13, 15 i 16.

[4] Za pomoc w identyfikacji monety serdecznie dziękuję dr. hab. Mateuszowi Boguckiemu, prof. IAE PAN z Instytutu Archeologii i Etnologii PAN w Warszawie.

[5] Analiza nr CL20251. Pozostałe składniki w ilości około 1,5%: Pb – 0,41%, Sn – 0,38%, Sb – 0,25%, Al – 0,10%, S – 0,10%, Si – 0,07%, Ag – 0,05%, Fe – 0,04%, As – 0,04%, Bi – 0,02%, Mn – 0,01%.

[6] Analiza nr CL20252. Zawartość pozostałych składników nie przekraczała 0,5 %: S – 0,15%, Fe – 0,11%, Ni – 0,04%, As – 0,03%, Bi – 0,02%, Co – 0,02%, Mn – 0,01%.

W przypadku trzech grobów (Damm koło Rostoku, groby 14 i 16; Gamehl koło Wismaru, grób 1) posiadamy dane odnośnie płci pochowanych – były to kobiety (Knorr 1970, 94, 102). Może stanowić to przesłankę do takiej identyfikacji płci zmarłego z grobu 24. Z drugiej jednak strony mamy znaleziska z ziem pruskich[7], gdzie zabytki takie zidentyfikowano również w grobach koni (np. Povarovka, groby 13 i 35 – Pronin i in. 2006, 48, 65–66, ris. 145:3; 215, 221:2) oraz mężczyzn(?) (grób TPP9 – Pronin i in. 2006, 82–83, ryc. 202:6). Kwestia wymaga dalszych studiów i analiz.

Ostatnim zabytkiem, który odkryto w grobach jest nóż żelazny złożony na brzuchu zmarłego z grobu 20 (ryc. 2:4). Przedmiot jest mocno skorodowany, zachowany w pięciu fragmentach, z ułamanym sztychem i trzpieniem rękojeści. Obecnie jego długość całkowita wynosi 148 mm, z których 85 mm przypada na głownię, a 63 mm na trzpień. Głownia o trójkątnym przekroju (14,7×6 mm) ma prosty tylec i łukowato wygięte ostrze. Obustronnie wyodrębniony trzpień również ma przekrój trójkątny (7,8×4,8 mm). Nóż reprezentuje narzędzie o uniwersalnym kształcie i zastosowaniu, co nie daje podstaw do rozważań chronologicznych.

W obrębie kwartału IX przejawy działalności osadniczej z wczesnego średniowiecza odkryto jedynie w części północno-wschodniej, poza zasięgiem cmentarza, w związku z tym nie będzie chyba błędem założenie, że zabytki o takiej chronologii odkryte w części zachodniej w obrębie młodszych obiektów i nawarstwień nakładających się na nekropolę mogą pochodzić ze zniszczonych grobów lub są zgubami osób odwiedzających cmentarz. Elementem takim mógł być kabłączek skroniowy odkryty w obiekcie 6 na historycznej parceli przy Radestrasse 30 (ryc. 2:5). Wykonano go z pręta z prawie czystej miedzi (Cu – 98,67%)[8], na który nałożono warstwę stopu z dużą zawartością cynku (Zn – 28,14%)[9], która nadała ozdobie atrakcyjny srebrny kolor. Następnie pręt o owalnym przekroju (4,4×5,1 mm) wygięto w kabłączek o średnicy zewnętrznej 23 mm i wewnętrznej 13,6 mm. Jeden jego koniec jest prosty, a drugi rozklepany i wywinięty w esowate uszko, którego powierzchnię zewnętrzną ozdobiono dwoma rowkami. Ozdoba waży 4,9 g. Biorąc pod uwagę jej kształt należy ją zaklasyfikować do tzw. kabłączków esowatych – typ III wg Krystyny Musianowicz (1948–49, 135–140). Według bardziej szczegółowych podziałów ozdoba ta mieści się w odmianie A (kabłączki o średnicy wewnętrznej do 20 mm) wspomnianego wyżej typu (por. Kóčka-Krenz 1971, 102). Kabłączki były typową ozdobą głowy Słowianek. Mocowano je po jednym lub kilka na tekstylnej lub skórzanej opasce noszonej na głowie. Analogiczne do omawianego okazy pochodzą z licznych stanowisk głównie z obszaru Wielkopolski, Pomorza i Mazowsza. Kabłączki typu III odmiany A datowane są w szerokich ramach chronologicznych, pojawiły się bowiem już w X wieku i użytkowano je jeszcze w 2. połowie XIII wieku (por. Kóčka-Krenz 1971, 110; 1993, 46–48, mapa 4).

W oparciu o przedmioty znalezione w grobach cmentarzysko datować można ramowo na 2. połowę X–XII w. Pewne podstawy do zawężenia chronologii do 4. ćwierci XI–2. połowy XII w. daje moneta z grobu 27, nie wiemy jednak jak długo pozostawała ona w obiegu. Tymczasem argumentem na rzecz szerszej chronologii są wyniki analiz radiowęglowych kości sześciu szkieletów przeprowadzone w Laboratorium Datowań Bezwzględnych w Krakowie (ryc. 3–5). Badaniom poddano kości z grobów z różnych partii cmentarzyska – groby 1, 5, 14, 23, 25 i 28. W przypadku grobów 1, 5 i 14 (ryc. 3:1–2; 4:1) z największym prawdopodobieństwem moment dokonania pochówku przypadł najpóźniej w 1. połowie XI w. W przypadku grobu 23 zmarłego pochowano w okresie między 2. połową X a połową XII w. (por. ryc. 4:2). Potencjalnie jeszcze młodsze są dwa kolejne groby. Wyniki analiz w przypadku grobu 25 wskazują na 2. połowę XI-połowę XII w. (ryc. 5:1), a w przypadku grobu 28 dopuścić należałoby nawet 1. połowę XIII stulecia (ryc. 5:2). Oba potencjalnie najmłodsze groby położone są w części zachodniej odkrytej partii cmentarzyska, co mogłoby świadczyć, iż cmentarz rozrastał się ze wschodu na zachód.

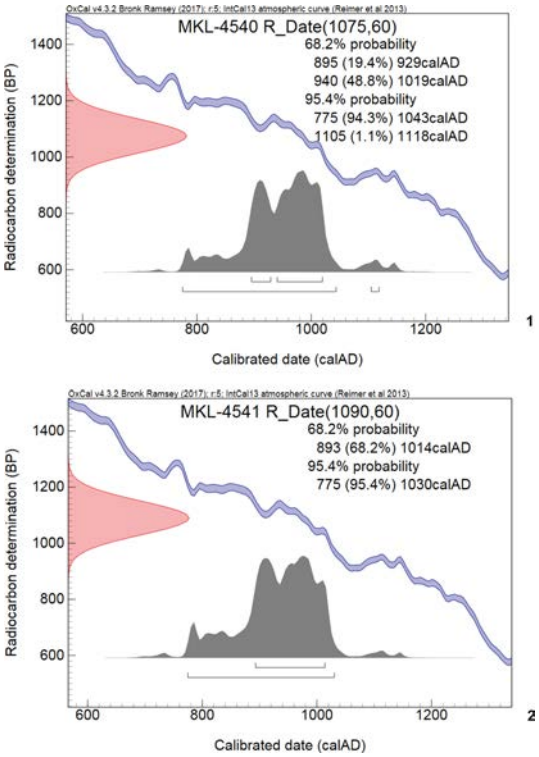

Ryc. 3. Stargard, Stare Miasto, kwartał IX. Wyniki kalibracji prób radiowęglowych: 1 – z grobu 1; 2 – z grobu 5. Oprac. M. Krąpiec, A. Janowski

Abb. 3. Stargard, Altstadt, Quartier IX. Kalibrierungsergebnisse von Radiokohlenstoffdatierungen: 1 – aus Grab 1; 2 – aus Grab 5. Bearb. M. Krąpiec, A. Janowski

[7] Niestety większość zabytków z nekropolii to znaleziska luźne, a nawet w przypadku znalezisk grobowych często brak podstawowych danych o płci i wieku zmarłego czy lokalizacji zabytku w grobie.

[8] Analiza nr CL20253 rdzeń. Z domieszkami: Sb – 0,29%, Zn – 0,24%, Pb – 0,24%, P – 0,13%, Ag – 0,09%, As – 0,07%, Ni – 0,07%, Fe – 0,06%, Co – 0,04%, Sn – 0,04%, Al – 0,04%, Bi – 0,02%, Mn – 0,01%.

[9] Analiza nr CL20253 powłoka. Pozostałe składniki stopu: Cu – 69,6%, Pb – 0,92%, Sn – 0,50%, Fe – 0,33%, P – 0,21%, Ni – 0,10%, Sb – 0,06%, Al – 0,04%, Ag – 0,03%, Mn – 0,02%, Co – 0,02%, Bi – 0,01%.

Chaotyczny układ pochówków (brak rzędowości) oraz brak reguł dotyczących orientacji ciał zmarłych w grobach, nieliczne przedmioty w wyposażeniu zmarłych to elementy charakterystyczne dla cmentarzysk przygrodowych w okresie bezpośrednio poprzedzającym chrystianizację i tuż po niej, czyli w przypadku Pomorza Zachodniego w 2. połowie XI i 1. połowie XII stulecia (por. Rębkowski 2007, 118–127). Pod względem zaobserwowanych reguł obrządku pogrzebowego cmentarzysko stargardzkie wpisuje się tym samym na listę kilkunastu rozpoznanych nekropolii zachodniopomorskich, których okres funkcjonowania przypadł na moment przełomu eschatologicznego. Należą do nich m.in. cmentarzyska w Uznamiu-Am Hain (por. Biermann

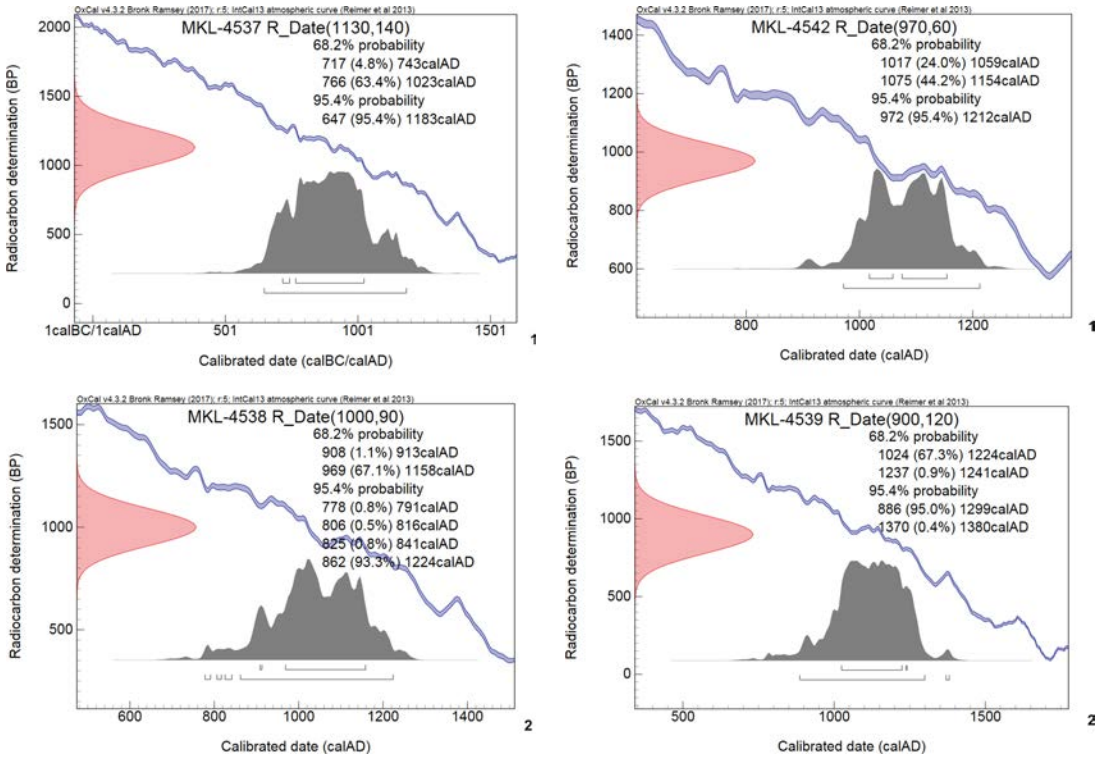

Ryc. 4. Stargard, Stare Miasto, kwartał IX. Wyniki kalibracji prób radiowęglowych:1 – z grobu 14; 2 – z grobu 23. Oprac. M. Krąpiec, A. Janowski

Abb. 4. Stargard, Altstadt, Quartier IX. Kalibrierungsergebnisse von Radiokohlenstoffdatierungen: 1 – aus Grab 14; 2 – aus Grab 23. Bearb. M. Krąpiec, A. Janowski

Ryc. 5. Stargard, Stare Miasto, kwartał IX. Wyniki kalibracji prób radiowęglowych: 1 – z grobu 25; 2 – z grobu 28. Oprac. M. Krąpiec, A. Janowski

Abb. 5. Stargard, Altstadt, Quartier IX. Kalibrierungsergebnisse von Radiokohlenstoffdatierungen: 1 – aus Grab 25; 2 – aus Grab 28. Bearb. M. Krąpiec, A. Janowski

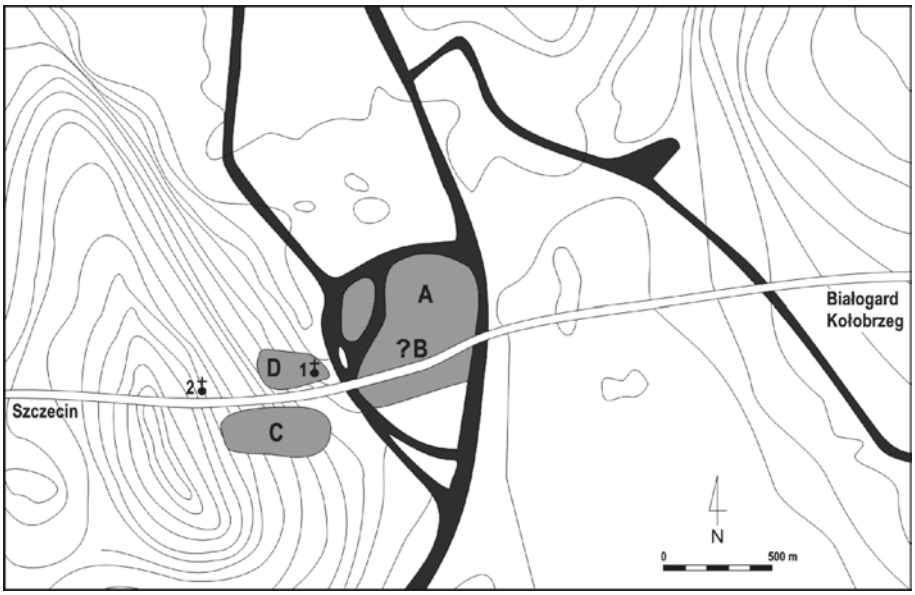

Ryc. 6. Stargard, Stare Miasto, kwartał IX. Lokalizacja cmentarzyska w topografii wczesnośredniowiecznego Stargardu: A – gród, B – podgrodzie, C – cmentarzysko, D – osada targowa; 1 – kaplica targowa, 2 – kaplica joannitów (od XIII wieku?). Rys. C. Rysz, wg Majewski (2016, ryc. 1)

Abb. 6. Stargard, Altstadt, Quartier IX. Lage des Gräberfeldes in der Topografie von Stargard im Frühmittelalter: A – Burgwall, B – Suburbium, C – Gräberfeld, D – Marktsiedlung; 1 – Marktkapelle, 2 – Johanniterkapelle (seit dem 13. Jh.?). Abb. C. Rysz, nach Majewski (2016, Abb. 1)

2009), Drense (Schmidt 1989), Stolpe (Biermann i in. 2016, 51–60), Cedyni, stan. 2a (por. Porzeziński 2006) czy Wolinie, stan. 8 (Młynówka – Wojtasik 1967; 1970). Stargardzkie cmentarzysko zlokalizowane było około 200 m na zachód od grodu położonego na „wyspie" otoczonej ramionami koryta Iny (ryc. 6). Nekropola założona została naprzeciwko osady targowej przy trakcie prowadzącym ze Szczecina do Kołobrzegu i Białogardu. Od grodu cmentarzysko oddzielała rzeka. Taka lokalizacja była częsta w przypadku pomorskich cmentarzysk i wynikała z chęci nie tylko symbolicznego oddzielenia świata żywych od świata umarłych (por. m.in. Bylina 1993, 80–82; 1995, 12–13; Kotowicz 2007; Kajkowski 2015, 23). Gród stargardzki został co prawda pominięty w trakcie misji chrystianizacyjnej Ottona z Bambergu w 1124 r. – misjonarz udał się z Pyrzyc prosto do Kamienia – jednak już w latach 40. XII stulecia był ośrodkiem niepoślednim i przypuszczalnie siedzibą kasztelana (por. Rymar 2013, 97–98). Po lokacji miasta cmentarz znalazł się w obrębie jego umocnień, systematycznie tracił na znaczeniu i przypuszczalnie już około połowy XIII w. zaprzestano jego użytkowania.

Odkryte na kwartale IX wczesnośredniowieczne cmentarzysko szkieletowe jest niewielkim, ale bardzo istotnym i brakującym dotychczas elementem układanki, który pozwala pełniej zrekonstruować układ przestrzenny przedkolacyjnego Stargardu. Choć jego obecności w tak znaczącym ośrodku należało się spodziewać to aż do ostatniej dekady jego lokalizacja pozostawała nieznana.

Bibliografia

Literatura

Abramowicz A. 1959. Ozdoby i przedmioty związane z kultem. W: A. Nadolski, A. Abramowicz, T. Poklewski, *Cmentarzysko z XI wieku w Lutomiersku pod Łodzią*. Acta Archaeologica Universitatis Lodziensis 7. Łódź, 70–88.

Biermann F. 2009. *Bootsgrab – Brandgrab – Kammergrab. Die slawischen Gräberfelder von Usedom im Kontext der früh- und hochmittelalterlicher Bestattungssitten in Mecklenburg und Pommern*. Archäologie und Geschichte im Ostseeraum 7. Rahden.

Biermann F., Kersting T., Roskoschinski P., Storch S. 2016. Neue slawenzeitliche Schatz- und Grabfunde von Stolpe an der Oder. W: F. Biermann, T. Kersting, A. Klammt (red.), *Die frühen Slawen von der Expansion zu gentes und nationes*, 2. Langenweißbach, 51–73.

Bylina S. 1993. Słowiański świat zmarłych u schyłku pogaństwa. Wyobrażenia przestrzenne. *Kwartalnik Historyczny* 100 (4), 73–88.

Bylina S. 1995. Problemy słowiańskiego świata zmarłych. Kategorie przestrzeni i czasu. *Światowit* 40, 9–25.

Gąssowski J. 1953. Wczesnośredniowieczne cmentarzysko szkieletowe w Złotej pod Sandomierzem. *Wiadomości Archeologiczne* 19 (1), 80–92.

Heindel I. 1990. *Riemen- und Gürtelteile im westslawischen Siedlungsgebiet*. Berlin.

Kajkowski K. 2015. Slavic Journeys to the Otherworld. Remarks on the Eschatology of Early Medieval Pomeranians. *Studia Mythologica Slavica* 18, 15–36.

Knorr A. 1970. Westslawische Gürtelhaken und Kettenschlieβgarnituren. Ein Beitrag zur Deutung Alt-Lübecker Funde. *Offa* 27, 92–104.

Kotowicz P.N. 2007. Między sacrum a profanum. Woda w słowiańskich wyobrażeniach o zaświatach – mit a rzeczywistość. W: W. Dzieduszycki, J. Wrzesiński (red.), *Środowisko pośmiertne człowieka*. Funeralia Lednickie. Spotkanie 9. Poznań, 59–77.

Kowalska A.B. 2011. Życie codzienne mieszkańców wczesnośredniowiecznego Szczecina w świetle źródeł archeologicznych. W: A.B. Kowalska, M. Dworaczyk, *Szczecin wczesnośredniowieczny. Nadodrzańskie centrum*. Warszawa, 217–344.

Kóčka-Krenz H. 1971. Esowate kabłączki skroniowe z terenów Polski północno-zachodniej. *Fontes Archaeologici Posnanienses* 22, 97–143.

Kóčka-Krenz H. 1983. *Złotnictwo skandynawskie IX–XI wieku*. Poznań.

Kóčka-Krenz H. 1993. *Biżuteria północno-zachodnio-słowiańska we wczesnym średniowieczu*. Poznań.

Kwiatkowski K. 2012. *Odkryte stulecia. Stargardzki kwartał IX w świetle badań archeologicznych*. Stargard.

Majewski M. 2013. Stargard, Stare Miasto, ul. Płatnerzy 1, stan. 11a (AZP 32–10/167). *Stargardia* 7, 349.

Majewski M. 2016. Ecclesia sub ecclesia – czyli o świątyni odkrytej pod kościołem augustiańskim w Stargardzie. W: M. Rębkowski (red.), *Kościoły w dobie chrystianizacji.* Wolińskie Spotkania Mediewistyczne 3. Szczecin, 247–253.

Musianowicz K. 1948/49. Kabłączki skroniowe – próba typologii i chronologii. *Światowit* 20, 115–232.

Porzeziński A. 2006. *Wczesnośredniowieczne cmentarzysko szkieletowe na stanowisku 2a w Cedyni województwo zachodniopomorskie*. Szczecin.

Pronin G.N., Smirnova M.E., Mišina T.N., Novikov V.V. 2006. *Mogil'nik Povarovka X–XIII vv. (Kaliningradskâ oblast')*. Moskva.

Rębkowski M. 2007. *Chrystianizacja Pomorza Zachodniego. Studium archeologiczne*. Szczecin.

Rymar E. 2013. Fragmenty dziejów Stargardu nad Iną do 1253 roku. *Stargardia* 7, 97–111.

Schmidt V. 1989. *Drense, eine Hauptburg der Ukrane.* Berlin

Schulenburg O. 1947. Der Fund von Bibow und die niederelbischen Agrippiner. *Hamburger Beiträge zur Numismatik* 1, 14–34.

Wadyl S. 2018a. Some remarks on the phenomenon of so-called belt hooks in the West Balt lands. W: S. Wadyl, M. Karczewski, M. Hoffmann (red.), *Materiały do Archeologii Warmii i Mazur* 2. Warszawa-Białystok-Olsztyn, 193–200.

Wadyl S. 2018b. Wczesnośredniowieczne klamry haczykowate z ziem pruskich. Klamry do pasa,

błystki czy zapinki? *Światowit* 52–53 (Fasc. B 11–12), 271–284.
Wiechmann R. 2013. Kupfer und Messing statt Silber. Münzimitationen des 11. und 12. Jahrhunderts aus Nordostdeutschland. W: M. Bogucki, M. Rębkowski (red.), *Economies, Monetisation and Society in the West Slavic Lands 800–1200 AD*. Wolińskie Spotkania Mediewistyczne 2. Szczecin, 267–312.
Wojtasik J. 1967. *Cmentarzysko wczesnośredniowieczne na Wzgórzu „Młynówka" w Wolinie*. Szczecin.
Wojtasik J. 1970. Cmentarzysko wczesnośredniowieczne na wzgórzu „Młynówka" w Wolinie (badania 1969 r.). *Materiały Zachodniopomorskie* 16, 289–323.

dr hab. Andrzej Janowski, prof. IAE PAN
Ośrodek Archeologii Średniowiecza Krajów Nadbałtyckich
Instytut Archeologii i Etnologii PAN
ul. Kuśnierska 12/12a
70-536 Szczecin
a.janowski@iaepan.szczecin.pl

Zusammenfassung

Gräberfeld

Während der auf dem Gelände des Quartiers IX vorgenommenen Arbeiten wurde in dessen westlichen Teil unerwartet ein kleines Körpergräberfeld aus dem frühen Mittelalter entdeckt. Innerhalb des erforschten Bereichs befand sich der östliche Rand einer größeren Nekropole, die sich auf dem Gelände des benachbarten Quartiers VIII in westlicher Richtung fortsetzte. Insgesamt wurden auf der betroffenen Fläche 32 Körperbestattungen unterschiedlichen Erhaltungsgrades, sowie eine Reihe loser Knochen aus gestörten Gräbern gefunden (Abb. 1). Die Gräber sind sehr ungleichmäßig über ca. 600 m^2 verteilt. Es waren keine Regeln bezüglich der Ausrichtung der Bestatteten zu sehen. Die Toten wurden auf dem Rücken liegend begraben, mit entlang des Körpers ausgestreckten Armen. In einigen Fällen waren Grabgruben und spärliche Spuren von Särgen zu erkennen (Gräber 3, 7, 9, 11, 14, 21, 24, 26). Erfasst wurden Männer (9 Gräber), Frauen (4 Gräber) und Kinder (7 Gräber) sowie Gräber, die die sterblichen Überreste sowohl von Erwachsenen als auch Kindern, bzw. einige nicht nach Geschlecht identifizierte Knochen enthalten. Lediglich die Gräber 19 und 24 können anhand ihrer Ausstattung als weiblich angesehen werden.

Die Grabbeigaben waren bescheiden: eine Kette in Grab 19 (Abb. 2:2), ein Eisenmesser in Grab 20 (Abb. 2:4), eine Gürtelschnalle in Grab 24 (Abb. 2:3) und eine Münze in Grab 27 (Abb. 2:1). Möglicherweise stammt ein kleiner Schläfenring ebenfalls aus den gestörten Bestattungen (Abb. 2:5). Anhand dieser Funde lässt sich das Gräberfeld in die Zeit von der 2. Hälfte des 10. bis in das 12. Jh. datieren, was durch die Ergebnisse der Radiokarbonanalysen an Knochen von sechs Skeletten aus den Gräbern 1, 5, 14, 23, 25 und 28 bestätigt wird (Abb. 3-5). Die ersten drei Gegenstände stammen wahrscheinlich aus der ersten Hälfte des 11. Jh., ein weiterer aus der Zeit zwischen der zweiten Hälfte des 10. Jh. und der Mitte des 12. Jh., ein weiterer aus der Zeit zwischen der zweiten Hälfte des 11. Jh. und der Mitte des 12. Jh. und der letzte vielleicht sogar aus der ersten Hälfte des 13. Jh.

Die chaotische Anordnung der Bestattungen, das Fehlen von Regeln bezüglich der Ausrichtung der Körper der Verstorbenen in den Gräbern, sowie die Spärlichkeit an Beigaben sind charakteristisch für Gräberfelder, die direkt an Burgwallen in der Zeit unmittelbar vor und unmittelbar nach der Christianisierung, d.h. in der zweiten Hälfte des 11. Jh. und in der ersten Hälfte des 12. Jh. angelegt wurden. Die betreffende Nekropole befand sich etwa 200 m westlich der Burg, gegenüber der Marktsiedlung an der Verkehrsroute zwischen Szczecin-Kołobrzeg-Białogard (Stettin-Kolberg-Belgard). Nach Gründung der Stadt im Jahre 1243 befand sich das Gräberfeld nun innerhalb der Stadtbefestigung. Es verlor nach und nach an Bedeutung und wurde wahrscheinlich schon in der ersten Hälfte des 13. Jh. nicht mehr benutzt.

III. 4. Analiza antropologiczna szczątków z cmentarzyska

Marcin Burdziej

Ogólna charakterystyka materiału

Przedmiotem analizy jest materiał kostny datowany ogólnie na okres drugiej połowy XI i XII wiek, wydobyty w trakcie badań archeologicznych historycznego kwartału IX. Łącznie wyeksplorowano kości 38 osób, odsłoniętych w 32 grobach (ryc. 1–29). Pozostała część cmentarza została zniszczona w okresie polokacyjnym[1]. Liczne kości i ich fragmenty pochodzące z późnośredniowiecznych oraz nowożytnych nawarstwień, a także obiektów nie zostały ujęte w niniejszym opracowaniu[2].

Stan zachowania materiału wydobytego z grobów jest zróżnicowany. Połowa szkieletów zachowała się w stanie szczątkowym, pozostałe natomiast są niekompletne (tab. 1). Warunki zalegania pochówków doprowadziły w dużej mierze do zniszczenia struktury samych kości. Są one łamliwe i rozwarstwiające się. Ponadto do destrukcji grobów i znajdujących się w nich materiałów kostnych przyczyniła się zmiana w zagospodarowaniu tego obszaru w okresie, który nastąpił po lokacji miasta.

Metody

Analizę antropologiczną wykonano według ogólnie przyjętych metod. Płeć i wiek określono na podstawie analizy wielocechowej (Piontek 1999). Płeć ustalono na podstawie zestawu cech dymorfizmu płciowego czaszki i miednicy oraz masywności fragmentów szkieletów, co przy uwzględnieniu stanu ich zachowania może być obarczone błędem. Wiek osób dorosłych określono na podstawie obliteracji szwów czaszkowych, zmian powierzchni spojenia łonowego oraz stopnia starcia powierzchni koron zębów. Dla zmarłych w okresie młodzieńczym pod uwagę wzięto stopień przyrastania nasad do trzonów kości długich. W przypadku szkieletów dziecięcych wiek określono na podstawie pomiarów zachowanych kości długich oraz na podstawie kształtowania się zalążków i wyrzynania zębów mlecznych oraz stałych.

Wiek określono w przedziałach biologicznych według podstawowych kryteriów: *infans I* – wczesne dzieciństwo, od urodzenia, do wyrżnięcia pierwszych stałych siekaczy; *infans II* – dzieciństwo późne, do ukazania się pierwszych stałych zębów trzonowych; *juvenis* – wiek młodzieńczy, do skostnienia chrząstkozrostu klinowo-potylicznego; *adultus* – wiek dorosły charakteryzujący się wyraźnym przebiegiem szwów łączących kości mózgoczaszki; *maturus* – wiek dojrzały, w którym obserwuje się zaawansowanie procesu obliteracji szwów mózgoczaszki oraz znaczne starcie koron zębowych; *senilis* – wiek starczy, dla którego charakterystycznymi cechami są pełne zrośnięcie szwów mózgoczaszki, zanik wyrostków zębodołowych szczęki i żuchwy oraz zarastaniem zębodołów.

Pomiarom poddano wszystkie zachowane kości długie w oparciu o technikę R. Martina (Piontek 1999, 101–108). Na podstawie pomiarów długości kości ramiennych (M – 1), łokciowych (M – 1), promieniowych (M – 1), udowych (M – 1), piszczelowych (m – 1a) i strzałkowych (M – 1) wykonano rekonstrukcję przyżyciowej długości ciała według metod Manouviera, Trotter i Gleser oraz Breitingera (Piontek 1999, 176–182). Otrzymane wyniki następnie uśredniono (tab. 2).

Wyszczególniono i opisano zmiany chorobowe zaobserwowane na szkieletach. Ponadto wyróżniono zmiany o charakterze rozwojowym, urazowym, zapalnym oraz degeneracyjnym.

Struktura płci i wieku

Na 38 pochowanych, których szczątki odsłonięto w obrębie 32 grobów przybliżony wiek w chwili śmierci ustalono dla 28 osób. Stan zachowania szczątków pozostałych 10 osób pozwolił jedynie na ustalenie, że były to osoby dorosłe (tab. 1). Dzieci i młodzieńcy stanowią 28,9% ogólnej liczby pochowanych. Najliczniej reprezentowaną grupą są dzieci zmarłe przed ukończeniem 6–7 roku życia, czyli w przedziale wiekowym *infans I* (7 osób), co w porównaniu z grupą *infans II* (3 osoby) oraz *juvenis* (1 osoba) stanowi zdecydowaną większość.

W przypadku osób dorosłych najliczniej reprezentowaną grupę stanowią zmarli po 55 roku życia, czyli w przedziale wiekowym *senilis* (7 osób). Liczba zmarłych w przedziałach wiekowych *adultus* (22–35 rok życia) i *maturus* (35–55 rok życia) jest podobna i wynosi kolejno 5 i 4 osoby. Zastanawiającym jest jednocześnie fakt, iż w przypadków osób o ustalonej płci tylko jeden pochówek udało się określić jako żeński (tab. 1)[3]. Obraz taki nie musi być jednak odzwierciedleniem pierwotnego składu płciowego. Może on wynikać jedynie ze stanu zachowania szczątków i samego stanowiska.

Rekonstrukcja wzrostu

Zły stan zachowania szczątków pozwolił na rekonstrukcję wzrostu jedynie w 5 przypadkach, czterech mężczyzn i jednej osoby dorosłej o nieustalonej płci (tab. 2). Najniższe wartości otrzymano rekonstruując przyżyciowy wzrost metodą

[1] Por. w tym tomie: A. Janowski, *Cmentarzysko*.

[2] Wyniki ich analizy zostaną opublikowane w kolejnych częściach tomu V „Archeologii Stargardu".

[3] Wynik oznaczenia płci w przypadku metody molekularnej (identyfikacja wersji genu AML) jest różny w przypadku grobów nr 1, 7, 9, 23 i 25. Por. w tym tomie: H. W. Witas, T. Wasiak, K. Jędrychowska-Dańska, T. Strózik, A. Zamerska, P. J. Witas, *Analiza molekularna materiału kostnego z cmentarzyska*.

ISBN 978-83-61456-34-6 Archeologia Stargardu T. V,1 – 2019
ISBN 978-83-7986-312-9

Manouviera, najwyższe stosując przelicznik długości kości długich proponowany przez Trotter i Gleser. Otrzymywane wartości w obu przypadkach różniło nieco ponad 5 cm. Wyniki otrzymane przy użyciu metody Breitingera mieściły się pomiędzy nimi. Uśredniając obliczenia otrzymane po zastosowaniu trzech metod otrzymano wynik w okolicy 167 cm (najniższy 159,1 cm, najwyższy 172,8 cm). Niewielka liczba przebadanych pod tym kątem osób nie pozwala jednak na odniesienie otrzymanych wartości do całej badanej grupy.

Zmiany chorobowe i urazy

Zmiany rozwojowe

Zmiany te mogą wynikać z czynników genetycznych lub niekorzystnych warunków środowiskowych. Mogą mieć negatywny wpływ na funkcjonowanie organizmu, wywoływać ból lub ograniczać motorykę, mogą być jednak także odmienną formą budowy szkieletu bez większych negatywnych konsekwencji (Kwiatkowska 2005, 75).

Do zmian o tym charakterze zaliczono wydobyty z grobu nr 19 fragment lewej kości szczękowej z nieprawidłowo wyrżniętym, zatrzymanym kłem (ryc. 30).

Urazy

Do zmian o charakterze urazowym zaliczono przykłady złamań zaobserwowane na kościach prawego przedramienia wydobytych z grobu nr 25. W obu przypadkach zlokalizowane są przy końcach dystalnych. Na kości promieniowej jest to ślad po wygojonym pęknięciu na linii nasady i trzonu (ryc. 31), w przypadku kości łokciowej zaś stwierdzono złamanie wyrostka rylcowatego (ryc. 32). Do obu złamań doszło prawdopodobnie w jednym momencie i można je wiązać z próbą podparcia ciała w trakcie upadku.

Zmiany o prawdopodobnym charakterze pourazowym zaobserwowano również w okolicy powierzchni stawowej prawej łopatki wydobytej z grobu nr 8 (ryc. 37).

Choroby zapalne

Choroby tego typu obserwowane są w postaci zmian w budowie kości. Mogą mieć formę nacieków kostnych lub przetok. Dzieli się je na zmiany o charakterze swoistym, czyli wywołane przez możliwy do ustalenia patogen oraz nieswoiste, gdzie czynnik chorobowy jest trudny do ustalenia (Łubocka, Gronkiewicz 2015, 145).

W omawianym materiale zaobserwowano jeden przypadek nieswoistego zapalenia przyzębia będącego wynikiem zaawansowanej próchnicy na zębie trzonowym żuchwy wydobytej z grobu nr 14 (ryc. 33).

Zmiany degeneracyjne

Do zmian o charakterze degeneracyjnym zaliczyć można przykłady osteofitów zaobserwowane na obwodach powierzchni stawowych kręgów lędźwiowych wydobytych z grobu nr 8 (ryc. 34–35). Z tego samego grobu wydobyto również prawą kość ramienną ze zmianami manifestującymi się kostnieniem przyczepu bicepsa (ryc. 36).

Z grobu nr 14 wydobyto ponadto kość krzyżową i fragment prawego talerza biodrowego ze śladami początkowej fazy zrostu stawu krzyżowo-biodrowego. Stan zachowania materiału nie pozwala na udzielenie jednoznacznej odpowiedzi czy było to schorzenie jedno, czy obustronne (ryc. 38a–b).

Podsumowanie

Na omawiany zbiór składają się szczątki osób pogrzebanych przede wszystkim w okresie drugiej połowy XI–XII w.[4] Jest to zatem najstarszy ludzki materiał kostny pozyskany dotąd z badań stacjonarnych z terenu Stargardu. Stan zachowania oraz liczba zadokumentowanych pochówków sprawiają jednak, że wartość poznawcza jest mocno ograniczona i trudno ją odnosić do całości populacji.

Na ogólną liczbę 38 pochowanych, których szczątki odsłonięto w 32 grobach przybliżony wiek w chwili śmierci ustalono jedynie dla 28 osób. Pozostałe szczątki należały do osób dorosłych. Najliczniej reprezentowanymi przedziałami wiekowymi są *infans I* oraz *senilis*. W obu przypadkach jest to 7 osób. W przypadku pochówków określonych jako dziecięce i osób młodocianych dostrzec można wyraźną dysproporcję w ilości zmarłych (*infans I* – 7 osób, *infans II* – 3 osoby, *juvenis* – 1 osoba), z kolei reprezentacja osób dorosłych dla poszczególnych przedziałów wiekowych jest bardziej zbliżona (*adultus* – 5 osób, *maturus* – 4 osoby, *senilis* – 7 osób). W przypadku osób dorosłych o określonej płci wszystkie, poza jednym, to pochówki mężczyzn. Trudno w tym miejscu wyjaśnić taki stan. Możliwe, iż wynika on jedynie ze stanu zachowania materiału.

Pięć wyników rekonstrukcji przyżyciowego wzrostu nie pozwala na określenie średniej populacyjnej zwłaszcza przy dość dużych rozbieżnościach uzyskanych wartości. Najniższy z mężczyzn mierzył około 159 cm wzrostu, najwyższy natomiast prawie 173 cm.

Trudno mówić w tym miejscu o najliczniej występujących typach schorzeń zaobserwowanych na omawianym materiale ponieważ większość z nich to pojedyncze przypadki. Stwierdzono obecność występowania próchnicy, zatrzymania wyrastającego kła w kości szczękowej, złamania kości przedramienia i prawdopodobnie łopatki, osteofity na trzonach kręgów lędźwiowych oraz przypadek kostnienia przyczepu bicepsa na jednej z kości ramiennych. Stan zachowania oraz niewielka liczba pochówków nie pozwalają na jednoznaczne udzielenie odpowiedzi dotyczącej ogólnego stanu zdrowia omawianej grupy.

[4] Precyzyjniejsze datowanie poszczególnych grobów na podstawie chronologii wyposażenia i ceramiki, por. w tym tomie: A. Janowski, *Cmentarzysko*.

Bibliografia

Literatura

Kwiatkowska B. 2005. *Mieszkańcy średniowiecznego Wrocławia. Ocena warunków życia i stanu zdrowia w ujęciu antropologicznym.* Wrocław.

Łubocka Z., Gronkiewicz S. 2015. Analiza zmian patologicznych i wybranych wyznaczników stresów oraz izotopów stabilnych w materiale osteologicznym z cmentarza Salvatora we Wrocławiu. W: K. Wachowski (red.), *Cmentarz Salvatora. Pierwsza nekropola wrocławskich protestantów.* Wratislavia Antiqua 21. Wrocław, 143–162.

Piontek J. 1999. *Biologia populacji pradziejowych.* Poznań.

Marcin Burdziej
Dział Upowszechniania Sztuki,
Edukacji i Promocji
Muzeum Archeologiczno-Historyczne
Rynek Staromiejski 2-4
73-110 Stargard
m.burdziej@muzeum-stargard.pl

Zusammenfassung

Anthropologische Analyse der Überreste aus einem Gräberfeld

Die betreffende Fundsammlung besteht aus den sterblichen Überresten von Personen, die in der Zeit ab der 2. Hälfte des 11. bis zum 12. Jh. bestattet wurden. Es ist somit das älteste anthropologische Material, das bisher aus der stationären Forschung im Stargarder Gebiet gewonnen werden konnte. Aufgrund des Erhaltungszustands und der Anzahl der dokumentierten Begräbnisse ist der Erkenntniswert jedoch sehr begrenzt und lässt sich nur schwer auf die gesamte Bevölkerung beziehen.

Von den insgesamt 38 Bestatteten, deren Überreste in 32 Gräbern freigelegt wurden, ermittelte man das ungefähre Alter zum Zeitpunkt des Todes für nur 28 Personen. Die übrigen Überreste gehören zu Erwachsenen. Die am zahlreichsten vertretenen Altersgruppen sind *Infans I* und *Senilis* mit je 7 Personen. Bei Kinder- und Jugendbestattungen ist ein deutliches Missverhältnis in der Zahl der Verstorbenen zu erkennen *(Infans I* – 7 Personen, *Infans II* – 3 Personen, *Juvenis* – 1 Person), während die Verteilung von Erwachsenen in den einzelnen Altersgruppen gleichmäßiger ist *(Adultus* – 5 Personen, *Maturus* – 4 Personen, *Senilis* – 7 Personen). Bei Erwachsenen mit bestimmtem Geschlecht handelt es sich, mit einer einzigen Ausnahme, um Bestattungen von ausschliesslich Männer. Es ist schwierig, diesen Umstand hier zu erklären – möglicherweise ist der Erhaltungszustand des Materials dafür verantwortlich.

Die fünf Ergebnisse der Rekonstruktion von Körpergröße zur Lebzeit erlauben es nicht, den Bevölkerungsdurchschnitt festzulegen, insbesondere bei recht großen Diskrepanzen in den erhaltenen Werten. Der kleinste von den Männern war etwa 159 cm, während der höchste fast 173 cm groß war.

Es ist schwierig, an dieser Stelle über die häufigsten vorkommenden Arten von Erkrankungen zu sprechen, die in dem betreffenden Material beobachtet wurden, da es sich bei den meisten von ihnen um Einzelfälle handelt. Festgestellt wurden: Karies, Impaktion des wachsenden Eckzahns im Oberkieferknochen, Frakturen am Unterarm und wahrscheinlich an der Schulter, Osteophyten an den Lendenwirbelkörpern und ein Fall von Verknöcherung des Bizepsansatzes an einem der Oberarmknochen. Der Erhaltenszustand und die geringe Zahl der Bestattungen lassen keine klare Information über den allgemeinen Gesundheitszustand dieser Gruppe zu.

Tabela 1. Stargard, Stare Miasto, kwartał IX. Struktura płci i wieku zmarłych w ujęciu katalogowym, ze wskazaniem zaobserwowanych zmian patologicznych. Oprac. M. Burdziej

Tabelle 1. Stargard, Altstadt, Quartier IX. Geschlechts- und Altersstruktur von Verstorbenen – katalogische Aufzeichnung mit Angabe der beobachteten pathologischen Veränderungen. Bearb. M. Burdziej

Lp.	Nr inw.	Liczba (suma fragm.) i stan	Płeć	Wiek	Zmiany patologiczne	Uwagi
Grób nr 1	69/Gm/Kw/M	376 fragm. – szkielet niekompletny	mężczyzna	*adultus* (późny)	próchnica	W obrębie wykopu grobowego zlokalizowano kości dziecka zmarłego w przedziale wiekowym *infans II*.
Grób nr 2	79/Gm/Kw/M	26 fragm. – szkielet niekompletny	nieokreślona	osoba dorosła		
Grób nr 3	55/R/Kw/M	202 fragm. – szkielet niekompletny	mężczyzna	*senilis*		
Grób nr 4	71/R/Kw/M	4 fragm. – szkielet zachowany szczątkowo	nieokreślona	osoba dorosła		
Grób nr 5	73/R/Kw/M	228 fragm.	nieokreślona	*adultus*		W obrębie wykopu grobowego zlokalizowano kości osoby dorosłej oraz dziecka zmarłego w przedziale wiekowym *infans I*.
Grób nr 6	74/R/Kw/M	133 fragm. – szkielet zachowany szczątkowo	nieokreślona	*infans II*		
Grób nr 7	75/R/Kw/M	122 fragm. – szkielet zachowany szczątkowo	mężczyzna	dorosły		
Grób nr 8	76/R/Kw/M	315 fragm. – szkielet niekompletny	mężczyzna	*senilis*	zmiany w obrębie powierzchni stawowej prawej łopatki; kostnienie przyczepu prawego bicepsa; osteofity na kręgach piersiowych i lędźwiowych	W obrębie wykopu grobowego zlokalizowano kości dziecka zmarłego w przedziale wiekowym *infans I*.
Grób nr 9	77/R/Kw/M	365 fragm. – szkielet niekompletny	mężczyzna	dorosły		
Grób nr 10	56/R/Kw/M	58 fragm. – szkielet zachowany szczątkowo	nieokreślona	*senilis*		
Grób nr 11	57/R/Kw/M	78 fragm. – szkielet zachowany szczątkowo	nieokreślona	*adultus*		
Grób nr 12	58/R/Kw/M	88 fragm. – szkielet zachowany szczątkowo	mężczyzna	dorosły		
Grób nr 13	59/R/Kw/M	27 fragm. – szkielet zachowany szczątkowo	mężczyzna	*adultus*		W obrębie wykopu grobowego zlokalizowano zęby dziecka zmarłego w przedziale wiekowym *infans I*.
Grób nr 14	60/R/Kw/M	244 fragm. – szkielet niekompletny	mężczyzna	*senilis*	próchnica; zrost prawego stawu krzyżowo-biodrowego	
Grób nr 15	61/R/Kw/M	60 fragm. – szkielet zachowany szczątkowo	nieokreślona	osoba dorosła		
Grób nr 16	62/R/Kw/M	194 fragm. – szkielet zachowany szczątkowo	nieokreślona	*adultus*		
Grób nr 17	63/R/Kw/M	323fragm. – szkielet zachowany szczątkowo	nieokreślona	*juvenis*		
Grób nr 18	64/R/Kw/M	56 fragm. – szkielet zachowany szczątkowo	nieokreślona	*maturus*		
Grób nr 19	65/R/Kw/M	295 fragm. – szkielet niekompletny	kobieta	*maturus* (późny)	zatrzymany kieł w szczęce	

Lp.	Nr inw.	Liczba (suma fragm.) i stan	Płeć	Wiek	Zmiany patologiczne	Uwagi
Grób nr 20	66/R/ Kw/M	103 fragm. – szkielet niekompletny	mężczyzna	*maturus* (późny)		
Grób nr 21	67/R/ Kw/M	115 fragm. – szkielet niekompletny	nieokreślona	*infans II*		
Grób nr 22	68/R/ Kw/M	15 fragm. – szkielet zachowany szczątkowo	nieokreślona	*infans I*		
Grób nr 23	69/R/ Kw/M	286 fragm. – szkielet niekompletny	mężczyzna	*senilis*		
Grób nr 24	70/R/ Kw/M	8 fragm. – szkielet zachowany szczątkowo	nieokreślona	osoba dorosła		
Grób nr 25	81/R/ Kw/M	223 fragm. – szkielet niekompletny	mężczyzna	*senilis*	próchnica, złamanie końca dystalnego prawek kości promieniowej, złamanie wyrostka rylcowatego prawej kości łokciowej	
Grób nr 26	78/R/ Kw/M	356 fragm. – szkielet niekompletny	nieokreślona	*infans I* (około 18 miesiąca życia)		
Grób nr 27	79/R/ Kw/M	175 fragm. – szkielet niekompletny	nieokreślona	*infans I* (noworodek)		
Grób nr 28	80/R/ Kw/M	79 fragm. – szkielet zachowany szczątkowo	mężczyzna	dorosły		
Grób nr 29	82/R/ Kw/M	143 fragm. – szkielet niekompletny	nieokreślona	*senilis*		
Grób nr 30	83/R/ Kw/M	139 fragm. – szkielet niekompletny	mężczyzna	dorosły		W obrębie wykopu grobowego zlokalizowano kości dziecka zmarłego w przedziale wiekowym *infans I* (około 3 roku życia)
Grób nr 31	84/R/ Kw/M	142 fragm. – szkielet niekompletny	nieokreślona	*infans I* (około 2 roku życia)		
Grób nr 32	72/Gm/ Kw/M	50 fragm. – szkielet zachowany szczątkowo	mężczyzna	*maturus*		

Tabela 2. Stargard, Stare Miasto, kwartał IX. Pomiary kości długich oraz rekonstrukcja przyżyciowej uśrednionej wysokości ciała na podstawie metod Trotter i Gleser, Breitingera oraz Manouviera. Oprac. M. Burdziej

Tabelle 2. Stargard, Quartier IX. Messungen an Langknochen und Rekonstruktion der durchschnittlichen Körpergröße zu Lebzeiten nach Trotter und Gleser, Breitinger und Manouvier. Bearb. M. Burdziej

Nr grobu	Płeć/wiek	Pomiary [mm]												Wzrost			
		Humerus		*Ulna*		*Radius*		*Femur*		*Tibia*		*Fibula*		Trotter, Gleser	Breitinger	Manouvier	
		p	l	p	l	p	l	p	l	p	l	p	l				
5	?/adult	–	326	–	–	–	238	–	–	–	–	–	–	170	168,5	165	167,8
8	M/sen	–	–	–	–	–	–	470	465	377	379	364	–	172,3	170,7	167,6	170,2
14	M/sen	–	–	–	–	255	–	472	–	387	398	–	–	176,1	172,2	170,3	172,8
23	M/sen	–	––	––	–	–	–	–	407	334	333	–	–	161,1	161,3	155,1	159,1
25	M/sen	–	294	–	266	225	230	–	–	–	–	–	–	165,9	164	161,8	163,9

Ryc. 1. Stargard, Stare Miasto, kwartał IX. Grób 1. Fot. K. Kwiatkowski
Abb. 1. Stargard, Altstadt, Quartier IX. Grab 1. Fot. K. Kwiatkowski

Ryc. 2. Stargard, Stare Miasto, kwartał IX. Grób 3. Fot. K. Kwiatkowski
Abb. 2. Stargard, Altstadt, Quartier IX. Grab 3. Fot. K. Kwiatkowski

Ryc. 3. Stargard, Stare Miasto, kwartał IX. Grób 4. Fot. K. Kwiatkowski
Abb. 3. Stargard, Altstadt, Quartier IX. Grab 4. Fot. K. Kwiatkowski

Ryc. 4. Stargard, Stare Miasto, kwartał IX. Grób 5. Fot. K. Kwiatkowski
Abb. 4. Stargard, Altstadt, Quartier IX. Grab 5. Fot. K. Kwiatkowski

Ryc. 5. Stargard, Stare Miasto, kwartał IX. Grób 6. Fot. K. Kwiatkowski
Abb. 5. Stargard, Altstadt, Quartier IX. Grab 6. Fot. K. Kwiatkowski

Ryc. 6. Stargard, Stare Miasto, kwartał IX. Grób 7. Fot. K. Kwiatkowski
Abb. 6. Stargard, Altstadt, Quartier IX. Grab 7. Fot. K. Kwiatkowski

Ryc. 7. Stargard, Stare Miasto, kwartał IX. Grób 8. Fot. K. Kwiatkowski
Abb. 7. Stargard, Altstadt, Quartier IX. Grab 8. Fot. K. Kwiatkowski

Ryc. 8. Stargard, Stare Miasto, kwartał IX. Grób 9. Fot. K. Kwiatkowski
Abb. 8. Stargard, Altstadt, Quartier IX. Grab 9. Fot. K. Kwiatkowski

Ryc. 9. Stargard, Stare Miasto, kwartał IX. Grób 10. Fot. K. Kwiatkowski
Abb. 9. Stargard, Altstadt, Quartier IX. Grab 10. Fot. K. Kwiatkowski

Ryc. 10. Stargard, Stare Miasto, kwartał IX. Groby 11 i 12. Fot. K. Kwiatkowski
Abb. 10. Stargard, Altstadt, Quartier IX. Gräber 11 u. 12. Fot. K. Kwiatkowski

Ryc. 11. Stargard, Stare Miasto, kwartał IX. Grób 13. Fot. K. Kwiatkowski
Abb. 11. Stargard, Altstadt, Quartier IX. Grab 13. Fot. K. Kwiatkowski

Ryc. 12. Stargard, Stare Miasto, kwartał IX. Grób 14 – część W. Fot. K. Kwiatkowski
Abb. 12. Stargard, Altstadt, Quartier IX. Grab 14 – W Teil. Fot. K. Kwiatkowski

Ryc. 13. Stargard, Stare Miasto, kwartał IX. Grób 14 – część E. Fot. K. Kwiatkowski
Abb. 13. Stargard, Altstadt, Quartier IX. Grab 14 – E Teil. Fot. K. Kwiatkowski

Ryc. 14. Stargard, Stare Miasto, kwartał IX. Groby 10-17. Fot. K. Kwiatkowski
Abb. 14. Stargard, Altstadt, Quartier IX. Gräber 10-17. Fot. K. Kwiatkowski

Ryc. 15. Stargard, Stare Miasto, kwartał IX. Grób 17. Fot. K. Kwiatkowski
Abb. 15. Stargard, Altstadt, Quartier IX. Grab 17. Fot. K. Kwiatkowski

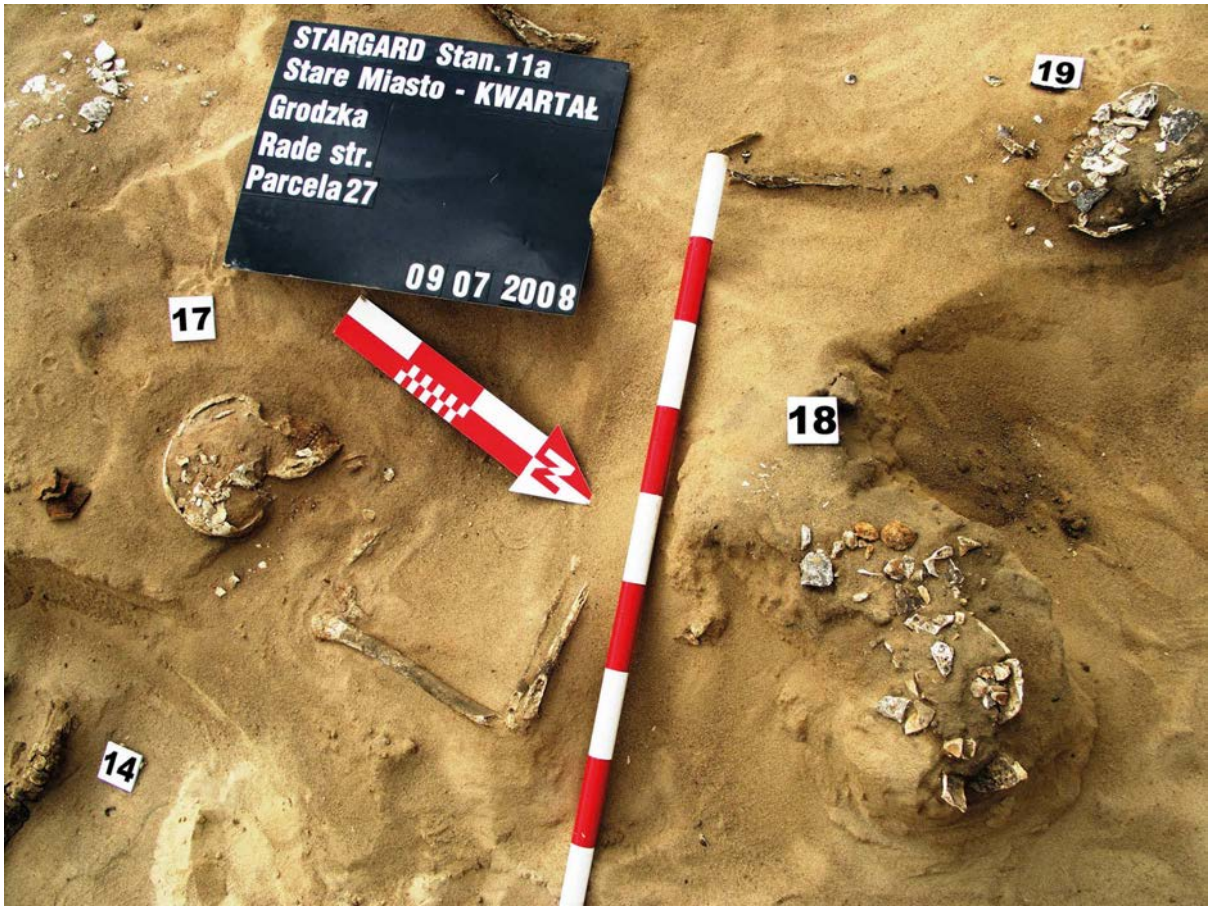

Ryc. 16. Stargard, Stare Miasto, kwartał IX. Groby 17-19. Fot. K. Kwiatkowski
Abb. 16. Stargard, Altstadt, Quartier IX. Gräber 17-19. Fot. K. Kwiatkowski

Ryc. 17. Stargard, Stare Miasto, kwartał IX. Grób 19. Fot. K. Kwiatkowski
Abb. 17. Stargard, Altstadt, Quartier IX. Grab 19. Fot. K. Kwiatkowski

Ryc. 18. Stargard, Stare Miasto, kwartał IX. Grób 20. Fot. K. Kwiatkowski
Abb. 18. Stargard, Altstadt, Quartier IX. Grab 20. Fot. K. Kwiatkowski

Ryc. 19. Stargard, Stare Miasto, kwartał IX. Groby 21 i 22. Fot. K. Kwiatkowski
Abb. 19. Stargard, Altstadt, Quartier IX. Gräber 21 u. 22. Fot. K. Kwiatkowski

Ryc. 20. Stargard, Stare Miasto, kwartał IX. Grób 23. Fot. K. Kwiatkowski
Abb. 20. Stargard, Altstadt, Quartier IX. Grab 23. Fot. K. Kwiatkowski

Ryc. 21. Stargard, Stare Miasto, kwartał IX. Grób 24. Fot. K. Kwiatkowski
Abb. 21. Stargard, Altstadt, Quartier IX. Grab 24. Fot. K. Kwiatkowski

Ryc. 22. Stargard, Stare Miasto, kwartał IX. Grób 25. Fot. K. Kwiatkowski
Abb. 22. Stargard, Altstadt, Quartier IX. Grab 25. Fot. K. Kwiatkowski

Ryc. 23. Stargard, Stare Miasto, kwartał IX. Grób 26. Fot. K. Kwiatkowski
Abb. 23. Stargard, Altstadt, Quartier IX. Grab 26. Fot. K. Kwiatkowski

Ryc. 24. Stargard, Stare Miasto, kwartał IX. Grób 27. Fot. K. Kwiatkowski
Abb. 24. Stargard, Altstadt, Quartier IX. Grab 27. Fot. K. Kwiatkowski

Ryc. 25. Stargard, Stare Miasto, kwartał IX. Grób 28. Fot. K. Kwiatkowski
Abb. 25. Stargard, Altstadt, Quartier IX. Grab 28. Fot. K. Kwiatkowski

Ryc. 26. Stargard, Stare Miasto, kwartał IX. Grób 29. Fot. K. Kwiatkowski
Abb. 26. Stargard, Altstadt, Quartier IX. Grab 29. Fot. K. Kwiatkowski

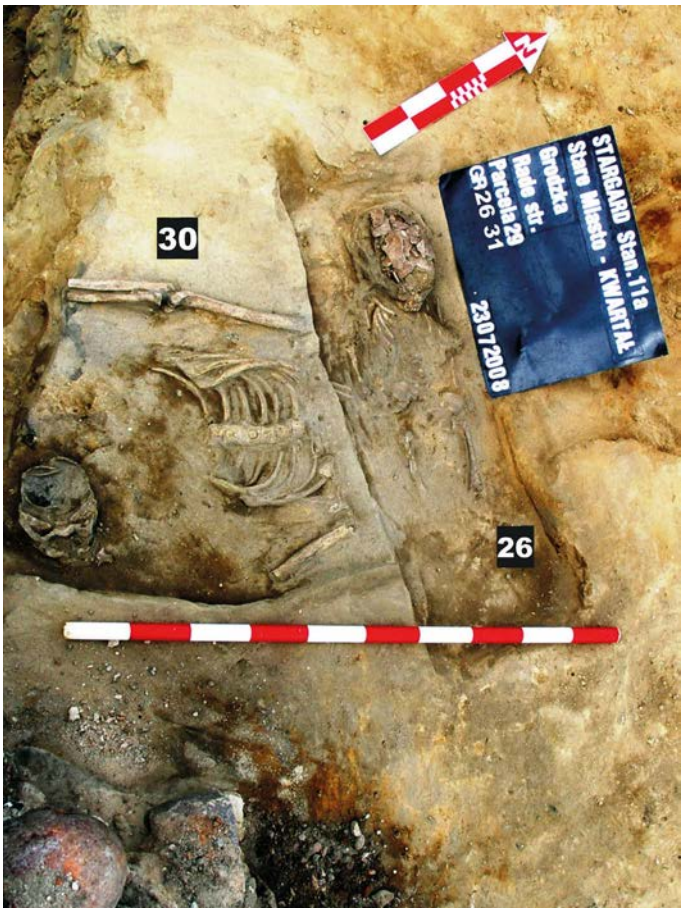

Ryc. 27. Stargard, Stare Miasto, kwartał IX. Groby 26 i 30. Fot. K. Kwiatkowski
Abb. 27. Stargard, Altstadt, Quartier IX. Gräber 26 u. 30. Fot. K. Kwiatkowski

Ryc. 28. Stargard, Stare Miasto, kwartał IX. Grób 31. Fot. K. Kwiatkowski
Abb. 28. Stargard, Altstadt, Quartier IX. Grab 31. Fot. K. Kwiatkowski

Ryc. 29. Stargard, Stare Miasto, kwartał IX. Grób 32. Fot. K. Kwiatkowski
Abb. 29. Stargard, Altstadt, Quartier IX. Grab 32. Fot. K. Kwiatkowski

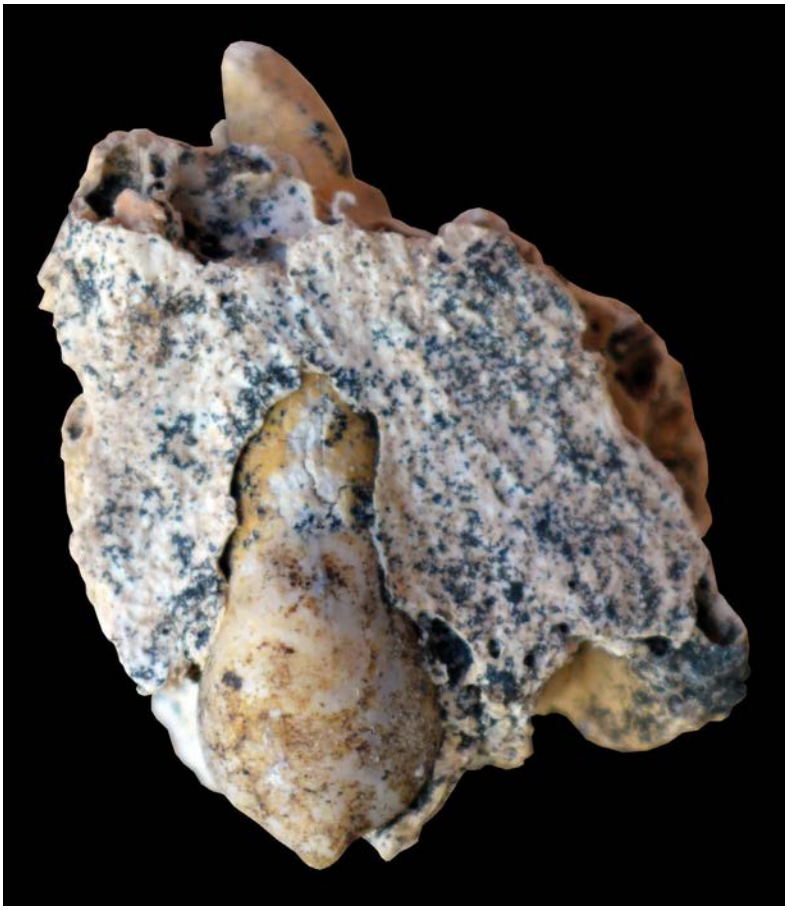

Ryc. 30. Stargard, Stare Miasto, kwartał IX. Grób 19. Fragment lewej kości szczękowej z zatrzymanym kłem. Fot. M. Burdziej
Abb. 30. Stargard, Altstadt, Quartier IX. Grab 19. Fragment des linken Oberkieferknochens mit impaktiertem Eckzahn. Fot. M. Burdziej

Ryc. 31. Stargard, Stare Miasto, kwartał IX. Grób 25. Wygojone pęknięcie końca dystalnego prawej kości promieniowej. Fot. M. Burdziej
Abb. 31. Stargard, Altstadt, Quartier IX. Grab 25. Abgeheilte Fraktur des distalen Endes des rechten Radiusknochens. Fot. M. Burdziej

Ryc. 32. Stargard, Stare Miasto, kwartał IX. Grób 25. Złamanie wyrostka rylcowatego prawej kości łokciowej. Fot. M. Burdziej
Abb. 32. Stargard, Altstadt, Quartier IX. Grab 25. Fraktur des Griffelfortsatzes der rechten Ulna. Fot. M. Burdziej

Ryc. 33. Stargard, Stare Miasto, kwartał IX. Grób 14. Przykład próchnicy zaobserwowanej w zębie trzonowym żuchwy. Fot. M. Burdziej
Abb. 33. Stargard, Altstadt, Quartier IX. Grab 14. Beispiel für Karies, beobachtet am Backenzahn des Unterkiefers. Fot. M. Burdziej

Ryc. 34. Stargard, Stare Miasto, kwartał IX. Grób 8. Osteofity na trzonach kręgów lędźwiowych. Fot. M. Burdziej
Abb. 34. Stargard, Altstadt, Quartier IX. Grab 8. Osteophyten an Lendenwirbelkörpern. Fot. M. Burdziej

Ryc. 36. Stargard, Stare Miasto, kwartał IX. Grób 8. Fragment prawej kości ramiennej ze zmianami w postaci kostnienia przyczepu bicepsa. Fot. M. Burdziej
Abb. 36. Stargard, Altstadt, Quartier IX. Grab 8. Fragment des rechten Oberarmknochens mit Veränderungen in Form von Verknöcherungen des Bizepsansatzes. Fot. M. Burdziej

Ryc. 35. Stargard, Stare Miasto, kwartał IX. Grób 8. Osteofity na trzonie kręgu lędźwiowego. Fot. M. Burdziej
Abb. 35. Stargard, Altstadt, Quartier IX. Grab 8. Osteophyten am Lendenwirbelkörper. Fot. M. Burdziej

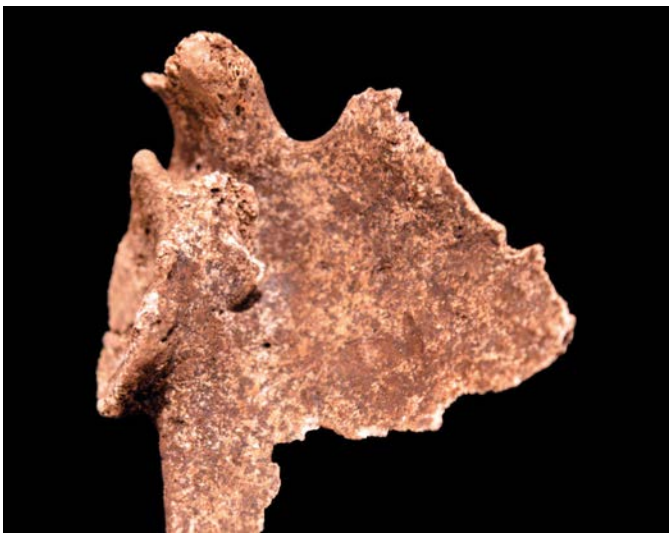

Ryc. 37. Stargard, Stare Miasto, kwartał IX. Grób 8. Zmiany o prawdopodobnym charakterze pourazowym zaobserwowane w okolicy powierzchni stawowej prawej łopatki. Fot. M. Burdziej
Abb. 37. Stargard, Altstadt, Quartier IX. Grab 8. Wahrscheinlich posttraumatische Läsionen, beobachtet im Bereich der Gelenkfläche des rechten Schulterblattes. Fot. M. Burdziej

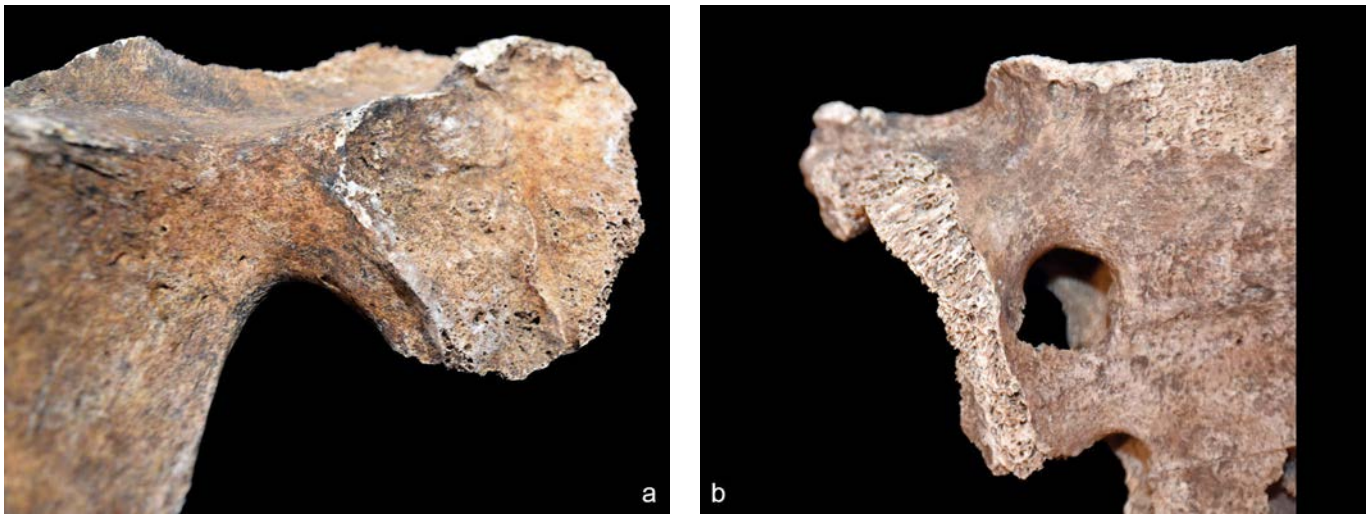

Ryc. 38. a–b. Stargard, Stare Miasto, kwartał IX. Grób 14. Przykład początkowej fazy zrostu prawego talerza biodrowego z kością krzyżową. Fot. M. Burdziej
Abb. 38 a u. b. Stargard, Altstadt, Quartier IX. Grab 14. Beispiel für die Anfangsphase der Verwachsung der rechten Darmbeinschaufel mit dem Kreuzbein. Fot. M. Burdziej

III. 5. Analiza molekularna materiału kostnego z cmentarzyska

Henryk W. Witas, Tomasz Wasiak, Krystyna Jędrychowska-Dańska, Tadeusz Strózik, Alicja Zamerska, Piotr J. Witas

Wstęp

Opublikowane w drugiej połowie lat 80. XX wieku dane z laboratorium Alana Wilsona są dowodem na sukces pierwszej próby analizowania fragmentów DNA izolowanych z pozostałości tkanek miękkich kwaggi, przedstawiciela wymarłego pod koniec XIX wieku podgatunku zebry stepowej (R. Higuchi i in. 1984, 282) i oceny powiązań filogenetycznych (R. G. Higuchi i in. 1987, 283). Zaproponowana w tym samym czasie przez K. Mullisa (Mullis i in. 1986, 263) łańcuchowa reakcja polimerazy DNA (PCR) jest sposobem molekularnego klonowania DNA *in vitro*, który znacząco skrócił i ułatwił procedurę klonowania (namnażania, powielania) cząsteczek nielicznych w materiale kopalnym w porównaniu z klonowaniem przy udziale bakterii. Wprowadzenie PCR przyczyniło się do wysypu prac z obszaru nowej dziedziny nauki, archeologii molekularnej. Okazało się, że DNA może przetrwać w postaci namnażalnych fragmentów także w innych rodzajach tkanek, w kościach i zębach (Hagelberg i in. 1989), włosach (Rasmussen i in. 2010), a także w koprolitach (Poinar i in. 1998, 402). Typową przeszkodą w ocenie sekwencji nukleotydów analizowanego fragmentu, która zwykle stanowi przeszkodę w uzyskaniu sekwencji endogennego DNA (sekwencji autentycznej) są produkty chemicznej degradacji cząsteczki DNA *post mortem*. W początkowym okresie po śmierci pojawiają się w komórkach produkty trawienia hydrolaz lizosomalnych, które rozpoczynają proces skracania cząsteczki, a nieco później modyfikowane są także zasady, głównie cytozyna, co jest przyczyną pojawiających się błędów w produktach PCR. Stopień degradacji chemicznej jest uzależniony od warunków, w jakich zdeponowane były szczątki (Paabo i in. 2004, 38), tj. im niższa temperatura i mniejszy dostęp tlenu do szczątków tym mniej zaawansowane zmiany strukturalne. Zanieczyszczenie cząsteczkami wszechobecnego, egzogennego DNA jest drugą główną przyczyną generowania błędnych danych sekwencjonowania (Gilbert i in. 2005, 541).

Pierwsza opublikowana sekwencja kopalnego DNA to zaledwie 229 par nukleotydów mtDNA (R. Higuchi i in. 1984, 282). Inny autentyczny fragment opublikowany po dekadzie obfitującej w publikowanie niepewnych wyników (np. Cano, Borucki 1995, 268; Woodward i in. 1994, 1229), o długości 377 par nukleotydów pochodził z mtDNA neandertalczyka żyjącego ok. 37 tysięcy lat temu (Krings i in. 1997, 19). Wraz z wprowadzaniem nowych metod izolowania zapoczątkowanym w 2005 roku (Margulies i in. 2005, 376) możliwe stało się sekwencjonowanie dłuższych fragmentów, także całych genomów. I tak, analiza sekwencji genomu mitochondrialnego i jądrowego DNA dostarczyła m.in. informacji o nieznanym dotychczas przedstawicielu rodzaju *Homo* (Reich i in. 2010, 1053). Współczesne metody sekwencjonowania umożliwiają także stosowanie nowych narzędzi oceny autentyczności analizowanych fragmentów DNA (Malmstrom i in. 2015, 1). Procedura zgodna z przyjętymi zasadami postępowania w czasie izolowania i analizy pozwala ustalić sekwencję endogennych fragmentów DNA zapewniając tym samym wgląd w relacje filogenetyczne, odtworzenie szlaków migracji, ocenę pochodzenia osobników i populacji, a co najistotniejsze – umożliwia identyfikowanie zmian ewolucyjnych i mechanizmów ich powstawania dzięki perspektywie czasowej dłuższej niż wiek gatunku; dla przykładu, najstarszy sekwencjonowany DNA przedstawiciela rodzaju *Homo* datowany jest na ok. 430 tysięcy lat (Meyer i in. 2016, 504), a szczątki najstarszego znanego przedstawiciela *Homo sapiens* mają niespełna 315 tysięcy lat (Hublin i in. 2017, 289).

W początkowym okresie badań kopalnego DNA analizowano cząsteczki zlokalizowane w mitochondriach (mtDNA) ze względu na ich znaczną liczbę, w porównaniu z DNA jądrowym, co niewątpliwie zwiększa prawdopodobieństwo wyizolowania i analizy nawet wtedy, gdy szczątki zdeponowane były w strefie zwrotnikowej, warunkach sprzyjających zaawansowanej degradacji chemicznej cząsteczki (Cui i in. 2015, 1; Mendisco i in. 2015, 1; Witas i in. 2013, 1). Kolista cząsteczka ludzkiego mtDNA zawiera 16 569 par zasad (pz) (Anderson i in. 1981, 457), w tym region niekodujący/kontrolny HVR (*ang. hypervariable control region*) o długości ok. 1,1 kpz, o znacznym stopniu polimorfizmu (Greenberg i in. 1983, 33; Melton i in. 1997, 437). Zmienność sekwencji mtDNA, która jest efektem 5–10 razy większego tempa ewoluowania w porównaniu z DNA jądrowym stanowi bogate źródło informacji, przydatnej np. w analizie filogenetycznej, podczas badania mechanizmów ewolucji (Fernandes i in. 2012, 347; Guba i in. 2011, 784; Metspalu i in. 2004, 26), a także dostarcza danych o profilu zmian składu populacji w czasie (Witas i in. 2015, 1).

Metody i obiekt analizy

Przedmiotem analizy był DNA izolowany z materiału kostnego pochodzącego z 19 grobów wyeksplorowanych w trakcie badań archeologicznych na terenie historycznego kwartału IX na Starym Mieście w Stargardzie. Groby znajdowały się w obrębie pozostałości cmentarzyska wczesnośredniowiecznego, datowanego wstępnie na X–XIII w. na podstawie zabytków ruchomych, braku rzędowości w układzie pochówków i reguł dotyczących orientacji odkrytych szkieletów. Są prawdopodobnie powiązane z nekropolią mieszkańców grodu i podgrodzia usytuowanego na wschód od dawnego kwartału, zlokalizowanego

ISBN 978-83-61456-34-6 Archeologia Stargardu T. V,1 – 2019
ISBN 978-83-7986-312-9

pierwotnie w obrębie wyspy otoczonej ramionami rzeki Iny[1].

Fragmenty genomu mitochondrialnego i jądrowego izolowano zgodnie z powszechnie przyjętymi zasadami metodyki postępowania z kopalnymi cząsteczkami DNA (Witas i in. 2013, 1; Witas i in. 2015, 1). Molekularna analiza zdegradowanych cząsteczek kieruje się nieco innymi zasadami postępowania niż stosowane w przypadku cząsteczek natywnych, szczególnie kiedy po wydobyciu z ziemi materiał kostny pozostawał w magazynie archeologicznym, w tym przypadku Muzeum Archeologiczno-Historycznego w Stargardzie, od 2008 roku.

Izolowanie DNA

Po przeprowadzeniu makroskopowej oceny jakości materiału kostnego najmniej uszkodzone fragmenty czyszczono chemiczne (3% NaClO), płukano w sterylnej wodzie i alkoholu, naświetlano przynajmniej 30 minut, czyszczono mechaniczne (Dremel®) i rozdrabniano w młynku kriogenicznym (SPEX 6770) w temperaturze ciekłego azotu. Uzyskany proszek inkubowano z bromkiem *N*-fenyloacylotiazolowym (PTB), EDTA i proteinazą K, a następnie izolowano DNA metodą półautomatyczną w urządzeniu MagNaPure® (Roche) i namnażano w termocyklerze 9700 (Applied Biosystems), nie później niż 24 godziny po zakończeniu procedury izolowania. Do namnażania wyizolowanego DNA używano wysokowydajnych polimeraz (AmpliTaq Gold – Applied Biosystems, lub HiFi KAPA HotStart DNA Polymerase – Roche). Produkty PCR przechowywano w temperaturze –27°C do czasu ich analizy.

HVR mtDNA

Swoiste startery łańcuchowej reakcji polimerazy (PCR) określały długość produktów namnażania w granicach 90–160 pz zgodnie z regułą – im krótszy produkt namnażania na matrycy zdegradowanych cząsteczek, tym większe prawdopodobieństwo jego uzyskania. HVR mtDNA namnażano w postaci czterech zachodzących na siebie fragmentów, które sekwencjonowano metodą terminacji łańcucha (Sanger, Coulson 1975, 441). Identyfikowano zmiany w sekwencji fragmentów HVR mtDNA, które określają haplotyp i wyznaczają przynależność do haplogrupy. Pomocna w identyfikacji haplogrupy była ocena miejsc polimorficznych w regionie kodującym mtDNA, w tym: 7028 T/C, 10398 A/G, 12308 A/G. W tabeli 1 przedstawiono strukturę pierwszorzędową stosowanych staterów PCR, warunki namnażania i warunki analizy restrykcyjnej. Haplogrupy (hg) mtDNA określano na podstawie baz danych on-line (mtDNAmanager, HaploGrep) oraz aktualnych danych literaturowych.

Gen *LCT*

Sekwencję starterów namnażających allele genu *MCM6* oraz warunki PCR przedstawia tabela 1. Produkt PCR sekwencjonowano metodą Sangera. Wynik analizy SNP (C/T) w pozycji –13910 przed genem *LCT*, zlokalizowanej w 13 intronie

[1] Por. w tym tomie: A. Janowski, *Cmentarzysko*.

Tabela 1. Struktura pierwszorzędowa starterów i warunki namnażania fragmentów mtDNA, genów MCM6 i CCR5 oraz warunki analizy restrykcyjnej

Tabelle 1. Primärstruktur der Primer und Bedingungen der Vermehrung von mtDNA-Fragmenten, MCM6- und CCR5-Genen sowie Bedingungen der Restriktionsanalyse

	Sekwencja	Temperatura przyklejania starterów	Długość produktu PCR	Endonukleaza restrykcyjna
HVR1 16108–16346	HVR1a L: CAGCCACCATGAATATTGTA	58°C	186 pz	
	HVR1a R: TGGGTAGGTTTGTTGGTATC			
	HVR1b L: AAGTCACAGCAATCAACCCTC	58°C	141 pz	
	HVR1b R: CTGTAATGTGCTATGTACGGTA			
HVR2 67–256	HVR2a L: GCATTTGGTATTTTCGTCTGG	62°C	130 pz	
	HVR2a R: TTGAACGTAGGTGCGATAAAT			
	HVR2b L: CGCAGTATCTGTCTTTGATTCC	62°C	156 pz	
	HVR2b R: CTGTGTGGAAAGTGGCTGTG			
H/nieH 7028	L: GCCCTAGGATTCATCTTTCT	58°C	155 pz	*Alu*I 125 + 30pz
	R: CCTCCTATGATGGCAAATAC			
U/nie U 12308	L: CACAAGAACTGCTAACTCATGC	55°C	123 pz	*Hinf*I 90 + 33pz
	R: TTACTTTTATTTGGAGTTGCACCAAGATT			
CCR5	L: CCAGGAATCATCTTTACCAG	53°C	126/94 pz	*Apo*I 126 + 94pz
	R: CAFCCCCAAGATGACTATC			
LCT	L: GCTGGCAATACAGATAAGATAATGGA	58°C	201 pz	*Hinf*I 177 + 24pz
	R: CTGCTTTGGTTGAAGCGAAGAT			
AmelX *AmelY*	L: 5'-CCCTGGGCTCTGTAAAGAATAGTG-3'	60°C	Y: 112 pz X: 106 pz	
	R: 5'-ATCAGAGCTTAAACTGGGAAGCTG-3'			
AmelX *AmelY*	L: 5'-CCCTTTGAAGTGGTACCAGAG-3'	56°C	Y: 64 pz X: 61 pz	
	R: 5'-GGGAATAARGAACAAAATGTCTAC-3', R = A lub G (50/50)			

genu *MCM6*, definiuje stopień ekspresji genu *LCT* u człowieka po okresie karmienia, co przekłada się na aktywność laktazy i zdolność organizmu do trawienia laktozy mleka.

Gen *CCR5*

Allele genu *CCR5* identyfikowano w 10% żelu poliakryloamidowym, wykorzystując różnicę długości porównywanych fragmentów (32 pz). Warunki namnażania i analizy restrykcyjnej przedstawia tabela 1. Identyfikacja allelu dzikiego genu *CCR5* w postaci homozygotycznej oznacza wrażliwość osobnika na infekcję HIV.

Ocena płci

Płeć oznaczano identyfikując allele genu amelogeniny (*AML*). Do namnażania stosowane były dwa zestawy starterów syntezujące produkty o długości 122/106 pz lub 64/70 pz. Trzecią, stosowaną do oznaczenia płci, metodą weryfikującą wcześniej uzyskany wynik, była analiza przebiegu wysokorozdzielczego topnienia matrycy w czasie rzeczywistym (Real Time HMR). Tabela 1 przedstawia sekwencję stosowanych starterów i warunki PCR.

Sekwencjonowanie DNA

Produkty PCR poszczególnych fragmentów HVR mtDNA i *MCM6* oczyszczano na kolumnach NucleoSpin Gel and PCR Clean-Up (Macherey-Nagel). Znakowano je (20 µL) stosując BigDye (4 µL, Applied Biosystems), 30 ng startera i 50–70 ng matrycowego DNA (warunki namnażania: wstępna denaturacja – 95°C, 5 min., 36 cykli – 95°C, 30 s., 56°C, 8 s., 60°C, 4 min.). Produkt PCR oczyszczano na kolumnach ExTerminator (A&A Bitechnology) i zawieszano w 20 µL dejonizowanego formamidu. Wynik sekwencjonowania (ABI Prism 3130 Genetic Analyzer, Applied Biosystems) analizowano w programie MEGA5 oraz FinchTV.

Autentyczność analizowanych fragmentów DNA

Autentyczność analizowanych fragmentów oceniano na podstawie porównania wyników wielokrotnej analizy materiału wyizolowanego z różnych fragmentów materiału kostnego tego samego osobnika (Winters i in. 2011, 1). Niezależnie izolowano, namnażano i analizowano DNA uzyskany np. z dwóch zębów tego samego osobnika.

Tabela 2. Haplotypy osób biorących udział w analizowaniu DNA izolowanego z materiału szkieletowego z kwartału IX na Starym Mieście w Stargardzie

Tabelle 2. Haplotypen von Personen, die an der Analyse der aus Skelettmaterial aus Quartier IX, Alstadt in Stargard, isolierten DNA teilnahmen

	Haplotyp HVR
AZ	16224C 16284G 16311C 16319A
KJ	16189C 16270T 16291T
TW	16174T 16243C 16343G
TS	CRS
HW	CRS

Tabela 3. Stargard, Stare Miasto, kwartał IX. Zestawienie haplotypów/haplogrup mtDNA, profili allelicznych genów *MCM6* i *CCR5* oraz wyników oceny płci metodą osteometryczną i molekularną badanych osobników

Tabelle 3. Stargard, Altstadt, Quartier IX. Eine Zusammenstellung von mtDNA-Haplotypen/-Haplogruppen, Allelprofilen der *MCM6*- und *CCR5*-Gene und den Ergebnissen der Geschlechtsbestimmung mit osteometrischen und molekularen Methoden bei ausgewählten Individuen

Numer grobu	Haplotyp HVR I i HVR II*	SNP sekwencji kodującej*	Haplogrupa	*CCR5*	*MCM6*	Płeć	
						DNA	Osteometria
1	16162G	7028C	H1a	–	C/C	XX	–
3	72C 16298C	7028T	HV0	wt/wt	C/C	XY	XY
5	73G 146C 16241G 16294T 16304C	7028T	T2b	–	–	XX	–
6	73G 146C 16241G 16294T 16304C	7028T, 12308A	T2b	–	C/C	XY	–
7	CRS	7028T	nie H	wt/wt	C/T	XX	XY
9	16189C,	7028T, 12308A	nie H i U	–	C/T	XX	XY
10	16271T 16295T,	7028T, 12308G	U4	d32/d32	C/C	XY	XY
11	Brak produktu PCR		–	–	–	–	–
13	195C 16220G 16235G	7028C, 12308A	H82	wt/wt	C/T	XY	–
14	72C 93C 193C 16298C	7028T	HV0	wt/wt	–	XY	XY
17	CRS	7028C	H	–		XX	–
18	Brak produktu PCR		–	–	–	–	–
20	16304C	7028C	H5a	–	C/C	XY	XY
21	72C 93C 16298C	7028T	HV0	–	C/C	–	–
22	CRS	7028C	H	wt/wt	C/C	XX	–
23	16304C	7028C	H5a	wt/wt	C/T	XX	–
25	16223T 16292T	7028T	W	–	T/T	XX	XY
29	73G 146C 152C 16292T 16294T	7028T	T2c1	wt/wt	C/C	XY	XY
	73G 146C 152C 16292T 16294T	7028T	T2c1	–	C/T	XX	XY
	16311C	7028T, 12308A	R0/R1	wt/wt	C/T	XY	–
30	CRS	7028C	H	–	C/C	–	XY

* miejsca polimorficzne numerowane są zgodnie z *revised Cambridge Reference Sequence* (rCRS) (Anderson i in. 1981).

Strukturę pierwszorzędową autentycznych fragmentów ustalano na podstawie wyniku porównania uzyskanych sekwencji mtDNA. Zanieczyszczenie otrzymanych preparatów egzogennymi cząsteczkami DNA weryfikowano porównując haplotypy mtDNA badanych prób z haplotypami osób, które analizowały materiał kostny (tab. 2).

Wyniki i omówienie

Stosowane w artykule oznaczenie grobu jest zgodne z przyjętą przez archeologów numeracją odkrytych pochówków.

Znaczny stopień degradacji materiału kostnego z grobów 10, 11, 17, 18, 20, 22 i 25 wymusił wielokrotne próby izolowania DNA z powierzonego materiału szkieletowego, przy czym w przypadku szczątków z grobu 11 i 18 nie uzyskano namnażalnych fragmentów (brak produktu PCR). Wyniki sekwencjonowania i analizy restrykcyjnej produktów PCR poszczególnych fragmentów mitochondrialnego i jądrowego DNA zebrane zostały w tabeli 3.

Warto zaznaczyć, że płeć metodą molekularną udało się oznaczyć w DNA izolowanym z materiału kostnego w przypadku 17 spośród 21 badanych prób, przy czym izolowanie DNA nie powiodło się w przypadku 2 na 21 badanych prób. Wynik oznaczenia płci metodą osteometryczną[2] był różny od uzyskanego metodą molekularną (identyfikacja wersji genu *AML*) w przypadku szczątków wydobytych z grobów 1, 7, 9, 23 i 25.

Haplotyp mtDNA (hg T2c) dwóch spośród trzech fragmentów z grobu 29 sugerował tego samego osobnika, jednak wynik dalszej analizy molekularnej, tj. oceny płci i genetycznego uwarunkowania tolerancji/nietolerancji laktozy, wskazał różną przynależność osobniczą badanych fragmentów (tab. 3). Haplotyp mtDNA trzeciego

[2] Por. w tym tomie: M. Burdziej, *Analiza antropologiczna szczątków z cmentarzyska*.

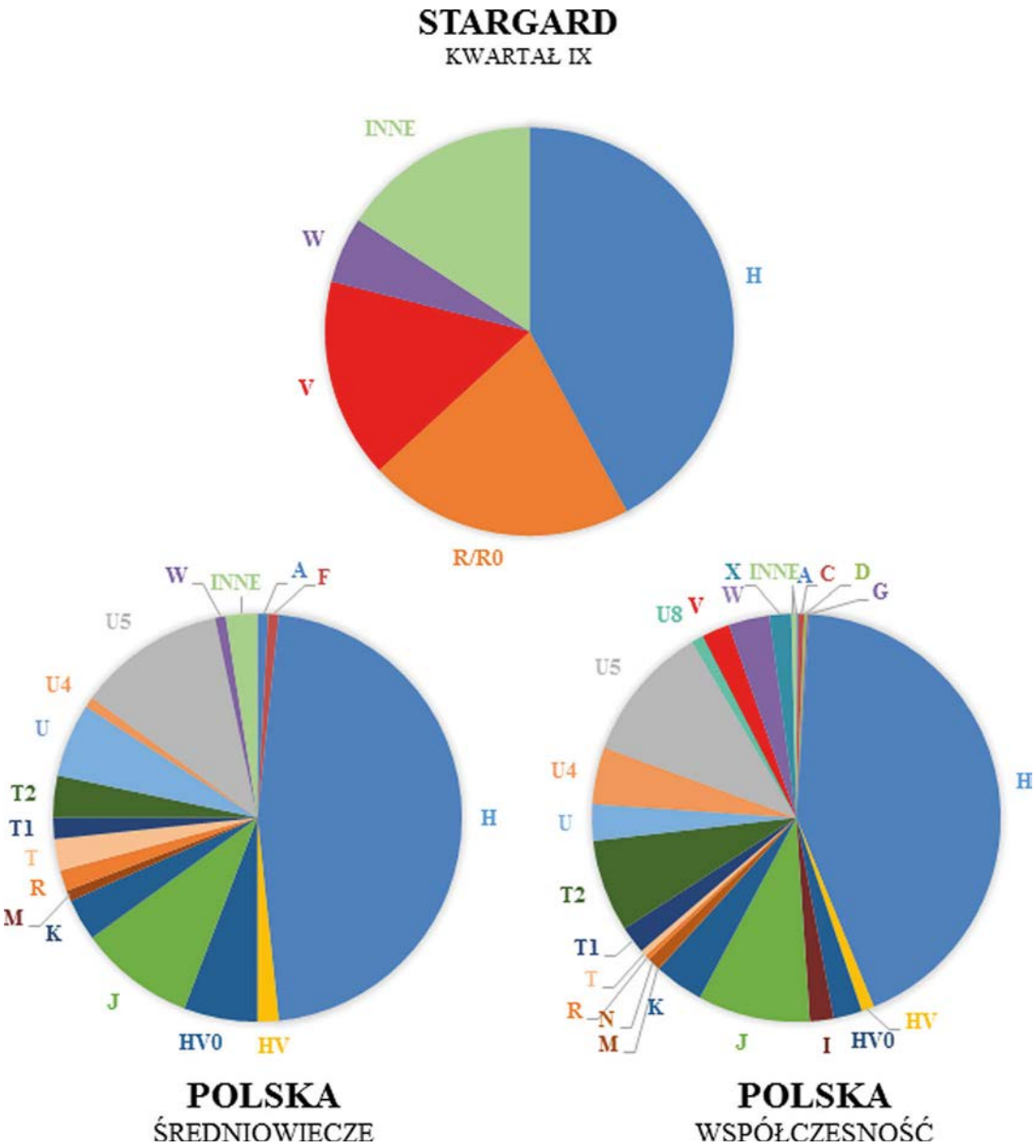

Ryc. 1. Porównanie jakościowe i ilościowe haplogrup zidentyfikowanych w grupie badanych osobników z kwartału IX na Starym Mieście w Stargardzie, populacji średniowiecznej i współczesnej Polski

Abb. 1. Qualitativer und quantitativer Vergleich der Haplogruppen, die in der Gruppe der ausgewählten Individuen aus Quartier IX, Altstadt in Stargard, identifiziert wurden, sowohl in der mittelalterlichen als auch zeitgenössischen polnischen Population

Tabela 4. Stargard, Stare Miasto, kwartał IX. Częstość występowania genotypów i alleli genu *CCR5* u badanych osobników
Tabelle 4. Stargard, Altstadt, Quartier IX. Häufigkeit des Vorkommens von Genotypen und Allelen des Gens *CCR5* bei ausgewählten Individuen

CCR5	wt/wt	d32/wt	d32/d32	wt	d32
	0,889	–	0,111	0,889	0,111

Tabela 5. Stargard, Stare Miasto, kwartał IX. Częstość występowania genotypów i alleli genu LCT u badanych osobników
Tabelle 5. Stargard, Altstadt, Quartier IX. Häufigkeit des Vorkommens von Genotypen und Allelen des Gens LCT bei ausgewählten Individuen

MCM6	C/C	C/T	T/T	C	T
	0,588	0,353	0,059	0,765	0,235

fragmentu z grobu 29 wzbogacony o wynik analizy restrykcyjnej dwóch miejsc w części kodującej, w pozycjach 7028 i 12308, wskazał haplogrupę R0 lub R1. Biorąc pod uwagę uzyskany wynik analizy molekularnej, w tym przypadku allele genu *MCM6* i *AML*, należy uznać, że z bliżej nieokreślonego powodu (brak śladów archeologicznych) materiał kostny z grobu 29 jest mieszaniną szczątków przynajmniej trzech osobników. Często analiza profilu allelicznego genów jądrowych, zwiększająca liczbę cech identyfikujących osobnika, jest wykorzystywana w procesie weryfikowania homogenności fragmentów szkieletowych inwentaryzowanych pod jednym numerem i jest szczególnie przydatna w przypadku zidentyfikowania tego samego hapotypu mtDNA.

Analiza haplotypu mtDNA ze szczątków z grobu 5 (*adultus*) i 6 (*infans II*), wzbogacona wynikiem analizy restrykcyjnej (7028T i 12308A) wskazuje tą samą haplogrupę, tj. T2b. Wynik molekularnego oznaczenia płci i wiek biologiczny osobników sugeruje pokrewieństwo w relacji matka/dziecko (tab. 3).

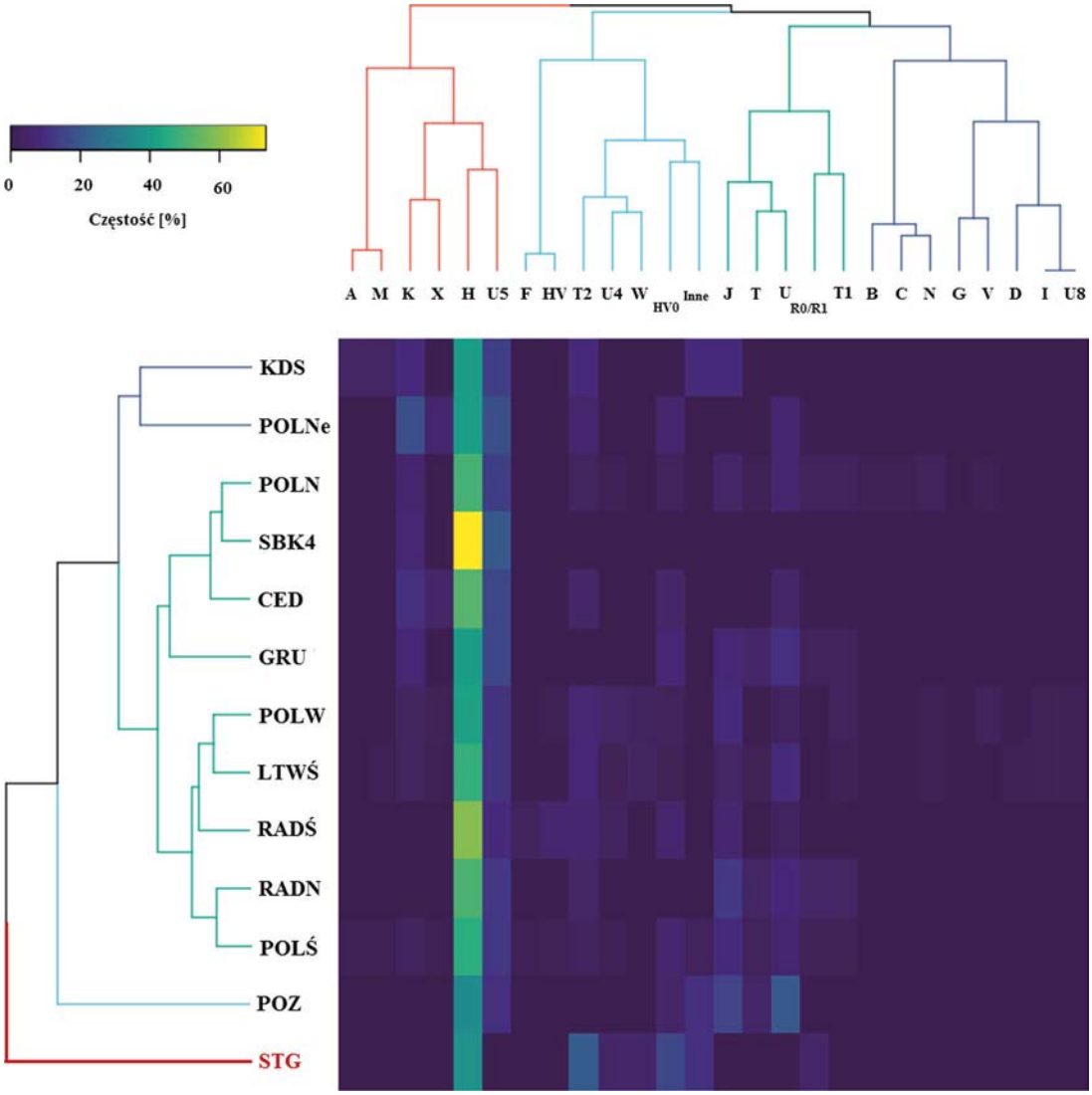

Ryc. 2. Mapa cieplna częstości haplogrup mtDNA w wybranych populacjach i w badanej grupie z kwartału IX na Starym Mieście w Stargardzie. Opis w tekście. Oznaczenia: KDS/Kałdus XII–XIV w., POLNe/Polska neolit, POLN/Polska XVII–XIX w., SBK4/Stary Brześć Kujawski X–XII w., CED/Cedynia XI–XIII w., GRU/Gruczno XII–XIV w., POLW/Polska współczesność, LTWŚ/Litwa XII–XV w., RADŚ/Radom XII–XVII w., POLŚ/Polska średniowiecze, POZ/Poznań XII–XIII w., STG/Stargard X–XII w. wg Witas i in. (2015); badania własne
Abb. 2. Wärmekarte der Häufigkeit der mtDNA-Haplogruppen in ausgewählten Populationen und in der ausgewählten Gruppe aus Quartier IX, Alstadt in Stargard. Beschreibung im Text. Markierungen: KDS/Kałdus 12.–14. Jh., POLNe/Polen Neolithikum, POLN/Polen 17.–19. Jh., SBK4/Stary Brześć Kujawski 10.–12. Jh., CED/Cedynia 11.–13. Jh., GRU/Gruczno 12.–14. Jh., POLW/Polen Gegenwart, LTWŚ/Litauen 12.–15. Jh.., RADŚ/Radom 12.–17. Jh., POLŚ/Polen Mittelalter, POZ/Poznań 12.–13. Jh., STG/Stargard 10.–12. Jh. nach Witas u.a. (2015); eigene Untersuchungen

Trudno uznać liczbę badanych osobników za reprezentatywną dla populacji, niemniej jednak podjęto próbę analizy składu tej niewielkiej grupy ludzkiej na podstawie oznaczonych haplotypów mtDNA i ustalonych haplogrup porównując je z innymi, średniowiecznymi populacjami (Płoszaj i in. 2015, 229; Witas i in. 2015, 1) oraz współcześnie żyjącymi (Malyarchuk i in. 2002, 261). Haplogrupy mtDNA osobników z dawnego kwartału IX występują zarówno w populacjach średniowiecznych, jak i współczesnej, a jakościowe, znacząco mniejsze, zróżnicowanie haplogrupowe wynikać może z małej liczebności badanej grupy (ryc. 1).

Zidentyfikowana w materiale kostnym z grobów 1, 2, 13, 17, 20, 22, 23 i 30 haplogrupa H powstała ok. 18 tysięcy lat temu na Bliskim Wschodzie i jest najczęściej (Soares i in. 2010) występującą współcześnie w Europie (>45%) pod postacią wielu subhaplogrup. Nieobecna u mezolitycznych łowców-zbieraczy, jest identyfikowana dopiero w materiałach neolitycznych (~20%) (Brotherton i in. 2013), przy czym już w średniowieczu występowała w polskiej populacji najczęściej (Witas i in. 2015), podobnie jak współcześnie (Mielnik-Sikorska i in. 2013, 1).

Zmiany definiujące haplogrupę HV0 w regionie HVR, tj. 72C 16289C, zidentyfikowano u trzech niespokrewnionych osobników (groby 3, 14, 21). Haplogrupa HV0 powstała prawdopodobnie w czasie maksimum ostatniego zlodowacenia (De Fanti i in. 2015, 1) i współcześnie występuje częściej w Skandynawii (Hedman i in. 2007, 171) niż innych częściach Europy.

Haplogrupa T obecna w populacjach europejskich od przełomu mezolitu i neolitu (Haak i in. 2005, 1016), także na terenie Polski (Witas i in.

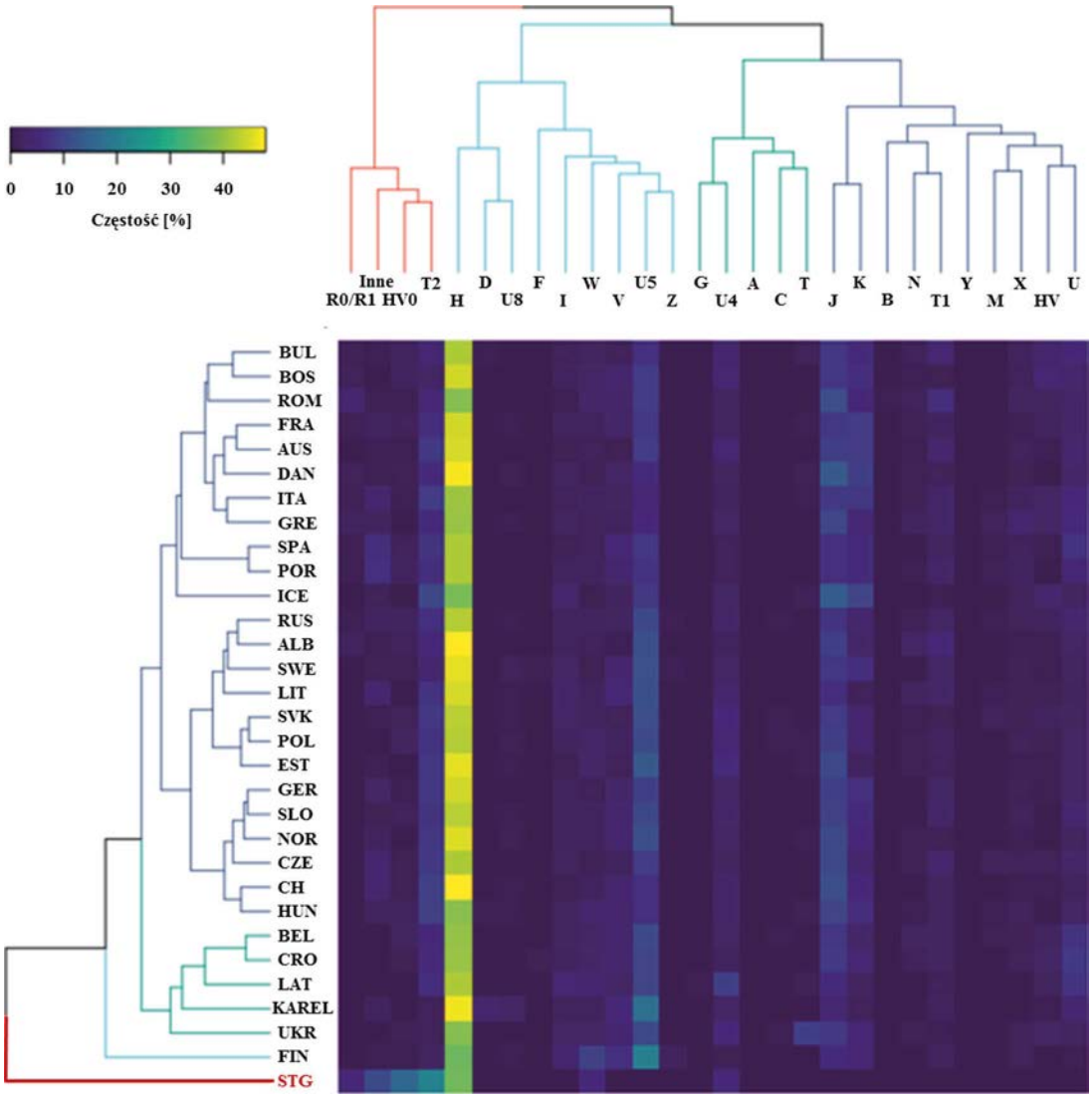

Ryc. 3. Mapa cieplna zależności mierzonych częstością haplogrup mtDNA w populacjach współczesnej Europy i w badanej grupie z kwartału IX na Starym Mieście w Stargardzie. Opis w tekście. Oznaczenia: BUL/Bułgaria, BOS/Bośnia, ROM/Rumunia, FRA/Francja, AUS/Austria, DAN/Dania, ITA/Włochy, GRE/Grecja, SPA/Hiszpania, POR/Portugalia, ICE/Islandia, RUS/Rosja, ALB/Albania, SWE/Szwecja, LIT/Litwa, SVK/Słowacja, POL/Polska, EST/Estonia, GER/Niemcy, SLO/Słowenia, NOR/Norwegia, CZE/Czechy, CH/Szwajcaria, HUN/Węgry, BEL/Belgia, CRO/Chorwacja, LAT/Łotwa, KAREL/Karelia, UKR/Ukraina, FIN/Finlandia, STG/Stargard

Abb. 3. Wärmekarte der Beziehungen, gemessen an der Häufigkeit von mtDNA-Haplogruppen in den Populationen des heutigen Europas und in der ausgewählten Gruppe aus Quartier IX, Altstadt in Stargard. Beschreibung im Text. Markierungen: BUL/Bulgarien, BOS/Bosnien, ROM/Rumänien, FRA/Frankreich, AUS/Österreich, DAN/Dänemark, ITA/Italien, GRE/Griechenland, SPA/Spanien, POR/Portugal, ICE/Island, RUS/Russland, ALB/Albanien, SWE/Schweden, LIT/Litauen, SVK/Slowakei, POL/Polen, EST/Estland, GER/Deutschland, SLO/Slowenien, NOR/Norwegen, CZE/Tschechische Republik, CH/Schweiz, HUN/Ungarn, BEL/Belgien, CRO/Kroatien, LAT/Lettland, KAREL/Karelien, UKR/Ukraine, FIN/Finnland, STG/Stargard

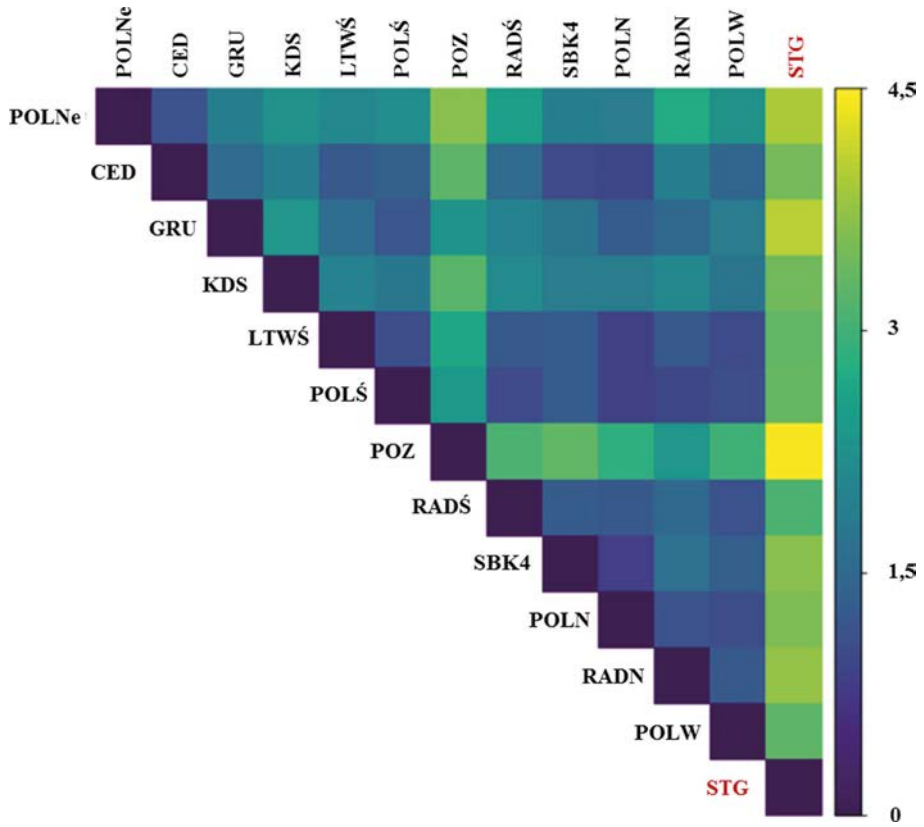

Ryc. 4. Stargard, Stare Miasto, kwartał IX. Macierz odległości euklidesowych wyliczona w oparciu o częstość haplogrup w wybranych populacjach z okresu średniowiecza, neolitu, współczesności i analizowanej grupie osobników. Oznaczenia, jak na ryc. 2

Abb. 4. Stargard, Altstadt, Quartier IX. Euklidische Distanzmatrix, berechnet auf der Grundlage der Häufigkeit von Haplogruppen in ausgewählten Populationen aus dem Mittelalter, Neolithikum, der Gegenwart und der analysierten Gruppen von Individuen. Markierungen wie in Abb. 2

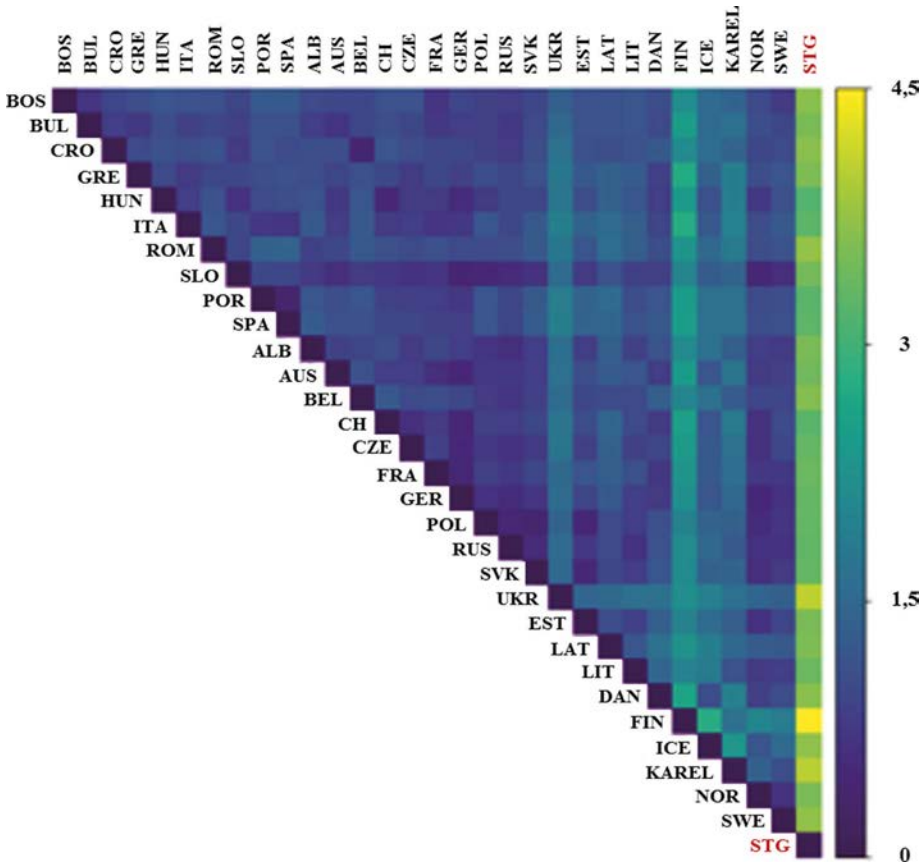

Ryc. 5. Stargard, Stare Miasto, kwartał IX. Macierz odległości euklidesowych wyliczona z częstości haplogrup wybranych współczesnych populacji europejskich i grupy badanych osobników. Oznaczenia, jak na ryc. 3

Abb. 5. Stargard, Altstadt, Quartier IX. Euklidische Distanzmatrix, berechnet aus der Häufigkeit von Haplogruppen ausgewählter zeitgenössischer europäischer Populationen und der analysierten Gruppen von Individuen. Markierungen wie in Abb. 3

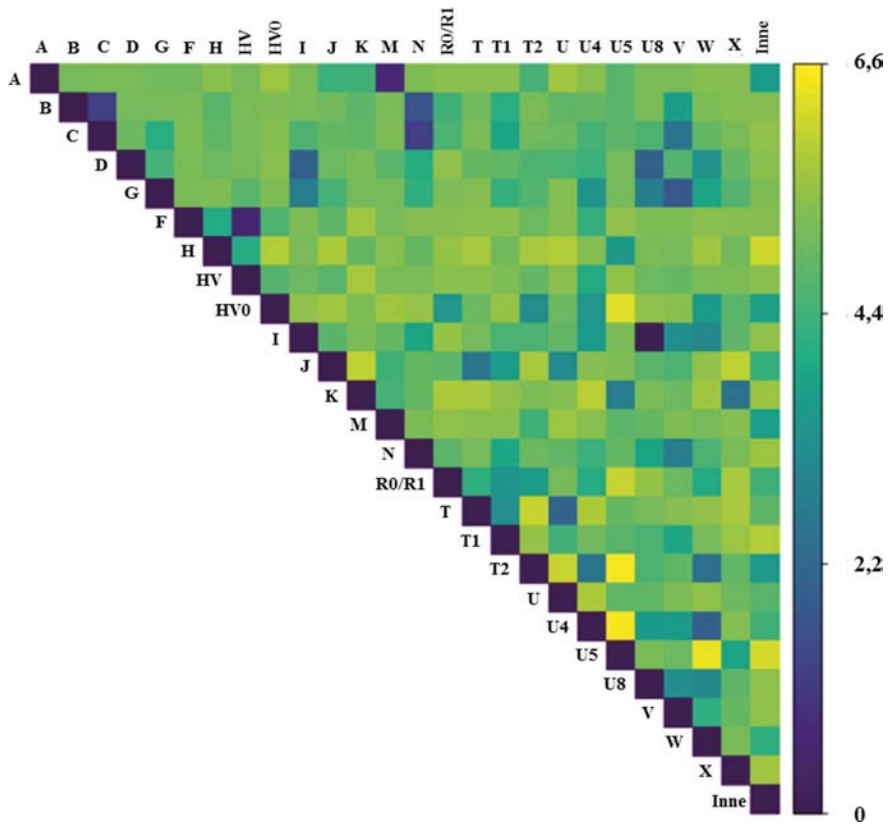

Ryc. 6. Stargard, Stare Miasto, kwartał IX. Macierz odległości euklidesowych pomiędzy haplogrupami populacji z okresu średniowiecza, neolitu, współczesności i grupy badanych osobników. Oznaczenia, jak na ryc. 2

Abb. 6. Stargard, Altstadt, Quartier IX. Matrix euklidischer Abstände zwischen den Haplogruppen der Populationen aus dem Mittelalter, dem Neolithikum, der Neuzeit und der Gegenwart sowie der analysierten Gruppe von Individuen. Markierungen wie in Abb. 2

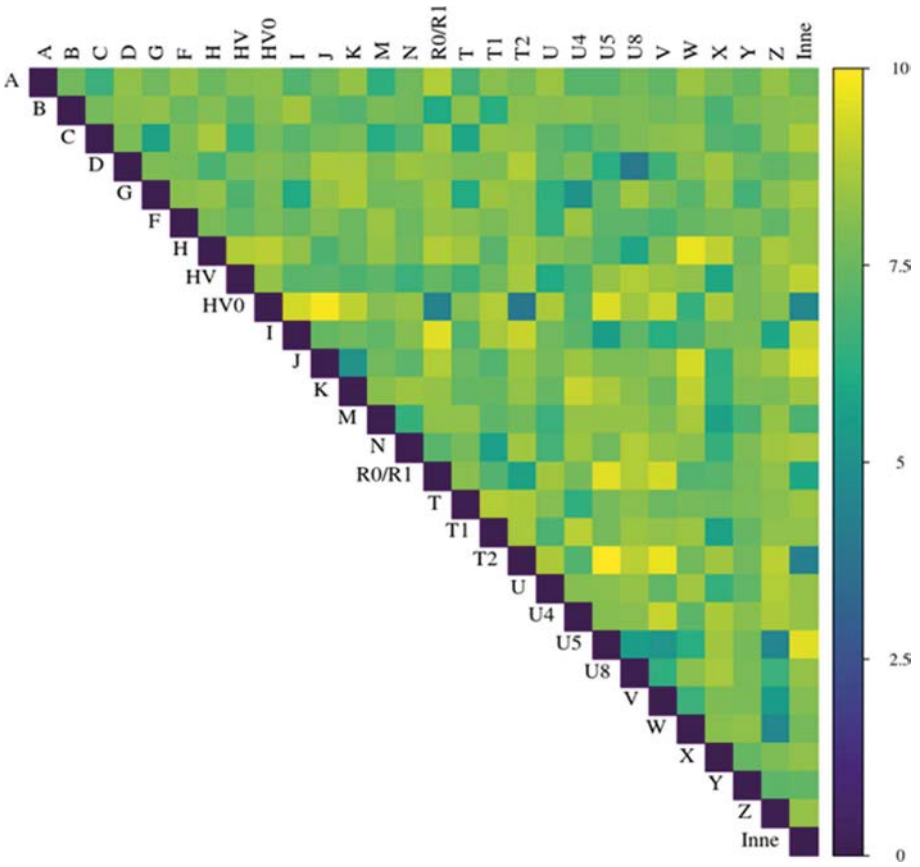

Ryc. 7. Stargard, Stare Miasto, kwartał IX. Macierz odległości euklidesowych pomiędzy haplogrupami współczesnych populacji europejskich i grupy badanych osobników. Oznaczenia, jak na ryc. 2

Abb. 7. Stargard, Altastadt, Quartier IX. Matrix euklidischer Abstände zwischen den Haplogruppen zeitgenössischer europäischer Populationen und der analysierten Gruppen von Individuen. Markierungen wie in Abb. 2

2015, 1), powstała prawdopodobnie ok. 21 tysięcy lat temu, i ma bliskowschodni rodowód. Zidentyfikowana w materiale kostnym z grobów 5 i 6 subhaplogrupa T2c jest tylko nieco młodsza od głównej haplogrupy T, natomiast subhaplogrupa T2b zidentyfikowana w szczątkach z grobu 29 powstała z niej prawdopodobnie dopiero na terenie Europy ok. 10 tysięcy lat temu (Pala i in. 2012, 915).

Haplogrupa U4, zidentyfikowana w szczątkach z grobu 10, najczęściej występuje w populacjach Europy Wschodniej, regionu Wołga-Ural i zachodniej Syberii (Derenko i in. 2014, 217) podobnie jak allel *delta32CCR5* zidentyfikowany u tego samego osobnika. Homozygotyczna postać allelu (tab. 3–4) może sugerować częste jego występowanie w średniowieczu, i jest kolejnym już potwierdzeniem uzyskanego wcześniej wyniku (Zawicki, Witas 2008, 146), poddającego w wątpliwość wiek allelu szacowny na 700 lat (Stephens i in. 1998). Nie można wykluczyć sugestii, że haplogrupa U4 i allel *delta32* osobnika z grobu 10 lub jego przodków oznacza pochodzenie z północnozachodniej części Azji. Dotąd nie ustalono mechanizmu rozprzestrzeniania się allelu z północno-zachodniej Azji i północnej Europy chroniącego współcześnie przed infekcją HIV (Solloch i in. 2017, 710).

Zidentyfikowane zmiany w sekwencji mtDNA osobnika z grobu 25 wskazują makrohaplogrupę W, bez możliwości rozróżnienia W1, reprezentującej klad europejski, i pozostałymi, pozaeuropejskimi subhaplogrupami, które byłoby możliwe w oparciu o sekwencję całej cząsteczki. Haplogrupa W występuje z niewielką częstotliwością w całej Eurazji, osiągając większą w północnej Europie, głównie w Finlandii (Fernandes i in. 2012, 347; Richards i in. 1998, 241).

Nie bez znaczenia pozostaje fakt zidentyfikowania u osobnika z grobu nr 25 dwóch kopii allelu *LCT–13910T* warunkującego tolerancję laktozy (tab. 5) często występującego współcześnie w populacjach północnej Europy (Itan i in. 2009, 1). Allel zidentyfikowano na Gotlandii w materiale kostnym sprzed ponad 4 tysięcy lat (Malmstrom i in. 2010, 89). Częstość allelu T w grupie osobników z historycznego kwartału IX jest znacząco niższa (23%, tab. 5), podczas gdy w innych średniowiecznych populacjach w regionie wynosiła 40% w Cedyni lub 80% na Kujawach (Witas i in. 2015, 1), gdzie była zbliżona do obserwowanej współcześnie w Szwecji (90%) (Almon i in. 2010, 1).

Posługując się częstością haplogrup mtDNA w porównywanych populacjach, zilustrowaną na mapach cieplnych (ryc. 2–3), obliczono odpowiednio macierz odległości euklidesowych zarówno pomiędzy populacjami (ryc. 4–5), jak i występującymi w nich haplogrupami (ryc. 6–7), rozumianymi jako wektory tych częstości (dane standaryzowano osobno dla każdego dendrogramu, tj. w wierszach i kolumnach). Macierze wykorzystano do zbudowania dendrogramów agregacyjną metodą Warda i umieszczono na brzegach map cieplnych. Analizę danych wykonano w środowisku R. Wynik przeprowadzonej analizy porównawczej ilustruje odmienność haplogrupową badanej grupy osobników i opisuje relacje z poszczególnymi populacjami średniowiecznymi w regionie, a także ze średniowieczną, neolityczną i współczesną populacją Polski oraz współczesnymi populacjami europejskimi.

Głębszą ocenę i uogólnienie związku grupy badanych osobników z innymi populacjami i ich interpretację w oparciu o wyniki analizy molekularnej utrudnia brak szerszego kontekstu archeologiczno-historycznego stanowiska, co przedkłada się na niewielką liczebność badanej grupy. Efektem tego jest wspomniane już małe zróżnicowanie haplotypów/haplogrup i odmienna od współczesnych jej populacji częstość alleli genów *MCM6* i *CCR5*.

Bibliografia

Almon R., Patterson E., Nilsson T. K., Engfeldt P., Sjöström M. 2010. Body fat and dairy product intake in lactase persistent and non-persistent children and adolescents. *Food and Nutrition Research* 54.

Anderson S., Bankier A.T., Barrell B.G., Bruijn de M.H.L., Coulson A.R., Drouin J., Eperon I.C., Nierlich D.P., Roe B.A., Sanger F., Schreier P.H., Smith A.J.H., Staden R., Young I.G. 1981. Sequence and organization of the human mitochondrial genome. *Nature* 290 (5806), 457–465.

Brotherton P., Haak W., Templeton J., Brandt G., Soubrier J., Adler C.J., Richards S.M., Sarkissian Der C., Ganslmeier R., Friederich S., van Oven M., Kenyon R., Van der Hoek M.B., Korlach J., Luong K., Ho S.Y.W., Quintana-Murci L., Behar D.M., Meller H., Alt K.W., Cooper A. 2013. Neolithic mitochondrial haplogroup H genomes and the genetic origins of Europeans, *Nature Communications* 4, 1764.

Cano R.J., Borucki M.K. 1995. Revival and identification of bacterial spores in 25- to 40-million-year-old Dominican amber. *Science* 268 (5213), 1060–1064.

Cui Y., Song L., Wei D., Pang Y., Wang N., Ning C., Li C., Feng B., Tang W., Li H., Ren Y., Zhang C., Huang Y., Hu Y., Zhou H. 2015. Identification of kinship and occupant status in Mongolian noble burials of the Yuan Dynasty through a multidisciplinary approach. *Philosophical Transactions of the Royal Society. B-Biolological Science* 370 (1660), 20130378.

De Fanti S., Barbieri C., Sarno S., Sevini F., Vianello D., Tamm E., Metspalu E., van Oven M., Hübner A., Sazzini M., Franceschi C., Pettener D., Luiselli D. 2015. Fine Dissection of Human Mitochondrial DNA Haplogroup HV Lineages Reveals Paleolithic Signatures from European Glacial Refugia. *PloS one* 10 (12), e0144391-e91.

Derenko M., Malyarchuk B., Denisova G., Perkova M., Litvinov A., Grzybowski T., Dambueva I., Skonieczna K., Rogalla U., Tsybovsky I., Zakharov I. 2014. Western Eurasian ancestry in modern Siberians based on mitogenomic data. *BMC evolutionary biology* 14, 217.

Fernandes V., Alshamali F., Alves M., Costa M.D., Pereira J.B., Silva N.M., Cherni L., Harich N., Cerny V., Soares P., Richards M.B., Pereira L. 2012. The Arabian cradle: mitochondrial relicts of the first steps along the southern route out of Africa. *The American Society of Human Genetics* 90 (2), 347–355.

Gilbert M.T., Bandelt H.-J., Hofreiter M., Barnes I. 2005. Assessing ancient DNA studies. *Trends in Ecology and Evolution* 20 (10), 541–544.

Greenberg B. D., Newbold J. E., Sugino A. 1983. Intraspecific nucleotide sequence variability surrounding the origin of replication in human mitochondrial DNA. *Gene* 21 (1–2), 33–49.

Guba Z., Hadadi E., Major A., Furka T., Juhász E., Koós J., Károly N., Zeke T. 2011. HVS-I polymorphism screening of ancient human mitochondrial DNA provides evidence for N9a discontinuity and East Asian haplogroups in the Neolithic Hungary. *Journal of Human Genetics* 56 (11), 784–796.

Haak W., Forster P., Bramanti B., Matsumura S., Brandt G., Tänzer M., Villems R., Renfrew C., Gronenborn D., Alt K.W., Burger J. 2005. Ancient DNA from the first European farmers in 7500-year-old Neolithic sites. *Science* 310 (5750), 1016–1018.

Hagelberg E., Sykes B., Hedges R. 1989. Ancient bone DNA amplified. *Nature* 342 (6249), 485.

Hedman M., Brandstätter A., Pimenoff V., Sistonen P., Palo J.U., Parson W., Sajantila A. 2007. Finnish mitochondrial DNA HVS-I and HVS--II population data. *Forensic Scencei International* 172 (2–3), 171–178.

Higuchi R., Bowman B., Freiberger M., Ryder O.A., Willson A.C. 1984. DNA sequences from the quagga, an extinct member of the horse family. *Nature* 312(5991), 282–284.

Higuchi R.G., Wrischnik L. A., Oakes E., George M., Tong B., Wilson A.C. 1987. Mitochondrial DNA of the extinct quagga: Relatedness and extent of postmortem change. *Journal of Molecular Evolution* 25(4), 283.

Hublin J.J., Ben-Ncer A., Bailey S.E., Freidline S.E., Neubauer S., Skinner M.M., Bergman I., Caleb Le A., Benazzi S., Harvati K., Gunz P. 2017. New fossils from Jebel Irhoud, Morocco and the pan-African origin of Homo sapiens. *Nature* 546 (7657), 289–292.

Itan Y., Powell A., Beaumont M.A, Burger J., Thomas M.G. 2009. The origins of lactase persistence in Europe. *PLoS Computational Biology* 5 (8), e1000491.

Krings M., Stone A., Schmitz R.W., Krainitzki H., Stoneking M., Pääbo S. 1997. Neandertal DNA sequences and the origin of modern humans. *Cell* 90 (1), 19–30.

Malmstrom H., Linderholm A., Lidén K., Storå J., Molnar P., Holmlund G., Jakobsson M., Götherström A. 2010. High frequency of lactose intolerance in a prehistoric hunter-gatherer population in northern Europe. *BMC Evolutionary Biology* 10, 89.

Malmstrom H., Linderholm A., Skoglund P., Storå J., Sjödin P., Gilbert M.T.P., Holmlund G., Willerslev E., Jakobsson M., Lidèn K., Götherström A. 2015. Ancient mitochondrial DNA from the northern fringe of the Neolithic farming expansion in Europe sheds light on the dispersion process. *Philosophical transactions of the Royal Society of London. Biological sciences* 370 (1660), 20130373.

Malyarchuk B.A., Grzybowski T., Derenko M.V., Czrny J., Woźniak M., Miścicka-Śliwka D. 2002. Mitochondrial DNA variability in Poles and Russians. *Annals of Human Genetics* 66 (4), 261–283.

Margulies M., Egholm M., Altman W., Attiya S., Bader S.S., Bemben L.A., Berka J., Braverman M.S., Chen Y.-J., Chen Z., Dewell S.B., Du L., Fierro J.M., Gomes X.V., Godwin B.C., He. W., Helgesen S., He Ho C., Irzyk G.P., Jando S.C., Alenquer M.L.I, Jarvie T.P., Jirage K.B., Kim J.-B., Knight J.R., Lanza J.R., Leamon J.H., Lafkowitz S.M., Lei M., Li. J., Lohman K.T., Lu H., Makhijani V.B., McDade K.E., McKenna M.P., Myers E.W., Nickerson E., Nobile J.R., Plant R., Puc B.P., Ronan M.T., Roth G.T., Sarkis G.J., Fredrik S., Simpson J.W., Srinivasan M., Tartaro K.R., Tomasz A., Vogt K.A., Volkmer G.A., Wang S.H., Wang Y., Weiner M.P., Yu P., Begley R.F., Rothberg J.M. 2005. Genome sequencing in microfabricated high-density picolitre reactors. *Nature* 437 (7057), 376–380.

Melton T., Wilson M., Batzer M., Stoneking M. 1997, Extent of heterogeneity in mitochondrial DNA of European populations. *Journal of Forensic Sciences* 42 (3), 437–446.

Mendisco F., Pemonge M.H., Leblay E., Romon T., Richard G., Courtaud P., Deguilloux M.F. 2015. Where are the Caribs? Ancient DNA from ceramic period human remains in the Lesser Antilles. *Philosophical transactions of the Royal Society of London. Biological sciences* 370 (1660), 20130388.

Metspalu M., Kivisild T., Metspalu E., Parik J., Hudjashov G., Kaldma K., Serk P., Kamin M., Behar D.M., Gilbert M.T.P., Endicott P., Mastana S., Papiha S.S., Skorecki K., Torroni A., Villems R. 2004. Most of the extant mtDNA boundaries in south and southwest Asia were likely shaped during the initial settlement of Eurasia by anatomically modern humans. *BMC Genetics* 5, 26.

Meyer M., Arsuaga J.-L., de Filippo C., Nagel S., Aximu-Petri A., Nickel B., Martínez I., Gracia A., Castro de J.M.B., Carbonell E., Viola B., Kelso J., Prüfer K. Pääbo S. 2016. Nuclear DNA sequences from the Middle Pleistocene Sima de los Huesos hominins. *Nature* 531 (7595), 504–507.

Mielnik-Sikorska M., Daca P., Malyarchuk B., Derenko M., Skonieczna K., Perkova M., Dobosz T., Grzybowski T. 2013. The history of Slavs inferred from complete mitochondrial genome sequences. *PLoS One* 8 (1), e54360.

Mullis K., Faloona F., Scharf S., Saiki R., Horn G., Erlich H. 1986. Specific enzymatic amplification of DNA in vitro: the polymerase chain reaction. *Cold Spring Harbor Symposia on Quantitative Biology* 51 (1), 263–273.

Pääbo S., Poinar H., Serre D., Jaenicke-Després V., Hebler J., Rohland N., Kuch M., Krause J., Vigilant L., Hofreiter M. 2004. Genetic analyses from ancient DNA. *Annual Review of Genetics* 38, 645–679.

Pala M., Olivieri A., Achilli A., Accetturo M., Metspalu E., Reidla M., Tamm E., Kamin M., Reisberg T., Kashani B.H., Perego U.A., Carossa V., Gandini F., Pereira J.B., Soares P., Angerho-

fer N., Rychkov S., Al-Zahery N., Carelli V., Sanati M.H., Houshmand M., Hatina J., Macaulay V., Pereira L., Woodward S.R., Davies W., Gamble C., Baird D., Semino O., Villems R., Torroni A., Richards M.B. 2012. Mitochondrial DNA signals of late glacial recolonization of Europe from near eastern refugia. *American Journal of Human Genetics* 90 (5), 915–924.

Płoszaj T., Jerszyńska B., Jędrychowska-Dańska K., Lewandowska M, Kubiak D., Grzywnowicz K., Masłowska A., Witas H.W. 2015. Mitochondrial DNA genetic diversity and LCT–13910 and deltaF508 CFTR alleles typing in the medieval sample from Poland. *Homo* 66 (3), 229–250.

Poinar H.N., Hofreiter M., Spaulding W.G., Martin P.S., Stankiewicz B.A., Bland H., Evershed R.P., Possnert G., Pääbo S. 1998. Molecular coproscopy: dung and diet of the extinct ground sloth Nothrotheriops shastensis. *Science* 281 (5375), 402–406.

Rasmussen M., Li Y., Lingreen S., Pedersen J.S. Albrechtsen A., Moltke I., Metspalu M., Metspalu E., Kivisild T., Gupta R., Bertalan M., Nielsen K., Gilbert M.P.T., Wang Y., Raghavan M., Campos P.F., Kamp H.M., Wilson A.S., Gledhill A., Tridico S., Bunce M., Lorenzen E.D., Binladen J., Guo X., Zhao J., Zhang X., Zhang H., Li Z., Chen M., Orlando L., Kristiansen K., Bak M., Tommerup N., Bendixen C., Pierre T.L., Grønnow B., Meldgaard M., Andreasen C., Fedorova S.A., Osipova L.P., Higham T.F.G., Ramsey C.B., Hansen T.V.O, Nielsen F.C., Crawford M.H., Brunak S., Sicheritz-Pontén T., Villems R., Nielsen R., Krogh A., Wang J., Willerslev E. 2010. Ancient human genome sequence of an extinct Palaeo-Eskimo. *Nature* 463 (7282), 757–762.

Reich D., Green R. E., Kircher M., Krause J., Patterson N., Durand E.Y., Viola B., Briggs A.W., Stenzel U., Johnson P.L., Maricic T., Good J.M., Marques-Bonet T., Alkan C., Fu Q., Mallick S., Li H., Meyer M., Eichler E.E., Stoneking M., Richards M., Talamo S., Shunkov M.V., Derevianko A.P., Hublin J.J., Kelso J., Slatkin M., Pääbo S. 2010. Genetic history of an archaic hominin group from Denisova Cave in Siberia. *Nature* 468 (7327), 1053–1060.

Richards M.B., Macaulay V.A., Bandelt H.J., Sykes B.C. 1998. Phylogeography of mitochondrial DNA in western Europe. *Annals of Human Genetics* 62 (3), 241–260.

Sanger F., Coulson A. R. 1975. A rapid method for determining sequences in DNA by primed synthesis with DNA polymerase. *Journal of Molecular Biology* 94 (3), 441–448.

Soares P., Achilli A., Semino O., Davies W., Macaulay V., Bandelt H.-J., Torroni A., Richards M.B. 2010. The archaeogenetics of Europe. *Current Biology* 20 (4), 174–183.

Solloch U.V., Lang K., Lange V., Böhme I., Schmidt A.H., Sauter J. 2017. Frequencies of gene variant CCR5-Δ32 in 87 countries based on next-generation sequencing of 1.3 million individuals sampled from 3 national DKMS donor centers. *Human Immunology* 78 (11), 710–717.

Stephens J.C., Reich D.E., Goldstein D.B., Shin H.D., Smith M.W., Carrington M., Winkler C., Huttley G.A., Allikmets R., Schriml L., Gerrard B., Malasky M., Ramos. M.D., Morlot S., Tzetis M., Oddoux C., Giovinne di F.S., Nasioulas G., Chandler D., Aseev M., Hanson M., Kalaydjieva L., Glavac D., Gasparini P., Kanavakis E., Claustres M., Kambouris M., Ostrer H., Duff G., Baranov V., Sibul H., Metspalu A., Goldman D. Martin N., Duffy D., Schmidtke J., Estivil X., O'Brien S.J., Dean M. 1998. Dating the origin of the CCR5-Delta32 AIDS-resistance allele by the coalescence of haplotypes. *American Society of Human Genetics* 62 (6), 1507–1515.

Winters M., Barta J. L., Monroe C., Kemp B. M. 2011. To clone or not to clone: method analysis for retrieving consensus sequences in ancient DNA samples. *PLoS One* 6 (6), e21247.

Witas H.W., Tomczyk J., Jędrychowska-Dańska K., Chaubey G., Płoszaj T. 2013. mtDNA from the early Bronze Age to the Roman period suggests a genetic link between the Indian subcontinent and Mesopotamian cradle of civilization. *PLoS One* 8 (9), e73682.

Witas H.W., Płoszaj T., Jędrychowska-Dańska K., Witas P.J., Masłowska A., Jerszyńska B., Kozłowski T., Osipowicz G. 2015. Hunting for the LCT–13910*T allele between the Middle Neolithic and the Middle Ages suggests its absence in dairying LBK people entering the Kuyavia region in the 8th millennium BP. *PLoS One* 10 (4), e0122384.

Woodward S. R., Weyand N. J., Bunnell M. 1994. DNA sequence from Cretaceous period bone fragments. *Science* 266 (5188), 1229–1232.

Zawicki P., Witas H. W. 2008. HIV–1 protecting CCR5-Delta32 allele in medieval Poland. *Infect Genet Evol* 8 (2), 146–151.

prof. dr hab. Henryk W. Witas
dr Tomasz Wasiak
mgr Krystyna Jędrychowska-Dańska
mgr inż. Tadeusz Strózik
mgr Alicja Zamerska
Oddział Nauk Biomedycznych Wydziału Lekarskiego
Katedra Biologii Medycznej
Zakład Biologii Molekularnej
Uniwersytet Medyczny w Łodzi
ul. Żeligowskiego 7/9
90-752 Łódź
henryk.witas@ umed.pl
krystyna.jedrychowska-danska @umed.lodz.pl
tadeusz.strozik@umed.lodz.pl
alicja.zamerska@umed.lodz.pl
henryk.witas@umed.lodz.pl

dr Piotr J. Witas
Wydział Nauk o Zdrowiu
Katedra Nauk Biomedycznych
Zakład Zaburzeń Krzepnięcia Krwi
Uniwersytet Medyczny w Łodzi
ul. Mazowiecka 6/8
92-215 Łódź
piotr.witas@umed.lodz.pl

Zusammenfassung

Molekulare Analyse von Knochenmaterial aus dem Gräberfeld

Das Lösen von anfänglich auftretenden methodischen Problemen, die vor mehr als drei Jahrzehnten bei den ersten Versuchen der Analyse von DNA-Molekülen aus fossilem Material auftraten, brachte Verfahren, die die Rekonstruktion der Genome von solchen Organismen ermögli-chen, die in der fernen Vergangenheit lebten. Der einzige begrenzende Faktor ist der übermäßige chemische Abbau des DNA-Moleküls.

Gegenstand der molekularen Analyse sind vervielfältigbare DNA-Fragmente, die aus dem Skelettmaterial aus 19 Gräbern isoliert wurden, die innerhalb der Überreste eines frühmittelalter-lichen Gräberfeldes (Quartier IX, Altstadt) in Stargard in den Jahren 2007–2008 erforscht wur-den.

Moleküle mitochondrialer (mtDNA) und nuklearer DNA (nuDNA) wurden isoliert, wobei die Regeln für die Arbeit mit fossiler DNA und für die Beurteilung ihrer Authentizität eingehalten wurden. Trotz des allgemein schlechten Erhaltungszustands des Knochenmaterials war es mög-lich, aus 19 von 21 analysierten Proben vervielfältigbare Fragmente zu gewinnen und mtDNA-Haplotypen zu identifizieren – 19 Individuen, Geschlecht anhand des Allelprofils des Amelo-genin-Gens (AML) – 17 Individuen, Veranlagung zur Laktoseverdauung – 16 Individuen und Allelprofil, das die Anfälligkeit der Zeitgenössischen für eine HIV-Infektion definiert – 9 Indivi-duen.

Alle identifizierten mtDNA-Haplogruppen (H, T2, R, W, HV0) waren in anderen mittelalterli-chen Populationen der Region vorhanden und sind auch in der zeitgenössischen polnischen Be-völkerung präsent. Die beobachteten Unterschiede zwischen mittelalterlichen Bevölkerungen und der untersuchten Gruppe von Individuen sind wahrscheinlich auf ihre geringe Anzahl zurückzu-führen. Auch die Häufigkeit des Allels LCT-13910- und delta32 CCR5 ist nicht repräsentativ. Obwohl die Daten die untersuchte Gruppe von Individuen von anderen Populationen anschaulich unterscheiden, darf die Tatsache ihrer geringen Größe bei der Betrachtung der Zusammenhänge nicht außer Acht gelassen werden.

DANE O WYDAWNICTWIE

Muzeum Archeologiczno-Historyczne w Stargardzie prowadzi działalność wydawniczą od 1999 r. W naszej ofercie znaleźć można publikacje przybliżające historię Stargardu, powiatu stargardzkiego, Pomorza czy innych ziem nadbałtyckich. Wydajemy katalogi wystaw, foldery i przewodniki do wystaw, monografie, materiały pokonferencyjne, zeszyty edukacyjne oraz wydawnictwa ciągłe takie jak: Stargardia (rocznik), Archeologia Stargardu, Archiwum Pamięci Świadków i Świadectw Historii.

Muzeum Archeologiczno-Historyczne w Stargardzie
Rynek Staromiejski 2-4
73-110 Stargard
tel. 91 578 38 35
e-mail: info@muzeum-stargard.pl
www.muzeum-stargard.pl

Wszystkie publikacje Muzeum w Stargardzie znajdują się na stronie:
http://muzeum-stargard.pl/pl/o-muzeum/dzialalnosc-naukowa/publikacje/

Możliwość zakupu publikacji na stronie:
http://sklep.muzeum-stargard.pl/

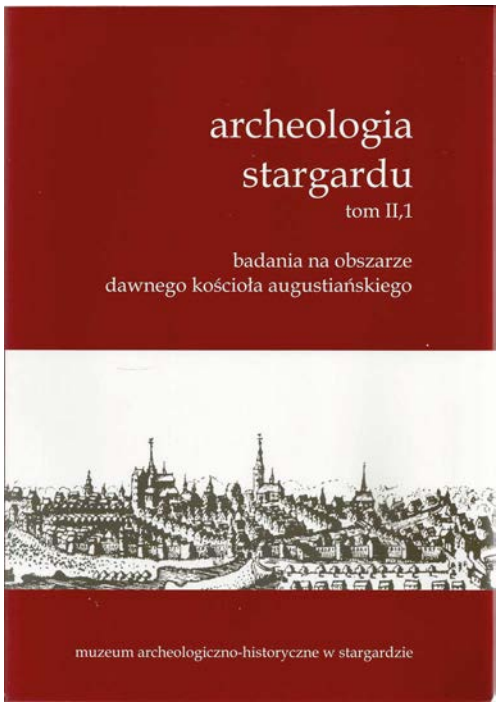

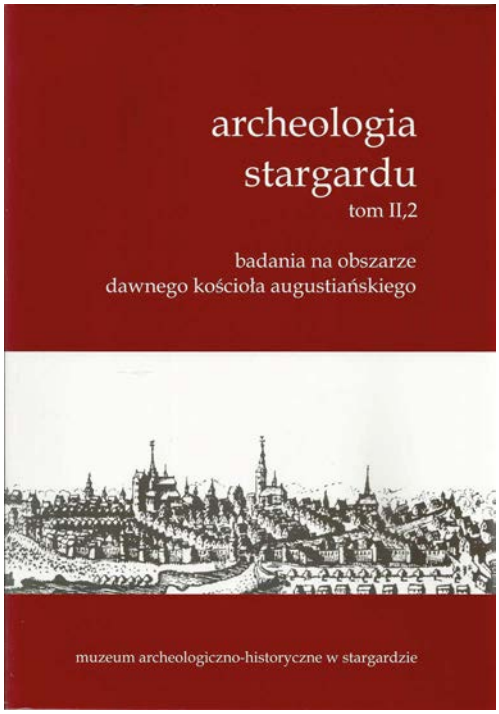

Archeologia Stargardu. Tom II. Badania na obszarze dawnego kościoła augustiańskiego
Pod red. M. Majewskiego
Stargard 2016
ISBN 978-83-61456-93-3
ISSN 2299-6389

Dwuczęściowa monografia „Archeologia Stargardu 2. Badania na obszarze dawnego kościoła augustiańskiego" jest efektem dwuletnich prac zespołu naukowców z różnych ośrodków. Zbiór artykułów tematycznych 23 autorów, które prezentują i omawiają w szerszym zakresie zarówno średniowieczne, nowożytne oraz współczesne źródła archeologiczne z badań wykopaliskowych, jak i źródła historyczne. Monografia związana z terenem dawnego kościoła stargardzkich augustianów jest drugim tomem zapoczątkowanej w 2012 roku serii wydawanej przez Muzeum Archeologiczno-Historyczne w Stargardzie pt. „Archeologia Stargardu" poświęconej coraz bogatszej archeologii miasta. Wartość merytoryczna publikacji została zaopiniowana przez dwóch niezależnych recenzentów prof. dr hab. Mariana Rębkowskiego oraz prof. dr hab. Jerzego Piekalskiego – wybitnych polskich znawców z zakresu archeologii miast oraz badań nad średniowieczem.

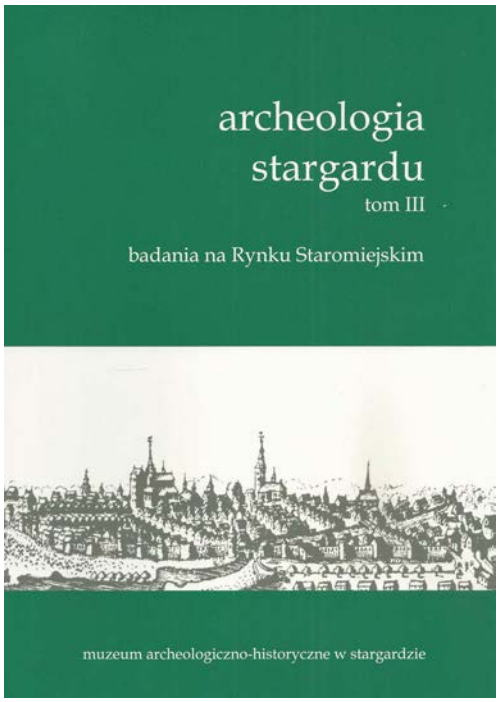

Archeologia Stargardu. T. III. Badania na Rynku Staromiejskim
Pod red. M. Majewskiego i Karoliny Stań
Stargard 2017
ISBN 978-83-61456-10-0
ISSN 2299-6389

Publikacja jest podsumowaniem badań archeologicznych prowadzonych na Rynku Staromiejskim w 2009 r., zawiera szczegółowe opracowanie materiałów archeologicznych i specjalistyczne analizy. Całość dopełnia opis historyczny.

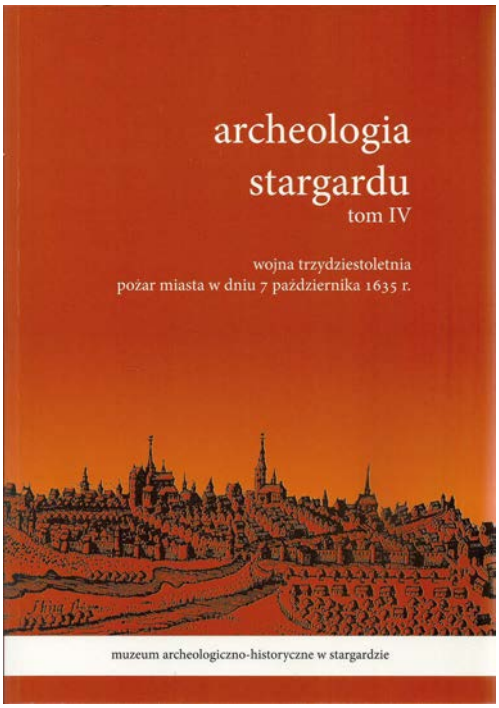

Archeologia Stargardu. Tom IV. Wojna trzydziestoletnia:
pożar miasta w dniu 7 października 1635 r.
Pod red. M. Majewskiego
Poznań–Stargard 2019
ISBN 978-83-7986-300-6
ISSN 2299-6389

W latach 2003 i 2008 odkryto relikty dwóch budynków zniszczonych w czasie wielkiego pożaru Stargardu, który wybuchł 7 października 1635 r. Jednym z nich są relikty piwnicy budy lub oficyny. Drugim natomiast są pozostałości piwnicy czatowni usytuowanej w ciągu miejskich murów obronnych. Odległość pomiędzy odkrytymi śladami pogorzeliska wyniosła zaledwie sto metrów. Z obu przestrzeni pozyskano liczny i precyzyjnie datowany materiał. Dotychczas ten jeden z najtragiczniejszych pożarów w historii miasta znany był jedynie z przekazów historycznych. Wyniki powyższych prac stały się kanwą niniejszej książki, która stanowi czwarty tom serii „Archeologia Stargardu".

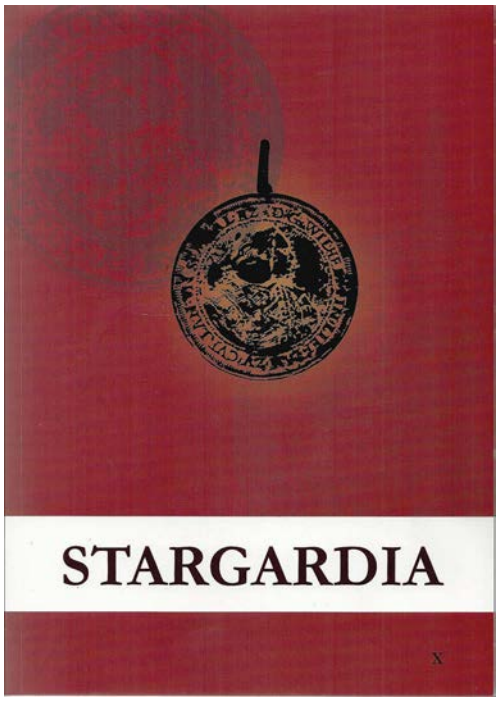

Stargardia. Rocznik Muzeum Archeologiczno-Historycznego w Stargardzie poświęcony przeszłości i kulturze Pomorza oraz regionu nadbałtyckiego. Tom X
Red. naczelny Marcin Majewski
Red. tomu Jolanta Aniszewska
Stargard 2016
ISSN 1641-7747

Dziesiąty, jubileuszowy tom rocznika „Stargardia" wydany został w styczniu 2016 roku. Przedstawione są w nim m.in. badania nad wczesnymi założeniami klasztornymi z XI-XII w. w północno-wchodnich Niemczech (Meklemburgia, Pomorze Przednie i obszary przyległe) pod kątem ich położenia w stosunku do ośrodków władzy z okresu słowiańskiego, czyli ważniejszych grodów i miast, omówienie rodów rycerskich z pogranicza ziemi stargardzkiej i Nowej Marchii, przedstawienie rezultatów weryfikacji reliktów zamku w Szadzku, gródka w Szadzku oraz zamku w Krępcewie, zestawienie zachowanych i znanych ze źródeł kartograficznych elementów systemu umocnień bastejowych na Pomorzu Zachodnim i we wschodniej Brandenburgii oraz wyniki analizy źródeł ikonograficznych, przedstawiających uzbrojenie ochronne na historycznym Pomorzu od 1500 r. do jego podziału w 1648 r. Zawarte są w nim także sprawozdania z życia muzeum i jego poszczególnych działów oraz nabytki i odkrycia w roku 2015.

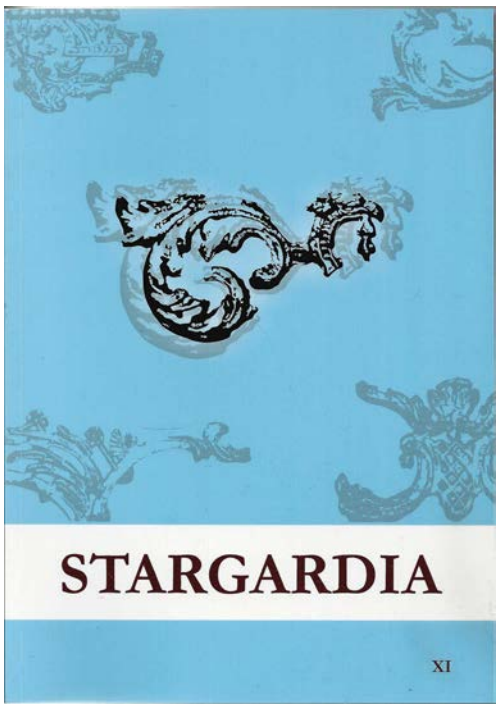

Stargardia. Rocznik Muzeum Archeologiczno-Historycznego w Stargardzie poświęcony przeszłości i kulturze Pomorza oraz regionu nadbałtyckiego. Tom XI
Red. naczelny Marcin Majewski
Red. tomu Jolanta Aniszewska
Stargard 2017
ISSN 1641-7747

Jedenasty tom rocznika „Stargardia" wydany został w styczniu 2017 roku. Przedstawione są w nim m.in. badania nad architekturą kościoła św. Jana Chrzciciela w Stargardzie wobec joannickiego patronatu, dzieje rodu von Steglitz w ziemi stargardzkiej i Nowej Marchii w średniowieczu, głos w sprawie genezy własności rodu rycerskiego Brederlowów w ziemi choszczeńskiej i pełczyckiej w XIV i początkach XV w., charakterystyka zbroi książąt pomorskich z kaplicy zamkowej w Szczecinie, badania nad trzebielską kamionką odkrytą w Stargardzie na części kwartału XXVIII Starego Miasta oraz studia nad szkolnictwie ukraińskim na Pomorzu Zachodnim w latach 1956-1970. Zawarte są w nim także sprawozdania z życia muzeum i jego poszczególnych działów oraz nabytki i odkrycia w roku 2016.

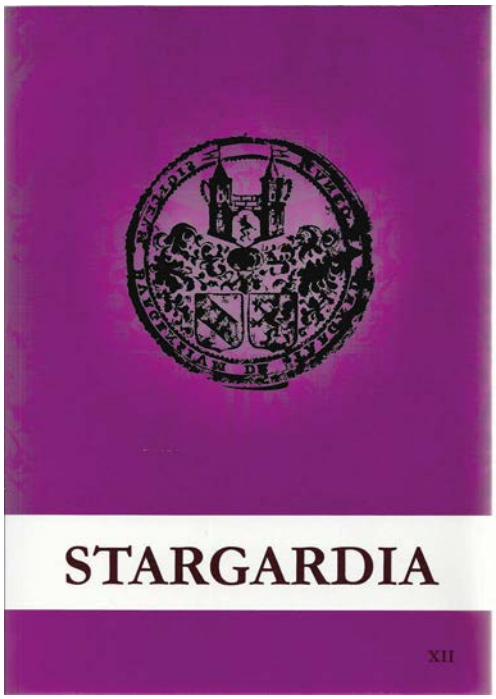

Stargardia. Rocznik Muzeum Archeologiczno-Historycznego w Stargardzie poświęcony przeszłości i kulturze Pomorza oraz innych ziem nadbałtyckich. T. XII
Red. naczelny Marcin Majewski
Red. tomu Jolanta Aniszewska
Stargard 2018
ISSN 1641-7747

Dwunasty tom rocznika „Stargardia" wydany został w styczniu 2018 roku. Przedstawione są w nim m.in. dzieje rodu rycerskiego von Küssow na Pomorzu od XIV do XIX wieku, dzieje wsi Studnica – od zamku rodu von dem Borne w XIV wieku do likwidacji rolniczego zespołu spółdzielczego w 1957 roku, badania nad stargardzkim Melanchthonianum w Bibliotece Narodowej w Warszawie, badania nad fragmentami naczyń kamionkowych z Mużakowa odkrytymi w Stargardzie na części kwartału XXVIII Starego Miasta oraz artykuł o stargardzkim generale Heinrichu von Doeberitz i jego majątku w Pełknicy w epoce napoleońskiej. Zawarte są w nim także sprawozdania z życia muzeum i jego poszczególnych działów oraz nabytki i odkrycia w roku 2017.

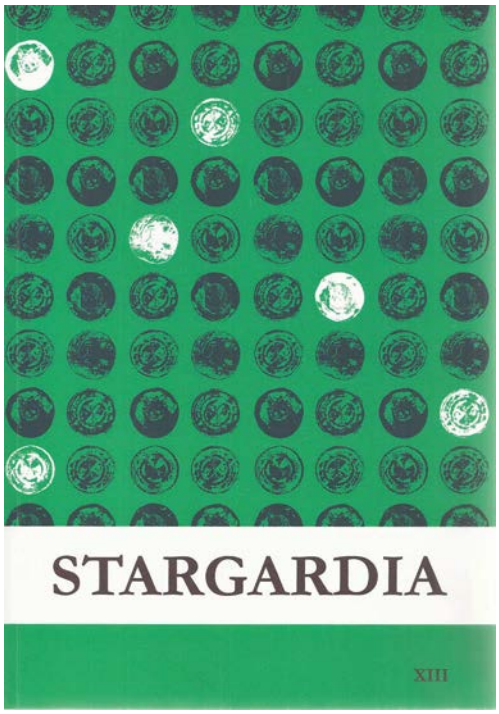

Stargardia. Rocznik Muzeum Archeologiczno-Historycznego w Stargardzie poświęcony przeszłości i kulturze Pomorza oraz regionu nadbałtyckiego. Tom XIII
Red. naczelny Marcin Majewski
Red. tomu Jolanta Aniszewska
Stargard 2019
ISSN 1641-7747

XIII tom Stargardii w zasadniczej części prezentuje między innymi artykuły związane z rodzimą dynastią książęcą Gryfitów oraz badaniami archeologicznymi prowadzonymi w Stargardzie i na terenie powiatu stargardzkiego. Prace dotyczą dwóch księżnych pomorskich, Anastazji małżonki księcia Bogusława I i Erdmuty – żony księcia Jana Fryderyka, Cathariny Friedrich – nieślubnej córki tego ostatniego oraz badań konserwatorskich zamku książęcego w Szczecinku. Ponadto autorzy artykułów omawiają odkrycie nieznanego dotychczas cmentarzyska popielnicowego w Wapnicy, ceramikę kamionkową, akcesoria do palenia tytoniu i masońską szklankę. Jednym z ważniejszych elementów składowych każdego tomu naszego rocznika jest szczegółowa informacja z działalności Muzeum Archeologiczno-Historycznego, a także naukowe opracowanie ciekawszych nabytków do których należą dokument rękopiśmienny związany z sołtysem z Suchanówka oraz płytki flizowe pochodzące z Arnsterdamu a pozyskane w trakcie badań wykopaliskowych na historycznym kwartale XXVI położonym przy ul. Kasztelańskiej. Tradycyjnie rocznik zamykają sprawozdania z prac archeologicznych prowadzonych przez Dział Archeologii.

Bogucki
WYDAWNICTWO
NAUKOWE

MUZEUM ARCHEOLOGICZNO-HISTORYCZNE
S T A R G A R D

ISBN 978-83-7986-312-9 ISSN 2299-6389 ISBN 978-83-61456-34-6